



دانشگاه شهروردی تکنولوژی

جلد ۱۶ شماره ۳

سال ۱۳۹۷

(شماره پیاپی: ۵۱)

شماره: ۱۴۷۳-۲۰۰۸

نشریه علمی - پژوهشی

پژوهش‌های زراعی ایران

عنوان مقالات

- بررسی کارایی معرف تور و شاخص‌های زندگی زنوبیت‌های لوبیا (*Phaseolus vulgaris* L.) در شرایط کم آبیاری ۵۲۵
هناز الله کربوزاده سوزنچیانی - محمد شامی - محمد کافی - محمود دروغی نژادی
- مطالعه خصوصیات خاک، عملکرد و اجزای عملکرد جو (*Hordeum vulgare* L.) تحت تأثیر روش‌های مختلف خاک‌توزی و بیزان بخاپای گیاهی ۵۴۱
حمدی‌رضت کیمی - مسعود قدسی - پرویز رضوانی مقدم - مهدی نصیری محلانی - مسعود رضا جلال کمالی
- مقایسه عملکرد سه رقم تاج خروس علوفه‌ای (*Amaranthus hypochondriacus* L.) در برآحل مختلف برداشت ۵۵۷
عبدالامیر راهنمای - میر رضا صفتی - هرتیضی رضایی
- افز شرایط مختلف رطوبتی خاک و کاربرد نانو اکسید روی بر تغییرات فیتوهورموئی و کیفیت فذبهای گندم نان ۵۶۹
(*Triticum aestivum*)
امین عباسی - فریز شکاری - رامین اصفی
- مطالعه واکنش برخی ویژگی‌های فربولوژیک پرمگ ذرت دانه‌ای (*Zea mays* L.) به سطوح مختلف آب و نیتروژن ۵۸۳
روزن قبادی - مختار قبادی - سعید جلالی غرمت - بهمن فرهادی - فرزاد منصوری
- افز نظام‌های خاک‌توزی و گیاه یونشی کلزا بر خصوصیات گهی خاک، عملکرد و اجزای عملکرد آفتابگردان ۵۹۹
شیلان نده گنگی - جو لا حسنی - محسن نائل
- بررسی تغییرات فربولوژیک و عملکردی تیپ‌های مختلف یونه در سیستم کاشت ردیف‌های سیار بازیک ۶۱۵
حمدی رضا مهر آبادی
- افز محلول باشی مثانول بر عملکرد و اجزای عملکرد دو رقم کلزا (*Brassica napus* L.) در شرایط دیم ۶۲۹
کامران احمدی - مجتبی رستمی - سعید رضا حسین زاده
- پاسخ مورفولوژیک، عملکرد دانه و اسانس سه بوم گونه‌ی رازیانه به زمان‌های مختلف کاشت ۶۴۱
سیده کنایی - سید عطاء‌الله سعادت - محمد رضا مرادی تلاوت - عادل پیشتر
- تأثیر کودهای نانو کلایات آهن و متنفس بر عملکرد و اجزای عملکرد ماش تحت شرایط تنش کمبود آب ۶۵۱
پریزاده ایزدی - سید علی مسعودی - عذرمن نایروی
- مطالعه اثرات زیست‌محیطی محصولات عمده زراعی استان خراسان رضوی با استفاده از ارزیابی چرخه حیات ۶۶۵
علیرضا کوچکی - جواد رفایخنی - سرور خرم دل
- افز کاربرد خارجی مکالیسین‌بنائی بر صفات فربولوژیکی، فیتوهورموئی و عملکرد گوجه‌فرنگی ۶۸۳
(*Solanum lycopersicum*)
مریم ناظری - رضا عاصمی علی کنفر

نشریه پژوهش‌های زراعی ایران

«نشریه علمی - پژوهشی قطب علمی گیاهان زراعی و بیزه»

با شماره ثبت ۱۲۴/۷۸۵۷ از وزارت فرهنگ و ارشاد اسلامی و
۸۲/۵/۲۷

درجه علمی - پژوهشی شماره ۳/۱۱/۷۴۵۰۹ از وزارت علوم، تحقیقات و فناوری
۸۹/۱۰/۲۱

جلد ۱۶ شماره ۳ سال ۱۳۹۷

صاحب امتیاز: دانشگاه فردوسی مشهد
مدیر مسئول: پرویز رضوانی مقدم
سردیبیر: حمیدرضا خزادی

اعضای هیئت تحریریه:

استاد - فیزیولوژی گیاهان زراعی (دانشگاه شیراز)	یحیی امام
استاد - ژنتیک و اصلاح نباتات (دانشگاه فردوسی مشهد)	عبد الرحیم باقری
استاد - اکولوژی گیاهان زراعی (دانشگاه بیرجند)	محمدعلی بهدادی
استاد - مدل سازی سیستم های کشاورزی (دانشگاه فردوسی مشهد)	محمد بنایان اول
دانشیار - فیزیولوژی گیاهان زراعی (دانشگاه بیرجند)	مجید جامی الاحمدی
استاد - فیزیولوژی گیاهان زراعی (دانشگاه فردوسی مشهد)	حمیدرضا خزادی
استاد - فیزیولوژی گیاهان زراعی (دانشگاه تهران)	حمید رحیمیان مشهدی
دانشیار - فیزیولوژی گیاهان زراعی (دانشگاه بیرجند)	غلامرضا زمانی
استاد - اکولوژی گیاهان زراعی (مرکز تحقیقات کشاورزی و منابع طبیعی خراسان رضوی)	احمد زارع فیض آبادی
استاد - ژنتیک و اصلاح نباتات (دانشگاه فردوسی مشهد)	فرج الله شهریاری احمدی
استاد - فیزیولوژی گیاهان زراعی (دانشگاه فردوسی مشهد)	محمد کافی
استاد - فیزیولوژی گیاهان زراعی (دانشگاه فردوسی مشهد)	احمد نظامی
استاد - اکولوژی گیاهان زراعی (دانشگاه تهران)	داریوش مظاہری

ناشر: انتشارات دانشگاه فردوسی مشهد

چاپ: چاپخانه دانشگاه فردوسی مشهد

شمارگان: ۲۰ نسخه

نشانی: مشهد، دانشگاه فردوسی مشهد، دانشکده کشاورزی، دیرخانه نشریات علمی، نشریه پژوهش‌های زراعی ایران صندوق پستی ۹۱۷۷۵-۱۱۶۳

نماهی: ۳۸۷۸۷۴۳۰

پست الکترونیک: cesc@um.ac.ir

مقالات این شماره در سایت <https://jcesc.um.ac.ir> به صورت مقاله کامل نمایه شده است.

این نشریه در پایگاه‌های زیر نمایه می‌شود:

پایگاه استنادی جهان اسلام (ISCI) پایگاه اطلاعات علمی جهاد دانشگاهی (SID) (MAGIRAN)

بِسْمِ اللّٰهِ الرَّحْمٰنِ الرَّحِيْمِ

مندرجات

- بررسی کارایی مصرف نور و شاخص‌های رشدی ژنوتیپ‌های لوپیا (*Phaseolus vulgaris* L.) در شرایط کم‌آبیاری
هدایت الله کریم‌زاده سورشجانی - احمد نظامی - محمد کافی - محمود رضا تدین
- 525 مطالعه خصوصیات خاک، عملکرد و اجزای عملکرد جو (*Hordeum vulgare* L.) تحت تأثیر روش‌های مختلف خاک‌ورزی و میزان
541 بقایای گیاهی
همیدرضا کمیلی - مسعود قدسی - پرویز رضوانی مقدم - مهدی نصیری محلاتی - محمود رضا جلال کمالی
مقایسه عملکرد سه رقم تاج‌خرروس علوفه‌ای (*Amaranthus hypochondriacus* L.) در مراحل مختلف برداشت
557 عبدالامیر راهنمای - امیر رضا صفائی - مرتضی رضابی
اثر شرایط مختلف رطوبتی خاک و کاربرد نانو اکسیدروی بر تغییرات فیتوهورمونی و کیفیت تنذیه‌ای گندم نان (*Triticum aestivum*)
امین عباسی - فریبرز شکاری - رامین لطفی
569 مطالعه واکنش برخی ویژگی‌های فیزیولوژیک برگ ذرت دانه‌ای (*Zea mays* L.) به سطوح مختلف آب و نیتروژن
روزین قبادی - مختار قبادی - سعید جلالی هنرمند - بهمن فرهادی - فرزاد مندنی
599 اثر نظام‌های خاک‌ورزی و گیاه پوششی کلزا بر خصوصیات کیفی خاک، عملکرد و اجزای عملکرد آفت‌تابگردان
شیلان فعله گری - جواد حمزه‌نی - محسن نائل
615 بررسی تغییرات موفرولوژیک و عملکردی تیپ‌های مختلف پنبه در سیستم کاشت ردیف‌های بسیار باریک
حمید رضا مهرآبادی
629 اثر محلول‌پاشی متابول بر عملکرد و اجزای عملکرد دو رقم کلزا (*Brassica napus* L.) در شرایط دیم
کامران احمدی - مجید رستمی - سعید رضا حسین زاده
641 پاسخ موفرولوژیک، عملکرد دانه و انسانس سه بوم‌گونه‌ی رازیانه به زمان‌های مختلف کاشت
سمانه کیانی - سید عطاء‌الله سیادت - محمود رضا مرادی تلاوت - عادل پشتدار
651 تأثیر کودهای نانو کلات آهن و مanganese بر عملکرد و اجزای عملکرد ماش تحت شرایط تنش کمبود آب
بزدان ایزدی - سید علی محمد مدرس ثانوی
665 مطالعه اثرات زیست‌محیطی محصولات عمده زراعی استان خراسان رضوی با استفاده از ارزیابی چرخه حیات
علیرضا کوچکی - جواد وفابخش - سرور خرم دل
683 اثر کاربرد خارجی گلایسین بتائین بر صفات فیزیولوژیکی، فنولوژیکی و عملکرد گوجه‌فرنگی (*Solanum lycopersicum*) در شرایط
بدون تنش
مریم تاتاری - رضا عباسی علی کمر



بررسی کارایی مصرف نور و شاخص‌های رشدی ژنوتیپ‌های لوبیا (*Phaseolus vulgaris* L.) در شرایط کم‌آبیاری

هدایت الله کریم‌زاده سورشجانی^۱ - احمد نظامی^{۲*} - محمد کافی^۳ - محمود رضا تدین^۴

تاریخ دریافت: ۱۳۹۴/۱۱/۱۲

تاریخ پذیرش: ۱۳۹۶/۰۱/۳۰

چکیده

حدود ۹۰ درصد از مساحت ایران در نواحی خشک و نیمه‌خشک قرار دارد که در این مناطق بروز تنفس خشکی در دوره رشد گیاهان و از جمله لوبیا امری اجتناب‌ناپذیر است. به منظور بررسی اثر کم‌آبیاری بر ژنوتیپ‌های لوبیا چیتی، آزمایشی به صورت کرت‌های خرد شده در قالب طرح بلوک‌های کامل تصادفی با سه تکرار طی سال ۱۳۹۳ در مزرعه تحقیقاتی دانشکده کشاورزی دانشگاه شهرکرد اجرا شد. عامل اصلی رژیم آبیاری (سه سطح: تأثین ۱۰۰، ۸۰ و ۶۰ درصد نیاز آبی گیاه) و عامل فرعی پنج ژنوتیپ لوبیا چیتی (صدری، C.O.S.16، KS21193، KS21486، لاین تیلور و LAI)، دوام سطح برگ (LAD)، سرعت رشد نسبی (CGR)، سرعت رشد نسبی (RGR)، سرعت آسمیلاسیون خالص (NAR) و کارایی مصرف نور (RUE)، تحت تأثیر آبیاری متفاوت بود. بیشترین کارایی مصرف نور از ژنوتیپ KS21486 در شرایط تأثین ۸۰ درصد نیاز آبی به دست آمد (۳/۲۱ گرم بر مگاژول). کاهش آب مصرفی، کارایی مصرف نور ژنوتیپ‌ها مورد بررسی را تعییر داد؛ ولی تعییرات در ژنوتیپ‌ها متغیر بود؛ به نحوی که با کاهش میزان آب مصرفی به ۸۰ درصد نیاز آبی گیاه، کارایی مصرف نور ژنوتیپ‌های تیلور، صدری و C.O.S.16 نسبت به شرایط تأثین ۱۰۰ درصد نیاز آبی کاهش یافت و کارایی مصرف نور ژنوتیپ‌های KS21486 و KS21193 نسبت به شرایط تأثین ۱۰۰ درصد نیاز آبی افزایش یافت. در شرایط تأثین ۶۰ درصد نیاز آبی کارایی مصرف نور همه ژنوتیپ‌ها، نسبت به شرایط تأثین ۱۰۰ درصد کاهش یافت؛ ولی شدت کاهش یکسان نبود، به نحوی که بیشترین و کمترین درصد کاهش کارایی مصرف نور به ترتیب در ژنوتیپ‌های C.O.S.16 و صدری مشاهده شد. در شرایط تأثین ۱۰۰ نیاز آبی، افزایش شاخص رشد محصول در ژنوتیپ C.O.S.16 زودتر و با شتاب بیشتری از سایر ژنوتیپ‌ها بود و از نظر حداقل این شاخص نیز از سایر ژنوتیپ‌ها برتر بود. بیشینه سرعت آسمیلاسیون خالص و سرعت رشد نسبی، در شرایط تأثین ۱۰۰ نیاز آبی در ژنوتیپ C.O.S.16 مشاهده شد و در شرایط تأثین ۸۰ و ۶۰ درصد نیاز آبی بیشینه میزان سرعت آسمیلاسیون خالص و سرعت رشد نسبی را ژنوتیپ KS21486 داشت. دوام سطح برگ و شاخص سطح برگ بیشترین همبستگی مثبت و معنی دار را با عملکرد نشان دادند؛ بنابراین شاخص‌های مناسی جهت تخمین عملکرد دانه در شرایط رطوبتی مختلف هستند.

واژه‌های کلیدی: سرعت آسمیلاسیون خالص، سرعت رشد گیاه، شاخص سطح برگ

مقدمه

[FAO, 2015]. همچنین ۱۴/۹ درصد اراضی تحت کشت حبوبات و ۳۷/۶ درصد تولید سالانه حبوبات کشور متعلق به لوبیا می‌باشد (Agricultural statistics, 2013) که این بین لوبیا چیتی یکی از مهم‌ترین انواع لوبیا است که در ایران جایگاه ویژه‌ای را به خود اختصاص داده است (Lak *et al.*, 2009). از طرفی حدود ۹۰ درصد از مساحت ایران در نواحی خشک و نیمه‌خشک قرار دارد (FAO, 2010) که در این مناطق بروز تنفس خشکی در دوره رشد گیاهان و از جمله لوبیا امری اجتناب‌ناپذیر است. در شرایط کنونی محدودیت منابع آب، صرفه‌جویی در این منابع به ویژه در بخش کشاورزی، به شدت

میزان تولید لوبیا خشک (*Phaseolus vulgaris* L.) در ایران ۲۵۳ هزار تن با متوسط عملکرد ۲۳۰۰ کیلوگرم در هکتار می‌باشد

- دانشجوی دکتری فیزیولوژی گیاهان زراعی، دانشگاه فردوسی مشهد

- استاد، گروه زراعت، دانشکده کشاورزی، دانشگاه فردوسی مشهد

- استاد، گروه زراعت، دانشکده کشاورزی، دانشگاه فردوسی مشهد

- دانشیار، گروه زراعت، دانشگاه شهرکرد

- نویسنده مسئول: (Email: nezami@um.ac.ir)

DOI: 10.22067/gsc.v16i3.53523

آبیاری تا مرحله تکمده‌دهی به ترتیب، بیشترین و کمترین میزان تولید ماده خشک را دارا بودند. همچنین مشخص شد با قطع آبیاری، سرعت رشد گیاه به شدت کاهش یافت (*Mossavifar et al.*, 2010). با توجه به محدودیت منابع آبی در کشور و اهمیت لویبا در تأمین غذای انسان، پژوهش حاضر به منظور بررسی اثر کم‌آبیاری بر شاخص‌های رشدی ژنتیک‌های لویبا اجرا شد.

مواد و روش‌ها

به منظور بررسی اثر کم‌آبیاری بر ژنتیک‌های لویبا چیتی، آزمایشی به صورت کرت‌های خرد شده در قالب طرح پایه بلوک‌های کامل تصادفی با سه تکرار طی سال ۱۳۹۳ در مزرعه تحقیقاتی دانشکده کشاورزی دانشگاه شهرکرد اجرا شد. عامل اصلی رژیم آبیاری در سه سطح (تأمین ۱۰۰، ۸۰ و ۶۰ درصد نیاز آبی گیاه) و عامل فرعی پنج ژنتیک‌لوبیا چیتی (صدری، C.O.S.16، KS21193، لاین تیلور و KS21486) در نظر گرفته شدند. بعد از شخم و دیسک زدن زمین، پشت‌هایی به فاصله ۵۰ سانتی‌متر ایجاد شد. بدور پس از ضدغونی با قارچ‌کش بنومیل (دو در هزار) با تراکم ۳۰ بوته در متر مربع کشت شدند. اندازه هر کرت ۷/۵ متر مربع (۳×۲/۵ متر) بود. نتایج آزمون خاک در جدول ۱ نشان داده شده است. بر اساس توصیه کودی مقدار ۱۰۰ کیلوگرم نیتروژن از منبع اوره در سه نوبت (۴۰ کیلوگرم قبل از کاشت، ۳۰ کیلوگرم در زمان باز شدن برگ‌های اولیه (V2) و ۳۰ کیلوگرم در زمان باز شدن سومین برگ سه برگچه‌ای (V4) در اختیار گیاه قرار گرفت.

با نمونه‌برداری از خاک مزرعه (در ۱۰ نقطه تصادفی در مزرعه) و محاسبه رطوبت وزنی خاک در نقطه ظرفیت زراعی ($\theta_{m_{FC}}$) و نقطه پژمردگی دائم ($\theta_{m_{PWP}}$) و اندازه‌گیری جرم مخصوص ظاهری خاک (p_b) و در نظر گرفتن عمق توسعه ریشه (Z)، میزان آب قابل دسترس (AW) برای گیاه محاسبه شد (*Munoz-Perea et al.*, 2007). در واقع با اندازه‌گیری‌های فوق میزان آب قابل دسترس برای گیاه محاسبه شده و با استفاده از روش پنمن-مانتیث برداشت روزانه از این رطوبت قابل استفاده محاسبه شد. پس از کشت، آبیاری برای کلیه تیمارها به صورت یکسان و بر مبنای نیاز آبی محاسبه شده به وسیله روش پنمن-مانتیث اصلاح شده توسط فائو، صورت گرفت. تیمارهای آبیاری همزمان با شروع مرحله V4 (باز شدن سومین برگ سه برگچه‌ای) اعمال شد و تا پایان فصل رشد ادامه داشت، بدین نحو که میزان آب مورد نیاز گیاه محاسبه (بر اساس ۶۰ درصد تخلیه رطوبتی آب قابل دسترس برای گیاه) شد و ۱۰۰٪ میزان محاسبه شده در اختیار تیمار تأمین ۱۰۰٪ نیاز آبی، ۸۰٪ و ۶۰٪ میزان محاسبه شده به ترتیب در اختیار تیمار تأمین ۸۰٪ و ۶۰٪ نیاز آبی گیاه، قرار گرفت.

ضروری می‌نماید. یکی از روش‌های صرفه‌جویی در مصرف آب در بخش کشاورزی، کم‌آبیاری می‌باشد. کم‌آبیاری که به معنای تأمین آب در مقادیر زیر حد بهینه مورد نیاز گیاه، می‌باشد؛ باعث بروز واکنش‌های متعددی نیز در گیاهان می‌گردد (*Wakrim et al.*, 2005). عمدها در شرایط کم‌آبیاری رشد گیاه مختل می‌گردد؛ همچنین در این شرایط هدایت روزنامه‌ای و رشد برگ کاهش می‌یابد و همچنین ژنتیک‌های متحمل به کم‌آبیاری را پیدا کرد، می‌توان به حفظ منابع آب کمک کرد.

جهت تفسیر اثرات عوامل تولید بر عملکرد نهایی لازم است که روند تجمع ماده خشک در گیاه بررسی شود. تجزیه و تحلیل کمی رشد، روشی مناسب برای توجیه و تفسیر واکنش‌های گیاه نسبت به شرایط محیطی مختلف (که گیاه در طول دوره حیات خود با آنها مواجه می‌گردد) می‌باشد. به کمک این روش، شناخت بهتری از چگونگی انتقال مواد ساخته شده فتوسنتزی به اندام‌های مختلف و انباست آنها از طریق اندازه‌گیری ماده خشک تولید شده در طول *Ghasemi-Golozani et al.*, 1997; *Ghassemi-golozani et al.*, 2009; *Koller et al.*, 1997; *Koller et al.*, 1980).

تجمع ماده خشک در لویبا با افزایش شدت تنش رطوبتی، کاهش می‌یابد و تحت چنین شرایطی، بین ماده خشک تولیدی در گیاه و تبخیر و تعرق رابطه خطی وجود دارد (*Rabinson*, 1983). در بررسی هفت ژنتیک‌لوبیا در شرایط تنش کمبود آب مشخص شد، شاخص سطح برگ، سرعت رشد گیاه و وزن خشک شاخصاره در اثر کمبود آب کاهش یافت (*Ghanbari et al.*, 2014). در مطالعه‌ای روی سویا در شرایط آبیاری مختلف مشخص شد، کاهش آب مصرفی، شاخص سطح برگ، سرعت رشد گیاه و روند افزایش ماده خشک را کاهش داد (*Yazdani et al.*, 2007). بررسی ژنتیک‌های برنج مشخص کرد، بین سرعت رشد گیاه در حدفاصل بین پنجه‌زنی تا شروع آغازش خوش، دو هفته قبل از ظهرور خوش تا ظهرور کامل خوش و همچنین دو هفته پس از ظهرور خوش تا رسیدگی، با عملکرد دانه، همبستگی مثبت وجود داشت (*Takai et al.*, 2006). در بررسی انجام شده روی کلزا (*Brasica napus* L.) در شرایط تنش رطوبتی مشخص شد، بیشترین میزان شاخص سطح برگ، دوام سطح برگ و تجمع زیست‌توده در شرایط بدون تنش خشکی به دست آمد. در این پژوهش بیشترین کاهش شاخص‌های مذکور نسبت به شرایط بدون تنش، در تیمار قطع آبیاری حین گله‌دهی و همچنین قطع آبیاری در مرحله رشد رویشی مشاهده شد (*Tesfamariam et al.*, 2010). مطالعه ژنتیک‌های گلنگ در شرایط تیمارهای مختلف قطع آبیاری نشان داد با افزایش مدت زمان قطع آبیاری، کاهش معنی‌داری در وزن خشک اندام هوایی رخ داد. در این پژوهش تیمار آبیاری کامل و

جدول ۱- خصوصیات فیزیکی و شیمیایی خاک محل آزمایش
Table 1- Physical and chemical properties of soil

Cu	Fe	Mn	آهن	مس	نیتروژن	فسفر	P	پتاسیم	K	روی	منگنز	Zn	N	کربن آلی Organic carbon	pH	هدایت الکتریکی EC (dS.m ⁻¹)
					g.kg ⁻¹								%			
0.88	3.29	8.11	0.55	306	33.2	0.152	1.12							7.71	0.512	
ماسه		سیلت			شن								جرم مخصوص ظاهری		رطوبت خاک	
Clay		Silt			Sand								Bulk density		Soil moisture (%)	
		%											g.cm ⁻³		ظرفیت زراعی PWP پزمردگی دائم FC	
34.5		35.5			30.0								1.5	0.13	0.25	

برای تعیین کارایی مصرف نور از مقادیر تشعشع و روودی محاسبه شده از داده‌های هواشناسی استفاده گردید.

(۴)

$$LAI = a + b \times 4 \left(\frac{\exp(t - c)}{d} \right) / \left(I + \frac{\exp(-t - c)}{d} \right)^2$$

ضرایب معادله، t زمان، I مقادیر تشعشع و روودی روزانه.

مقادیر تشعشع و روودی روزانه برای شهرکرد محاسبه شد. سپس این مقادیر بر اساس تعداد ساعت‌های آفتابی (تهیه شده از ایستگاه هواشناسی شهرکرد) بر اساس معادله آنگستروم تصحیح شد. مقادیر A و B برای شهرکرد به ترتیب ۰/۳۰ و ۰/۴۲ در نظر گرفته شد (Khalili and Rezaei Sadr, 1997)

$$\frac{I}{I_0} = A + B \left(\frac{n}{N} \right) \quad (5)$$

I₀ میزان تابش و روودی روزانه، I میزان تابش روزانه بالای سایه‌انداز با توجه به ساعت‌های آفتابی، n تعداد ساعت‌های آفتابی در روز، N طول روز.

با داشتن شاخص سطح برگ روزانه (LAI_t) و تشعشع و روودی روزانه (I₀، مقادیر تشعشع روزانه جذب شده روزانه (L_{abs}) توسط گیاه بر حسب مگازول در متر مربع در روز برای هر رقم و در هر سطح تنش خشکی با استفاده از معادله زیر محاسبه شد.

$$L_{abs} = I_0 (1 - e^{-(k \times LAI_t)}) \quad (6)$$

I_{abs}: مقدار تابش جذب شده، LAIt: شاخص سطح برگ روزانه

K: ضریب خاموشی، e: پایه لگاریتم طبیعی

$$GDD = \sum [(T_{max} + T_{min})/2 - T_b] \quad (7)$$

T_{max}: دمای حداکثر، T_{min}: دمای حداقل، Tb: دمای پایه کارایی مصرف نور به عنوان شیب رگرسیون خطی بین ماده خشک تجمعی و میزان نور جذب شده تجمعی بدست آمد (Goldani et al., 2007, 2011; Vafabakhsh et al., 2009 درجه روزهای رشد از معادله ۷ استفاده شد. در این بررسی دمای پایه ۱۰ درجه سانتی‌گراد در نظر گرفته شد و دمای بالاتر از ۳۰ و کمتر

جهت اندازه‌گیری آنالیزهای رشد، پس از استقرار کامل گیاه (حدود ۳۰ روز پس از کاشت) با فواصل یک هفته، از هر کرت نمونه برداری شد. در هر مرحله چهار بوته به طور تصادفی انتخاب و به بخش‌های، ساقه، برگ و دانه (پس از ورود گیاه به مرحله زایشی) تفکیک شد. سپس سطح برگ نمونه‌ها اندازه‌گیری شد و پس از قراردادن نمونه‌ها در آون با دمای ۷۰ درجه سانتی‌گراد به مدت ۴۸ ساعت، وزن هر بخش توزین شد و با استفاده از روابط زیر شاخص سطح برگ (LAI)، و دوام سطح برگ (LAD) محاسبه گردید.

$$LAI = LA/GA \quad (1)$$

$$LAD = (T_f - T_p) \frac{LA_f + LA_p}{2} \quad (2)$$

$$NAR = CGR/LAI \quad (3)$$

DWF وزن خشک نهایی، DW_f وزن خشک در مرحله قبل، LA_f سطح برگ نهایی، LA_p سطح برگ در مرحله قبل، Tf زمان مرحله نهایی، T_p زمان مرحله قبل، GA سطح زمین اشغال شده توسط گیاه، LN پایه لگاریتم با مبنای طبیعی.

برای محاسبه سرعت رشد گیاه (CGR) از روش مشتق‌گیری از معادله روند تجمع ماده خشک و برای محاسبه سرعت رشد نسبی (RGR) نیز از مشتق معادله سرعت رشد استفاده شد (Gardner et al., 1985). همچنین به منظور اندازه‌گیری دوام سطح برگ از معادله ۲ استفاده شد و در نهایت از میانگین کل مراحل اندازه‌گیری شده جهت ترسیم نمودار استفاده شد.

جهت اندازه‌گیری کارایی استفاده از تشعشع، در فواصل معین، میزان نور بالا و پایین کانوپی توسط دستگاه Sunscan همزمان با نمونه برداری‌های سطح برگ و ماده خشک اندازه‌گیری شد. از طریق این اندازه‌گیری‌ها مقادیر ضریب خاموشی به دست آمد. سپس برای تعیین کارایی مصرف تابش از تمام مراحل اندازه‌گیری ضریب خاموشی میانگین گیری شد و از میانگین برای کل فصل رشد استفاده شد. مقادیر شاخص سطح برگ روزانه با برآش تابع لجستیک پیک به مقادیر شاخص سطح برگ اندازه‌گیری شده تعیین شد (Vafabakhsh et al., 2009; Goldani et al., 2007, 2011 لازم به ذکر است

رشد) با سایر ژنوتیپ‌ها مشابه شد. در شرایط تأمین ۸۰ درصد نیاز آبی ژنوتیپ‌های C.O.S.16 و KS21193 بیشترین میزان و آهنگ تجمع وزن خشک برگ را داشتند، اما در شرایط تأمین ۶۰ درصد نیاز آبی، همه ژنوتیپ‌ها به جز C.O.S.16 (با پایین‌ترین میزان و آهنگ تجمع وزن خشک برگ) از نظر روند تغییرات وزن خشک برگ، تقریباً مشابه بودند (شکل ۱). در شرایط بهینه آبی، شرایط برای تقسیم سلولی و توسعه سلول‌های برگ مهیا است، بنابراین گیاه سطح و وزن برگ را افزایش داده تا حداکثر جذب نور و تولید ماده خشک را داشته باشد، با افزایش شدن عمر گیاه و پیشروی فرآیند پیری، برگ‌ها کم کم خشک شده و ماده خشک برگ در واحد سطح روند کاهشی نشان می‌دهد. در صورت بروز تنفس خشکی توسعه سلولی کاهش یافته و سطح و وزن برگ نیز متعاقب آن کاهش می‌یابد.

در هر سه سطح آبیاری، در مراحل ابتدایی وزن خشک دانه در ژنوتیپ KS21486 با شتاب بیشتری نسبت به سایر ژنوتیپ‌ها افزایش داشت، ولی در نهایت بیشترین وزن دانه را در هر سه رژیم آبیاری ژنوتیپ تیلور و پس از آن ژنوتیپ KS21193 داشت (شکل ۲). قابل ذکر است ژنوتیپ C.O.S.16 در شرایط تأمین ۶۰ درصد نیاز آبی گیاه، وارد فاز زایشی نشد و دانه‌ای تولید نکرد، همچنین این ژنوتیپ نسبت به سایر ژنوتیپ‌ها در شرایط رطوبتی تأمین ۱۰۰ و ۸۰ درصد نیاز آبی، دیرتر شروع به تولید دانه و افزایش وزن خشک دانه کرد (شکل ۲). همانطور که در شکل ۱ و شکل ۲ مشخص است وزن خشک شاسخاره و برگ تا حدود ۸۰۰ الی ۶۰۰ درجه روز رشد افزایش داشته است و پس از آن کاهش یافته، در صورتی که وزن دانه در این زمان شروع به افزایش داشته است. به نظر می‌رسد که با تشکیل دانه‌ها، مقصد مواد فتوسترنی به سمت اجزا زایشی منتقل شده و تخصیص مواد به دانه‌ها افزایش داشته است. در واقع افزایش وزن دانه جبران کننده کاهش وزن خشک شاسخاره و برگ شده به نحوی که در نهایت وزن ماده خشک روند افزایشی خود را حفظ می‌کند.

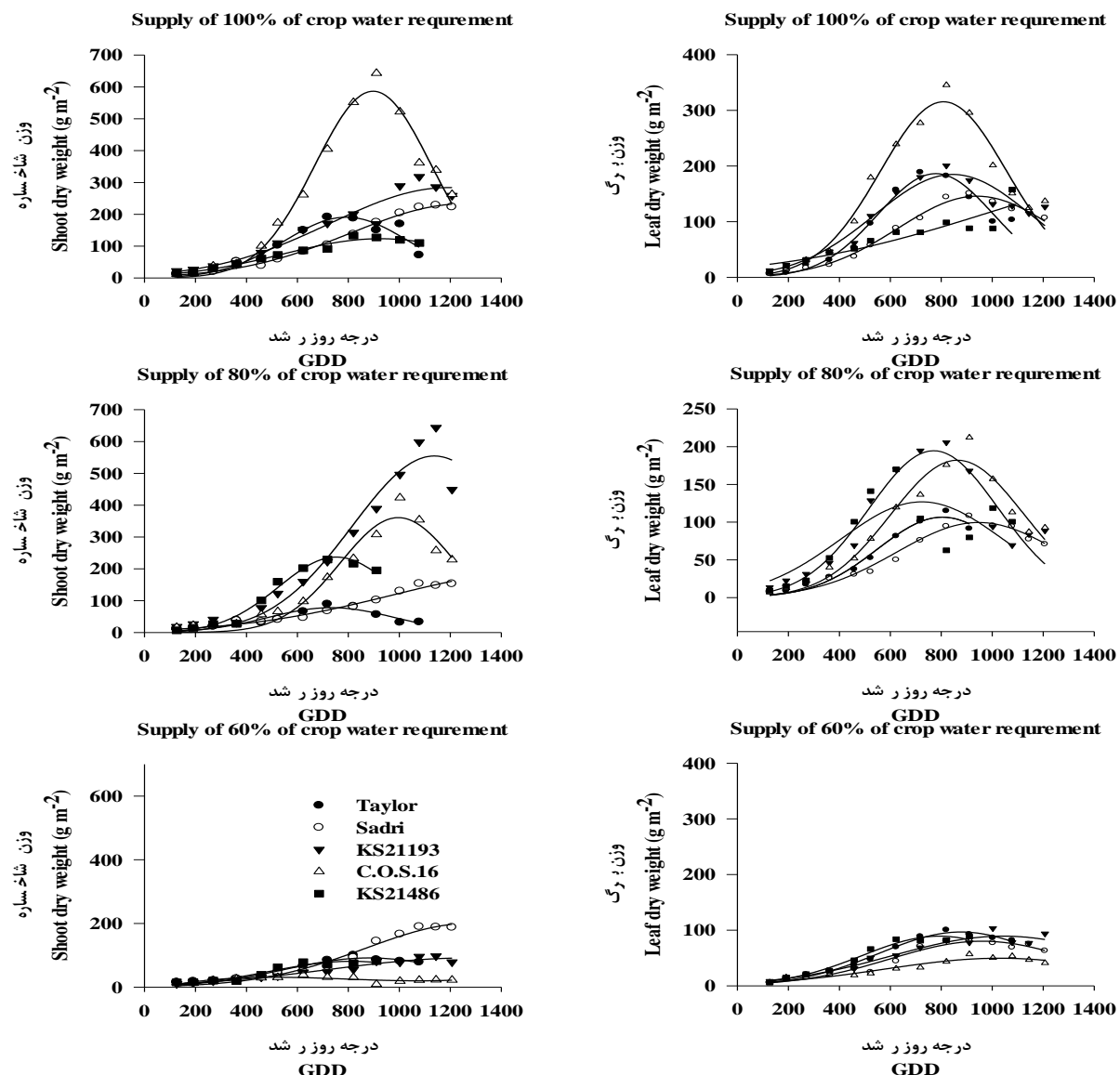
هرچند روند تغییرات شاخص سطح برگ ژنوتیپ‌های لوبيا تحت تأثیر آبیاری به صورت سیگموئیدی بود، ولی کم‌آبیاری سرعت رشد شاخص سطح برگ را در دو تیمار تأمین ۸۰ و ۶۰ درصد نیاز آبی نسبت به تأمین ۱۰۰ درصد آن کاهش داد و در اواخر فصل رشد گیاه، این تفاوت زیادتر شد. حداکثر شاخص سطح برگ در شرایط تأمین ۱۰۰، ۸۰ و ۶۰ درصد نیاز آبی به ترتیب $\frac{3}{1}$ ، $\frac{2}{1}$ و $\frac{1}{5}$ بود. تأثیر کاهش میزان آب آبیاری بر کاهش میزان و آهنگ افزایش شاخص سطح برگ بسته به ژنوتیپ متفاوت بود. در شرایط تأمین ۱۰۰ درصد نیاز آبی بیشترین میزان و همچنین بیشینه آهنگ تجمع شاخص سطح برگ در ژنوتیپ صدری مشاهده شد. قابل ذکر است ژنوتیپ صدری دارای تیپ رشدی نامحدود است.

از ۱۰ درجه سانتی‌گراد به ترتیب ۳۰ و ۱۰ منظور گردید (Stagnari and Pisante, 2011) (andpisante.com). در نهایت داده‌ها با استفاده از نرم‌افزار SPSS تجزیه و تحلیل شد.

نتایج و بحث

روند تجمع ماده خشک ژنوتیپ‌های لوبيا به صورت سیگموئیدی بود (شکل ۱) و کاهش میزان آب آبیاری باعث تنزل تجمع ماده خشک (هم از نظر میزان ماده خشک و هم از نظر آهنگ تجمع ماده خشک) شد. با وجود این روند مذکور بسته به ژنوتیپ متفاوت بود، به نحوی که در شرایط تأمین ۱۰۰ درصد نیاز آبی، ژنوتیپ C.O.S.16 از نظر روند تجمع ماده خشک نسبت به سایر ژنوتیپ‌ها برتری داشت و برترین ژنوتیپ از این نظر در شرایط تأمین ۸۰ و ۶۰ درصد نیاز آبی به ترتیب ژنوتیپ‌های KS21193 و KS21486 بودند (شکل ۱). روند افزایش وزن خشک شاسخاره ی ژنوتیپ‌های لوبيا نیز تحت تأثیر رژیم رطوبتی قرار گرفت. در شرایط تأمین ۱۰۰ درصد نیاز آبی، وزن شاسخاره در ژنوتیپ C.O.S.16 با شتاب بسیار بیشتری نسبت به سایر ژنوتیپ‌ها افزایش یافت، این در حالی است که در شرایط تأمین ۸۰ درصد نیاز آبی، ژنوتیپ KS21193 آهنگ تجمع وزن شاسخاره بیشتری داشت. در شرایط تأمین ۶۰ درصد نیاز آبی، تا اواسط دوره رشد همه ارقام از این نظر روندی نسبتاً مشابه داشتند، ولی بعد از آن وزن شاسخاره در رقم صدری افزایشی بود، در حالی که سایر ژنوتیپ‌ها روند تقریباً تابتی داشتند (شکل ۱). در اغلب گیاهان زراعی روند تجمع ماده خشک در طول فصل رشد به صورت سیگموئیدی است، بدین صورت که در ابتدای رشد، سرعت تجمع ماده خشک، کم و تدریجی است و با گذشت زمان و افزایش شاخ و برگ، میزان فتوسترن افزایش پیدا کرده و شیب تجمع ماده خشک، شدت بیشتری پیدا می‌کند به طوری که در نقطه‌ای از منحنی به حداکثر خود می‌رسد و بعد از آن به دلیل افزایش سن و پیری برگ‌ها از مقدار ماده خشک کاسته شده و در نهایت متوقف می‌شود (Gardner et al., 1985). کاهش تجمع ماده خشک در شرایط تنش به دلیل کمبود آب و بسته شدن روزنه‌ها و در نتیجه کاهش قتوسترن و نیز افزایش دمای برگ می‌باشد (Orcut et al., 2000) (Iramki et al., 2009) (and Nilsen, 2009) در شرایط تنفس خشکی را کاهش سطح برگ دانستند که باعث کاهش دریافت نور و میزان فتوسترن می‌شود.

در شرایط تأمین ۱۰۰ درصد نیاز آبی، بیشترین میزان و همچنین C.O.S.16 بیشترین آهنگ تجمع وزن خشک برگ در ژنوتیپ مشاهده شد. بدین صورت که از حدود ۴۰۰ درجه روز رشد به بعد با شدت افزایش یافت و در ۹۰۰ درجه روز رشد به حداکثر رسید و پس از آن با شدت افت کرد و در اوخر فصل رشد (حدود ۱۲۰۰ درجه روز

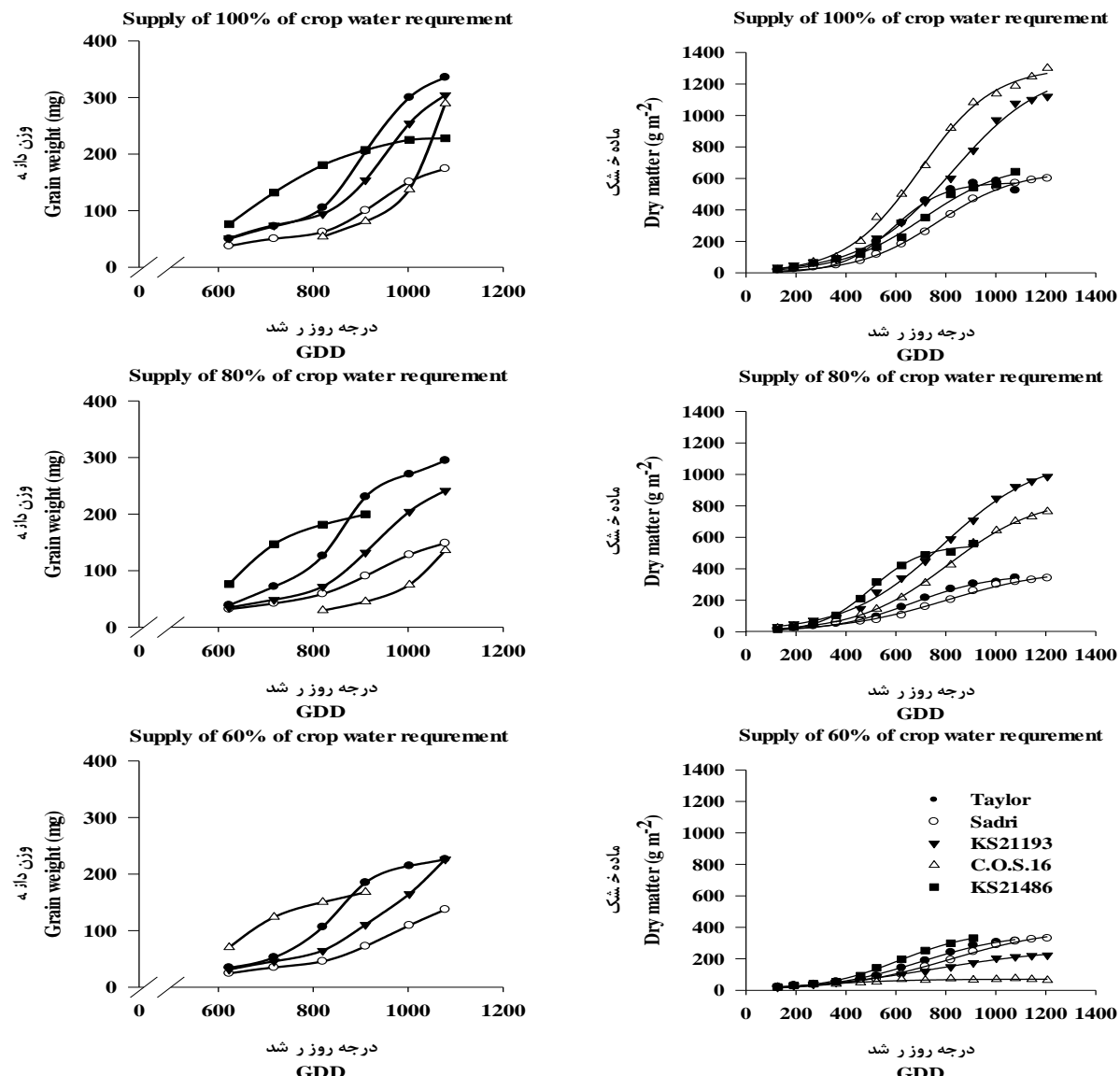


شکل ۱- روند تغییرات وزن خشک شاخصاره و برگ در ژنوتیپ‌های لوبيا چیتی تحت تأثیر رژیم‌های آبیاری

Figure 1- Effect of Irrigation regimes on shoot and leaf dry weigh of bean genotypes

برگ، کمتر تحت تأثیر کم‌آبیاری قرار گرفته باشد. خشکی باعث کاهش سطح برگ می‌شود که این وضعیت به دلیل پژمردگی و جمع شدن پهنه‌ک در شرایط تنفس شدید و در نهایت پیری زودرس برگ‌های گیاه می‌باشد (Earl *et al.*, 2003). در شرایط تنفس شدید سرعت توسعه برگ افت کرده و رشد برگ ممکن است متوقف شود. همچنان، تنش خشکی شاخص سطح برگ را با کاهش آغازش برگ‌های جدید تحت تأثیر قرار می‌دهد (Prasad *et al.*, 2008). تدول تنفس خشکی پیری برگ را سرعت می‌بخشد (Souza *et al.*, 1997) و به مرگ بافت برگ و ریزش آن به ویژه برگ‌های قدیمی و رسیده منجر می‌شود.

در شرایط تأمین ۸۰ درصد نیاز آبی، تفاوت بین ژنوتیپ‌ها از نظر روند تغییرات شاخص سطح برگ، نسبت به شرایط تأمین ۱۰۰ درصد نیاز آبی کمتر بود، اگرچه در این شرایط بیشترین میزان و همچنین بیشترین شتاب افزایش شاخص سطح برگ در ژنوتیپ C.O.S.16 رخ داد. در شرایط تأمین ۶۰ درصد نیاز آبی بیشترین و کمترین میزان و آهنگ تجمع شاخص یرگ به ترتیب در ژنوتیپ‌های صدری و C.O.S.16 مشاهده شد (شکل ۲). همچنان در شرایط تأمین ۶۰ درصد نیاز آبی، کمترین کاهش شاخص سطح برگ در ژنوتیپ KS21486 و بیشترین کاهش در ژنوتیپ C.O.S.16 نسبت به تیمار تأمین ۱۰۰ درصد نیاز آبی، مشاهده شد. به نظر می‌رسد ژنوتیپ KS21486 به دلیل زودرس تر بودن نسبت به سایر ژنوتیپ‌ها، از نظر شاخص سطح



شکل ۲- روند تغییرات وزن خشک دانه و ماده خشک تولیدی ژنتیپ‌های لوبیا چیتی تحت تأثیر رژیم‌های آبیاری

Figure 2- Effect of Irrigation regimes on grain weight and dry matter of bean genotypes

بررسی را تغییر داد ولی تغییرات در ژنتیپ‌ها متغیر بود، به نحوی که با کاهش میزان آب مصرفی به ۸۰ درصد نیاز آبی گیاه، کارایی مصرف نور ژنتیپ‌های تیلور، صدری و C.O.S.16 به ترتیب ۳۹/۷، ۱۵/۹ و ۲۵/۵ درصد نسبت به شرایط تأمین ۱۰۰ درصد نیاز آبی کاهش یافت و این در حالی است که در این شرایط رطوبتی، کارایی مصرف نور ژنتیپ‌های KS21193 و KS21486 به ترتیب ۱۱/۷ و ۵۰/۰ درصد نسبت به شرایط تأمین ۱۰۰ درصد نیاز آبی افزایش یافت. در شرایط تأمین ۶۰ درصد نیاز آبی کارایی مصرف نور همه ژنتیپ‌ها، نسبت به شرایط تأمین ۱۰۰ درصد نیاز آبی کاهش یافت ولی شدت کاهش یکسان نبود، به نحوی که بیشترین و کمترین درصد کاهش

نتایج نشان داد در همه شرایط آبیاری و همه ژنتیپ‌ها با افزایش نور جذب شده، ماده خشک تولیدی روند افزایشی نشان می‌دهد (شکل ۳). شب خطوط نمودار ماده خشک تولیدی در برابر نور جذب شده تجمعی (شکل ۳ و جدول ۲) بیانگر کارایی مصرف نور می‌باشد که در ژنتیپ‌های مورد بررسی متفاوت است. بیشترین کارایی مصرف نور از ژنتیپ KS21486 در شرایط تأمین ۸۰ درصد نیاز آبی به دست آمد (۳/۲۱ گرم بر مگازول). در شرایط تأمین ۱۰۰ درصد نیاز آبی بیشترین و کمترین کارایی مصرف نور به ترتیب در ژنتیپ‌های C.O.S.16 (۲/۷۸ گرم بر مگازول) و صدری (۱/۱۳ گرم بر مگازول) مشاهده شد. کاهش آب مصرفی، کارایی مصرف نور ژنتیپ‌های مورد

(*et al.*, 2002) نیز گزارش کردند کارایی مصرف نور با توزیع بهتر تشعشع فعال فتوستنتزی در کانوبی گیاه تحت شرایط تنفس خشکی افزایش می‌یابد و تأثیر تنفس خشکی بر کاهش عملکرد از طریق کاهش سطح برگ و تسريع پیری برگ‌ها بسیار مهمتر از تأثیر گذاری آن بر فتوستنتز می‌باشد. در آزمایش حاضر نیز همانطور که از شکل‌های ۱، ۲ و ۳ مشخص است، ژنوتیپ KS21486 در شرایط تأمین ۸۰ و ۶۰ درصد نیاز آبی نسبت به سایر ژنوتیپ‌ها از نظر وزن برگ و شاخصاره، ماده خشک و همچنین شاخص سطح برگ برتی داشت. این بدان معنی است که در این ژنوتیپ در شرایط محدودیت آب، رشد و توسعه سطح برگ در مقایسه با سایر ژنوتیپ‌ها کمتر کاهش یافته است و از این رونق مقدار نور بیشتری جذب کرده و ماده خشک بیشتری نیز در ازای نور دریافتی تولید کرده است.

کارایی مصرف نور به ترتیب در ژنوتیپ‌های C.O.S.16 (۹۲/۸٪) و صدری (۳/۵٪) مشاهده شد. همچنین در شرایط تأمین ۶۰ درصد نیاز آبی، بیشترین کارایی مصرف نور در ژنوتیپ KS21486 (۱/۹٪) بروگازول مشاهده شد.

پژوهشگران گزارش کردند کارایی مصرف نور توسط گیاهان تحت شرایط تنفس خشکی معمولاً کاهش می‌یابد، به عنوان مثال تنفس خشکی باعث کاهش کارایی استفاده از نور توسط بادام زمینی (Hamzei and Soltani, 2012) و کلزا (Ricardo *et al.*, 2008) شده است. در واقع هم میزان نور جذب شده و هم ماده خشک تولیدی در اثر تنفس خشکی کاهش می‌یابد. در شرایط تنفس خشکی، کاهش آب در دسترس باعث کاهش رشد سلولی و به دنبال آن کاهش شاخص سطح برگ می‌گردد، هرچه نسبت ماده خشک تولیدی به نور جذب شده کمتر باشد، کارایی مصرف نور کمتر خواهد شد (Araus and Niknezhad, 2004).

جدول ۲- معادلات رگرسیون خطوط کارایی مصرف نور ژنوتیپ‌های لوبيا در شرایط آبیاری مختلف
Table 2- Regression equations of RUE in pinto bean genotypes under different irrigation regimes

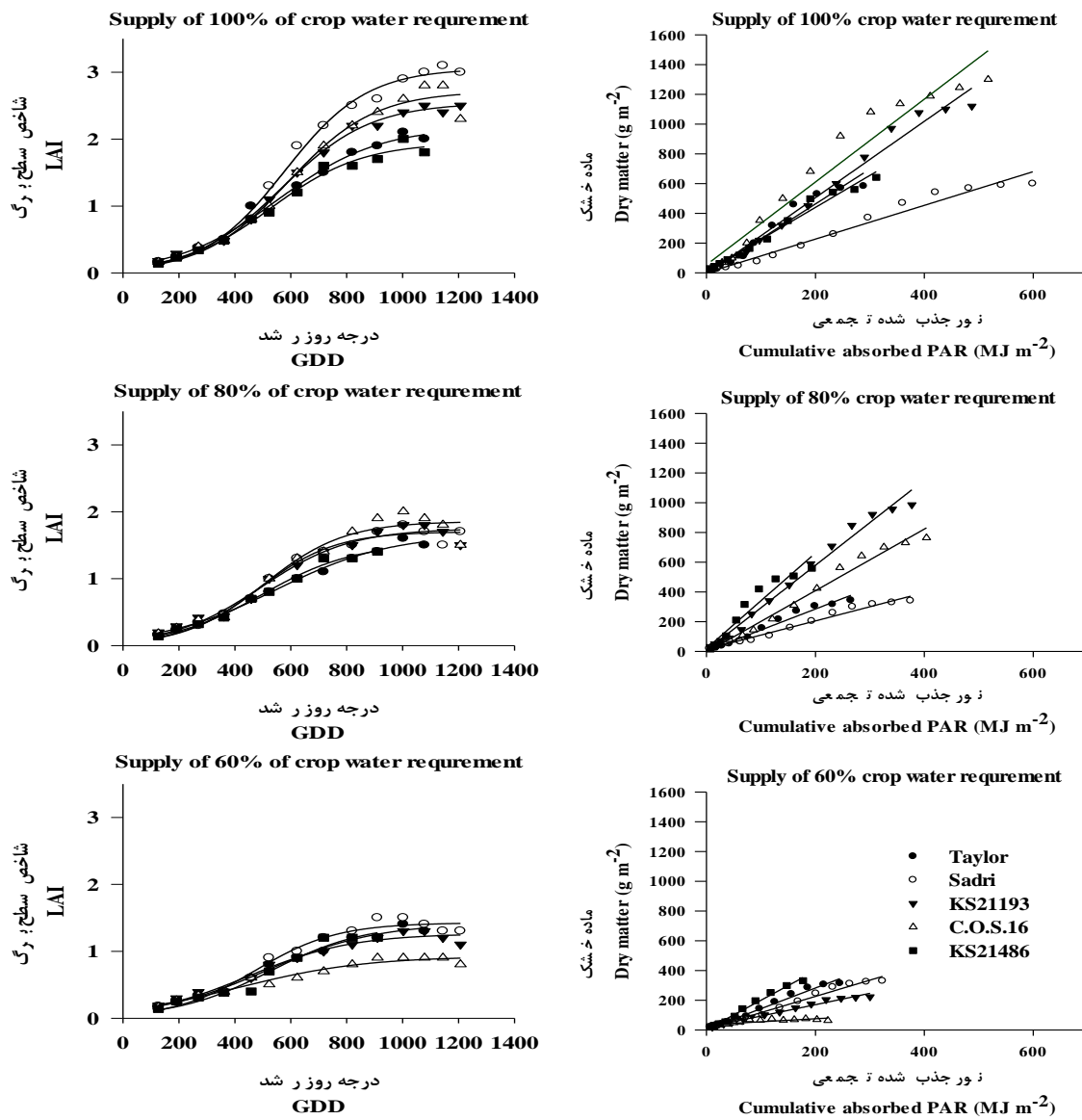
Supply of 60% of crop water requirement تأمین ۶۰٪ نیاز آبی	Supply of 80% of crop water requirement تأمین ۸۰٪ نیاز آبی	Supply of 100% of crop water requirement تأمین ۱۰۰٪ نیاز آبی
$y = 1.3921x + 3.7825$	$y = 1.4117x + 2.5325$	$y = 2.3442x - 5.1813$
$y = 1.0904x + 7.6036$	$y = 0.9511x + 14.658$	$y = 1.1335x + 0.6364$
$y = 0.7631x + 17.366$	$y = 2.8643x + 6.7937$	$y = 2.5641x - 6.7608$
$y = 0.2032x + 34.802$	$y = 2.0712x - 5.6147$	$y = 2.7831x + 54.674$
$y = 1.9728x + 2.6043$	$y = 3.2144x + 19.227$	$y = 2.1477x + 10.838$
C.O.S.16 KS21486		

سرعت رشد گیاه (CGR) در ژنوتیپ‌های لوبيا تحت تأثیر آبیاری قرار گرفت (شکل ۵). در شرایط تأمین ۱۰۰٪ نیاز آبی، افزایش شاخص رشد محصول در ژنوتیپ C.O.S.16 زودتر و با شتاب بیشتری از سایر ژنوتیپ‌ها بود و از نظر حداکثر این شاخص نیز از سایر ژنوتیپ‌ها برتر بود. در شرایط تأمین ۸۰٪ نیاز آبی، ژنوتیپ KS21486 زودتر شروع به افزایش شاخص سرعت رشد گیاه کرد ولی در نهایت در این رژیم آبیاری حداکثر سرعت رشد گیاه در ژنوتیپ C.O.S.16 ثبت شد که البته تفاوت ناچیزی با ژنوتیپ KS21193 داشت. در شرایط تأمین ۶۰٪ نیاز آبی، کمترین میزان و همچنین شیب افزایش سرعت رشد گیاه در ژنوتیپ C.O.S.16 مشاهده شد. در این رژیم آبیاری حداکثر میزان و شتاب افزایش سرعت رشد گیاه در ژنوتیپ KS21486 مشاهده شد (شکل ۵). تسایج بررسی‌های قاسمی‌گل‌عذانی و همکاران (Ghasemi-Golozani *et al.*, 1997) در ژنوتیپ‌های نخود (*Cicer arietinum*)، توکلی و همکاران (Tavakoli *et al.*, 1998) و کلارک و سیمپسون (Clarke and Simpson, 1978) در گیاه لوبيا نیز مؤید کاهش سرعت رشد گیاه در شرایط تنفس خشکی می‌باشد. کاهش

با کاهش میزان آب آبیاری، حداکثر دوام سطح برگ کاهش یافت (شکل ۳)، با وجود این کاهش مذکور بسته به ژنوتیپ متفاوت بود، به طوری که بیشترین و کمترین درصد کاهش متوسط دوام سطح برگ در شرایط تأمین ۸۰ درصد نیاز آبی به ترتیب در ژنوتیپ‌های صدری (۳۷ درصد) و تیلور (۲۲ درصد) مشاهده شد و این در حالی است که در شرایط تأمین ۶۰ درصد نیاز آبی ژنوتیپ ۱۶ C.O.S.16 بیشترین درصد کاهش (۶۰ درصد) را به خود اختصاص داد، کمترین درصد کاهش نسبت به تیمار تأمین ۱۰۰ درصد نیاز آبی نیز در این رژیم آبیاری در ژنوتیپ تیلور (۲۹ درصد) ثبت شد. در واقع کمبود آب باعث تسريع فرآیند پیری برگ‌ها می‌گردد، در این شرایط حداکثر عمر مفید برگ‌ها نسبت به شرایط آبی بهینه کاهش می‌یابد. نتایج حاصل از تحقیقات دیگر نیز نشان داد، تنفس خشکی باعث تسريع سرعت زوال Husain *et al.*, 1990; Nunez-Barrios, (Vanshonhorn and Vist, 2001) و پیری برگ‌ها می‌گردد (Vanshonhorn and Vist, 2001). و نشونهورن و همکاران (1991) نیز گزارش کردند که وقوع تنفس خشکی قبل از مرحله گله‌گذره و تداوم آن تا مرحله رسیدگی گیاهان لوبيا، LAD نهایی را به میزان ۵۰ درصد در مقایسه با تیمار بدون تنفس کاهش می‌دهد.

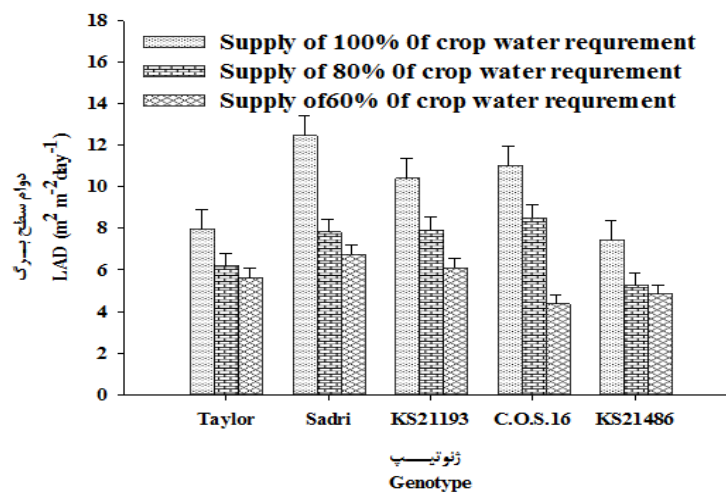
کاهش آسیمیلاسیون کربن (Lizana *et al.*, 2006) و در نتیجه تأثیر بر تسریع کربن (Hsiao and Xu, 2000) نیز باعث کاهش سرعت رشد گیاه می‌گردد. در گیاهانی مانند لوبیا این کاهش مستقیماً بر سرعت ریزش گل که عامل اصلی میزان عملکرد است تأثیر دارد (Ghanbari *et al.*, 2014).

سرعت رشد گیاه را تا مرز صفر، می‌توان به علت کاهش فتوسنتز خالص و مصرف کربوهیدرات‌ها در مسیر تنفس نسبت داد (Karimi and Azizi, 1994). گزارش‌های گلدانی و رضوانی مقدم (Goldani and Rezani Moghadam, 2007) و قاسمی گلستانی و مردفر (Ghassemi-golezani and Mardfar, 2008) نیز حاکی از آن است که در شرایط کمبود آب سرعت رشد گیاه به دلیل افزایش شدت تنفس و کاهش فتوسنتز کاهش می‌یابد. علاوه بر این در شرایط تنفس کمبود آب، توقف توسعه سلول و



شکل ۳- روند تغییرات وزن شاخص سطح برگ و ماده خشک تولیدی در مقابل مقادیر نور دریافتی تجمعی ژنوتیپ‌های لوبیا چیتی تحت تأثیر رژیمهای آبیاری

Figure 3- Effect of Irrigation regimes leaf area index (LAI) and dry matter versus cumulative absorbed Par of bean genotypes



شکل ۴- متوسط دوام سطح برگ ژنوتیپ‌های لوبیا چیتی تحت تأثیر رژیمهای آبیاری طی فصل رشد (نوار عمودی نشان‌دهنده خطای استاندارد می‌باشد)

Figure 4- Effect of Irrigation regimes on mean of leaf area duration of bean genotypes

زای واحد سطح برگ کاهش می‌یابد (Gordner *et al.*, 1985). سرعت آسمیلاسیون خالص و سرعت رشد نسبی ژنوتیپ‌های لوبیا تحت تأثیر آبیاری قرار گرفت. بیشینه سرعت آسمیلاسیون خالص و سرعت رشد نسبی، در شرایط تأمین ۱۰۰٪ نیاز آبی در ژنوتیپ C.O.S.16 مشاهده شد و در شرایط تأمین ۸۰ و ۶۰ درصد نیاز آبی بیشینه میزان سرعت آسمیلاسیون خالص و سرعت رشد نسبی را ژنوتیپ KS21486 داشت (شکل ۵ و شکل ۶). نتایج تحقیقات دیگر نیز نشان داده است که تنفس خشکی باعث کاهش سرعت آسمیلاسیون خالص می‌گردد (Bayuelo-Jimenez *et al.*, 2005) (Abdolrahmani *et al.*, 2003). عبدالرحمانی و همکاران (2003). عبارت از آنکه هرچند تنفس خشکی باعث کاهش معنی‌دار سرعت گزارش کردند که هرچند تنفس خشکی باعث کاهش معنی‌دار سرعت رشد نسبی چهار ژنوتیپ گندم شد ولی این کاهش بسته به ژنوتیپ متفاوت بود. بررسی دو ژنوتیپ لوبیا در شرایط آبیاری متفاوت نشان داد، سرعت رشد نسبی در اثر کاهش میزان آب مصرفی کاهش یافت. علاوه‌بر این سرعت آسمیلاسیون خالص این دو ژنوتیپ در اثر کاهش میزان آب آبیاری به‌طور متفاوتی کاهش نشان داد (Boutraa and Sanders, 2001).

بررسی نتایج نشان داد، با افزایش شاخص سطح برگ دوام سطح برگ به صورت خطی افزایش یافت (شکل ۷). در حقیقت با افزایش سطح برگ، فرآیند پیری گیاه به تأخیر خواهد افتاد و این امر احتمالاً به‌دلیل افزایش فتوستتر در واحد سطح زمین، مسئول تولید مواد برگ، سطح برگ بیشتری در واحد سطح زمین، مسئول تولید مواد فتوستتری خواهد بود و به طبع در این شرایط فشار تولید کمتری بر تک برگ‌ها وارد شده و در نتیجه سرعت فرآیند پیری کاهش خواهد یافت. با افزایش شاخص سطح برگ تا زمان رسیدن شاخص سطح

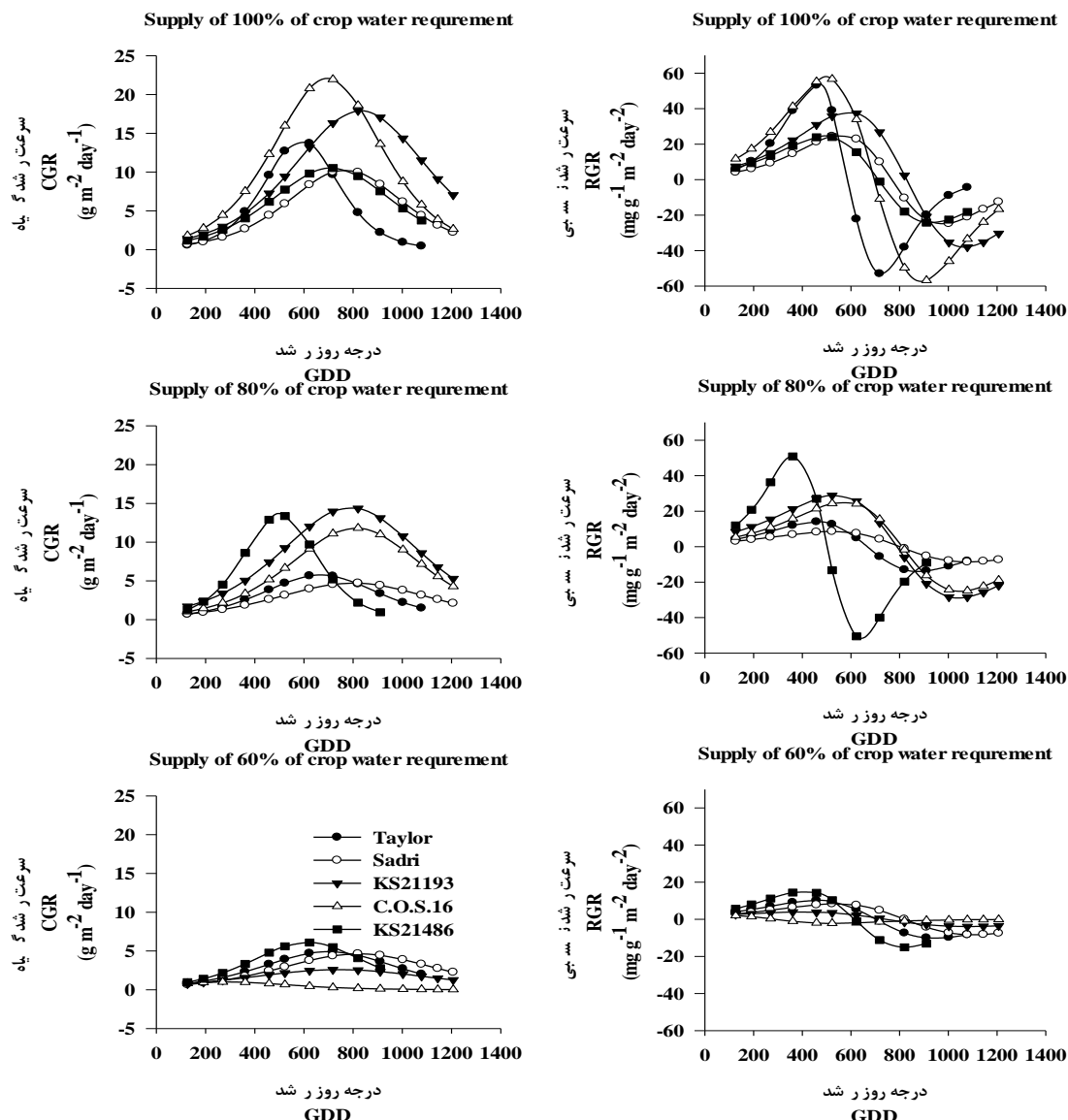
سرعت رشد نسبی در ابتدا اندکی روند افزایشی و پس از آن روند کاهش نشان داد و در اواخر فصل رشد تقریباً متوقف شد (شکل ۵)، از آنجا که بخش‌هایی که به گیاه افروخته می‌شوند بافت‌های ساختمانی هستند که از لحاظ متابولیکی فعال نبوده و در فتوستتر نقشی ندارند (Karimi and Seddique, 1991) این نتیجه حاصل شد. در ابتدای فصل رشد، میزان RGR به علت نفوذ نور بیشتر، سایه‌اندازی کمتر برگ‌ها و فتوستتر خالص، بالاتر می‌باشد (Amiri deh-Ahmadi *et al.*, 2010) سرعت رشد نسبی در پایان دوره رشد به دلیل رسیدگی فیزیولوژیک دانه و افزایش تنفس دانه‌ها همچنین افزایش سن و ریشه برگ‌ها و کاهش فتوستتر جاری جامعه گیاهی، منفی شد (Gordner *et al.*, 1985).

سرعت آسمیلاسیون خالص در شرایط تأمین ۱۰۰ و ۸۰ درصد نیاز آبی در اوایل روند افزایشی داشت و پس از آن روند کاهش نشان داد و این در حالی است که در شرایط تأمین ۶۰ درصد نیاز آبی همه ژنوتیپ‌ها به جز تیلور از نظر سرعت آسمیلاسیون خالص روند کاهشی داشتند (شکل ۶). سرعت آسمیلاسیون خالص، تخمینی از میانگین شدت فتوستتری برگ‌ها در یک جامعه گیاهی است و زمانی به حدکثر خود می‌رسد که تمام برگ‌ها در معرض نور خورشید باشند و این شرایط زمانی اتفاق می‌افتد که گیاه در مراحل اولیه رشد خود بوده و برگ‌ها به اندازه‌ای هستند که هیچ کدام در سایه قرار ندارند (Gordner *et al.*, 1985). میزان فتوستتر خالص با گذشت زمان ثابت نمی‌ماند و با افزایش سن گیاه یک افت نزولی در رشد و تکامل نشان می‌دهد و این افت نسبی در محیط نامناسب و تنفس خشکی تسريع می‌شود، لذا هنگامی که برگ‌های جدید اضافه می‌شوند به علت سایه‌اندازی برگ‌ها روی یکدیگر، وزن خشک به‌دست آمده

به طور کامل یا به طور نسبی در سایه قرار می‌گیرند و این امر باعث کاهش سرعت جذب خالص می‌شود.

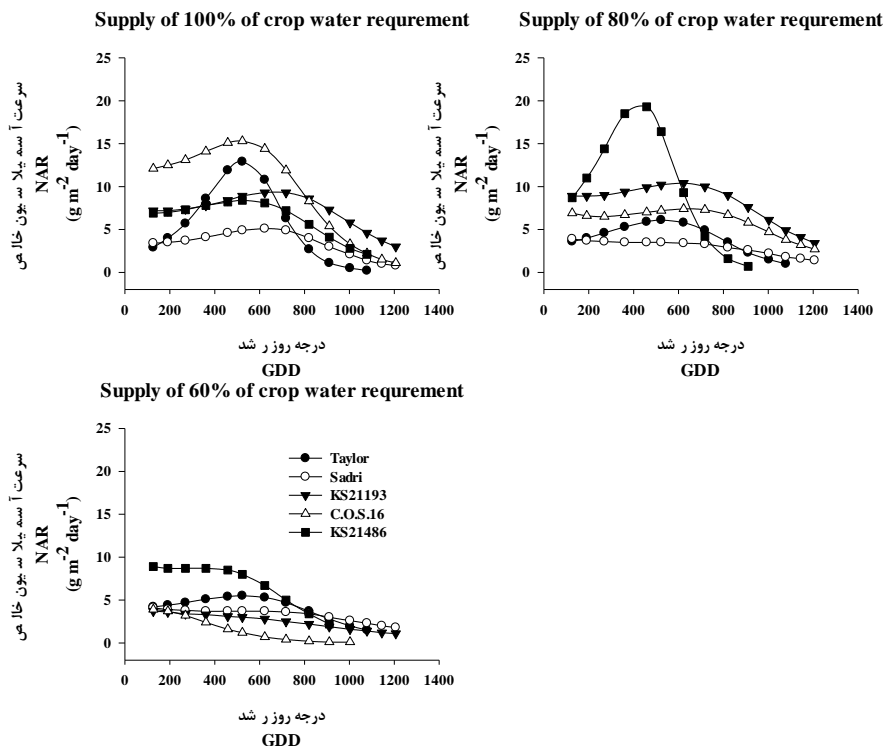
سرعت رشد نسبی نیز با افزایش شاخص سطح برگ در ابتدا روند افزایشی و پس از آن روند کاهشی نشان داد (شکل ۵)، همانطور که از مفهوم سرعت رشد نسبی بر می‌آید، این شاخص سرعت رشد را در هر مرحله نسبت به مرحله قبل می‌سنجد، در مطالعه مذکور چنانچه از شکل ۵ مشخص است، سرعت رشد نسبت به شاخص سطح برگ، در هر مرحله نسبت به مرحله قبل روند کاهشی نشان داد. در واقع میزان رشد در هر مرحله متناظر با افزایش شاخص سطح برگ افزایش نیافته است.

برگ به یک، سرعت رشد گیاه و سرعت آسمیلاسیون خالص افزایش یافت و از آن به بعد با افزایش شاخص سطح برگ، شاخص‌های مذکور کاهش داشتند (شکل ۵). احتمالاً با افزایش شاخص سطح برگ، سایه‌اندازی برگ‌ها بر هم‌دیگر افزایش یافته و به همین دلیل سرعت رشد گیاه و سرعت آسمیلاسیون خالص روند کاهشی نشان دادند. گل‌دانی و همکاران (Goldani *et al.*, 2011) گزارش کردند حداقل سرعت جذب خالص زمانی مشاهده می‌گردد که بیشتر برگ‌ها در معرض نور مستقیم خورشید قرار داشته باشند. علاوه بر در معرض بودن برگ‌ها میزان شاخص سطح برگ نیز مهم است، به طوری که با افزایش شاخص سطح برگ در طول فصل رشد، برگ‌های بیشتری



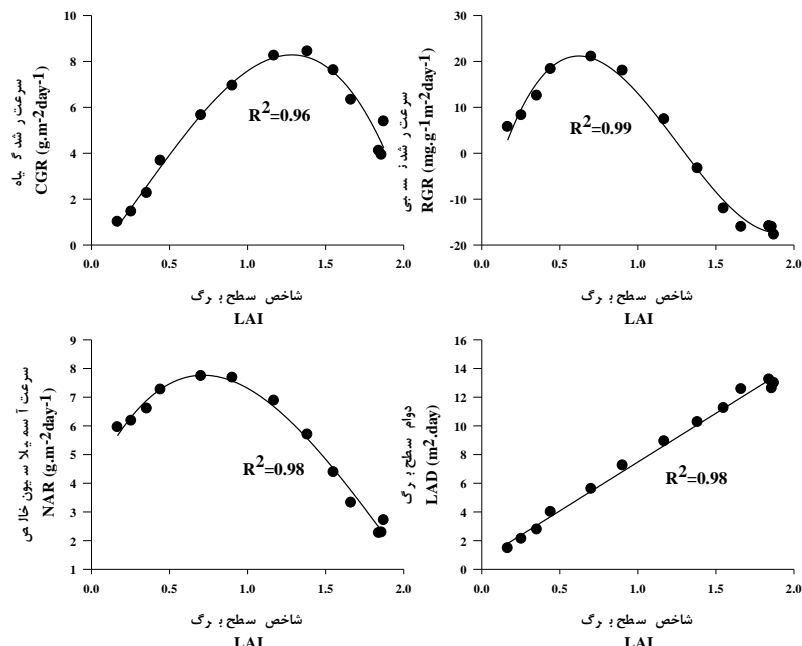
شکل ۵- روند تغییرات سرعت رشد گیاه و سرعت رشد نسبی ژنتیپ‌های لوبیا چیتی تحت تأثیر رژیمهای آبیاری

Figure 5- Effect of Irrigation regimes on crop growth rate (CGR) and relative growth rate (RGR) of bean genotypes



شکل ۶- روند تغییرات سرعت آسمیلاسیون خالص ژنوتیپ‌های لوبیا چیتی تحت تأثیر رژیم‌های آبیاری

Figure 6- Effect of Irrigation regimes on Net assimilation rate (NAR) of bean genotypes



شکل ۷- رابطه بین شاخص سطح برگ با دوام سطح برگ (LAD)، سرعت رشد گیاه (CGR)، سرعت رشد نسبی (RGR) و سرعت آسمیلاسیون خالص (NAR) ژنوتیپ‌های لوبیا تحت تأثیر تیمارهای آبیاری

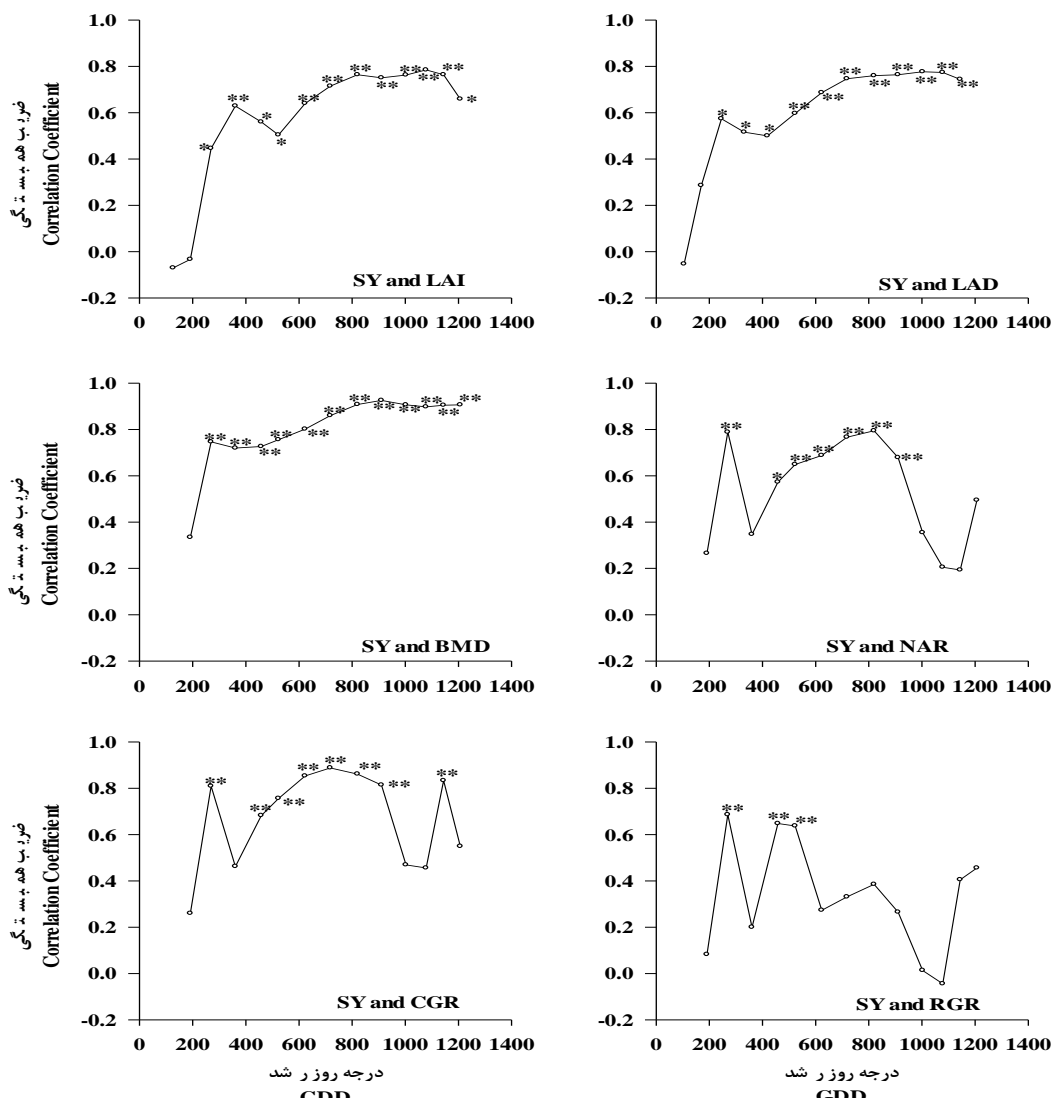
Figure 7- Relation between LAI with leaf area duration (LAD), crop growth rate (CGR), relative growth rate (RGR) and net assimilation rate (NAR) of bean genotypes

نتیجه‌گیری

پیشرفت مراحل رشدی و بزرگ شدن گیاه میزان همبستگی صفات با عملکرد افزایش داشت. بررسی ضرایب همبستگی مؤید آن است که با افزایش شاخص سطح برگ، دوام سطح برگ و دوام بیوماس، عملکرد دانه نیز افزایش می‌یابد و برای حصول بیشتر عملکرد دانه، باید سطح فتوسنترکننده گیاه (برگ‌ها) و تداوم سبزمانی سطح برگ را افزایش داد تا مواد فتوسنتری بیشتری تولید شده و به دانه‌ها انتقال یابد.

در بررسی ضرایب همبستگی بین شاخص‌های رشدی در مراحل مختلف رشد گیاه لوبیا با عملکرد مشاهده شد که در اکثر مراحل دوام بیوماس، دوام سطح برگ و شاخص سطح برگ بیشترین همبستگی را با عملکرد داشتند (شکل ۸).

(۱). این نتایج همچنین نشان داد که در اوایل رشد گیاه لوبیا، همبستگی شاخص‌های رشدی با عملکرد دانه کم است، ولی با



شکل ۸- ضرایب همبستگی پیرسون بین شاخص سطح برگ (LAI)، دوام زیست‌توده (BMD)، سرعت آسمیلاسیون خالص (NAR)، سرعت رشد گیاه (CGR) و سرعت رشد نسبی (RGR) با عملکرد دانه (SY). *: معنی‌دار در سطح احتمال ۰/۰۵، **: معنی‌دار در سطح احتمال ۰/۰۱

Figure 8- Pearson correlation coefficient between Leaf area index (LAI), Leaf area duration (LAD), Biomass duration (BMD), Net assimilation rate (NAR), Crop growth rate (CGR) and Relative growth rate (RGR) with seed yield (SY). *, ** significant at 0.05 and 0.01 level respectively

سپاسگزاری

دانشگاه شهرکرد و همچنین معاونت پژوهشی دانشکده کشاورزی
دانشگاه فردوسی مشهد جهت تأمین امکانات لازم جهت انجام این
آزمایش قادرانی می‌گردد.

از مرکز تحقیقات لوبيا خمین جهت تأمین بذر ژنوتیپ‌های مورد
بررسی، از اداره کل هواشناسی استان چهارمحال و بختیاری جهت
تأمین داده‌های هواشناسی، از گروه زراعت دانشکده کشاورزی

References

- Abdolrahmani, B., Ghasemi-Golozani, K., and Esfahani, M. 2005. The effect of supplemental irrigation on growth parameters, yield and yield components of wheat. Agricultural Science 15 (1): 51-68.
- Agricultural Statistics. 2013. Tehran: Ministry of Agriculture Press. 167 Pages.
- Amiri Deh Ahmadi, S. R., Parsa, M., Nezami, A., and Ganjeali, A. 2010. The effects of drought stress at different phenological stages on growth indices of chickpea (*Cicer arietinum* L.) in greenhouse conditions. Iranian Journal of Pulses Research 1 (2): 69-84. (in Persian with English abstract).
- Bayuelo-Jimenez, J., Debouck, S., and Lynch, D. G. 2003. Growth, gas exchange, water relations, and ion composition of *Phaseolus* species grown under saline conditions. Field Crops Research 80 (3): 207-222.
- Boutraa, T., and Sanders, F. E. 2001. Effects of Interactions of Moisture Regime and Nutrient Addition on Nodulation and Carbon Partitioning in Two Cultivars of Bean (*Phaseolus vulgaris* L.). Journal of Agronomy & Crop Science 186: 229-237.
- Clarke, J. M., and Simpson, G. M. 1978. Changing irradiance in *Phaseolus vulgaris* L. Journal of Experimental Botany 45: 931-936.
- Earl, H. J., and Davis, R. F. 2003. Effect of drought stress on leaf and whole canopy radiation use efficiency and yield of maize. Agronomy Journal 95: 688-696.
- Emam, Y., and Niknezhad, M. 2004. An introduction to crop physiology. Shiraz: Shiraz University Press.
- FAO. 2010. Food and Agriculture Organization of the United Nation Quaterlybulletion of Statistucs. Rome, Italy: FAO.
- FAO. 2015. Food and Agriculture Organization of the United Nation Quaterlybulletion of Statistucs. Rome, Italy: FAO.
- Ghanbari, A., Mousavi, S. H., Keshavarz, S., and Abbasian, A. 2014. Assessment of Variation in Physiological Growth Indices in Common Bean Genotypes under Water Deficit Condition. Seed and Plant production Journal 30 (2): 199-222. (in Persian with English abstract).
- Ghasemi-Golozani, K., Mohamadi, S., Rahimzadeh Khoyi, F., and Moghadam, M. 1997. The quantitative relationship between density and yield of three chickpea cultivars in different planting dates. Agricultural Science 7: 59-73.
- Ghassemi-Golezani, K., and Mardfar, R. A. 2008. Effects of Limited Irrigation on Growth and Grain Yield of Common Bean. Journal of Plant Science 3 (3): 230-235.
- Ghassemi-Golozani, K., Ghanehpoor, S., and DabbaghMohammadi-Nasab, A. 2009. Effect of water limitation on growth and grain filling of faba bean cultivars. Journal of Food, Agriculture & Environment 7: 442-447.
- Goldani, M., and Rezani Moghadam, P. 2007. The effect of different irrigation regimes and planting dates on phenology and growth indices of three chickpea (*Cicer arietinum* L.) cultivars in Mashhad. Journal of Agricultural Science and Natural Resource 14: 229-242.
- Goldani, M., Rezani Moghadam, P., Nassiri Mahalati, M., and Kafi, M. 2011. Radiation use efficiency and phenological and physiological characteristics in hybrids of maize (*Zea mays* L.) on response to different densities. Journal of Plant Production 18: 1-28.
- Gordner, F. P., Pearce, R. B., and Mitchell, R. L. 1985. Physiology of Crop plants. Iowa: Iowa State University Press.
- Hamzei, J., and Soltani, J. 2012. Deficit irrigation of rapeseed for water-saving: Effects on biomass accumulation, light interception and radiation use efficiency under different N rates. Agriculture, Ecosystems and Environment 155: 153-160.
- Hsiao, T. C., and Xu, L. K. 2000. Sensitivity of growth of roots versus leaves to water stress: biophysical analysis and relation to water transport. Journal of Experimental Botany 51: 1595-1616.
- Husain, M. M., Reid, J. B., Othman, H., and Galiagher, J. N. 1990. Growth and water use of faba beans (*Vicia faba*) in a sub-humid climate. I. Root and shoot adaptations to drought stress. Field Crops Research 23: 1-17.
- Iramki, S. D., Haman, D. Z., and Bastug, R. 2000. Determination of crop water stress index for irrigation timing and yield estimation of corn. Agronomy Journal 92: 1221-1234.

22. Karimi, M., and Azizi, M. 1994. Growth analysis of crop plants. Mashhad: Mashhad university jihad.
23. Khalili, A., and Rezaei Sadr, H. 1997. Estimation of global solar radiation over Iran based on the climatical data. Geographical Research 46: 15-35. (in Persian with English abstract).
24. Koller, H. R., Nyquist, W. E., and Chrouch, I. S. 1980. Growth analysis of the soybean community. Crop Science 20: 407-413.
25. Lak, M. R., Ghanbari, A. A., Dori, H. R., and Ghadiri, A. 2009. Effect of planting Date on seed yield and fusarium root rot disease severity in pinto bean in khomein. Seed and Plant Production Journal 25 (2): 275-286.
26. Lizana, C., Wentworth, M., Martinez, J. P., Villegas, D., Meneses, R., Murchie, E. H., Pastenes, C., Lercari, B., Vernieri, P., Horton, P., and Pinto, M. 2006. Differential adaptation of two varieties of common bean to abiotic stress. I. Effect of drought on yield and photosynthesis. Journal of Experimental Botany 57: 685-697.
27. Mossavifar, E., Behdani M. A., Jamialahmadi, M., Hosseini bejed, M. S. 2010. Effect of deficit irrigation on safflower in Birjand condition. Agroecology 2 (4): 627-639.
28. Munoz-Perea, C. G., Allen, R. G., Westermann, D. T., and Wright, J. L. 2007. Water use efficiency among dry bean landraces and cultivars in drought-stressed and non-stressed environments. Euphytica 155: 393-402.
29. Nunez-Barrios, A. 1991. Effects of soil water deficits on the growth and development of dry bean (*Phaseolus vulgaris* L.) at different stages of growth. Dissertation Abstracts International B, Science and Engineering. Field Crops Abstracts 51: 45-56.
30. Ourcut, D., and Nilsen, E. T. 2009. Salinity and drought stress. In Physiology of Plants under Stress, 177-235.
31. Ricardo, J. H., Dardanelli, J. L., Otegui, M. E., and Collino, D. J. 2008. Seed yield determination of peanut crops under water deficit: Soil strength effects on pod set, the source-sink ratio and radiation use efficiency. Field Crops Research 109: 24-33.
32. Robinson, R. G. 1983. Yield and composition of field bean and adzuki bean in response to irrigation, compost, and nitrogen. Agronomy Journal 75: 31-35.
33. Takai, T., Matsuura, S., Nisho, T., Ohsumi, A., Shiraiwa, T., and Horie, T. 2006. Rice yield potential is closely related to crop growth rate during late reproductive period. Field crops research 96: 328-335.
34. Tavakoli, H., Karimi, M., and Moosavi, F. 1998. Effects of different irrigation regimes on vegetative and reproductive growth of corn. Iranian Journal of Agricultural Science 15 (1): 51-67.
35. Tesfamariam, E. H., Annandale, J. H., and Steyn, J. M. 2010. Water stress effects on winter canola growth and yield. South African Agronomy Journal 102 (2): 658-666.
36. Thompson, D. S., Wilkinson, S., Bacon, M. A., and Davies, W. J., 1997. Multiple signals and mechanisms that regulate leaf growth and stomatal behaviour during water deficit. Physiologia Plantarum 100: 303-313.
37. Vafabakhsh, J., Nassiri Mahallati, M., Koocheki, A., and Azizi, M. 2009. Effects of water deficit on water use efficiency and yield of Canola cultivars (*Brassica napus* L.). Iranian Journal of Field Crops research 7 (1): 285-292.
38. Vanshonhorn, A., and Vist, A. 2001. Bean cultivation and breeding. Mashhad: Mashhad university jihad.
39. Wakrim, R., Wahbi, S., Tah, H., Aganchich, B., and Serraj, R. 2005. Comparative effects of partial root drying (PRD) and regulated deficit irrigation (RDI) on water relations and water use efficiency in common bean (*Phaseolus vulgaris* L.). Agriculture, Ecosystems and Environment 106: 275-287.
40. Yazdani, F., Alahdadi, I., and Akbari, G. A. 2007. Impact of superabsorbent polymer on yield and growth analysis of soybean (*Glycine max* L.) under drought stress condition. Pakistan journal of biological science 10 (23): 4190-4196.



Evaluation of the RUE and Growth Indices of Pinto Bean (*Phaseolus vulgaris* L.) Genotypes Deficit Irrigation Condition

H. Karimzadeh Soureshjani¹- A. Nezami^{2*}- M. Kafi²- M. R. Tadayon³

Received: 01-02-2016

Accepted: 19-04-2017

Introduction

Pinto bean (*Phaseolus vulgaris* L.) is one of the most important bean types in Iran. Cultivation area of pinto bean is about 50% of the total bean cultivation area and more than half of the grain bean production belongs to this type of bean. Drought is the most important environmental stresses that affected agricultural production in arid and semiarid areas and reduced crop productions. About 90 percent of Iran located in arid and semi-arid areas where water stress in the plants is inevitable. In addition, 60% of bean cultivation area in the world are faced with drought. Quantitative analysis of crops growth under water limitation condition is a good way to identify genotypes differences in response to drought stress.

Materials and Methods

In order to study the impact of deficit irrigation on pinto bean genotypes, an experiment was conducted as split plot based on randomized complete block design, at Shahrekord University, during 2013. Main plot was irrigation regime (supply of 100, 80 and 60 percent of crop water requirement) and sub plot was pinto bean genotype (Taylor, Sadri, C.O.S.16, KS21193 (Koosha193) and KS21486). Seeds were disinfected with benomyl fungicide before planting. Planting was conducted in 30 plant m^{-2} density. Crop water requirement was calculated by FAO Penman-Monteith equation. Irrigation regimes were applied at V4 stage (4th three foliate leaf has unfolded) and continued until the end of the growing season.

Results and Discussion

Results showed that there is genotypic variation in stem, leaf and seed dry weight, leaf area index (LAI), leaf area duration (LAD), crop growth rate (CGR), relative growth rate (RGR), net assimilation rate (NAR) and radiation use efficiency (RUE) in response to deficit irrigation. The dry matter accumulation of bean genotypes was sigmoidal shape and reduction in water use causes degradation of dry matter both in terms of the amount of dry matter and dry matter accumulation rate.

The highest RUE was recorded in KS21486 in supply of 80 percent of crop water requirement (3.21 g MJ^{-1}). RUE changes to the reduction of irrigated water vary from genotype to genotype. So that, RUE of Taylor, Sadri and C.O.S.16 reduced and RUE of KS21193 and KS21486 increased in supply of 80 percent of crop water requirement condition. Moreover, RUE of all genotypes reduced in supply of 60 percent of crop water requirement condition. In fact, the amount of light absorption and biomass production reduced due to deficit irrigation. Under drought conditions, reduction in water availability decreases cell growth and subsequent reductions in leaf area index. Thus ratio of dry matter produced by the absorbed light is low and radiation use efficiency will be less. Drought stress reduced total dry weight. KS21486 had more rapidly seed dry weight enhancement rather than the other genotypes in the early stages, however Taylor and KS21193 had highest seed dry weight in all three levels of irrigation. Deficit irrigation decreased leaf area index in supply of 60 and 80 percent of crop water requirement condition compared to supply of 100% of crop water requirement condition. Maximum leaf area index in supply of 100, 80 and 60 percent of crop water requirement conditions were 3.1, 2 and 1.5, respectively. Average reduction of LAD in supply of 80 and 60 percent of plant water requirement conditions were 27 and 42 percent respectively. C.O.S.16 showed the highest CGR and maximum NAR and RGR, in supply of 100 percent of plant water requirement. In supply of 80% and 60% of plant water requirement conditions, KS21486 had the maximum NAR and RGR.

1- Crop physiology student, Ferdowsi University of Mashhad
2- Professor of Crop physiology, Ferdowsi University of Mashhad
3- Associate Professor of Crop physiology, Shahrekord University
(*- Corresponding Author Email: nezami@um.ac.ir)

Conclusions

Biomass duration (BMD), LAD, LAI showed the highest correlation with grain yield, thus they are appropriate indicators to estimate grain yield under different moisture conditions. With the increase in leaf area index, leaf area duration and biomass duration, seed yield increased. To obtain more seed yield, the area of photosynthetic levels (leaves) and stay green must be increased to produce more photosynthetic products and allocated to seeds.

Keywords: Crop Growth Rate, Leaf Area Index, Net Assimilation Rate



مطالعه خصوصیات خاک، عملکرد و اجزای عملکرد جو (*Hordeum vulgare L.*) تحت تأثیر روش‌های مختلف خاکورزی و میزان بقایای گیاهی

حمیدرضا کمیلی^۱- مسعود قدسی^{۲*}- پرویز رضوانی مقدم^۳- محمد رضا جلال کمالی^۰

تاریخ دریافت: ۱۳۹۵/۰۲/۰۸

تاریخ پذیرش: ۱۳۹۶/۱۰/۰۹

چکیده

این آزمایش با هدف مطالعه تأثیر روش‌های مختلف خاکورزی و میزان بقایای گیاهی گندم بر خصوصیات خاک، عملکرد و اجزای عملکرد جو در نظام تناوب زراعی گندم-جو در ایستگاه تحقیقات کشاورزی گناباد و در سال زراعی ۱۳۹۲-۹۳ به اجرا درآمد. البته این یک آزمایش ۵ ساله (۱۳۹۱-۹۶) است که در این بخش نتایج این نظام تناوب زراعی آورده شده است. آزمایش به صورت کرت‌های خرد شده در قالب طرح بلوك‌های کامل تصادفی با سه تکرار انجام شد. فاکتورهای اصلی شامل روش‌های مختلف خاکورزی در سه سطح شامل: ۱- خاکورزی متداول (شخم + دیسک + تسطیح + کاشت با بذرکار)، ۲- کم‌خاکورزی (دیسک + کاشت با بذرکار) و ۳- بی‌خاکورزی، (کاشت مستقیم با بذرکار No Till) در کرت‌های اصلی قرار گرفت و فاکتور فرعی، میزان بقایای گیاهی در سه سطح (۱- بدون بقايا و ۲- حفظ ۶۰٪ بقايا و ۳- حفظ ۴۰٪ بقايا محصول قبلی، گندم) که به عنوان عامل کرت فرعی مدنظر قرار گرفت. صفات مورد مطالعه علاوه بر عملکرد بیولوژیک و دانه شامل خصوصیات شیمیایی خاک بود. نتایج نشان داد بیشترین میزان پناسیم خاک از تیمار بی‌خاکورزی به دست آمد و تحت تأثیر این تیمار میزان pH و EC خاک کاهش یافت. کارآیی مصرف عناظر غذایی (نیتروژن، فسفر و پتاسیم) در تیمار بی‌خاکورزی بیشتر از تیمارهای دیگر خاکورزی بود و برهمکنش تیمار بی‌خاکورزی با صفر درصد بقايا بیشترین مقدار کارآیی زراعی نیتروژن را نشان داد. اثر تیمارهای خاکورزی و میزان بقايا بر عملکرد بیولوژیک، دانه و شاخص برداشت معنی دار نبود. بیشترین عملکرد بیولوژیک از تیمار بی‌خاکورزی و تیمار ۳۰٪ بقايا به ترتیب با ۸۳۹۸ کیلوگرم در هکتار و بیشترین عملکرد دانه (۵۲۲۴ کیلوگرم در هکتار) از تیمار صفر درصد بقايا حاصل شد. از طرف دیگر بیشترین عملکرد دانه (۳۸۹۷ کیلوگرم در هکتار) و شاخص برداشت (۴۹/۸ درصد) از برهمکنش تیمار بی‌خاکورزی در سطح صفر درصد بقايا حاصل شد. نتیجه اینکه افزایش میزان بقایای گیاهی تأثیر مثبتی بر کاهش EC خاک و افزایش میزان فسفر و پناسیم خاک داشت و حذف عملیات خاکورزی تأثیر منفی و معنی داری بر کاهش عملکرد بیولوژیک و دانه جو نداشت.

واژه‌های کلیدی: بدون شخم، کارآیی، کشاورزی حفاظتی، شخم کاهش یافته، عملکرد

زراعی توأم باشد، موجب فرسایش شدید خاک و انحطاط آن به عنوان تنها منبع تولید مواد غذایی شده است (Montgomery, 2007). در نظامهای کم‌خاکورزی و بی‌خاکورزی، مخلوط نمودن بقايا با خاک سبب بهبود خصوصیات فیزیکی، شیمیایی و بیولوژیکی خاک، حفظ حاصلخیزی و رطوبت خاک، کاهش فرسایش و تبخیر بیش از اندازه می‌شود (All-Issa and Samarah, 2007). روش‌های خاکورزی کاهش یافته به دلیل افزایش مواد آلی خاک، برهمزدن کمتر خاک و حفظ رطوبت بیشتر در خاک می‌تواند میزان فعالیت‌های زیستی و جمعیت‌های ریز جانداران خاک را افزایش دهد، هرچند پاسخ خاک به سیستم‌های خاکورزی کاهش یافته منوط به یک دوران گذر است (Simmons and Coleman, 2008).

حجازی و همکاران (Hejazi *et al.*, 2010) بیان داشتند که ترکیب بقایای گیاهی با خاک سبب بهبود خصوصیات فیزیکی،

مقدمه

تدابع اسناد از عملیات زراعی متداول و آن هم متکی بر شخم فشرده، به ویژه وقتی که با حذف کامل یا سوختن بقایای گیاهان

۱- دانشگاه فردوسی مشهد، گروه زراعت، دانشکده کشاورزی، پردیس بین الملل دانشگاه فردوسی مشهد

۲- دانشیار پژوهش، بخش تحقیقات علوم زراعی-baghi، مرکز تحقیقات و آموزش کشاورزی و منابع طبیعی خراسان رضوی، سازمان تحقیقات، آموزش و ترویج کشاورزی

۳- استاد، گروه زراعت، دانشکده کشاورزی، دانشگاه فردوسی مشهد

۴- استاد، گروه زراعت، دانشکده کشاورزی، دانشگاه فردوسی مشهد

۵- استادیار پژوهش، محقق ارشد و مسئول دفتر مرکز سیمیت در ایران

(Email: masoudghodsi@yahoo.com)

DOI: 10.22067/gsc.v16i3.55501

۲۰۱۰) نشان داد با افزایش مقدار بقایا در تیمار کم خاکورزی میزان درصد کربن آلی و نیتروژن خاک افزایش یافت. همچنین در حدود دو سوم کود فسفاته جهان برای غلات به کار می‌رود (FAO, 2002). تحت شرایط مطلوب رشد در بیشتر محصولات کشاورزی تنها ۲۰ تا ۳۰ درصد کود فسفر مصرفی در طول یک فصل رشد بازیابی می‌گردد (Dobermann, 2007). زیانگ و همکاران (2008) (Xiang et al., 2008) کارایی مصرف فسفر را به طور متوسط بین ۱۰ تا ۲۵ درصد اعلام نمودند. در ایران متاسفانه اطلاعات مکتوب و موثقی از میزان کارایی مصرف کودهای فسفاته و پتابله گزارش نشده است. نجفی نژاد و همکاران (Najafinezhad et al., 2007) در بررسی تأثیر روش‌های مختلف خاکورزی و مدیریت بقایای گیاهی گندم بر عملکرد ذرت و خصوصیات خاک گزارش نمودند که در تیمارهای کم خاکورزی و خاکورزی متدالوں به ترتیب بیشترین عملکرد دانه و ارتفاع بوته حاصل شد. همچنین مقدار پروتئین دانه، مواد آلی، پتابله و فسفر خاک پس از برداشت در تیمار حداقل خاکورزی بیش از سایر تیمارها بود. در تیمار باقی گذاردن بقایا، عملکرد دانه، وزن هزار دانه، پروتئین دانه و مواد آلی بیشتری حاصل شد. این تحقیق با هدف مطالعه تأثیر روش‌های مختلف خاکورزی و میزان بقایای گیاهی بر خصوصیات خاک، عملکرد و اجزای عملکرد دانه جو در ایستگاه تحقیقات کشاورزی و منابع طبیعی گتاباد انجام شد.

مواد و روش‌ها

این آزمایش در ایستگاه تحقیقاتی گتاباد با عرض جغرافیایی ۳۴ درجه و ۲۲ دقیقه شمالی و طول جغرافیایی ۵۸ درجه و ۴۵ دقیقه شرقی و ارتفاع ۱۰۶۰ متر از سطح دریا و با میانگین بارندگی ۱۶۰ میلی‌متر در سال در قالب سیستم تناوب زراعی گندم-جو و در سال زراعی ۹۳-۹۲ به اجرا درآمد. این آزمایش بخشی از یک طرح ۵ ساله (۹۶-۹۱-۹۰) است. طرح آماری مورد استفاده به صورت کرت‌های خرد شده در قالب طرح پایه بلوک‌های کامل تصادفی و با سه تکرار بود. تیمارهای آزمایش عبارت بودند از:

(الف) شیوه‌های مختلف خاکورزی در سه سطح شامل: -۱- خاکورزی متدالوں (شخم + دیسک + تسطیح + ایجاد فارو + کاشت با بذرکار)، -۲- کم خاکورزی (دیسک + ایجاد فارو + کاشت با بذرکار) و -۳- بی خاکورزی (کاشت مستقیم با بذرکار No Till.) که در کرت-های اصلی قرار گرفتند.

(ب) میزان بقایای گیاهی در سه سطح شامل: -۱- بدون بقایا، -۲- حفظ ۳۰٪ بقایا و -۳- حفظ ۶۰٪ بقایا که در کرت‌های فرعی قرار گرفت.

در تیمار میزان بقایا بر اساس تیمارهای تعریف شده ۳۰٪ و یا

شیمیایی و بیولوژیکی خاک شده که خود ظرفیت نگهداری آب خاک را از طریق کاهش تبخیر، افزایش می‌دهد. آزمایش صفری و همکاران (Safari et al., 2013) نشان داد، اثر بقایا در سطح ۱٪ بر عملکرد دانه گندم تأثیر معنی‌داری داشت، در حالی که اثر خاکورزی بر عملکرد تأثیر معنی‌دار نداشته و معمولاً اثر خاکورزی بر رشد محصول از طریق تغییر در خصوصیات خاک حاصل می‌شود که این تغییر روند به‌آرامی صورت می‌پذیرد. لوپز و همکاران (Lopez et al., 2005) اظهار داشتند اثر بقایای گیاهی جو برای حفاظت از فرسایش بادی خاک در مناطق خشک بستگی به مدیریت و میزان تجزیه آن در خاک داشته و حفظ بقایا باید به نحوی باشد که بیشترین استفاده از لحاظ میزان و مدت زمان حفظ بقایا صورت پذیرد. در هر صورت افزایش مواد آلی خاک موجب افزایش میزان فعالیت میکرووارگانیسم‌های خاک و ممکن به تجزیه بقایای گیاهی می‌شود و وجود رطوبت کافی نیز در میزان تجزیه دخیل است.

در مطالعات مزرعه‌ای، کارایی مصرف عناصر غذایی بر اساس اختلاف عملکرد محصول و یا جذب عنصر غذایی بین کرت‌های کود داده شده و شاهد و یا با استفاده از ایزوتوپ و کود محتوى عنصر غذایی نشان دار به دست می‌آید. بر این اساس تعاریف گوناگونی برای تخمین کارایی و ارزیابی سرنوشت کودهای شیمیایی وجود دارد. هر یک از این شاخص‌ها قابلیت استفاده متفاوتی در تعیین کارایی مصرف عناصر غذایی دارند (Novoa and Loomis, 1981).

زو و ون (1992) (Zhu and Wen, 1992) طی بررسی خود در محصولات زراعی گندم (*Triticum aestivum L.*)، برنج (*Zea mays sativa*) و ذرت (*Zea maize*) در چین اعلام نمودند که کارایی مصرف نیتروژن از ۲۸ تا ۴۱ درصد متغیر است. ران و جانسون (Raun and Johnson, 1999) کارایی مصرف نیتروژن را در کشورهای پیشرفته و در حال توسعه به ترتیب ۴۲ و ۲۹ درصد اعلام نمودند. بر اساس این مطالعه یک درصد افزایش در کارایی مصرف نیتروژن برای تولید جهانی غلات منجر به صرف‌جویی ۲۳۴ میلیارد دلار در هزینه کودهای نیتروژن خواهد شد. به گزارش ژانو و همکاران (Zhao et al., 2006) کارایی مصرف نیتروژن نظام تناوبی گندم-ذرت در شرایط مصرف بهینه نیتروژن ۹۵٪ درصد بود در حالی که این کارایی در شرایط نظام زراعی رایج با مصرف بالای کود نیتروژن تنها ۲۴٪ درصد می‌باشد.

هینان و همکاران (Heenan et al., 1995) در بررسی اثرات خاکورزی، تناوب زراعی و مدیریت بقایای گیاهی بر میزان کربن آلی و نیتروژن خاک به این نتیجه رسیدند که میزان کاهش کربن آلی و نیتروژن خاک در روش کشت مستقیم (بدون خاکورزی) و باقی گذاردن بقایای گیاهی کمتر از روش خاکورزی مرسوم و دفن کامل بقایا می‌باشد. نتایج آزمایش علیجانی و همکاران (Alijani et al.,

مساحت هر کرت اصلی ۴۵۰۰ متر مربع (60×90 متر) بود. میزان بذر لازم بر اساس وزن هزار دانه جو با تراکم بذر ۴۵۰ دانه در مترمربع و به میزان ۱۸۰ کیلوگرم در هکتار با فاصله ردیف ۲۰ سانتی متر بود. بذور جو قبل از کاشت با قارچ کش کاربوکسین-تیرام با نزد مصرفی ۲ در هزار ضعفونی شد.

میزان کود مصرفی بر اساس فرمول کودی ایستگاه و بر اساس نتایج تجزیه خاک و مطابق توصیه های بخش تحقیقات خاک و آب و به میزان ۱۰۰ کیلوگرم اوره (نیتروژن)، ۲۰۰ کیلوگرم فسفات آمونیم (فسفر) و ۲۰۰ کیلوگرم در هکتار سولفات پتاسیم (پتاسیم) همزمان با کاشت مصرف شد. کود سرک نیتروژن به میزان ۵۰ کیلوگرم در هکتار از منبع اوره در دو مرحله خاتمه پنجه زنی (دهه اول اسفند ۱۳۹۲) و مرحله ظهور برگ پرچم (دهه اول فروردین ۱۳۹۳) مصرف شد. عملیات کاشت آزمایش و اولین آبیاری در تاریخ ۱۳۹۲/۸/۲۹ به روش بارانی صورت پذیرفت و آبیاری بر حسب نیاز گیاه و عرف معمول ایستگاه تحقیقات با فواصل آبیاری حدود ۱۰ روز تا تاریخ ۱۳۹۳/۳/۲ انجام شد.

خصوصیات فیزیکی و شیمیایی خاک محل اجرای آزمایش در جدول ۱ آورده شده است.

۶۰٪ بقاوی گیاه زراعی قبلی (گندم) بر روی سطح خاک حفظ شد. بدین صورت که با محاسبه میزان عملکرد بیولوژیک گیاه زراعی قبلی، مقادیر متناسب بقايا با اعمال تیمارهای میزان بقايا بر روی سطح خاک به صورت ایستاده و پخش شده حفظ شدند. برای این منظور از طریق نمونه برداری (۵ کواردرات یک متر مربعی) از هر یک از کرت های اصلی مقدار بقايا تعیین و سپس برای تیمارهای مورد مطالعه بقايا اضافی از کرت های فرعی حذف شد. در روش کشت مستقیم (بی خاک ورزی) در زمینی که سال قبل گندم کشت شده بود و قبل از کشت هیچ گونه عملیات خاک ورزی صورت نگرفته بود، با یک بار حرکت مستقیم بذر کار کشت مستقیم خطی کار (مدل بزرگر همانی) عمل کشت انجام گردید. در روش کم خاک ورزی از یک دستگاه دیسک استفاده شد و پس از تسطیح زمین برای کشت جو از بذر کار خطی کار استفاده شد. در روش مرسوم، شخم توسط گاو آهن برگردان دار انجام شد و سپس زمین دیسک زده شد و تسطیح گردید و سپس توسط بذر کار خطی کار کشت انجام شد. همچنین از رقم رایج و تجاری جو نصرت که رقمی با پتانسیل عملکرد بالا، مقاوم به خواصی و ریش دانه، با عادت رشد بهاره و مخصوص کاشت در مناطق معتدل استفاده شد.

مساحت هر کرت فرعی معادل ۵۰۰ متر مربع (10×50 متر) و

جدول ۱- خصوصیات فیزیکی و شیمیایی خاک

Table 1- Physical and chemical properties of soil

زمان Time	pH	EC ds m ⁻¹	T.N.V	N	O.C %	Sand	Silt	Clay	P	K ppm
قبل از کاشت جو Before planting of barley	7.8	4.3	12.1	0.055	0.3	56.8	23.4	19.8	5.5	121.7
بعد از برداشت جو After harvesting of barley	7.9	3.5	11.6	0.040	0.28	58	24	20	7.17	120.8

کارآیی مصرف نهاده ها از خارج قسمت عملکرد اقتصادی محصول زراعی Yeco بر حسب کیلوگرم ماده خشک در واحد سطح بر فراهمی نهاده مصرفی مثلاً نیتروژن فراهم شده ($N = N_{\text{supply}}$) در خاک که می تواند حاصل جمع نیتروژن حاصل از معدنی شدن نیتروژن آلی، نیتروژن کودی و نیتروژن موجود در خاک باشد بر اساس روش مول و همکاران (Moll *et al.*, 1982) به دست آمد:

$$\text{NUE} = \frac{\text{Yeco}}{\text{N supply}}$$

کارآیی سایر عناصر نیز به همین روال نیز محاسبه و به دست آمد. وزن خشک اندام های هوایی در مراحل نموی سنبلاچه انتهایی (DM1)، گرده افشاری (DM2) و مرحله خمیری دانه ها (DM3) بدین ترتیب اندازه گیری شد که با استفاده از کادر یک متر مربعی به تعداد سه نمونه از هر کرت گرفته شد و پس از انتقال به آزمایشگاه داخل آون با دمای ۷۶ درجه سانتی گراد به مدت ۲۴ ساعت قرار گرفت و

نمونه برداری خاک پس از برداشت محصول جو و در تیرماه سال ۱۳۹۲ انجام شد بدین ترتیب که از نقاط مختلف هر کرت نمونه های خاک به تعداد سه نمونه از عمق صفر تا ۳۰ سانتی متر با کمک اوگر انجام شد و نمونه ها با یکدیگر مخلوط شد و نمونه مرکب به تعداد ۲۷ نمونه تهیه گردید. سپس در آزمایشگاه تحقیقات خاک و آب مرکز تحقیقات و آموزش کشاورزی خراسان رضوی خصوصیات شیمیایی خاک تعیین گردید. صفات کربن آلی خاک، میزان عناصر نیتروژن، فسفر و پتاسیم و همچنین pH و هدایت الکتریکی (EC) اندازه گیری شد برای اندازه گیری میزان عناصر نیتروژن از روش کجل دال با استفاده از دستگاه کجل تک، فسفر از روش رنگ سنجی با استفاده از دستگاه اسپکتروفوتومتر، پتاسیم از روش شعله سنجی با استفاده از دستگاه فلیم فنومتر، برای اندازه گیری pH از دستگاه pH متر و هدایت الکتریکی خاک با استفاده از دستگاه هدایت سنج استفاده شد.

مقدار T.N.V و N از تیمار کم خاکورزی، بیشترین مقدار N از تیمارهای خاکورزی متداول و کم خاکورزی و همچنین بیشترین میزان O.C و C/N از تیمار خاکورزی متداول به دست آمد (جدول ۳). مادیجان و همکاران (2009) Madejon *et al.*, 2009) گزارش دادند که خاکورزی حفاظتی (کم خاکورزی و بی خاکورزی) در مقایسه با خاکورزی مرسوم باعث افزایش مواد آلی خاک، میکروبیال، بیوماس کربن و فعالیتهای آنزیمی در لایه‌های سطحی خاک می‌شود. در روش‌های بی خاکورزی به دلیل بازگشت بقاوی‌گیاهی به افق‌های سطحی خاک، افزایش میزان مواد آلی مشاهده می‌شود در حالی که در روش‌های خاکورزی مرسوم به هم خوردن خاک باعث تجزیه بیشتر و زودتر بقاوی‌گیاهی شده که در نتیجه کاهش میزان مواد آلی را به همراه دارد (Bauer and Black, 1981) که با نتایج این تحقیق مغایرت دارد. یکی از دلایل این مغایرت این است که این نتایج مربوط به سال‌های اول دوره گذار از کشاورزی متداول به حفاظتی می‌باشد و ممکن است در طی زمان و در انتهای دوره گذار تغییری در این نتایج حاصل شود.

نتایج به دست آمده از این آزمایش حاکی از تأثیر معنی‌دار اثر مدیریت بقاویا فقط بر EC در سطح احتمال ۱٪ بود (جدول ۳). کمترین مقدار EC و بیشترین مقدار T.N.V و پتانسیم از تیمار ۶۰٪ بقاویا حاصل شد (جدول ۲). یعنی با افزایش میزان بقاوی‌گیاهی گندم هدایت الکتریکی خاک کاهش و کل مواد خنثی‌شونده خاک افزایش یافت که مبین تأثیر مثبت بقاویا بر بهبود خواص خاک می‌باشد. حجازی و همکاران (Hejazi *et al.*, 2010) بیان داشتند که اختلالات بقاوی‌گیاهی با خاک سبب بهبود خصوصیات فیزیکی، شیمیایی و بیولوژیکی خاک، فقط قابلیت تولید خاک از طریق تجدید ذخایر عناصر خاک و حفظ آب خاک از طریق کاهش تبخیر بیش از اندازه می‌شود که با نتایج این تحقیق موافق دارد. از طرف دیگر نتایج نشان داد بین تیمارهای مدیریت بقاوی‌گیاهی تفاوت آماری معنی‌داری از نظر میزان pH، نیتروژن، کربن آلی، نسبت C/N، فسفر و پتانسیم وجود نداشت (جدول ۳). با این وجود نتایج مقایسه میانگین نشان داد، کمترین میزان pH از تیمار ۳۰٪ بقاویا و همچنین بیشترین میزان فسفر از تیمار ۶۰٪ بقاویا به دست آمد (جدول ۳). سهرابی و همکاران (Sohrabi *et al.*, 2014) عنوان کردند که برگ‌داندن بقاویا حتی در مدت کوتاه دوره رشد گیاه توانسته است اثرات مثبتی بر خاک گذاشته و تا حدی باعث افزایش میزان عناصر شود که با نتایج این تحقیق مطابقت دارد.

کارآیی مصرف و بهره‌وری عناصر غذایی

نتایج حاصل از داده‌های تأثیر تیمارهای خاکورزی و مدیریت بقاویا بر کارآیی مصرف عناصر غذایی جو نشان داد فقط اثر خاکورزی بر بهره‌وری زراعی پتانسیم و اثر مدیریت بقاویا بر میزان فسفر خاک در

سپس نسبت به اندازه‌گیری وزن خشک نمونه‌ها اقدام شد. در طی دوره رشد و نمو گیاه از صفات فنولوژیک (تاریخ‌های سبز شدن، پنجه‌زنی، گرده‌افشانی، ظهور سنبله و رسیدگی فیزیولوژیک) و مورفو‌لولوژیک (ارتفاع بوته، طول سنبله با استفاده از خط‌کش، میزان خواهدگی بوته‌ها) و اجزاء عملکرد دانه شامل (تعداد سنبله در متر مربع با استفاده از کوادرات یک متر مربعی، تعداد دانه در سنبله و وزن دانه در سنبله با استفاده از ۲۰ سنبله تصادفی ابتدا با شمارش تعداد دانه‌ها و سپس وزن آنها به کمک ترازوی حساس و ثبت میانگین آنها) یادداشت برداری به عمل آمد. پس از برداشت نمونه‌ها از سطح ۱۲ مترمربع (تعداد ۱۵ ردیف به طول ۴ متر)، ابتدا عملکرد بیولوژیک و سپس عملکرد دانه هر کرت توزین و ثبت شد و با اخذ یک نمونه تصادفی وزن هزار دانه نیز تعیین شد. برای مدیریت داده‌ها و رسم شکل‌ها از نرم‌افزار Excel و برای تجزیه واریانس داده‌ها از نرم‌افزار MSTAT-C استفاده شد و مقایسه میانگین‌ها با آزمون دانکن در سطح احتمال ۵ درصد صورت گرفت.

نتایج و بحث

خصوصیات شیمیایی خاک

اطلاعات جدول ۲ نشان داد اثر تیمار خاکورزی بر هدایت الکتریکی (EC) و میزان پتانسیم خاک (K) در سطح احتمال ۱٪ و اسیدیته خاک (pH) در سطح ۵٪ معنی‌دار بود، ولی بر مقدار فسفر خاک معنی‌دار نبود. نتایج مقایسه میانگین نشان داد کمترین میزان pH EC به ترتیب از تیمارهای خاکورزی متداول و بی خاکورزی حاصل گردید (جدول ۳). میزان پتانسیم به طور معنی‌داری تحت تأثیر تیمارهای مختلف خاکورزی قرار گرفت به نحوی که بیشترین مقدار پتانسیم خاک (۱۰۵/۳ Ppm) از تیمار بی خاکورزی به دست آمد (جدول ۳).

همچنین نتایج نشان داد بیشترین میزان فسفر خاک از تیمارهای بی خاکورزی و کم خاکورزی به ترتیب با (۸/۰۸۹ Ppm) و (۷/۶۸۹ Ppm) به دست آمد (جدول ۳). در نظامهای خاکورزی متداول و کم خاکورزی، عناصر غذایی تجمع یافته در سطح خاک در اثر خاکورزی و مخلوط شدن با خاک به میزان بیشتری در دسترس ریشه‌ها قرار می‌گیرد، در حالی که در نظام بی خاکورزی، به طور مثال فسفر که عنصری کم تحرک است، در سطح خاک تجمع یافته و کمتر به محیط ریشه راه می‌یابد و در نهایت سبب کمیود این عنصر در گیاه و کاهش رشد آن می‌شود (Daneshvaran *et al.*, 2009).

به علاوه نتایج تجزیه واریانس نشان داد، اثر تیمارهای خاکورزی بر صفات مواد کل خنثی‌شونده (T.N.V)، نیتروژن (N)، کربن آلی (O.C)، نسبت کربن به نیتروژن (C/N) و فسفر (P) معنی‌دار نبود (جدول ۲). به هر حال مقایسه میانگین داده‌ها نشان داد بیشترین

همچنین بیشترین کارآبی مصرف و کارآبی زراعی عناصر نیتروژن، فسفر و پتاسیم از تیمار بی خاکورزی به دست آمد (جدول ۵).

سطح % معنی دار شد (جدول ۴). نتایج مقایسه میانگین داده ها نشان داد بیشترین و کمترین میزان کارآبی مصرف برای تمام عناصر غذایی به ترتیب در تیمارهای بی خاکورزی و کم خاکورزی به دست آمد.

جدول ۲- نتایج تجزیه واریانس خصوصیات شیمیایی خاک تحت تیمارهای مختلف خاکورزی و میزان بقايا (میانگین مربعات)

Table 2- Results of analysis of variance of soil chemical properties under different tillage and residue treatments (mean of square)

منابع تغییر S.O.V	درجه آزادی d.f	% درصد Ppm							پتاسیم (K)
		اسیدیته (pH)	هدایت الکتریکی EC (dS.m ⁻¹)	کل مواد خنثی شونده (TNV) ¹	نیتروژن (N)	کربن آلی (OC)	کربن / نیتروژن (C/N)	فسفر (P)	
Replication تکرار	2	0.000	0.521*	0.140 ns	0.001*	0.007 ns	6.808*	5.268 ns	1025.778 ns
Tillage خاکورزی	2	0.068*	1.174**	0.064 ns	0.0001 ns	0.002 ns	1.042 ns	14.299 ns	2835.444 *
error a خطای a	4	0.004	0.036	0.273	0.0001	0.005	1.358	22.450	351.556
Residue بقايا	2	0.001 ns	0.848*	0.138 ns	0.0001 ns	0.0001 ns	0.272 ns	5.001 ns	312.444 ns
خاکورزی × بقايا									
Tillage × Residue error b خطای b	4	0.016 ns	0.151 ns	0.060 ns	0.0001 ns	0.003 ns	0.442 ns	3.197 ns	165.889 ns
error a خطای a	12	0.017	0.200	0.051	0.0001	0.004	2.206	4.661	660.907
% ضریب تغییرات Coefficient Variation (CV)		1.68	12.79	1.95	13.20	13.08	21.12	23.11	21.31

* و ** به ترتیب غیر معنی دار و معنی دار در سطح احتمال ۱% و ۰.۵%

ns, * and **, respectively, non-significant and significant are levels 5% and 1%

جدول ۳- اثر تیمارهای مختلف خاکورزی و میزان بقايا بر خصوصیات شیمیایی خاک

Table 3- Effect of different tillage and residue treatments on chemical soil properties

Tillage	تیمار خاکورزی	pH	EC (dS.m ⁻¹)	T.N.V (%)	N (%)	O.C (%)	C/N (%)	P (Ppm)	K (ppm)
خاکورزی متدوال									
Conventional Tillage (CT)	خاکورزی متدوال	7.800 ^b	3.911 ^a	11.59 ^a	0.042 ^a	0.296 ^a	6.526 ^a	5.733 ^a	105.3 ^b
کم خاکورزی									
Reduced Tillage (RT)	کم خاکورزی	7.811 ^b	3.348 ^b	11.72 ^a	0.042 ^a	0.270 ^a	6.316 ^a	7.689 ^a	116.6 ^{ab}
بی خاکورزی									
No Tillage (NT)	بی خاکورزی	7.956 ^a	3.238 ^b	11.57 ^a	0.038 ^b	0.273 ^a	6.370 ^a	8.089 ^a	140.1 ^a
تیمار بقايا									
بدون بقايا (صفرا)									
Without Residue (0%)	بدون بقايا (صفرا)	7.856 ^a	3.792 ^a	11.53 ^a	0.042 ^a	0.284 ^a	7.140 ^a	7.556 ^a	114.9 ^a
حفظ ۳۰ درصد بقايا									
Residue Retention of 30%	حفظ ۳۰ درصد بقايا	7.844 ^a	3.524 ^{ab}	11.58 ^a	0.041 ^a	0.281 ^a	7.128 ^a	7.644 ^a	120.4 ^a
حفظ ۶۰ درصد بقايا									
Residue Retention of 60%	حفظ ۶۰ درصد بقايا	7.867 ^a	3.180 ^b	11.77 ^a	0.040 ^a	0.273 ^a	6.833 ^a	6.311 ^a	126.7 ^a

میانگین های هر ستون که حداقل دارای یک حرف مشترک هستند بر پایه آزمون چند دامنه ای دانکن و در سطح احتمال ۰.۵٪ اختلاف معنی دار ندارند.

Means followed by the same letters are not significantly different by DMRT at 5% probability level.

جدول ۴- نتایج تجزیه واریانس عملکرد و کارآبی مصرف و بهره‌وری عناصر غذایی جو تحت تیمارهای مختلف خاکورزی و میزان بقايا میانگین مریعات

Table 4- Results of analysis of variance of yield, nutrient use efficiency and nutrient productivity of barley under different tillage and residue treatments (mean of square)

منابع تغییر S.O.V	درجه آزادی d.f	% عملکرد دانه Grain yield		Ppm		کارآبی مصرف نیتروژن	بهره‌وری زراعی نیتروژن	کارآبی مصرف فسفر	بهره‌وری زراعی فسفر	کارآبی مصرف پتاسیم	بهره‌وری زراعی پتاسیم
		عملکرد دانه Grain yield	نیتروژن (N)	فسفر (P)	پتاسیم (K)						
Replication تکرار	2	90600.259 ns	56.350*	81.560 ns	385.320 ns	5.571 ns	5.074 ns	10.825 ns	7.210 ns	8.958 ns	0.476 ns
Tillage خاکورزی	2	455620.037 ns	10.078 ns	221.895 ns	8316.489 ns	28.557 ns	18.548 ns	53.883 ns	60.203 ns	45.458 ns	5.665*
error a خطا	4	312189.537	7.847	443.671	4858.750	19.099	13.216	36.774	16.813	31.403	1.226
Residue بقايا	2	130150.259 ns	0.158 ns	730.772 *	4077.970 ns	7.975 ns	5.581 ns	15.245 ns	42.453 ns	13.003 ns	0.991 ns
خاکورزی × بقايا	4	104800.704 ns	14.624 ns	278.328 ns	2376.140 ns	6.380 ns	4.607 ns	12.586 ns	7.733 ns	10.404 ns	0.381 ns
Tillage × Residue error b خطا	12	206531.000	7.706	246.872	4280.206	12.551	8.557	24.513	18.211	20.674	1.096
% ضریب تغییرات											
Coefficient Variation (CV)	26	13.02	14.41	51.51	13.79	12.99	12.35	13.05	14.78	13.03	15.41

به ترتیب غیر معنی‌دار و معنی‌دار در سطح احتمال ۵٪ و ۱٪ و **، ns.

ns, * and **, respectively, non-significant and significant are levels 5% and 1%

جدول ۵- اثر تیمارهای خاکورزی بر کارآبی مصرف و بهره‌وری زراعی عناصر غذایی جو

Table 5- Effect of tillage treatments on nutrient use efficiency and nutrient productivity of barley

تیمار خاکورزی Tillage	Nutrient use efficiency			Nutrient productivity		
	کارآبی مصرف N	کارآبی مصرف P	کارآبی مصرف K	بهره‌وری زراعی N	بهره‌وری زراعی P	بهره‌وری زراعی K
خاکورزی متداول Conventional Tillage (CT)	24.4 ^a	28.7 ^a	7.096 ^a	28.0 ^a	38.9 ^a	35.8 ^{ab}
کم‌خاکورزی Reduced Tillage (RT)	22.0 ^a	26.4 ^a	5.863 ^a	25.2 ^a	32.2 ^a	32.3 ^b
بی‌خاکورزی No Tillage (NT)	24.6 ^a	31.5 ^a	7.391 ^a	28.6 ^a	39.7 ^a	36.6 ^b

میانگین‌های هر ستون که حداقل دارای یک حرف مشترک هستند بر پایه آزمون چند دامنه‌ای دانکن و در سطح احتمال ۵٪ اختلاف معنی‌دار ندارند.

Means followed by the same letters are not significantly different by DMRT at 5% probability level.

این وجود اختلافات عددی بین تیمارهای مورد بررسی مشاهده شد. تیمار خاکورزی متداول با صفر درصد بقايا با مقدار ۲۶/۱ بیشترین مقدار بهره‌وری زراعی نیتروژن و برهمکنش تیمار کم‌خاکورزی با حفظ صفر درصد بقايا کمترین مقدار آن را نشان داد. همچنین بیشترین مقدار بهره‌وری زراعی پتاسیم و فسفر به ترتیب در تیمار برهمکنش بی‌خاکورزی با صفر درصد بقايا و کمترین مقدار آن در بیشترین تیمار کم‌خاکورزی با ۶۰٪ بقايا بود (جدول ۷). همچنین نتایج نشان داد بیشترین میزان میزان کارآبی مصرف عناصر غذایی نیتروژن، فسفر و پتاسیم از برهمکنش تیمار بی‌خاکورزی با صفر درصد بقايا

بیشترین بهره‌وری زراعی نیتروژن و پتاسیم از تیمار صفر درصد بقايا و بیشترین بهره‌وری زراعی فسفر در تیمار ۳۰٪ بقايا مشاهده گردید. در تیمار مدیریت بقايا بیشترین مقدار کارآبی مصرف نیتروژن، فسفر و پتاسیم در تیمار صفر درصد و کمترین مقدار آنها برای نیتروژن و پتاسیم در تیمار ۶۰٪ بقايا مشاهده شد (جدول ۶). لازم به ذکر است استفاده یکسان از کودهای اوره، سولفات‌پتاسیم و فسفات آمونیوم باعث برابری کارآبی مصرف نیتروژن، فسفر و پتاسیم در تیمار خاکورزی، حفظ بقايا و برهمکنش آن شد (جدول ۶). اگرچه مقایسه میانگین تفاوت غیر معنی‌داری را نشان دادند با

Zhao *et al.*, (Raun and Johnson, 1999) و ژائو و همکاران (2006) مطابقت دارد.

به دست آمد (جدول ۷). بدین ترتیب تغییر روش خاکورزی از متداول به بی خاکورزی موجب افزایش کارآیی مصرف عناصر غذایی جو شد که با نتایج زوو و ون (Zhu and Wen, 1992)، ران و جانسون

جدول ۶- اثر تیمارهای مدیریت بقایا بر کارآیی مصرف و بهره‌وری زراعی عناصر غذایی جو

Table 6- Effect of residue treatments on nutrient use efficiency and nutrient productivity of barley

Residue	Nutrient use efficiency			Nutrient productivity		
	N	P	K	N	P	K
بدون بقایا (صفر)	28.3 ^a	39.4 ^a	36.3 ^a	24.6 ^a	29.9 ^a	7.005 ^a
Without Residue (%)						
حفظ ۳۰ درصد بقایا	26.9 ^a	37.5 ^a	34.5 ^a	23.5 ^a	30.4 ^a	6.946 ^a
Residue Retention of (30%)						
حفظ ۶۰ درصد بقایا	26.5 ^a	36.9 ^a	33.9 ^a	23.0 ^a	26.4 ^a	6.411 ^a
Residue Retention of (60%)						

میانگین‌های هر ستون که حداقل دارای یک حرف مشترک هستند بر پایه آزمون چند دامنه‌ای دانکن و در سطح احتمال ۵٪ اختلاف معنی‌دارند.

Means followed by the same letters are not significantly different by DMRT at 5% probability level.

جدول ۷- برهمکنش تیمارهای خاکورزی و میزان بقایا بر کارآیی مصرف و بهره‌وری زراعی عناصر غذایی جو

Table 7- Interaction effect between tillage and residue treatments on nutrient use efficiency and nutrient productivity of barley

Tillage × Residue	Nutrient use efficiency			Nutrient productivity		
	N	P	K	N	P	K
(CTR ₁) خاکورزی متداول + بدون بقایا	29.8a	41.4a	38.10 a	26.1a	29.0ab	7.179ab
(CTR ₂) خاکورزی متداول + حفظ ۳۰٪ بقایا	28.2a	39.3a	36.13a	24.8a	31.1ab	7.433ab
(CTR ₃) خاکورزی متداول + حفظ ۶۰٪ بقایا	25.1a	36.1a	33.20a	22.4a	26.1ab	6.676ab
(RTR ₁) کم خاکورزی + بدون بقایا	24.7a	34.4a	31.70a	21.8a	27.3ab	5.882ab
(RTR ₂) کم خاکورزی + حفظ ۳۰٪ بقایا	25.6a	35.6a	32.73a	22.1a	29.0ab	6.343ab
(RTR ₃) کم خاکورزی + حفظ ۶۰٪ بقایا	25.4a	35.4a	32.60a	22.1a	22.8b	5.454b
(NTR ₁) بی خاکورزی + بدون بقایا	30.5a	42.4a	38.97a	25.7a	33.3a	7.954a
(NTR ₂) بی خاکورزی + حفظ ۳۰٪ بقایا	27.1	37.7a	34.63a	23.4a	31.0ab	7.115ab
(NTR ₃) بی خاکورزی + حفظ ۶۰٪ بقایا	28.2a	39.2a	36.07a	24.6a	30.3ab	7.103ab
(LSD 5%)	5.8	8.8	8.09	5.2	7.6	1.862

میانگین‌های دارای حروف مشابه اختلاف معنی‌داری با آزمون دانکن در سطح احتمال ۵ درصد ندارند.

Means followed by the same letters are not significantly different by DMRT at 5% probability level.

CTR₁: Conventional Tillage + Without Residue, CTR₂: Conventional Tillage + Residue Retention of 30%, CTR₃: Conventional Tillage + Residue Retention of 60%, RTR₁: Reduced tillage + Without Residue, RTR₂: Reduced tillage + Retention of 30%, RTR₃: Reduced tillage + Retention of 60%, NTR₁: No tillage + Without Residue, NTR₂: No tillage + Residue Retention of 30%, NTR₃: No tillage + Residue Retention of 60%

کمترین آن از تیمار بی خاکورزی به دست آمد (شکل ۱).

همچنین از نظر تأثیر مدیریت بقایای گیاهی بر تولید و تجمع

ماده خشک جو مشخص گردید که در مرحله رسیدگی فیزیولوژیک جو بیشترین وزن خشک اندام‌های هوایی در سطح ۳۰ و صفر درصد بقایا به ترتیب با ۵۳۱ و ۵۰۸ گرم در مترمربع و کمترین آن از تیمار ۶۰ درصد بقایا با ۴۶۶ گرم بر مترمربع به دست آمد (شکل ۲).

وزن خشک

نتایج حاصل از تجزیه واریانس صفات وزن خشک نشان داد که اثر تیمارهای خاکورزی و بقایا بر صفات مورد مطالعه معنی‌دار نبود (جدول ۸). بدین معنی که از فاصله زمانی بین مراحل نموی سنبلاچه انتهایی تا مرحله خمیری شدن دانه‌ها اختلافات آماری معنی‌داری بین تیمارهای خاکورزی موجود نبود. در مرحله رسیدگی فیزیولوژیک بیشترین وزن خشک از تیمار خاکورزی رایج و کم خاکورزی و

جدول ۸- نتایج تجزیه واریانس صفات وزن خشک جو در مراحل مختلف نمو (میانگین مربعات)

Table 8- Analysis of variance of dry weight of barley in different development stages (mean of squares)

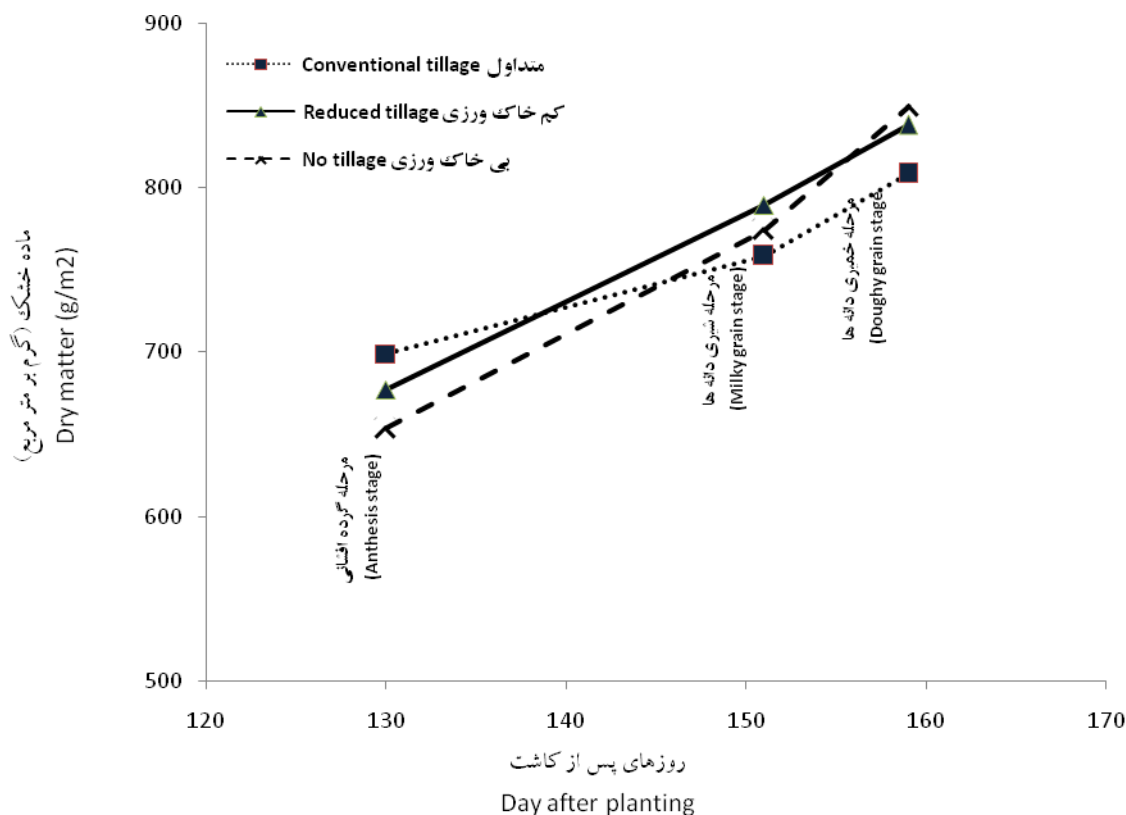
S.O.V	d.f	سنبلچه انتهایی Terminal spikelet	گردهافشانی Anthesis	مرحله خمیری دانه‌ها Dough stage grain
Replication	تکرار	873.144 ns	11967.240 ns	1564.855 ns
Tillage	خاکورزی	154.761 ns	6617.284 ns	1008.552 ns
error a	خطا	1730.584	10186.762	34050.926
Residue	بقایا	2669.446 ns	7379.063 ns	9813.137 ns
	خاکورزی × بقایا	1178.059 ns	4699.438 ns	34722.812 ns
Tillage × Residue				
error b	خطا	2152.966	7789.331	15174.038
ضریب تغییرات %				
Coefficient Variation (CV)		24.94	21.81	19.53

* و ** به ترتیب غیر معنی‌دار و معنی‌دار در سطح احتمال ۵٪ و ۱٪ ns

ns, * and **, respectively, non-significant and significant are levels 5% and 1%

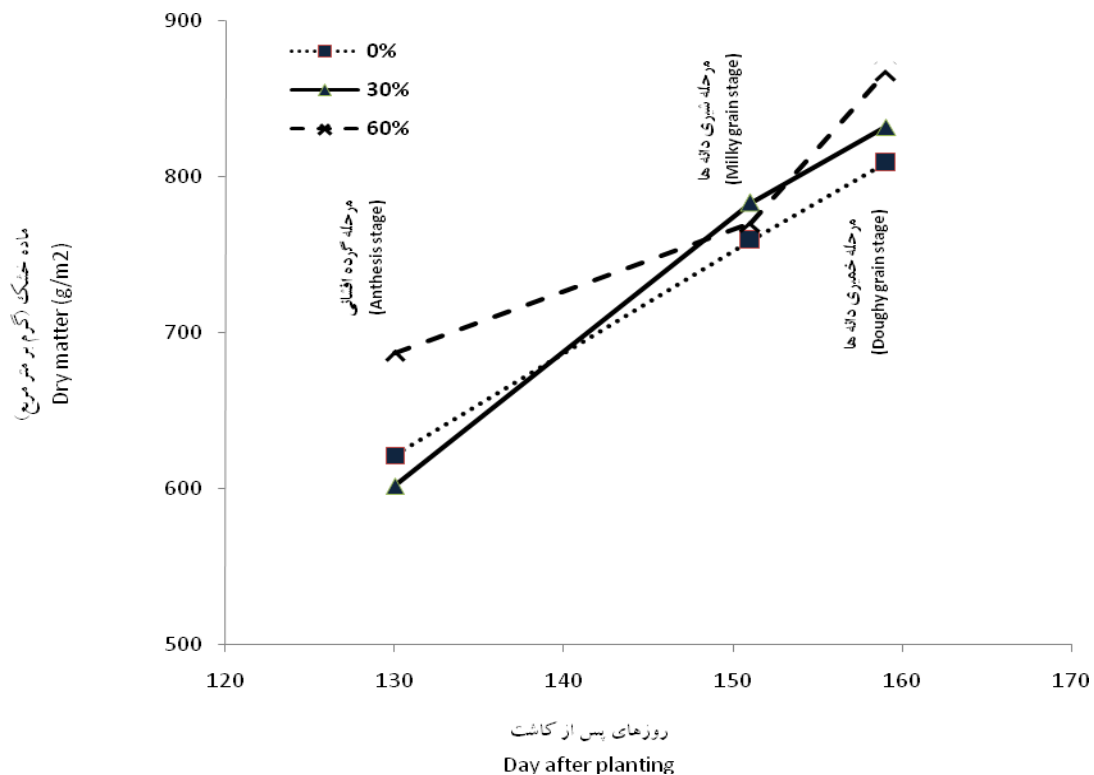
وزن خشک اندام‌های هوایی در مراحل نموی سنبلچه انتهایی، گردهافشانی، مرحله خمیری دانه‌ها

Shoot dry weight in the developmental stages of terminal spikelet, anthesis, dough stage grain



شکل ۱- اثر روش‌های مختلف خاکورزی بر تولید و تجمع ماده خشک جو

Figure 1- Effect of different tillage methods on dry matter production and accumulation of barely



شکل ۲- اثر مقادیر مختلف بقایا بر تولید و تجمع ماده خشک جو

Figure 2- Effect of different rete of residue on dry matter production and accumulation of barely

کنترل علف‌های هرز عنوان نموده‌اند (Alijani *et al.*, 2010; Asadi and Hemat, 2002; Azadshahraki *et al.*, 2010 طرف دیگر زیاوو و همکاران (Ziyou *et al.*, 2007) در آزمایش خود پی برند که به کار بردن سیستم بدون عملیات خاک‌ورزی در مقایسه با خاک‌ورزی متداول طی یک دوره ۶ ساله منجر به افزایش عملکرد گندم شد. در تحقیقات انجام شده توسط مالکا و بلچاسزیک (Malecka and Blecharczyk, 2008) مشخص شد که عملکرد گندم جو در شرایط شخم حداقل و بدون شخم نسبت به شخم متداول به ترتیب ۷ و ۱۲ درصد کمتر بود. آزاد شهرکی و همکاران (Azadshahraki *et al.*, 2010) عنوان کردند که تیمار خاک‌ورزی اثر معنی‌داری بر عملکرد گندم نداشت و تأثیری بر اجزای عملکرد نداشتند، همچنین تیمار مدیریت بقایا تأثیر معنی‌داری بر عملکرد و اجزای آن نداشتند.

نتایج آزمایش صفری و همکاران (Safari *et al.*, 2013) نشان داد، اثر بقایا در سطح ۵٪ و اثر روش‌های مختلف کاشت در سطح ۱٪ بر عملکرد گندم تأثیر معنی‌داری داشت، در حالی که اثر خاک‌ورزی بر عملکرد تأثیر معنی‌دار نداشت و معمولاً اثر خاک‌ورزی بر رشد محصول از طریق تغییر در خصوصیات خاک حاصل می‌شود که این تغییر روند به‌آرامی صورت می‌پذیرد.

در مراحل ابتدایی نمو تیمار میزان بقایا در سطوح ۶۰ و ۳۰ درصد بقایا با اندکی اختلاف کمتر از سطح صفر درصد بقایا بود و از اواخر مرحله خمیری تا رسیدگی فیزیولوژیک با شیب تندی افزایش یافت. از این موضوع می‌توان چنین نتیجه گرفت که وجود بقایای گیاهی بر روی سطح خاک در حساس‌ترین مرحله نموی جو (دوره پرشدن دانه) احتمالاً موجب افزایش رطوبت خاک و کاهش تبخیر از سطح خاک شده که نتیجه آن می‌تواند افزایش سطح فتوستزی و در نتیجه افزایش فتوستزی باشد. کاوالاریس و جمتوس (Cavalaris and Gemtos, 2002) نیز وجود بقایا بر سطح خاک را مانع برای رسیدن اشعه خورشید به سطح خاک دانستند که تبخیر آب را کاهش داده و در نتیجه سبب افزایش رطوبت ذخیره شده در خاک می‌شود.

عملکرد بیولوژیک، عملکرد دانه و شاخص برداشت
نتایج تجزیه واریانس داده‌ها نشان داد اثر تیمارهای خاک‌ورزی و میزان بقایا بر عملکرد بیولوژیک، عملکرد دانه و شاخص برداشت جو معنی‌دار نبود (جدول ۹). نتایج تحقیقات بسیاری از محققان نیز این نتایج را تأیید می‌نمایند که حذف عملیات شخم و اعمال کم‌خاک‌ورزی و بی‌خاک‌ورزی و همچنین حفظ مقادیر مختلف بقایای گیاهی تأثیر معنی‌داری بر عملکرد گندم نداشتند است زیرا فایده اصلی شخم را

جدول ۹- نتایج تجزیه واریانس عملکرد و خصوصیات زراعی مختلف خاکورزی و مدیریت بقایای گیاهی (میانگین مربعات)

Table 9- Results of analysis of variance of yield and agronomic traits of barley under different tillage and rates of plant residue treatments (mean of squares)

منابع تغییر S.O.V	درجه آزادی d.f	میانگین مربعات (MS)							
		عملکرد بیولوژیک Biologic yield	ارتفاع بوته Plant height	تعداد سنبله در متر مربع Number of spikes per m^2	عملکرد دانه Grain yield (g. m^{-2})	شاخص برداشت Harvest index (%)	تعداد دانه در سنبله Number of grains per spike	وزن هزار دانه 1000- grain weight	
Replication	2	59314.5 ^{ns}	6.7 ^{ns}	451.4 ^{ns}	90600.3 ^{ns}	14.1 ^{ns}	14.9 ^{ns}	4.351 ^{ns}	
Tillage	2	2569541.8 ^{ns}	10.8 ^{ns}	1968.9 ^{ns}	455620.1 ^{ns}	0.5 ^{ns}	67.4 ^{ns}	28.545*	
error a	4	1666881.1	17.9	2039.7	312189.5	8.8	47.0	6.393	
Residue	2	913139.2 ^{ns}	0.7 ^{ns}	2483.4 ^{ns}	130150.3 ^{ns}	82.9 ^{ns}	12.2 ^{ns}	1.478 ^{ns}	
خاکورزی × بقایا	4	1405483.6 ^{ns}	1.2 ^{ns}	1468.4 ^{ns}	104800.7 ^{ns}	24.4 ^{ns}	42.8*	20.684 ^{ns}	
Tillage×Residue									
error b	12	809729.3	16.3	1365.9	206531.0	35.2	11.1	9.863	
Coefficient of Variation (CV%)		11.2	5.8	11.9	13.0	13.6	8.4	9.84	

ns, * and **, respectively, non-significant and significant are levels 5% and 1%

** به ترتیب غیر معنی‌دار و معنی‌دار در سطح احتمال ۵٪ و ۱٪

هکتار به دست آمد (جدول ۱۰). همچنین نتایج نشان داد با افزایش

میزان بقایا از صفر به ۳۰ درصد عملکرد بیولوژیک به‌طور نسبی افزایش و در تیمار ۶۰ درصد بقایا کاهش یافت و بیشترین مقادیر آنها از تیمار حفظ ۳۰ درصد بقایا با ۸۳۸۹ و کمترین آن با ۷۷۸۲ کیلوگرم در هکتار حاصل شد (جدول ۱۱). همچنین بیشترین عملکرد بیولوژیک از برهمکنش تیمار بی‌خاکورزی در حفظ ۶۰ درصد بقایا با ۹۱۲۲ کیلوگرم در هکتار و کمترین آن از تیمار کم‌خاکورزی در سطح صفر درصد بقایا به با ۶۷۶۷ کیلوگرم در هکتار حاصل شد (جدول ۱۲). از طرف دیگر بیشترین عملکرد دانه از برهمکنش تیمار بی‌خاکورزی در سطح صفر درصد بقایا و کمترین آن از تیمار کم‌خاکورزی در سطح صفر درصد بقایا به با ۳۸۹۷ و ۳۱۶۸ کیلوگرم در هکتار حاصل شد (جدول ۱۲). بیشترین شاخص برداشت نیز از برهمکنش تیمار بی‌خاکورزی در سطح صفر درصد بقایا (با شاخص ۴۹/۸ درصد) حاصل شد (جدول ۱۲).

کوالاریس و جمتوس (2002) Cavalaris and Gemtos، وجود بقایا بر سطح خاک را مانع برای رسیدن اشعه خورشید به خاک دانستند که تبخیر آب را کاهش داده و در نتیجه سبب افزایش رطوبت ذخیره شده در خاک می‌گردد و از این طریق می‌تواند بر افزایش قابلیت دسترسی گیاه به رطوبت خاک تأثیر مثبت داشته باشد. صفری و همکاران (Safari et al., 2013) بین بقایای ۹۰٪ و ۴۵٪ و سطح بدون بقایا اختلاف معنی‌داری به دست آورده‌اند و نتایج آنها نشان داد که در تمام عمق‌ها بالاترین درصد رطوبت مربوط به تیمار با بقایای ۹۰٪

ارتفاع بوته

نتایج تجزیه واریانس داده‌ها نشان داد تیمارهای خاکورزی و میزان بقایا تأثیر معنی‌داری بر ارتفاع بوته نداشته است (جدول ۹). اثر متقابل تیمارهای خاکورزی و میزان بقایا بر ارتفاع بوته نشان داد بیشترین ارتفاع بوته با ۷۰/۶۷ سانتی‌متر از تیمار خاکورزی متداول و بقایای صفر درصد و کمترین ارتفاع بوته با ۶۷/۳۳ سانتی‌متر از تیمار بی‌خاکورزی و بقایای صفر درصد به دست آمد (جدول ۱۳). در واقع میانگین ارتفاع بوته بین مقادیر مختلف بقایای در سطح ۵ درصد معنی‌دار بود. با اینکه بین تیمارهای خاکورزی اختلاف معنی‌داری از این نظر وجود نداشت، ولی برهمکنش خاکورزی و سال معنی‌دار بود. این امر نشان می‌دهد که تأثیر تغییر مقادیر مختلف بقایای در داز مدت، قابل مشاهده و ارزیابی است. صفری و همکاران (Safari et al., 2013) گزارش نمودند که بیشترین ارتفاع بوته از تیمار خاکورزی کاهش یافته و بقایای ۱۰۰ درصد و کمترین ارتفاع بوته در تیمار کم‌خاکورزی و بقایای ۵۰ درصد به دست آمد.

عملکرد و اجزای عملکرد

نتایج تجزیه واریانس داده‌ها نشان داد اثر ساده و متقابل خاکورزی و میزان بقایا بر صفات عملکرد بیولوژیک، عملکرد دانه و شاخص برداشت معنی‌دار نبود (جدول ۹). نتایج مقایسه میانگین داده‌ها نشان داد بیشترین عملکرد دانه از تیمار بی‌خاکورزی و کمترین آن از کم‌خاکورزی به ترتیب با ۳۵۶۵ و ۳۲۳۴ کیلوگرم در

باقایا بر تعداد سنبله در متر مربع معنی دار نبود (جدول ۹). بیشترین تعداد سنبله در متر مربع از تیمار بی خاک ورزی (۳۲۳ سنبله) و کمترین آن (۲۹۴ سنبله) از تیمار کم خاک ورزی به دست آمد (جدول ۱۳). برهمکنش تیمارهای خاک ورزی و میزان باقایا بر تعداد سنبله در مترمربع نشان داد، که بیشترین تعداد سنبله در مترمربع (۳۶۶/۷ سنبله) از تیمار کم خاک ورزی با صفر درصد باقایا به دست آمد (جدول ۱۲).

درصد بود. این بقایا مانند سدی در سطح خاک عمل کرده و باعث کاهش رواناب شده و همچنین باعث افزایش نفوذ آب در خاک شده و در نتیجه باعث افزایش میانگین رطوبت وزنی خاک می شوند که با نتایج آنگر و همکاران (Ulger *et al.*, 1993)، حیدری و جعفری Abbasi *et al.* (Heydari and Jafari, 2002) و عباسی و همکاران (al., 2010) مطابقت دارد. از طرف دیگر نتایج نشان داد اثر تیمارهای خاک ورزی و میزان

جدول ۱۰- اثر تیمارهای خاک ورزی بر عملکرد بیولوژیک، عملکرد دانه و شاخص برداشت جو

Table 10- Effect of tillage treatment on biological and grain yield and harvest index

Tillage	عملکرد بیولوژیک Biological yield (ton.ha ⁻¹)	عملکرد دانه Grain yield (kg.ha ⁻¹)	شاخص برداشت (%) HI
(Conventional Tillage) خاک ورزی متدالو	8.234 ^a	3580 ^a	43.8 ^a
(Reduced Tillage) کم خاک ورزی	7.470 ^a	3234 ^a	43.7 ^a
(No Tillage) بی خاک ورزی	8.500 ^a	3656 ^a	43.3 ^a
(LSD 5%) کمترین اختلاف معنی دار	1.690	731.3	3.9

میانگین های دارای حروف مشابه اختلاف معنی داری در سطح احتمال ۵ درصد ندارند.

Means followed by the same letters are not significantly different at 5% probability level.

جدول ۱۱- اثر تیمارهای مدیریت بقایا بر عملکرد بیولوژیک، عملکرد دانه و شاخص برداشت جو

Table 11- Effect of amount of residue treatment on biological and grain yield and harvest index

میزان بقایا Amount of Residue	عملکرد بیولوژیک Biological yield (ton.ha ⁻¹)	عملکرد دانه Grain yield (kg.ha ⁻¹)	شاخص برداشت (%) HI
بدون بقایا (صفر) (0%)	7.752 ^a	3625 ^a	47.0 ^a
حفظ ۳۰ درصد بقایا	8.389 ^a	3450 ^a	41.3 ^a
حفظ ۶۰ درصد بقایا	8063 ^a	3395 ^a	42.5 ^a
(LSD 5%) کمترین اختلاف معنی دار	0.924	466.8	6.1

میانگین های دارای حروف مشابه اختلاف معنی داری در سطح احتمال ۵ درصد ندارند.

Means followed by the same letters are not significantly different at 5% probability level.

جدول ۱۲- برهمکنش تیمارهای خاک ورزی و میزان بقایا بر عملکرد بیولوژیک، عملکرد دانه و شاخص برداشت جو

Table 12- Interaction effect between tillage and amount of residue treatment on biological yield, grain yield and harvest index

اثر مقابل تیمار خاک ورزی در بقایا Tillage * Residue	عملکرد بیولوژیک Biological yield (ton.ha ⁻¹)	عملکرد دانه Grain yield (kg.ha ⁻¹)	شاخص برداشت Harvest Index (%)
(CTR ₁) خاک ورزی متدالو + بدون بقایا	8.611 ^a	3811 ^a	44.2 ^a
(CTR ₂) خاک ورزی متدالو + حفظ ۳۰٪ بقایا	8.611 ^a	3611 ^a	41.9 ^a
(CTR ₃) خاک ورزی متدالو + حفظ ۶۰٪ بقایا	7.478 ^{ab}	3319 ^a	45.1 ^a
(RTR ₁) کم خاک ورزی + بدون بقایا	6.767 ^b	3168 ^a	47.1 ^a
(RTR ₂) کم خاک ورزی + حفظ ۳۰٪ بقایا	8.056 ^{ab}	3276 ^a	41.1 ^a
(RTR ₃) کم خاک ورزی + حفظ ۶۰٪ بقایا	7.589 ^{ab}	3258 ^a	42.9 ^a
(NTR ₁) بی خاک ورزی + بدون بقایا	7.878 ^{ab}	3897 ^a	49.8 ^a
(NTR ₂) بی خاک ورزی + حفظ ۳۰٪ بقایا	8.500 ^{ab}	3464 ^a	40.8 ^a
(NTR ₃) بی خاک ورزی + حفظ ۶۰٪ بقایا	9.122 ^a	3608 ^a	39.4 ^a
(LSD 5%) کمترین اختلاف معنی دار	1.602	808.5	10.56

میانگین های دارای حروف مشابه اختلاف معنی داری در سطح احتمال ۵ درصد ندارند.

Means followed by the same letters are not significantly different at 5% probability level.

CTR₁: Conventional Tillage + Without Residue, CTR₂: Conventional Tillage + Residue Retention of 30%, CTR₃: Conventional Tillage + Residue Retention of 60%, RTR₁: Reduced tillage + Without Residue, RTR₂: Reduced tillage + Retention of 30%, RTR₃: Reduced tillage + Retention of 60%, NTR₁: No tillage + Without Residue, NTR₂: No tillage + Residue Retention of 30%, NTR₃: No tillage + Residue Retention of 60%

جدول ۱۳- اثر ساده و برهمکنش تیمارهای خاکورزی و میزان بقایا بر صفات زراعی و اجزای عملکرد دانه

Table 13- Simple and interaction effect of tillage and amount of residue treatment on agronomic traits and grain yield components

تیمار خاکورزی Tillage	ارتفاع بوته Plant height (cm)	تعداد سنبله در متر مربع No. of spike/ square meter	تعداد دانه در سنبله No. of grain / spike	وزن دانه در سنبله Grain weight / spike (g)	وزن هزاردانه 1000-grain weight (g)
خاکورزی متداول Conventional Tillage (CT)	70.3 ^a	313.9 ^a	42.7 ^a	1.286 ^a	29.9 ^b
کم خاکورزی Reduced Tillage (RT)	68.6 ^a	294.3 ^a	38.0 ^a	1.229 ^a	32.3 ^a
بی خاکورزی No Tillage (NT)	68.3 ^a	323.3 ^a	37.9 ^a	1.272 ^a	33.5 ^a
(LSD 5%) کمترین اختلاف معنی دار	5.5	59.1	8.9	0.349	3.8
تیمار بقایا Residue	ارتفاع بوته Plant height (cm)	تعداد سنبله در متر مربع No. of spike/ square meter	تعداد دانه در سنبله No. of grain / spike	وزن دانه در سنبله Grain weight / spike (g)	وزن هزاردانه Thousands grain weight (g)
بدون بقایا (صفرا) Without Residue (0%)	68.8 ^a	328.9 ^a	39.8 ^a	1.263 ^a	31.6 ^a
حفظ ۳۰٪ درصد بقایا Residue Retention of 30%	69.3 ^a	306.1 ^a	38.3 ^a	1.236 ^a	32.4 ^a
حفظ ۶۰٪ درصد بقایا Residue Retention of 60%	69.1 ^a	296.6 ^a	40.6 ^a	1.287 ^a	31.8 ^a
(LSD 5%) کمترین اختلاف معنی دار	4.1	37.9	3.4	0.184	1.2
اثر متقابل خاکورزی در بقایا Tillage × Residue	ارتفاع بوته Plant height (cm)	تعداد سنبله در متر مربع No. of spike/ square meter	تعداد دانه در سنبله No. of grain / spike	وزن دانه در سنبله Grain weight / spike (g)	وزن هزاردانه Thousands grain weight (g)
(CTR ₁) خاکورزی متداول + بدون بقایا	70.6 ^a	325.0 ^{ab}	43.8 ^a	1.411 ^{ab}	31.9 ^{ab}
خاکورزی متداول + حفظ ۳۰٪ بقایا (CTR ₂)	70.0 ^a	314.3 ^{ab}	43.5 ^a	1.354 ^{ab}	31.1 ^{ab}
خاکورزی متداول + حفظ ۶۰٪ بقایا (CTR ₃)	70.3 ^a	302.3 ^{ab}	40.9 ^{ab}	1.093 ^b	26.9 ^b
کم خاکورزی + بدون بقایا (RTR ₁)	68.3 ^a	295.0 ^{ab}	40.5 ^{ab}	1.267 ^{ab}	31.2 ^{ab}
کم خاکورزی + حفظ ۳۰٪ بقایا (RTR ₂)	69.0 ^a	309.0 ^{ab}	36.6 ^b	1.136 ^{ab}	31.1 ^{ab}
کم خاکورزی + حفظ ۶۰٪ بقایا (RTR ₃)	68.3 ^a	279.0 ^b	37.1 ^b	1.283 ^{ab}	34.6 ^a
بی خاکورزی + بدون بقایا (NTR ₁)	67.3 ^a	366.7 ^a	35.2 ^b	1.112 ^b	31.6 ^{ab}
بی خاکورزی + حفظ ۳۰٪ بقایا (NTR ₂)	69.0 ^a	295.0 ^{ab}	34.9 ^b	1.218 ^{ab}	34.9 ^a
بی خاکورزی + حفظ ۶۰٪ بقایا (NTR ₃)	68.7 ^a	308.3 ^{ab}	43.8 ^a	1.486 ^a	33.9 ^a
(LSD 5%) کمترین اختلاف معنی دار	7.2	65.8	5.9	0.318	5.6

میانگین‌های دارای حروف مشابه اختلاف معنی داری در سطح احتمال ۵ درصد ندارند.

Means followed by the same letters are not significantly different at 5% probability level.

CTR₁: Conventional Tillage + Without Residue, CTR₂: Conventional Tillage + Residue Retention of 30%, CTR₃: Conventional Tillage + Residue Retention of 60%, RTR₁: Reduced tillage + Without Residue, RTR₂: Reduced tillage + Retention of 30%, RTR₃: Reduced tillage + Retention of 60%, NTR₁: No tillage + Without Residue, NTR₂: No tillage + Residue Retention of 30%, NTR₃: No tillage + Residue Retention of 60%

برهمکنش تیمارهای خاکورزی متداول با صفر درصد و بی خاکورزی با ۶۰ درصد بقایا و وزن هزاردانه (۳۴/۹۳ گرم) از بی خاکورزی با ۳۰ درصد بقایا و کمترین آن (۲۶/۹۰ گرم) از خاکورزی متداول با ۶۰ درصد بقایا به دست آمد (جدول ۱۲). علیجانی و همکاران (Alijani et al., 2010) در رابطه با بررسی

به علاوه نتایج نشان داد بین تیمارهای خاکورزی و مدیریت بقایای گیاهی تفاوت آماری معنی داری از نظر وزن دانه در سنبله وجود نداشت، ولی برهمکنش خاکورزی و مدیریت بقایا بر تعداد دانه در سنبله و همچنین اثر خاکورزی بر وزن هزاردانه در سطح ۵٪ معنی دار بود (جدول ۸). بیشترین تعداد دانه در سنبله (۴۳/۸۰) از

مقدار کارآبی زراعی نیتروژن را نشان داد. اثر تیمارهای خاکورزی و میزان بقايا بر عملکرد بیولوژیک، دانه و شاخص برداشت معنی دار نبود. بیشترین عملکرد بیولوژیک از تیمار بی خاکورزی با ۸۵۰۰ و کمترین آن از کم خاکورزی با ۷۴۷۰ کیلوگرم در هکتار به دست آمد. همچنین نتایج نشان داد بیشترین عملکرد بیولوژیک (۸۳۹۸) کیلوگرم در هکتار از تیمار (۵۲۲۴) کیلوگرم در هکتار) از تیمار ۳۰٪ بقايا و بیشترین عملکرد دانه (۵۲۲۴) کیلوگرم در هکتار) از تیمار صفر درصد بقايا حاصل شد. بیشترین عملکرد بیولوژیک از برهمکنش تیمار بی خاکورزی با حفظ ۶۰٪ بقايا با ۹۱۲۲ کیلوگرم در هکتار حاصل شد. از طرف دیگر بیشترین عملکرد دانه از برهمکنش تیمار بی خاکورزی در سطح صفر درصد بقايا با عملکرد ۳۸۹۷ کیلوگرم در هکتار حاصل شد. نهایتاً بیشترین شاخص برداشت از برهمکنش تیمار بی خاکورزی در سطح صفر درصد بقايا با ۴۹/۸ درصد حاصل شد. بنابراین با نتایج به عنایت به نتایج این تحقیق تغییر روش خاکورزی از متداول به کم خاکورزی و بی خاکورزی و حفظ بقايا گیاهی بر روی سطح خاک علاوه بر افزایش نسبی عملکرد موجب شد برخی از عناصر غذایی از جمله فسفر و پتاسیم افزایش یابد و موجب افزایش کارآبی مصرف آنها نیز شد. هرچند به عنوان دستورالعمل فنی و توصیه به کشاورزان نمی توان به نتایج کوتاه مدت این تحقیق اکتفا نمود و تداوم این گونه تحقیقات لازم است.

تأثیر روش های خاکورزی (متداول و کاهش یافته) و مقادیر بقايا گیاهی ذرت دانه ای (صفر، ۵۰ و ۱۰۰ درصد) بر عملکرد و اجزای عملکرد دانه گندم به این نتیجه رسیدند که روش های خاکورزی بر تعداد سنبله در مترمربع و بقايا گیاهی بر تعداد دانه در سنبله و وزن هزار دانه اثر معنی داری داشت. حداقل عملکرد دانه از تیمار خاکورزی کاهش یافته و تیمار بدون بقايا به دست آمد که تفاوت معنی داری با تیمار ۱۰۰ درصد بقايا نشان نداد و این موضوع خود تأییدی بر لزوم نگهداری بقايا در مزرعه جهت استفاده از منافع فراوان آن است. نتایج پژوهش امام و همکاران (Emam et al., 2002)، اسدی و همت (Asadi and Hemat, 2002) و باراکو و همکاران (Barraoco et al., 2007) نیز همین نتایج را تأیید می کند.

نتیجه گیری

نتایج نشان داد بیشترین میزان پتابسیم خاک از تیمار بی خاکورزی به دست آمد و تحت تأثیر این تیمار میزان pH و EC خاک نیز کاهش یافت. همچنین افزایش میزان بقايا گیاهی تأثیر مشتبی بر کاهش EC خاک و افزایش میزان فسفر و پتابسیم خاک داشت. از طرف دیگر کارآبی مصرف عناصر غذایی (نیتروژن، فسفر و پتابسیم) در تیمار بی خاکورزی بیشتر از دیگر تیمارهای خاکورزی بود و برهمکنش تیمار بی خاکورزی با صفر درصد بقايا بیشترین

References

- Abbasi, F., Asoodar, A., and Sadatfar, M. 2010. Effect stem crusher and types of tillage on soil physical properties after harvest. Journal of Agricultural Engineering, Soil Science and Agricultural Machinery, Chamran University Press 33 (2): 25-38. Ahvaz Iran (in Persian).
- Alijani, K. H., Bahrani, M. H., and Kazemeini, A. R. 2010. Effects of tillage methods and rates of corn residues on winter wheat yield and yield components and soil organic carbon and nitrogen in relay cropping. Pp. 2. In: Proceedings of 11th Iranian Crop Science Congress. Tehran, Iran. (in Persian).
- All-Issa, T. A., and Samarah, N. H. 2007. The effect of tillage practices on barley production under rainfed conditions in Jordan. American-Eurasian Journal of Agricultural and Environmental Sciences 2 (1): 75-79.
- Asadi, A., and Hemat, A. 2002. Effect of tillage on yield management barley residue standing maize. Proceedings of Second National Congress of Agricultural Machinery Engineering and Mechanization. Tehran, Iran. (in Persian).
- Azadshahraki, F., Naghavi, H., and Najafinejad, H. 2010. Effect of tillage method and wheat residual management on some soil properties and grain corn yield in Kerman, Iran. Agroecology Journal 6 (2): 1-9.
- Barraco, M., Díaz-Zorita, M., and Duarte, G. 2007. Corn and soybean residue covers effects on wheat productivity under no-tillage practices. In Wheat Production in Stressed Environment. Buck, H.T., Nisi, J. E., and Salomón, N. (ed.), Springer Publisher, Netherlands p. 209-216.
- Bauer, A., and Black, A. L. 1981. Soil carbon, nitrogen and bulk density comparison in two crop land tillage systems after 25 years and in virgin grassland. American Journal of Soil Science and Society 45: 1160-1170.
- Cavalaris, C. K., and Gemtos, T. A. 2002. Evaluation of four conservation tillage methods in the sugarbeet crop. Agricultural Engineering International: The CIGR Journal of Scientific Research and Development Manuscript, LW 01 008, 6: 1-24.
- Daneshvaran, Z., Esfahani, M., Payman, M., Rabiei, M., and Samiezadeh, H. 2009. Effect of seedbed preparation methods on grain yield, yield components and some growth indices of rapeseed (*Brassica napus* L.) as a second crop in paddy fields. Journal of Crop Production and Processing, Isfahan University of Technology, Iran. 12 (46):189-202. (in Persian with English abstract).
- Dobermann, A. 2007. Nutrient use efficiency-measurement and management. In Fertilizer Best Management

- Practices. Proceedings of IFA International Workshop, 7-9 March 2007. Brussels, Belgium. p. 1-28.
11. Emam, Y., Kherdnam, M., Bahrani, M., Asad, M., and Ghadiri, H. 2000. The Effects of residue management on the grain yield and its components of winter wheat in continuous irrigated wheat cropping. Iranian Journal of Agriculture Science 31 (4): 839-850. (in Persian with English abstract).
 12. FAO. 2002. Fertilizer use by crop. 5th ed. International Fertilizer Industry Association (IFA), International Fertilizer Development Centre (IFDC), International Potash Institute (IPI), Potash and Phosphate Institute (PPI), Food and Agriculture Organization of the United Nations (FAO), Rome, Italy.
 13. Heenan, D. P., Mcghie, W. J., and Thomson, F. M. 1995. Decline in soil organic carbon and total nitrogen in relation to tillage, stubble management and rotation. Australian Journal of Experimental Agriculture 34 (7): 877-884.
 14. Hejazi, A., Bahrani, M. J., and Kazemini, S. A. 2010. Yield and yield components of irrigated rapeseed-wheat rotation as influenced by crop residues and nitrogen levels in a reduced tillage method. American-Eurasian Journal Agriculture and Environment Soil 8 (5): 502-507.
 15. Heydari, A., and Jafari, A. 2002. Effect of maize residue management and tillage depth on wheat yield. Proceedings of Second National Congress of Agricultural Machinery Engineering and Mechanization. Tehran, Iran. (in Persian).
 16. Lopez, M. V., Arrue, J. L., Fuentes, J. A., and Moret, D. 2005. Dynamics of surface barley residues during fallow as affected by tillage and decomposition in semiarid Aragon (NE Spain). European Journal of Agronomy 23: 26-36.
 17. Madejon, E., Murillo, J. M., Moreno, F., Lopez, M. V., Arrue, J. L., Alvaro-Fuentes, J., and Cantero, C. 2009. Effect of long-term conservation tillage on soil biochemical properties in Mediterranean Spanish areas. Soil and Tillage Research 105 (1): 55-62.
 18. Malecka, I., and Blecharczyk, A. 2008. Effect of tillage systems: Mulches and nitrogen fertilization on spring barely (*Hordeum vulgare* L.). Agronomy Research 6 (2): 517-529.
 19. Moll, R. H., Kamprath, E. J., and Jackson, W. A. 1982. Analysis and interpretation of factors which contribute to efficiency of nitrogen utilization. Agronomy Journal 74: 562-564.
 20. Montgomery, D. R. 2007. Soil erosion and agricultural sustainability. National Academy of Sciences of the USA 104: 13268-13272.
 21. Najafinezhad, A., Javaheri, M. A., Gheibi, M., and Rostamia, M. A. 2007. Influence of tillage practices on the grain yield of maize and some soil properties in maize-wheat cropping system of Iran. Journal of Agriculture and Social Science 3 (3): 1813-2235.
 22. Novoa, R., and Loomis, R. S. 1981. Nitrogen and plant production. Plant and Soil 58: 177-204.
 23. Raun, W. R., and Johnson, G. V. 1999. Improving nitrogen use efficiency for cereal production. Agronomy Journal 91: 357-363.
 24. Safari, A., Asoudar, M. A., Ghasemi, M., Ghaseminejad, M., and Ebdali Mashadi, A. 2013. Effect of residue management, different conservation tillage and seeding on soil physical properties and wheat grain yield. Journal of Sustainable Agriculture and Production Science 23 (2): 49-59.
 25. Simmons, B. L., and Coleman, D. C. 2008. Microbial community response to transition from conventional to conservation tillage in cotton fields. Applied Soil Ecology 40: 518-528.
 26. Sohrabi, S. S., Fateh, A., Aynehband, A., and Rahnama, A. 2014. Assessment of nitrogen efficiency indices and variation in nutrients uptake of wheat influenced by crop residue management and different nitrogen fertilizer sources. Journal of Sustainable Agriculture and Production Science 24 (3): 17-33. Tabriz, Iran. (in Persian with English abstract).
 27. Ulger, P., Arin, S., and Kayioglu, B. 1993. Effect of different tillage methods on sunflower and some soil properties and energy consumption of these tillage methods. The American Marketing Association 24 (3): 59-62.
 28. Xiang, Y., Ji-yun, J., Ping, H., and Ming-zao, L. 2008. Recent advances on the technologies to increase fertilizer use efficiency. Agriculture Science in China 7: 469-479.
 29. Zhao, R. F., Chen, X. P., Zhang, F. S., Zhang, H., Schroder, J., and Romheld, V. 2006. Fertilization and nitrogen balance in a wheat-maize rotation system in North China. Agronomy Journal 98: 935-945.
 30. Zhu, Z. L., and Wen, Q. X. 1992. Soil nitrogen in China. Jiangsu Science and Technology Press, Jiangsu. Pp. 228-231.
 31. Ziyou, S. U. A., Zhang, J., Wu, W., Cai, D., Jiang, G., Huan, J., Gao, J., Hartmann, R., and Gabriels, D. 2007. Effects of conservation tillage practices on winter wheat water use efficiency and crop yield on the Loess Plateau, China. Agricultural Water Management 87: 307-314.



Study of Soil Characteristics, Yield and Yield Components of Barley (*Hordeum vulgare L.*) under Different Tillage Methods and the Rate of Crop Residues

H. R. Komeili¹ · M. Ghodsi^{2*} · P. Rezvani Moghaddam³ · M. Nassiri Mahallati³ · M. R. Jalal Kamali⁴

Received: 24-04-2016

Accepted: 30-12-2017

Introduction

The study carried out to measure the impact of different tillage methods and the rate of crop residue on soil characteristics, yield and yield components of barley. Excessive traditional tillage and residue removal practices caused to soil erosion and physical, chemical and biological degradation. As a result, improved or new varieties of crops (such as barley) as well as the use of other inputs are not able to deliver their potential contribution. Recently, many concerned farmers have begun to adopt and adapt improved crop management practices that lead towards the ultimate vision of sustainable farming. The term Conservation Agriculture (CA) removes the emphasis from the tillage component and addresses an enhanced concept of the complete agricultural system; it involves major changes in many aspects of the farm cropping operation. Normally starting CA with reduced or zero tillage, it progresses to the retention of adequate levels of crop residue on the soil surface, then to appropriate crop/cultivar selection and rotations.

Materials and Methods

This experiment using a split-plot design based on randomized complete block with 3 replications was conducted at agricultural research station of Gonabad during 2012-13 growing seasons. Main factor was 3 tillage methods (conventional tillage (CT), reduced tillage (RT) and no tillage (NT)) allocated to main plots and 3 residue management (Zero (R0), 30% (R1) and 60% (R2) of residue retention) were assigned in sub plots.

Results and Discussion

Results showed that the highest level of potassium (K) was obtained from (NT) treatment and under this treatment the amounts of pH and EC were decreased. In addition, under residue management treatments the amounts of EC was decreased and the amounts of phosphorus (P) and K were increased. Furthermore, the nutrition use efficiency (NUE) of nitrogen (N), P and K, were higher in NT treatment in comparison with the other tillage treatments. Interaction effects of NT with 0% of residue (R0) had higher level of agronomic efficiency of nitrogen. On the other hand, different tillage methods and the rate of residue management had no significant effects on biological yield (BY), grain yield (GY), and harvest index (HI). The highest and the lowest level of BY were obtained from NT (8500 kg. ha^{-1}) and RT (with 7470 kg. ha^{-1}) treatments, respectively. The highest amount of BY (8398 kg. ha^{-1}) were obtained from retention of 30% residue (R1) and the highest amount of GY (5224 kg. ha^{-1}) from R0 treatment. The highest BY (9122 kg. ha^{-1}) were obtained from NT + retention of 60% residue treatment (R2). The highest of GY (3897 kg. ha^{-1}) and harvest index (HI) were related to NT + R0

1- Post graduate (PhD) of International Campus, Faculty of Agriculture, Ferdowsi University of Mashhad

2- Associate Professor of Agronomic-Horticulture Science Research Division, Khorasan Razavi Agricultural and Natural Resources Research and Education Center, Agriculture Research, Education and Extension Organization (AREEO)

3- Professor of Faculty of Agriculture, Ferdowsi University of Mashhad

4- Principal Scientist, Wheat Breeder, CIMMYT branch center in Iran

(*- Corresponding Author Email: masoudghodsi@yahoo.com)

treatments. Finally, change in tillage method from conventional to conservation (no tillage) had no significant effects on yield and yield components of barley. Moreover, increasing of crop residue had positive effect on increasing amount of P and K and decreasing of soil EC.

Key words: Conservation agriculture, Efficiency, No tillage, Reduced tillage, Yield



مقایسه عملکرد سه رقم تاج خروس علوفه‌ای (*Amaranthus hypochondriacus* L.) در مراحل مختلف برداشت

عبدالامیر راهنما^{۱*} - امیر رضا صفائی^۲ - مرتضی رضایی^۳

تاریخ دریافت: ۱۳۹۶/۰۳/۱۶

تاریخ پذیرش: ۱۳۹۷/۰۱/۲۶

چکیده

تاج خروس یکی از گیاهان بومی افريقا است که علاوه بر تحمل نسبی به شرایط خشکی، پتانسیل بالای در تولید علوفه دارد. این آزمایش با سه رقم تجاري اصلاح شده تاج خروس شامل ارقام Cim, Loura و Kharkovski و دو زمان برداشت شروع و پایان گلدهی بهصورت آزمایش فاكتورييل كرت‌های يکبار خرد شده در زمان در قالب طرح پایه بلوک‌های كامل تصادفي با چهار تکرار در موسسه تحقیقات اصلاح و تهیه نهال و بذر در سال زراعی ۱۳۹۵ اجرا گردید. نتایج نشان داد، بين ارقام مورد آزمایش از نظر مجموع عملکرد علوفه تازه و خشک تفاوت معنی‌دار وجود داشت ولی بين زمان‌های برداشت و اثرات متقابل اختلاف معنی‌دار مشاهده نگردید. مقایسه میانگین‌ها نشان داد رقم Loura با ارتفاع ۱۶۱/۰ سانتی‌متر بیشترین ارتفاع بوته در چین اول و دو رقم Kharkovski بهترتیب با ۱۵۵/۱ و ۱۴۶/۹ سانتی‌متر ارتفاع بوته در چین اول در رده‌های بعدی قرار گرفتند. بیشترین قطر ساقه معادل ۲۰/۶ میلی‌متر در کلاس a و رقم Kharkovski تولید و دو رقم دیگر با متوسط ۱۶/۹ و ۱۶/۸ میلی‌متر قطر ساقه در کلاس b قرار گرفتند. از بين ارقام مورد بررسی رقم Loura با مجموع عملکرد ۹۰/۳۰ تن در هکتار علوفه تازه و ۱۳/۰۵ تن در هکتار علوفه خشک طی دو چین نسبت به دو رقم دیگر برتر بود.

واژه‌های کلیدی: عملکرد علوفه، گیاهان جدید، مقایسه ارقام

بوده و اغلب بهصورت علف هرز می‌روید. این جنس حدود ۶۰ گونه را شامل می‌شود که تاکنون تعداد محدودی از آن‌ها اهلی شده و بهصورت زراعی کشت می‌شوند. گیاه تاج خروس دارای ارقام علوفه‌ای، دانه‌ای و خوارکی است در عین حال برخی ارقام دو منظوره بوده و به صورت دانه‌ای و یا علوفه‌ای مورد استفاده قرار می‌گیرد (Gimplinger *et al.*, 2007; Myers, 1996) (A. A. *cruentus* *Amaranthus hypochondriacus* *caudatus* بهعنوان گیاه علوفه‌ای و تولید بذر در برخی مناطق دنیا کشت می‌شوند، این گونه‌ها در قرن‌های دور در آمریکای مرکزی بهعنوان یک منبع غذایی برای دام و همچنین بذر آن مانند یک بذر غله مورد استفاده قرار می‌گرفته است، از بين سه گونه ذکر شده دو گونه *A. caudatus* و *A. cruentus* در ایران موجود بوده و بهعنوان تاج خروس زیستی مورد استفاده قرار می‌گیرند با وجودی که گونه‌های فوق الذکر از مکزیک و گواتمالا به سایر مناطق برده شده‌اند ولی این گونه‌ها در لیست علف‌های هرز مشکل‌ساز و مهاجم سایر مناطق گزارش نشده‌اند. گیاه تاج خروس با توجه به خصوصیات بارز مانند مقاومت به گرما و خشکی، زودرسی و پتانسیل بالای تولید دانه و علوفه یکی از گیاهانی است که از سال‌ها قبل مورد توجه قرار گرفته

مقدمه

طی دهه‌های اخیر مباحثت جدیدی در زراعت، تحت عنوان کشت و بهره‌وری از گیاهان زراعی جدید مطرح شده که شامل ارزیابی گیاهانی است که جدیداً بهصورت زراعی درآمده با پس از مدتی فراموشی بهدلایل خاص مانند مصرف کم آب، مقاومت به شرایط ناساعد محیطی و پایداری تولید، مجدداً مورد توجه قرار گرفته است (Johnson and Henderson, 2002; Moshaver *et al.*, 2016; Palada and Chang, 2003; Teutonico and Knorr, 1985; Tucker, 1986). تاج خروس (*Amaranthus*) گیاهی شبیه غله از خانواده آمارانتاسه (*Amaranthaceae*), پرطاقت، علفی، با رشد سریع

۱- دانشیار، موسسه تحقیقات اصلاح و تهیه نهال و بذر، سازمان تحقیقات، آموزش و ترویج کشاورزی، کرج، ایران
۲- استادیار، موسسه تحقیقات علوم دامی کشور، سازمان تحقیقات، آموزش و ترویج کشاورزی، کرج، ایران
۳- استادیار، موسسه تحقیقات علوم دامی کشور، سازمان تحقیقات، آموزش و ترویج کشاورزی، کرج، ایران
(Email: abam_rah@yahoo.com
DOI: 10.22067/gsc.v16i3.64931
*)- نویسنده مسئول:

تحقیقات اصلاح تهیه و نهال بذر واقع در شهرک نهال و بذر در ۳ کیلومتری اتوبان تهران کرج در حد فاصله ۳۵ درجه و ۴۷ دقیقه عرض شمالی و ۵۰ درجه و ۵۶ دقیقه طول شرقی و ارتفاع ۱۳۲۱ متر از سطح دریا اجرا گردید. آب و هوای منطقه مورد آزمایش مدیرانه‌ای با تابستان‌های گرم و خشک و زمستان‌های نسبتاً سرد می‌باشد. متوسط بارندگی سالانه این منطقه معادل ۲۷۵ میلی‌متر، میانگین سالیانه رطوبت نسبی ۵۲٪، میانگین حداکثر و حداقل آن به ترتیب ۷۲ و ۳۸٪ و مجموع تبخیر سالانه معادل ۷۹۲ میلی‌متر می‌باشد. میانگین سالیانه درجه حرارت معادل ۱۴ درجه سانتی‌گراد، متوسط حداقل و حداکثر درجه حرارت به ترتیب معادل -10° و $+25^{\circ}/4$ درجه سانتی‌گراد، حداقل و حداکثر مطلق دما به ترتیب -20° و 42° درجه سانتی‌گراد می‌باشد. نتایج تجزیه خاک در عمق فعال ریشه (۰ تا ۳۰ سانتی‌متری خاک) نشان داد بافت خاک مزرعه آزمایشی کلی لوم، دارای واکنش قلیایی ۸/۲، هدایت الکتریکی ۱/۶۱ و از نظر ماده آلی ضعیف می‌باشد. میزان اسیدیته آب آبیاری مزرعه معادل ۷/۸ و هدایت الکتریکی ۴۹۰ تا ۶۰۰ میکرو موس بر سانتی‌متر و از نوع بی‌کربناته بود.

این آزمایش با سه رقم جدید و اصلاح شده تاج خروس علوفه‌ای از گونه *Amaranthus hypochondriacus* با منشاء روس با اسامی تجاری Cim و Kharkovski و Loura پایان گلدهی طی دو چین به روش فاکتوریل، کرت‌های یکبار خرد شده در زمان در قالب طرح پایه آماری بلوک‌های کامل تصادفی با چهار تکرار اجرا گردید. هر تیمار در کرتی شامل شش خط به طول شش متر و با فاصله ۶۰ سانتی‌متر بین خطوط کشت گردید، به این منظور در اویل بهار سال ۱۳۹۵ اقدام به شخم، دیسک و تسطیح گردید. عملیات کودپاشی بر مبنای آزمون خاک و بر اساس ۱۵۰ و ۱۰۰ کیلوگرم در هکتار نیتروژن از منبع اوره به ترتیب در هنگام کاشت و هنگام رشد سریع ساقه، ۲۰۰ کیلوگرم در هکتار فسفر از منبع سوپر فسفات و ۱۰۰ کیلوگرم پتاس از منبع سولفات پتابسیم در هنگام کاشت استفاده گردید. پس از کودپاشی اقدام به ایجاد جوی پسته با فاروثر به فاصله ۶۰ سانتی‌متر گردید. عملیات کاشت با دستگاه خطی کار دستی با کاربرد تقریبی ۱/۵ کیلوگرم بذر در هکتار بر اساس ۳ سانتی‌متر فاصله بین بنور انجام و با توجه به شرایط مزرعه پس از سیز شدن بر اساس ده سانتی‌متر بین بوته‌ها با تراکم در حدود ۱۷۰۰۰ بوته در هکتار تنظیم شد. آبیاری اول بلافاصله پس از کاشت، آبیاری دوم با فاصله چهار روز پس از کاشت و آبیاری‌های بعدی بسته به نیاز به گونه‌ای که هیچ تنش کم آبی به گیاه وارد نشود با فاصله هفت تا ۱۰ روز یک بار انجام شد. پس از کاشت و علی‌رغم مشاهده خسارت برخی آفات برگ‌خوار و ساقه‌خوار ولی هیچ مبارزه شیمیایی انجام نشد زیرا میزان خسارت ناچیز، رشد گیاه بسیار سریع و تعییف دام با علوفه تازه وجود دارد. در این آزمایش دفع علوفه‌ای هرز

است (Henderson *et al.*, 2000)، برگ‌های تاج خروس حاوی مقادیر قابل قبولی از پروتئین، ویتامین و عناصر معدنی، فیبر و چربی غیر اشباع می‌باشد لذا به عنوان یک گیاه امیدبخش برای کشت در نواحی گرم و خشک قابل توصیه می‌باشد (Chong, 1996; Grubben, 2004; Olaniyi, 2007; Reta Alemayehu *et al.*, 2014). مطالعات متعدد نشان داده‌اند که ارزش غذایی علوفه تاج خروس به عنوان خوراک نشخوارکنندگان برابر و یا بهتر از علوفه‌های رایجی مانند یونجه است (Rezaei *et al.*, 2009). در آزمایشی ارزش غذایی ۵ گونه مختلف تاج خروس، علف چمنی، لوبيا چشم‌بلبلی و ذرت در سه مرحله برداشت ۵۰، ۸۰ و ۱۱۰ روز پس از کاشت مقایسه و گزارش گردید که متوسط درصد ماده خشک تاج خروس با افزایش فاصله زمانی کاشت تا برداشت به ترتیب از $7/4$ به $17/8$ ٪ افزایش یافت این دامنه برای علوفه چمنی $14/8$ ، لوبيا چشم‌بلبلی $13/4$ تا 19 و ذرت از $13/2$ تا $18/3$ درصد بود. در هر سه مرحله برداشت درصد پروتئین تاج خروس بیشتر از سه گیاه دیگر بود. میزان پروتئین علوفه تاج خروس در فاصله زمانی ۵۰ و ۸۰ روز پس از برداشت بین $1/5$ تا 2 برابر بیشتر از پروتئین علوفه چمنی بود. میزان پروتئین با افزایش فاصله زمانی کاشت تا برداشت کاهش یافت. میزان فیبر خام تاج خروس معادل $2/4$ تا $3/6$ و برای سایر گونه‌ها به ترتیب معادل $2/8$ تا $3/8$ ، $3/6$ تا $2/1$ و $22/4$ تا $33/7$ و $25/7$ تا $2/2$ درصد بود. میزان ماده آلی تاج خروس و سایر گیاهان علوفه‌ای به ترتیب معادل $2/4$ تا $1/6$ تا $2/4$ و $2/5$ تا $5/7$ و $2/4$ تا $2/5$ درصد و میزان خاکستر تاج خروس علوفه‌ای معادل $11/4$ تا $12/5$ درصد بود. نهایتاً تاج خروس با فاصله زمانی برداشت ۵۰ روز پس از کاشت و برداشت‌های مکرر به عنوان گیاه علوفه‌ای جهت کشت در سریلانکا توصیه گردید (Leukebandara *et al.*, 2015). در آزمایش دیگر هفت رقم تاج خروس با سه زمان برداشت در شروع، اواسط و پایان گلدهی مقایسه و با توجه به قدرت رویش مجدد، برداشت در زمان شروع گلدهی توصیه گردید (Sleugh *et al.*, 2001).

در مجموع کشت تاج خروس به عنوان گیاه زراعی شب‌غلات علاوه بر تولید علوفه با کیفیت در گرم‌ترین ماه‌های سال (Dahiru, 2001 (2016; Nyankanga *et al.*, 2012; Whitehead *et al.*, 2001) سبب افزایش تنوع کشت و کاهش رسک آفات، بیماری‌ها و علوفه‌ای هرز می‌گردد. افزایش تنوع در سیستم کشت به نوبه خود کشاورزان را در برابر خطرات احتمالی ناشی از تک کشتی بیمه می‌نماید. این آزمایش با هدف بررسی زراعی و مقایسه عملکرد کمی و کیفی سه رقم جدید تجاری و اصلاح شده تاج خروس علوفه‌ای در دو زمان برداشت اجرا گردید.

مواد و روش‌ها

این آزمایش در بهار سال ۱۳۹۵ در مزرعه ۴۰۰ هکتاری مؤسسه

بلافاصله آبیاری گردید. جوانه‌زنی ارقام به طور متوسط حدود ۵ روز پس از کاشت و سبز شدن ۷ تا ۹ روز پس از کاشت و مرحله ۳ برگی گیاه حدود ۱۵ تا ۱۷ روز پس از کاشت اتفاق افتاد. رشد سریع گیاه بعد از مرحله پنجم برگی و حدود ۲۲ روز پس از کاشت آغاز گردید. در این مرحله آثاری از خسارت زخم تریپس، اگروتیس و آفات برگ‌خوار مشاهده و لی با توجه به رشد سریع گیاه (Dahiru, 2016) هیچ میارزه شیمیایی انجام نشد. اولین برداشت تیمار شروع گلدهی در رقم Kharkovski حدود ۶۲ روز پس از کاشت و در دو رقم دیگر ۷۰ روز Kharkovski پس از کاشت انجام شد. برداشت پایان گلدهی در رقم Kharkovski در حدود ۸۲ روز پس از کاشت و در دو رقم دیگر ۸۵ روز پس از کاشت انجام شد. چین دوم شروع و پایان گلدهی رقم Kharkovski به ترتیب ۳۲ و ۳۴ روز پس از چین اول، در رقم Loura به ترتیب ۴۱ و ۴۸ روز پس از چین اول و در رقم Cim به ترتیب ۴۳ و ۵۲ روز پس از چین اول انجام شد. با توجه به کاهش دمای محیط چین سوم رقم در حدود ۵۹ روز پس از چین دوم و در دو رقم باقی‌مانده به ترتیب ارقام ۵۴ و ۵۲ روز پس از کاشت انجام شد. با توجه به پوسیده شدن ساقه و از بین رفتن قدرت پنجه‌زنی تیمار برداشت پس از گلدهی در چین سوم عملکرد قابل قبولی تولید نکرد.

به صورت وجدی دستی دو هفته پس از کاشت انجام شد. تعیین عملکرد علوفه تازه پس از حذف دو خط کناری و نیم متر از بالا و پایین کرتها از چهار خط وسط بر مبنای ۱۲ متر مربع از سانتی‌متری سطح خاک انجام شد. ارتفاع بوته از سطح خاک تا بالاترین نقطه گیاه بر اساس اندازه‌گیری ۲۰ بوته تصادفی از سطح هر کرت انجام شد. قطر ساقه نیز با اندازه‌گیری تصادفی قطر ساقه ۲۰ بوته تصادفی از محل بیشترین قطر ساقه انجام شد. نسبت برگ به ساقه با جداسازی برگ و ساقه ۵ بوته خشک محاسبه شد. برای اندازه‌گیری ماده خشک و به منظور حفظ خصوصیات کیفی نمونه یک کیلوگرمی علوفه تازه به مدت ۴۸ ساعت در دمای ۶۵ درجه سانتی‌گراد خشک و با تقسیم بر وزن تازه محاسبه گردید (Whitehead *et al.*, 2001; Sleugh *et al.*, 2001). تعداد پنجه بوته با شمارش تعداد پنجه ۵ بوته تعیین شد. نتایج اعداد خام حاصل از آزمایش با نرم‌افزار MSTAT-C تجزیه و میانگین‌ها با آزمون دانکن در سطح احتمال ۵ درصد مقایسه گردید.

نتایج و بحث

روند کلی رشد

ارقام مورد مقایسه در این آزمایش در نیمه اردیبهشت ماه کشت و

جدول ۱- مشخصات کلی رشد و چین‌برداری ارقام تاج خروس در زمان‌های متفاوت برداشت
Table 1- Growth characteristics and harvesting time of *Amaranth* varieties

تیمار Treatment	زمان برداشت چین اول Harvest time 1	زمان برداشت چین دوم Harvest time 2	زمان برداشت چین سوم Harvest time 3
Loura, flowering initiation شروع گلدهی، Loura, flower initiation	12, Jul. ۹۵/۴/۲۲	22, Aug. ۹۵/۶/۱	15, Oct. ۹۵/۷/۲۴
Loura, end of flowering پایان گلدهی، Loura, end of flowering	27, Jul. ۹۵/۵/۶	13, Sep. ۹۵/۶/۲۳	- -
Cim, flowering initiation شروع گلدهی، Cim, flower initiation	12, Jul. ۹۵/۴/۲۲	24, Aug. ۹۵/۶/۳	15, Oct. ۹۵/۷/۹۵
Cim, end of flowering پایان گلدهی، Cim, end of flowering	27, Jul. ۹۵/۵/۶	17, Sep. ۹۵/۶/۲۷	- -
Kharkovski, flowering initiation شروع گلدهی، Kharkovski, flower initiation	4, Jul. ۹۵/۴/۱۴	5, Aug. ۹۵/۵/۱۵	3, Oct. ۹۵/۷/۱۲
Kharkovski, end of flowering پایان گلدهی، Kharkovski, end of flowering	24, Jul. ۹۵/۵/۳	27, Aug. ۹۵/۶/۶	- -

(جدول ۲).

مقایسه میانگین اثرات متقابل ارقام در زمان برداشت در چین‌برداری نشان داد بیشترین ارتفاع بوته معادل ۱۷۹/۳ سانتی‌متر در رقم Loura شروع دانه‌بندی و در چین اول تیمار برداشت شروع گلدهی و کمترین آن معادل ۱۱۳/۸ سانتی‌متر در چین دوم شروع گلدهی رقم Kharkovski مشاهده گردید (جدول ۳).

بررسی صفات رویشی

نتایج تجزیه واریانس اعداد حاصل از آزمایش به روش فاکتوریل اسپلیت پلات در زمان نشان داد که بین اثرات متقابل ارقام در زمان برداشت در چین‌برداری از نظر ارتفاع و قطر ساقه تفاوت معنی‌دار، نسبت برگ به ساقه فقط از نظر چین و متوسط تعداد پنجه در بوته از نظر ارقام، چین و اثرات زمان برداشت در چین تفاوت معنی‌دار داشت

جدول ۲- میانگین مربعات و سطح معنی‌دار بودن صفات راچخوس در زمان‌های متفاوت برداشت و چین‌های متواالی
Table 2- Mean squares and significant level of growth characteristics of *Amaranthus* varieties at different harvest time and consecutive cutting

منابع تغییرات S.O.V	درجه آزادی d.f	ارتفاع بوته Plant height	قطر ساقه Plant diameter	نسبت برگ به ساقه Leaves/stem	تعداد پنجه در بوته Tiller per plants
بلوک Block	3	43.7	0.09	0.3	0.38
رقم Varieties (V)	2	1534.2**	0.56 ns	ns 0.01	11.12**
زمان برداشت Harvest time (H.t.)	1	10950.5**	0.61 ns	0.01 ns	0.32 ns
رقم در زمان برداشت (V×H.t.)	2	203.1*	0.18 ns	0.02 ns	0.25 ns
خطا Error	15	43.5	0.03	0.03 ns	0.17
چین Cut (C)	1	6510.0**	3.1**	1.02**	3.26**
رقم در چین (V×C)	2	183.9*	0.03 ns	ns 0.06	0.06 ns
زمان برداشت در چین (H.t.× C)	1	2338.0**	1.54**	ns 0.10	3.26**
رقم در زمان برداشت در چین (V× H.t. ×C)	2	736.0**	0.16*	ns 0.08	ns 0.06
خطا Error	18	56.5	0.05	0.04	0.05
ضریب تغییرات C.V.	-	5.3	13.6	13.8	5.9

*، ** و ns به ترتیب وجود اختلاف معنی‌دار در سطح ۵٪، ۱٪ و عدم وجود اختلاف معنی‌دار
ns, *, ** are no significant and significant at 5% and 1% levels respectively

ارقام منجر به کاهش قطر ساقه آنها می‌شود (Hauptli and Jain 1985). کمترین ارتفاع بوته در این آزمایش در رقم Kharkovski دیده شد و بر همین اساس مقایسه میانگین قطر ساقه نشان داد بیشترین قطر ساقه معادل ۲۰/۶ میلی‌متر در چین اول رقم Kharkovski و تیمار برداشت شروع دانه‌بندی و کمترین آن معادل ۹/۸ میلی‌متر در چین دوم رقم Cim مشاهده گردید. به طور کلی با توجه به کوتاهتر بودن طول دوره رشد در تمامی تیمارها متوسط قطر ساقه در تیمار برداشت شروع گلدهی و چین دوم کمتر از تیمار برداشت شروع دانه‌بندی و چین اول بود (جدول ۳).

تأثیر در برداشت در چین اول سبب افزایش رشد رویشی و افزایش قطر ساقه گردید، از طرفی تأثیر در برداشت سبب شد تا قطر ساقه این تیمار در چین دوم به سبب تخلیه شدن مواد محلول ساقه و ضعیف شدن ساقه گیاه کاهش یابد، به همین دلیل متوسط قطر ساقه در تیمار برداشت شروع دانه‌بندی در چین دوم در تمامی ارقام کمتر از متوسط قطر ساقه ارقام در چین اول این تیمار بود، این مسئله به نوبه خود بر نسبت برگ به ساقه که یکی از صفات کیفی گیاهان علوفه‌ای

مقایسه میانگین ارتفاع بوته نشان داد که به طور کلی متوسط ارتفاع بوته رقم Loura از دو رقم دیگر بیشتر هم‌چین متوسط ارتفاع بوته تمامی ارقام در تیمار برداشت شروع دانه‌بندی بیشتر از تیمار برداشت شروع گلدهی و متوسط ارتفاع چین اول بیشتر از چین دوم بود زیرا طول دوره رشد این تیمار برداشت هنگام گلدهی و چین اول بیشتر از طول دوره رشد تیمار برداشت شروع گلدهی و چین دوم بود (جدول ۵). سایر محققین نیز گزارش نمودند که با توجه به اینکه تاخخوس دارای سیستم فتوسنتزی چهار کرینه می‌باشد دارای کارایی بالای مصرف CO_2 تحت دامنه وسیعی از شرایط حرارتی و رطوبتی بوده پتانسیل بالایی برای تولید علوفه سبز در گرمترین فصل سال را دارد. بیشترین افزایش ارتفاع بوته گیاه بعد از شروع گلدهی اتفاق و تا گلدهی کامل ادامه دارد (Stallknecht and Schulz-Schaeffer, 1993).

نتایج تحقیقات انجام شده نشان داده است که در صورتی که ارقام تحت شرایط ثابتی از نظر تراکم کشت شوند معمولاً بین قطر و ارتفاع بوته آن‌ها همبستگی منفی وجود دارد و معمولاً افزایش ارتفاع بوته

است تأثیر داشت، در این آزمایش متوسط برگ به ساقه چین اول معادل ۴/۱ در کلاس آماری a و در چین دوم معادل ۳/۶ و در کلاس

جدول ۳- مقایسه میانگین اثرات متقابل ارقام در زمان برداشت در چین برداری بر ارتفاع و قطر ساقه

Table 3- Means comparison of interaction between varieties and harvest time on plant height and stem diameter

تیمار Treatments	ارتفاع بوته Stem height (cm)	قطر ساقه Stem diameter (cm)
رقم لورا، شروع گلدهی، چین اول Loura, flowering initiation, cut1	142.8 ^c	18.4 d ^e
رقم لورا، شروع گلدهی، چین دوم Loura, flowering initiation, cut2	135.0 ^c	14.0 ef
رقم لورا، پایان گلدهی، چین اول Loura, end of flowering, cut1	179.9 ^a	18.8 bc
رقم لورا، پایان گلدهی، چین دوم Loura, end of flowering, cut2	143.0 ^c	11.0 fg
رقم سیم، شروع گلدهی، چین اول Cim, flowering initiation, cut1	137.0 ^c	13.3 ef
رقم سیم، شروع گلدهی، چین دوم Cim, flowering initiation, cut2	120.0 ^d	13.8 ef
رقم سیم، پایان گلدهی، چین اول Cim, end of flowering, cut1	173.3 ^a	20.6 b
رقم سیم، پایان گلدهی، چین دوم Cim, end of flowering, cut2	155.8 ^b	9.8 g
رقم خارکوفسکی، شروع گلدهی، چین اول Kharkovski, flowering initiation, cut1	117.0 ^d	17.5 bcd
رقم خارکوفسکی، شروع گلدهی، چین دوم Kharkovski, flowering initiation, cut2	113.8 ^d	13.3 ef
رقم خارکوفسکی، بعد پایان گلدهی، چین اول Kharkovski, end of flowering, cut1	176.8 ^a	23.8 a
رقم خارکوفسکی، پایان گلدهی، چین دوم Kharkovski, end of flowering, cut2	118.8 ^d	16.3 cde

اعداد هر ستون که دارای حداقل یک حرف مشترک می‌باشد از نظر آماری در سطح ۵٪ اختلاف معنی‌دار ندارند.

Means, in each Column, followed by at least one letter in common are not significantly different at the 5% probability level

محلول موجود در ساقه و از طرف دیگر ایجاد فرست کافی برای عوامل خسارت‌زای ساقه مانند سرامیا گردید این مسئله موجب تخلیه ساقه افزایش پوسیدگی و کاهش قدرت پنجه‌زنی گیاه شد.

بررسی عملکرد علوفه تازه و خشک
 نتایج تجزیه واریانس اعداد حاصل از آزمایش به روش فاکتوریل اسپلیت‌پلات در زمان نشان داد که بین ارقام، چین، رقم در چین و زمان برداشت در چین از نظر عملکرد علوفه تازه و بین ارقام، چین و زمان برداشت در چین از نظر عملکرد علوفه خشک تفاوت معنی‌دار وجود داشت (جدول ۵).

سرعت رشد بالا و قدرت پنجه‌زنی بعد از چین برداری از صفات خوب گیاهان علوفه‌ای می‌باشد. مقایسه میانگین‌ها نشان داد رقم Loura با متوسط ۴/۷۲ عدد بیشترین تعداد پنجه در بوته را تولید و ارقام Cim و Kharkovski با متوسط ۴/۳۶ و ۴/۳۳ عدد پنجه در بوته در ردۀای بعدی قرار گرفتند، همچنین متوسط تعداد پنجه در بوته چین اول معادل ۴/۱ در کلاس آماری a و در چین دوم معادل ۳/۶ و در کلاس آماری b قرار گرفت. بین تیمار زمان برداشت و چین برداری نیز تفاوت معنی‌دار دیده شد و بیشترین تعداد پنجه معادل ۳/۳۹ عدد پنجه در بوته در چین اول تیمار زمان برداشت شروع گلدهی و کمترین آن معادل ۳/۳۹ پنجه در بوته در چین دوم همین تیمار مشاهده گردید (جدول ۴).
 به طور کلی تأخیر در برداشت از یک طرف سبب تخلیه مواد

جدول ۴- مقایسه میانگین اثرات متقابل چین در زمان برداشت بر تعداد پنجه در بوته

Table 4- Means comparison of interaction effects between cut and harvest time on tiller per plant

تیمار Treatments	تعداد پنجه در بوته Tiller per plant
چین اول، شروع گلدهی flowering initiation, cut1	4.43 ^a
چین دوم، شروع گلدهی flowering initiation, cut2	3.39 ^b
چین اول، پایان گلدهی end of flowering, cut1	3.75 ^b
چین دوم، پایان گلدهی end of flowering, cut2	3.57 ^b

اعداد هر ستون که دارای حداقل یک حرف مشترک می‌باشد از نظر آماری در سطح ۵٪ اختلاف معنی‌دار ندارند.

Means, in each Column, followed by at least one letter in common are not significantly different at the 5% probability level

جدول ۵- میانگین مربعات و سطح معنی‌داری عملکرد علوفه تازه و خشک ارقام تاجخروس در زمان‌های مختلف برداشت و چین‌های متواالی

Table 5- Mean squares and significant level of fresh and dry yield of *Amaranthus* varieties at different harvest time and consecutive cutting

منابع تغییرات S.O.V	درجه آزادی d.f	عملکرد علوفه تازه Fresh yield	عملکرد علوفه خشک Dry yield
بلوک Block	3	39.36	3.44
رقم Varieties (V)	2	214.78**	4.42**
زمان برداشت Harvest time (H.t.)	1	22.66 ns	0.35 ns
رقم در زمان برداشت (V×H.t.)	2	15.43 ns	0.05 ns
خطا Error	15	294.77 ns	0.62
چین Cut (C)	1	27985.02**	591.58**
رقم در چین (V×C)	2	191.41*	1.90 ns
زمان برداشت در چین (H.t.× C)	1	256.78**	5.17*
رقم در زمان برداشت در چین (V×H.t. ×C)	2	48.48 ns	0.53 ns
خطا Error	18	495.41	1.16
ضریب تغییرات C.V.	-	13.8	5.9

ns به ترتیب وجود اختلاف معنی‌دار در سطح ۱٪ و ۵٪ و عدم وجود اختلاف معنی‌دار

ns, *, ** are no significant and significant at 5% and 1% levels respectively

عملکرد علوفه تازه و خشک اثرات متقابل ارقام در زمان برداشت و تیمار زمان برداشت تفاوت معنی‌دار وجود نداشت، ولی بین مجموع عملکرد علوفه تازه و خشک ارقام اختلاف معنی‌دار وجود داشت (جدول ۶).

با توجه به اینکه در تجزیه فوق متوسط عملکرد ارقام در چین‌های متواالی بررسی می‌شود در صورتی که هدف نهایی انجام آزمایش مقایسه مجموع عملکرد علوفه تازه و خشک ارقام مختلف می‌باشد، لذا تجزیه به روش فاکتوریل انجام و مجموع عملکرد مورد مقایسه قرار گرفت. نتایج تجزیه واریانس نشان داد بین مجموع

جدول ۶- میانگین مربعات و سطح معنی‌دار بودن مجموع عملکرد علوفه تازه و خشک ارقام تاج خروس در زمان‌های مختلف برداشت
Table 6- Mean squares and significant level of total fresh and dry yield of *Amaranthus* varieties at different harvest time

S.O.V	منابع تغییرات	درجه آزادی d.f	عملکرد علوفه خشک	
			Fresh yield	Dry yield
بلوک		3	78.7	6.9
Block				
رقم		2	428.9**	8.8*
Varieties (V)				
زمان برداشت		1	45.0 ns	0.71 ns
Harvest time (H.t.)				
رقم در زمان برداشت		2	15.3 ns	0.10 ns
(V×H.t.)				
خطا		15	39.4	1.24
Error				
ضریب تغییرات		-	7.6	9.4
C.V.				

ns, *, ** are no significant and significant at 5% and 1% levels respectively

بود ارقام Cim و Kharkovski به ترتیب با مجموع ۸۰/۹۹ و ۷۵/۸۶ تن در هکتار علوفه تازه و ۱۱/۰۰ و ۱۱/۶۲ تن در هکتار علوفه خشک در یک گروه و در رده بعدی قرار گرفتند (جدول ۷).

مقایسه مجموع عملکرد علوفه تازه و خشک ارقام نشان داد رقم Loura با مجموع ۹۰/۳۰ تن در هکتار علوفه تازه و ۱۳/۰۵ تن در هکتار علوفه خشک در کلاس آماری a و نسبت به دو رقم دیگر برتر

جدول ۷- مقایسه مجموع عملکرد علوفه تازه و خشک ارقام تاج خروس
Table 7- Comparison of total fresh and dry yield of *Amaranthus* varieties

Varieties	ارقام	مجموع عملکرد علوفه تازه	مجموع عملکرد علوفه خشک	
			Total fresh yield (ton. ha ⁻¹)	Total dry yield (ton. ha ⁻¹)
Loura		90.3 ^a	13.05 ^a	
Cim		80.99 ^b	11.62 ^b	
kharkovski		75.86 ^b	11.00 ^b	

اعداد هر ستون که دارای حداقل یک حرف مشترک می‌باشد از نظر آماری در سطح ۵٪ اختلاف معنی‌دار ندارند.
ns, *, ** are no significant and significant at 5% and 1% levels respectively

مختلف در این آزمایش نشان داد عملکرد چین اول معادل ۶۵/۳۳ تن در هکتار علوفه تازه و ۹/۴۶ تن در هکتار علوفه خشک و در چین دوم به ترتیب معادل ۱۷/۰۴ تن در هکتار علوفه تازه و ۲/۴۴ تن در هکتار علوفه خشک بود. به عبارت دیگر حدود ۷۴٪ عملکرد علوفه در چین اول و فقط ۲۶٪ عملکرد در چین دوم تولید گردید، این مستثنی از نظر مدیریت مزرعه و جلوگیری از تأخیر در کشت بعدی اهمیت زیادی دارد. تحقیقات انجام شده در این زمینه نیز نشان داد که پوسیده شدن، از بین رفتن تعدادی از بوته‌ها و ضعیف شدن بوته‌های باقی‌مانده ناشی از خسارت سزامیا و عوامل قارچی از مهم‌ترین علت‌های کاهش عملکرد علوفه در چین دوم بوده به نحوی که تاج خروس در برخی مناطق بیشتر از یک چین تولید نمی‌نماید (Ainehband et al., 2007)

آینه بند و همکاران (Ainehband et al., 2007) در تحقیقی ارزش تغذیه‌ای علوفه تاج خروس ارقام اسلواکی، مرکادو، پلیزنست و آمونت را در تاریخ‌های اول تیرماه، پانزدهم تیرماه و اول مرداد در مزرعه تحقیقاتی دانشکده کشاورزی دانشگاه شهید چمران اهواز مورد بررسی قرار داده و گزارش نمودند که بین مجموع عملکرد علوفه ارقام تاج خروس اثر معنی‌دار وجود داشت. در آزمایش محققین فوق، رقم مرکادو با تولید ۳۱ تن در هکتار بیشترین علوفه خشک را تولید کرد. بیشترین درصد پروتئین علوفه نیز در رقم آمونت به دست آمد. در مجموع و بر اساس شرایط انجام آزمایش رقم مرکادو جهت کاشت در شرایط خوزستان توصیه گردید. بررسی و مقایسه متوسط عملکرد علوفه تازه و خشک چین‌های

می‌گردد. مطابق انتظار بین قطر و ارتفاع بوته همبستگی منفی و معنی‌دار وجود داشت. همچنین بین متوسط تعداد پنجه در بوته و قطر ساقه همبستگی منفی و معنی‌دار وجود داشت. بررسی مشاهدات نشان داد که ساقه‌های ضخیم‌تر حساسیت بیشتری به آفت سرامیا داشته و پس از اولین برداشت تعداد بیشتری از آن‌ها از بین رفت. همبستگی بین ارتفاع بوته و متوسط تعداد پنجه و نسبت برگ به ساقه و متوسط تعداد پنجه در بوته مثبت و معنی‌دار بود، بر همین اساس ارقام Loura و Cim با متوسط ارتفاع بوته بیشتر، تعداد پنجه و نسبت برگ به ساقه بیشتری داشتند.

(2007; Tucker 1986

همبستگی بین عملکرد و اجزای عملکرد

جدول همبستگی نشان داد که عملکرد علوفه خشک با متوسط قطر ساقه همبستگی منفی و معنی‌دار و با ارتفاع بوته نسبت برگ به ساقه و متوسط تعداد پنجه در بوته همبستگی مثبت و معنی‌دار داشت. نتایج این آزمایش نیز مؤید این مطلب است که رقم kharkovski بیشترین قطر ساقه و کمترین عملکرد را تولید نمود زیرا درصد ماده خشک ساقه تاج خروس کمتر از درصد ماده خشک برگ می‌باشد و کاهش نسبت برگ به ساقه موجب کاهش عملکرد علوفه خشک

جدول ۸- همبستگی بین عملکرد، قطر و ارتفاع بوته، نسبت برگ به ساقه و تعداد پنجه در بوته

Table 8- Correlation between stem height and diameter, leaf to stem ratio and tiller per plant

	عملکرد علوفه خشک Dry yield	عملکرد علوفه خشک Dry yield	قطر ساقه Plant diameter	ارتفاع بوته Plant height	نسبت برگ به ساقه Leaves/stem	متوجه تعداد پنجه در بوته Tiller per plant
عملکرد علوفه خشک	1					
Dry yield		1				
قطر ساقه	-0.72 **		1			
Plant diameter						
ارتفاع بوته	0.93**		-0.93 **	1		
Plant height						
نسبت برگ به ساقه	0.96 **		0.50 ns	0.79 **	1	
Leaves/stem						
متوجه تعداد پنجه در بوته	0.96 **		-0.89 **	0.99 **	0.85 **	1
Tiller per plant						

نتایج به دست آمده و برخی خصوصیات خوب گیاه علوفه‌ای تاج خروس در حال حاضر سوالات متعددی وجود دارد که پیشنهاد می‌گردد با اجرای طرح‌های تحقیقاتی در خصوص تعیین رابطه بین تراکم بوته (میزان بذر و فاصله ردیف) از نظر مدیریت مزرعه و تولید کمی و کیفی علوفه، مقایسه کمی و کیفی علوفه تولیدی در چین‌های متناوب، تعیین رابطه بین تاریخ کاشت و تولید کمی و کیفی علوفه با در نظر گرفتن تناوب منطقه، تعیین رابطه بین میزان آب آبیاری و تولید کمی و کیفی علوفه، تعیین رابطه بین شوری آب، خاک، تغذیه و عملکرد و در نهایت بررسی امکان افزایش میزان بهره‌برداری از واحد سطح زمین در کشت مخلوط تاج خروس با سایر گیاهان علوفه‌ای تابستانه (سویا، ذرت، سورگوم) به آنها پاسخ داده شود.

نتیجه‌گیری

در مجموع، نتایج این آزمایش مشخص نمود که رقم Loura با متوسط ارتفاع بوته ۱۵۰ سانتی‌متر، متوسط قطر ساقه ۱۴/۵ میلی‌متر، متوسط ۱/۴٪ نسبت برگ به ساقه، متوسط تعداد پنجه ۴/۷۲ طی دو چین و در طول دوره رشد ۱۱۱ روز با مجموع تولید ۹۰/۳۰ تن در هکتار علوفه تازه و ۱۳/۰۵ تن در هکتار علوفه خشک نسبت به دو رقم دیگر برتری داشت. بین مجموع عملکرد علوفه تیمارهای مختلف زمان برداشت تفاوت معنی‌دار وجود نداشت ولی طول دوره رشد تیمار برداشت قبل از گلدهی ۲۲ روز کمتر از تیمار برداشت پس از گلدهی بود، این مسئله از نظر مدیریتی و داشتن فرصت کافی جهت تهیه زمین زراعی برای کشت بعدی اهمیت فوق العاده‌ای دارد. با توجه به

References

- Abbasi, D., Rouzbehani, Y., and Rezaei, J. 2012. Effect of harvest date and nitrogen fertilization rate on the nutritive value of amaranth forage (*Amaranthus hypochondriacus* L.). Animal Feed Science and Technology 171: 6-13.

2. Ainehband, A., Aghazizadeh, V., and Mesgarabashi, M. 2007. The effect of different planting dates on quantitative and qualitative yield of new cultivars of *Amaranthus* spp. Iranian Journal of Crop Research 2 (5): 227-221.
3. Andini, A., Yoshida, S., and Ohsawa, R. 2013. Variation in Protein Content and Amino Acids in the Leaves of Grain, Vegetable and Weedy Types of *Amaranthus*. Agronomy 3: 391-403.
4. Chong, C. C. 1996. Evaluation of six amaranth varieties. Animal Feed Science and Technology 78: 346-354.
5. Dahiru, M. 2016. Growth Rate of Vegetable Amaranth (*Amaranthus cruentus* L.) as Influenced by Row Spacing and Nitrogen Fertilizer in Mubi, Northern Guinea Savannah Zone, Nigeria. International Journal of Innovative Agriculture & Biology Research 4 (2): 8-20.
6. Gimplinger, D. M., Dobos, G., Schonlechner R., and Kaul, H. P. 2007. Yield and Quality of Grain Amaranth (*Amaranthus* sp.) in Eastern Austria. Plant Soil Environ. 53 (3): 105-112.
7. Grubben, G. J. 2004. Plant Resources of Tropical Africa. PROTA; Wageningen, Netherlands: 2004. Vegetables; p. 667.
8. Hauptli, H., and Jain, S. 1985. Genetic variation in outcrossing rate and correlated floral traits in a population of grain amaranth (*Amaranthus cruentus* L.). Genetica 60: 21-27.
9. Henderson, T., Johnson, B., and Schneiter, A. 2000. Row spacing, plant population and cultivar effects on grain amaranth in the Northern Great Plains. Agronomy Journal 92: 329-336.
10. Johnson, B., and Henderson, T. 2002. Water use patterns of grain amaranth in the Northern Great Plains. Agronomy Journal 94: 1437-1443.
11. Leukebandara, I. K., Premaratne, S., and Peiris, B. L. 2015. Nutritive Quality of Thampala (*Amaranthus* spp.) as a Forage Crop in Sri Lanka. Tropical Agricultural Research 26 (4): 624-631.
12. Myers, R. L. 1996. Amaranth, new crop opportunity. In: Janick, J. (ed.): Progress in New Crops. ASHS Press, Alexandria: 207-220.
13. Moshaver, E., Madani, H., Emam, Y., Nour Mohamadi, G., and Heidari Sharifabad, H. 2016. Effect of planting date and density on amaranth (*Amaranthus hypochondriacus*) growth indices and forage yield. Journal of Experimental Biology and Agricultural Sciences 4 (5): 541-547.
14. Nyankanga, R. O., Onwonga, R. N., Wekesa, F. N., Nakimbugwe, D., Masinde, D., and Mugisha, J. 2012. Effect of Inorganic and Organic Fertilizers on the Performance and Profitability of Grain Amaranth (*Amaranthus caudatus* L.) in Western Kenya. Journal of Agricultural Science 4 (1): 223-232.
15. Olaniyi, J. O. 2007. Evaluation of yield and quality performance of grain amaranth varieties in the Southwestern Nigeria. Research Journal of Agriculture 1 (2): 42-45.
16. Palada, M., and Chang, L. 2003. Suggested Cultural Practices for Vegetable Amaranth. The World Vegetable Centre (AVRDC), International Cooperators' Fact Sheet; Shanhua, Taiwan: 2003. Pp. 3-552.
17. Reta Alemayehu, F., Bendevis, M., and Jacobsen, S. E. 2014. The potential for utilizing the seed crop amaranth (*Amaranthus* spp.) in East Africa as an alternative crop to support food security and climate change mitigation. Journal of Agronomy and Crop Science. 2014 doi: 10.1111/Jac. 12108.
18. Sleugh, B. B., Moore, K. J., Brummer, E. C., Knapp, A. D., Russell, J., and Gibson, L. 2001. Forage nutritive value of various amaranth species at different harvest dates. Crop Science 41: 466-472.
19. Rezaei, J., Rouzbehani, Y., and Fazaeli, H. 2009. Nutritive Value of Fresh and Ensiled Amaranth (*Amaranthus hypochondriacus*) Treated with Different Levels of Molasses. Animal feed Science and Technology 15 (12): 153-160.
20. Stallknecht, G. F., and Schulz-Schaeffer, J. R. 1993. Amaranth rediscovered. P, 211-218. In: J. Janick and J.E. Simon (eds). New Crops. Willey, New York
21. Teutonico, R. A., and Knorr, D. 1985. Amaranth: composition, properties, and applications of a rediscovered food crop. Food Technology 39: 49-60.
22. Tucker, J. B. 1986. Amaranth, the once and future crop. Bio Science 36: 9-13, 59-60.
23. Whitehead, W. F., Terrill, T. H., Singh, B. P., and Galaye, S. 2001. Amaranth Productivity and Nutrient Composition in Central Georgia. Proc. XIX International Grassland Congress, Feb. 2001. Piracicaba, Brazil



Forage Yield Comparison of Three Amaranth (*Amaranthus hypochondriacus* L.) Varieties at Different Harvesting Stages

A. Rahnama^{1*}- A. R. Safaeie²- M. Rezaei³

Received: 06-06-2017

Accepted: 15-04-2018

Introduction

Amaranthus L. is one of the oldest food crops in the new world. Earlier studies have predicted that the grain *Amaranthus* L. was domesticated in America. This crop has about 60 species of annual flowering plants distributed throughout the world's temperate and tropical regions. Three species of Amaranth (*Amaranthus hypochondriacus* L., *A. cruentus* L. and *A. caudatus* L.) were domesticated in the new world, but spread to the old world where they became important crop plants. These crops have potential for higher nutritional value, better adaptability to various ecological zones, and better resistance to biotic and abiotic stresses than most other staple crops. *Amaranthus* is one of the native plants of Africa that in addition to the relative tolerance to drought, have high forage production potential.

Materials and Methods

The experiment was conducted at the Karaj research station belongs to Seed and Plant Improvement Research Institute of Iran during the spring of 2016. This research located at 32° 34' N, 28° 32' S, the soil type was sandy loam. The experimental design was a randomized complete block with four blocks in split plots factorial method. Treatments included as three varieties of Amaranth consists of Loura, Cim and Kharkovski and two harvest times which were initiation and the end of flowering. All amaranth varieties belonging to species *A. Hypochondriacs* L., Plots consisted of six rows with 6-meter length, between and within row spacing were 0.6 and 0.1 meter, respectively. Soil was prepared in early bloom and seeds planted on the firmed bed at 1-2 cm depth in mid-May. Fertilization, Irrigation, weed and insect control were followed like the other leafy forage crop. Ten randomly selected plants were collected at the harvesting time to measure growth parameters consisting, plant stems, height and diameter, leaf to stem rate and tiller per plants. Two middle rows were used for the yield determinations. Dry weights were recorded after drying the fresh forage at 65°C in the oven for 48h. Analysis of variance for all traits was done by the MSTAT-C software and for mean comparison used Duncan's multiple range tests.

Results and Discussion

Analysis of variance for all traits was done by the MSTAT-C software and for means comparison used Duncan's multiple range tests. The results showed significant difference in cultivars fresh and dry forage yield but there was not any difference between harvest time and interaction effects. The means comparison showed that the Loura white 161.0 cm had the maximum stem length, Cim and Kharkovski whit 155.0 and 146.9 cm ranked in next categories. The maximum stem diameter equal 20.6 mm belongs to Kharkovski cultivar in class one and two-other cultivars stem diameter were 16.9 and 16.8 mm and placed in class b.

Conclusions

The results showed that the Loura amaranth variety was superior to the other two varieties. This variety had 150 cm stem height, 14.5 mm stem diameter, 1.4% leaf to stem ratio, 4.72 tillers per plant and it can produce 90.30, 13.05 tons per hectare fresh, dry forage yield tow cuts, and 111 days growth duration. The ccomparison of different harvesting times showed that harvesting at flowering initiation was better than the end of flowering.

1- Associate Professor, Seed and Plant Improvement Institute, Agricultural Research, Education and Extension Organization (AREEO), Karaj, Iran

2- Assistant Professor, Animal Science Research Institute of Iran, Research, Education and Extension Organization (AREEO), Karaj, Iran

3- Assistant Professor, Animal Science Research Institute of Iran, Research, Education and Extension Organization (AREEO), Karaj, Iran

(*- Corresponding Author Email: abam_rah@yahoo.com)

Comparing the amount of forage produced, showed that cutting at flowering initiation was better than cutting after the end of flowering. The growth duration of harvest at flowering initiation was 23 days less than harvest after the end of flowering. In terms of management and of having many opportunities to prepare the ground for the next crop, this issue is of tremendous importance.

Keywords: Cultivars comparison, Forage yield, New crops



اثر شرایط مختلف رطوبتی خاک و کاربرد نانو اکسیدروی بر تغییرات فیتوهورمونی و کیفیت (*Triticum aestivum*) گندم نان

امین عباسی^{۱*}- فریبهرز شکاری^۲- رامین لطفی^۳

تاریخ دریافت: ۱۳۹۶/۰۷/۱۳

تاریخ پذیرش: ۱۳۹۷/۰۳/۲۰

چکیده

تنش خشکی و کمبود عنصر روی از عوامل مهم تأثیرگذار بر روی تغییر وضعیت رشدی و کاهش کمیت و کیفیت گندم تولیدی می‌باشد. پژوهش حاضر با بهره‌گیری از آزمایش اسپلیت پلات در قالب طرح بلوک‌های کامل تصادفی در سه تکرار در سال ۱۳۹۴ در کشتزار پژوهشی گروه مهندسی تولید و ژنتیک گیاهی دانشکده کشاورزی دانشگاه مراغه انجام گرفت. دو عامل شرایط مختلف رطوبتی [آبیاری در ۹۰ درصد ظرفیت زراعی (عدم تنش)، آبیاری در ۷۵ درصد ظرفیت زراعی (تنش شدید) و کاربردهای عنصر روی (بذر خشک، افزانه کردن ۰/۵ گرم در ۱۰۰ لیتر و ۱ گرم در ۱۰۰ لیتر نانو اکسیدروی و افزانه کردن ۰/۵ گرم در ۱۰۰ لیتر و ۱ گرم در ۱۰۰ لیتر اکسیدروی] به عنوان فاکتورهای این پژوهش بر روی رقم هما (سرداری ۳۹) مورد بررسی قرار گرفتند. با توجه به نتایج تجزیه‌ی واریانس داده‌های مزرعه‌ای آشکار شد که کاربرد عنصر روی در شرایط تنش قادر به بهبود شماری از پارامترهای مورد بررسی در این پژوهش می‌باشد به نحوی که برهم کنش مربوط به اعمال تنش خشکی و کاربرد عنصر روی بر روی ایندول استیک اسید، اسید جیبرلیک، مقادیر عنصر روی، شاخص کلروفیل، پروتئین، ماده خشک کل، اسید فیتیک و پرولین و اثرات ساده‌ی مربوط به کاربرد عنصر روی و تنش خشکی بر میزان تریپتوفان و عملکرد اقتصادی در سطح احتمال يك درصد معنی دار گشت. به عنوان نتیجه‌گیری کلی می‌توان چنین اذعان داشت که بروز تنش خشکی با اثر مستقیم بر مقادیر هورمون‌های گیاهی تأثیرات نامطلوبی را بر روی رشد و نمو گیاهان دارد. بهره‌گیری از تیمار ۰/۵ گرم نانو اکسید روی در می‌تواند با افزایش ساخت پرولین و پیشگیری از تخریب کلروفیل موجب کاهش اثرات سوء تنش کم‌آبی و بهبود شرایط رشدی گیاهان گردد که نهایتاً به بهبود عملکرد کمی و کیفی منتهی گردد.

واژه‌های کلیدی: اسید فیتیک، اکسین، تریپتوفان، سیتوکینین، عملکرد

دارا می‌باشد. اغلب مناطق تولید گندم در جهان در بخشی از فصل رشد با کمبود آب مواجه هستند. کشور ایران با متوسط بارندگی ۲۴۰ میلی‌متر در سال جزو مناطق خشک و نیمه خشک جهان محسوب می‌شود. در کشورمان کم آبی مهم‌ترین عامل کاهش‌دهنده کیفیت و کیفیت عملکرد گندم و سایر گیاهان زراعی اطلاق می‌گردد (Roche et al., 2009). تنش خشکی تأثیرات چند جانبه‌ای بر روی گیاهان می‌گذارد که نمود آنها در گیاهان کاهش تقسیم سلولی، حجم سلول، رشد اندام‌های گیاه، سطح برگ، فتوستتر خالص، سنتز پروتئین، کلروفیل، تغییر توازن هورمونی و تغییرات بیان ژنی را به دنبال دارد (Ji et al., 2010). این تغییرات اغلب به وسیله تحریک‌پذیری هورمون‌های گیاهی از تنش خشکی به انجام می‌رسد. هورمون‌های گیاهی علاوه بر اینکه در سازگاری گیاهان به تنش خشکی می‌توانند ایفای نقش کنند در رشد و نمو گیاهان در این شرایط نیز نقش کلیدی

مقدمه

گندم (*Triticum aestivum* L.) به عنوان قدیمی‌ترین و مهم‌ترین گیاه در میان محصولات زراعی با میانگین برداشت سالیانه حدود ۷۳۰ میلیون تن و سطح زیر کشت ۲۲۰ میلیون هکتار (FAO, 2014)، بیشترین تولید و سطح زیر کشت را در بین محصولات زراعی

۱- استادیار، گروه مهندسی تولید و ژنتیک گیاهی، دانشکده کشاورزی، دانشگاه مراغه، مراغه، ایران

۲- استاد، گروه مهندسی تولید و ژنتیک گیاهی، دانشکده کشاورزی، دانشگاه مراغه، مراغه، ایران

۳- استادیار، موسسه تحقیقات کشاورزی دیم کشور، سازمان تحقیقات، آموزش و ترویج کشاورزی، مراغه، ایران

(Email: a.abbasii25@yahoo.com

DOI: 10.22067/gsc.v16i3.67795

*)- نویسنده مسئول:

نیز در همین راستا به عنوان نانو ذره‌ای جدید مهندسی شده است. بررسی‌ها نشان داده‌اند که کاربرد نانوکسید روی علاوه بر افزایش مصرف غلظت عنصر روی در گیاهان بر میزان جذب سایر عناصر نیز تأثیر دارد (Kisan *et al.*, 2015). با مصرف عناصر ریز مغذی قدرت تحمل گندم به شرایط تنفس افزایش می‌یابد. زاین و همکاران (Zain *et al.*, 2015) اظهار داشتند که محلول‌پاشی عناصر کم مصرف در مقایسه با سایر روش‌های کاربرد تأثیر مثبتی بر بخشی از خصوصیات رشدی گندم داشت. همچنین رزمجو و غفاری (Razmjoo and Ghafari, 2015) گزارش نمودند که کاربرد کود به فرم نانو در مقایسه با فرم معمولی تأثیر بیشتری بر عملکرد گندم داشه است.

وقوع تنفس خشکی در کشتزارهای گندم از یک سو و کمبود عنصر روی از سوی دیگر، عملکرد کمی و کیفی گندم را تحت تأثیر قرار می‌دهد. بدیهی است که افزایش دسترسی عنصر روی و کاهش اثرات تنفس خشکی می‌تواند نقش مؤثری در بهبود وضعیت حاضر گذشتند. در پژوهش کنونی تلاش گردیده تا اثر افسانه کردن نانو اکسید روی و اکسید روی معمولی در راستای افزایش تحمل گیاهان زراعی به تنفس خشکی در گندم پاییزه (همما) مورد بررسی قرار گیرد. همچنین، اثرات تیمارهای یاد شده بر تغییرات رشدی، عملکرد کمی و کیفی و تغییرات فیتوهورمونی مورد بررسی قرار گرفته است.

مواد و روش‌ها

این پژوهش به منظور تعیین اثر مصرف عنصر روی در دو فرم نانو اکسید روی و اکسید روی معمولی بر مقادیر فیتوهورمون‌های گیاهی، وضعیت رشدی و کیفیت تغذیه‌ای گندم در شرایط تنفس خشکی در سال ۱۳۹۴ در کشتزار پژوهشی گروه مهندسی تولید و ژنتیک گیاهی دانشکده کشاورزی داشگاه مراغه اجرا گردید. برای انتخاب کشتزار مناسب، نخست نمونه‌های خاک از عمق ۰ تا ۲۵ سانتی‌متری کشتزارهای مختلف تهیه و غلظت برخی از عناصر غذایی و سایر ویژگی‌های فیزیکی و شیمیایی خاک اندازه‌گیری شدند (جدول ۱) (Ali-Ehyae *et al.*, 1993).

را بر عهده دارند (Muraro *et al.*, 2011)

روی جزء تشکیل‌دهنده برخی از پروتئین‌های غیرآنژیمی و همچنین، کوفاکتور شماری از آنژیم‌های است. در گیاهان زراعی، آنژیم‌های متعددی در متابولیسم کربوهیدرات‌ها و ساخت پروتئین‌ها درگیر هستند که فعالیت آن‌ها توسط روی صورت می‌پذیرد که می‌توان به آلدولاز، ایزومراز، ترانس فسفریلаз، RNA و DNA پلیمراز و دهیدروژناز اشاره نمود. عنصر روی در سنتز پروتئین و تولید انرژی سلولی نیز دخیل می‌باشد (Broadley *et al.*, 2007). این عنصر نقش مهمی را در حفظ و تمامیت غشاء سلولی، گرددهافشانی و مقاومت در برابر پاتوژن‌ها ایفا می‌کند (Marschner, 2011). روی همچنین، در تنظیم بیان ژن در تحمل به تش‌های محیطی نقش مهمی دارد (Broadley *et al.*, 2007). عنصر یاد شده به صورت مستقیم یا غیرمستقیم در تشکیل نشاسته، متابولیسم نیتروژن، انسجام غشاها، فعالیت فیتوکروم‌ها، تبدیل کربوهیدرات‌ها و انجام اکسیداسیون یاخته‌های گیاهی نقش بهسازی را ایفا می‌کند (Fageria *et al.*, 2003). به عنوان مهمترین نقش این عنصر می‌توان به ساخته شدن ایندول‌استیک‌اسید از تریپتوفان اشاره نمود (Abbasi *et al.*, 2015).

استفاده از فناوری‌های روز دنیا و بهویژه فناوری نانو از جمله رویکردهای نوینی می‌باشد که مورد توجه پژوهشگران بخش کشاورزی دنیا قرار گرفته است (Scott and Chen, 2013). نانو ذرات مجموعه‌ای از اتم‌ها و مولکول‌هایی با قطر بین ۱ تا ۱۰۰ نانومتر هستند. به عبارتی آن دسته از موادی که در تمام ابعاد در مقیاس نانو می‌باشند، نانو ذرات خوانده می‌شوند (Klaine *et al.*, 2008). فناوری نانو با تغییر و اثرباری در فرمولاسیون کودها و تولید موادی با ویژگی‌های مناسب و منحصر به فرد (نانوکود شیمیایی، نانوکود آلی و نانوکود بیولوژیک) می‌تواند نقش مهمی را در افزایش راندمان و کیفیت محصولات کشاورزی به‌واسطه سرعت جذب بالاتر ایفا نماید (Manjunatha *et al.*, 2016). اکسید روی از طرف سازمان غذا و داروی آمریکا به عنوان یکی از ترکیبات ایمن و سالم عنصر روی شناخته شده است (Premanathan *et al.*, 2011).

جدول ۱- نتایج تجزیه‌های فیزیکی و شیمیایی خاک مورد استفاده پیش از کاشت

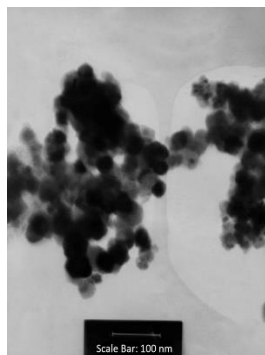
Table 1- Results of physical and chemical analysis of soil before planting

Soil characteristics measured in the soil	Values	Soil characteristics measured in the soil	Values
ویژگی‌های اندازه‌گیری شده در خاک مورد آزمایش		ویژگی‌های اندازه‌گیری شده در خاک مورد آزمایش	مقادیر
(Soil Textures) بافت خاک	sandy loam	(Total Nitrogen) نیتروژن کل	0.06
(Soil Clay Acidity) اسیدیته گل اشباع	7.51	(P availability) فسفر قابل جذب (روش اولسون)	3.81
(Electrical Conductivity) قابلیت هدایت الکتریکی (دسی زیمس بر متر)	0.46	(K availability) پتانسیم قابل جذب (استات آمونیوم)	364
(Calcium Carbonate equivalent) کربنات کلسیم معادل	9.61	(Zn availability) (DTPA) روی قابل جذب	0.38
(Organic Carbon) کربن آلی	0.32	(Mn availability) (DTPA) مگنزیم قابل جذب	1.56
(Saturation Moisture) رطوبت اشباع	46	(Fe availability) (DTPA) آهن قابل جذب	3.26

روی را داشت انتخاب گردید. تغذیه‌ی کودی کشتزار به دو شکل کود

برای اجرای آزمایش، خاک کشتزاری که کمترین میزان عنصر

لازم به ذکر است که مواد نانو اکسید روی به روش همرسوبی با استفاده از نیترات روی و سدیم هیدروکسید در آزمایشگاه پژوهشی و تحقیقاتی گروه شیمی، دانشکده علوم پایه، دانشگاه مراغه انجام شد (Devi and Velu, 2016). تصویر میکروسکوپ الکترونی عبوری (Transmission Electron Microscopic) ذرات حاصل از واکنش همرسوبی در شکل ۱ آورده شده است.



شکل ۱- تصویر (TEM) میکروسکوپ الکترونی نانو اکسید روی
Figure 1- TEM micrograph of Nano-ZnO nanoparticles

در این پژوهش صفات عملکرد زیست‌شناختی (بیولوژیک)، عملکرد اقتصادی، شاخص برداشت از حاصل ضرب نسبت عملکرد دانه به عملکرد بیولوژیک در ۱۰۰ به دست آمد (Fageria *et al.*, 2003). پروتئین دانه‌های برداشت شده با کاربرد دستگاه پروتابل آنالیزور بذر Zeltex (مدل ZX50) اندازه‌گیری شد. شاخص کلروفیل برگ‌ها با استفاده از دستگاه کلروفیل سنج دستی (Spad Minolta-502) در زمان سنبله‌دهی در برگ ماقبل آخر اندازه‌گیری شد. اندازه‌گیری غلظت روی دانه‌های برداشت شده از واحدهای آزمایشی با بهره‌گیری از روش Wet Ashing با استفاده از دستگاه جذب اتمی Shimadzu AA-6300 (Van Loon *et al.*, 2012) به انجام رسید (Bates *et al.*, 1973). ارزیابی میزان تجمع پرولین به عنوان یک عامل مهم در برآورد میزان مقاومت به خشکی از روش باتس استفاده گردید (Rostamza *et al.*, 2011).

آندازه‌گیری غلظت هورمون‌های ایندول استیک اسید و اسید ایزوسیک به وسیله روش کوجیما همراه با اصلاحاتی که توسط یوکوتون و همکاران صورت گرفته است انجام شد (Yokota *et al.*, 1994). آندازه‌گیری غلظت هورمون اسید جیبرلیک به وسیله روش مورد اشاره Barendse *et al.*, 1980 صورت گرفت (Barendse *et al.*, 1980). میزان اسیدهای آمینه در نمونه‌های برداشت شده توسط دستگاه HPLC و روش استاندارد فونتائین تعیین شد (Fontaine, 2003). گذشته از این موارد، آندازه‌گیری اسیدوفیتیک دانه نیز به روش Haug و Lantzsch صورت گرفت (Haug and Lantzsch, 1983).

پیش از تجزیه‌ی واریانس، نرمال بودن توزیع داده‌ها و خطاهای افزایشی بودن اثر بلوک در تیمار بررسی گردید. مقایسه‌ی میانگین

پایه و کود سرک صورت گرفت. کود پایه شامل فسفر ۱۸ کیلوگرم در هکتار از منبع کود فسفات آمونیوم) و نیتروژن ۹۶ کیلوگرم در هکتار از منبع کود اوره و ۱۰ کیلوگرم از منبع کود فسفات آمونیوم، در هنگام دیسک زدن در سطح خاک پخش شد.

این پژوهش با بهره‌گیری از آزمایش اسپلیت پلات در قالب طرح پایه بلوک‌های کامل تصادفی در سه تکرار انجام گرفت. در آزمایش حاضر، دو فاکتور شامل شرایط مختلف رطوبتی خاک (آبیاری در ۹۰ درصد ظرفیت زراعی، آبیاری در ۷۵ درصد ظرفیت زراعی و آبیاری در ۵۰ درصد ظرفیت زراعی) به عنوان فاکتور اول و کاربردهای عنصر روی (بذر خشک، افسانه کردن ۱/۵ گرم در ۱۰۰ لیتر نانو اکسید روی، افسانه کردن ۱ گرم در ۱۰۰ لیتر نانو اکسید روی، افسانه کردن ۰/۵ گرم در ۱۰۰ لیتر اکسید روی) به عنوان فاکتور دوم در نظر گرفته شد. به منظور تهیه کردن محلول نانو اکسید روی، مقدار مشخص نانوذرات اکسید روی را در ۱۰۰ میلی‌لیتر آب افزوده و به مدت نیم ساعت در مجاورت امواج فراکوت قرار گرفت شد. بعد از پراکنده شدن یکنواخت نانوذرات در داخل آب، عمل افسانه کردن در مرحله ۱۸ زادوکس و در دو مرحله با فاصله یک هفتاهی انجام شد. برای اعمال شرایط متفاوت رطوبتی تمامی تیمارها تا مرحله ۴-۶ برگی به صورت کامل آبیاری شدند سپس جهت اعمال الگوی آبیاری، مقادیر رطوبت وزنی خاک در نقطه ظرفیت زراعی (FC) و پژمردگی دائم (WP) اندازه‌گیری شد. طول کرت‌ها چهار متر و عرض آنها دو متر و فاصله‌ی بین کرت‌ها ۲ متر و فاصله بین تکرارها ۵ متر در نظر گرفته شد. زمان‌های آبیاری مزمعه با اندازه‌گیری رطوبت خاک به روش وزنی از طریق نمونه‌گیری خاک در یک نوبت در وسط هر روز از عمق توسعه ریشه در تیمارهای مختلف و رسیدن به رطوبت مورد نظر تعیین گردید (Martin *et al.*, 1990). میزان آب آبیاری برای هر کرت با در نظر گرفتن عمق توسعه ریشه (۳۰ سانتی‌متر) مساحت کرت و رطوبت ظرفیت زراعی خاک بر حسب

$$(1) \quad In = \frac{(Fci - \theta i) \times D \times A}{100}$$

In : حجم آب مصرفی، F_{ci} : رطوبت خاک در شرایط ظرفیت زراعی، θ_i : مقدار رطوبت خاک در شرایط نمونه‌برداری، D : عمق مناسب نفوذ ریشه، A : سطح کرت مورد استفاده. انتهای کرت‌ها برای جلوگیری از خروج آب به طور کامل بسته شدند. برای جلوگیری از تأثیر بارندگی‌ها بر روی کشتزار آزمایشی و اثرات آنها بر تیمارهای خشکی، پوشش‌های پلاستیکی با توجه به پیش‌بینی‌های هواشناسی در روزهایی با احتمال بارش بر روی کشتزار در نظر گرفته شد. همچنین جهت یکنواختی شرایط محیطی در بین سطوح مختلف آبیاری، پوشش‌ها بی‌درنگ پس از سپری شدن روزهای بارانی برداشته می‌شد.

عناصر را تغییر می‌دهد که علاوه بر افزایش انحلال پذیری عناصر، قابلیت نفوذ در غشاء سلولی آنها را نیز بهبود می‌دهد همچنین در افزایش فعالیت‌های شیمیایی عناصر نیز تأثیر مثبتی دارد. برای نخستین بار، سکوگ (Skoog, 1940) گزارش کرد هنگامی که گیاهان گوجه‌فرنگی تحت شرایط کمبود روی قرار گرفتهند میزان ایندول استیک اسید در این گیاهان کاهش معنی‌داری را نشان داد. در شرایط فراهمی این عنصر، گذشته از افزایش مقدار ایندول استیک اسید، بلندی گیاهان نیز افزایش معنی‌داری را نشان داد. عنصر روی سطوح اکسین در گیاه را تحت تأثیر قرار می‌دهد، به طوری که کمبود آن موجب توقف رشد و همچنین، تجزیه ایندول استیک اسید توسط افزایش فعالیت پراکسیداز خواهد گردید. پایین بودن اکسین در گیاهانی با کمبود روی توسط چاکماک و همکاران (Cakmak *et al.*, 1989) نیز گزارش شده است.

تجزیه‌ی واریانس داده‌ها نشان داد که برهم‌کنش کاربرد نانو اکسید روی و اعمال تنفس خشکی دارای اثرات معنی‌داری در مقادیر اسید آبسیسیک بودند ($p < 0.01$) (جدول ۲). بیشترین میزان اسید آبسیسیک مربوط به تیمار کاربرد اکسید روی نیم درصد در آبیاری ۵۰ درصد ظرفیت زراعی و کمترین آن مربوط به تیمار یک درصد نانو اکسید روی در آبیاری ۹۰ درصد ظرفیت زراعی بود (شکل ۲). در این پژوهش، میزان اسید آبسیسیک در تیمار شاهد با آبیاری ۹۰ درصد ظرفیت زراعی در حدود ۴۹۴ نانوگرم بر گرم وزن تر بود، به کارگیری نانو اکسید روی در همان شرایط باعث کاهش ۲۲ درصدی اسید آبسیسیک گشت. کاربرد اکسید روی نیز در همین شرایط سبب کاهش ۹/۵۱ در صدی میزان اسید آبسیسیک شد. به همین ترتیب، کاربرد نانو اکسید روی در شرایط آبیاری ۷۵ درصد ظرفیت زراعی سبب کاهش ۴۹/۶ نانوگرم بر گرم وزن تر از مقدار این هورمون نسبت به تیمار شاهد در این شرایط گردید (شکل ۲). اسید آبسیسیک باعث کاهش رشد دانه می‌گردد که به احتمال فراوان از راه کاهش در شمار سلول آندوسپرمی و محدود کردن بیشینه گنجایش اندوخته‌ای (Myers *et al.*, 1990) یا از راه اثرات بازدارندگی آن بر روی گسیل ساکاروز-14C (Borkovec and Prochazka, 1992) صورت می‌گیرد. پژوهش‌های بعدی آشکار ساخت که سطوح بسیار بالای این هورمون پس از دوره تقسیم سلولی، اثر بازدارندگی بر روی پر شدن دانه و رشد دانه ایجاد می‌کند (Ahmadi and Baker, 1999). ولی غلظت متعادل آبسیسیک اسید در آغاز پر شدن دانه و پیری برگ‌های پرچم به بهبود اجزای املکردن خواهد انجامید. با توجه به شکل ۲ بیشترین میزان اسید آبسیسیک مربوط به تیمار کاربرد اکسید روی در آبیاری ۵۰ درصد ظرفیت زراعی و کمترین آن مربوط به تیمار نانو اکسید روی و آبیاری در ۹۰ درصد ظرفیت زراعی می‌باشد که انتظار بر این است که اندازه دانه در این تیمارها نیز بزرگ‌تر باشد چرا که سرعت پر شدن دانه در این تیمارها بالاتر می‌باشد. در همین رابطه

صفات مورد بررسی توسط آزمون چندامنه‌ای دانکن در سطح احتمال پنج درصد صورت گرفت. برای انجام تجزیه‌ی داده‌ها و رسم نمودارها نرم‌افزارهای 12 GenStat و SPSS17 به کار رفت.

نتایج و بحث

با توجه به نتایج تجزیه‌ی واریانس داده‌های مزروعه‌ای آشکار شد که کاربرد عنصر روی در تیمارهای تنفس مورد بررسی قادر به بهبود شماری از پارامترهای این پژوهش می‌باشد. به گونه‌ایی که با توجه به جدول ۲ برهم‌کنش مربوط به اعمال تنفس خشکی و کاربرد عنصر روی بر روی ایندول استیک اسید، آبسیسیک اسید، اسید جیرلیک، مقادیر عنصر روی، شاخص کلروفیل، پروتئین، ماده خشک کل، اسید فیتیک و پرولین معنی‌دار بوده است ($p < 0.01$). همچنین اثرات جدگاهه کاربرد عنصر روی و تنفس خشکی بر صفات میزان تریپتوфан و عملکرد اقتصادی معنی‌دار گشت ($p < 0.01$) (جدول ۲). همچنین اثرات ساده‌ی این تیمارها در صفات میزان تریپتوfan، عملکرد اقتصادی معنی‌دار شد ($p < 0.01$).

تجزیه‌ی واریانس داده‌ها نشان داد که برهم‌کنش کاربرد نانو اکسید روی و اعمال تنفس خشکی دارای اثرات معنی‌داری در مقادیر ایندول استیک اسید بودند ($p < 0.01$) (جدول ۲). بیشترین میزان ایندول استیک اسید مربوط به تیمار کاربرد یک درصد نانو اکسید روی در شرایط آبیاری ۹۰ درصد ظرفیت زراعی و کمترین آن مربوط به تیمار شاهد در هر سه نوع آبیاری می‌باشد که تفاوت معنی‌داری با تیمار نیم درصد کاربرد اکسید روی در شرایط آبیاری ۵۰ درصد ظرفیت زراعی نشان نداد (شکل ۲). در این پژوهش، میزان ایندول استیک اسید در تیمار شاهد با آبیاری ۵۰ درصد ظرفیت زراعی در حدود ۱۱۸/۳ نانوگرم بر گرم وزن تر بود، بهره‌گیری از نانوآکسیدروی در شرایط فوق باعث افزایش ۳۷/۵ درصدی ایندول استیک اسید گشت. کاربرد اکسید روی نیز سبب افزایش ۱۳/۴ درصدی میزان ایندول استیک اسید شد. به همین ترتیب، کاربرد یک درصد نانو اکسید روی در تیمار شاهد با آبیاری در ۹۰ درصد ظرفیت زراعی سبب افزایش میزان هورمون ایندول استیک اسید از حدود ۱۳۰ نانوگرم بر گرم وزن تر تا ۲۹۲/۳ نانوگرم بر گرم وزن تر گردید (شکل ۲). طبق اظهارات مارشнер (Marschner, 2011) متمایزترین نشانه‌های کمبود روی کاهش یا توقف رشد برگ‌ها و اندام‌های هوایی می‌باشد. افزایش رشد شاخصاره در نتیجه‌ی کاربرد عنصر روی توسط چاکماک (Cakmak, 2008) نیز گزارش گردیده است. عنصر روی سطوح اکسین در گیاه را تحت تأثیر قرار می‌دهد، به طوری که کمبود آن موجب توقف رشد و همچنین، تجزیه ایندول استیک اسید توسط افزایش فعالیت پراکسیداز خواهد گردید. تبدیل مواد به مقیاس نانو تمام خصوصیات فیزیکی، شیمیایی، بیولوژیکی و فعالیت کاتالیزوری

استیک اسید و اسید آبسسیک به طور معنی داری کاهش نشان می دهد (Zdunek and Lips, 2001). کاهش غلظت اسید آبسسیک در Benech- Marrush *et al.*, 1998 کم بود پتا سیم نیز گزارش شده است ().

اسچوسلر و همکاران (Schussler *et al.*, 1984) نشان دادند که در گیاه سویا (*Glycine max L.*) رقمی با وزن دانه بالا، محتوای اسید آبسسیک نیز بالاتر بود. در رابطه با نیتروژن نیز این گفته صادق می باشد که با کاهش در دسترس بودن این عنصر میزان ایندول

جدول ۲- تجزیه‌ی واریانس میانگین مربوط به صفات مورد بررسی گندم تحت تأثیر عنصر روی و اعمال تنش خشکی

Table 2- Analysis of variance mean of squares of the traits affected by zinc and drought stress

منابع تغییرات Sources of Variatio n	df	میانگین مربوط (Mean Square)										
		ایندول Indole-acetic acid	استیک Aspartic acid	آبسسیک Abscisic acid	اسید جیبرلیک Gibberellic acid	تریپتوфан Tryptophan	مقادیر عنصر روی Zinc	شاخص کلروفیل Chlorophyll index	پروتئین Protein	ماده خشک کل Total dry matter	عملکرد اقتصادی Yield	اسید فیتیک Phytic Acid
تکرار Replication	2	41.76	220.87	109.4	0.23022	0.000016	0.0028	0.30422	14071	0.0086	0.05067	1.7936
تنش Stress	4	20666.8**	202213.8**	15348.6**	5.82689**	0.00042**	38.557**	28.26822**	14352503**	8.1234**	12.514**	163.344**
اشتباه اصلی Error a	4	15.96	11.27	87.1	0.03489	0.000001	0.16422	0.00856	6702	0.03424	0.0343	0.3756
عنصر روی Zn × روی × تنش	4	16962.61**	4555.5**	757.92**	0.98978**	0.000073**	4.3025**	4.2325**	478012**	0.2973**	3.29022**	36.1141**
Zn _x Stress اشتباه Error B	8	1830.63**	1091.36**	93.24**	0.04161ns	0.000006**	0.6183**	0.779**	33473*	0.03648 ^{ns}	3.9027**	10.671**
ضریب تغییرات CV	-	4.8	4	3	8.8	5.1	3.9	3	9.4	7.2	5.1	1.5

* و **: به ترتیب غیر معنی دار و معنی دار در سطح احتمال ۵٪ و ۱٪ ns

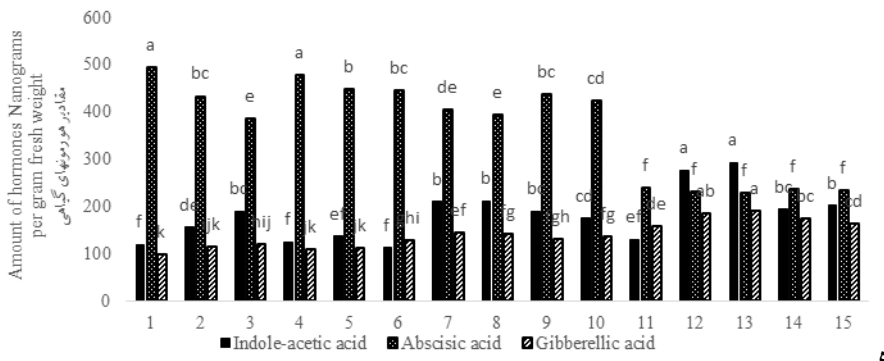
ns, * and **: Not-significant and significant at 5% and 1% probability levels, respectively.

در هر دو شرایط آبیاری ۷۵ و ۵۰ درصد ظرفیت زراعی نیز نسبت به تیمارهای عدم کاربرد عنصر روی در همین شرایط افزایشی معادل ۱۸/۰۸ و ۱۲/۵۹ درصد را نشان دادند (شکل ۲). بر پایه گزارش های سینگ و شوکلا (Singh and Shukla, 1985) کاربرد سولفات روی سبب افزایش تولید ایندول استیک اسید گردید که نتیجه آن افزایش درازای ساقه و پیرو آن ماده خشک گیاه بوده است. از سویی سکیمو تو و همکاران (Sekimoto *et al.*, 1997) دریافتند که تغذیه مناسب گیاه با عنصر روی غلظت اسید جیبرلیک درون گیاهی را هم افزایش می دهد، این پژوهشگران دلیل اصلی توقف رشد برگی را کاهش همزمان اسید جیبرلیک و ایندول استیک اسید دانستند. تجزیه‌ی واریانس داده‌ها نشان داد که اثرات اصلی هر دو فاکتور کاربرد عنصر روی و اعمال تنش خشکی در میزان تریپتوファン برگ‌های گیاهان تفاوت معنی داری در سطح احتمال یک درصد داشت

در پژوهش کنونی تجزیه‌ی واریانس داده‌ها نشان داد که برهم‌کنش کاربرد نانو اکسید روی و اعمال تنش خشکی دارای اثرات معنی داری در مقادیر هورمون اسید جیبرلیک در سطح احتمال یک درصد بود (جدول ۲). بیشترین میزان هورمون اسید جیبرلیک مربوط به تیمار کاربرد یک درصد نانو اکسید روی در آبیاری ۹۰ درصد ظرفیت زراعی و کمترین آن مربوط به تیمار عدم کاربرد عنصر روی در آبیاری ۵۰ درصد ظرفیت زراعی بود (شکل ۲). در این پژوهش، میزان هورمون اسید جیبرلیک در تیمار عدم کاربرد عنصر روی در شرایط آبیاری ۹۰ درصد ظرفیت زراعی در حدود ۱۵۷/۷ نانوگرم بر گرم وزن تر بود. به بیان بیشتر، کاربرد نانو اکسید روی در این شرایط باعث افزایش ۱۷/۴۳ درصدی هورمون اسید جیبرلیک گشت. کاربرد اکسید روی در همین شرایط نیز سبب افزایش ۹/۳۶ درصدی میزان هورمون اسید جیبرلیک شد. به همین ترتیب، کاربرد نانو اکسید روی

مربوط به تیمار آبیاری در ۵۰ درصد ظرفیت زراعی و عدم کاربرد عنصر روی بود و کمترین آن نیز با مقدار ۱/۶۷ و ۱/۷۶ میکروگرم در گرم وزن تر مریبوط به تیمار کاربرد یک درصد نانو اکسید روی و آبیاری در ۹۰ درصد ظرفیت زراعی بود (شکل ۳).

(جدول ۲). مقایسه میانگین‌ها نشان داد که کمترین میزان تریپتوфан در فاکتور اول مریبوط به تیمار کاربرد یک درصد نانو اکسید روی می‌باشد. در رابطه با فاکتور دوم نیز تیمار آبیاری در ۹۰ درصد ظرفیت زراعی در کمترین مقدار قرار داشت. بیشترین میزان تریپتوfan در فاکتور اول و دوم با مقدار ۲/۹ و ۲/۵۸ میکروگرم در گرم وزن تر



۱	۲	۳	۴	۵	۶	۷	۸
Control-50 Irri	Nano zinc oxide0.5-50 Irri	Nano zinc oxide1-50 Irri	Zinc oxide0.5- 50 Irri	Zinc oxide1- 50 Irri	Control-75 Irri	Nano zinc oxide0.5-75 Irri	Nano zinc oxide1-75 Irri
Shahad-آبیاری در ۵۰ درصد ظرفیت زراعی	۰/۵ درصد نانو اکسید روی- آبیاری در ۵۰ درصد ظرفیت زراعی	۱ درصد نانو اکسید روی- آبیاری در ۵۰ درصد ظرفیت زراعی	۰/۵ درصد اکسید روی-آبیاری در ۵۰ درصد ظرفیت زراعی	۱ درصد اکسید روی-آبیاری در ۵۰ درصد ظرفیت زراعی	Shahad-آبیاری در ۰/۵ درصد نانو اکسید روی- آبیاری در ۷۵ درصد ظرفیت زراعی	۰/۵ درصد نانو اکسید روی- آبیاری در ۷۵ درصد ظرفیت زراعی	۱ درصد نانو اکسید روی- آبیاری در ۷۵ درصد ظرفیت زراعی
۹	۱۰	۱۱	۱۲	۱۳	۱۴	۱۵	
Zinc oxide0.5-75 Irri	Zinc oxide1- 75 Irri	Control-90 Irri	Nano zinc oxide0.5-90 Irri	Nano zinc oxide1-90 Irri	Zinc oxide0.5- 90 Irri	Zinc oxide1-90 Irri	
۰/۵ درصد اکسید روی- آبیاری در ۷۵ درصد ظرفیت زراعی	۱ درصد اکسید روی-آبیاری در ۹۰ درصد ظرفیت زراعی	Shahad-آبیاری در ۰/۵ درصد نانو اکسید روی- آبیاری در ۹۰ درصد ظرفیت زراعی	۰/۵ درصد نانو اکسید روی- آبیاری در ۹۰ درصد ظرفیت زراعی	۱ درصد نانو اکسید روی- آبیاری در ۹۰ درصد ظرفیت زراعی	۰/۵ درصد اکسید روی-آبیاری در ۹۰ درصد ظرفیت زراعی	۰/۵ درصد اکسید روی-آبیاری در ۹۰ درصد ظرفیت زراعی	

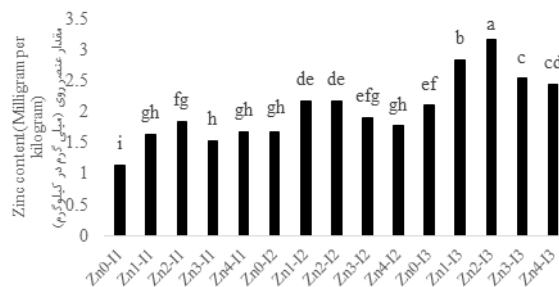
شکل ۲- اثر کاربردهای عنصر روی در شرایط مختلف تنش بر مقدار اسید جیرلیک، اسید آبسیسیک و ایندول استیک اسید

Figure 2- Effect of zinc element application in different stress conditions on gibberellic acid, Abscisic acid and indole acetic acid

گیاهان شناخته شده است که شامل مسیر زیر می‌باشد: اسید آمینه تریپتوфан به وسیله واکنش دامیناسیون به ایندول پیروویک اسید تبدیل می‌شود. سپس این ماده توسط واکنش دکربوکسیلاسیون به اندول استالدوئید تبدیل می‌گردد. ایندول استالدوئید نیز تحت تأثیر واکنش دهیدروژناتسیون به ایندول استیک اسید تبدیل خواهد شد. آشکار شده است که عنصر روی به صورت غیرمستقیم در سنتر تریپتوfan نوش ایفا می‌کند، استیک اسید و به صورت مستقیم در سنتر تریپتوfan نقش ایفا می‌کند، به این صورت که اسید آمینه تریپتوfan به واسطه آنزیم تریپتوfan

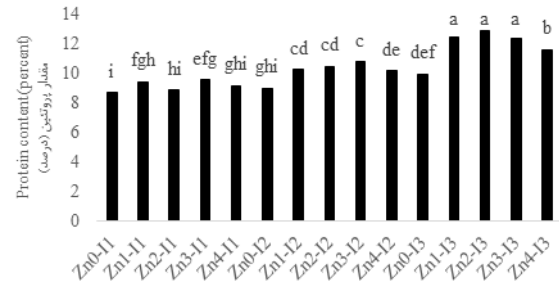
طی این پژوهش، انباست اسید آمینه تریپتوfan با کاربرد نانو اکسید روی به مقدار ۰/۵۳ و ۰/۸۲ درصد کاهش یافت. در پژوهش‌های نخستین در مورد اکسین بیان گردیده است که از آن جایی که ایندول استیک اسید از دیدگاه ساختمان شیمیایی همانند اسید آمینه تریپتوfan است از این رو، به احتمال فراوان از تریپتوfan ساخته می‌شود. پس از شناسایی عناصر رادیواکتیو و کاربرد آنها در پژوهش‌های زیستی، این نظر تأیید شد. با به کارگیری کربن رادیواکتیو (کربن ۱۴) مسیر تشکیل ایندول استیک اسید (IAA) در بسیاری از

است. کمبود عناصر کم مصرف منجر به تغییراتی در سطوح اسیدهای آمینه گیاهان می‌گردد که از این تغییرات به عنوان شاخص و معیار شناسایی نوع و مقدار کمبود استفاده می‌گردد. بنا به اظهارات چاکماک و همکاران (Cakmak *et al.*, 1989) (Cakmak *et al.*, 1989) تجمع برخی از اسیدهای آمینه در شرایط کمبود عناصر کم مصرف رخ می‌دهد. در شرایط کمبود عنصر روی انباشت اسید آمینه تریپتوفان در این پژوهش گزارش می‌گردد که این نتیجه توسط چاکماک و همکاران (Cakmak *et al.*, 1989) نیز گزارش شده است.



شکل ۴- اثر کاربردهای مختلف رطوبتی بر مقدار عنصر روی

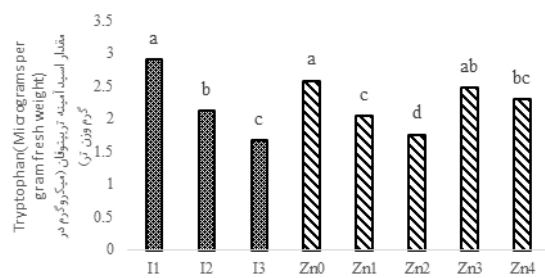
Figure 4- Effect of zinc element application in different stress conditions on the amount of zinc



شکل ۶- اثر کاربردهای مختلف رطوبتی بر مقدار پروتئین

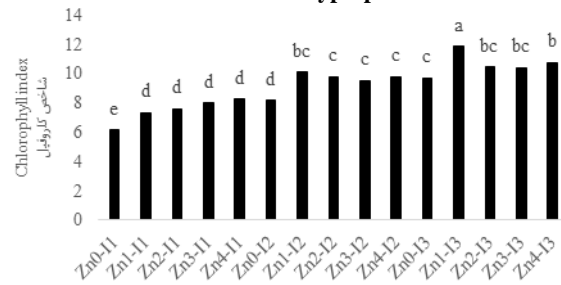
Figure 6- Effect of zinc element application in different stress conditions on the amount of protein

ستنتاز تولید می‌گردد که طی فعالیت این آنزیم پیش‌ماده ایندول و سرین باهم ترکیب و تولید اسید آمینه تریپتوفان می‌کنند (Salami and Kenefick, 1970). ولی طبق اظهارات سلامی و کنفیک (Salami and Kenefick, 1970) سازوکار سنتز ایندول اسید اسید بهبود از سازوکار تولید تریپتوفان از کمبود عنصر روی متأثر می‌گردد به همین دلیل می‌باشد که در پژوهش حاضر، اسید آمینه تریپتوفان در شرایط کمبود عنصر روی به حالت انباشت در آمده است. در شرایط کمبود این عنصر در پژوهش حاضر، اسید آمینه تریپتوفان انباشته شده



شکل ۳- اثر کاربردهای مختلف رطوبتی بر مقدار تریپتوفان

Figure 3- Effect of zinc element application in different stress conditions on tryptophan content



شکل ۵- اثر کاربردهای مختلف رطوبتی بر شاخص کلروفیل

Figure 5- Effect of zinc element application in different stress conditions on Chlorophyll index

II	I1	I2	I3	Zn0	Zn1	Zn2	Zn3	Zn4
Irrigation at 50% crop capacity	Irrigation at 75% crop capacity	Irrigation at 90% crop capacity		Control	Nano zinc oxide 0.5%	Nano zinc oxide 1%	Zinc oxide 0.5%	Zinc oxide 1%
آبیاری در ۵۰ درصد ظرفیت زراعی	آبیاری در ۷۵ درصد ظرفیت زراعی	آبیاری در ۹۰ درصد ظرفیت زراعی		عدم کاربرد	نانو اکسید روی عصر	نانو اکسید روی ۱ درصد	اکسید روی ۰/۵ درصد	اکسید روی ۱ درصد
آبیاری در ۵۰ درصد ظرفیت زراعی	آبیاری در ۷۵ درصد ظرفیت زراعی	آبیاری در ۹۰ درصد ظرفیت زراعی						

تیمار کاربرد یک درصد نانو اکسید روی در آبیاری ۹۰ درصد ظرفیت زراعی بود و کمترین مقدار این عنصر نیز با مقدار ۱/۱۳ میلی‌گرم در کیلوگرم مربوط به تیمار شاهد در آبیاری ۵۰ درصد ظرفیت زراعی بود (شکل ۴). کاربرد نانو اکسید روی به تنها بی توانست میزان ذخیره

بررسی تأثیر کاربرد نانو اکسید روی و اکسید روی معمولی در شرایط متفاوت تنفس خشکی نشان داد که میزان عنصر روی دانه در سطح احتمال یک درصد معنی‌دار است (جدول ۲)، مقایسه میانگین این پارامتر نشان داد که بالاترین مقدار عنصر روی در دانه مربوط به

تشکیل کلروفیل نقش اساسی ندارد ولی می‌تواند بر غلظت دیگر عناصر غذایی درگیر در تشکیل کلروفیل (همانند آهن و منیزیم Kaya and Higgs, 2013) مؤثر باشد (Abbasi and Enayati, 2013). موحدی و همکاران (Movahhedi et al., 2004) در ۲۰۰۲ آزمایشی به این نتیجه رسیدند که افشارانه کردن عنصر روی می‌تواند موجب افزایش کلروفیل در گیاه گلنگ (*Carthamus tinctorius*) (L.) گردد که این امر می‌تواند به علت نقش این عنصر در متابولیسم نیتروژن و ساخت کلروفیل باشد. گذشته از نقش سازنده عنصر روی بر حفظ کارایی کلروفیل برگ‌ها، عنصر یاد شده در به تعویق انداختن تخریب و پیری سلولی به صورت غیر مستقیم بر شاخص کلروفیل تأثیر دارد (Movahhedi et al., 2004). تورس نتو و همکاران (Torres Netto et al., 2005) علت کاهش مقدار کلروفیل در برگ‌های تنش دیده در ارقام گندم را در نتیجه خسارت به غشا کلروپلاست طی تنش اعلام کردند. آنها بیان داشتند که با توجه به تأثیر سوء شرایط تنش بر واکنش نوری و انتقال الکترون در مسیرهای صدمه رسان، تولید انواع اکسیژن فعال افزایش چشمگیری یافته و این مولکول‌ها باعث واکنش‌های فتواسیداسیون در کلروپلاست و همچنین باعث اکسیداسیون کاروتونوئید و پروتئین‌ها می‌شود. تولید رادیکال‌های آزاد اکسیژن در شرایط تنش خشکی باعث از بین رفتان کلروفیل و کاهش مقدار آن در واحد سطح می‌گردد (Wahid et al., 2007).

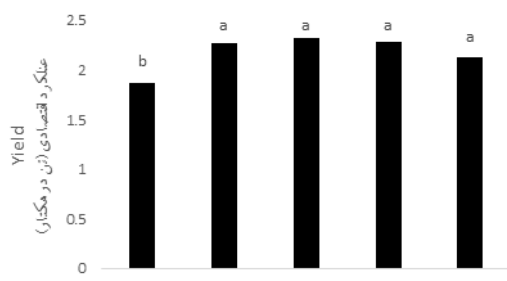
بررسی تأثیر کاربرد عنصر روی در شرایط متفاوت تنش خشکی بر روی مقدار پروتئین در سطح یک درصد معنی‌دار شد (جدول ۲). مقایسات میانگین این پارامتر نشان داد که بیشترین میزان پروتئین با مقدار ۱۲/۸ و ۱۲/۴ درصد مربوط به تیمار کاربرد یک و نیم درصد نانو اکسید روی و نیم درصد اکسید روی در شرایط آبیاری نرمال و کمترین میزان پروتئین نیز با مقدار ۸/۶۳ درصد مربوط به تیمار شاهد در شرایط آبیاری ۵۰ درصد ظرفیت زراعی بود (شکل ۶). از گزارشات قدیمی در رابطه با پروتئین می‌توان به گزارش مارشنر (Marschner, 1993) اشاره نمود که به افزایش درصد پروتئین دانه گندم با مصرف سولفات‌روی متنه شد. بنا به اظهارات دنیل و همکاران (Daniel et al., 2003) عنصر روی در تولید پروتئین نقش مهمی را ایفا کرده و می‌تواند درصد آن را افزایش دهد. تیمار نانواکسید روی احتمالاً به علت افزایش فعالیت برخی آنزیم‌ها نظیر آنزیم‌های هیدرولیزکننده قندها یا به دلیل سنتر پروتئین‌ها و پلی پپتیدهای درگیر در سیستم دفاعی سلول، افزایش mRNA و به تبع آن افزایش مقدار کل پروتئین باشد (Fediuc et al., 2002). افزایش میزان پروتئین دانه در شرایط افزایش عنصر روی توسط بقیزاده و همکاران (Baghizadeh et al., 2011) تعدادی از پژوهشگران در گیاهان مختلف گزارش شده است. بنا به اظهارات کرم (Keram et al., 2014) فعالیت آنزیم گلوتامیک دهیدروژناز به‌واسطه تأثیر

عنصر روی در دانه را به ترتیب ۳۸/۲۵، ۳۸/۶۸ و ۳۳/۵۴ درصد در شرایط آبیاری ۵۰ و ۹۰ درصد بهبود بخشد (شکل ۴). افشارانه کردن عنصر روی بر اندام‌های هوایی، علاوه بر رشد ریشه و شاخساره می‌تواند موجب افزایش عملکرد و غلظت روی در دانه نیز گردد (Cakmak et al., 2009). چاکماک و همکاران (Movahhedy et al., 2010) اشاره کردند که افشارانه کردن برگی عنصر روی بسیار بیش‌تر از کاربرد خاکی آن در افزایش غلظت روی دانه مؤثر می‌باشد. سلول‌های برگ‌های گندم دارای دیواره سلولی نیمه نفوذپذیر هستند که همین امر باعث می‌گردد مولکول‌هایی با اندازه کمتر از چند نانومتر بتوانند از دیواره سلولی عبور کنند (Stoimenov et al., 2002). بنابراین با عبور نانوذرات از سلول‌های گیاهی این احتمال وجود دارد که این نانوذرات از طریق آوندها و به همراه مواد غذایی به دانه‌ها رسیده و در آن تجمع می‌یابند. همچنین بنا به گزارشات مانجوناتا و همکاران (Manjunatha et al., 2016) با توجه به کوچک‌تر بودن اندازه نانو ذرات روی نسبت به سایر نانو ذرات، میزان جذب و تجمع این نانوذره در اندام‌های هوایی و دانه گیاهان (در شرایط افشارانه کردن) نسبت به سایر نانو ذرات در بیشترین مقدار خود بود. از نظر زمان افشارانه کردن نیز گزارشات متعددی وجود دارد که افشارانه کردن عنصر روی را در مراحل آخر پر شدن دانه، بوتینگ و شیری دانه مؤثرترین راه برای بهینه‌سازی غلظت روی دانه دانسته‌اند که به‌طور میانگین غلظت روی دانه را تا حدود ۱۴۰ درصد افزایش می‌دهد (Cakmak, 2010).

با توجه به نتایج بدست آمده از پژوهش، کاربرد عنصر روی در شرایط متفاوت تنش خشکی بر شاخص کلروفیل در سطح یک درصد معنی‌دار شد (جدول ۲). مقایسات میانگین این شاخص نشان داد که بیشترین میزان آن با مقدار ۱۱/۸۳ مربوط به تیمار کاربرد نیم درصد نانو اکسید روی در آبیاری ۹۰ درصد ظرفیت زراعی و کمترین میزان آن نیز با مقدار ۶/۱۳ مربوط به تیمار شاهد در آبیاری ۵۰ درصد ظرفیت زراعی بود. از میان رفتن و کاهش میزان کلروفیل برگ از واکنش‌هایی است که در شرایط کمبود عنصر روی دیده می‌شود (Abbas et al., 2016). عنصر روی با دخالت در تنظیم غلظت‌های سیتوپلاسمی عناصر، در بیوسنتر کلروفیل و کارتوئید نقش مهمی را ایفا می‌کند (Wang et al., 2009). که سرانجام بر روی دستگاه Aravind and Prasad (Aravind and Prasad, 2004) افزایش میزان کلروفیل با مصرف عنصر روی در گیاه فلفل (*Phaseolus vulgaris* L.)، گندم و لوبيا (*Capsicum annuum* L.) گزارش شده است (Abbasi and shekari, 2016). کمبود عنصر روی از راه کاهش پایداری سلولی موجب افزایش نشت سلولی می‌گردد که این امر تأثیر مستقیمی می‌تواند بر روی تخریب کلروفیل‌ها و کاهش میزان فتوسنترز برگ داشته باشد (Fitter and Hay, 2002) از طرفی، هر چند عنصر روی به‌صورت مستقیم در

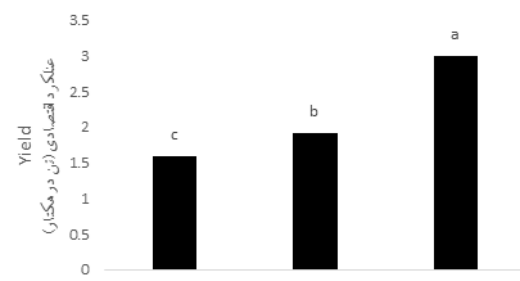
2008). عباسی و همکاران (Abbasi *et al.*, 2016) وجود همستگی بالا بین رشد و عملکرد گندم را تأیید کردند. در همین راستا سدری و ملکوتی (Sedri and Malakouti, 1998) اعلام کردند در مناطقی از ایران که روی قابل جذب خاک کمتر از ۱/۱ میلی گرم بر کیلوگرم باشد کاهش رشد گیاهان سبب کاهش عملکرد گیاهان زراعی می‌گردد. در این پژوهش، با کاربرد یک درصد نانو اکسید روی در شرایط آبیاری کامل میزان عملکرد گندم را به میزان ۱۷/۸۱ درصد نسبت به شرایط شاهد بهبود بخشید (شکل ۶). در همین راستا، عباسی و همکاران (Abbasi *et al.*, 2016) گزارش کردند که بهره‌گیری از سولفات‌روی نسبت به غلظت صفر در شرایط بدون تنفس، باعث افزایش ۲۷ و ۲۲ درصدی عملکرد دانه شد.

مستقیم عنصر روی فعال می‌گردد که این امر باعث افزایش گلوتون اندوخته شده در دانه و بالا رفتن میزان پروتئین دانه خواهد شد. بررسی تأثیر کاربرد عنصر روی در شرایط متفاوت تنفس خشکی بر روی عملکرد اقتصادی گندم در سطح یک درصد معنی‌دار شد (جدول ۲). مقایسات میانگین این شاخص نشان داد که کاربرد یک درصد نانو اکسید روی در آبیاری ۹۰ درصد ظرفیت زراعی بیشترین مقدار عملکرد دانه را از آن خود نمود (شکل ۶). کمترین میزان این پارامتر نیز با مقدار ۱/۱۸۶ تن در هکتار مربوط به تیمار شاهد در شرایط آبیاری ۵۰ درصد ظرفیت زراعی بود (شکل ۶). تأثیر یزدیری رشد گیاهان از کمبود عنصر روی نهایتاً سبب کاهش عملکرد گیاهان زراعی خواهد شد، این مهم به دلیل اهمیت عنصر روی در انجام فرآیندهای فیزیولوژیکی گیاهان زراعی می‌باشد (Khan *et al.*, 2003).



شکل ۸- اثر شرایط کاربردهای مختلف روی بر مقدار عملکرد اقتصادی

Figure 8- Effect of zinc element application on yield



شکل ۷- اثر شرایط مختلف رطوبتی بر مقدار عملکرد اقتصادی
Figure 7- Effect of different stress conditions on yield

I1	I2	I3	Zn0		Zn1	Zn2	Zn3	Zn4
Irrigation at 50% crop capacity	Irrigation at 75% crop capacity	Irrigation at 90% crop capacity	Control		Nano zinc oxide 0.5%	Nano zinc oxide 1%	Zinc oxide 0.5%	Zinc oxide 1%
عدم کاربرد	آبیاری در ۹۰ درصد	آبیاری در ۷۵ درصد	آبیاری در ۵۰ درصد		نانو اکسید روی ۰/۵ درصد	نانو اکسید روی ۱ درصد	۰/۵ درصد	۱ درصد
رنگ	ظرفیت زراعی	ظرفیت زراعی	ظرفیت زراعی					
				روی				

پورقاسم و همکاران (Pourghasem *et al.*, 2005) اعلام نمودند که کمبود عنصر روی عامل اصلی کاهش کیفیت نانهای مصرفی برخی از کلان شهرها و یکی از شایع‌ترین ناهنجاری‌های تغذیه‌ای در این شهرها می‌باشد. عباسی و همکاران (Abbasi *et al.*, 2017) اذعان داشتند که کاربرد عنصر روی در بین تیمارهای به کار برده شده به دلیل کاهش میزان اسید فیتیک دانه‌های برداشت شده توانست در افزایش کیفیت تغذیه‌ای در شرایط تنفس خشکی تأثیر مستقیم داشته باشد.

برهم‌کنش کاربرد عنصر روی در مراحل تنفس بر غلظت پرولین گیاه در سطح احتمال یک درصد معنی‌دار گردید (جدول ۲). مقایسات میانگین این پارامتر نشان داد که بالاترین غلظت این ماده در تیمار

درخصوص اسید فیتیک اثرات کاربرد عنصر روی در شرایط متفاوت تنفس خشکی در سطح احتمال یک درصد معنی‌دار بود (جدول ۲). مقایسات میانگین این پارامتر نشان داد که بالاترین مقدار مقدار اسید فیتیک دانه با مقدار ۲۰/۷۷ درصد مربوط به تیمار کاربرد نیم درصد نانو اکسید روی در آبیاری ۹۰ درصد ظرفیت زراعی بود و کمترین مقدار این ماده نیز با مقدار ۱۶/۶ میلی گرم در کیلوگرم مربوط به تیمار یک درصد نانو اکسید روی در آبیاری ۵۰ درصد ظرفیت زراعی بود (جدول ۳). فسفر در دانه ۵۰ تا ۸۰ درصد به صورت اسید فیتیک ذخیره می‌گردد. این ماده با تشکیل پیوندهای مستحکم با عنصر روی غلظت این عنصر را به شدت کاهش داده و سبب اختلال در جذب و هضم آنها در دستگاه گوارش انسان می‌شود (Prasad, 2003).

نیتروزن در گیاهان زراعی بخصوص در شرایط تنفس خشکی شناخته می‌شود (Liang *et al.*, 2013). به صورت کلی در گیاهان زراعی دو مسیر برای سنتز پروولین وجود دارد. ۱. مسیر گلواتمات که نقش اصلی در سنتز پروولین در شرایط تنفس خشکی دارد و ۲. مسیر آرژنین-اورنیتین (Hu *et al.*, 1992). پروولین در شرایط تنفس از واکوئل به سیتوزول و با کاهش تنفس به واکوئل و پلاسمید انتقال می‌یابد. تأثیر عنصر روی در افزایش غلظت پروولین توسط پژوهشگران دیگری نیز گزارش شده است. پژوهش‌ها نشان می‌دهد که با افزایش غلظت Singh *et al.*, (2014) عنصر روی مقدار پروولین اندام هوایی افزایش می‌یابد (.

یک درصد نانو اکسید روی در آبیاری ۵۰ درصد ظرفیت زراعی حاصل گردید. کمترین مقدار پروولین نیز مربوط به تیمار کاربرد نیم درصد نانو اکسید روی در آبیاری ۹۰ درصد ظرفیت زراعی بود (جدول ۳). یکی از شاخص‌های ارزیابی گیاهان تحت تنفس خشکی، انباست پروولین در اندام‌های مختلف گیاهی می‌باشد (Zengin, 2006). اثرات مثبت حضور پروولین در توازن آب و تحمل تنفس خشکی در پژوهش‌ها نشان داده شده است (Siddiqui *et al.*, 2015). افزایش سنتز پروولین در گیاهان تحت تنفس سبب مهار و کاهش اثرات انواع اکسیژن فعال می‌گردد که این مهم نیز باعث محافظت غشاهاست سلولی، پروتئین‌های سلول و همچنین آنزیم‌های سیتوپلاسمی می‌گردد (Liang *et al.*, 2013). همچنین این ماده به عنوان منبع کربن و

جدول ۳- مقایسات میانگین مربوط به صفات ماده خشک، عملکرد اقتصادی، مقدار اسید فیتیک و پروولین تحت تأثیر تیمارهای مصرف عنصر روی و اعمال تنفس خشکی

Table 3- Compare means of dry matter, yield, amount of phytic acid and proline under the influence of zinc element treatment and drought stress

تنفس خشکی Stress Drought	تیمار Treatment	ماده خشک Dry matter	مقدار اسید فیتیک Phytic Acid	پروولین Proline
Irrigation at 50% crop capacity	Control	3220fg	19.3b	53.67efg
	Nano zinc oxide 0.5	3567def	17.13fg	55.53de
	Nano zinc oxide 1	3614de	16.6g	61.97a
	Zinc oxide 0.5	3620de	17.4efg	52.9fgh
	Zinc oxide 1	3437efg	17.13fg	54.23def
Irrigation at 75% crop capacity	Control	3151g	18.13cde	54.3def
	Nano zinc oxide 0.5	3631de	18.43bcd	55.87cde
	Nano zinc oxide 1	3932d	17.63def	58.17bc
	Zinc oxide 0.5	3579def	19.1b	56.3cd
	Zinc oxide 1	3430efg	18.73bc	58.9b
Irrigation at 90% crop capacity	Control	4910c	19.3b	49.2ij
	Nano zinc oxide 0.5	5429ab	20.77a	48.73j
	Nano zinc oxide 1	5548a	18.7bc	52.37fgh
	Zinc oxide 0.5	5126bc	17.17fg	50.8hij
	Zinc oxide 1	5046c	20.77a	51.6ghi

افزایش شاخص کلروفیل از مقدار ۱/۱۳ به مقدار ۶/۶ افزایش مقدار پروتئین دانه از مقدار ۸/۶۳ به ۸/۸ درصد در شرایط تنفس شدید و کاربرد یک درصد نانو اکسید روی نشان از تخفیف اثرات سوء تنفس خشکی و بهبود شرایط رشدی گیاهان می‌باشد که نهایتاً به افزایش عملکرد زیست‌توده از ۳۶۱۴ به ۳۲۲۰ کیلوگرم در هکتار و همچنین افزایش عملکرد اقتصادی از ۱/۱۸۴ به ۱/۱۸۶ از ۱/۱۳ به ۱/۱۸۳ افزایش کیفیت عملکرد نیز افزایش ذخیره عنصر روی در دانه گردید. از لحاظ کیفیت عملکرد نیز افزایش ذخیره عنصر روی در دانه از ۱/۱۳ به ۱/۱۸۳ میلی‌گرم در کیلوگرم و کاهش میزان اسید فیتیک از ۱۹/۲ به ۱۶/۶ درصد در شرایط تنفس خشکی شدید و کاربرد یک درصد نانو اکسید روی نشان از کاهش اثرات سوء تنفس خشکی و بهبود عملکرد کیفی نیز می‌باشد.

نتیجه‌گیری

به عنوان نتیجه‌گیری کلی می‌توان چنین اذعان داشت که بروز تنفس خشکی با تأثیر بر مقادیر هورمون‌های گیاهی سبب کاهش رشد اندام‌های هوایی و نهایتاً کاهش عملکرد زیست‌توده و عملکرد نهایی می‌گردد. از آنجایی که بهره‌گیری از عنصر روی می‌تواند با افزایش ساخت پروولین و پیشگیری از تخریب کلروفیل موجب کاهش اثرات سوء تنفس کم‌آمدی و بهبود شرایط رشدی گیاهان گردد می‌توان نتیجه گرفت که این تغییرات در شرایط کاربرد عنصر روی نهایتاً می‌تواند به بهبود عملکرد زیست‌توده و عملکرد نهایی منتهی گردد. طی پژوهش حاضر افزایش میزان ایندول استیک اسید از ۱۱۸/۳ به ۱۸۹/۳ نانوگرم برگرم وزن‌تر، افزایش میزان اسید جیبریلیک از ۹۸/۳ به ۱۲۰ نانوگرم برگرم وزن‌تر، کاهش میزان آبسیزیک اسید از ۴۹۴/۳ به ۳۸۵/۳ نانوگرم برگرم وزن‌تر، افزایش میزان پروولین از ۵۳/۶۷ به ۶۱/۹۷ درصد،

References

1. Abbasi, A., and Enayati. 2013. Decrease of cell defense mechanisms efficiency and oxidative stress accruing in lake of Mg condition. Iranian Journal of Dryland Agriculture 1 (4): 41-52. (in Persian).
2. Abbasi, A., and Shekari, F. 2016. Effect of zinc sulfate on growth and yield of wheat under soil zinc deficiency and drought stress. Cereal Research 6 (2): 145-158. (in Persian).
3. Abbasi, A., Shekari, F., Mosavi, S. B., Sabaghnia, N., and Javanmard, A. 2017. Effect of zinc sulfate in the quantity and quality of wheat grain under soil zinc deficiency and drought stress. Cereal Research 7 (1): 1-18. (in Persian).
4. Abbasi, A., Shekari, F., Mosavi, S. B., Sabaghnia, N., and Javanmard, A. 2016. The Partitioning Trend of Resources and Alpha-Amylase Enzyme Activity with Zinc Priming in Wheat (*Triticum aestivum* L.) Seed. Iranian Journal of Seed Research 3 (2): 1-13. (in Persian).
5. Abbasi, A., Shekari, F., Mousavi, S. B., and Sabaghnia, N., 2016. Assessment of the Effect of Zinc Sulfate Biofortification on the Quantity and Quality Characteristics of Spring Wheat Cultivars. Advances in Bioresearch 7 (1):18-25.
6. Abbasi, A., Shekari, F., Mousavi, S. B., and Sabaghnia, N. 2015. Promoting the Use of Wheat Enriched Seeds, Stable Way to Solve Zinc Deficiency Problem. International Conference on Healthy Agriculture, Nutrition and Community. Icanc-p-100-992-1. July, 2015, Tehran, Iran.
7. Ahmadi, A., and Baker, D. A. 1999. Effects of abscisic acid (ABA) on grain filling processes in wheat. Plant Growth Regulation 28: 187-197.
8. Ali Ehyaei, M., and Behbahanizadeh, A. A. 1993. Describe the methods of soil analysis. Soil and Water Research Institute, No. 893.
9. Aravind, P., and Prasad, M. N. V. 2004. Zinc protects chloroplasts and associated photochemical functions in cadmium exposed *Ceratophyllum demersum* L.: A freshwater macrophyte. Plant Science 166: 1321-1327.
10. Baghizadeh, A., and Hajmohammadrezaei, M. 2011. Effect of Drought stress and its interaction with soluble sugar and Salicylic acid on Okra (*Hibiscus Esculentus* L.) germination and seedling growth, Journal of Stress & Biochemistry 1: 55-65.
11. Barendse, G., Van, de. Werken, P., and Takahashi, N., 1980. High-performance liquid chromatography of gibberellins. Journal of Chromatography A. 198 (4): 449-455.
12. Bates, L., Waldren, R., and Teare, I., 1973. Rapid determination of free proline for water-stress studies. Plant and Soil 39 (1): 205-207.
13. Borkovec, V., and Prochazka, S. 1992. Pre anthesis interaction of cytokinins and ABA in the transport of ¹⁴C sucrose to the ear of winter wheat (*Triticum aestivum* L.). Journal of Agronomy Crop Science 169: 229-235.
14. Broadley, M. R., White, P. J., Hammond, J. P., Zelko, I., and Lux, A. 2007. Zinc in plants. New Phytologist 173 (4): 677-702.
15. Cakmak, I., Kalayci, M., Kaya, Y., Torun, A. A., Aydin, N., Wang, Y., Arisoy, Z., Erdem, H., Yazici, A., Gokmen, O., Ozturk, L., and Horst, W. J. 2010. Biofortification and localization of zinc in wheat grain. Journal of Agricultural and Food Chemistry 58: 9092-9102.
16. Cakmak, I., Marschner, H., and Bangerth, F. 1989. Effect of Zinc Nutritional Status on Growth, Protein Metabolism and Levels of Indole-3-acetic Acid and other Phytohormones in Bean (*Phaseolus vulgaris* L.). Journal of Experimental Botany 40: 212, pp.
17. Daniel, L. P., Roma, D., Bol, A., Nerdal, N., and Brown, K. H. 2003. Absorption of zinc from wheat products fortified with iron and either zinc sulfate or zincoxide. The American Journal of Clinical Nutrition 78 (2): 279-283.
18. Devi, P. G., and Velu, A. S. 2016. Synthesis, structural and optical properties of pure ZnO and Co doped ZnO nanoparticles prepared by the co-precipitation method. Journal of Theoretical and Applied Physics 10 (3): 233-240.
19. Fageria, N., Slaton, N., and Baligar, V. 2003. Nutrient management for improving lowland rice productivity and sustainability. Advances in Agronomy 80: 63-152.
20. Fao. 2014. from <http://www.fao.org/faostat/en/#data/QC>.
21. Fediuc, E., and Laszlo, E. 2002. Physiological and biochemical aspects of cadmium toxicity and protective mechanisms induced in phragmites Australia and *Typha latifolia*. Plant Physiology 5: 129-132.
22. Fitter, A. H., and Hay, R. 2002. Environmental physiology of plants, 3rd ed. San Diego, CA, USA: Academic Press.
23. Fontaine, J. 2003. Amino acid analysis of feeds. Amino acids in animal nutrition: 15-40.
24. Haug, W., and Lantzsch, H. J. 1983. Sensitive method for the rapid determination of phytate in cereals and cereal products. Journal of the Science of Food and Agriculture 34 (12): 1423-1426.
25. Hu, C. A., Delauney, A. J., and Verma, D. P. 1992. A bifunctional enzyme ($\Delta 1$ -pyrroline-5-carboxylate synthetase) catalyzes the first two steps in proline biosynthesis in plants. Proceedings of the National Academy of Sciences 89: 9354-9358.
26. Ji, X., Shiran, B., Wan, J., Lewis, D. C., Jenkins, C. L., Condon, A. G., Richards, R. A., and Dolferus, R., 2010. Importance of pre-anthesis anther sink strength for maintenance of grain number during reproductive stage water stress in wheat. Plant, Cell & Environment 33 (6): 926-942.

27. Kaya, C., and Higgs, D. 2002. Response of tomato (*Lycopersicon esculentum* L.) cultivars to foliar application of zinc when grown in sand culture at low zinc. *Scientia Horticulturae* 93: 53-64.
28. Keram, K. S. 2014. Response of Zinc Fertilization to Wheat on Yield, Quality, Nutrients Uptake and Soil Fertility Grown in a Zinc Deficient Soil. *European Journal of Academic Essays* 1 (1): 22-26.
29. Khan, M. A., Fuller, M. P., and Baloch, F. S. 2008. Effect of Soil Applied Zinc Sulphate on Wheat (*Triticum aestivum* L.) Grown on a Calcareous Soil in Pakistan. *Cereal Research Communications* 36 (4): 571-582.
30. Kisan, B., Shruthi, H., Sharangouda, H., Revanappa, S., and Pramod, N., 2015. Effect of nano-zinc oxide on the leaf physical and nutritional quality of spinach. *Agrotechnology* 5: 135.
31. Klaine, S., Alvarez, P., Batley, G., Fernandes, T., Handy, R., Lyon, D., Mahendra, S., McLaughlin, M. J., and Lead, J. R. 2008. Nanomaterials in the environment: Behavior, fate, bioavailability, and effects. *Environmental Toxicology Chemistry* 27: 1825-1851.
32. Liang, X., Zhang, L., Natarajan, S. K., and Becker, D. F. 2013. Proline Mechanisms of Stress Survival. *Antioxid Redox Signal* 19 (9): 998-1011.
33. Manjunatha, S., Biradar, D., and Aladakatti, Y. 2016. Nanotechnology and its applications in agriculture: A review. *Journal of Farm Science* 29 (1): 1-13.
34. Marrush, M., Ymaguchi, A., and Saltveit, M. E. 1998. Effect of potassium nutrition during bell pepper seed development on vivipary and endogenous levels of abscisic acid. *American Society for Horticultural Science* 123: 925-930.
35. Marschner, H. 1993. Mineral nutrition of hisherplants. 2nd ed. Academic. Press public.
36. Marschner, H. 2011. Marschner's mineral nutrition of higher plants, Academic press.
37. Martin, D., Stegman, E., and Fereres, E. 1990. Irrigation scheduling principles. IN: Management of Farm Irrigation Systems. American Society of Agricultural Engineers, St. Joseph, MI. 155-203, 19, 9, 81.
38. Movahhedi Dehnava, M., Modarres Sanavi, A. M., Soroush-Zade, A., and Jalali, M., 2004. Changes of proline, total soluble sugars, chlorophyll (SPAD) content and chlorophyll fluorescence in safflower varieties under drought stress and foliar application of zinc and maganese. *Biaban* 9 (1): 93-110.
39. Movahhedy-dehnavy, M., Modarres-Sanavy, S. A. M., and Mokhtassi-Bidgoli, A. 2009. Foliar application of zinc and manganese improves seed yield and quality of safflower (*Carthamus tinctorius* L.) grown under water deficit stress. *Industrial Crops and Products* 30: 82-92.
40. Muraro, D., Byrne, H., King, J., Voß, U., Kieber, J., and Bennett, M. 2011. The influence of cytokinin-auxin cross-regulation on cell-fate determination in *Arabidopsis thaliana* root development. *Journal of Theoretical Biology*. 283 (1): 152-167.
41. Myers, P. N., Setter, T. L., Madison, J. T., and Thompson, J. F. 1990. Abscisic acid inhibition of endosperm cell division in cultured maize kernels. *Plant Physiol* 94: 1330-1336.
42. Pourghasem Gargari, B., Mahboub, S. A., and Razavieh, S. V. 2005. Phytic acid and its molar ratio to zinc in consumed breads in tabriz. *Journal of Urmia University of Medical Scinces* 16 (3): 136-142.
43. Prasad, A. S. 2003. Zinc deficiency. *British Medical J.* 326 (7386): 409-410.
44. Premanathan, M., Karthikeyan, K., Jeyasubramanian, K., and Manivannan, G. 2011. Selective toxicity of ZnO nanoparticles toward Gram-positive bacteria and cancer cells by apoptosis through lipid peroxidation. *Nanomedicine: Nanotechnology, Biology and Medicine* 7 (2): 184-192.
45. Razmjoo, J., and Ghafari, H. 2015. Response of durum wheat to foliar application of varied sources and rates of iron fertilizers. *Journal of Agricultural Science and Technology* 17 (2): 321-331.
46. Roche, J., Hewezi, T., Bouniols, A., and Gentzbittel, L. 2009. Real-time PCR monitoring of signal transduction related genes involved in water stress tolerance mechanism of sunflower. *Plant Physiology and Biochemistry* 47 (2): 139-145.
47. Rostamza, M., Chaichi, M. R., Jahansouz, M. R., and Alimadadi, A. 2011. Forage quality, water use and nitrogen utilization efficiencies of pearl millet (*Pennisetum americanum* L.) grown under different soil moisture and nitrogen levels. *Agricultural Water Management* 98 (10): 1607-1614.
48. Salami, A. U., and Kenefick, D. G. 1970. Stimulation of growth in zinc-deficient corn seedlings by the addition of tryptophan. *Crop Science* 10: 291-4.
49. Schussler, J. R., Brenner, M. L., and Brun, W. A. 1984. Abscisic acid and its relationship to seed filling in soybeans. *Plant Physiology* 76: 301.
50. Scott, N., and Chen, H. 2013. Nanoscale science and engineering for agriculture and food systems. *Industrial Biotechnology* 9 (1): 17-18.
51. Sedri, M. H., and Malakouti, M. J. 1998. Determination of micronutrients critical levels in Kordestan irrigated wheat soils. *Iran. J. Soil Water Sci.* 12: 19-31.
52. Sekimoto, H., Mitsuo, H., Takahito, N., and Takao, Y. 1997. Zinc Deficiency Affects the Levels of Endogenous Gibberellins in *Zea mays* L. *Plant Cell Physiology* 38 (9): 1087-1090.
53. Siddiqui, M. H., Al-Khaishany, M. Y., Al-Qutami, M. A., Al-Whaibi, M. H., Grover, A. H. M., Al-Wahabi, M. S., and Bukhari, N. A. 2015. Response of different genotypes of faba Bean plant to drought stress. *International Journal*

- of Molecular Sciences 16: 10214-10227.
54. Singh, J., Padmalochan, H., and Jolly, B. 2014. Potential of *Vigna unguiculata* as a Phytoremediation Plant in the Remediation of Zn from Contaminated Soil. American Journal of Plant Sciences 5: 1156-1162.
55. Singh, K., and Shukla, V. C. 1985. Response of wheat to zinc application in different soils of a semiarid region. Indian Society of Soil Science 40: 119-124.
56. Stoimenov, P. K., Klinger, R. L., Marchin, G. L., and Klabunde, K. Y. 2002. Metal oxide nanoparticles as bactericidal agents. Langmuir 18: 6679-6686.
57. Skoog, F. 1940. Relationships between zinc and auxin in the growth of higher plants. American Journal of Botany 27: 939-951.
58. Torres Netto, A., Campostrini, E., DeOliviera, J. G., and Bressan-Smith, R. E. 2005. Photosynthetic pigments, nitrogen, chlorophyll a fluorescence and SPAD-502 readings in coffee leaves. Scientia Horticulture 104: 199-209.
59. Van Loon, J. A. 2012. Analytical atomic absorption spectroscopy: selected methods, Elsevier.
60. Wahid, A., Gelani, S., Ashraf, M., and Foolad, M. R. 2007. Heat tolerance in plants: An overview. Environmental and Experimental Botany 61: 199-223.
61. Wang, H., Liu, R. L., and Jin, J. Y. 2009. Effects of zinc and soil moisture on photosynthetic rate and chlorophyll fluorescence parameters of maize. Biologia plantarum 53 (1): 191-194.
62. Yokota, T., Nakayama, M., Harasawa, I., Sato, M., Katsuhara, M., and Kawabe, S. 1994. Polyamines, indole-3-acetic acid and abscisic acid in rice phloem sap. Plant growth regulation 15 (2): 125-128.
63. Zain, M., Khan, I., Qadri, R. W. K., Ashraf, U., Hussain, S., Minhas, S., Siddiquei, A., Jahangir, M. M., and Bashir, M. 2015. Foliar application of micronutrients enhances wheat growth, yield and related attributes. American Journal of Plant Sciences 6 (07): 864.
64. Zdunek, E., and Lips, S. H. 2001. Transport and accumulation rates of abscisic and aldehyde oxidase activity in *Pisum sativum* L. in response to sub optimum growth condition. Journal of Experimental Botany 52: 1269-1276.
65. Zengin, K. F. 2006. The effects of Co_2^+ and Zn_2^+ on the contents of protein, abscisic acid, proline and chlorophyll in bean (*Phaseolus vulgaris* cv. Strike) seedlings. Journal of Environmental Biology 27: 441-448.



Effect of Drought Stress and Application of Zinc Oxide on Hormonal Changes and Growth Status of Wheat Bread

A. Abbasi^{1*}- F. Shekari²- R. Lotfi³

Received: 05-10-2017

Accepted: 10-06-2018

Introduction Drought stress and Zn deficiency are important factors affecting the quantity and quality of wheat. Zn deficiency reduces photosynthesis and disorders protein synthesis that the consequence of such process is the gathering of amino acids and amides, and disordering of carbohydrates metabolism. Besides, in such a condition, the length of plants and the size of leaves reduce due to changes in Auxin metabolism, especially Indole Acetic Acid (IAA). Drought stress reduces leaf size, cell division, plant growth, amount of photosynthesis, protein synthesis and chlorophyll content. Balance of plant hormones is affected by both of these factors. Among the compounds with zinc element, Zinc oxide is known from the US Food and Drug Administration as one of the safest and most integral components of Zinc. Nanoparticles have attracted much attention for their distinct characteristics that are unavailable in conventional macroscopic materials. Obviously, increasing of zinc availability and reducing of drought effects can play an effective role in improving the present situation.

Materials and Methods The present study was carried out using split plot experiment based on a randomized complete block design with three replications. Two factors of drought stress (irrigation at 90% of field capacity as non-stress condition, irrigation in 75% of field capacity as medium stress and irrigation in 50% of field capacity as severe stress) and application of zinc element (without treatment, spraying of 5 and 10 ppm of Nano Zinc Oxide and Zinc Oxide) were examined as factors of this study. In this study, parameters of Indole acetic acid, Abscisic acid, Gibberellin, Tryptophan, Amount of Zinc, Chlorophyll index, Protein, Total dry matter, Phytic acid, Proline, and Yield were measured.

Results and Discussion Results of variance analysis of field data revealed that zinc element application in stress conditions could improve a number of parameters of this study. The interactions between drought and zinc on indole acetic acid, abscisic acid, gibberellin, zinc element values, chlorophyll index, protein, phytic acid at one percent probability level and total dry matter content at five percent probability level were significant. Application of nano-zinc oxide in 75% and 50% of field capacity, as well as non-application of Zinc in these conditions caused optimal changes in plant hormones, chlorophyll, protein, economic performance and proline. Application of zinc oxide increased 13.4 and 17.43 percent in the amount of indole acetic acid and gibberellin, while the use of zinc oxide reduced the acidity of 51.9 percent of abscisic acid under 90% field capacity. Zn content increased in seed from 1.13 to 1.83 mg kg and reduction of phytic acid from 19.2 to 16.6 percent under severe drought stress. Application of 10 ppm nano-zinc oxide showed a decrease in the negative effects of drought stress and improved quality of wheat.

Conclusions As a general conclusion, it can be acknowledged that drought stress with effect on plant hormones, decreased the growth of shoot which causes reduced plant dry matter and plant yields. The use of zinc could increase the proline production and prevented chlorophyll degradation that causes reduced the effects of water stress and improved plant growth conditions. As a final result, these changes in Zinc application conditions could improve dry matter yield and economic yield.

Keywords: Auxin, Cytokinin, Phytic Acid, Tryptophan, Yield

1- Assistant Professor of Plant Production and Genetics, Faculty of Agriculture, Maragheh University, Maragheh, Iran
2- Professor of Plant Production and Genetics, Faculty of Agriculture, Maragheh University, Maragheh, Iran

3- Assistant Professor of Dryland Agricultural Research Institute, Agricultural Research, Education and Extension Organization (AREEO), Maragheh, Iran

(*- Corresponding Author Email: a.abbsi25@yahoo.com)



مطالعه واکنش برخی ویژگی‌های فیزیولوژیک برگ ذرت دانه‌ای (*Zea mays* L.) به سطوح مختلف آب و نیتروژن

روژین قبادی^۱ - مختار قبادی^{۲*} - سعید جلالی هنرمند^۲ - بهمن فرهادی^۳ - فرزاد مندنی^۴

تاریخ دریافت: ۱۳۹۶/۰۸/۱۱

تاریخ پذیرش: ۱۳۹۶/۱۰/۲۵

چکیده

مطالعه واکنش‌های فیزیولوژیک ذرت به مقادیر مختلف آب و نیتروژن، به شناسایی سازوکارهای مؤثر بر ایجاد مقاومت در مقابل شرایط نامطلوب محیطی کمک می‌کند. در این راستا، طی دو سال ۱۳۹۳ و ۱۳۹۴ در دانشگاه رازی، اثر سطوح مختلف آبیاری و نیتروژن بر برخی صفات فیزیولوژیک مؤثر بر رشد و تولید ذرت سینگل کراس ۷۰۴ بررسی شد. آزمایش به صورت کرت‌های یک بار خرد شده بر پایه طرح بلوك‌های کامل تصادفی در سه تکرار اجرا گردید. فاکتور اصلی، چهار سطح آبیاری شامل تأمین ۶۰، ۸۰، ۱۰۰ و ۱۲۰ درصد نیاز آبی و فاکتور فرعی، چهار سطح نیتروژن شامل تأمین ۴۰، ۷۰، ۱۰۰ و ۱۴۰ درصد مقدار توصیه شده بر اساس آزمون خاک بود. نتایج نشان داد که به دلیل شرایط آب و هوایی متفاوت و دمای بیشتر هوا در سال دوم آزمایش محتوای نسبی آب و هدایت روزنامه‌ای برگ‌ها در مقایسه با سال اول به طور معنی‌داری کمتر و دمای برگ به طور معنی‌داری بیشتر بود. همچنین تأثیر منفی کم آبی بر فعالیت فتوسیستم II در سال دوم مشاهده شد. در هر دو سال، با افزایش شدت کم آبی، صفت‌های محتوای نسبی آب برگ، هدایت روزنامه‌ای، سرعت فتوسنتز و سرعت تعرق کاهش یافته. افزایش مقدار نیتروژن تا حد تأمین نیاز گیاه منجر به افزایش سرعت فتوسنتز شد. در شرایط بدون تنفس کم آبی، مصرف نیتروژن تا حد مقدار توصیه شده منجر به افزایش سرعت فتوسنتز، کاهش سرعت تعرق و در نهایت بهبود کارایی مصرف آب فتوسنتزی گردید. اما در شرایط کم آبیاری، تفاوت صفات مورد بررسی بین سطوح نیتروژن معنی‌دار نبود. در هر دو سال، افزایش همزمان آب و نیتروژن موجب افزایش عملکرد دانه گردید. در سال اول بیشترین و کمترین عملکرد دانه (۹۸۰ و ۲۹۴ گرم در مترمربع) به ترتیب متعلق به تیمارهای I_{60%}N_{70%} و I_{120%}N_{140%} بود. در سال دوم نیز بیشترین و کمترین عملکرد دانه (۹۰۳ و ۲۷۷ گرم در مترمربع) به ترتیب در تیمارهای I_{120%}N_{100%} و I_{60%}N_{40%} مشاهده شد.

واژه‌های کلیدی: تعرق، فتوسنتز، کم آبی، هدایت روزنامه‌ای

مقدمه

تغییر سطوح آب و نیتروژن سبب ایجاد واکنش‌های فیزیولوژیک و بیوشیمیابی متفاوتی در گیاه و سلول‌های آن می‌شود. این تغییرات در گیاه برای پاسخ به تنفس در جهت تخفیف یا رفع اثرات تنفس، ایجاد شده و به دنبال آن عملکرد تحت تأثیر قرار می‌گیرد (Ghobadi, 2017). مدیریت نامناسب آب و نیتروژن، اصلی‌ترین عوامل محدودکننده رشد ذرت (*Zea mays* L.) محسوب می‌شوند

(Alizadeh Oghyanous *et al.*, 2008).

به منظور دستیابی به تولید قابل قبول و جلوگیری از تلفات آب و نیتروژن، باید این دو نهاده مهم با مدیریت دقیق در اختیار گیاه قرار گیرد.

پاسخ مناسب ذرت به کاربرد نیتروژن که از طریق تأثیر بر ویژگی‌های فیزیولوژیک سبب دستیابی به عملکرد بالاتر می‌شود، دلیل مصرف بی‌رویه کودهای نیتروژن دار از سوی کشاورزان است (Mulvaney *et al.*, 2001). مصرف زیاد نیتروژن، تلفات نیتروژن شامل آبشویی، دنیتریفیکاسیون و تصعید را به دنبال دارد (Olaniyan *et al.*, 2004). امروزه به کارگیری روش‌های نوین آبیاری، مانند کم آبیاری نه تنها به عنوان راهکاری برای مقابله با بحران کم آبی مورد توجه قرار دارد، بلکه نقش مهمی در جلوگیری از آبشویی و حفظ عناصر غذایی در منطقه ریشه و افزایش جذب آن‌ها توسط گیاه خواهد داشت (Gheysari *et al.*, 2009). کم آبیاری به عنوان یک راهکار

۱- دانش‌آموخته دکترای فیزیولوژی گیاهان زراعی، دانشگاه رازی

۲- بهتریب دانشیار و استادیار، گروه زراعت و اصلاح نباتات، دانشگاه رازی

۳- استادیار، گروه مهندسی آب، پردیس کشاورزی و منابع طبیعی، دانشگاه رازی

۴- نویسنده مسئول: (Email: ghobadi.m@razi.ac.ir)

سرعت فتوستتر وجود دارد. نیتروژن با تغییر محتوای رنگدانه و سنتر آنزیم‌های مسیر فتوستتر، جذب تشعشع و سرعت فتوستتر را تحت تأثیر قرار می‌دهد (Zeiaie, 2007). دینگ و همکاران (Ding *et al.*, 2005) کاهش سرعت فتوستتر ذرت در شرایط کمبود نیتروژن را به دلیل کاهش محتوای پروتئین‌های استروما و تیلاکوئید از جمله آنزیم‌های کلیدی فتوستتر (رایسکو و فسفوانول پیروات کربوکسیلاز) گزارش کردند. با این حال، به عقیده ضیایی (Zeiaie, 2007) و فور آنزیم رایسکو موجب مقاومت فتوستتر در مقابل کمبود نیتروژن می‌شود. اما ممکن است بر اثر حرکت و انتقال نیتروژن از برگ، سطح نیتروژن برگ به قدری پایین بیاید که فتوستتر آسیب بیند.

با توجه به بحران کم آبی، لزوم گسترش تکیک کم آبیاری و به دنبال آن لزوم برقراری تناسب بین مقدار نیتروژن مصرفی با آب موجود در روش کم آبیاری احساس می‌شود. در این شرایط، مطالعه صفات فیزیولوژیک به فهم بهتر واکنش ذرت به مقادیر مختلف آب و نیتروژن در دسترس کمک می‌کند. بنابراین، این تحقیق با هدف ارزیابی نقش مقادیر مختلف آب و نیتروژن در ایجاد تغییرات فیزیولوژیک برگ ذرت در مرحله ظهور گل تاجی انجام شد.

مواد و روش‌ها

این تحقیق طی سال‌های ۱۳۹۳ و ۱۳۹۴ در مزرعه تحقیقاتی پردازی کشاورزی و منابع طبیعی دانشگاه رازی واقع در شرق شهرستان کرمانشاه (عرض جغرافیایی ۳۴ درجه و ۱۹ دقیقه شمالی، طول جغرافیایی ۴۷ درجه و ۶ دقیقه شرقی و ارتفاع ۱۳۱۹ متر از سطح دریا) به صورت کوتاهی یک بار خرد شده بر پایه طرح بلوك‌های کامل تصادفی در سه تکرار اجرا شد. فاکتور اصلی چهار سطح آبیاری شامل تأمین ۶۰ درصد نیاز آبی (تشن شدید کم آبی، I_{60%}، تأمین ۸۰ درصد نیاز آبی (تشن ملایم کم آبی، I_{80%}، تأمین ۱۰۰ درصد نیاز آبی (آبیاری کامل، I_{100%}) و تأمین ۱۲۰ درصد نیاز آبی (بیش آبیاری، I_{120%}) و فاکتور فرعی چهار سطح نیتروژن شامل تأمین ۴۰ درصد (N_{40%}، N_{70%} درصد (۷۰ درصد (N_{100%} و ۱۴۰ درصد (N_{140%} مقدار توصیه شده بر اساس نتایج آزمون خاک بود (جدول ۳). بر اساس طبقبندی دمارتن، اقلیم منطقه سرد و نیمه خشک می‌باشد. خصوصیات آب و هوایی محل آزمایش در طول دوره رشد گیاه ذرت در جدول ۱ ارائه شده است.

به منظور آماده‌سازی زمین، شخم پاییزه و دیسک بهاره انجام شد. در هر دو سال بر اساس نتایج آزمون خاک (جدول ۲)، فسفر به میزان ۱۷۵ کیلوگرم در هکتار از منبع کود سوپرفسفات تریپل (حاوی ۴۶ درصد P₂O₅ و پتاسیم به میزان ۵۰ کیلوگرم در هکتار از منبع کود سولفات پتاسیم (حاوی ۴۶ درصد K₂O) به صورت پیش کاشت استفاده شد.

سودمند در شرایط محدودیت آب و با هدف حداکثر استفاده از واحد حجم آب مصرفی، مطرح شده است. با کم آبیاری به طور آگاهانه به گیاه اجازه داده می‌شود با دریافت آب کمتر از نیاز، محصول خود را کاهش دهد (English *et al.*, 1990). در صورت استفاده منطقی و مدیریت شده از روش کم آبیاری، میزان کاهش محصول در برابر منفعت حاصل از مقدار آب ذخیره شده ناچیز خواهد بود (Dokoochaki *et al.*, 2012). در حال حاضر، اغلب توصیه مصرف نیتروژن برای شرایط مطلوب آبی انجام می‌شود. با توجه به این که در شرایط کم آبی جذب عناصر غذایی کاهش می‌باید، لازم است توصیه‌های کودی مطابق با شرایط آبی موجود صورت گیرد. مطالعه نحوه و شدت واکنش فیزیولوژیک ذرت به مقادیر مختلف آب و نیتروژن در دسترس، به شناسایی ساز و کارهای مؤثر در ایجاد مقاومت گیاه به شرایط نامطلوب محیطی و تخمین دقیق تر نیاز ذرت به آب و نیتروژن کمک می‌کند.

برگ‌های ذرت در ایجاد سازوکار اجتناب از کم آبی نقش مهمی دارند. لوله شدن برگ، پیامد کاهش فشار تورژسانس سلول‌های بالی فرم اطراف رگبرگ است. حفظ پتانسیل آب برگ عامل مهمی در تولید ماده خشک است (Khaksar *et al.*, 2014). محتوای نسبی آب برگ، شاخص مناسبی برای ارزیابی وضعیت آب برگ است. زیرا تعادل بین آب تأمین شده برای برگ و سرعت تعرق را منعکس می‌کند (Sanchez-Rodriguez *et al.*, 2010). کاهش سرعت فتوستتر در اثر تنش به محدودیت‌های روزنامه‌ای و غیر روزنامه‌ای مربوط است. دلیل اصلی کاهش فتوستتر در شرایط کمبود آب، کاهش ورود دی‌اکسید کربن در اثر بسته شدن روزنامه‌ها است. کاهش معنی‌دار هدایت روزنامه‌ای در اثر کم آبی قبل از کاهش معنی‌دار پتانسیل آب برگ ایجاد می‌شود (Rezaii Rad *et al.*, 2016). پس از درک تنش کم آبی به عنوان یک عکس العمل فیزیولوژیک، هورمون آب‌سازیک اسید در ریشه تولید می‌شود. ارسال این هورمون به اندام‌های هوایی پاسخ‌های دفاعی مثل بسته شدن روزنامه‌ها، کاهش سرعت رشد برگ و در نتیجه کاهش هدر رفت آب و افزایش کارایی مصرف آب را به دنبال دارد (Sepaskhah and Ahmadi, 2010). محدودیت‌های غیر روزنامه‌ای فتوستتر ناشی از افزایش مقاومت مزوپلی نسبت به انتشار دی‌اکسید کربن از فضای زیر روزنامه به محل تثبیت، افزایش مقاومت غلاف آوندی نسبت به حرکت اسید چهار کربنه از سلول مزوپلی به سلول غلاف آوندی، تخریب غشاها سلول و کلروپلاست، کاهش محتوای رنگدانه، کاهش مقدار و فعالیت آنزیم‌های فتوستتری و ممانعت از فعالیت فتوسیستم II است (Seghatoleslami *et al.*, 2008; Retta *et al.*, 2016).

به دنبال کمبود نیتروژن، کاهش سطح برگ در مقایسه با کاهش فتوستتر در واحد سطح برگ تأثیر بیشتری بر کاهش تولید ماده خشک خواهد داشت. با این وجود، شواهدی مبنی بر تأثیر مستقیم نیتروژن بر

جدول ۱- شرایط آب و هوای محل مورد مطالعه در طول دوره رشد ذرت
Table 1- Weather conditions of the study area during maize growth seasons

سال Year	ماه Month	میانگین درجه حرارت ماهانه			میزان تبخیر Evaporation (mm)
		حداقل (min.)	حداکثر (max.)	متوسط (average)	
2014 ۱۳۹۳	May اردیبهشت	9.2	27.2	18.4	194.1
	June خرداد	13.0	33.0	24.2	283.4
	July تیر	17.6	38.9	29.2	328.4
	Aug. مرداد	17.8	39.3	29.3	352.6
	Sep. شهریور	13.8	30.3	21.7	250.5
	Oct. مهر	10.3	26.9	18.6	146.9
2015 ۱۳۹۴	May اردیبهشت	9.0	28.4	19.3	275.4
	June خرداد	14.1	36.9	26.0	359.2
	July تیر	19.3	38.6	29.8	388.1
	Aug. مرداد	19.6	39.9	30.6	396.6
	Sep. شهریور	15.9	34.6	25.8	294.5
	Oct. مهر	11.0	29.2	20.1	199.2

Reference: www.fieldclimate.com

جدول ۲- ویژگی‌های فیزیکی و شیمیایی خاک
Table 2- Physical and chemical properties of the soil

سال Year	عمق Depth (cm)	بافت خاک Soil texture	اسیدیته کلکتریکی	هدایت کلکتریکی	ظرفیت تبادل کاتیونی	کربن آلی	نیتروژن کل نیتروژن آلی	فسفر قابل ذوب	پتانسیم قابل ذوب
2014 ۱۳۹۳	0-30	Clay رسی	7.37	0.60	27.00	1.48	0.15	5.2	340
	30-60	Clay رسی	7.40	-	-	1.12	0.11	-	-
2015 ۱۳۹۴	0-30	Clay رسی	7.69	0.55	27.00	1.00	0.10	5.1	350
	30-60	Clay رسی	7.60	-	-	0.90	0.09	-	-

نیتروژن، مقدار کود اوره به ازای هر کرت محاسبه شد (جدول ۳). تقسیط هر سطح نیتروژن به صورت یک سوم در مرحله دو برگی، یک سوم در مرحله شش برگی (ابتداً رشد طولی ساق) و یک سوم قبل از ظهور گل تاجی بود. تا قبل از مرحله شش برگی، آبیاری مطلوب برای تمام کرتها صورت گرفت. تیمار آبیاری با شروع مرحله شش برگی بر اساس سطوح در نظر گرفته شده اعمال شد. نیاز آبی با استفاده از اطلاعات روزانه هواشناسی ثبت شده توسط ایستگاه هواشناسی هوشمند مجاور مزرعه تحقیقاتی تخمین زده شد. قبل از هر آبیاری با وارد کردن این اطلاعات در معادله پنمن- مونتیت فائو، ابتدا میزان تبخیر و تعرق پتانسیل روزانه محاسبه گردید. سپس با استخراج مقادیر ضریب گیاهی ذرت در مراحل مختلف رشد آن برای منطقه کرمانشاه از نرم افزار AGWAT (Alizadeh et al., 2002) و ضرب آن در

طول هر کرت شش متر، فاصله ردیف‌های کاشت ۷۵ سانتی‌متر و فاصله بوته روی ردیف ۱۷/۷۸ سانتی‌متر بود، به طوری که تراکم ۷/۵ بوته در مترمربع حاصل شد. کاشت بذر ذرت هیرید سینگل کراس ۷۰۴ در هفته دوم اردیبهشت ماه به صورت دستی در عمق پنج سانتی‌متری روی پشتنه انجام شد. در هر کپه سه عدد بذر ضدافعوی شده با قارچ کش کاربوکسین تیرام دو در هزار قرار داده شد. به منظور رسیدن به تراکم مطلوب، در مرحله چهار برگی بوته‌های اضافی تک شدند.

بر اساس نتایج آزمون خاک، نیاز ذرت دانه‌ای رقم فوق الذکر، برای تأمین ۱۰۰ درصد نیاز نیتروژن، در سال اول ۱۶۱ و در سال دوم ۱۸۴ کیلوگرم نیتروژن خالص در هکتار تعیین گردید (Malakooti and Gheibi, 2000)، با توجه به سطوح در نظر گرفته شده برای تیمار

شده برای هر کرت در دوره‌های هفت روزه (دور آبیاری معمول در منطقه) تعیین و در اختیار گیاهان قرار گرفت. آبیاری توسط لوله پلی‌اتیلن و شلنگ انجام و حجم آب ورودی به کرت‌ها با کنتور کنترل شد. لازم به ذکر است که دلیل انتخاب تیمار تأمین بیش آبیاری، عدم اطمینان کافی به روش پنمن-موتیث فائق برای محاسبه دقیق نیاز آبی در شهرستان کرمانشاه بود.

مقادیر روزانه تبخیر و تعرق پتانسیل، تبخیر و تعرق روزانه ذرت محاسبه شد. با جمع کردن مقادیر تبخیر و تعرق روزانه بین دو آبیاری، نیاز خالص آبیاری برای تیمار تأمین ۱۰۰ درصد نیاز آبی به دست آمد. با فرض راندمان آبیاری معادل ۹۰ درصد، نیاز خالص آبیاری تخمین زده شد. نیاز آبیاری سایر تیمارها نیز به عنوان ضریبی از نیاز آبیاری تیمار تأمین ۱۰۰ درصد نیاز آبی محاسبه و مقادیر آب در نظر گرفته

جدول ۳- مقدار آب آبیاری و کود اوره برای هر یک از سطوح اب و نیتروژن

Table 3- Seasonal irrigation water volume and urea amount for each irrigation and nitrogen levels.

سطوح آبیاری Irrigation levels	توصیف Description	مجموع آب مصرفی Total water distributed (mm)			
		2014	۱۳۹۳	2015	۱۳۹۴
I _{60%}	تأمین ۶۰ درصد نیاز آبی supplying 60% of total water requirement	670.54		602.84	
I _{80%}	تأمین ۸۰ درصد نیاز آبی supplying 80% of total water requirement	810.72		737.12	
I _{100%}	تأمین ۱۰۰ درصد نیاز آبی supplying 100% of total water requirement	950.90		894.60	
I _{120%}	تأمین ۱۲۰ درصد نیاز آبی supplying 120% of total water requirement	1091.08		1033.52	

سطوح نیتروژن Nitrogen levels	توصیف Description	مقدار کود اوره مصرفی Urea fertilizer amount (kg ha ⁻¹)			
		2014	۱۳۹۳	2015	۱۳۹۴
N _{40%}	تأمین ۴۰ درصد نیاز نیتروژن supplying 40% of total nitrogen requirement	140		160	
N _{70%}	تأمین ۷۰ درصد نیاز نیتروژن supplying 70% of total nitrogen requirement	245		280	
N _{100%}	تأمین ۱۰۰ درصد نیاز نیتروژن supplying 100% of total nitrogen requirement	350		400	
N _{140%}	تأمین ۱۴۰ درصد نیاز نیتروژن supplying 140% of total nitrogen requirement	490		560	

اندازه‌گیری هدایت روزنیه‌ای و دمای برگ در زمان ظهور گل‌تاجی، در سال‌های اول و دوم پنج روز بعد از آبیاری در یک روز آفتابی با آسمان صاف بین ساعت ۱۱ تا ۱۳ انجام شد. به این منظور انتشار بخار آب از روزنے (میلی‌مول بر مترمربع در ثانیه) و دمای (سانتی‌گراد) برگ‌های جوان توسعه یافته سه بوته از هر کرت توسط دستگاه پرومتر مدل SC-1 تعیین شد.

جهت تعیین حداکثر کارایی فتوشیمیایی فتوسیستم II از دستگاه فلوریمتر مدل Pocket PEA استفاده شد. اندازه‌گیری در زمان ظهور گل‌تاجی، در سال‌های اول و دوم پنج روز بعد از آبیاری از برگ‌های جوان و توسعه یافته سه بوته از هر کرت بین ساعت ۱۱ تا ۱۳ انجام شد.

$$F_V/F_M = \frac{F_M - F_O}{F_M} \quad (2)$$

فلورسانس حداکثر، F_O، فلورسانس حداقل و F_M نسبت

به منظور اندازه‌گیری محتوای نسبی آب برگ، در زمان ظهور گل‌تاجی، نمونه‌برداری در سال‌های اول و دوم، شش روز بعد از آبیاری و از برگ پرچم سه بوته از هر کرت صورت گرفت. نمونه‌ها در پلاستیک قرار داده شدند و با کمک فلاسک حاوی یخ خشک به سرعت به آزمایشگاه که در مجاورت مزرعه قرار دارد منتقل و وزن تر (FW) آن‌ها تعیین شد. سپس برگ‌ها به مدت چهار ساعت در شدت نور کم در آب مقطر قرار گرفته و پس از حذف رطوبت سطحی آن‌ها توسط کاغذ صافی، وزن برگ‌ها در حالت توری‌سانس (TW) تعیین شد. در پایان، نمونه‌ها به مدت ۴۸ ساعت در دمای ۷۰ درجه سانتی‌گراد در آون قرار گرفته و وزن خشک (DW) آن توسط ترازوی با دقت یک هزارم گرم توزین شد و محتوای نسبی آب برگ (درصد) با استفاده از معادله ۱ محاسبه شد (Barrs, 1968).

$$RWC = \frac{FW - DW}{TW - DW} \times 100 \quad (1)$$

واریانس خطای آزمایش دو سال برای تمام صفات اندازه‌گیری شده ناهمگن بود، بنابراین، نتایج مربوط به سال اول و دوم آزمایش به طور جداگانه مورد بررسی قرار گرفت.

نتایج و بحث

محتوای نسبی آب برگ

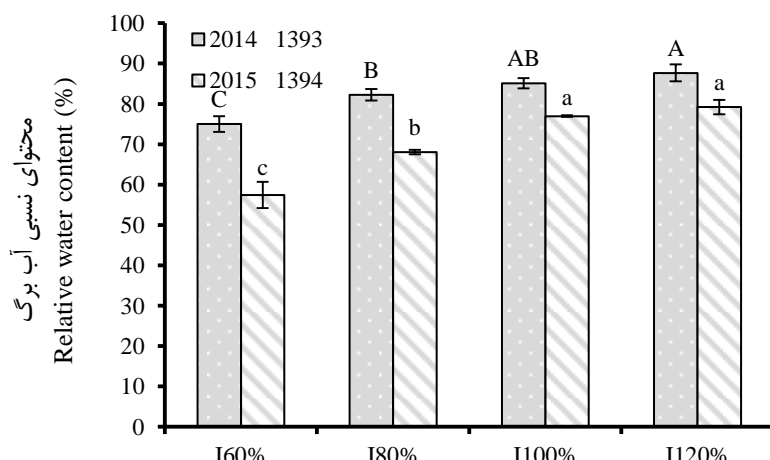
اثر آبیاری بر محتوای نسبی آب برگ در هر دو سال معنی‌دار بود (جدول ۴). در هر دو سال، با افزایش شدت کم آبی، محتوای نسبی آب برگ کاهش یافت. محتوای نسبی آب برگ تمام سطوح آبیاری در سال دوم از سال اول کمتر بود. همچنین در سال دوم، کاهش محتوای آب برگ در تنش ملایم و شدید کم آبی در مقایسه با سال اول شدیدتر بود. به طوری که در سال اول محتوای نسبی آب برگ در شرایط تأمین ۱۰۰، ۸۰ و ۶۰ درصد نیاز آبی نسبت به تأمین ۱۲۰ درصد نیاز آبی به ترتیب $5/4$ ، $2/7$ و $12/7$ درصد کمتر بود. در سال دوم این مقادیر به ترتیب $2/2$ ، $11/1$ و $21/8$ درصد به دست آمد (شکل ۱). کاهش محتوای نسبی آب برگ نشان‌دهنده کاهش آماس سلول‌های برگ است که موجب کاهش رشد می‌گردد. کم آبی با تأثیر بر اندازه سلول، کاهش فضای بین سلولی و افزایش ضخامت لایه پارانشیم برگ که ناشی از پیر شدن برگ‌ها است، محتوای نسبی آب برگ را کاهش می‌دهد. کاهش آماس سلولی با تأثیر بر باز و بسته شدن روزنه‌ها، فرآیندهای فتوسترات، تنفس و تعرق را کنترل کرده و با تأثیر بر فرآیندهای آنزیمی که به طور مستقیم تحت کنترل پتانسیل آب هستند، بر رشد و تولید گیاه اثر منفی دارد (Khaksar *et al.*, 2014).

فلورسانس متغیر به فلورسانس حداکثر است.

اندازه‌گیری شاخص سبزینگی در سال ۱۳۹۳ توسط دستگاه SPAD مدل 502 در زمان ظهور گل تاجی بعد از کالیبراسیون دستگاه و پاک کردن غبار از سطح برگ انجام شد. در زمان اندازه‌گیری سه برگ از برگ‌های توسعه‌یافته با موقعیت تقریباً مشابه بر روی بوته‌های مختلف انتخاب شد. میزان سبزینگی سه نقطه از هر برگ تعیین و میانگین این اعداد ثبت شد.

بررسی تبدلات گازی برگ در سال ۱۳۹۳ مقدور شد. به منظور اندازه‌گیری سرعت فتوسترات خالص (میکرومول دی‌اکسید کربن بر مترمربع در ثانیه) و سرعت تعرق (میلی‌مول آب بر مترمربع در ثانیه) LCi در مرحله ظهور گل تاجی، شش روز بعد از آبیاری، از دستگاه Analyser استفاده شد. برگ‌های جوان گسترش یافته‌ای که در معرض نور بودند، برای اندازه‌گیری تبدلات گازی انتخاب شدند. اندازه‌گیری در یک روز آفتابی با آسمان صاف بین ساعت ۱۲ تا ۱۴ در شدت نور ۱۲۰۰ تا ۱۴۰۰ میکرومول فوتون بر مترمربع در ثانیه، با قرار دادن قسمت میانی پهنه‌ک در داخل محفظه دستگاه به مدت ۴۵ ثانیه انجام شد. کارایی مصرف آب فتوسترات (میکرومول دی‌اکسید کربن بر میلی‌مول آب) از تقسیم سرعت فتوسترات به سرعت تعرق محاسبه شد.

آزمون نرمال بودن داده‌ها به روش Kolmogorov-smirnov و Box-Cox و آزمون بارتلت به منظور بررسی همگن بودن واریانس خطای دو سال برای هر صفت با استفاده از نرم‌افزار Minitab نسخه ۱۶ صورت گرفت. تجزیه واریانس و مقایسه میانگین‌ها به روش LSD در سطح پنج درصد، با استفاده از نرم‌افزار SAS نسخه ۸/۲ انجام شد. با توجه به اینکه



شکل ۱- مقایسه میانگین سطوح در صفت محتوای نسبی آب برگ در سال‌های ۱۳۹۳ (حروف بزرگ) و ۱۳۹۴ (حروف کوچک) در هر ستون میله‌های عمودی نشان‌دهنده خطای استاندارد است.

Figure 1- Mean comparison of irrigation levels for relative water content in 2014 (uppercase letters) and 2015 (lowercase letters). In per column, vertical bars represent the standard error.

جدول ۴- تجزیه واریانس میانواره‌های ممکن برای معرفت میزان میزان معرفت (میانگین مربعات)
Table 4- Annual analysis of variance for measured traits (mean squares)

S.O.V	متغیر	متغیر	درجه آزادی	d.f	هدايت روزنهاي برگ		هدايت روزنهاي برگ		هدايت روزنهاي برگ		هدايت روزنهاي برگ	
					2014	2015	2014	2015	2014	2015	2014	2015
Replication	کارهای	کارهای	۲	۲.73 ^{ns}	30.99 ^{ns}	632.99 ^{**}	46.24 ^{ns}	78.89 ^{**}	37.97 ^{**}	0.00049 ^{ns}	63.20 ^{**}	49.40 ^{ns}
Irrigation (I)	آبیاری	آبیاری	۳	359.13 ^{**}	1174.79 ^{**}	2905.26 ^{**}	1072.98 ^{**}	8.95 ^{**}	46.97 ^{**}	0.0058 ^{ns}	0.0196 [*]	216.19 ^{**}
Error a	اشتباه	اشتباه	۶	15.41	10.44	223.86	55.49	3.03	3.84	0.0109	0.0047	15.45
Nitrogen (N)	پیشوده	پیشوده	۳	16.10 ^{ns}	30.55 ^{ns}	165.85 ^{ns}	39.78 ^{ns}	0.31 ^{ns}	3.99 ^{ns}	0.0052 ^{ns}	0.0199 [*]	28.73 ^{ns}
N×I	آبیاری × پیشوده	آبیاری × پیشوده	۹	14.34 ^{ns}	5.25 ^{ns}	81.89 ^{ns}	105.70 ^{ns}	0.07 ^{ns}	4.00 ^{ns}	0.0113 ^{ns}	0.0067 ^{ns}	19.80 ^{ns}
Error b	اشتباه	اشتباه	۲۴	23.87	11.33	107.31	46.53	0.29	3.75	0.0052	0.0058	395.96
CV (%)	تفصیل	تفصیل	-	-	5.92	4.78	22.02	29.60	1.39	4.49	10.68	11.24

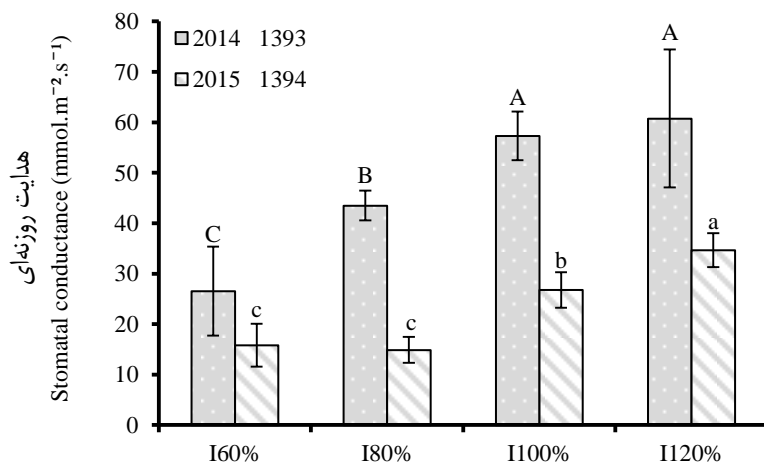
*، **، and ns significant at 5% and 1% levels and non-significant, respectively.
^{ns} بترتیب ممکن برای معرفت در مقطع پنج و یک درصد غیر معنی‌دار.

هدایت روزنهاي برگ

اثر آبیاری در هر دو سال بر هدایت روزنهاي برگ معنی‌دار بود (جدول ۴). در سال دوم، هدایت روزنهاي در تمام سطوح آبیاری نسبت به سال اول کمتر بود. به دلیل شرایط آب و هوایی مساعدتر سال اول از نظر درجه حرارت هوا در طول دوره رشد، امکان باز بودن بیشتر روزنها فراهم بود. در هر دو سال، با مصرف آب کمتر، هدایت روزنهاي کاهش یافت. در سال اول اختلاف بین هدایت روزنهاي در شرایط تأمین ۱۲۰ و ۱۰۰ درصد نیاز آبی معنی‌دار نبود (به ترتیب ۶۰/۸ و ۵۷/۳ میلی مول بر مترمربع در ثانیه). اما تنفس ملايم و شدید کم آبی منجر به کاهش معنی‌دار هدایت روزنهاي شدند (به ترتیب ۴۳/۵ و ۲۶/۵ میلی مول بر مترمربع در ثانیه). در سال دوم، با تأمین ۱۰۰ درصد نیاز آبی هدایت روزنهاي ۲۶/۸ میلی مول بر مترمربع در ثانیه) به طور معنی‌داری کمتر از شرایط تأمین ۱۲۰ درصد نیاز آبی (۳۴/۷ میلی مول بر مترمربع در ثانیه) بود. کمترین میزان هدایت روزنهاي با اعمال تنفس ملايم و تنفس شدید کم آبی در سال دوم (به ترتیب ۱۴/۹ و ۱۵/۸ میلی مول بر مترمربع در ثانیه) ثبت شد (شکل ۲). یکی از اولین واکنش‌های گیاه به تنفس، محدود کردن هدایت روزنها است. اگر میزان آبی که از سلول‌های محافظ روزنها دفع می‌شود از آبی که از سلول‌های مزوپیلی به این سلول‌ها منتقل می‌شود بیشتر باشد، سلول‌های محافظ روزنها چروکیده شده و دهانه روزنها کوچکتر و در نهایت بسته می‌شود. به علاوه در واکنش به کمبود آب، آبسزیک اسید در سلول‌های مزوپیلی تجمع یافته و به سلول‌های محافظ روزنها می‌رسد. آبسزیک اسید با دخالت در کار پمپ‌های پروتونی موجود در غشاء، موجب تشدید خروج یون پتاسیم از سلول‌های محافظ و بسته شدن روزنها می‌شود (Ahmadi *et al.*, 2008). سوزا و همکاران (Souza *et al.*, 2013) نیز نتایج مشابهی را در رابطه با تأثیر کم آبی بر هدایت روزنهاي ذرت گزارش کردند.

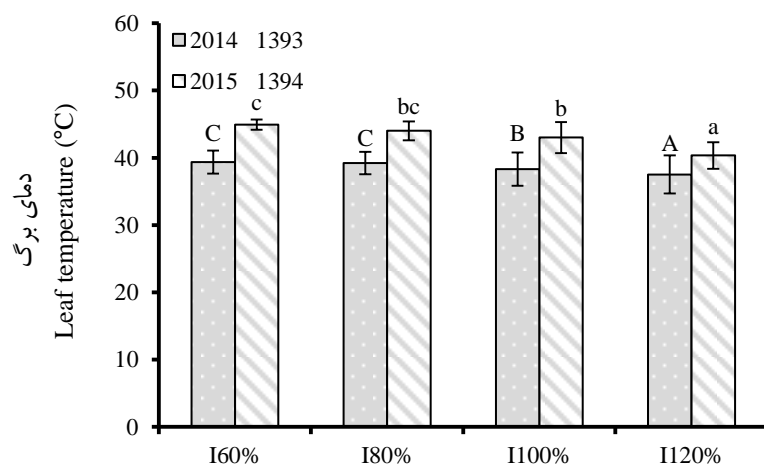
دمای برگ

دمای برگ در هر دو سال به طور معنی‌داری تحت تأثیر آبیاری قرار گرفت (جدول ۴). در تمام سطوح آبیاری، دمای برگ در سال دوم نسبت به سال اول بیشتر بود (شکل ۳). کاهش تعرق به دلیل هدایت روزنهاي کمتر برگ‌ها در سال دوم نسبت به سال اول منجر به افزایش دمای برگ شد. در هر دو سال، با افزایش شدت کم آبی، دمای برگ بیشتر شد. مقدار افزایش دما در تیمارهای کم آبیاری نسبت به آبیاری مطلوب در سال دوم از سال اول بیشتر بود. به طوری که در شرایط تأمین ۱۰۰، ۸۰ و ۶۰ درصد نسبت به تأمین ۱۲۰ درصد نیاز آبی، دمای برگ در سال اول به ترتیب ۱۰/۷۸، ۱/۷۰ و ۱/۸۴ درجه سانتی گراد بالاتر بود. این مقادیر در سال دوم به ترتیب ۲/۶۶، ۳/۶۶ و ۴/۵۹ درجه سانتی گراد به دست آمد (شکل ۴).



شکل ۲- مقایسه میانگین سطوح آبیاری در صفت هدایت روزنها برگ در سال‌های ۱۳۹۳ (حروف بزرگ) و ۱۳۹۴ (حروف کوچک). در هر ستون میله‌های عمودی نشان‌دهنده خطای استاندارد است.

Figure 2- Mean comparison of irrigation levels for stomatal conductance in 2014 (uppercase letters) and 2015 (lowercase letters). In per column, vertical bars represent the standard error.



شکل ۳- مقایسه میانگین سطوح آبیاری در صفت دمای برگ در سال‌های ۱۳۹۳ (حروف بزرگ) و ۱۳۹۴ (حروف کوچک) در هر ستون میله‌های عمودی نشان‌دهنده خطای استاندارد است.

Figure 3- Mean comparison of irrigation levels for leaf temperature in 2014 (uppercase letters) and 2015 (lowercase letters). In per column, vertical bars represent the standard error.

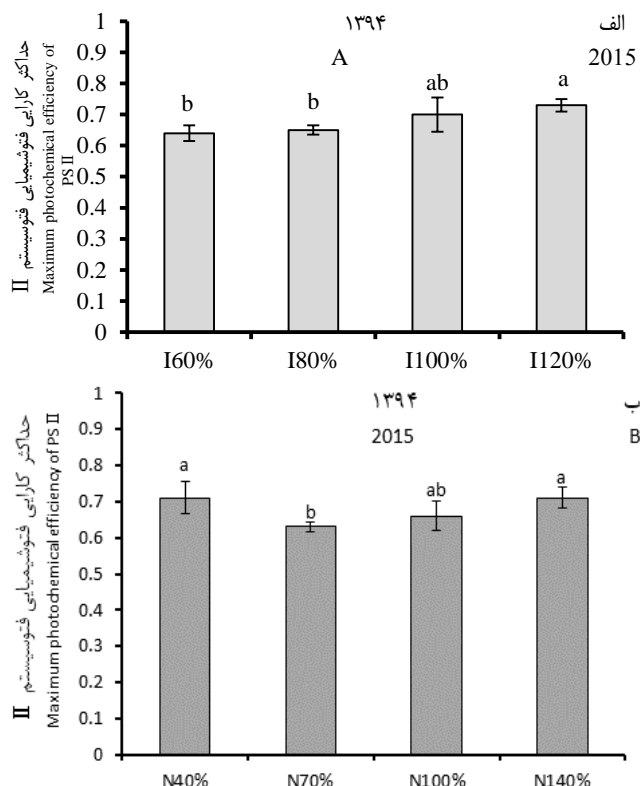
حداکثر کارایی فتوشیمیایی فتوسیستم II

در سال اول اثرهای آبیاری، نیتروژن و اثر متقابل آن‌ها بر حداکثر کارایی فتوشیمیایی فتوسیستم II معنی‌دار نبود (جدول ۴). بنابراین کمبود آب و نیتروژن تا زمان ظهر گلتاجی بر واکنش‌های نوری فتوسنتز تأثیر منفی نداشته است. در آزمایش اشرف و همکاران (Ashraf *et al.*, 2007) نیز کارایی فتوشیمیایی فتوسیستم II تحت تأثیر سطوح آبیاری قرار نگرفت. با این حال در سال دوم، فعالیت فتوسیستم II تحت تأثیر مقدار آب و نیتروژن مصرفی قرار گرفت

در شرایط تنش، بخش زیادی از انرژی خورشیدی جذب شده توسط برگ‌ها در واکنش‌های فتوشیمیایی مصرف نمی‌شود و به گرما تبدیل می‌شود. به دلیل بالا بودن گرمای نهان تبخیر آب، تعرق راه اصلی دفع انرژی اضافه است. کاهش تعرق به دلیل بسته شدن روزنها، افزایش دمای برگ را به دنبال دارد (Ahmadi *et al.*, 2009).

تبديل می‌شود. اتصال پروتون‌ها و زاگرانتین به پروتئین‌های مجموعه‌های جمع‌آوری کننده نور، منجر به پراکنش انرژی اضافی به شکل گرمای شود (Kafi *et al.*, 2012). در این آزمایش به نظر می‌رسد که گرمای بیشتر هوا در سال دوم، تضعیف سیستم دفاعی و آسیب به مراکز واکنش فتوسیستم II را در شرایط کم‌آبی به دنبال داشته است. در آزمایش سوزا و همکاران (Souza *et al.*, 2013) نیز در سال دوم اجرای آزمایش که دمای هوا در طول دوره رشد ذرت نسبت به سال اول کمتر بود، کم‌آبی کارایی فتوشیمیابی فتوسیستم II را تغییر نداد.

(جدول ۴). افزایش شدت کم‌آبی، منجر به کاهش کارایی فتوشیمیابی فتوسیستم II شد. به طوری که مقدار این شاخص در شرایط تأمین ۱۲۰، ۱۰۰، ۸۰ و ۶۰ درصد نیازآبی، به ترتیب ۰/۷۳، ۰/۷۰، ۰/۶۵ و ۰/۶۴ به دست آمد (شکل ۴-الف). در اثر تنفس، فعالیت مجموعه آزادکننده اکسیژن در مرکز واکنش فتوسیستم II به دلیل تخریب پروتئین D1 مختل می‌شود و کارایی فتوشیمیابی فتوسیستم II کاهش می‌یابد (Huseynova, 2012). اما در صورتی که انرژی اضافی دفع شود، فتوسیستم II از آسیب در امان می‌ماند. رنگدانه‌های کارتوئید در پراکنده کردن انرژی اضافی نقش دارند. در نور شدید، ویولوگرانتین از طریق ایجاد ماده حد واسط آنتروگرانتین به زاگرانتین



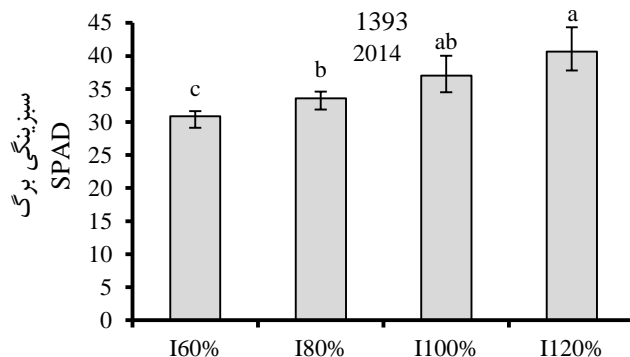
شکل ۴- مقایسه میانگین سطوح آبیاری (الف) و سطوح نیتروژن (ب) در صفت حداکثر کارایی فتوشیمیابی فتوسیستم II در سال ۱۳۹۴. در هر ستون میله‌های عمودی نشان‌دهنده خطای استاندارد است.

Figure 4- Mean comparison of irrigation levels (A) and nitrogen levels (B) for maximum photochemical efficiency of PSII in 2015. In per column, vertical bars represent the standard error.

آمد (شکل ۵). در شرایط کم‌آبی به دلیل کاهش ساخت و افزایش سرعت تجزیه رنگدانه‌ها، سبزینگی برگ‌ها کاهش می‌یابد. در آزمایش فاضلی رستمپور و همکاران (Fazeli Rostampour *et al.*, 2010) نیز اعمال تنفس کم‌آبی منجر به کاهش سبزینگی برگ ذرت شد.

سبزینگی برگ

سبزینگی برگ فقط در سال ۱۳۹۳ اندازه‌گیری شد. اثر آبیاری بر سبزینگی برگ معنی‌دار بود (جدول ۴)، با مصرف آب کمتر، سبزینگی برگ کاهش یافت. به طوری که با تأمین ۱۲۰، ۱۰۰، ۸۰ و ۶۰ درصد نیاز آبی، سبزینگی برگ به ترتیب ۰/۷۳، ۰/۷۰، ۰/۶۵ و ۰/۶۴ به دست



شکل ۵- مقایسه میانگین سطوح آبیاری در صفت سبزینگی برگ در سال ۱۳۹۳. در هر ستون میله‌های عمودی نشان‌دهنده خطای استاندارد است.
Figure 5- Mean comparison of irrigation levels for SPAD in 2014. In per column, vertical bars represent the standard error.

روزنہ‌ای رخ داد (شکل ۲). با این حال، محدودیت‌های غیر روزنہ‌ای نیز تأثیر زیادی بر کاهش سرعت فتوستتر در شرایط کم آبی دارند. به علاوه، کمبود شدید آب باعث ایجاد تعییرات ساختاری در دستگاه فتوستتری از جمله تخریب تیلاکوئیدهای کلروپلاست سلول‌های مزوپلیل و غلاف آوندی می‌شود (Stoyanova *et al.*, 2002). کاهش سرعت فتوستتر در شرایط کمبود نیتروژن با افزایش مقاومت روزنہ‌ای، مقاومت مزوپلیل و مقاومت غلاف آوندی همراه است (Zeiaie, 2007). در شرایط کمبود شدید نیتروژن، آنزیم رابیسکو تجزیه می‌شود. با کاهش مقدار رابیسکو در برگ، تثبیت دی‌اکسید کربن کاهش می‌یابد (Ahmadi *et al.*, 2009). همچنین نیتروژن با بهبود ترکیب غشاء پلاسمایی، نفوذپذیری غشاء و هدایت غلاف آوندی در افزایش سرعت فتوستتر مؤثر است (Retta *et al.*, 2016).

سرعت تعرق

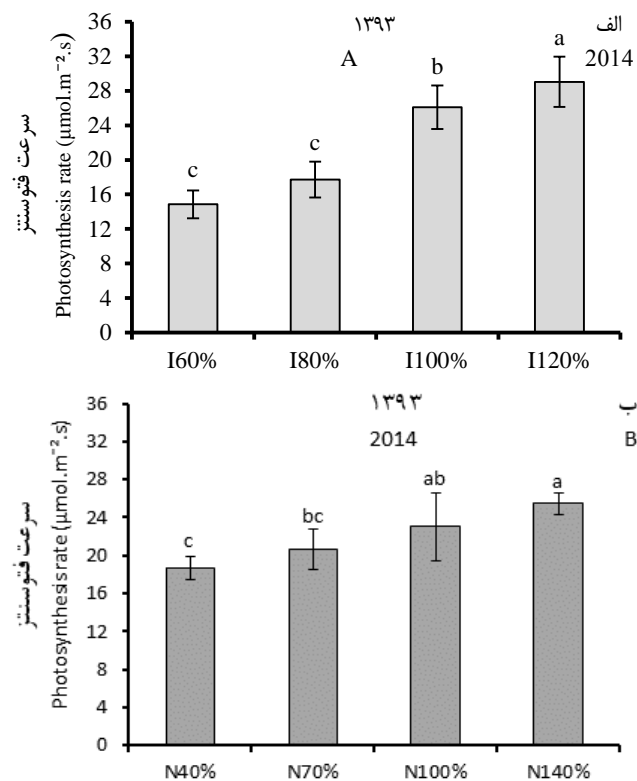
وضعیت سرعت تعرق فقط در سال ۱۳۹۳ بررسی شد. اثرهای آبیاری، نیتروژن و اثر متقابل آن‌ها بر سرعت تعرق معنی‌دار بودند (جدول ۴). صرف نظر از مقدار نیتروژن، با تأمین ۱۲۰ و ۱۰۰ درصد نیاز آبی، بیشترین سرعت تعرق ثبت شد (به ترتیب ۴/۵ و ۴/۶ میلی‌مول بر مترمربع در ثانیه). کمبود ملایم و شدید آب، سرعت تعرق را به طور معنی‌داری کاهش داد (به ترتیب ۳/۲ و ۲/۸ میلی‌مول بر مترمربع در ثانیه). در شرایط تأمین ۱۲۰، ۱۰۰ و ۸۰ درصد نیاز آبی، تأثیر مقادیر مختلف نیتروژن بر سرعت تعرق معنی‌دار نبود. اما در شرایط تأمین ۱۰۰ درصد نیاز آبی، با مصرف ۷۰ درصد نیاز نیتروژن، سرعت تعرق به طور معنی‌داری بیشتر از سایر سطوح نیتروژن بود (۶ میلی‌مول بر مترمربع در ثانیه) (شکل ۷). کاهش هدایت روزنہ‌ای در واکنش به کمبود آب عامل محدودیت تبادلات گازی است. گی و همکاران (Ge *et al.*, 2012) نیز کاهش معنی‌دار سرعت تعرق در اثر تنفس ملایم و شدید کم آبی نسبت به آبیاری مطلوب را گزارش کردند. در آزمایش امام و ضیایی (Emam and Zeiaie, 2010) سرعت تعرق

سرعت فتوستتر

اندازه‌گیری سرعت فتوستتر فقط در سال ۱۳۹۳ انجام شد. در مرحله ظهور گل تاجی، اثرهای سطوح آبیاری و مقادیر مختلف نیتروژن بر سرعت ثبیت خالص دی‌اکسید کربن معنی‌دار بود (جدول ۴). با تأمین ۱۲۰ درصد نیاز آبی به ازای هر مترمربع برگ به طور متوسط ۲۹ میکرومول دی‌اکسید کربن در ثانیه ثبیت شد. مصرف آب کمتر، سرعت فتوستتر را به طور معنی‌داری کاهش داد. به طوری که با تأمین ۱۰۰، ۸۰ و ۶۰ درصد نسبت به تأمین ۱۲۰ درصد نیاز آبی سرعت ثبیت دی‌اکسید کربن به ترتیب ۱۱/۳، ۲/۹ و ۱۴/۲ میکرومول بر مترمربع در ثانیه کمتر بود (شکل ۶-الف). رضایی‌راد و همکاران (Ge *et al.*, 2012) و گی و همکاران (Rezaai Rad *et al.*, 2016) نتایج مشابهی در رابطه با تأثیر آب بر سرعت فتوستتر را گزارش کردند. مصرف نیتروژن تا حد نیاز گیاه بر سرعت فتوستتر تأثیر مثبت داشت. اما افزایش سرعت فتوستتر با مصرف نیتروژن بیشتر از نیاز گیاه از نظر آماری معنی‌دار نبود. از طرف دیگر، کمبود شدید نیتروژن (تأمین ۴۰ درصد نیاز گیاه) سرعت فتوستتر را به شدت کاهش داد. سرعت ثبیت خالص دی‌اکسید کربن در هر مترمربع برگ با تأمین ۴۰ و ۷۰ و ۱۰۰ درصد نیاز نیتروژن به ترتیب ۲۰/۶، ۲۳، ۲۵/۵ و ۱۸/۶ میکرومول در ثانیه بود (شکل ۶-ب). ریتا و همکاران (Retta *et al.*, 2016) نیز تأثیر مثبت مصرف نیتروژن بر سرعت فتوستتر را گزارش کردند.

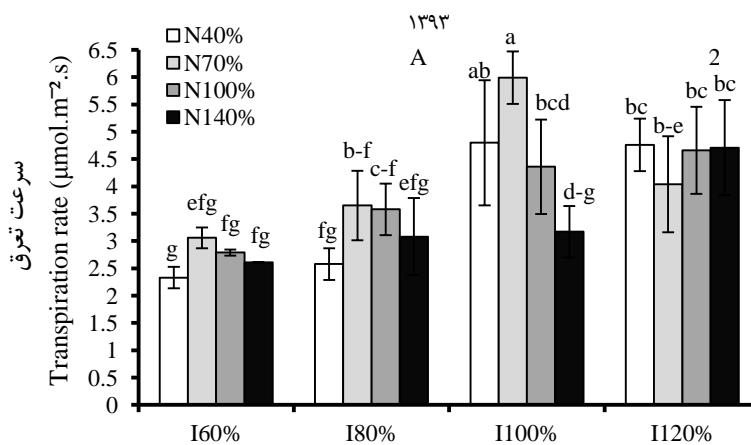
کاهش سرعت فتوستتر در اثر کمبود آب و نیتروژن می‌تواند به دلیل کاهش محتوای رنگدانه‌های جذب‌کننده نور، کاهش کارایی فتوشیمیایی فتوسیستم II، هدایت روزنہ‌ای کمتر، کاهش جذب و متابولیسم کربن، کاهش مقدار آنزیم‌های فتوستتری یا ترکیبی از این عوامل باشد. به نظر می‌رسد دلیل اصلی کاهش سرعت فتوستتر در شرایط کم آبی، کاهش ورود دی‌اکسید کربن در اثر بسته شدن روزنہ‌ها است (Rezaai Rad *et al.*, 2016). در آزمایش حاضر نیز در شرایط کم آبی، کاهش سرعت فتوستتر همزمان با کاهش هدایت

در تنش شدید کم‌آبی نسبت به آبیاری مطلوب کمتر بود، اما تنش ملایم کم‌آبی سرعت تعرق را کاهش نداد.



شکل ۶- مقایسه میانگین سطوح آبیاری (الف) و سطوح نیتروژن (ب) در صفت سرعت فتوسنتز در سال ۱۳۹۳. در هر ستون میله‌های عمودی نشان‌دهنده خطای استاندارد است.

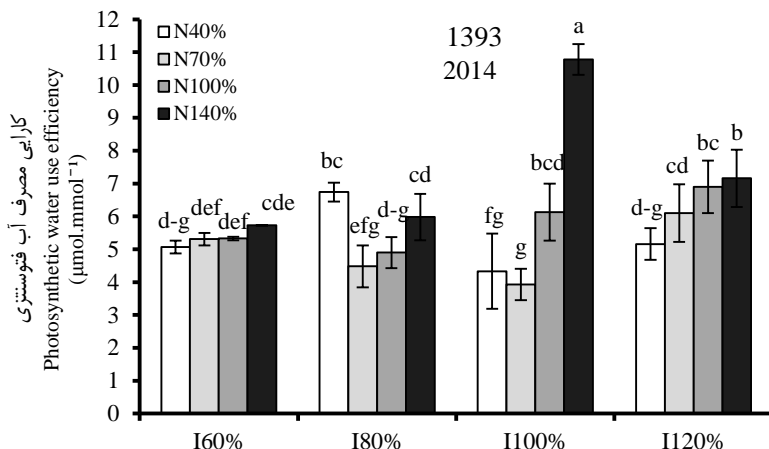
Figure 6- Mean comparison of irrigation levels (A) and nitrogen levels (B) for photosynthesis rate in 2014. In per column, vertical bars represent the standard error.



شکل ۷- مقایسه میانگین اثر متقابل آبیاری × نیتروژن در صفت سرعت تعرق در سال ۱۳۹۳. در هر ستون میله‌های عمودی نشان‌دهنده خطای استاندارد است.

Figure 7- Mean comparison of irrigation × nitrogen interaction for transpiration rate in 2014. In per column, vertical bars represent the standard error.

در این شرایط نیاز به باز بودن روزنے کمتر است، بنابراین با تعرق کمتر، دی‌اکسید کربن بیشتری ثبیت می‌شود. واکنش کارایی مصرف آب فتوستنتزی به مقادیر متفاوت نیتروژن با تأمین ۸۰ درصد نیاز آبی متغیر بود. در شرایط تأمین ۶۰ درصد نیاز آبی، تأثیر سطوح مختلف نیتروژن بر کارایی مصرف آب فتوستنتزی معنی‌دار نبود (شکل ۸). امام و ضیایی (Emam and Zeiaie, 2010) تأثیر نیتروژن بر افزایش کارایی مصرف آب فتوستنتزی را گزارش کردند. در آزمایش گی و همکاران (Ge et al., 2012) و امام و ضیایی (Emam and Zeiaie, 2012) کاهش بیشتر سرعت فتوستنتز خالص نسبت به سرعت تعرق در تنفس شدید کم آبی منجر به کاهش معنی‌دار کارایی مصرف آب فتوستنتزی شد، اما با اعمال تنفس ملایم کم‌آبی، کارایی مصرف آب فتوستنتزی افزایش یافت.



شکل ۸- مقایسه میانگین اثر متقابل آبیاری × نیتروژن در صفت کارایی مصرف آب فتوستنتزی در سال ۱۳۹۳. در هر ستون میله‌های عمودی نشان‌دهنده خطای استاندارد است.

Figure 8- Mean comparison of irrigation × nitrogen interaction for photosynthetic water use efficiency in 2014. In per column, vertical bars represent the standard error.

فتوستنتزی را به طور معنی‌داری افزایش داد. اما در شرایط کم آبی تأثیر مقادیر مختلف نیتروژن بر شدت تعرق و کارایی مصرف آب فتوستنتزی معنی‌دار نبود. به نظر می‌رسد اطلاع از وضعیت گیاه در واکنش به سطوح مختلف آب و نیتروژن نیاز به بررسی دقیق ویژگی‌های فیزیولوژیک دارد. صفات مورد بررسی بین سطوح نیتروژن معنی‌دار نبود. افزایش همزمان آب و نیتروژن موجب افزایش عملکرد دانه دانه گردید. در سال اول بیشترین و کمترین عملکرد دانه (به ترتیب ۹۸۰ و ۲۹۴ گرم در مترمربع) به ترتیب متعلق به تیمارهای I_{120%} N_{140%} و I_{60%} N_{70%} بود. در سال دوم نیز بیشترین و کمترین عملکرد دانه I_{60%} N_{70%} (۲۷۷ گرم در مترمربع) در تیمارهای I_{120%} N_{100%} و I_{60%} N_{40%} تا ۹۰۳ مشاهده شد. در شرایط کم آبیاری، تفاوت عملکرد دانه بین سطوح نیتروژن معنی‌دار نبود (نتایج ارائه نشده است). این نتایج بر اثر نیتروژن روی افزایش رشد ذرت تأکید می‌کند، به علاوه اهمیت

کارایی مصرف آب فتوستنتزی

در این آزمایش میکرومول دی‌اکسید کربن ثبیت شده طی فتوستنتز به ازای یک میلی‌مول آب تعرق یافته، تحت عنوان کارایی مصرف آب فتوستنتزی در نظر گرفته شد. این صفت تحت تأثیر نیتروژن و اثر متقابل آبیاری در نیتروژن قرار گرفت (جدول ۴). با کاهش مقدار آب و با مصرف نیتروژن کمتر، میانگین کارایی مصرف آب فتوستنتزی کاهش یافت. اما واکنش کارایی مصرف آب فتوستنتزی به ترکیبات متفاوت آب و نیتروژن متغیر بود. کمبود نیتروژن در شرایط تأمین ۱۲۰ و ۱۰۰ درصد نیاز آبی، کارایی مصرف آب فتوستنتزی را کاهش داد. تأمین نیتروژن کافی در شرایط آبیاری مطلوب، توان فتوستنتزی را بهبود می‌دهد. نیتروژن با تأثیر مثبت بر کاهش مقاومت مزوپلی و مقاومت غلاف آوندی سرعت فتوستنتز را افزایش می‌دهد.

نتیجه‌گیری

در سال دوم به دلیل دمای بالاتر هوا در طول دوره رشد، صفت‌های محتوای نسبی آب و هدایت روزنه‌ای برگ‌ها در مقایسه با سال اول به طور معنی‌داری کمتر، اما دمای برگ به طور معنی‌داری پیشتر بود. همچنین تأثیر منفی کم آبی بر فعالیت فتوسیستم II در سال دوم مشاهده شد. در هر دو سال با افزایش شدت کم آبی، مقدار آب نگهداری شده در بافت‌های برگ به طور معنی‌داری کاهش یافت. به دنبال آن، کاهش معنی‌دار هدایت روزنه‌ای، سرعت فتوستنتز و سرعت تعرق تحت تأثیر کمبود آب رخ داد. افزایش مقدار نیتروژن تا حد تأمین نیاز گیاه منجر به افزایش معنی‌دار سرعت فتوستنتز شد. مصرف نیتروژن بیشتر در شرایط تأمین ۱۲۰ و ۱۰۰ درصد نیاز آبی از طریق بهبود توان فتوستنتزی و کاهش تعرق، کارایی مصرف آب

References

- Ahmadi, A., Ehsanzadeh, P., and Jabbari, F. 2008. Introduction to plant physiology Vol. 2. University of Tehran press 3rd ed.
- Ahmadi, A., Ehsanzadeh, P., and Jabbari, F. 2009. Introduction to plant physiology Vol. 1. University of Tehran press 3rd ed.
- Alizadeh, A., Vazifeh Doost, M., Kamali, Gh., Bastani, Kh., Mortazavi, A., and Izadi, A. 2002. Software for optimizing pattern of agriculture water use AWAT.
- Alizadeh Oghyanous, P., Azari, A., and Salimi, M. 2008. Study the reaction og grain yield maize lines and hybrids on moisture stress and nitrogen fertilizer interaction. Proceeding of 1st Environmental Tensions in Agricultural Science Conference. Birjand, Iran. (in Persian with English abstract).
- Ashraf, M., Nawazish, S., and UR-Rehman Athar, H. 2007. Are chlorophyll fluorescence and photosynthetic capacity potential physiological determinants of drought tolerance in maize (*Zea mays* L.). Pakistan Journal of Botany 39 (4): 1123-1131.
- Barrs, H. D. 1968. Determination of water deficits in plant tissue. In: KOZLOWSKI, T.T. (Ed) Water deficits and plant growth. New York, Academic Press 1: 235-368.
- Ding, L., Wang, K. J., Jang, G. M., Biswas, D. K., XU, H., Li, L. F., and Li, Y. H. 2005. Effect of nitrogen deficiency on photosynthetiv traits of maize hybrids released in different years. Annals of botany 96: 925-930.
- Dokooohaki, H., Gheysari, M., and Karimi Jafari, M. 2012. Applying the DSSAT model to determine the yield response factor under different growth stage. Proceeding of 3rd Water Resources Integrated Management Conference. September 10-11, Sari, Iran. (in Persian with English abstract).
- Emam, y., and Zeiaie, A. 2010. Study of relationship between water and nitrogen use efficiency on photosynthesis of two grainy maize hybrids. Iranian journal of Field Crop Science 3: 423-432. (in Persian with English abstract).
- English, M. J., Musick, J. T., and Murty, V.V. 1990. Deficit irrigation. In: G.J. Hoffman, T.A. Towell & K.H. Solomon, eds. Management of farm irrigation systems , St. Joseph, Michigan, United States of America, ASAE.
- Fazeli Rostampour, M., Seghatoleslami, M. J., and Mousavi, S. G. 2010. Effect of drought stress and superabsorbent on relative water content and leaf chlorophyll index and its relationship with grain yield in corn. Crop Physiology Journal 2 (1): 19-31. (in Persian with English abstract).
- Ge, T., Sui, F., Bai, L., Tong, C., and Sun, N. 2012. Effects of water stress on growth, biomass partitioning, and water-use efficiency in summer maize (*Zea mays* L.) throughout the growth cycle. Acta Physiologiae Plantarum 34: 1043-1053.
- Gheysari, M., Mirlatifi, S. M., Homae, M., Asadi, M. E., and Hoogenboom, G. 2009. Nitrate Leaching in a Silage Maize Field under Different Irrigation and Nitrogen Fertilizer Rates. Agricultural Water Management 96-6: 946-954.
- Ghobadi, R. 2017. Interaction of water and nitrogen on ecophysiological characteristics and yield gap of seedy corn. Ph. D. Dissertation, Razi University, Iran.
- Huseynova, I. M. 2012. Photosynthetic characteristics and enzymatic antioxidant capacity of leaves from wheat cultivars exposed to drought. Biochimica et Biophysica Acta 1817: 1516-1523.
- Kafi, M., and Kamkar, B., Mahdavi Damghani, A., Abbasi, F., and Sharifi, H. R. 2012. Plant physiology Vol. 1. Jahade-e- Daneshgah Mashhad Press. 4th ed.
- Khaksar, A. M., Naderi, M., Ayeneband, A., and Lack, Sh. 2014. Evaluation effect of simultaneous deficit irrigation and water cut stress on effective physiological traits on grainy maize Sc 704 yield. Journal of Crop Production Research 6 (1): 63-79. (in Persian with English abstract).
- Malakooti, M. J., and Gheibi, M. N. 2000. Determining critical levels of effective nutrients in soil, Plant and Fruits. Amoozesh-e-Keshavarzi Pub. Pp: 92. (in Persian).
- Mulvaney, R. L., Khan, S. A., Hoest, R. G., and Brown, A. 2001. A soil organic nitrogen fraction that reduces the need for nitrogen fertilization. Soil Science Society of America Journal 65: 1164-1172.
- Olaniyan, A. B., Aintoye, H. A., and Balogun, M. A. 2004. Effect of different sources and rates of nitrogen fertilizer on growth and yield of sweet maize. Retrieved June 22, 2015, from <http://www.Tropentary. De/2004/abstracts/full/146.pdf>.
- Retta, M., Yin, X., Putten, P. E. L., Cantre, D., Berghuijs, H. N. C., Ho, Q. T., and Struik, P.C. 2016. Impact of anatomical traits of maize (*Zea mays* L.) leaf as affected by nitrogen supply and leaf age on bundle sheath conductance. Plant Science 252: 205-214.
- Rezaei Rad, H., Hooshmand, A. R., Naseri, A. A., and Siahpoush, M. R. 2016. Effects of drought stress on physiological characteristics and yield of maize in the presence of a shallow water table in Ahvaz climatic conditions. Irrigation Science and Engineering 39 (1): 55-66. (in Persian with English abstract).

23. Sanchez-Rodreguez, E., Rubio-Wilhelmi, M., Cervilla, L. M., Blasco, B., Rios, J. J., Rosales, M. M., Romero, L., and Ruiz, J. M. 2010. Genotypic differences in some physiological parameters symptomatic for oxidative stress under moderate drought in tomato plants. *Plant Science* 178: 30-40.
24. Seghatoleslami, M. J., Kafi, M., and Majidi, E. 2008. Effect of deficit irrigation on yield, WUE and some morphological and phonological traits of three millet species. *Pakistan Journal of Botany* 40 (4): 1555-1560.
25. Sepaskhah, A. R., and Ahmadi, S. H. 2010. A review on partial root zone drying irrigation. *International Journal pf Plants Production* 4 (4): 241-259.
26. Souza, T. C., Castro, E. M., Magalhaes, P. C., Lino, L. D. O., Alves, E. T., and Albuquerque, P. E. P. 2013. Morphophysiology, morphoanatomy, and grain yield under field conditions for two maize hybrids with contrasting response to drought stress. *Acta Physiologiae Plantarum* 35: 3201-3211.
27. Stoyanova, D., Tchakalova, E., and Yordanov, I. 2002. Influence of different soil moisture on anatomy of maize leaves and ultra structure of chloroplasts. *Bulgarian Journal of Plant Physiology* 28 (1-2): 11-20.
28. Zeiaie, A. 2007. Effect of water stress and deficit nitrogen on two corn hybrids (*Zea mays* L.) photosynthesis. MSc. University of Shiraz, Iran.



Study the Responses of Some Leaf Physiologic Characteristics to Different Water and Nitrogen Levels in Grainy Maize (*Zea mays L.*)

R. Ghobadi¹ · M. Ghobadi^{2*} · S. Jalali Honarmand² · B. Farhadi³ · F. Mondani⁴

Received: 02-11-2017

Accepted: 15-01-2018

Introduction

Changes in water and nitrogen amounts cause different physiological reactions in plants. These changes are created for respond to stress in order to reduce or eliminate the stress effects. Improper management of water and nitrogen are main growth limiting factors of maize. The proper reaction of maize to nitrogen which leads to higher yield, is reason of excessive amounts use of nitrogen fertilizers. Nitrogen losses are the results of high nitrogen usage. The new irrigation methods, such as deficit irrigation, play important roles in preventing leaching and nutrients maintenance in root zone. Under water deficit conditions, nutrients absorption decreases, therefore fertilizer recommendation should be done according to existing water conditions. The study of physiological reactions of maize to different amounts of water and nitrogen helps to estimate accurately the crop need for water and nitrogen. Therefore, this research was conducted to evaluate the role of different amount of water and nitrogen in causing physiological changes in maize leaves.

Materials and Methods

This experiment was done at Razi University, Kermanshah, Iran, during 2014 and 2015. The experiment was conducted as split plot with three replications. Main-plot was four irrigation levels included supplying 60, 80, 100 and 120% water requirement ($I_{60\%}$, $I_{80\%}$, $I_{100\%}$ and $I_{120\%}$, respectively), and sub-plot included four nitrogen levels 40, 70, 100 and 140% ($N_{40\%}$, $N_{70\%}$, $N_{100\%}$ and $N_{140\%}$, respectively) recommended amount based on the soil test. To calculate water requirement, Penman-Monteith-FAO equation was used. For each treatment the amount of water was measured. Partitioning of nitrogen at times the two-leaf stage, the six-leaf stage and before tassel emergence was equal. Leaf physiologic traits included relative water content, stomatal conductance, temperature, photochemical efficiency of PSII, SPAD, photosynthesis rate, transpiration rate and photosynthetic water use efficiency measured. Statistical analysis and mean comparisons were performed using SAS software and LSD method.

Results and Discussion

Air temperature during the crop growth in 2014 was less than 2015. Therefore relative water content (82.5 and 70.4% in 2014 and 2015, respectively) and stomatal conductance (47 and $23 \text{ mmol.m}^{-2}.\text{s}^{-1}$) in 2015 were less than 2014, but leaf temperature was higher (38.6 and 43.1°C). In 2014, PSII activity was not affected by irrigation treatment, but negative effect of deficit irrigation on PSII activity was observed in 2015. In 2014, there was no significant difference between stomatal conductance in $I_{120\%}$ and $I_{100\%}$ (60.8 and $57.3 \text{ mmol.m}^{-2}.\text{s}^{-1}$, respectively), but mild and severe deficit irrigation caused to significant reductions in stomatal conductance (43.5 and $26.5 \text{ mmol.m}^{-2}.\text{s}^{-1}$, respectively). In 2015, Stomatal conductance in $I_{100\%}$ was significantly less than from $I_{120\%}$. The lowest stomatal conductivity was recorded with mild and severe deficit irrigation in 2015 (14.9 and $15.8 \text{ mmol.m}^{-2}.\text{s}^{-1}$ respectively). In 2014, leaf temperature in $I_{100\%}$, $I_{80\%}$ and $I_{60\%}$ (0.78 , 1.70 , and 1.84°C respectively) was higher than $I_{120\%}$ and these values were obtained 2.66 , 3.66 and 4.60°C in 2015 respectively. In $I_{120\%}$, $I_{100\%}$, $I_{80\%}$ and $I_{60\%}$, CO_2 stabilization rate was 29 , 26.1 , 17.7 and $14.9 \mu\text{mol.m}^{-2}.\text{s}^{-1}$, respectively. Nitrogen

1- PhD Graduate of Crop Physiology, Campus of Agriculture and Natural Resources, Razi University

2 and 4- Associate Professor and Assistant Professor respectively, Department of Agronomy and Plant Breeding, Campus of Agriculture and Natural Resources, Razi University

3- Assistant Professor, Department of Water Engineering, Campus of Agriculture and Natural Resources, Razi University

(*- Corresponding Author Email: ghobadi.m@razi.ac.ir)

consumption up to crop requirement had a positive effect on photosynthesis rate. The photosynthesis rate in N_{140%}, N_{100%}, N_{70%} and N_{40%} was 25.5, 23, 20.6, and 18.6 $\mu\text{mol CO}_2 \text{ m}^{-2} \cdot \text{s}^{-1}$ respectively. Mild and severe deficit irrigation reduced transpiration rate. However, in I_{100%}, using 70% nitrogen demand, transpiration rate was significantly higher than other nitrogen levels. By reducing water amount and less nitrogen consumption, photosynthetic water use efficiency was decreased. Nitrogen deficiency in I_{120%} and I_{100%} reduced photosynthetic water use efficiency. In I_{80%}, photosynthetic water use efficiency reaction to different nitrogen levels was varied. In I_{60%}, effect of different nitrogen levels was not significant.

Conclusions

Leaf area, relative water content, stomatal conductance, photosynthesis and transpiration rate were reduced with increasing water deficit. Increasing nitrogen up to the crop requirement led to increased leaf area and photosynthesis rate. Under adequate water condition, nitrogen consumption up to recommended amount led to increased photosynthesis rate, decreased transpiration rate and finally improved photosynthetic water use efficiency. However under deficit irrigation, there were no significant differences in traits among nitrogen levels. In the first year, the highest and lowest grain yield (980 and 294 g.m⁻²) belonged to I_{120%}N_{140%} and I_{60%}N_{70%} treatments, respectively. In the second year, the highest and lowest grain yield (903 and 277 g.m⁻²) was observed in I_{120%}N_{100%} and I_{60%}N_{40%} treatments, respectively.

Keywords: Photosynthesis, Stomatal conductance, Transpiration, Water deficit



اثر نظام‌های خاکورزی و گیاه پوششی کلزا بر خصوصیات کیفی خاک، عملکرد و اجزای عملکرد آفتابگردان

شیلان فعله گری^۱ - جواد حمزه‌ئی^{۲*} - محسن نائل^۳

تاریخ دریافت: ۱۳۹۶/۰۹/۰۳

تاریخ پذیرش: ۱۳۹۶/۱۲/۲۲

چکیده

حفظ بقایای گیاهی در سطح خاک و کاربرد فن‌آوری‌های مناسب مانند استفاده از خاکورزی حفاظتی می‌تواند در افزایش عملکرد گیاهان زراعی تأثیرگذار باشد. این آزمایش، با هدف بررسی تأثیر چهار ساله‌ی روش‌های مختلف خاکورزی (بدون خاکورزی، خاکورزی حداقل و مرسوم) در شرایط حضور و عدم حضور گیاه پوششی کلزا بر شاخص‌های کیفیت خاک (کربن آلی خاک و عناصر غذایی پرمصرف (NPK)، عملکرد دانه و بیولوژیک و اجزای عملکرد آفتابگردان اجرا شد. آزمایش با آرایش فاکتوریل و در قالب طرح بلوك‌های کامل تصادفی در سه تکرار در سال ۱۳۹۳ و در منطقه دستجرد همدان انجام شد. تمامی ویژگی‌های مورد بررسی شامل کربن آلی، عناصر غذایی پرمصرف (NPK)، عملکرد بیولوژیک و اجزای عملکرد آفتابگردان به‌طور معنی‌داری (در سطح ۱ درصد) تحت تأثیر تیمارهای خاکورزی و گیاه پوششی قرار گرفتند، برهمکنش خاکورزی × گیاه پوششی برای کربن آلی، نیتروژن، تعداد دانه در طبق و قطر طبق در سطح ۱ درصد معنی‌دار بود، اما برای دیگر شاخص‌های مورد مطالعه غیرمعنی‌دار بود. در تیمار خاکورزی حداقل × گیاه پوششی میزان کربن آلی ۲/۵ برابر نسبت به تیمار خاکورزی مرسوم × بدون گیاه پوششی (شاهد) افزایش داشت، این افزایش برای سایر شاخص‌ها نیز مشاهده شد (فسفر ۸۰ درصد، پتاسیم ۳۰ درصد، نیتروژن ۲۰/۵ درصد، قطر طبق ۶۷ درصد، تعداد دانه در طبق ۶۱ درصد، وزن صد دانه ۲۷ درصد، عملکرد دانه و بیولوژیک آفتابگردان بهترین ۳۴ و ۳۹/۵ درصد). درصد پوکی دانه در تیمار خاکورزی حداقل × گیاه پوششی نسبت به خاکورزی مرسوم × بدون گیاه پوششی (شاهد) ۲/۵ برابر کمتر اندازه‌گیری شد. کلزا به دلیل تولید ماده خشک بیشتر در واحد سطح می‌تواند در افزایش ماده آلی خاک و بهبود شرایط فیزیکی آن مؤثر باشد. اعمال تیمارهای خاکورزی حداقل و کشت گیاه پوششی کلزا موجب افزایش ذخایر مواد آلی، بهبود کیفیت خاک و عملکرد آفتابگردان گردید.

واژه‌های کلیدی: خاکورزی حفاظتی، عملکرد زراعی، عناصر غذایی پرمصرف، ماده آلی خاک، مدیریت بقایا

مقدمه

روش‌های بدون خاکورزی و خاکورزی حداقل که معمولاً همراه با برجای‌ماندن مقداری بقایای گیاهی بر سطح خاک است، به‌منظور بهبود ویژگی‌های فیزیکی و زیستی خاک کاربرد دارد (Celik *et al.*, 2011). بدون خاکورزی یکی از مؤلفه‌های مهم کشاورزی حفاظتی است که در نتیجه اجرای آن حداقل ۳۰ درصد از سطح خاک توسط بقایای گیاهی پوشش داده می‌شود، در این روش هیچ نوع عملیات خاکورزی صورت نمی‌پذیرد و تنها ماشین کاشت، کود و بذر را با حداقل بر هم خوردگی در خاک قرار می‌دهد (Lugandu, 2013). در روش خاکورزی حداقل که معمولاً بیش از ۳۰ درصد بقایای گیاهی بر سطح خاک باقی می‌ماند، به‌منظور کاهش فرسایش خاک، بهبود خصوصیات فیزیکی و زیستی خاک (Celik *et al.*, 2011)، بهبود کارآیی مصرف و افزایش نفوذ آب، کاهش نیروی کار، سوت و استهلاک ماشین‌آلات کاربرد دارد (Gajri *et al.*, 2004).

بقایای گیاهی که روی سطح خاک پخش می‌شوند، باعث کاهش دمای خاک و کاهش تبخیر آب می‌شود، زیرا بقایای گیاهی باعث

مدیریت خاک از اجزای اصلی کشاورزی پایدار و خاکورزی از ضروری‌ترین بخش‌های این نوع مدیریت محسوب می‌شود (Ahmadvand & Hajinia, 2015). در این نوع کشاورزی علاوه بر منافع اقتصادی به حفظ و صیانت از منابع تولید از قبیل آب، خاک و محیط‌زیست توجه ویژه‌ای می‌شود (Hamzei and Borbor, 2014).

۱- دانش‌آموخته کارشناسی ارشد رشته خاک‌شناسی، گروه خاک‌شناسی، دانشکده کشاورزی، دانشگاه بوعلی سینا، همدان، ایران

۲- دانشیار، گروه زراعت و اصلاح نباتات، دانشکده کشاورزی، دانشگاه بوعلی سینا، همدان، ایران

۳- استادیار، گروه خاک‌شناسی، دانشکده کشاورزی، دانشگاه بوعلی سینا، همدان، ایران

(*)- نویسنده مسئول:
(Email: j.hamzei@basu.ac.ir)
DOI: 10.22067/gsc.v16i3.68952

(Raymer, 2002). این گیاه سومین گیاه روغنی مهم دنیا است که سطح زیر کشت آن در مناطق معتدل به سرعت در حال افزایش است (Basalma, 2008). کلزای مستانه قابلیت بالایی در رقابت با علف‌های هرز پاییزه دارد (Kruidhof *et al.*, 2008). در بهار، بقایای آمیخته با خاک گیاهان پوششی از طریق اثرات دگرآسیبی (Ohno *et al.*, 2000)، تحریک پتوثون‌های خاک، تغییر قابلیت دسترسی به عناصر غذایی و بهبود رشد گیاه زراعی و افزایش قابلیت رقابت با علف‌های هرز از جوانه‌زنی علف‌های هرز Conklin *et al.*, 2000) جلوگیری کرده و رشد آنها را کاهش می‌دهند (Conklin *et al.*, 2002).

گزینش و اجرای بهینه‌ی یک سامانه‌ی خاکورزی مناسب می‌تواند بستر مناسبی برای بذر فراهم آورده و در نهایت منجر به ایجاد عملکرد مطلوب شود (Chaghazardi *et al.*, 2015)، هرچند سامانه‌های خاکورزی مرسوم با شکستن لایه‌های نفوذناپذیر خاک و قطع چرخه زندگی علف‌های هرز، آفات و بیماری‌ها بستر مناسبی برای رشد گیاه فراهم می‌کنند، ولی این سامانه‌ها هم به انرژی زیادی نیاز دارند و هم در دراز مدت ویژگی‌های فیزیکی خاک را تخریب می‌کنند (Sharma *et al.*, 2011).

با توجه به گسترش نظامهای خاکورزی و استقبال کشاورزان از آن، این سوال مطرح است که کدام روش می‌تواند در دستیابی به عملکرد مطلوب مؤثر واقع شود. از این‌رو هدف اصلی این پژوهش، بررسی تأثیر روش‌های مختلف خاکورزی (بدون خاکورزی، خاک-ورزی حداقل و خاکورزی مرسوم) و کاشت گیاه پوششی کلزا بر شاخص‌های کیفیت خاک و اجزای عملکرد آفت‌تابگردان و تعیین مناسب‌ترین روش خاکورزی و امکان کاربرد گیاهان پوششی در شرایط اقلیمی منطقه بود.

مواد و روش‌ها

این آزمایش در سال زراعی ۱۳۹۳ در مزرعه تحقیقاتی دانشکده کشاورزی دانشگاه بولوی سینا واقع در ۴۸ درجه و ۳۱ دقیقه طول شرقی و ۳۵ درجه و ۱ دقیقه عرض شمالی واقع در پنج کیلومتری غرب روستای دستجرد در نزدیکی شهر همدان انجام شد. ارتفاع از سطح دریا ۱۶۹۰ متر بود. برخی از ویژگی‌های فیزیکی و شیمیایی خاک قبل از اجرای طرح در جدول ۱ نشان داده شده است. میزان بارندگی در طول اجرای آزمایش ۱۳۷ میلی‌متر بود که نحوه توزیع بارندگی و همچنین دیگر ویژگی‌های آب و هوایی محل اجرای آزمایش در جدول ۲ آورده شده است.

بازتاب نور خورشید می‌شود (Sohrabi *et al.*, 2014). بقایای گیاهی می‌توانند منبع پایداری برای تولید سوخت زیستی و دیگر تولیدات صنعتی باشد (Shahpari *et al.*, 2016). به هر حال، حذف آنها از سطح مزرعه ممکن است اثرات منفی روی تولید محصول و کیفیت محیط‌زیست داشته باشد. نتایج آزمایشی نشان داد که حذف بقایای گیاهی روی کربن آلی خاک اثر داشت و این اثرات در جایی بیشتر نمایان شد که میزان بالاتری از بقایا حذف شده بود (Singh, 2003). نتایج بررسی نژفی نژاد و همکاران (Najafinejad *et al.*, 2009) نشان داد که در بیمارهای خاکورزی کاهش یافته بیشترین عملکرد دانه و ارتفاع بوته ذرت (*Zea mays* L.) به دست آمد و مقدار پروتئین بیش از سایر تیمارها بود. در تیمار باقی گذاردن بقایا، عملکرد بیولوژیک، وزن هزار دانه، پروتئین دانه و مواد آلی خاک بیشتری حاصل شد (Mohammadi, 2012). همچنین مخلوط شدن بقایا با خاک در نظامهای خاکورزی حداقل و بدون خاکورزی، سبب بهبود خصوصیات فیزیکی، شیمیایی و زیستی خاک، حفظ حاصلخیزی و رطوبت خاک، کاهش فرسایش و تبخیر بیش از اندازه می‌شود (-All-Issa and Samarah, 2007). علاوه بر این، بقایای گیاهی می‌تواند سبب کاهش اثر تغییرات اقلیمی از طریق ترسیب کربن و تعادل انتشار Vokovic *et al.*, (2008) دی‌اکسید کربن و سایر گازهای گلخانه‌ای شود.

کلزا با نام علمی *Brassica napus* L. و از تیره شببو یا چلیپائیان (*Brassicaceae*) یک گونه آمفی دیپلولئید حاصل از تلاقی *Brassica olearacea* (با شلغم) با *Brassica campestris* در طبیعت می‌باشد. گیاهی است علفی با دوره رشد یک‌ساله که به دو تیپ بهاره و پاییزه تقسیم می‌شود. کلزا از جمله گیاهان زراعی است که علاوه بر استفاده‌های غذایی و دارویی، به عنوان تمیزکننده خاک و نیز کاهش‌دهنده بیماری‌های خاک‌زاد شناخته می‌شود که از طریق کاهش جمعیت حشرات و میکروارگانیزم‌های خاک و نیز کنترل علف‌های هرز، محیط مناسبی را جهت کشت گیاهان زراعی دیگر فراهم می‌کند. این گیاه دارای سیستم دفاعی با ارزشی تحت عنوان سیستم گلوكوزینولات-میروزیناز می‌باشد که یک نوع سیستم دگر آسیبی فعل است (Potter, 1999). گونه‌های خانواده شببو به خصوص جنس براسیکا توایایی جلوگیری از جوانه‌زنی و رشد سایر گیاهان را دارا هستند (Al-Khatib *et al.*, 1997). کلزا با دارا بودن بیش از ۴۰ درصد روغن در دانه و ۴۴-۳۶ درصد پروتئین در کنجاله از معده‌گیاهان روغنی است که قابلیت کشت در شرایط اقلیمی گوناگون را دارد است.

جدول ۱- برخی از ویژگی‌های خاک مزرعه مطالعاتی قبل از آغاز فصل زراعی سال ۹۳

Table 1- Selected soil properties of the experimental field prior at the beginning of the study (before beginning of the 2015 growing season)

Total N (%)	Available K (ppm)	Available P (ppm)	بافت خاک Soil Textur	کربن آلی OC (%)	واکنش خاک pH	EC (dS m ⁻¹)	CEC mol (p ⁺) kg ⁻¹)
0.13	220	8.2	Clay Loam	0.72	7.46	0.41	14

CEC: طرفیت تبادل کاتیونی، EC: هدابت الکتریکی حصاره اشاع خاک، OC: کربن آلی

CEC: Cation Exchangeable Capacity, EC: Electrical Conductivity of soil saturation extract, OC: Organic Carbon

جدول ۲- خصوصیات آب و هوایی محل آزمایش در طول فصل رشد

Table 2- Weather patterns during the growing season

	۹۲ اسفند Mar. 2014	۹۳ فروردین Apr. 2014	۹۳ اردیبهشت May 2014	۹۳ خرداد Jun. 2014	۹۳ تیر Jul. 2014	۹۳ مرداد Aug. 2014	۹۳ شهریور Sep. 2014
دما کمینه							
Min. Temp. (°C)	-4.5	-6.1	3.7	7.4	11.7	11.2	6.9
دما بیشینه							
Max. Temp. (°C)	19.7	25.3	30.4	36.9	38.8	39.1	34.6
بارندگی کل							
Total rainfall (mm)	46.3	13.9	27.3	0.4	0.3	0.2	0

(سازمان هواشناسی ایران (۱۳۹۲-۱۳۹۳) (Iran Meteorological Organization (2013-2014))

گیاه پوششی کف بر شده و با یک دیسک سطحی در سطح زمین رها شد و در کرت‌هایی که بدون گیاه پوششی بودند نیز علف‌های هرزی که رشد کرده بودند از سطح خاک جمع‌آوری و بیرون برده شد. بعد از گذشت یک هفته از زمان قطع گیاه پوششی کلزا، زمین با ادوات مخصوص برای هر نوع از نظام‌های خاک‌ورزی به شرح زیر تیمار شد. برای اجرای خاک‌ورزی مرسوم از گاو‌آهن برگردان دار + دیسک بهره‌گیری شد. عمق شخم گاو‌آهن برگردان دار ۱۵ سانتی‌متر بود و حدود ۵ درصد از بقایای کلزا در سطح خاک باقی ماند. برای انجام خاک‌ورزی حداقل از گاو‌آهن چیزی که شمع کوب نیز به آن وصل بود، بهره‌گیری شد. عمق برش خاک در این نوع خاک‌ورزی ۱۰ سانتی‌متر بود. در کرت‌های بدون خاک‌ورزی هیچ‌گونه عملیاتی انجام نشد و کلیه بقایای کلزا در سطح خاک به صورت پوشش باقی ماند. درنهایت در اواسط خرداد و دو هفته بعد از قطع کردن کلزا و اجرای تیمارهای مختلف خاک‌ورزی، آفت‌بگردان آجیلی (گیاه اصلی) رقم کافتا کشت گردید. کاشت آفت‌بگردان در سال چهارم زراعی با تراکم هشت بوته در مترا مربع با فاصله ردیف ۵۰ سانتی‌متر و فاصله بوته روی ردیف ۲۵ سانتی‌متر انجام و در هر کرت شش ردیف به صورت دستی کشت شد. پس از کاشت آفت‌بگردان، بلا فاصله آبیاری به صورت بارانی به فاصله زمانی هر ۶ روز یک بار انجام شد. بر اساس نتایج تجزیه خاک و توصیه کودی، ۲۵۰ کیلوگرم اوره در هکتار در سه مرحله ۵۰ درصد در زمان کاشت، ۲۵ درصد در زمان ظهور طبقه‌ها و ۲۵ درصد در زمان گله‌هی) به خاک اضافه گردید. همچنین، جهت کنترل علف‌های هرز از روش وجین دستی استفاده شد. نمونه‌برداری

قبل از اجرای پژوهش حاضر در زمین مورد نظر، به مدت ۳ سال متوالی (از سال ۹۰ تا سال ۹۲) از سیستم‌های مختلف خاک‌ورزی (بدون خاک‌ورزی (NT)، خاک‌ورزی حداقل (MT) و خاک‌ورزی مرسوم (CT) و کشت (UC) و عدم کشت (NC) گیاه پوششی استفاده شده بود. در سه سال نخست ماشک گل خوش‌های (*Vicia villosa* L.) به عنوان گیاه پوششی و ذرت به عنوان گیاه اصلی کشت شده بود. مطالعه حاضر که در سال ۹۳ انجام گرفت، چهارمین سال اجرای این طرح بود. این آزمایش در قالب طرح پایه بلوك‌های کامل تصادفی با آرایش فاکتوریل و در سه تکرار اجرا شد. تیمارهای اعمال شده بر روی زمین، مشابه سه سال قبل بود. به این صورت که نظام‌های خاک‌ورزی متفاوت شامل بدون خاک‌ورزی (NT)، خاک‌ورزی حداقل (MT) و خاک‌ورزی مرسوم (CT) و کشت (UC) و عدم کشت (NC) گیاه پوششی، در کرت‌ها اعمال شد و در سال چهارم اجرای طرح، کلزا به عنوان گیاه پوششی و آفت‌بگردان (*Helianthus annus* L.) به عنوان گیاه اصلی کشت شد. بذور کلزا و آفت‌بگردان (*Helianthus annuus* L.) از مرکز تحقیقات شهرستان همدان تهییه شد.

در قسمتی از هر کرت اصلی (متعلق به یک تیمار خاک‌ورزی خاص) گیاه پوششی کلزا رقم هایولا ۴۰۱ کشت گردید و قسمت باقی مانده به صورت آیش (بدون گیاه پوششی) در نظر گرفته شد. عملیات کاشت گیاه پوششی کلزا به صورت خشکه کاری، درهم و دستی به میزان ۶ کیلوگرم در هکتار در اسفند ۹۲ انجام گردید. در اردیبهشت ۹۳، زمانی که حدوداً ۴۰ تا ۳۰ درصد کلزا به گل رفته بود،

NT \times UC با مقدار ۸/۴ گرم بر کیلوگرم به خود اختصاص داد و کمترین میزان کربن آلی در تیمار CT \times NC با مقدار ۴/۵ گرم بر کیلوگرم اندازه‌گیری شد. تیمارهای CT \times UC و NT \times NC تفاوت معنی‌داری با هم نداشتند. اعمال تیمار MT \times UC توانست میزان کربن آلی در این تیمار را نسبت به دو تیمار NT \times UC و CT \times UC بهتر ترتیب ۱۹/۲۳ و ۴۳/۲۷ درصد افزایش دهد. این در حالی است که در تیمارهای اعمال خاکورزی بدون گیاه پوششی، تیمار MT \times NC تنها توانست به ترتیب ۱۱/۴۳ و ۳۴/۲۸ درصد کربن آلی را نسبت به دو تیمار CT \times NC و NT \times NC افزایش دهد. تاثیر توان دو تیمار خاکورزی حداقل و حضور گیاه پوششی منجر شد در این تیمار کربن آلی نسبت به تیمار خاکورزی مشابه اما بدون حضور گیاه پوششی بیشتر اندازه‌گیری شد. همچنین، عدم حضور گیاه پوششی در تیمار خاکورزی مرسوم منجر شد کربن آلی در این تیمار کمتر از تیمار خاکورزی مرسوم با حضور گیاه پوششی گزارش شود.

لازم به ذکر است در این مطالعه مقدار اولیه بقایای گیاه پوششی اضافه شده به تیمارهای خاکورزی مختلف مشابه بود، بنابراین تفاوت مشاهده شده در کربن آلی بین سیستم‌های خاکورزی مختلف نتیجه‌ی سطوح مختلف اختلاط خاک و مخلوط شدن بقایای گیاه پوششی با خاک است. دو تیمار CT \times UC و NT \times NC از نظر میزان کربن آلی در یک گروه آماری قرار گرفتند، با این وجود کربن آلی در NT \times NC کمی بیشتر از تیمار CT \times UC اندازه‌گیری شد (۱۰ درصد). به نظر می‌رسد از یک طرف، در تیمار NT \times NC عدم حضور گیاه پوششی، توسط بقایای گیاه اصلی که هر ساله در سطح خاک و بدون اختلاط با آن، باقی گذاشته می‌شود جبران شده باشد؛ بقایای ریشه گیاه اصلی نیز در ورود کربن آلی به خاک این تیمار نقش بهسزایی دارد. از طرف دیگر، هرچند تیمار CT \times UC هر ساله گیاه پوششی دریافت کرده است، ولی به دلیل اعمال شخم برگردان و اختلاط کامل آنها با خاک تجمع کربن آلی در خاک محدود بوده است، به طوری که مقدار کربن آلی در این تیمار به لحاظ آماری تفاوتی با کشت مرسوم منطقه (CT \times NC) ندارد. این که اثر مثبت گیاه پوششی بر کربن آلی در تیمار MT بیشترین است، شاید به این دلیل است که اعمال مدیریت خاکورزی حداقل به ایجاد شرایط مناسب در خاک برای افزایش میزان کربن کمک کرده و حضور گیاه پوششی توان با خاکورزی حداقل سبب مهیا شدن شرایطی ایده‌آل برای افزایش کربن آلی شده است. کبیری و همکاران (Kabiri et al., 2016) در بررسی سیستم‌های خاکورزی متفاوت بر ویژگی‌های زیستی خاک گزارش کردند میزان کربن بالا در زیست‌توده میکروبی خاک تحت تأثیر اعمال سیستم خاکورزی MT نسبت به NT نشان‌دهنده این است که کربن آلی بیشتری در تیمار MT نسبت به تیمار NT وجود دارد، به این دلیل که در تیمار NT هیچ عملیات خاکورزی بر روی خاک انجام نمی‌شود و شرایط برای تغییر ماهیت

از گیاه آفتتابگردان در شهریور ۱۳۹۳ پس از رسیدگی محصول و خشک شدن ساقه گیاه، یک هفته بعد از آخرین آبیاری انجام گردید به این صورت که دو ردیف کناری به عنوان حاشیه منظور شد و از چهار ردیف باقی‌مانده (سطحی معادل دو مترمربع) از هر کرت صفاتی نظیر درصد پوکی، وزن صد دانه، قطر طبق، تعداد دانه در طبق، عملکرد دانه و عملکرد زیست‌توده اندازه‌گیری شد.

وزن صد دانه آفتتابگردان از میانگین ۴۰ تایی و از طریق توزین با ترازوی ۰/۰۱ اندازه‌گیری شد. تعداد پنج طبق از هر واحد آزمایشی انتخاب و قطر آن‌ها (فاصله بین لبه‌های خارجی طبق) با خطکش اندازه‌گیری شد و میانگین اعداد حاصل به عنوان قطر طبق منظور گردید. درصد پوکی دانه‌ها نیز از میانگین مجموع دانه‌های حاصل از پنج طبق محاسبه شد. همچنین، تعداد دانه در پنج طبق شمارش و میانگین آن‌ها به عنوان تعداد دانه در طبق ثبت گردید. برای تعیین عملکرد دانه، از هر واحد آزمایشی ۲ متر مربع برداشت شد و پس از خشک شدن ابتدا عملکرد بیولوژیک تعیین گردید و سپس دانه‌ها از طبق‌ها جدا و جهت تعیین عملکرد دانه با ترازوی ۰/۰۱ و با ۱۲ درصد رطوبت توزین شدند. پس از گذشت یک هفته از برداشت محصول، نمونه‌برداری از خاک در شهریور ماه ۱۳۹۳ (نشان‌دهنده تغییرات ناشی از چهار سال اعمال مدیریت‌ها) انجام گرفت. از هر قطعه زمین شش نمونه دست نخورده از عمق ۰ تا ۳۰ سانتی‌متری خاک تهیه گردید، این شش نمونه پس از انتقال به آزمایشگاه دو به دو با هم ترکیب و در نهایت سه نمونه ترکیبی هوا خشک و از الک عبور داده شد. برای اندازه‌گیری کربن آلی خاک از روش والکی و بلک (Walkley and Black, 1934) استفاده شد. عناصر غذایی پرصرف فسفر به روش السن (Olsen et al., 1954)، پتاسیم به روش کلوت (Bremner, 1986) و نیتروژن به روش برمتر (Klut, 1986) اندازه‌گیری شد.

تجزیه واریانس داده‌ها توسط نرم‌افزار آماری SAS 9.2 صورت گرفت. مقایسه میانگین‌ها با استفاده از آزمون LSD در سطح آماری ۵ درصد انجام شد.

نتایج و بحث

صفات مورد بررسی کیفیت خاک کربن آلی

نتایج حاصل از تجزیه واریانس داده‌ها (جدول ۳) نشان داد که تأثیر اعمال دو تیمار خاکورزی و گیاه پوششی بر کربن آلی در سطح ۱ درصد معنی‌دار بود. مقایسه میانگین داده‌های مربوط به کربن آلی خاک (جدول ۴) نشان داد که مقدار کربن آلی در تیمار MT \times UC با مقدار ۱۰/۴ گرم بر کیلوگرم به‌طور معنی‌داری نسبت به سایر تیمارها بیشتر بود. بعد از تیمار UC \times MT بیشترین مقدار کربن آلی را تیمار

خاک‌زی خواهد شد که همیستگی مثبتی با میزان کربن آلی خاک دارد (Kabiri *et al.*, 2016). بازگشت بقاوی‌ای گیاهی زنده به خاک تحت عنوان کود سبز منجر به افزایش ماده آلی و درنتیجه بهبود حاصلخیزی خاک خواهد شد که این پدیده در نتیجه افزایش فعالیت‌های میکروزیستی، بهبود ساختار بیوفیزیکی و جلوگیری از هدر رفت ماده آلی خاک در اثر فرسایش رخ خواهد داد (Algan and Ahmadvand and Hajjinia, 2011) (Celen, 2011) (Ahmedond and Hajjinia, 2015) در بررسی تأثیر گیاه پوششی (ماشک و جو) و سیستم‌های مختلف خاکورزی حفاظتی و مرسوم بر عملکرد سبزمنی گزارش کردند میزان افزایش ماده آلی خاک در تیمار خاکورزی حداقل با کاشت گیاهان ماشک و جو نسبت به خاکورزی مرسوم و عدم کاشت گیاه پوششی به ترتیب ۵۵ و ۱۹ درصد افزایش داشت.

کربن به فرم فعال و مؤثر در واکنش‌های خاک مهیا نمی‌شود. خاکورزی حداقل میزان خاکدانه‌های پایدار در خاک را افزایش داده و نتیجه آن افزایش کربن آلی نسبت به بدون خاکورزی است (Clapp *et al.*, 2014) (Hamzei and Borbor, 2014). کلاب و همکاران (2000) نیز با بررسی محتوای کربن آلی خاک تحت تأثیر تیمارهای مختلف خاکورزی گزارش نمودند که عدم اجرای خاکورزی به عنوان مهم‌ترین عامل مدیریتی مؤثر بر محتوای ذخیره کربن خاک بهترین تأثیر را بر بهبود محتوای کربن آلی خاک داشتند. سطح کربن آلی خاک را می‌توان از طریق کاربرد برخی فن‌آوری‌های زراعی مانند کاشت ارقام پرمحصول (با تولید بقاوی‌ای گیاهی زیاد و ریشه فعال)، عدم برداشت بقاوی‌ای گیاهی و توجه به کیفیت و کمیت بقاوی‌ای گیاهی افزایش داد (Ghaffari *et al.*, 2012). انواع مختلف گیاهان پوششی یا گیاهان تقویت‌کننده سبب افزایش جمعیت میکرووارگانیسم‌های

جدول ۳- تجزیه واریانس اثر خاکورزی و گیاه پوششی بر ویژگی‌های خاکی

Table 3- Analysis of variance for the effect of tillage and cover crop on soil properties

منابع تغییرات Source of variations	درجه آزادی d.f	Mean of squares				میانگین مربعات Mean squares
		کربن آلی Organic carbon	فسفور Phosphorus	پتاسیم Potassium	نیتروژن Nitrogen	
بلوک Block	2	3.52**	8.40**	356.22 **	0.0042**	
خاکورزی Tillage	2	18.82**	55.40**	23409.05**	0.1335**	
گیاه پوششی Cover crop	1	8.41**	156.05**	747.55 **	0.0117**	
خاکورزی × گیاه پوششی Tillage × Cover crop	2	1.68**	0.06 ns	137.72 ns	0.0007**	
خطا Error	10	0.22	0.39	76.50	0.0001	
ضریب تغییرات CV (%)	-	5.80	3.00	1.75	0.62	

ns غیر معنی‌دار، ** معنی‌دار در سطح ۱ درصد.
(ns: non significant, ** significant at P <0.01)

حداقل و بدون خاکورزی با کاشت گیاه پوششی بیشترین مقدار نیتروژن را داشتند. کمترین مقدار نیتروژن مربوط به تیمار CT×NC (با مقدار ۱/۳۵ گرم بر کیلوگرم) بود که در این تیمار نیتروژن نسبت به تیمار خاکورزی حداقل × گیاه پوششی ۲۰/۵۹ درصد کاهش داشت (جدول ۴). نیتروژن اثر قابل توجهی بر شاخص‌های رشدی دارد به گونه‌ای که با تأمین نیتروژن مورد نیاز گیاه می‌توان به ترکیب متعادلی از شاخص‌های رشدی در گیاه دست یافته و عملکرد گیاه زراعی را بهبود بخشید (Mohammadi *et al.*, 2015). گیاهان با دریافت نیتروژن مورد نیاز خود سطح برگ بیشتری تولید می‌کنند.

نیتروژن

نتایج حاصل از تجزیه واریانس داده‌ها (جدول ۳) نشان داد که تأثیر برهمنکش دو تیمار خاکورزی و گیاه پوششی بر مقدار نیتروژن خاک در سطح ۱ درصد معنی‌دار بود. مقایسه میانگین داده‌های مربوط به نیتروژن خاک (جدول ۴) نشان داد مقدار نیتروژن در تیمار MT×UC با مقدار ۱/۷ گرم بر کیلوگرم بهطور معنی‌داری نسبت به سایر تیمارها بیشتر است. تیمار NT×UC با مقدار ۱/۶۴ گرم بر کیلوگرم در مرتبه دوم قرار گرفت. تیمارهای NT×NC و MT×NC با مقدار ۱/۵۱ و ۱/۵۶ گرم بر کیلوگرم بعد از تیمارهای خاکورزی

خاک در سطح ۱ درصد معنی‌دار بود اما برهمکنش این دو تیمار برای فسفر فراهم غیرمعنی‌دار بود. مقایسه میانگین داده‌های مربوط به فسفر فراهم خاک (جدول ۶) نشان داد فسفر فراهم در تیمار MT به طور معنی‌داری نسبت به تیمارهای NT و CT بیشتر است، به طوری که بیشترین مقدار فسفر فراهم در تیمار MT (۲۴ میلی‌گرم بر کیلوگرم) و تیمار NT (۲۰ میلی‌گرم بر کیلوگرم) به دست آمد؛ کمترین مقدار فسفر فراهم معادل ۱۸ میلی‌گرم بر کیلوگرم در تیمار CT مشاهده شد. میزان فسفر فراهم در تیمار گیاه پوششی در مقایسه با تیمار بدون گیاه نشان دارد، در تیمار NC مقدار فسفر اندازه‌گیری شده برابر با ۱۷/۷ (میلی‌گرم بر کیلوگرم) بود در حالی که در تیمار UC میزان فسفر اندازه‌گیری شده با مقدار ۲۳/۶ (میلی‌گرم بر کیلوگرم) درصد بیشتر نسبت به تیمار عدم حضور گیاه پوششی اندازه‌گیری شد (جدول ۶). درین تیمارهای خاکورزی حفاظتی، تیمار MT به طور مؤثرتری به افزایش فسفر فراهم کمک کرده است، به طوری که میزان فسفر در تیمار ۳۳/۳ MT درصد بیشتر نسبت به تیمار NT اندازه‌گیری شد. افزایش مواد آلی در تیمارهای تلفیقی خاکورزی حفاظتی و گیاه پوششی سبب افزایش فسفر فراهم می‌گردد. با توجه به جدول ۴ میزان کربن آلی در تیمار MT نسبت به تیمار NT درصد بیشتر اندازه‌گیری شد. فانیک و همکاران (Fink *et al.*, 2016) در بررسی اثر سه ساله خاکورزی حفاظتی و مرسوم بر جذب و رهاسازی فسفر در خاکهای زراعی بروزیل گزارش کردند که میزان رهاسازی فسفر در خاکورزی مرسوم نسبت به خاکورزی حفاظتی در پایان سال سوم ۶ درصد افزایش یافت. نامبردگان بیان نمودند اعمال خاکورزی حفاظتی به غنی شدن مواد آلی خاک کمک می‌کند و ماده آلی با فسفر پیوند برقرار کرده و فراهمی زیستی فسفر در خاک را افزایش داده و از هدرروی فسفر جلوگیری می‌کند. در بررسی‌های جهان و همکاران (Jahan *et al.*, 2010) افزودن بقایای گیاه پوششی شبدار به خاک موجب بالا رفتن درصد مواد آلی خاک، حفاظت و باز چرخش عناصر غذایی و نیز اصلاح باروری خاک شد. آن‌ها همچنین اظهار داشتند که استفاده هم‌زمان از گیاهان پوششی شبدار و نخود سبز به علت دارا بودن قدرت رویشی بالا و ریشه‌های قوی، می‌تواند جذب مقدار زیادی از عناصر غذایی محلولی را که در شرایط عادی بر اثر شستشو به اعمق خاک نفوذ می‌کند، افزایش دهد.

پتابسیم

نتایج حاصل از تجزیه واریانس داده‌ها (جدول ۳) نشان داد که تأثیر اعمال دو تیمار خاکورزی و گیاه پوششی بر مقدار پتابسیم فراهم در سطح یک درصد معنی‌دار بود اما برهمکنش این دو تیمار برای شاخص فوق غیرمعنی‌دار بود. مقایسه میانگین داده‌های مربوط به پتابسیم فراهم خاک (جدول ۶) نشان داد که هرچند دو تیمار NT و

افزایش سطح برگ را می‌توان به دلیل افزایش سطح سبزینه‌ای گیاه دانست که این افزایش تعیین‌کننده ظرفیت فتوستنتزی گیاه است (Yasari and Patwardhan, 2007). به طور کلی، با افزایش نیتروژن خاک گسترش سطح برگ به دلیل تحریک رشد رویشی افزایش می‌یابد و کارایی مصرف نور زیاد می‌شود، بنابراین سرعت رشد محصول افزایش و عملکرد گیاه بهبود می‌یابد (Mohammadi *et al.*, 2015)، با توجه به یافته‌های این پژوهش بیشترین مقدار نیتروژن (۱/۷ گرم بر کیلوگرم) در تیمار خاکورزی حداقل × گیاه بوششی اندازه‌گیری شد (جدول ۶)، که در این تیمار نیز بالاترین عملکرد بیولوژیک آفتابگردان (۱۶۷۳ گرم بر مترمربع) گزارش شد (جدول ۶). به کارگیری خاکورزی رایج با افزایش تردد ماشین‌آلات و شدت خاکورزی باعث برهم زدن خاک و تجزیه ماده آلی و بقایای گیاهی شده و افزایش موقتی محتوای عناصر غذایی خاک را در پی دارد. با این حال هدرروی این عناصر به دلیل قابل دسترس بودن افزایش می‌یابد و در طولانی مدت سبب کاهش محتوای عناصر غذایی نیاز گیاه در خاک می‌گردد که این امر می‌تواند به دلیل افزایش نیاز به عناصر غذایی جهت بهبود حاصلخیزی و باروری خاک، هزینه‌های تولید را به دلیل بالا رفتن میزان مصرف کودهای شیمیایی افزایش دهد و همچنین آلدگی‌های زیست‌محیطی را در درازمدت Copeland and Crookston, 1992) محتوای نیتروژن در نظامهای خاکورزی مرسوم است حفاظتی به طور معنی‌داری بیشتر از نظامهای خاکورزی مرسوم است (Jeffery *et al.*, 2002). به نظر می‌رسد استفاده از بقایای گیاهانی که کیفیت مناسبی دارند اگر همراه با مدیریت خاکورزی حفاظتی انجام گیرد، نتیجه مطلوبی در پی خواهد داشت. بهخصوص اگر زمان آزادسازی عناصر غذایی از بقایای گیاهی در حال تجزیه، هم‌زمان با نیاز گیاه زراعی باشد. در چنین شرایطی شکاف زمانی بین آزادسازی عناصر از بقایای گیاهی و جذب عناصر توسط گیاه از محیط کم شده و با کاهش تلفات عناصر، راندمان جذب را افزایش خواهد داد (Blanco-Canqui and Lal, 2009) نگیرد گیاه مجبور است از منابع کودی برای تأمین عناصر موردنیاز خود استفاده کند. در این حالت فرم معدنی نیتروژن تبدیل به فرم آلی می‌شود، با این حال نیتروژن اگرچه زیاد هم باشد اما برای گیاه قابل استفاده نیست، بنابراین در صورت استفاده از مقادیر اضافی کود نیتروژن، گیاه می‌تواند این کاهش را جبران کند (Shahpari *et al.*, 2016).

فسفر

نتایج حاصل از تجزیه واریانس داده‌ها (جدول ۳) نشان داد که تأثیر اعمال دو تیمار خاکورزی و گیاه پوششی بر مقدار فسفر فراهم

گیلوگرم نسبت به تیمار NT ۲ درصد بیشتر گزارش شد.

MT تفاوت معنی‌داری با هم نداشتند و در یک گروه آماری قرار گرفتند، اما پتاسیم فراهم در تیمار MT با مقدار ۵۴۰ میلی‌گرم بر

جدول ۴- مقایسه میانگین تأثیر تیمارهای مختلف خاکورزی و گیاه پوششی بر کربن آلی خاک، نیتروژن خاک، قطر طبق و تعداد دانه در طبق آفاتبگردان

Table 4- Mean comparisons for the effect of different tillage systems and cover crops on soil organic carbon, soil nitrogen and anthodium diameter and number of grain per anthodium of sunflower

خاکورزی و گیاه پوششی Tillage and cover crop	کربن آلی Organic carbon (g.kg ⁻¹)	نیتروژن Nitrogen (g.kg ⁻¹)	قطر طبق Anthodium diameter (cm)	تعداد دانه در طبق Grain number anthodium ⁻¹
بدون خاکورزی بدون گیاه پوششی No-tillage without cover crop (NT×NC)	6.2 ^c	1.51 ^d	16.6 ^{cd}	527 ^e
بدون خاکورزی با گیاه پوششی No-tillage with cover crop (NT×UC)	8.4 ^b	1.64 ^b	22.4 ^b	951 ^b
خاکورزی حداقل بدون گیاه پوششی Minimum tillage without cover crop (MT×NC)	7 ^{ab}	1.56 ^c	15 ^d	602 ^d
خاکورزی حداقل با گیاه پوششی Minimum tillage with cover crop (MT×UC)	10.4 ^a	1.72 ^a	27 ^a	1085 ^a
خاکورزی مرسوم بدون گیاه پوششی Conventional tillage without cover crop (CT×NC)	4.6 ^d	1.35 ^f	12 ^e	420 ^f
خاکورزی مرسوم با گیاه پوششی Conventional tillage with cover crop (CT×UC)	5.9 ^c	1.42 ^e	18 ^c	831 ^c

میانگین‌هایی که دارای حروف مشترکند از نظر صفت مورد مطالعه بر اساس آزمون LSD اختلاف معنی‌داری در سطح احتمال پنج درصد ندارند.

Means within a column followed by the same letter are not significantly different according to LSD test ($p<0.05$).

الکساندرا و همکاران (Alexandra *et al.*, 2013) در پژوهشی ۱۲ ساله بر تأثیر کودهای آلی و شخم کاهش یافته بر خصوصیات خاک و عملکرد زراعی نشان دادند اعمال خاکورزی کاهش یافته ابزار مؤثری در افزایش عناصر غذایی خاک، بهبود حاصلخیزی خاک و در نتیجه تولید انبوه‌تر محصولات زراعی خواهد بود. گارسیا و همکاران (Garcia *et al.*, 2008) در بررسی چرخه پتاسیم فراهم در زراعت ذرت عنوان کردند افزایش مقدار پتاسیم فراهم در سطح رویی خاک تحت تأثیر خاکورزی کاهش یافته و حفظ بقایا را به توانایی بقایای گیاهی برای بازیافت مواد مغذی و تبدیل پتاسیم فراهم به فرم غیرقابل تبادل دانستند. شهری و همکاران (Shahpari *et al.*, 2016) در مقایسه دو تیمار برگرداندن بقایای گیاه کلزا و سوزاندن گندم گزارش کردند، تیمار برگرداندن بقایای کلزا به میزان ۱۹۰ میلی‌گرم بر کیلوگرم بیشترین و تیمار سوزاندن بقایای گندم به میزان ۱۲۰ میلی‌گرم به کیلوگرم کمترین مقدار پتاسیم خاک را نتیجه داد و در توجیه این نتایج بیان کردند به نظر می‌رسد برگرداندن بقایای کلزا و

کمترین مقدار پتاسیم فراهم در تیمار CT با مقدار ۴۲۷ میلی‌گرم بر کیلوگرم اندازه‌گیری شد. میزان پتاسیم فراهم در تیمار گیاه پوششی در مقایسه با تیمار بدون گیاه پوششی اختلاف معنی‌داری نشان داد، در تیمار NC مقدار پتاسیم اندازه‌گیری شده برابر با ۴۹۰ (میلی‌گرم بر کیلوگرم) بود در حالی که در تیمار UC میزان پتاسیم اندازه‌گیری شده با مقدار ۵۰۶ میلی‌گرم بر کیلوگرم، ۳ درصد بیشتر نسبت به تیمار عدم حضور گیاه پوششی اندازه‌گیری شد (جدول ۶). در توجیه تغییرات اندک پتاسیم در بین تیمارهای مورد بررسی در این پژوهش می‌توان گفت انتقال پتاسیم قابل دسترس در خاک (پتاسیم محلول) از خاک سطحی به اعماق در نتیجه آبیاری منجر به کاهش منبع پتاسیم خاک شده است. علاوه بر این، نباید از تأثیر عواملی مانند تثبیت پتاسیم در خاک بر منبع پتاسیم قابل دسترس خاک غافل شد. پتاسیم تثبیت شده در کوتاه مدت غیرقابل استفاده است اما با گذشت زمان و جذب پتاسیم محلول و تبادلی خاک تعادل بین شکل‌های مختلف پتاسیم در خاک فراهم می‌شود (Najafi-Ghiri *et al.*, 2011).

نفوذپذیری بیشتر ریشه کمک کند اما در این تیمار مقدار کم ماده آلی اندازه‌گیری شده به دلیل مهیا شدن شرایط برای تبدیل کردن آلی به فرم فعال و قابل دسترس (Kabiri et al., 2016) و در نتیجه هدرروی منبع آلی مشاهده شد، همچنین خاکورزی رایج با برهم زدن خاک منجر به تجزیه بقایای گیاهی شده و افزایش موقتی عناصر غذایی در مدت زمان اوایله برگرداندن بقایا به خاک را در پی دارد و افزایش هدرروی این عناصر به دلیل قابل دسترس بودن افزایش می‌باید و باعث می‌شود که این عناصر غذایی در زمان نیاز گیاه در دسترس گیاه قرار نگیرد (Shahpari et al., 2016)، به همین دلیل بالاترین نرخ پوکی دانه با اختلاف ۵۵ درصدی نسبت به تیمار خاکورزی حداقل در تیمار خاکورزی مرسوم اندازه‌گیری شد. مدیریت بقایای گیاهی علاوه بر ذخیره و حفظ رطوبت و همچنین کاهش تبخیر موجب کارآیی بیشتر ذخیره آب می‌گردد و مواد غذایی نیز به نحو مؤثری حفظ می‌گردد که همین عوامل منجر به افزایش سهم مواد فتوسترنزی تخصیص یافته به سلول‌های تشکیل‌دهنده دانه‌ها در گیاهان می‌شود. افزایش سهم مواد پرورده در دانه‌ها نیز در نهایت باعث کاهش پوکی دانه‌ها خواهد شد (Mosavi et al., 2009).

وزن صد دانه

نتایج حاصل از تجزیه واریانس داده‌ها (جدول ۵) نشان داد تأثیر اعمال دو تیمار خاکورزی و گیاه پوششی بر مقدار وزن صد دانه در سطح ۱ درصد معنی‌دار شد اما برهم کنش این دو تیمار برای وزن صد دانه معنی‌دار نشد. مقایسه میانگین داده‌ها در جدول ۶ نشان داد بیشترین و کمترین میزان وزن صد دانه آفتتابگردان به ترتیب در تیمارهای MT و CT با مقادیر ۱۰ و ۶/۴ گرم مشاهده شد. تیمار MT توانست وزن صد دانه آفتتابگردان را نسبت به تیمار CT در حدود ۳۶ درصد افزایش دهد. میزان وزن صد دانه در تیمار گیاه پوششی در مقایسه با تیمار بدون گیاه پوششی اختلاف معنی‌داری نشان داد، وزن صد دانه آفتتابگردان در تیمار NC (۶/۳ گرم) کاهش معنی‌داری نسبت به تیمار UC (۷/۸ گرم) نشان داد. کاهش ۱۹ درصدی در تیمار بدون پوشش گیاهی نسبت به تیمار با پوشش گیاهی مشاهده شد (جدول ۶). از آنجا که ماده آلی خاک به عنوان منبع و ذخیره‌کننده مواد غذایی مورد نیاز برای تحریک فعالیت میکروارگانیسم‌های خاکزی ضروری بوده و تأمین کننده رشد مطلوب گیاهان است و نقش کلیدی را در چرخه کربن بازی می‌کند (Rounsevell et al., 1999)، اجرای خاکورزی حفاظتی با افزایش بیشتر محتوای ماده آلی خاک در مقایسه با سایر روش‌های خاکورزی، از طریق افزایش فراهمی عناصر غذایی موجب بهبود رشد رویشی و فتوسترنز شده که این امر با بهبود سهم تخصیص این مواد به مخزن در نهایت، افزایش وزن دانه را به دنبال داشته است (Shamsabadi et al., 2014).

ازاد شدن تدریجی عناصر باعث افزایش میزان آن عناصر در خاک می‌شود. افزودن گیاه پوششی به خاک موجب بالا رفتن درصد مواد آلی خاک، حفاظت و باز چرخش عناصر غذایی مورد نیاز گیاه و نیز اصلاح باروری خاک می‌شود. گیاهان پوششی به علت دارا بودن قدرت رویشی بالا و ریشه‌های قوی، می‌توانند مقدار زیادی از عناصر غذایی محلولی را که در شرایط عادی بر اثر شستشو به اعمق خاک نفوذ کرده‌اند، جذب کنند (Martins et al., 2015). گیاهان پوششی با جذب عناصر غذایی که ممکن است از نیمیرخ خاک شسته شوند، به چرخه عناصر غذایی در بخش زنده خاک کمک می‌کنند. باید توجه داشت که این مواد غذایی پتانسیل آلودگی آب‌های زیر زمینی را نیز دارند (Jahan et al., 2010).

شاخص‌های زراعی آفتتابگردان

درصد پوکی دانه

نتایج حاصل از تجزیه واریانس داده‌ها (جدول ۵) نشان داد تأثیر اعمال دو تیمار خاکورزی و گیاه پوششی بر مقدار درصد پوکی دانه در سطح ۱ درصد معنی‌دار بود اما برهم کنش این دو تیمار برای درصد پوکی دانه غیرمعنی‌دار بود. مقایسه میانگین داده‌های مربوط به درصد پوکی دانه نشان داد این شاخص در تیمار CT به‌طور معنی‌داری نسبت به تیمارهای NT و MT بیشتر است، به طوری که بیشترین مقدار درصد پوکی دانه در تیمار CT (۱۷/۸ درصد) به‌دست آمد؛ کمترین مقدار درصد پوکی دانه در تیمار MT (۸ درصد) با اختلاف ۵۵ درصد نسبت به تیمار CT گزارش شد (جدول ۶). میزان درصد پوکی دانه در تیمار گیاه پوششی در مقایسه با تیمار بدون گیاه پوششی اختلاف معنی‌داری نشان داد، در تیمار NC مقدار درصد پوکی دانه اندازه‌گیری شده برابر با ۱۳/۶ درصد بود در حالی که در تیمار UC مقدار درصد پوکی دانه ۱۰ درصد گزارش شد. در تیمار UC کاهش ۲۶ درصدی در صفت پوکی دانه در مقایسه با تیمار NC مشاهده شد (جدول ۶). به نظر می‌رسد که اجرای خاکورزی حفاظتی با بهبود محتوای کربن آلی خاک و تاحدودی افزایش نسبی محتوی رطوبتی خاک موجب افزایش رشد فعالیت میکروارگانیسم‌های خاکزی شده که در نتیجه به دلیل چرخه مناسب‌تر عناصر غذایی و به تبع آن Shams abadi (et al., 2014). اجرای خاکورزی حداقل از طریق زیررو رو کردن بیشتر خاک نسبت به بدون خاکورزی موجب افزایش جذب آب و نفوذپذیری بهتر ریشه شده که این امر تحت تأثیر افزایش جذب آب و مواد غذایی موجب بهبود رشد دانه و کاهش درصد پوکی دانه شد (Alvarez and Steinbach, 2009)؛ طوری که در تیمار MT نسبت به تیمار NT کاهش ۲۴ درصدی پوکی دانه گزارش شد (جدول ۶). زیررو رو شدن عمیق خاک در تیمار خاکورزی مرسوم احتمالاً به

جدول ۵- تجزیه واریانس اثر خاکورزی و گیاه پوششی بر ویژگی‌های زراعی آفتابگردان

Table 5- Analysis of variance for the effect of tillage and cover crop on sunflower agronomic properties

منابع تغییرات Source of variations	درجه آزادی d.f	میانگین مربعات Mean of squares						عملکرد بیولوژیک Biological yield
		درصد پوکی Unfilled grain	وزن صد دانه Grain weight	تعداد دانه در طبق Number of grain per anthodium	قطر طبق Anthodium diameter	عملکرد دانه Grain yield		
تکرار Replication	2	5.7 ns	0.2**	0.1**	24.9**	1241 ns	1284.7 ns	
خاکورزی Tillage	2	137.6**	3.3**	32.2**	36.6**	20031**	184089.05**	
گیاه پوششی Cover crop	1	29.4**	0.9**	76.5**	386.6**	31250**	46309.4**	
خاکورزی × گیاه Tillage × Cover crop	2	5.6 ns	0.007 ns	0.5**	6.9**	1809 ns	3038.4 ns	
خطا Error	10	1.5	0.02	0.7	0.7	821.1	1549.2	
ضریب تغییرات (درصد) (%) CV	-	5.7	2.1	6.2	4.1	14.4	4.3	

ns: not significant, **: significant at 1% probability level

**: غیر معنی‌دار، **: معنی‌دار در سطح احتمال ۱ درصد

جدول ۶- مقایسه میانگین فسفر خاک، پتاسیم خاک، وزن صد دانه، عملکرد دانه و عملکرد بیولوژیک آفتابگردان تحت تأثیر تیمارهای مختلف خاکورزی و گیاه پوششی (تعداد نمونه ۱۸=)

Table 6- Mean test on soil phosphorus, soil potassium, sunflower unfilled grain, weight of 100 grains, grain yield and biological yield in effect of tillage systems and cover crop (n=18)

	فسفر Phosphorus (mg.kg ⁻¹)	پتاسیم Potassium (mg.kg ⁻¹)	پتانسیم Unfilled grain (%)	درصد پوکی دانه 100-Grain weight (g)	وزن صد دانه Grain yield (g.m ⁻²)	عملکرد دانه عملکرد بیولوژیک Biological yield (g.m ⁻²)	عملکرد بیولوژیک Biological yield (g.m ⁻²)
خاکورزی Tillage							
بدون خاکورزی No-Tillage (NT)	20.16 ^b	531 ^a	10.5 ^b	8.0 ^b	192.0 ^b	986.8 ^b	
خاکورزی حداقل Minimum tillage (MT)	24.00 ^a	539 ^a	8.0 ^c	10.0 ^a	259.3 ^a	1043.3 ^a	
خاکورزی مرسوم Conventional tillage (CT)	18.00 ^c	427 ^b	17.8 ^a	7.3 ^c	144.3 ^c	715.6 ^c	
گیاه پوششی Cover crop							
با گیاه پوششی With cover crop (UC)	23.6 ^a	506 ^a	10.0 ^b	7.8 ^a	240.2 ^a	966.0 ^a	
بدون گیاه پوششی No cover crop (NC)	17.7 ^b	490 ^b	13.6 ^a	6.3 ^b	156.8 ^b	864.5 ^b	

میانگین‌هایی که دارای حروف مشترکند از نظر صفت مورد مطالعه بر اساس آزمون LSD اختلاف معنی‌داری در سطح احتمال پنج درصد ندارند.

Means within a column followed by the same letter are not significantly different according to LSD test (p<0.05).

تیمار افزایش قطر طبق آفتابگردان را به دنبال داشته است (جدول ۴). اثرات باقی مانده‌های گیاهی سبب افزایش کربن آلی، حفظ رطوبت خاک و افزایش مواد غذایی قابل استفاده برای گیاه می‌باشد. چنین خصوصیات و ویژگی‌هایی تا حدود زیادی می‌تواند منجر به افزایش بیوماس گیاه زراعی گردد (Onemli, 2004). حضور گیاه پوششی تا حد قابل توجه‌ای مانع از رشد علف‌های هرز می‌شود و به دلیل نبود رقابت بروون گونه‌ای بر سر عواملی چون آب، مواد غذایی و نور بین علف‌های هرز و گیاه، بوته‌های آفتابگردان توانسته استفاده بهتری از منابع ببرد و قطر طبق افزایش یافته است (Ramrodi *et al.*, 2010).

تعداد دانه در طبق

نتایج حاصل از تجزیه واریانس داده‌ها (جدول ۵) نشان داد تأثیر عوامل دو تیمار خاک‌ورزی و گیاه پوششی و همچنین برهمنکش بین این دو تیمار بر تعداد دانه در طبق در سطح ۱ درصد معنی دار شد. مقایسه میانگین داده‌ها در جدول ۴ نشان داد که تعداد دانه در طبق در تیمار $MT \times UC$ به طور معنی داری نسبت به تیمارهای بدون خاک‌ورزی و خاک‌ورزی مرسم و عدم کشت گیاه پوششی بیشتر است، به طوری که بیشترین تعداد دانه در طبق در تیمار $MT \times UC$ با مقدار ۱۰۸۵ دانه و کمترین میزان تعداد دانه در طبق به تیمار $MT \times NC$ با مقدار ۳۵۰ دانه اندازه‌گیری شد. بعد از تیمار $MT \times UC$ تیمار $NT \times UC$ (با مقدار ۹۵۰ دانه) با اختلاف ۱۲ درصدی نسبت به تیمار $MT \times UC$ بیشترین تعداد دانه در طبق را به خود اختصاص داد. در تیمار $CT \times NC$ تعداد دانه در طبق نسبت به تیمار $MT \times UC$ حدود ۶۱ درصد کاهش داشت (جدول ۴). رطوبت، اکسیژن، درجه حرارت و مقاومت مکانیکی خاک از جمله عواملی هستند که به طور مستقیم بر رشد ریشه گیاه تأثیر می‌گذارند و این فاکتورها خود تحت تأثیر سیستم‌های خاک‌ورزی هستند (Asadi et al., 2010) به نظر می‌رسد در این آزمایش در تیمار خاک‌ورزی حداقل شرایط لازم برای رشد و نمو ریشه فراهم بود، بنابراین گزارش بیشترین تعداد دانه در طبق آفتابگردان به دلیل استقرار بهتر ریشه در خاک و بالاترین مقدار ماده آبی و عناصر غذایی در تیمار خاک‌ورزی حداقل که به پرشدن طبق‌ها می‌نجامد دور از انتظار نیست. بررسی سه ساله در شمال غرب ایران و در شرایط کشت مداوم گندم دیم نشان داده است که روش‌های مختلف خاک‌ورزی از نظر تعداد دانه در سنبله، دارای اختلاف معنی داری هستند به طوری که از میان تیمارهای خاک‌ورزی مرسم (گاوآهن برگدان دار)، خاک‌ورزی حداقل (گاوآهن پنجه غازی) و بدون خاک‌ورزی، بیشترین تعداد دانه در سنبله مربوط به تیمار خاک‌ورزی حداقل بوده است (Peterson et al., 2002). حفظ بقایای گیاهی بر سطح خاک از طریق فراهمی بهتر رطوبت حاصل از بارندگی‌ها توانسته اثر مشتبی بر این جزء از عملکرد داشته باشد.

میانگین کربن آلی در تیمار MT-UC با مقدار $10/4$ گرم بر کیلوگرم به طور معنی داری نسبت به سایر تیمارها بیشتر بود و در این تیمار نیز وزن صد دانه با مقدار $8/6$ گرم بیشتر از سایر تیمارها بود (جدول ۴). احتمالاً حضور گیاه پوششی و اعمال خاکورزی حفاظتی با حفظ رطوبت به افزایش طول دوره پر شدن دانه کمک می‌کند و سبب می‌گردد میزان بیشتری مواد فتوسنتزی به دانه‌ها منتقل شود، همین امر موجب افزایش وزن صد دانه می‌گردد (Burton *et al.*, 2004). بررسی تأثیر روش‌های مختلف خاکورزی بر عملکرد کلزا نشان داد که بالاترین میزان وزن دانه به سیستم بدون خاکورزی کلشدار (حفظ مانده‌های گیاهی) اختصاص داشت. می‌توان علت این امر را افزایش قدرت حفظ رطوبت خاک در این سیستم خاکورزی دانست Amini *et al.*, 2004) در بررسی تأثیر روش‌های مختلف خاکورزی و مدیریت (2014) بقایای گیاهی بر اجزای عملکرد گندم گزارش کردند وزن دانه در تیمار خاکورزی حفاظتی و حضور ۹۰ درصد بقایای گیاهی ۳ درصد بیشتر از تیمار خاکورزی مرسوم و سوزاندن بقایای گیاهی بود. در توجیه این امر عنوان داشتند کاربرد بقایای گیاهی توأم با عملیات خاکورزی مرسوم منجر به تعییر میزان N/C خاک می‌گردد و در نتیجه میزان نیتروژن موجود در خاک صرف میکروارگانیسم‌ها می‌گردد، بنابراین گیاه در طی فصل رشد با کمبود نیتروژن مواجه شده که بر میزان وزن گیری دانه تأثیر منفی خواهد داشت.

قطر طبق

نتایج حاصل از تجزیه واریانس داده‌ها (جدول ۵) نشان داد تأثیر عوامل دو تیمار خاک‌ورزی و گیاه پوششی و همچنین برهمکنش بین این دو تیمار بر قطر طبق در سطح ۱ درصد معنی‌دار شد. مقایسه میانگین داده‌ها در جدول ۴ نشان داد که میزان قطر طبق آفتابگردان در تیمار $MT \times UC$ به‌طور معنی‌داری نسبت به تیمارهای بدون خاک‌ورزی و خاک‌ورزی مرسم و عدم کشت گیاه پوششی بیشتر است، به طوری که بیشترین مقدار قطر طبق در تیمار $UC \times MT$ با مقدار ۲۷ سانتی‌متر و کمترین میزان قطر طبق به تیمار $NC \times CT$ با مقدار ۱۲ سانتی‌متر اندازه‌گیری شد. بعد از تیمار $UC \times MT$ تیمار $NT \times UC$ (با مقدار $22/4$ سانتی‌متر) با اختلاف ۱۷ درصدی نسبت به تیمار $UC \times MT$ بیشترین مقدار قطر طبق را به خود اختصاص داد تیمار $UC \times MT$ موجب افزایش $55/5$ درصدی قطر طبق نسبت به تیمار $CT \times NC$ شد. به کارگیری خاک‌ورزی حداقل احتمالاً از طریق افزایش نیتروژن خاک موجب تحریک رشد رویشی گیاه می‌شود (Shamsabadi *et al.*, 2014)؛ که در این پژوهش بیشترین مقدار نیتروژن ($7/1$ گرم بر کیلوگرم) در تیمار خاک‌ورزی حداقل \times گیاه پوششی اندازه‌گیری شد (شکل ۲) و بالا بودن مقدار نیتروژن در این

(Amini et al., 2014)

مرسوم در حدود ۴۴/۳۵ درصد و در تیمار کاشت گیاه پوششی نسبت به تیمار عدم کاشت گیاه پوششی ۳۳/۸۸ درصد بیشتر به دست آمد. Nematpour et al., (2015) و در نتیجه افزایش میزان دریافت نور، تولید ماده خشک و دانه می‌شود (Sepide dam and Ramroudi, 2016), نتایج نشان داد در تیمار UC در مقایسه با تیمار NC و در تیمار MT در مقایسه با تیمار MT توانست وزن صد دانه آفتابگردان را نسبت به تیمار CT ۲۷ CT درصد افزایش دهد و کاهش ۱۹ درصدی در تیمار بدون پوشش گیاهی نسبت به تیمار با پوشش گیاهی اندازه‌گیری شد (جدول ۶). می‌توان اظهار داشت که افزایش دسترسی به نیتروژن در تیمارهای خاکورزی حداقل و گیاه پوششی، منجر به رشد بهتر گیاه، افزایش ظرفیت فتوستتری و ذخیره فتوآسمیلات‌ها در دانه شده و افزایش وزن دانه افزایش عملکرد دانه را نیز به دنبال دارد. در روش‌های خاکورزی حفاظتی به دلیل بهبود پایداری خاکدانه‌ها، افزایش ماده آلی خاک، نفوذ پذیری بیشتر آب در خاک و کاهش فرسایش خاک، شرایط بهتری برای رشد گیاه زراعی فراهم می‌گردد (Smith et al., 2011) با این حال، با در نظر گرفتن اقلیم نیمه‌خشک منطقه مورد مطالعه و نیز طول مدت اعمال خاکورزی حفاظتی در این پژوهش (۴ سال)، خاکورزی حداقل از بین خاکورزی‌های حفاظتی مورد بررسی، گزینه مناسب‌تری به لحاظ عملکرد دانه آفتابگردان است.

عملکرد بیولوژیک

اثر تیمار خاکورزی و گیاه پوششی در سطح احتمال ۱ درصد بر عملکرد بیولوژیک معنی‌دار شد، اما اثر متقابل خاکورزی در گیاه پوششی بر این صفت معنی‌دار نبود (جدول ۵). عملکرد بیولوژیک در تیمار MT به‌طور معنی‌داری نسبت به تیمارهای NT و CT بیشتر است (جدول ۶). بیشترین و کمترین عملکرد بیولوژیک به‌ترتیب در تیمار MT و CT با مقدار ۱۰۴۳ و ۷۱۵/۶ گرم بر مترمربع به دست آمد؛ تیمار NT با کاهش ۵/۵ درصدی عملکرد بیولوژیک نسبت به تیمار MT در مرتبه دوم قرار گرفت. تیمار خاکورزی حداقل توانست عملکرد دانه را نیز به دنبال آفتابگردان را افزایش دهد. همچنین شاخص عملکرد بیولوژیک در حضور گیاه پوششی در مقایسه با عدم حضور گیاه پوششی اختلاف معنی‌داری نشان داد به این صورت که در تیمار UC نسبت به تیمار NC افزایش ۱۰/۵ درصدی داشت (جدول ۶). با توجه به برتری تیمار خاکورزی حداقل × گیاه پوششی نسبت به سایر تیمارها از نظر اجزای عملکرد برتری عملکرد بیولوژیک آفتابگردان در این تیمار نسبت به سایر تیمارها دور از انتظار نیست. عملیات خاکورزی با اثر بر روی فعالیت‌های بیولوژیکی، دسترسی به منابع غذایی و همچنین از راه تأثیر

عملکرد دانه

اثر تیمار خاکورزی و گیاه پوششی در سطح احتمال ۱ درصد بر عملکرد دانه معنی‌دار شد، اما اثر متقابل خاکورزی در گیاه پوششی بر این صفت معنی‌دار نبود (جدول ۵). عملکرد دانه در تیمار MT به‌طور معنی‌داری نسبت به تیمارهای NT و CT بیشتر است (جدول ۶). بیشترین و کمترین عملکرد دانه به‌ترتیب در تیمار MT و CT با مقدار ۲۵۹/۳ و ۱۴۴/۳ گرم بر مترمربع به دست آمد؛ تیمار NT با کاهش ۳۵ درصد عملکرد دانه نسبت به تیمار MT در مرتبه دوم قرار گرفت. تیمار خاکورزی حداقل توانست عملکرد دانه آفتابگردان را نسبت به تیمار خاکورزی مرسوم در حدود ۷۹ درصد افزایش دهد. به علاوه عملکرد دانه در حضور گیاه پوششی در مقایسه با عدم حضور گیاه پوششی اختلاف معنی‌داری نشان داد به این صورت که در تیمار UC نسبت به تیمار NC افزایش ۵۳ درصد داشت (جدول ۶). به نظر مرسد در پژوهش حاضر، افزایش عملکرد دانه آفتابگردان در تیمارهای خاکورزی حداقل + کشت گیاه پوششی تحت تأثیر کشت چهار ساله گیاه پوششی زمستانه و مدیریت مناسب بقایای گیاهی، که از طریق اعمال مدیریت‌های مختلف خاکورزی کاهش یافته اعمال شده است، قرار گرفته باشد. با توجه به نتایج این پژوهش، بیشترین مقدادر عملکرد دانه در تیمار خاکورزی حداقل و بعد از آن در تیمار بدون خاکورزی ثبت شد و تیمار خاکورزی مرسوم کمترین عملکرد دانه را داشت. عملکرد دانه در تیمار بدون خاکورزی نسبت به تیمار خاکورزی حداقل به میزان ۲۵ درصد کاهش یافت. علت این کاهش عملکرد می‌تواند فشردگی بیشتر خاک و فراهم نبودن شرایط مناسب برای رشد ریشه در تیمار بدون خاکورزی باشد. این فشردگی به کاهش تراکم طول ریشه گیاه در تیمار بدون خاکورزی در مقایسه با خاکورزی حداقل منجر می‌شود و گیاه توانایی کمتری در جذب آب و مواد غذایی مورد نیاز خود در مقایسه با خاکورزی حداقل خواهد داشت. از دیگر عوامل مؤثر بر کاهش عملکرد دانه در تیمار بدون خاکورزی در مقایسه با خاکورزی حداقل می‌توان به تأخیر در استقرار، افزایش تراکم علف‌های هرز و تغییر در خواص فیزیکی خاک اشاره کرد (Mohammadi et al., 2009). به طور کلی منابع نشان می‌دهند در خاکورزی حفاظتی وجود بقایا در سطح خاک موجب کاهش سبز شدن و استقرار علف‌های هرز و در نتیجه کاهش رقابت آن‌ها با گیاه زراعی شده و عملکرد گیاه زراعی اغلب در چنین حالتی افزایش می‌یابد (Hamzei and Borbor, 2014). نتایج نشان داد که بالاترین مقدار نیتروژن در تیمار خاکورزی حداقل و گیاه پوششی (۱/۷ گرم بر کیلوگرم) اندازه‌گیری شد (جدول ۶)، به‌طوری که عملکرد دانه در تیمار خاکورزی حداقل نسبت به تیمار خاکورزی

نتیجه‌گیری

نتایج حاصل از این پژوهش نشان داد که عملکرد و اجزای عملکرد آفتابگردان تحت تأثیر مدیریت‌های اعمال شده خاک‌ورزی قرار گرفت و در بین مدیریت‌های اعمال شده تیمار خاک‌ورزی حداقل و حضور گیاه پوششی کلزا منجر به افزایش اجزای عملکرد آفتابگردان و تیمار خاک‌ورزی مرسوم و عدم حضور گیاه پوششی کلزا منجر به کاهش اجزای عملکرد آفتابگردان شد. کمترین درصد پوکی دانه آفتابگردان در تیمار خاک‌ورزی حداقل و حضور گیاه پوششی و بیشترین درصد پوکی دانه در تیمار خاک‌ورزی مرسوم و بدون حضور گیاه پوششی گزارش شد، همچنین بیشترین مقدار ماده آلی و عناصر غذایی پرصرف در تیمار خاک‌ورزی حداقل با حضور گیاه پوششی کلزا اندازه‌گیری شد. پوشش گیاهی نیز از طریق چرخه بازگشت برگ‌های پوسیده، ریشه و دیگر اجزای گیاه به خاک به حفظ ذخیره ماده آلی و افزایش مقادیر عناصر غذایی پرصرف کمک می‌کند. مجموعه این عوامل منجر شد که رشد گیاه زراعی بهبود یافته و بالاترین عملکرد را داشته باشد. گرچه این پژوهش به منظور پذیرش فعالیت‌های مبتنی بر اصول کشاورزی پایدار از قبیل مدیریت بقاوی‌گیاهی و خاک‌ورزی حفاظتی صورت گرفت، ولی جهت برآورد تأثیر حقیقی این راهکارهای مدیریتی می‌باشد آزمایش‌های طولانی مدت را مدنظر قرار داد.

بر مقاومت مکانیکی خاک و انتشار عناصر غذایی بر رشد و تولید گیاه اثر می‌گذارد (Mikanva *et al.*, 2009). افزایش عملکرد علاوه بر سایر عوامل به تهیه زمین، بستر بذر مناسب، حفاظت از حاصلخیزی خاک و جلوگیری از فشردگی خاک بستگی دارد، معمولاً سیستم‌های خاک‌ورزی حفاظتی به دلیل حفظ بقاوی‌گیاهی سبب افزایش حاصلخیزی و ماده آلی بیشتر خاک شده، در نتیجه عملکرد اقتصادی نسبت به روش خاک‌ورزی مرسوم افزایش می‌یابد، اما روش بی‌خاک‌ورزی به دلیل مقادیر زیاد بقاوی‌گیاهی، رشد و توسعه علف‌های هرز و آماده سازی بستر بذر عموماً پاسخگوی نیازهای گیاه نخواهد بود (Azimzadeh *et al.*, 2003). بهبود وضعیت استقرار گیاه آفتابگردان در خاک‌ورزی حداقل و افزایش معنی‌دار اجزای عملکرد در این تیمار نسبت به تیمار خاک‌ورزی مرسوم منجر به افزایش وزن خشک اندام هوایی و افزایش عملکرد بیولوژیک آفتابگردان در تیمار خاک‌ورزی حداقل گردید، اما عدم خاک‌ورزی به دلیل فشردگی خاک و ضعیف بودن کلی آفتابگردان به دلیل کاهش فتوسنتز و رشد رویشی منجر به کاهش وزن خشک اندام هوایی گیاه (Ahmadvand and Hajinia, 2015) و کاهش ۱۲ درصدی عملکرد بیولوژیک آفتابگردان نسبت به خاک‌ورزی حداقل گردید. بقاوی‌گیاه پوششی باعث افزایش ماده آلی، نیتروژن، بهبود ساختمان خاک، افزایش ظرفیت تبادل کاتیونی و افزایش میکروگانیسم‌های خاک می‌شود و از طریق بهبود حاصلخیزی خاک و کنترل علف‌های هرز در نهایت منجر به افزایش عملکرد بیولوژیک گیاه آفتابگردان می‌شود (Campiglia *et al.*, 2010).

References

1. Alexandra, M. R., Charles, B., and Jeangros, S. 2013. Effect of organic fertilizers and reduced-tillage on soil properties, crop nitrogen response and crop yield: Results of a 12-year experiment in Changins, Switzerland. *Soil and Tillage Research* 126: 11-18.
2. Algan, N., and Celen, A. S. 2011. Evaluation of mung bean (*Vigna radiata* L.) as green manure in Aegean conditions in terms of soil nutrition under different sowing dates. *African Journal of Agricultural Research* 6 (7): 1744-1749.
3. Al-Khatib, K., Libbey, C., and Boydston, R. 1997. Weed suppression with *Brassica* green manure crops in green manure crops in green pea. *Weed Sciences* 45: 439-445.
4. All-Issa, T. A., and Samarah, N. H. 2007. The effect of tillage practices on barley production under rainfed conditions in Jordan. *Agricultural and Environmental Science* 2 (1): 75-79.
5. Alvarez, R., and Steinbach, H. S. 2009. A review of the effects of tillage systems on some soil physical properties, water content, nitrate availability and crops yield in the Argentine Pampas. *Soil and Tillage Research* 104: 1-15.
6. Amini, A., Rajaie, M., and Farsinezhad, K. 2014. Effects of different plant residue under different tillage practices on yield and yield components of wheat (*Triticum aestivum* L.). *Plant Ecophysiology* 16: 27-37. (in Persian with English abstract).
7. Asadi, A., Yahyaabadi, M., and Taki, O. 2011. The Effect of Conventional and Conservation Tillage on Forage Corn Yield in a Barley-Corn Rotation. *Agricultural Engineering Research* 12 (1): 83-96.
8. Azimzadeh, M., Koocheki, A. R., and Bala, M. 2003. Effect of different Tillage methods on bulk density, porosity, soil moisture content and yield of wheat under dryland condition. *Iranian Journal of Crop Sciences* 4 (93): 209-224. (in Persian with English abstract).
9. Barzegar, A. R., Hashemi, A. M., Herbert, S. J., and Asoodar, M. 2004. Interactive effects of tillage system and soil water content aggregate size distribution for seedbed preparation in Fluvisols southwest Iran. *Soil and Tillage Research* 78: 45-52.

10. Basalma, D. 2008. The correlation and path analysis of yield and yield components of different winter rapeseed (*Brassica napus* L.) Cultivars. Research Journal of Agriculture and Biological Sciences 4: 120-125.
11. Blanco-canqui, H., and Lal, R. 2009. Crop residue removal impacts on soil productivity and environmental quality. Critical Review of Plant Science 28: 139-163.
12. Bremner, J. M. 1970. Nitrogen total, regular Kjeldahl method, In: Methods of Soil Analysis, Part II: Chemical and Microbiological Properties. Agronomy 9: 610-616.
13. Burton, W. A., Ripley, V. L., Potts, D. A., and Salisbury, P. A. 2004. Assessment of genetic diversity in selected breeding lines and cultivars of canola quality *Brassica juncea* and their implications for canola breeding. Euphytica 136: 181-192.
14. Campiglia, E., Caporali, F., Radicetti, E., and Mancinelli, R. 2010. Hairy Vetch (*Vicia villosa* Roth.) cover crop residue management for improving weed control and yield in no-tillage tomato (*Lycopersicon esculentum* Mill.) production. European Journal of Agronomy 33: 94-102.
15. Celik, I., Barut, Z. B., Ortas, I., Gok, M., Demirbas, A., Tulun, Y., and Akpinar, C. 2011. Impacts of different tillage practices on some soil microbiological properties and crop yield under semiarid Mediterranean conditions. International Plant Production 5 (3): 237-254.
16. Chaghazardi, H. R., Jahnsuz, M. R., Ahmadi, A., and Gorji, M. 2010. Effects of different tillage methods on bread wheat and chickpea yield, yield components and soil physical properties under rainfed conditions in Kermanshah. Iranian Journal of Filed Crop Science 46 (4): 687-699.
17. Clapp, C. E., Allmarasa, R. R., Layeseb, M. F., Lindena, D. R., and Dowdya, R. H. 2000. Soil organic carbon and ^{13}C abundance as related to tillage, crop residue, and nitrogen fertilization under continuous corn management in Minnesota. Soil and Tillage Research 5: 127-142.
18. Conklin, A. E., Erich, M. S., and Liebman, M. 2002. Effects of red clover (*Trifolium pratense*) green manure and compost soil amendments on wild mustard (*Brassica kaber*) growth and incidence of disease. Plant and Soil 238: 245-25.
19. Copeland, P. J., and Crookston, P. K. 1992. Crop sequence affects nutrient composition of corn and soybean grown under high fertility. Agronomy 84: 503-509.
20. Fink, J., Inda, A., Bavaresco, J., Barrón, V., Torrent, J., and Bayer, C. 2016. Adsorption and desorption of phosphorus in subtropical soils as affected by management system and mineralogy. Soil & Tillage Research 152: 62-68.
21. Gajri, P. R., Arora, V. K., and Prihar, S. S. 2004. Tillage for Sustainable Cropping. International Book Distributing Company.
22. Garcia, R. A., Crusciol, C. A. C., Calonego, J. C., and Rosolem, C. A. 2008. Potassium cycling in a corn-brachiaria cropping system. European Journal of Agronomy 28: 579-585.
23. Ghaffari, M., Ahmadvand, G., Ardakani, M. R., Mosaddeghi, M. R., Yeganehpoor, F., Gaffari, M., and Mirakhori, M. 2012. Effect of Cover Crop Residues on Some Physicochemical Properties of Soil and Emergence Rate of Potato. Crop Ecophysiology 6 (1): 79-90.
24. Hamzei, J., and Borbor, A. 2014. Effect of different soil tillage methods and cover crops on yield and yield components of corn and some soil characteristics. Agricultural Science and Sustainable Production 24 (3): 35-45. (in Persian with English abstract).
25. Jahan, M., Solimani farzaghi, F., Ahmadi, F., Amiri, M. B., and Ehyaei, H. R. 2010. Interaction effects of green pea and Persian clover cover crop and biological fertilizers on yield and quality of sesame. The second National Conference on Agriculture and Sustainable Development. 11 and 12 March, Islamic Azad University of Shiraz.
26. Jeffery, L., Smith, N., and Jonathan, J. 2002. Soil properties and microbial activity across a 500 m elevation gradient in semi-arid environment. Soil Biology and Biochemistry 34: 1749-1757.
27. Kabiri, V., Raiesi, F., and Ghazavi, M. A. 2016. Tillage effects on soil microbial biomass, SOM mineralization and enzyme activity in a semi-arid Calcixerupts. Agriculture, Ecosystems and Environment. 232: 73-84.
28. Kruidhof, H., Bastiaans, M. L., and Kropff, M. J. 2008. Ecological weed management by cover cropping: effects on weedgrowth in autumn and weed establishment in spring, Weed Research 48: 492-502.
29. Klut, A. 1986. Method of Soil Analysis: Physical, Chemical and Mineralogical Methods. Soil Science Society of America 432-449.
30. Lugandu, S. 2013. Factors Influencing the Adoption off Conservation Agriculture by Smallholder Farmers in Karatu and Kongwa Districts of Tanzania. Presented at REPOA's 18th Annual Research Workshop held at the Kunduchi Beach Hotel, Dares Salaam, Tanzania.
31. Martins, B. H., Araujo-Junior, C. F., Miyazawa, M., Vieira, K. M., and Milori, M. B. P. 2015. Soil organic matter quality and weed diversity in coffee plantation area submitted to weed control and cover crops management. Soil and Tillage Research 153: 169-174.
32. Mikanova, O., Javurek, M., Simon, T., Friedlova, M., and Vach, M. 2009. The effect of tillage systems on some microbial characteristics. Soil and Tillage Research 105 (1): 72.
33. Mohammadi, G. R., Safari-Poor, M., Ghobadi, M. E., and Najaphy, A. 2015. The Effect of Green Manure and

- Nitrogen Fertilizer on Corn Yield and Growth Indices. Sustainable Agriculture and Production Science 25 (2): 105-124.
34. Mohammadi, Kh., Nabi Allahi, K., Aghaalkhani, M., and Khoormali, F. 2009. Study on the effect of different tillage methods on the soil physical properties, yield and yield components of rainfed wheat. Plant Production 16 (4): 77-91. (in Persian with English abstract).
35. Mohammadi, M. 2012. Effects of canola and nitrogen fertilizer on some physical and chemical properties of soil and yield of the next crop. Soil and Water Research Institute.
36. Mosavi, S. B., Jafarzadeh, A. A., Neishabouri, M. R., Ostan, S., and Feiziasl, V. 2009. Rye green manure along with nitrogen fertilizer application increase wheat (*Triticum aestivum* L.) production under dryland condition Agriculture Research 4: 204-212. (in Persian with English abstract).
37. Najafi-Ghiri, M., Abtahi, A., and Jaberian, F. 2011. Factors affecting potassium release in calcareous soils of southern Iran. Soil Research 49 (6): 529-537.
38. Najafinejad, H., Jewelry, M. A., Ravari, S. Z., and Azad shahraki, F. 2009. Effect of crop rotation and crop residue management on corn yield. SC 704 and some soil properties. Seed Plant 25 (3): 258-245.
39. Nematpour, A., Kazemi, S. A. R., and Bahrani, M. 2015. The effect of seeding rate and nitrogen on yield and yield components of wheat grown canola residue. Iranian Journal of Field Crops Research 13 (1): 120-130.
40. Ohno, T., Doolan, K., and Zibilske, L. M. 2000. Phytotoxic effects of red clover amended soils on wild mustard seedling growth, Agriculture, Ecosystems & Environment 78: 187-192.
41. Olsen, S. R., Cole, C. V., Watanabe, F. S., and Dean, L. A. 1954. Estimation of Available Phosphorous in Soils by Extraction with Sodium Bicarbonate. Department of Agriculture, Washington DC.
42. Onemli, F. 2004. The effects of soil organic matter on seedling emergence in sunflower (*Helianthus annuus* L.). Plant Soil Environment 50: 494-499.
43. Peterson, E. H., Pannel, D. G., Nordblom, T. L., and Shomo, F. 2002. Potential benefit from alternative areas of agricultural research for dry farming in northern Syria. Agricultural System 11 (2): 93-108.
44. Potter, M. 1999. Biochemical studies of tissue glucosinolates for improvement of canola (*Brassica napus*) as a disease break with in the southern Australian cereal rotation. Australasian Association of Nematologist.Canola, 1-3.
45. Ramrodi, M., Mazaheri, D., Hoseini, N., Hosseinzadeh, A. H., and Hosseini, M. B. 2010. The impact of cover crops, tillage systems and nitrogen fertilization on yield of forage sorghum (*Sorghum bicolor* L.). Iranian Journal of Field Crop Science 41 (4): 763-769. (in Persian with English abstract).
46. Raymer, P. L. 2002. Canola: an emerging oilseed crop. Trends in New Crops and New Uses 1: 122-126.
47. Rounsevell, M. D. A., Evans, S. P., and Bullock, P. 1999. Climate change and agricultural soils: impacts and adaptation. Climate Change 43: 683-709.
48. Sepide dam, S., and Ramrodi, M. 2016. Effects of tillage systems and nitrogen fertilizer on yield, yield components and seed protein of wheat. Applied Research of Plant Ecophysiology 2 (2): 33-49.
49. Shahpary, Z., Fateh, E., and Aynehband, A. 2016. The effect of different residue type, management and nitrogen on yield, quality of durum wheat (*Triticum durum* L.) and soil macronutrients. Electronic Journal of Crop Production 9 (3): 87-104.
50. Shams Abadi, H. A., Taherirad, A. R., Khorramdel, S., and Nikkhah, A. 2014. The effect of tillage methods, plant density and planting patterns on growth characteristics, yield components and gain yield of sweet corn under Malaysia climatic conditions. Electronic Journal of Crop Production 8 (1): 79-98. (in Persian with English abstract).
51. Sharma, P., Abrol, V., and Sharma, R. K. 2011. Impact of tillage and mulch management on economics, energy requirement and crop performance in maize-wheat rotation in rainfed subhumid inceptisols, India. European Journal of Agronomy 34: 46-51.
52. Simon, T., Javurek, M., Mikánová, O., and Vach, M. 2009. The influence of tillage systems on soil organic matter and soil hydrophobicity. Soil and Tillage Research 105: 44-48.
53. Sohrabi, S. S., Fateh, E., Aynehband, A., and Rahnama, A. 2014. Effect of crop residue management and nitrogen fertilizer on accumulation and remobilization of wheat (*Triticum aestivum* L.) dry matter. Crop Production 7 (2): 113-134.
54. Vokovic, I., Mesic, M., Zgorelec, Z., Jurisic, A., and Sajko, K. 2008. Nitrogen use efficiency in winter wheat. Cereal Research Communications 36: 1119-1202.
55. Yasari, E., and Patwardhan, A. M. 2007. Effects of *Azobacter* and *Azospirillum* inoculations and chemical fertilizers on growth and productivity of canola. Asian Journal of Plant Science 6 (1): 77-82.



Effect of Different Tillage Practices and Canola Cover Crop on Yield, Yield Components of Sunflower and Soil Quality Indicators in Dastjerd region (Hamedan)

Sh. Felegari¹ - J. Hamzei^{2*} - M. Nael³

Received: 24-11-2017

Accepted: 13-03-2018

Introduction

Suitable tillage methods and planting cover crops are such factors in sustainable agricultural systems, which play an important role in the sustainability of agricultural production systems. The benefits cover crop can be referred improvement of soil fertility, chemical properties of soil, increasing of soil organic matter and biodiversity and finally increasing of crop yields.

Materials and Methods

This study was conducted at Agricultural Research Station of Bu-Ali Sina University in Dastjerd village near the city of Hamadan located in the west of Iran during 2015 growing season. A factorial layout based on a randomized complete block design with three levels of tillage practices (no-tillage (NT), minimum tillage (MT) and conventional tillage (CT)) and two levels of cover crops (with (UC) and without (NC) canola as a cover crop) was conducted. Treatments were replicated in three times. After harvesting main crop (sunflower), selected soil quality indicators including organic carbon, total nitrogen, available phosphorus and available potassium were measured. In addition, yield components of sunflower including percentage of unfilled grain, grain weight, number of grain per anthodium, anthodium diameter, grain and biological yields were measured at the end of the season. The data were analyzed by SAS software. Means were compared using Duncan's Multiple Range test at $P \leq 0.05$.

Results and Discussion

The results indicated that organic carbon and macronutrients (NPK) of soil were the highest in MT \times UC treatment. After the minimum tillage treatment, the highest amounts of soil quality indicators were measured in the treatment of non-tillage treatment and presence of cover crop. MT \times UC treatment with 1.04% organic carbon was significantly higher than other treatments and the lowest organic carbon (0.56%) was measured in conventional tillage treatment without using cover crop. The highest amount of macro-nutrients (nitrogen (0.16%), phosphorus (24 mg kg^{-1}) and potassium $430 (\text{mg kg}^{-1})$) were revealed at the MT \times UC treatment. In comparison with the conventional tillage, the minimum tillage treatment increased sunflower grain weight by about 18%. NC treatment reduced sunflower grain weight by 19% compared to UC treatment (using cover crop). The maximum anthodium diameter (27 cm) was achieved at MT \times UC treatment, while this treatment resulted in an increase of 55.5% in anthodium diameter compared to CT \times NC treatment. The number of grain per anthodium was not significantly different between the two treatments of MT \times UC and NT \times UC. Minimum tillage compared to conventional tillage significantly increased sunflower grain yield. Sunflower grain yield was decreased by 53% in non-using cover crop treatment compared to UC treatment (using cover crop). The highest (1043.3 g m^{-2}) and the lowest (715.6 g m^{-2}) biological yield of sunflower were obtained in minimum tillage and conventional tillage treatments, respectively. Between cover crop treatments, sunflower biological yield in NC treatment was 10.5% lower than UC treatment. Minimum tillage with the conservation of residue helps to protect the soil surface and increases soil quality. Therefore, conservation tillage is one of the new methods for optimum soil use

1- Former MSc Student, Department of Soil Science, Bu-Ali Sina University, Hamedan, Iran

2- Associate Professors, Department of Crop Production and Plant Breeding, Faculty of Agriculture, Bu-Ali Sina University, Hamedan, Iran

3- Assistant Professor of Soil Science, Soil Science Dept. Faculty of Agriculture, Bu-Ali Sina University, Hamedan, Iran

(*- Corresponding Author Email: j.hamzei@basu.ac.ir)

as the most important supply of food sources and can play an important role in increasing farm productivity.

Conclusions

In summary, the results suggested that the highest and the lowest sunflower yields were belonged to MT \times UC and CT \times NC treatments, respectively. In justifying these results, it can be said that planting cover crops, especially when combined with conservation tillage systems, improves soil organic matter and soil nutrient elements and increases sunflower yield.

Keywords: Conservation tillage, Crop yield, Macro nutrients, Residue management, Soil organic matter



بررسی تغییرات مرفوولوژیک و عملکردی تیپ‌های مختلف پنبه در سیستم کاشت ردیف‌های بسیار باریک

حمید رضا مهرآبادی^{*}

تاریخ دریافت: ۱۳۹۶/۰۲/۲۳

تاریخ پذیرش: ۱۳۹۷/۰۴/۳۰

چکیده

به منظور بررسی اثر فواصل ردیف کاشت بر واکنش‌های مرفوولوژیکی و زراعی ارقام پنبه تیپ صفر (پنبه با شاخه‌های جانبی کوتاه)، پژوهشی با استفاده از آزمایش فاکتوریل بر پایه طرح بلوک‌های کامل تصادفی در سه تکرار در محل ایستگاه تحقیقات کشاورزی و منابع طبیعی کاشمر طی دو سال ۱۳۹۳ و ۱۳۹۴ انجام شد. در این آزمایش عامل رقم در چهار سطح شامل ارقام کاشمر و خوشبید (تیپ صفر) به همراه ارقام خرداد و ورامین (شاهد) و عامل فاصله ردیف کاشت در سه سطح شامل ۲۰، ۴۰ و ۶۰ سانتی‌متر (با فاصله روی ردیف ثابت ۲۰ سانتی‌متر) استفاده شد. نتایج آزمایش نشان داد ارقام مورد بررسی از نظر صفات مرفوولوژی با هم تفاوت معنی داری دارند. همچنین نتایج شامل داد با کاهش فواصل بین ردیف‌های کاشت، ارتفاع بوته، تعداد برگ، سطح برگ و تعداد غوزه در بوته به طور معنی داری کاهش یافته. ویژگی‌های مرفوولوژیک چیاه چون تعداد شاخه‌های رویشی و زایشی و سطح برگ در کاشت در ردیف‌های باریک به میزان بیشتری در ارقام تیپ صفر تحت تأثیر قرار گرفتند. با افزایش تراکم بوته در کاشت در فواصل ردیف باریک، عملکرد در سال اول و دوم به ترتیب به میزان ۸۲/۲ و ۷۹/۷ درصد نسبت به کاشت در ردیف‌های پهن تر افزایش پیدا نمود. همچنین بیشترین و کمترین افزایش عملکرد، از کاشت در فاصله ردیف ۲۰ سانتی‌متر به ترتیب متعلق به ارقام خوشبید و خرداد بود.

واژه‌های کلیدی: تراکم بوته، سطح برگ، عملکرد و ش، فاصله بوته

تراکم‌های بالا با کاشت در فواصل ردیف نزدیک‌تر برای حصول به عملکرد بیشتر فراهم است. Fowler and Ray, 1977 با بررسی تأثیر ۵ تراکم کاشت (از ۳۸۷۵۰ بوته تا ۶۲۰۰۰ بوته در هکتار) در فواصل مساوی روی ردیف دریافتند که افزایش تراکم موجب افزایش وزن خشک در واحد سطح زمین در هر یک از اجزای گیاهی به جز شاخه‌های رویشی گردید. آنها همچنین خاطر نشان کردند که افزایش تراکم (در فواصل مساوی) سبب افزایش ساختار سطح برگ و تعداد گره‌ها در اولین شاخه میوه‌دهنده و همچنین توسعه فشرده‌تر گیاهی از طریق کاهش ارتفاع بوته، قطر ساقه و تعداد شاخه گردید. با این حال این محققین ابراز داشتند که اندازه غوزه، تعداد بذر در هر غوزه، شاخص الیاف کوتاه، با کاهش فاصله بین بوته‌ها کاهش نشان داد. بررسی‌ها نشان داده است که افزایش تراکم از طریق کاهش فاصله بین ردیف کاشت منجر به کاهش متوسط وزن غوزه‌ها می‌شود (Reddy *et al.*, 2009).

نتایج یک تحقیق نشان داد کاشت در فواصل ردیف‌های باریک‌تر سبب افزایش عملکرد به میزان ۱۲ درصد نسبت به کاشت در فواصل ردیف پهن تر شد (Ray, 1971). در تحقیقی (Mehrabadi, 1999)

مقدمه

یکی از روش‌های افزایش عملکرد محصولات زراعی، افزایش متناسب تراکم بوته در واحد سطح می‌باشد. اخیراً زراعت پنبه در فاصله ردیف‌های بسیار باریک تحت عنوان Ultra Narrow Row (UNR) در کشورهای پنبه‌خیز و توسعه‌یافته، در حال گسترش می‌باشد. گرایش به کشت پنبه در ردیف‌های بسیار باریک به جای کشت در ردیف‌های پهن در دهه ۱۹۹۰ به وجود آمد. کشت پنبه در فاصله ردیف‌های بسیار باریک ۱۹ یا ۲۵ سانتی‌متر به وسیله محققان Culpepper and York, 2000; Roche and Gossypium (Bange, 2006) گزارش شده است (). در ارقام با تیپ بسته پنبه (hirsutum L.) که از رشد جانبی کمتری برخوردارند، امکان استفاده از

۱- استادیار، بخش تحقیقات زراعی و باغی، مرکز تحقیقات کشاورزی و منابع طبیعی استان خراسان رضوی، سازمان تحقیقات، آموزش و ترویج کشاورزی، مشهد، ایران

(*)- نویسنده مسئول: (Email: hr.mehrabadi@yahoo.com
DOI: 10.22067/gsc.v16i3.64402

افزایش تراکم از طریق کاهش فاصله ردیف مورد ارزیابی قرار گیرد. این تحقیق با هدف تعیین مناسب‌ترین فاصله بین ردیف برای حصول به بالاترین عملکرد پنبه ارقام تیپ صفر همراه با کشت ارقام خرداد و رامین (رقم شاهد با تیپ رشدی بازتر) طی دو سال انجام شد.

مواد و روش‌ها

این پژوهش با استفاده از آزمایش فاکتوریل بر پایه طرح بلوک‌های کامل تصادفی در سه تکرار در محل ایستگاه تحقیقات کشاورزی و منابع طبیعی کاشمر طی دو سال ۱۳۹۳ و ۱۳۹۴ انجام شد. فاکتورهای آزمایش شامل رقم در چهار سطح (چهار رقم پنبه شامل دو رقم پنبه تیپ صفر به نام‌های کاشمر و خورشید، رقم خرداد با تیپ متوسط و رقم رامین با تیپ رشدی باز به عنوان شاهد) و فاصله ردیف با سه سطح (۲۰، ۴۰ و ۶۰ سانتی‌متر (شاهد) با فاصله چال کشت ثابت ۲۰ سانتی‌متر روی ردیف) بودند. شهرستان کاشمر با ارتفاع ۱۲۱۵ از سطح دریا و میانگین بارندگی ۱۸۰ میلی‌متر جزء مناطق نیمه خشک تا خشک محسوب می‌گردد. خاک محل مورد آزمایش دارای بافت سیلتی لوم بود. میانگین رطوبت خاک در حد ظرفیت زراعی و نقطه پژمردگی به ترتیب حدود ۳۴ و ۱۸/۵ درصد حجمی و وزن مخصوص ظاهری خاک ۱/۴۸ گرم در سانتی‌متر مکعب بود.

پس از آماده‌سازی زمین مورد نظر، بر اساس آزمون خاک مقادیر ۲۵۰ کیلوگرم اوره (یک سوم آن به هنگام کاشت و بقیه آن پس از تنک کردن بوته‌ها و نیز به هنگام شروع گلدهی به صورت نواری در اختیار گیاه قرار گرفت) و ۲۵۰ کیلوگرم دی‌آمونیوم فسفات به هنگام کاشت در نیمه دوم اردیبهشت به زمین اضافه شد. قبل از کشت به منظور جلوگیری از رشد عوامل قارچی، بذور با استفاده از سم کاربوکسین تیرام ضد عفنی شدند. هر تیمار در چهار ردیف ۸ متری کشت و برای آبیاری یکسان و دقیق تیمارها، از روش آبیاری قطره‌ای استفاده گردید. بدین منظور از لوله‌های آبیاری تیپ با خروجی‌هایی به فاصله ۲۰ سانتی‌متر و آبدیهی حدود چهار لیتر در ساعت در هر متر طولی و ضخامت ۳۰۰ میکرون استفاده و برای هر ردیف کاشت یک خط لوله تیپ در نظر گرفته شد و آبیاری‌ها برای تمام تیمارها به طور یکسان صورت گرفت. در طول دوره داشت، علف‌های هرز به صورت دستی حذف و مبارزه با آفات طی دو مرحله اولی و اواخر غوزه‌بندی با سوم رایج شامل اکسی دیمتون متیل (۱ لیتر در هکتار، اندوسولفان) (۱۲ لیتر در هکتار) و پیری پروکسی فن (۰/۷۵ لیتر در هکتار) انجام شد. در مرحله حداکثر گلدهی تعداد و سطح برگ (این صفت به دلیل چسبناکی زیاد ناشی از آفت سفید بالک در سال دوم، تنها در سال اول اجرا و در مرحله حداکثر غوزه‌بندی تعیین شد) اندازه‌گیری و تعیین

تأثیر سه فاصله بین ردیف ۵۰، ۶۰ و ۷۰ سانتی‌متر و سه فاصله روی ردیف ۱۵، ۲۰ و ۲۵ سانتی‌متر روی عملکرد و اجزای عملکرد پنبه رقم رامین بررسی و خاطر نشان شد افزایش تراکم موجب کاهش غیر معنی‌دار ارتفاع بوته، کاهش معنی‌دار طول شاخه‌های رویشی و تعداد غوزه در بوته، همچنین افزایش معنی‌دار عملکرد در واحد سطح و زودرسی گردید. نتایج تحقیقات انجام شده توسط محققان نشان داده است که کاشت پنبه در ردیف‌های باریک ۳۸ سانتی‌متری در برخی از آزمایشات عملکردی مشابه (Nichols *et al.*, 2004; Willcutt *et al.*, 2006; Reddy *et al.*, 2009; Buehring *et al.*, 2006; Karnei, 2005) در مقایسه با کشت در ردیف‌های پهن ۹۷ تا ۱۰۲ سانتی‌متری داشت. ردیف‌های نزدیک به هم (۱۹ تا ۲۵ سانتی‌متر) منجر به بسته شدن سریع کانوپی در مقایسه با ردیف‌های پهن می‌گردد (Robinson, 1993)، این موضوع سبب می‌شود تا جذب نور افزایش یابد (Krieg, 1996). عملکرد بادام زمینی (*Arachis hypogaea L.*) در کشت دو ردیفه با فاصله ردیف ۱۸ سانتی‌متر در روی پشتنهایی با پهنای ۹۱ سانتی‌متر بیشتر از الگوی Jordan *et al.*, 2001; Lanier *et al.*, 2004) در ذرت (*Zea mays L.*) کشت دو ردیفه با فاصله ۱۹ تا ۲۵ سانتی‌متر عملکردی کمتر (Nelson, 2007)، برابر (Sorensen *et al.*, 2006) یا بالاتر (Karlen and Camp, 1985) در مقایسه با الگوی کشت تک ردیفه داشت. همچنین در ارتباط با کشت سویا (*Glycine max L.*) گزارش شده است که کشت دو ردیفه با فاصله ۲۵ سانتی‌متر از یکدیگر عملکردی بالاتر از کشت تک ردیفه حاصل نمود (Koger, 2007). افزایش عملکرد محصول به وسیله افزایش تراکم با کاشت در ردیف‌های باریک صرف‌نظر از شرایط آب و هوایی نیز در برخی گزارش‌ها آمده است (Jost, 2001). تحقیقات انجام شده نشان داد بسته شدن سریع‌تر کانوپی باعث کاهش رشد و تکثیر علف‌های هرز شده، همچنین منجر به کاهش تبخیر و صرف‌جویی در مصرف آب و نیز افزایش جذب نور توسط برگ‌ها می‌گردد (Jost, 2000).

اصولاً کشت در ردیف‌های بسیار باریک مستلزم استفاده از ارقامی از پنبه است (ارقام تیپ صفر) که از حداقل رشد جانبی برخوردار باشند. استفاده از چنین ارقامی که از کمترین طول شاخه‌های جانبی و بهویژه شاخه‌های رویشی که در قسمت‌های تحتانی گیاه قرار دارند، امکان برداشت مکانیزه را نیز فراهم خواهد آورد. یکنواختی رسیدن و زودرسی از دیگر فاکتورهایی است که در رابطه با برداشت مکانیزه اهمیت می‌یابد. واکنش گیاهان به افزایش تراکم در رابطه با میانگین تولید در واحد سطح متفاوت است. این واکنش در بین گونه‌ها و حتی ارقام یک گونه نیز متفاوت می‌باشد. افزایش تراکم در برخی ارقام منجر به افزایش و در برخی دیگر سبب کاهش عملکرد در واحد سطح می‌گردد. لذا ضرورت می‌یابد تا عکس العمل ارقام مختلف پنبه به

بوته بیشتر و شاخه‌های رویشی و زایشی طویل تری در گیاه به وجود آیند. به طور کلی عادت رشد رویشی و توسعه افقی بیشتر ارقام ورامین و خرداد و نیز تعداد بالاتر شاخه‌های رویشی در این دو رقم نسبت به ارقام تیپ بسته، دلیل رشد طولی کمتر این ارقام در مقایسه با ارقام تیپ بسته می‌باشد. لذا کاهش فضای رشد منجر به افزایش بیشتر ارتفاع بوته در این ارقام نسبت به ارقام با تیپ رشدی صفر (تیپ بسته) شد. افزایش ارتفاع در گیاه ناشی از رقابت گیاهان برای دریافت نور بوده و از این حیث در شرایط تراکم بیشتر ارتفاع بوته افزایش می‌باید (Stewart *et al.*, 2010).

تعداد شاخه‌های رویشی و زایشی در بوته

ارقام پنبه از نظر تعداد شاخه رویشی در بوته تفاوت معنی‌داری را نشان دادند (جدول ۱ و ۲). در این خصوص در هر دو سال مورد بررسی ارقام با تیپ رویشی بازتر نسبت به ارقام با تیپ رشدی بسته از تعداد شاخه رویشی بیشتری برخوردار بودند (جدول ۴ و ۵). به طور کلی بالاترین تعداد شاخه رویشی متعلق به رقم ورامین و کمترین آن مربوط به رقم خورشید بود. در سال نخست کاهش فاصله ردیف از ۶۰ به ۴۰ سانتی‌متر، موجب شد تا تعداد شاخه‌های رویشی، در رقم کاشمر به طور معنی‌داری (۸۵/۵ درصد) افزایش و در رقم خورشید (۵۷/۳ درصد) نسبت به شاهد کاهش یابد (جدول ۱ و ۴). کاهش بیشتر فاصله ردیف تا ۲۰ سانتی‌متر سبب افزایش ۸۵/۵ درصدی شاخه‌های رویشی رقم خورشید شد (جدول ۴). در سال دوم بیشترین واکنش به تغییر فاصله ردیف مربوط به رقم خورشید بود.

در سال‌های مورد آزمایش ارقام پنبه از حیث تعداد شاخه زایشی در بوته اختلاف معنی‌داری را نشان دادند (جدول ۱ و ۲). به طور کلی ارقام تیپ بسته (صفر) نسبت به ارقام با تیپ رشدی بازتر دارای تعداد شاخه زایشی بالاتری بودند (جدول ۴ و ۵). میانگین تعداد شاخه زایشی در ارقام کاشمر، خورشید، خرداد و ورامین به ترتیب برابر با ۱۶/۲، ۱۳/۵، ۱۳/۶ و ۱۴/۱ بود. تأثیر فاصله ردیف بر تعداد شاخه زایشی در بوته تنها در سال دوم از نظر آماری معنی‌دار بود (جدول ۲). بر اساس نتایج، ارقام پنبه از نظر تعداد شاخه زایشی در بوته از واکنش متفاوت و معنی‌داری در فواصل مختلف بین ردیف برخوردار بودند (جدول ۱ و ۲). در سال نخست، با افزایش فاصله ردیف از ۲۰ به ۴۰ سانتی‌متر تعداد شاخه زایشی کاشمیر و خورشید در مقایسه با ارقام خرداد و ورامین با افزایش بیشتری همراه بود (جدول ۴). بازتر شدن فاصله ردیف‌های کاشت (تا ۶۰ سانتی‌متر) منجر به افزایش بیشتر تعداد شاخه زایشی در بوته در ارقام با تیپ رشدی بازتر در مقایسه با ارقام کاشمیر و خورشید شد (جدول ۶). در سال دوم اجرای طرح نیز واکنش ارقام به فاصله ردیف کاشت از نظر آماری متفاوت و معنی‌دار بوده و رقم کاشمیر در فاصله ردیف ۴۰ سانتی‌متر با ۲۳/۱ از بالاترین و رقم خورشید در فاصله ردیف ۶۰ سانتی‌متر با ۱۳/۶ از

شدند. همچنین در پایان دوره رشد گیاه تعداد پنج بوته به طور تصادفی انتخاب و صفات: ارتفاع بوته، تعداد غوزه در بوته، تعداد شاخه‌های رویشی و زایشی در بوته تعیین و متوسط وزن و ش از انتخاب تصادفی ۲۰ غوزه از قسمت‌های مختلف گیاه پنبه انجام شد. سطح برگ با استفاده از دستگاه اندازه‌گیری سطح برگ^۱ (مدل LI 3100C امریکا) اندازه‌گیری شد. عملکرد و ش در پایان فصل، با برداشت تمامی بوته‌ها از ۲ خط وسط و پس از حذف نیم متر از ابتدا و انتهای هر کرت انجام شد. درصد زوردرسی طی دو چین و از حاصل تقسیم وزن و ش چین اول به وزن و ش کل ضرب در ۱۰۰ به دست آمد.

آنالیز واریانس داده‌ها با استفاده از نرم‌افزارهای MSTATC و Excel مقایسه بین میانگین تیمارها با استفاده از آزمون LSD در سطح احتمال ۵ درصد انجام گرفت. علاوه بر این به منظور آزمون فرض تجانس واریانس تیمارها در سال‌های انجام پژوهش از آزمون بارتلت^۲ استفاده شد. در این ارتباط تنها داده‌های صفات ارتفاع بوته، تعداد و وزن غوزه و عملکرد و ش مجاز به ادغام بوده و مورد تجزیه مرکب قرار گرفتند.

نتایج و بحث

ارتفاع بوته

بر اساس نتایج تفاوت معنی‌داری بین ارقام پنبه از نظر صفت ارتفاع بوته در هر دو سال اجرا مشاهده شد (جدول ۱ و ۲). نتایج تجزیه مرکب نیز حاکی از تفاوت معنی‌دار ارقام در رابطه با صفت ارتفاع بوته بود (جدول ۳) و از این نظر بیشترین (۱۰۷/۵ سانتی‌متر) و کمترین ارتفاع بوته (۸۵/۸ سانتی‌متر) به ترتیب متعلق به ارقام کاشمر و ورامین بود (جدول ۸). کاهش فاصله ردیف تنها در سال اول موجب افزایش معنی‌دار ارتفاع بوته (۸/۹ درصد) در مقایسه با فواصل ردیف ۶۰ سانتی‌متر شد (جدول ۴). نتایج تجزیه مرکب حاکی از معنی‌داری تأثیر شرایط متفاوت محیطی بر رشد گیاه پنبه (ارتفاع بوته) بود. میانگین ارتفاع بوته در سال اول و دوم اجرا به ترتیب برابر با ۸۴/۴ و ۱۰۳/۲ سانتی‌متر بود. نتایج برهمکنش رقم در فاصله ردیف در سال نخست اجرا، نشان از واکنش متفاوت و معنی‌دار ارتفاع بوته ارقام پنبه در فواصل مختلف بین ردیف داشت (جدول ۱). بیشترین واکنش ارتفاع بوته به تغییر تراکم مربوط به رقم ورامین و کمترین آن مربوط به رقم کاشمیر بود. با توجه به تفاوت‌های آب و هوایی در دو سال اجرا (شکل ۱)، میانگین دما به طور نسبی بهویژه در ماه‌های ابتدایی رشد در سال دوم اجرا در مقایسه با سال اول کمتر بود که این موضوع تأثیر به سزاوی در افزایش رشد رویشی اولیه گیاه داشته و سبب شد تا گیاه با دریافت درجه روز رشد کمتر، در یک مدت مشابه زمانی، دیرتر وارد مرحله زایشی شده و با امکان رشد بیشتر رویشی، سبب شود تا ارتفاع

1- Leaf Area Meter

2- Bartllet

کمترین تعداد شاخه زایشی در بوته برخوردار بودند (جدول ۷).

جدول ۲- تجزیه واریانس (میانگین مربوطات) اجزای عملکرد و عملکرد بینه (۱۳۹۴)

S.O.V	منابع تغییر	درجه آزادی d.f	ارتفاع بوته Plant height	تعداد شاخه روشی No of monopodia branch	تعداد شاخه زایشی No of sympodia branch	تعداد گره Node.plant ¹	تعداد غوزه در شاخه روشی No of holl.monopodia branch ¹	تعداد غوزه در شاخه زایشی No of holl.sympodia branch ¹	تعداد غوزه در بوته No of bolls.plant ¹	وزن گوزه Boll weight	عملکرد Yield
کمتر	Replication	2	364.769 ^{n.s}	0.163 ^{n.s}	1.734 ^{n.s}	9.738 ^{n.s}	0.698 ^{n.s}	20.49 ^{n.s}	17.035 ^{n.s}	0.437 ^{n.s}	7662053.861 n.s
Cultivar (ق)	Cultivar	3	911.147**	4.502**	42.858**	38.977*	11.425**	6.652 ^{n.s}	29.26**	2.101**	966047.556 n.s
فاصله ردف	فاصله ردف	2	144.810 ^{n.s}	0.097 ^{n.s}	16.275**	6.177 ^{n.s}	20.956**	8.873 ^{n.s}	54.934**	0.025 ^{n.s}	67788233.694**
(RS)	Row Space	2									
فاصله ردف × رقم	C × RS	6	47.781 ^{n.s}	1.003**	15.019**	4.251 ^{n.s}	8.391**	0.613 ^{n.s}	7.930 ^{n.s}	0.229 ^{n.s}	1862345.250*
Error خطا	Error	22	145.78	0.095	2.362	10.054	0.248	5.264	5.448	0.16	601933.861
ضریب تغییرات	C.V (%)	-	11.7	15.2	8.3	14.2	18.3	12.8	11.9	7.2	12.0

n.s * and ** are non-significant and significant at 5% and 1% respectively.

n.s

*

**

جدول ۳- تجزیه واریانس (میانگین مربعات) اجزاء عملکرد و عملکرد پنبه (۱۳۹۴-۱۳۹۳)

Table 3- Analysis of variance (mean of squares) of yield components and yield of cotton (2014-2015)

S.O.V	منابع تغییر	d.f	درجه آزادی	ارتفاع بوته	تعداد غوزه در بوته	وزن و ش غوزه	عملکرد
			Plant height	No of boll/plant ⁻¹	Boll weight		Yield
Year (Y)	سال	1	6348.767**	348.920**	0.405 ns	22080891.932**	
Year×Replication (R)	سال×تکرار	4	255.940*	18.643*	0.258 ns	574932.849 ns	
Cultivar (C)	رقم	3	1618.009**	17.075*	0.406 ns	1810970.771**	
Y × C	سال×رقم	3	169.323 ns	14.362 ns	2.285**	950415.473 ns	
Row Space (RS)	فاصله ردیف	2	210.170 ns	42.317**	0.053 ns	121048147.729**	
Y × RS	سال×فاصله ردیف	2	133.001 ns	23.201**	0.161 ns	1318970.268*	
C × RS	رقم×فاصله ردیف	6	49.963 ns	11.754 ns	0.311 ns	2774694.166**	
Y×C×RS	سال×رقم×فاصله ردیف	6	191.809 ns	21.908**	0.469 ns	983803.411*	
Error	خطا	44	91.734	5.546	0.212	409769.545	
C.V (%)	ضریب تغییرات	-	10.2	13.5	8.4	10.9	

ns, * and ** به ترتیب غیر معنی دار و معنی دار در سطح ۵ و ۱ درصد.

و خورشید نسبت به ارقام ورامین و خرداد کمتر بود (جدول ۴). همچنین تفاوت معنی داری در ارتباط با سطح برگ در ارقام پنبه مشاهده شد (جدول ۱). از این حیث رقم ورامین از بالاترین سطح برگ در بوته نسبت به سایر ارقام برخوردار بود (جدول ۴). با توجه به نتایج بدست آمده سطح برگ تک بوته در رقم ورامین ۰/۴۱ متر مربع، در حالی که این مقدار برای ارقام کاشمر و خورشید به ترتیب ۰/۲۶ و ۰/۳۲ متر مربع بود که حاکی از اختلاف معنی دار بین ارقام از حیث این صفت بود. بیشترین تعداد و سطح برگ در ردیف های پهن تر به دست آمد (جدول ۴).

اثر متقابل رقم و فاصله بین ردیف در ارتباط با صفت تعداد برگ در بوته غیر معنی دار و در ارتباط با صفت سطح برگ معنی دار بود (جدول ۱). بالاترین تعداد برگ در بوته متعلق به رقم خرداد در فاصله ردیف ۴۰ سانتی متر و کمترین آن مربوط به رقم کاشمر در فاصله ردیف ۲۰ سانتی متر بود (جدول ۶). در اکثر ارقام پنبه مورد بررسی پایین ترین تعداد برگ در بوته، در کمترین فاصله ردیف کاشمر مشاهده شد. اثر متقابل رقم و فاصله ردیف در رابطه با صفت سطح برگ معنی دار بود (جدول ۱ و ۶). تغییر فاصله ردیف از ۲۰ به ۴۰ سانتی متر در رقم ورامین سبب کاهش ۱۳/۲ درصدی سطح برگ و در ارقام خرداد، کاشمر و خورشید به ترتیب سبب افزایش ۳۴، ۳۲/۳ و ۳۱ درصدی سطح برگ گیاه شد. تعداد و سطح برگ فاکتوری با اهمیت در سنتز اسپیلات ها برای رشد و تولید محصول است. از این نظر تعداد و سطح بالاتر برگ در بوته و در واحد سطح زمین در ارقام ورامین و خرداد می تواند یکی از عوامل مؤثر در محصول بالاتر این ارقام باشد. غیر معنی دار بودن اثر متقابل رقم و فاصله بین ردیف در ارتباط با صفت تعداد برگ در بوته حاکی از این موضوع است که تنها طول شاخه های رویشی و یا زایشی تغییر نموده است و تأثیری بر تعداد گره نداشته است.

به طور کلی اهمیت نسبی شاخه های رویشی در ارقام تیپ صفر کمتر از ارقامی چون ورامین و خرداد است زیرا اولاً تعداد آنها به مراتب کمتر از ارقام با تیپ رشدی بازتر است، ثانیاً تعداد غوزه ایجاد شده در این شاخه ها در مقایسه با رقم ورامین کمتر است. بر عکس در رقم ورامین که تیپ رشدی بازتر دارد، در فاصله ردیف های بازتر، شاخه های رویشی امکان رشد یافته و ممکن است تا ۱۵ درصد از کل غوزه تولیدی در بوته مربوط به این شاخه ها باشد. لذا کاهش فاصله ردیف به ویژه در ارقامی چون ورامین منجر به کاهش طولی شاخه های رویشی و کاهش قابل ملاحظه تعداد غوزه در آنها می گردد که با نتایج Mehrabadi (1999) همخوانی داشت. از نظر خصوصیات مرفولوژیک، جمعیت های گیاهی متراکم تر در گیاه پنبه، منجر به تولید گیاهان فشرده تری می شود. به عبارت دیگر این روش کاشت باعث ایجاد ارتفاع بیشتر، شاخه های رویشی و زایشی کوتاه تر و حضور غوزه ها در قسمت بیرونی گیاه می گردد. علاوه بر این با توجه به سهم بالای شاخه های زایشی نسبت به شاخه های رویشی در گیاه پنبه، در نتیجه عملکرد محصول غوزه های رشد یافته در شاخه های زایشی است. از این رو شاخه های زایشی بیشترین سهم (بین ۷۵ تا ۹۵ درصد) از غوزه های ایجاد شده در بوته را دارند. Mehrabadi and Afshar (2005) همبستگی معنی دار بین تعداد شاخه های زایشی و عملکرد ($r=0.69^{*}$) را گزارش کردند. آنها همچنین خاطر نشان نمودند گیاهانی که ارتفاع بیشتری داشتند، تعداد شاخه زایشی در آنها بیشتر ($r=0.82^{**}$) و بوته های با تعداد شاخه زایشی بیشتر، غوزه بیشتری را به وجود آورند ($r=0.59^{*}$).

تعداد و سطح کل برگ در بوته
ارقام پنبه از نظر تعداد کل برگ در بوته از اختلاف معنی داری برخوردار بوده (جدول ۱) و تعداد برگ در بوته ارقام تیپ صفر کاشمر

جدول ۴- میانگین صفات روشی، عماکرد و اجزاء عماکرد در ارقام پنجه و فاصله ردیف‌های کاشت (۱۳۹۳)

Treatments	تیمار	ارتفاع بوته Plant height (cm)	تعداد شاخه روشی No of monopodia branch	تعداد شاخه روشی No of sympodia branch	تعداد برگ No of leaf/plant ^a	مقطع کل برگ Leaf area/plant ^a (cm ²)	تعداد غوجه در بوته No of boll/plant ^a	تعداد غوجه در گزنه No of boll,plant ^a	وزن گزنه Boll weight (g)	عماکرد kg.ha ⁻¹
Varamin	ورامین	73.4	4.3	8.9	57.2	4068.4	15.9	5.1	5353.0	
Khordad	خرداد	82.2	2.8	10.5	71.6	3824.2	14.9	5.5	5352.4	
Kashmar	کاشمر	97.4	1.5	10.8	35.6	3215.7	15.6	5.4	5875.6	
Khorshid	خورشید	84.6	1.3	10.6	38.0	2618.8	15.1	5.7	4782.0	
LSD _(5%)		6.0	0.8	1.2	9.3	628.4	2.4	0.7	456.0	
Row space فاصله ردیف										
20		87.3	2.8	9.8	45.8	3197.8	15.9	5.5	7659.3	
40		86.1	2.3	10.3	53.5	3589.3	14.3	5.5	4900.3	
60		79.8	2.3	10.5	52.5	3508.3	15.9	5.3	3462.8	
LSD _(5%)		5.2	0.7	1.1	8.0	544.2	0.4	0.4	394.9	

جدول ۵- میانگین صفات روشی، عماکرد و اجزاء عماکرد در ارقام پنجه و فاصله ردیف‌های کاشت (۱۳۹۴)

Treatments	تیمار	ارتفاع بوته Plant height (cm)	تعداد شاخه روشی No of monopodia branch	تعداد شاخه روشی No of sympodia branch	تعداد غوجه در No of leaf/plant ^a	تعداد غوجه در No of boll,monopodia branch	تعداد غوجه در No of boll,branch	تعداد غوجه در No of boll,plant ^a	وزن گزنه Boll weight (g)	عماکرد kg.ha ⁻¹
Varamin	ورامین	98.2	2.0	18.3	21.9	2.8	18.6	21.4	6.3	6689.2
Khordad	خرداد	102.1	3.0	17.6	21.9	2.6	18.4	21.0	5.4	6747.4
Kashmar	کاشمر	117.6	1.7	21.5	25.2	0.4	17.8	18.2	5.3	6297.4
Khorshid	خورشید	94.8	1.4	16.4	20.2	1.2	16.7	18.0	5.3	6058.8
LSD _(5%)		11.8	0.3	1.5	3.1	0.5	2.2	2.3	0.4	758.5
20		100.7	2.1	17.8	21.5	1.0	17.1	18.1	5.6	9155.1
40		107.1	2.1	19.8	22.9	1.0	17.7	18.8	5.5	5486.8
60		101.7	1.9	17.8	22.4	3.3	18.8	22.1	5.6	4702.8
LSD _(5%)		10.2	0.3	1.3	2.7	0.4	1.9	2.0	0.3	656.9

جدول ۶- مقایسه میانگین اثر متقابل فواصل ریشه‌ی و عملکرد اجزای عملکرد ارقام پنبه (۱۳۹۳)

Treatments	تیمار	ارتفاع بوته Plant height (cm)	تعداد شاخه زانشی No of monopodia branch	تعداد شاخه ریشه‌ی No of sympodia branch	تعداد برگ No of leaves plant ⁻¹	سطح کل برگ Leaf area plant ⁻¹ (cm ²)	تعداد غوزه در برگ No of boll leaf plant ⁻¹	تعداد غوزه در بُونه No of boll plant ⁻¹	وزن وسیعه غوزه Boll weight (g)	عملکرد (kg.ha ⁻¹)
20 × Varamin	86.3	5.3	9.9	63.0	5038.3	18.8	5.2	8599.0		
40 × Varamin	70.3	3.5	6.8	63.0	3510.7	13.2	5.1	4291.3		
60 × Varamin	63.7	4.0	10.0	54.0	3656.3	15.7	5.1	3168.7		
20 × Khordad	73.3	2.3	10.2	58.7	2948.7	15.5	5.5	6506.3		
40 × Khordad	92.3	3.2	10.3	78.7	4190.3	14.3	5.1	5538.0		
60 × Khordad	81.3	2.8	11.0	77.3	4333.7	14.8	5.8	4013.0		
20 × Kashmar	100.0	1.3	10.2	30.0	2624.3	11.5	5.7	8003.0		
40 × Kashmar	97.2	2.2	12.3	39.7	3764.3	17.0	5.5	5453.7		
60 × Kashmar	95.2	1.2	9.8	37.0	3258.3	18.3	5.0	4170.0		
20 × Khorshid	89.7	2.2	8.8	31.3	2179.7	17.8	5.5	7228.7		
40 × Khorshid	84.7	0.5	11.8	41.0	2891.7	12.7	6.4	4318.0		
60 × Khorshid	79.3	1.2	11.0	41.7	2785.0	14.8	5.2	2499.3		
LSD _{5%}	10.4	1.3	2.1	16.1	1088.0	4.1	0.9	789.9		

(جدول ۱ و ۴)، بیشترین (۱۸/۸) و کمترین (۱۱/۵) تعداد غوزه در

بوته به ترتیب در ارقام ورامین و کашمر در فاصله ریف ۲۰ سانتی‌متر

تعداد غوزه در بُونه

تأثیر فاصله بین ریف بر تعداد غوزه ارقام پنبه معنی‌دار بود

عملکرد و ش

در سال نخست، ارقام از حیث عملکرد و ش تفاوت معنی‌داری را نشان دادند (جدول ۱). در مجموع، عملکرد ارقام تیپ بسته کاشمر و خورشید کمتر از ارقام با تیپ رشدی بازتر ورامین و خرداد بود (جدول ۴). نتایج سال دوم نشان داد علی‌رغم برتری ۹ درصدی عملکرد ارقام ورامین و خرداد نسبت به ارقام تیپ بسته با این وجود تفاوت معنی‌داری بین ارقام مشاهده نشد. در سال نخست با کاهش فاصله ردیف، عملکرد به‌طور معنی‌داری افزایش پیدا نمود. این افزایش برای فاصله ردیف‌های ۴۰ و ۲۰ سانتی‌متر به‌ترتیب برابر ۳/۵۶ و ۲/۱۲ میزان افزایش عملکرد در سال درصد نسبت به شاهد بود (جدول ۴). به‌نظر می‌رسد بالاتر بودن دوم در فاصله ردیف‌های ۴۰ و ۲۰ سانتی‌متر به‌ترتیب برابر ۹/۶۶ و ۷/۹۴ درصد نسبت به شاهد بود (جدول ۵). به‌نظر می‌رسد بالاتر بودن بیشینه دما در ماه‌های مرداد تا اواسط آبان (به‌ویژه مرداد تا اواخر شهریور) سبب شد تا مقدار تبخیر و تعرق در فاصله ردیف‌های پهن‌تر افزایش پیدا نموده و گیاه در معرض تنفس جزئی خشکی و گرمایی قرار گیرد. این تنفس تأثیر به‌سزایی در میزان خشکیدگی و یا ریزش غنچه و غوزه‌های جوان داشته و منجر به کاهش تعداد غوزه در بوته در این تیمارها در مقایسه با فاصله ردیف‌های باریک‌تر شد. در سال نخست وجود دمای بالاتر در زمان جوانه‌زنی سبب خروج سریعتر گیاهچه از خاک شده و پس از آن تداوم دماهای کمتر در طی دوره رشد رویشی منجر به ایجاد ساختارهای بیشتر مولد گل و غوزه شد. در عوض در طول دوره رسیدگی غوزه‌ها، بیشینه دمای پایین‌تر در سال دوم در مقایسه با سال اول سبب شد تا غوزه فرصت بیشتری برای پر شدن پیدا نموده و وزن غوزه افزایش یابد. ضمن این که پایین‌بودن دماهای حدکث در فاصله شهریور تا اواخر آبان منجر به کاهش تنفس وارد به گیاه و در نتیجه کاهش ریزش غوزه‌ها در گیاه شد. مجموعه عوامل یاد شده سبب شد تا میانگین عملکرد در سال دوم بالاتر از سال نخست اجرای طرح باشد.

واکنش عملکرد ارقام در فواصل مختلف ردیف در سال نخست معنی‌داری بوده (جدول ۴) و کمترین (٪۳۱) و بیشترین (٪۲۰۱) تغییرات عملکرد، به‌ترتیب در ارقام کاشمر در فاصله ردیف ۴۰ سانتی‌متر و خورشید در فاصله ردیف ۲۰ سانتی‌متر مشاهده شد (جدول ۶)، بالاترین عملکرد و ش ۸۵۹۹ کیلوگرم در هکتار (متصل به رقم ورامین در فاصله ردیف ۲۰ سانتی‌متر و کمترین آن ۲۴۹۹ کیلوگرم در هکتار) مربوط به رقم خورشید و در فاصله ردیف ۶۰ سانتی‌متر بود (جدول ۶). در سال دوم عملکرد ارقام پنهانه در فواصل مختلف ردیف از تفاوت معنی‌داری برخوردار بودند (جدول ۴). میزان افزایش عملکرد در این رقم (خورشید) در فاصله ردیف ۴۰ سانتی‌متر ۷/۵ درصد و در فاصله ردیف ۲۰ سانتی‌متر ۷/۱۴۵ درصد بود. درصد افزایش عملکرد و ش در بالاترین تراکم برای ارقام ورامین، خرداد و

مشاهده شد. همچنین کمترین و بیشترین واکنش در رابطه با تغییر تعداد غوزه در بوته در فواصل مختلف بین ردیف در ارقام خرداد و کاشمر مشاهده شد. در سال دوم اختلاف معنی‌داری بین ارقام در رابطه با تعداد غوزه در بوته مشاهده شد (جدول ۲ و ۵). بر اساس نتایج، کاشت در ردیف‌های پهن‌تر منجر به افزایش معنی‌دار تعداد غوزه تولید شده در بوته شد. نتایج نشان داد افزایش تعداد غوزه در بوته بیشتر در رابطه با افزایش تعداد غوزه در شاخه‌های رویشی است تا شاخه‌های زایشی (جدول ۲ و ۵). نتایج تجزیه مرکب نشان داد ارقام مورد بررسی از حیث تعداد غوزه در بوته از اختلاف معنی‌داری برخوردار بوده (جدول ۳) و از این نظر ارقام ورامین و رقم خورشید بیشترین و کمترین تعداد غوزه در بوته را تولید نمودند (جدول ۸). به‌طور کلی تعداد غوزه در بوته ارقام تیپ صفر در این پژوهش حدود ۹ درصد کمتر از ارقام با تیپ رشدی بازتر بود. تاثیر فاصله ردیف بر صفت تعداد غوزه معنی‌دار بود، به‌طوری که با پهن‌تر شدن ردیف‌های کاشت، تعداد غوزه در گیاه افزایش پیدا کرد (جدول ۳ و ۸). علی‌رغم برتری ارقام تیپ صفر در رابطه با شاخه‌های زایشی با این وجود تعداد بیشتر غوزه در شاخه‌های زایشی ارقام ورامین و خرداد، تعداد کمتر شاخه‌های زایشی را در این ارقام در مقایسه با ارقام تیپ صفر جبران کرد (داده‌ها گزارش نشده‌اند). افزایش تعداد شاخه‌های زایشی در فاصله ردیف‌های بازتر از یک طرف نتیجه افزایش نفوذ نور مؤثر در فتوستتر و در نهایت افزایش رشد طولی میانگرهای و نیز تعداد گره در بوته (داده‌های گزارش نشده) و از طرف دیگر به دلیل رقابت کمتر گیاه در رابطه با جذب آب و عناصر غذایی می‌باشد. با افزایش فضای بین گیاهان، شاخه‌های رویشی فرصت رشد بیشتری یافته و موجب شدن گلهای گل رشد یافته روی آنها امکان تلقیح و غوزه‌بندی را پیدا نمایند. با این وجود با توجه به کوتاه بودن ذاتی شاخه‌های رویشی و زایشی در ارقام تیپ صفر، این ارقام در مقایسه با ارقام ورامین و خرداد واکنش کمتری به تغییر فاصله بین ردیف در ارتباط با صفت تعداد غوزه در بوته نشان دادند.

وزن غوزه

وزن و ش غوزه ارقام مورد بررسی تنها در سال دوم اجرای طرح تفاوت معنی‌داری داشت (جدول ۲). نتایج میانگین دوساله نیز تفاوت معنی‌داری را در رابطه با اختلاف موجود بین ارقام نشان نداد. همچنین تغییر فاصله ردیف تأثیر معنی‌داری بر وزن و ش نداشت (جدول ۳ و ۸). در سال اول اجرا با توجه به بالا بودن نسبی دمای بیشینه در طول دوره غوزه‌بندی و رسیدگی (اواخر مرداد تا آبان ماه) وزن و ش غوزه در مقایسه با سال دوم کمتر بود که البته از نظر آماری معنی‌دار نبود.

همبستگی معنی‌داری بین عملکرد با تعداد شاخه زایشی وجود دارد ($r=0.4^{*}$ ، لذا عملکرد بالاتر رقم کاشمر می‌تواند نتیجه تعداد بیشتر شاخه زایشی در بوته این رقم باشد. علاوه بر این همان‌گونه که قبلاً نیز اشاره شد نتایج تحقیقات گذشته (Mehrabadi, 1999) نشان داده است که ارتفاع بیشتر بوته عملکرد بالاتر محصول را به دنبال دارد. از این نظر ارتفاع بالاتر رقم کاشمر در مقایسه با دیگر ارقام مورد بررسی می‌تواند دلیل دیگر برتری عملکرد در این رقم باشد.

کاشمر به ترتیب: ۱۱۱/۵، ۵۶/۱ و ۸۱/۲ درصد بود. همچنین کمترین ۴۰۲۷ کیلو گرم در هکتار) و بالاترین عملکرد (۹۸۹۳ کیلوگرم در هکتار) از کاشت در فاصله ردیف‌های ۶۰ و ۲۰ سانتی‌متر و در رقم خورشید بدست آمد (جدول ۷). بهطور کلی میزان افزایش عملکرد وش در فاصله ردیف ۲۰ سانتی‌متر در ارقام تیپ صفر بیشتر از ارقام ورامین و خرداد بود. نتایج بدست آمده نشان داد که ارقام مورد بررسی از تفاوت محسوسی در رابطه با عملکرد برخوردارند. در مرحله نخست، این اختلاف ناشی از تفاوت‌های ساختاری، مرفولوژیک و فیزیولوژیک موجود بین ارقام بود. نتایج سال نخست مشخص کرد که فیزیولوژیک موجود بین ارقام بود.

جدول ۷- اثر فواصل ردیف بر صفات رویشی و عملکرد و اجزای عملکرد ارقم پنبه (۱۳۹۴)

Table 7-The effect of rows spacing on vegetative traits, yield and yield components of cotton cultivars (2015)

Treatment	Plant height (cm)	ارتفاع بوته	تعداد شاخه رویشی No of monopodia branch	تعداد شاخه زایشی No of sympodia branch	تعداد غوزه		تعداد غوزه در شاخه زایشی No boll. monopodia branch ⁻¹	تعداد غوزه در بوته No boll. plant ⁻¹	وزن غوزه Boll weight (g)	عملکرد (kg.ha ⁻¹)
					در	در				
20 × Varamin	91.4	2.0	18.1	0.6	18.0	18.6	6.1	9369.0		
40 × Varamin	103.3	2.1	20.3	0.7	18.6	19.3	6.4	6299.0		
60 × Varamin	99.9	1.9	16.5	7.1	19.2	26.3	6.3	4429.7		
20 × Khordad	102.6	2.8	18.1	1.5	17.4	18.9	5.4	8717.3		
40 × Khordad	101.0	3.1	15.9	2.5	18.0	20.5	5.4	5939.0		
60 × Khordad	102.7	3.2	18.9	3.8	19.9	23.7	5.4	5585.0		
20 × Kashmar	115.7	1.5	19.2	0.4	17.4	18.0	5.2	8640.0		
40 × Kashmar	122.5	1.5	23.1	0.3	17.6	17.9	5.1	5483.0		
60 × Kashmar	114.5	2.2	22.2	0.6	18.3	18.9	5.6	4769.3		
20 × Khorshid	93.1	2.0	15.7	1.3	15.6	16.9	5.7	9893.0		
40 × Khorshid	101.7	1.7	19.9	0.7	16.7	17.5	5.2	4256.3		
60 × Khorshid	89.5	0.3	13.6	1.7	17.9	19.5	5.0	4027.0		
LSD _(5%)	20.4	0.5	2.6	0.8	3.9	4.0	0.9	1314.0		

عملکرد وش متعلق به ارقام خورشید و خرداد بود (جدول ۸). همچنین بیشترین عملکرد وش (۸۹۸۴ کیلوگرم در هکتار) متعلق به رقم ورامین در فاصله ردیف ۲۰ سانتی‌متر و کمترین آن (۳۲۶۳ کیلوگرم در هکتار) در فاصله ردیف ۶۰ سانتی‌متر و در رقم خورشید حاصل آمد (جدول ۸). بیشترین افزایش عملکرد حاصل از کشت متراکم با ۱۶۷ (جدول ۸)، بیشترین افزایش عملکرد حاصل از کشت متراکم با ۱۳۶، ۸۶ و ۵۹ درصد به ترتیب متعلق به ارقام کاشمر، ورامین، خورشید و خرداد بود. بهطور کلی در بیشتر حالات افزایش تراکم بوته تا تراکم بهینه موجب افزایش عملکرد محصول می‌شود. در این پژوهش نیز افزایش تراکم از ۸۳۰۰ بوته در فاصله بین ردیف ۶۰ سانتی‌متر به ۱۲۵۰۰ و ۲۵۰۰۰ بوته به ترتیب در فاصله‌های بین ردیف ۴۰ و ۲۰ سانتی‌متر موجب افزایش معنی‌دار عملکرد شد. افزایش عملکرد پنبه در نتیجه افزایش تراکم حاصله از کشت در ردیف‌های باریک و بسیار باریک در تحقیقات انجام شده (Galanopoulos-Sendouka *et al.*, 1980) گزارش شده است. با توجه به نتایج به دست آمده مشخص شد که افزایش عملکرد در ارقام

نتایج تجزیه مرکب حاکی از تفاوت معنی‌دار عملکرد وش در سال‌های مورد بررسی بود. عملکرد وش در سال دوم حدود ۲۰/۷ درصد بیشتر از سال نخست اجرا بود. بر اساس نتایج دو ساله تفاوت بین ارقام از نظر عملکرد وش معنی‌دار و رقم کاشمر در مجموع با ۶۰/۸ کیلوگرم در هکتار نسبت به سایر ارقام پنبه بهویژه رقم خورشید برتری داشت (جدول ۵ و ۸). تفاوت بین عملکرد وش در فواصل مختلف بین ردیف از نظر آماری معنی‌دار بوده (جدول ۵) و از این حيث بالاترین عملکرد در فاصله ردیف ۲۰ سانتی‌متر به دست آمد (جدول ۸). درصد افزایش عملکرد در فاصله ردیف ۴۰ و ۲۰ سانتی‌متر به ترتیب ۲۷/۲ و ۱۰/۶ درصد نسبت به فاصله ردیف ۶۰ سانتی‌متر بود.

اثر متقابل رقم و فاصله ردیف از نظر آماری معنی‌دار بود (جدول ۵). بیشترین و کمترین درصد افزایش عملکرد وش در فاصله ردیف ۴۰ سانتی‌متر به ترتیب متعلق به ارقام ورامین و خورشید بود. در حالی که در فاصله ردیف ۲۰ سانتی‌متر، بیشترین و کمترین افزایش

نسبت به ارقام با تیپ رشدی بازتر چون ورامین و خرداد که طول شاخه‌های رویشی و زایشی در آنها بسته به فضای موجود تغییر می‌باید بسیار بیشتر است. این موضوع در سال اول و دوم اجرا به‌ویژه در بالاترین تراکم ایجاد شده مشاهده شد.

نتیجه‌گیری

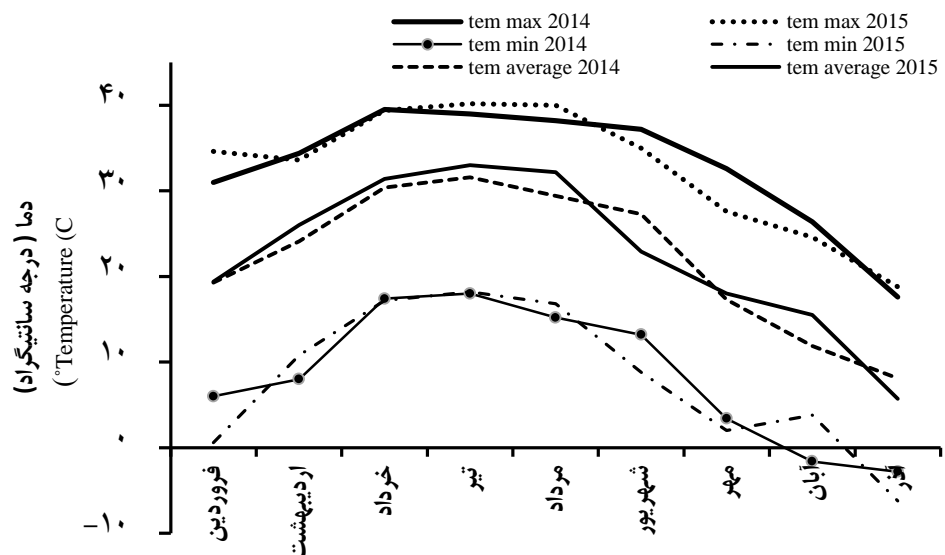
ارقام تیپ صفر پنهه از نظر عملکرد مطلوب بوده و کاشت آنها در ردیف‌های بسیار باریک، اقتصادی‌تر است. از آنجایی‌که ارقام تیپ صفر دارای رشد و توسعه شاخ و برگ زیادی نمی‌باشند لذا کاشت آنها در فاصله ردیف‌های بازتر (۶۰ تا ۹۰ سانتی‌متر) منجر به از دست رفتن مقادیر متنابه‌ی از انرژی تشعشعی و تلفات آب به صورت تبخیر سطحی از خاک می‌گردد. از مزایای این ارقام برداشت مکانیزه آنها می‌باشد.

پنهه در تراکم بالا نتیجه افزایش تعداد غوزه در واحد سطح بوده است. هرچند که تعداد شاخه‌های بارور رویشی و زایشی در هر بوته کاهش نشان داده بود (جدول ۴). همچنین در سال دوم اجرا به‌طور مشخص، علی‌رغم کاهش تعداد غوزه در شاخه‌های رویشی و زایشی، افزایش تعداد غوزه در واحد سطح منجر به افزایش عملکرد پنهه شد (جدول ۵). نتایج همچنین نشان داد که روند تغییر عملکرد در تمامی ارقام با کاهش فاصله بین ردیف (افزایش تراکم)، افزایشی است. با این وجود واکنش برخی از ارقام چون کاشمر به افزایش تراکم، بیشتر از سایر ارقام بود. در این خصوص می‌توان چنین استنباط نمود، از آنجایی‌که در ارقام تیپ صفر شاخه‌های رویشی و زایشی رشد جانبی چندانی ندارند، لذا این ارقام اولاً به دلیل رشد کم شاخه‌های جانبی توان استفاده بهینه را از فضای بوجود آمده نداشته و ثانیاً به‌دلیل کوتاهی ذاتی، شاخه‌ها توانایی تولید بیشتر اندام‌های بارور چون گل و غوزه را ندارند. لذا در اثر تغییر تراکم بوته میزان واکنش عملکرد در این ارقام

جدول ۸- مقایسه میانگین صفات رویشی، عملکرد و اجزای عملکرد در ارقام پنهه و فواصل ردیف کاشت (۱۳۹۳-۱۳۹۴)

Table 8-Mean comparison of vegetative traits, yield and yield components in cotton cultivars and planting rows spacing (2014-2015)

Treatment	ارتفاع بوته Plant height (cm)	تعداد غوزه در بوته No boll/plant ⁻¹	وزن وسیع غوزه Boll weight (g)	عملکرد (kg.ha ⁻¹)
Varamin ورامین	85.8	18.6	5.7	6021.1
Khordad خرداد	92.2	17.9	5.4	6049.9
Kashmar کاشمر	107.5	16.9	5.4	6086.4
Khorshid خورشید	89.7	16.4	5.5	5420.3
LSD _(5%)	6.4	1.6	0.4	430.0
20	94.0	16.9	5.5	847.1
40	96.6	16.5	5.5	5193.5
60	90.7	19.0	5.5	4082.7
LSD _(5%)	6.7	1.4	0.3	372.4
20 × Varamin	88.9	18.7	5.6	8984.0
40 × Varamin	86.8	16.1	5.8	5280.1
60 × Varamin	81.8	21.0	5.8	3799.2
20 × Khordad	88.0	17.1	5.5	7612.3
40 × Khordad	96.7	17.4	5.3	5738.4
60 × Khordad	91.8	19.2	5.6	4789.9
20 × Kashmar	107.8	14.7	5.5	8321.5
40 × Kashmar	109.8	17.4	5.3	5468.2
60 × Kashmar	104.8	18.6	5.3	4469.6
20 × Khorshid	91.4	17.3	5.6	8710.8
40 × Khorshid	93.2	14.9	5.8	4287.2
60 × Khorshid	84.4	17.1	5.1	3263.1
LSD _(5%)	11.1	2.7	0.5	744.8



شکل ۱- کمینه، بیشینه و متوسط دما در دوره رشد پنبه در سال‌های ۱۳۹۴ و ۱۳۹۳

Figure 1- Minimum, maximum and average temperature during cotton growth in 2014 and 2015

References

1. Buehring, N. W., Willcutt, M. H., Columbus, E. P., Phelps, J. B., and Ruscoe, A. F. 2006. Yield and plant characteristics as influenced by spindle picker narrow and wide row patterns; three years progress report. p. 1864-1870. In Proc. Belt wide Cotton Conf., San Antonio, TX. 3-6 Jan. 2006. Natl. Cotton. Counc. Am., Memphis, TN.
2. Culpepper, A. S., and York, A. C. 2000. Weed management in Ultra narrow row cotton (*Gossypium hirsutum*). Weed Technology 14: 19-29.
3. Fowler, J., and Ray, L. L. 1977. Response of two cotton genotypes to five equidistance patterns. Agronomy Journal 69: 733-738.
4. Galanopoulou-Sendouka, S., Sfican, A. G., Fotiadis, N. A., Gagianas, A. A., and Gerakis, P. A. 1980. Effect of population density, planting date, and genotype on plant growth and development of cotton. Agronomy Journal 72: 347-352.
5. Jordan, D. L., Beam, J. B., Johnson, P. D., and Spears, J. F. 2001. Peanut response to prohexadione calcium in three seeding rate-row pattern planting systems. Agronomy Journal 93: 232-236.
6. Jost, P. H. 2000. Growth and yield comparisons of cotton planted in conventional and ultra-narrow row spacing. Crop Science 40: 430-435.
7. Jost, P. H. 2001. Phenotypic alternations and crop maturity differences in ultra-narrow and conventional spaced cotton. Crop Science 41: 1150-1159.
8. Karlen, D. L., and Camp, C. R. 1985. Row spacing, plant population, and water management effects on corn in the Atlantic coastal plain. Agronomy Journal 77: 393-398.
9. Karnei, J. R. 2005. The agronomics and economics of 15-inch cotton. p. 601. In Proc. Beltwide Cotton Conf., New Orleans, LA. 4-7 Jan. 2005. Natl. Cotton Counc. Am., Memphis, TN.
10. Koger, C. 2007. Effect of soybean row spacing on yield: twin-row vs. narrow- and wide-rows. p. 61. In Proc. 10th Annual National Conservation Systems Cotton and Rice Conf. Houston, TX. 29-30 Jan. 2007. Mid America Farm Publications, Perryville, MO.
11. Krieg, D. R. 1996. Physiological aspects of ultra-narrow row cotton production. p. 66. In Proc. Belt wide Cotton Conf., Nashville, TN. 9-12 Jan. 1996. Natl. Cotton Counc. Am., Memphis, TN.
12. Lanier, J. E., Jordan, D. L., Spears, J. F., Wells, R., Johnson, P. D., Barnes, J. S., Hurt, C. A., Brandenburg, R. L., and Bailey, J. E. 2004. Peanut response to planting pattern, row spacing and irrigation. Agronomy Journal 96: 1066-1072.
13. Mehrabadi, H. R. 1999. Survey of the effect of between and on row space in two irrigation methods on quantitative and qualitative traits of Varamin cotton cultivar. Report final of Agricultural and National Resource Research of Khorasan Razavi.
14. Mehrabadi, H. R., and Afshar, H. 2005. Effects of different methods of irrigation of furrows on water use, yield and yield components of cotton. Journal of Agricultural Research, Seed and Plant 21: 269-285. (in Persian with English abstract).

15. Nelson, K. A. 2007. Glyphosate application timings in twin- and single-row corn and soybean spacing. *Weed Technol.* 21:186-190.
16. Nichols, S. P., Snipes, C. E., and Jones, M. A. 2004. Cotton growth, lint yield, and fiber quality as affected by row spacing and cultivar. *J. Cotton Sci.* 8: 1-12 [Online]. Available at: <http://www.cotton.org/journal/2004-08/1/> (verified 15 May 2009).
17. Ray, L. L. 1971. Narrow row-high population cotton, Research resals in plains area. 1971. Belt wide production-Mechanization conference. P: 54-56.
18. Reddy, K. N., Burke, I. J., Boykin, J. C., and Williford, J. R. 2009. Narrow-Row Cotton Production under Irrigated and Non-irrigated Environment: Plant Population and Lint Yield. *The Journal of Cotton Science* 13: 48-55.
19. Roche, R., and Bange, M. 2006. Do Ultra-Narrow Row Cotton Systems Offer Any Benefit to Australian Farmers? CSIRO Plant Industry, Cotton Catchment Communities Cooperative Research Centre: http://www.regional.org.au/au/asa/2006/concurrent/systems/4568_rocher.htm?
20. Robinson, J. R. C. 1993. Narrow row cotton: economics and history. p. 133–137. In Proc. Belt wide Cotton Conf., New Orleans, LA. 10–14 Jan. 1993. Natl. Cotton Counc. Am., Memphis, TN.
21. Sorensen, R. B., Lamb, M. C., and Butts, C. L. 2006. Row pattern, plant density, and nitrogen rate effects on corn yield in the southeastern US. *Crop Manage.* [Online]. Available at: http://www.Plant_management_network.org/sub/cm/research/2006/corn/sorensen.pdf (verified 20 June 2008).
22. Stewart, J. Mc D., Oosterhuis, D., Heitholt, J. J., and Mauney, J. 2010. *Physiology of Cotton*. Springer Dordrecht Heidelberg London New York.
23. Willcutt, M. H., Columbus, E. P., Buehring, N. W., Dobbs, R. R., and Harrison, M. P. 2006. Evaluation of a 15-inch spindle harvester in various row patterns; three years progress. p. 531-547. In Proc. Beltwide Cotton Conf., San Antonio, TX. 5–9 Jan. 2006. Natl. Cotton Counc. Am., Memphis, TN.



Investigation of Agronomic and Morphologic Responses of Different Cotton Types in Ultra Narrow Row System

H. R. Mehrabadi^{1*}

Received: 13-05-2017

Accepted: 21-07-2018

Introduction

Plant density is one of methods for increasing yield in ground unit. Recently cotton cropping in high density under ultra narrow row (UNR) were extended in cotton producer countries. Increasing plant density by planting in narrow row increases seed cotton yield. Cotton cropping in narrow row or UNR (row space is 20 to 30 cm) reduces evaporation at between two rows, therefore, it reduces water consumption and weed growth and also increases radiation use efficiency. In these systems (UNR), zero type cultivars are more effective and their efficiency is higher than common cultivars, due to lower growth of monopodia and sympodia branches. Therefore, survey of growth reaction, yield and morphologic variations of these cultivars in ultra narrow row is necessary. Hence, this project was carried out to determination of optimum plant density by planting at different row spacing in zero type and common cotton cultivars.

Materials and Methods

After soil preparation, two cotton cultivars (zero type cultivars) including Kashmar and Khorshid with Khordad and Varamin cotton cultivars (as control) were planted in rows space 20, 40 and 60 cm and 20 cm on row. This experiment was carried out as factorial layout base on randomized complete block design with three replications at Agriculture and Natural Resource Research Station of Kashmar during 2014-2015. Irrigation was carried out by using of tape (under pressure irrigation system) with 20 cm dripper distance and 4 liters per hour discharge.

The measured parameters were plant height, leaf number and area, number of monopodia and sympodia branches per plant, number of boll per each of monopodia and sympodia branches, boll weight and seed cotton yield. Analysis of variance and correlation between traits were carried out using MSTATC and Excel and means were compared with least significant difference (LSD) test.

Results and Discussion

The results showed that, a significant different was observed between cultivars in related with plant height in two years. So that Kashmar cultivar had the highest plant height in two years. Reduction of row spacing, increased significantly plant height only in first year. The highest and the lowest plant height belonged to Varamin and Kashmar cultivars, respectively. Number of monopodia and sympodia branches were different among cultivars and this variation was significant. In each year, zero type (cluster) cultivars (Kashmar and Khorshid) had more monopodia and sympodia branches than common cultivars (Khordad and Varamin). With increasing row spacing, number of sympodia branches increased in zero type cultivars rather than Varamin and Khordad cultivars. Results also showed that there was significant different among cultivars relevant to leaf number and area per plant. So that these traits were less in cluster cultivars than common cultivars. The highest and lowest leaf number per plant belonged to Khordad and Kashmar cultivars, respectively. Row space had no significant effect on leaf number and area per plant. However, the leaf number and area were more in 40 cm treatment. In the first year, there was no significant different among cultivars in related with boll number per plant, but the effect of row space on this trait was significant. In the second year, a significant different was observed among cultivars and also row spacing relevant to this traits. The number of boll per plant were more in common cultivars than cluster cultivars. Also increasing row space increased boll number per plant. A significant different was observed among cultivars only in the first year. The highest and lowest yield belonged to Kashmar and Khorshid cultivars, respectively. In both years, planting in narrow rows (20 cm treatment) significantly increased seed cotton yield. For instance, the mean of yields were about 7660 kg ha^{-1} and 9155 kg ha^{-1} in the first and second year, respectively. Seed cotton yields were 3462 kg ha^{-1} and 4702 kg ha^{-1} in the first

1- Assistant Professor of Horticulture Crops Research Department, Khorasan Razavi Agricultural and Natural Resources Research Center, AREEO, Mashad, Iran
(Corresponding Author Email: hr.mehrabadi@yahoo.com)

and the second years, respectively. The highest increasing yield of planting at the highest density with 167%, 86% 136% and 59% were observed in Kashmar, Varamin, Khorshid and Khordad cultivars, respectively.

Conclusions

In the intensive agricultural systems, we need to use of favorable cotton cultivars that are proper especially for machinery harvest. These cultivars must to be with the lowest lateral growth of vegetative and reproductive branches. In this study, Kashmar and Khorshid cultivars were as a zero type cotton cultivars that are suitable for mechanization harvest. Results showed that these cultivars had better reaction to high plant density rather than common cultivars (Varamin and Khordad). In the ultra narrow row system, yield of zero type cultivars was higher than common cultivars.

Keywords: Leaf area, Row distance, Yield and yield components, Zero type cotton cultivars



اثر محلول‌پاشی مтанول بر عملکرد و اجزای عملکرد دو رقم کلزا (*Brassica napus* L.) در شرایط دیم

کامران احمدی^۱- مجید رستمی^{۲*}- سعید رضا حسین‌زاده^۳

تاریخ دریافت: ۱۳۹۶/۰۹/۱۷

تاریخ پذیرش: ۱۳۹۷/۰۴/۰۵

چکیده

کمبود آب یکی از عوامل اصلی محدودکننده رشد و تولید گیاهان زراعی در مناطق خشک محسوب می‌شود. شواهد متعددی در زمینه اثر مثبت مтанول بر خصوصیات رشدی گیاهان سه کربنه در شرایط تنفس خشکی وجود دارد. بهمنظور بررسی اثر محلول‌پاشی مтанول بر صفات مورفو‌لوزیک و عملکرد دو رقم کلزا در شرایط دیم، آزمایشی مزرعه‌ای به‌صورت کرت‌های خرد شده و در قالب طرح بلوك‌های کامل تصادفی با چهار تکرار در سال ۱۳۹۴-۹۵ در شهرستان لای استان خوزستان اجرا شد. تیمارهای آزمایشی شامل دو رقم کلزا (هایولا ۴۰۱ و دلگان) و چهار سطح محلول‌پاشی مтанول (شاهد، ۵، ۱۰ و ۱۵ درصد حجمی) بودند. هم‌زمان با مرحله ساقه رفتن محلول‌پاشی در دو نوبت و با فاصله ۱۰ روز روی قسمت‌های هوایی بوته‌های کلزا انجام شد. بر اساس نتایج اثر تیمار محلول‌پاشی مтанول و همچنین اثر رقم بر ارتفاع بوته کلزا، تعداد شاخه جانبی، تعداد دانه در خورجین معنی‌دار بود. رقم هایولا ۴۰۱ از نظر کلیه صفات مورد بررسی به غیر از وزن هزار دانه نسبت به رقم دلگان برتری داشت. بیشترین تعداد خورجین در گیاه، تعداد دانه در خورجین، وزن هزار دانه، ارتفاع بوته و تعداد شاخه جانبی در تیمار محلول‌پاشی مтанول با غلظت ۱۰ درصد مشاهده شد که به ترتیب ۸، ۱۲، ۱۹ و ۲۸ درصد بیشتر از تیمار شاهد بود. بهره‌منکش تیمارهای آزمایشی بر عملکرد دانه کلزا، عملکرد زیستی و شاخص برداشت دانه در سطح یک درصد معنی‌دار بود. بیشترین عملکرد دانه کلزا (۱۱۱۴ کیلوگرم در هکتار) در رقم هایولا ۴۰۱ و در شرایط محلول‌پاشی مтанول با غلظت ۱۰ درصد حجمی مشاهده شد و کمترین عملکرد دانه (۷۸۵ کیلوگرم در هکتار) در رقم دلگان و در تیمار شاهد مشاهده شد. محلول‌پاشی مтанول در هر دو رقم باعث افزایش عملکرد و اجزای عملکرد شد، با این حال بیشترین اثرات مثبت در تیمار محلول‌پاشی با غلظت ۱۰ درصد مشاهده شد و در غلظت بالاتر به دلیل اثرات سمیت احتمالی تا حدودی از اثرات مثبت محلول‌پاشی مtanول کاسته شد.

واژه‌های کلیدی: تنفس خشکی، شاخص برداشت، عملکرد زیستی، گیاهان زراعی

(Hosseinzadeh *et al.*, 2011; Taherabadi *et al.*, 2015). تأثیر

مثبت کاربرد مтанول بیشتر در گیاهانی که مسیر فتوستنتزی سه کربنه دارند مشاهده شده است و محلول‌پاشی مtanول در این گیاهان می‌تواند سبب افزایش عملکرد بهویژه در شرایط تنفس شود (Hanson and Roje, 2001). از آنجا که در شرایط مزرعه با افزایش دمای هوا و شدت نور تنفس نوری افزایش می‌یابد، محلول‌پاشی مtanول می‌تواند با کاهش تنفس نوری زمینه‌ی رشد گیاه را فراهم نماید. با توجه به اینکه ۲۵ درصد از کربن گیاه صرف تنفس نوری می‌شود با استفاده از محلول‌پاشی مtanول می‌توان مقدار تنفس نوری را به حداقل رساند. علت این امر جذب مtanول در گیاه و متابولیزه شدن سریع آن به دی‌اکسید کربن در بافت‌های گیاهی بوده است که ناشی از کوچکی مولکول‌های مtanول نسبت به دی‌اکسید کربن است (Kirsttine, 2002).

مقدمه

محققان برای کاهش اثرات تنفس خشکی در گیاهان زراعی به دنبال اتخاذ راهکارهایی مناسب می‌باشند. بیشتر راهکارها در جهت کاهش تعرق و کاهش تنفس نوری و افزایش غلظت دی‌اکسید کربن در گیاه است که در نهایت موجب ثبت عملکرد گیاهان در شرایط خشکی می‌شود. تحقیقات متعددی در زمینه اثرات مفید کاربرد مtanول به عنوان یک منبع کربن برای گیاهان زراعی انجام شده است

۱- دانش‌آموخته کارشناسی ارشد فیزیولوژی گیاهی، دانشگاه ملایر
۲- استادیار، گروه زراعت، دانشکده کشاورزی، دانشگاه ملایر
۳- مدرس، گروه زیست‌شناسی، دانشکده علوم پایه، دانشگاه صنعتی خاتم‌النبوء
(*)- نویسنده مسئول: Email: majidrostami7@yahoo.com
DOI: 10.22067/gsc.v16i3.69265

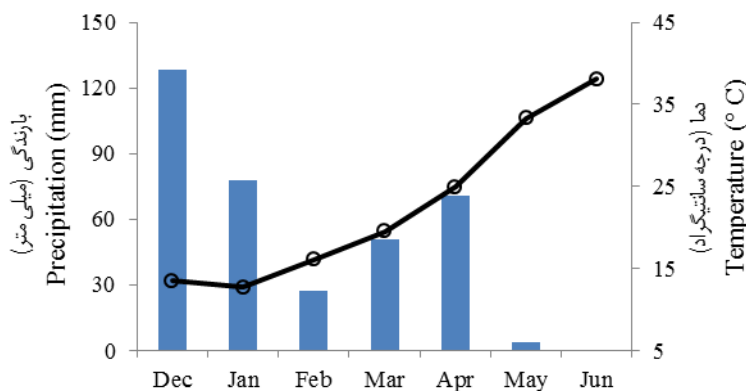
باکتری‌های متیلوبتروف زندگی می‌کنند. این باکتری‌ها در ازای دریافت مтанول که از برگ گیاه خارج می‌شود، پیش ماده ساخت بعضی از هورمون‌ها مانند اکسین و سایتوکینین که در رشد و توسعه برگ‌ها نقش بسیار مهمی دارند را در اختیار گیاه قرار می‌دهد و این باکتری‌ها بر متابولیسم نیتروژن در گیاهان نیز از طریق تولید اوره‌آز باکتریایی در ارتباط می‌باشند، بنابراین در گیاهان محلول‌پاشی شده با مтанول آسیمیلاسیون نیتروژن افزایش می‌یابد (Abanda-Nkpwatt *et al.*, 2006). کلزا یکی از گیاهان دانه روغنی سه کربنی است که در مناطق مختلف کشور کاشت می‌شود. از آنجا که در بسیاری از مناطق کاشت کلزا در استان خوزستان عملکرد این گیاه به دلیل تنفس‌های گرم‌ما و خشکی کاهش می‌یابد، آزمایش حاضر با هدف مطالعه اثر غلظت‌های مختلف مтанول بر عملکرد، اجزای عملکرد و برخی از صفات مورفو‌لوژیک دو رقم کلزا تحت شرایط دیم انجام شد.

مواد و روش‌ها

این پژوهش در یکی از مزارع کلزای شهرستان لالی واقع در شمال غربی استان خوزستان (عرض جغرافیایی $۴۰^{\circ} ۲۰' ۳۳^{\circ}$ شمالی، طول جغرافیایی $۴۹^{\circ} ۰۶'$ شرقی)، ارتفاع از سطح دریا ۳۵۰ متر و متوسط بارندگی سالیانه ۳۵۰ میلی‌متر) به صورت کرت‌های خرد شده و در قالب طرح بلوک‌های کامل تصادفی با چهار تکرار در سال زراعی ۱۳۹۴-۹۵ اجرا شد. وضعیت بارندگی و همچنین میانگین دمای ماهانه در طول دوره انجام آزمایش در شکل ۱ نمایش داده شده است.

محلول‌پاشی با مтанول همچنین می‌تواند سبب افزایش آسیمیلاسیون نیتروژن شود (Abanda-Nkpwatt *et al.*, 2006). افزایش میزان نیتروژن می‌تواند زمینه‌ساز افزایش اندازه و تعداد برگ و تا حدود زیادی افزایش مقدار نور جذب شده شود (Muchow, 1990). گزارش شده است که محلول‌پاشی مtanول باعث افزایش قابل توجه فعالیت آنزیم نیترات ردوکتاز در بعضی از گیاهان شده است (Ivanova *et al.*, 2001). محلول‌پاشی مtanول همچنین با تأثیر روی اتیلن باعث تأخیر پیری در برگ‌ها می‌شود که این امر می‌تواند طول دوره‌ی فتوسنتر فعال گیاه را افزایش دهد (Ramírez *et al.*, 2006). نتایج برخی از پژوهش‌هایی که در ارتباط با اثر مثبت محلول‌پاشی مtanول بر رشد و عملکرد گیاهان صورت گرفته است، نشان داده که استفاده از مtanول روی بوته‌هایی که تحت شرایط کمبود آب هستند، باعث افزایش زیست‌توده آن‌ها می‌گردد، در حالی که کاربرد مtanول برای گیاهان زراعی در شرایط عدم تنفس حتی ممکن است اثرات منفی داشته باشد (Zbieć and Podsiad, 2003).

گزارش شده است که محلول‌پاشی مtanول باعث افزایش میزان ثبتیت دی‌اکسید کربن و به دنبال آن افزایش تعداد برگ، تعداد نیام در ساقه اصلی، وزن صد دانه و عملکرد دانه گیاه لوبیاچیتی (*Phaseolus vulgaris L.*) هم در شرایط طبیعی و هم در شرایط تنفس خشکی می‌شود (Emartpardaz *et al.*, 2015). بنابر نظر برعکس گران مهمنترین ویژگی و مزیت کاربرد مtanول، جلوگیری و کاهش اثر تنفس‌های القاء شده به گیاهان زراعی در اثر انجام تنفس نوری در آن‌ها است (Nonomura and Benson, 1992). بر روی برگ بسیاری از گیاهان باکتری‌هایی همزیست به نام



شکل ۱- بارش ماهانه و میانگین دمای منطقه در طول فصل رشد

Figure 1- Monthly precipitation and average temperature of region during the growth season

دستگاه عمیق‌کار در ۲۰ آذرماه صورت گرفت. میزان بذر استفاده شده در زمان کاشت ۱۰ کیلوگرم در هکتار و بذور در عمق دو تا سه سانتی‌متری خاک قرار داده شدند و به عنوان کود پایه از کودهای اوره،

تیمارهای آزمایشی شامل دو رقم هایولا 401 و دلگان و چهار سطح محلول‌پاشی مtanول (شاهد، ۵ ، ۱۰ و ۱۵ درصد حجمی) بودند. کشت پس از آماده‌سازی زمین توسط گاوآهن قلمی و دیسک توسط

Excel رسم شدند. مقایسه میانگین‌ها نیز با استفاده از آزمون چند دادمانیه دانکن در سطح احتمال پنج درصد انجام شد.

نتائج و بحث

بر اساس نتایج به دست آمده اثر تیمارهای آزمایشی بر ارتفاع بوته کلزا در سطح پنج درصد معنی دار بود (جدول ۲). کمترین ارتفاع بوته در تیمار شاهد و بیشترین ارتفاع بوته در تیمار محلول پاشی ۱۰ درصد متابول مشاهده شد که حدود ۱۹ درصد بیشتر از تیمار شاهد بود. از لحاظ ارتفاع بوته بین تیمار محلول پاشی ۵ و ۱۵ درصد اختلاف معنی داری مشاهده نشد (شکل ۲). ارقام موردمطالعه از نظر ارتفاع بوته اختلاف معنی داری با یکدیگر نداشتند ولی ارتفاع بوته در رقم های ۰۱ به میزان اندکی بیشتر از رقم دلگان بود.

با افزایش غلظت مтанول تا سطح ۱۰ درصد حجمی ارتفاع بوته به صورت معنی داری افزایش یافت. پژوهشگران دیگر نیز گزارش کردند که مтанول می‌تواند باعث بهبود ویژگی های رشدی گیاهان مختلف شود. با توجه به اینکه آزمایش در شرایط دیم اجرا شده است تنش خشکی باعث آسیب به گیاه شده است، ولی محلول پاشی باعث مقابله با این اثرات منفی شده است. گزارش شده است که محلول پاشی مтанول با غلظت ۲۰ درصد روی بوته های گوجه فرنگی (*Lycopersicon esculentum* Mill.) بیشترین میزان بررس (Rowe *et al.*, 1994) به نظر می‌رسد که واکنش گیاه به کاربرد مтанول به عوامل متعدد از جمله نوع گیاه بستگی دارد زیرا در شرایطی که در آزمایش حاضر در غلظت بالاتر از ۱۰ درصد به تدریج میزان واکنش مثبت ارتفاع گیاه کاهش یافتد در صورتی که پژوهشگران دیگر بیشترین ارتفاع بوته در گیاه پنبه (*Gossypium hirsutum* L.) را در شرایط کاربرد مтанول با غلظت ۳۰ درصد حجمی مشاهده کردند و علت این موضوع را آسمیلاسیون بیشتر کردن در رقابت بیشتر گیاهان برای دریافت نور بیان کردند (Makhdum *et al.*, 2002). نتایج این آزمایش با نتایج میرآخوری و همکاران (Mirakhori *et al.*, 2011) مطابقت داشت. این پژوهشگران با بررسی اثر محلول پاشی مтанول روی گیاه سویا (*Glycine max* L.) به این نتیجه رسیدند محلول پاشی مтанول تا سطح ۲۸ درصد حجمی باعث افزایش ارتفاع گیاه گردید ولی افزایش مقدار کاربرد مтанول تا سطح ۳۵ درصد حجمی بر بسیاری از صفات مورد مطالعه گیاه از جمله ارتفاع بوته تأثیر منفی داشت و باعث شد ارتفاع بوته حتی در مقایسه با شاهد نیز کاهش یابد. به عقیده این محققان غلظت های بالای مтанول به دلیل اثرات سمیت موجب کاهش، رشد و عملکرد گیاهان، می شود (Mirakhori *et al.*, 2011).

فیضات آمونیوم و سولفات پتاسیم هر کدام به ترتیب ۵۰ و ۵۰ کیلوگرم در هکتار استفاده شد. پس از سبز شدن بوته‌ها و در طول فصل رشد دو مرتبه از کود سرک اوره به میزان ۵۰ کیلوگرم در هکتار استفاده شد. خلاصه مشخصات فیزیکی و شیمیایی خاک مزرعه محل اجرای آزمایش در جدول ۱ آرائه شده است. در هر کرت آزمایشی ۸ ردیف کاشت با فاصله ۲۵ سانتی‌متر و طول ۶ متر در نظر گرفته شد. بین کرت‌های مجاور یک متر و بین بلوک‌ها دو متر فاصله در نظر گرفته شد.

جدول ۱- برخی از خصوصیات فیزیکی و شیمیایی خاک مزرعه

Table 1- Selected physico-chemical characteristics of soil

پافت خاک	N نیتروژن	P فسفور	K پتاسیم	هدايت الکتریکی	EC اسیدیته
Soil texture	(%)	(mg kg ⁻¹)		(dS m ⁻¹)	
لوم شنی					
Sandy-loam	0.12	21	279	2.1	7.7

محلول پاشی بوته های کلزا دو بار در مرحله ساقه رفتن و به فاصله ده روز نسبت به یکدیگر انجام گرفت. برای انجام محلول پاشی از سه پاش موتوری پشتی استفاده شد که دارای حجمی معادل ده لیتر بود و سعی شد تا نازل سه پاش در ارتفاع ۴۰ سانتی متری بالای بوته های قرار داده شود. محلول پاشی در ساعات خنک بعد از ظهر در روزهای تعیین شده انجام شد. قبل از برداشت بوته از هر کرت تعداد سه بوته برای تعیین ارتفاع و تعداد شاخه جانبی برداشت شد. برای اندازه گیری تعداد خورجین در بوته، تعداد ۱۰ بوته از هر کرت آزمایشی به صورت تصادفی انتخاب و تعداد خورجین های هر بوته را شمارش کرده و میانگین به دست آمده به عنوان تعداد خورجین در بوته گزارش شد و سپس از هر بوته ۲۰ خورجین برداشت شد و پس از شمارش تعداد دانه های موجود در خورجین ها میانگین به دست آمده به عنوان تعداد دانه در هر خورجین در نظر گرفته شد. در پایان فصل و هم زمان با رسیدگی محصول با رعایت اثر حاشیه ای از مساحت یک متر در وسط هر کرت بوته های کلزا به صورت کامل برداشت شدند و وزن خشک کل به عنوان عملکرد زیستی ثبت شد. در مرحله بعد تعدادی از بوته ها برای تعیین اجزای عملکرد استفاده شد و در پایان نیز با جداسازی کامل دانه ها عملکرد دانه مشخص شد. در هر کرت یک نمونه بذر گرفته شد و پس از جداسازی بقایا و پوسته های بذر، ۱۰۰۰ عدد بذر به صورت تصادفی انتخاب و وزن آن ها تعیین شد. شاخص برداشت دانه که بیانگر سهم انتقال فرآورده های فتوستنتزی به دانه است نیز با تقسیم عملکرد دانه به عملکرد زیستی محاسبه و بر حسب درصد گزارش شد. داده ها با استفاده از نرم افزار MSTAT-C مورد تجزیه و تحلیل قرار گرفتند و شکل های مربوطه با استفاده از نرم افزار

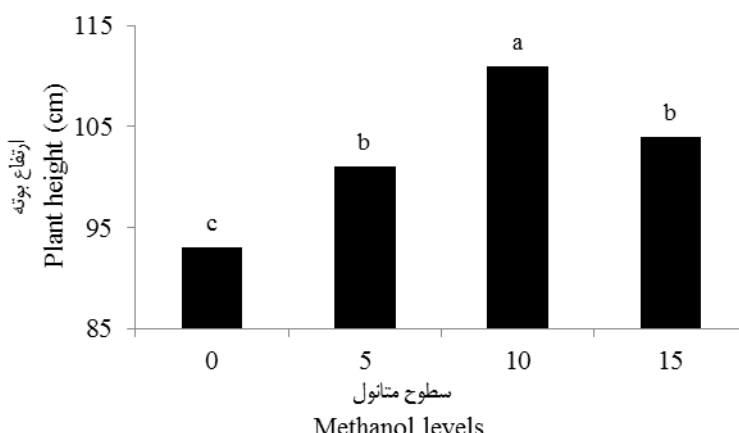
جدول ۲- تجزیه واریانس (میانگین مربعات) صفات مختلف کلزا تحت تأثیر رقم، محلول‌پاشی متانول و برهمکنش آن‌ها

Table 2- Analysis of variance (mean square values) of investigated traits

منابع تغییر S.O.V	درجه آزادی d.f	ارتفاع بوته Plant height	تعداد شاخه جانبی Lateral branches	تعداد دانه در خورجین Seeds in pod	تعداد خورجین در بوته Pods in plant	وزن هزار دانه 1000 seeds weight	عملکرد زیستی Biological yield	شاخص برداشت Harvest index	عملکرد دانه Seed yield
تکرار Replication	3	27.12 ^{ns}	0.0204 ^{ns}	0.167 ^{ns}	1.125 ^{ns}	0.032 ^{ns}	10179 ^{ns}	0.151 ^{ns}	13 ^{ns}
رقم Cultivar	1	228.1 ^{ns}	0.735 [*]	3.3 ^{**}	160.1 ^{**}	0.0204 ^{ns}	495938 ^{**}	9.68 ^{**}	80620 ^{**}
a خطای Error a	3	26.54	0.048	0.04	1.792	0.012	33025	0.24	113
متانول Methanol	3	323.3 [*]	0.651 ^{**}	0.588 ^{**}	9.056 ^{**}	0.193 ^{**}	203615 ^{**}	19.8 ^{**}	71031 ^{**}
رقم × متانول Cultivar × Methanol	3	23.28 ^{ns}	0.045 ^{ns}	0.0059 ^{ns}	0.167 ^{ns}	0.0159 ^{ns}	91560 ^{**}	4.36 ^{**}	6520 ^{**}
b خطای Error b	18	9.44	0.0229	0.0075	0.736	0.009	13596	0.51	75
ضریب تغییرات (CV%)		7.87	12.1	6.18	7.46	5.83	6.08	9.21	12.6

*, **: به ترتیب اختلاف معنی‌دار در سطح احتمال ۰.۰۵ و ۰.۰۱ درصد و غیر معنی‌دار

*, **: significant at 0.05 and 0.01 probability levels, respectively; ns: means non-significant



شکل ۲- اثر سطوح مختلف متانول بر ارتفاع بوته کلزا

Figure 2- Effect of methanol levels on plant height

ستون‌های دارای حروف مشترک اختلاف معنی‌داری در سطح احتمال پنج درصد ندارند.

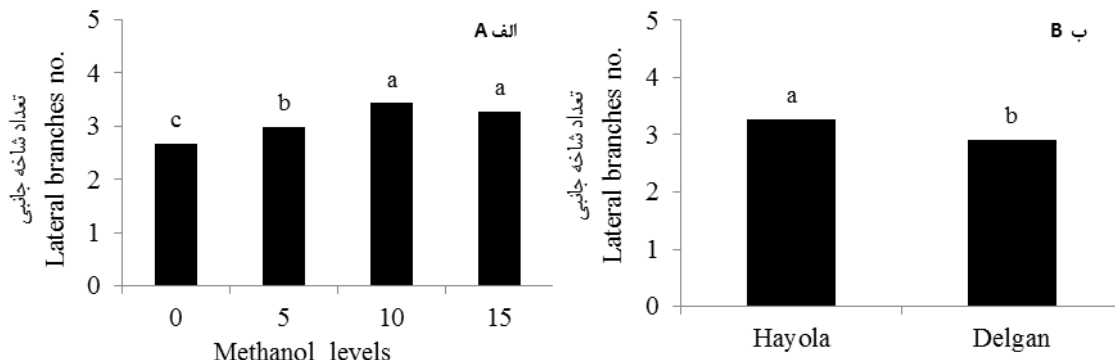
Column with same letter are not significantly different.

معنی‌داری مشاهده نشد (شکل ۳-الف). ارقام مورد مطالعه نیز از نظر تعداد شاخه جانبی اختلاف معنی‌داری با یکدیگر داشتند و بیشترین تعداد شاخه جانبی در رقم هایولا ۴۰۱ مشاهده شد که تقریباً ۱۲ درصد بیشتر از رقم دلگان بود (شکل ۳-ب). با افزایش غلظت متانول تا سطح ۱۰ درصد حجمی تعداد شاخه جانبی به صورت معنی‌داری افزایش و پس از آن کاهش یافت. پژوهشگران دیگر نیز گزارش کردند که متانول می‌تواند باعث بهبود ویژگی‌های رشدی

تعداد شاخه جانبی بر اساس نتایج بدست‌آمده اثر محلول‌پاشی متانول و همچنین رقم بر تعداد شاخه جانبی کلزا در سطح پنج درصد معنی‌دار بود (جدول ۲). کمترین تعداد شاخه جانبی در تیمار شاهد مشاهده شد و با محلول‌پاشی ۱۰ درصد متانول تعداد شاخه جانبی حدود ۲۸ درصد افزایش یافت و به بیشترین میزان رسید، با این وجود از نظر تعداد شاخه جانبی بین تیمار محلول‌پاشی ۱۰ و ۱۵ درصد اختلاف

درصد باعث افزایش معنی‌دار تعداد شاخه‌های جانبی در گیاه نخود (Cicer arietinum L.) شد.

گیاهان مختلف شود. نتایج حسین‌زاده و همکاران (Hoseinzadeh et al., 2011) نیز نشان داد که محلول پاشی مтанول با غلظت ۳۰



شکل ۳- اثر سطوح مختلف مтанول (الف) و ارقام مختلف کلزا (ب) بر تعداد شاخه جانبی در بوته

Figure 3- Effect of methanol application (a) and canola cultivars (b) on number of lateral branches

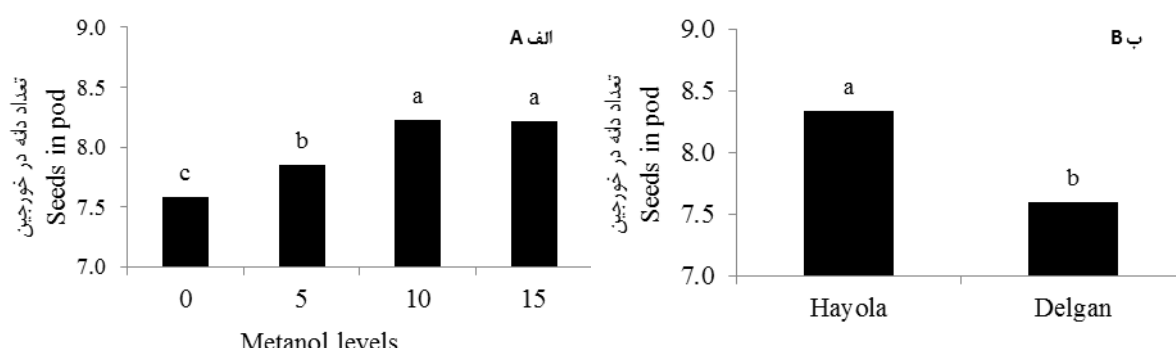
ستون‌های دارای حروف مشترک اختلاف معنی‌داری در سطح احتمال پنج درصد ندارند.

Column with same letter are not significantly different.

افزایش غلظت مтанول تا سطح ۱۰ درصد حجمی تعداد دانه در خورجین به صورت معنی‌داری افزایش و پس از آن ثابت ماند. پژوهشگران دیگر نیز گزارش کردند که مтанول می‌تواند باعث افزایش تعداد دانه در غلاف و تعداد دانه در بوته گیاه ماش افزاش (Ehyaei et al., 2011) شود. نتایج مطالعه‌ای که روی گیاه ماش (Vigna radiate L.) انجام شد نشان داد که بیشترین تعداد دانه در غلاف و بیشترین شاخص برداشت در شرایط محلول پاشی مтанول با غلظت ۳۰ درصد حجمی و بیشترین مشاهده نشود (Aslani et al., 2011).

تعداد دانه در خورجین

بر اساس نتایج بدست آمده اثر تیمار محلول پاشی مтанول و همچنین رقم بر تعداد دانه در خورجین کلزا در سطح پنج درصد معنی‌دار بود (جدول ۲). کمترین تعداد دانه در خورجین در تیمار شاهد و بیشترین تعداد دانه در خورجین در تیمار محلول پاشی ۱۰ درصد مтанول اندازه‌گیری شد که تقریباً ۸ درصد بیشتر از تیمار شاهد بود. از نظر تعداد دانه در خورجین بین تیمار محلول پاشی ۱۰ و ۱۵ درصد اختلاف معنی‌داری مشاهده نشد (شکل ۴-الف). ارقام موردمطالعه از نظر تعداد دانه در خورجین در رقم هایولا ۴۰۱ مشاهده داشتند و بیشترین تعداد دانه در خورجین در رقم دلگان بود (شکل ۴-ب). با شد که تقریباً ۹ درصد بیشتر از رقم دلگان بود (شکل ۴-ب).



شکل ۴- اثر سطوح مختلف مтанول (الف) و ارقام مختلف کلزا (ب) بر میانگین تعداد دانه در خورجین

Figure 4- Effect of methanol application (a) and canola cultivars (b) on number of seed per pod

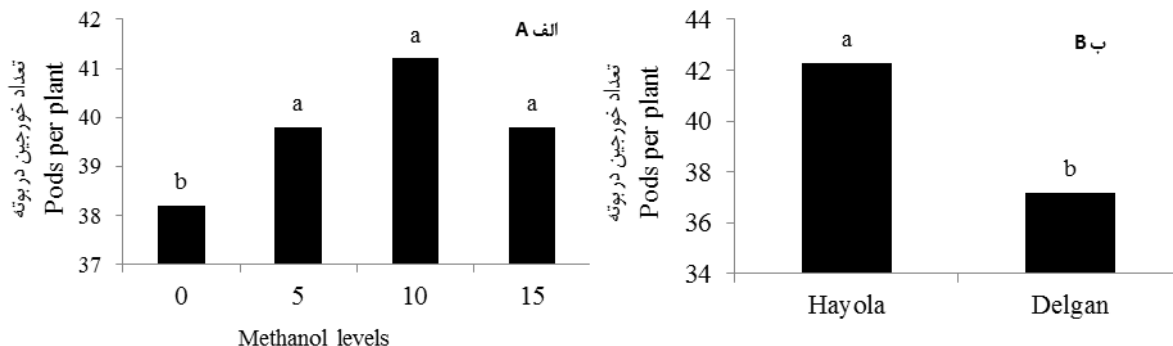
ستون‌های دارای حروف مشترک اختلاف معنی‌داری در سطح احتمال پنج درصد ندارند.

Column with same letter are not significantly different.

اختلاف معنی‌داری با یکدیگر داشتند و بیشترین تعداد خورجین در بوته در رقم هایولا ۴۰۱ مشاهده شد که تقریباً ۱۴ درصد بیشتر از رقم دلگان بود (شکل ۵-ب). با افزایش غلظت متابولوپاتی سطح ۱۰ درصد تعداد خورجین در بوته به صورت معنی‌داری افزایش و پس از آن روند کاهشی مشاهده شد. در این راستا میرآخوری و همکاران (Mirakhori *et al.*, 2011) گزارش کردند که محلول‌پاشی متابولوپاتی سطح ۱۰ درصد اختلاف معنی‌داری با خورجین در بوته داشتند و در بهترین تیمار تعداد خورجین در مقایسه با شاهد حدود ۸ درصد افزایش یافتند. در بوته و درصد پروتئین لوبيا قرمز (*Phaseolus vulgaris L.*) داشت.

تعداد خورجین در بوته

بر اساس نتایج بدست‌آمده اثر تیمارهای آزمایشی و همچنین رقم بر تعداد خورجین در بوته کلزا در سطح پنج درصد معنی‌دار بود (جدول ۲). بیشترین تعداد خورجین در بوته در تیمار محلول‌پاشی ۱۰ درصد متابولوپاتی مشاهده شد. از نظر تعداد خورجین در بوته بین تیمارهای محلول‌پاشی ۵، ۱۰ و ۱۵ درصد اختلاف معنی‌داری مشاهده نشد ولی هر سه تیمار مورد اشاره با تیمار شاهد تفاوت معنی‌داری داشتند و در بهترین تیمار تعداد خورجین در مقایسه با شاهد حدود ۸ درصد افزایش یافتند (شکل ۵-الف). ارقام مورد مطالعه از نظر تعداد خورجین در بوته



شکل ۵- اثر سطوح مختلف متابولوپاتی (الف) و ارقام مختلف کلزا (ب) بر میانگین تعداد خورجین در بوته

Figure 5- Effect of methanol application (a) and canola cultivars (b) on produced pods in plant

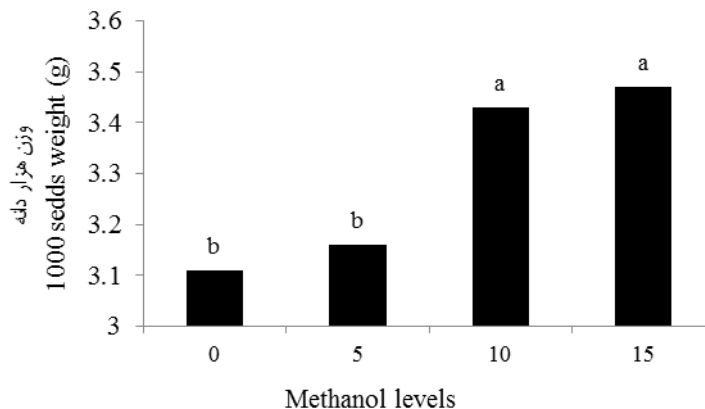
ستون‌های دارای حروف مشترک اختلاف معنی‌داری در سطح احتمال پنج درصد ندارند.

Column with same letter are not significantly different.

خشکی شد ولی در شرایط تنفس شدید خشکی محلول‌پاشی تأثیر معنی‌داری بر وزن دانه نداشت (Emartpardaz *et al.*, 2015). تنفس خشکی از طریق تأثیر بر صفات فیزیولوژیک گیاه همچون سطح برگ، میزان رنگیزه‌های فتوستتری و سرعت فتوستتر باعث کاهش عملکرد و اجزای عملکرد گیاهان مختلف و از جمله کلزا می‌شود و هر عاملی که اثرات منفی تنفس خشکی را کاهش دهد می‌تواند باعث جلوگیری از افت عملکرد شود. به نظر می‌رسد که کاربرد متابولوپاتی طریق تأثیر بر ویژگی‌های متفاوت گیاه همچون بهبود فرآیند جذب عناصر، ظرفیت فتوستتری گیاه باعث می‌شود که تولید ماده خشک در گیاه و به دنبال آن اجزای عملکرد از جمله وزن دانه بهبود یابد. گزارش شده است که کاربرد متابولوپاتی میزان جذب عناصر نیتروژن و فسفر در گیاه توتون (*Nicotiana tabacum L.*) افزایش یابد (Sabokrow *et al.*, 2011).

وزن هزار دانه

براساس نتایج بدست‌آمده فقط اثر تیمار محلول‌پاشی متابولوپاتی بر وزن هزار دانه در سطح پنج درصد معنی‌دار بود و ارقام مورد مطالعه از نظر وزن هزار دانه تفاوت معنی‌داری با یکدیگر نداشتند (جدول ۲). بیشترین وزن هزار دانه در تیمار محلول‌پاشی ۱۵ درصد متابولوپاتی کمترین وزن هزار دانه در تیمار شاهد مشاهده شد که بیانگر اختلاف ۱۲ درصدی بین دو تیمار است (شکل ۶). محلول‌پاشی متابولوپاتی ۵ درصد فقط باعث افزایش اندک وزن هزار دانه شد و در این تیمار وزن هزار دانه با تیمار شاهد تفاوت معنی‌داری نداشت. با وجود این که ارقام مورد مطالعه از نظر وزن هزار دانه اختلاف معنی‌داری با یکدیگر نداشتند ولی وزن هزار دانه در رقم هایولا ۴۰۱ بیشتر بود. نتایج مطالعه پژوهشگران دیگر نیز نشان داد که محلول‌پاشی متابولوپاتی باعث افزایش وزن صد دانه لوبياچیتی در شرایط تنفس متوسط



شکل ۶- اثر سطوح مختلف محلول پاشی مтанول بر وزن هزار دانه کلزا

Figure 6- Effects of methanol application on 1000 seeds weight

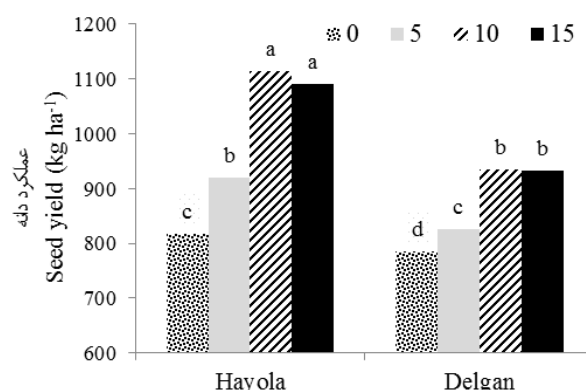
ستون های دارای حروف مشترک اختلاف معنی داری در سطح احتمال پنج درصد ندارند.

Column with same letter are not significantly different.

درصد به ۳۵ درصد حجمی کاهش پیدا کرده است به طوری که حتی از عملکرد دانه تیمار شاهد هم کمتر شد که دلیل این کاهش به اثر سمی مтанول در غلظت های بالا نسبت داده می شود (Mirakhori *et al.*, 2011). نتایج این پژوهشگران با یافته های تحقیق حاضر همخوانی دارد زیرا با افزایش محلول پاشی مтанول از ۱۰ به ۱۵ درصد عملکرد دانه کلزا کاهش پیدا کرد. در آزمایشی با مطالعه تأثیر مтанول بر گیاه سویا مشخص شد که محلول پاشی مтанول با ۲۵ درصد حجمی بیشترین اثر را در رشد و افزایش عملکرد سویا داشت (Li *et al.*, 1995). عملکرد دانه، وزن دانه ها و تعداد غلاف در بوته هایی از کلزا که با مтанول تیمار شده بودند، به طور معنی داری در مقایسه با شاهد افزایش یافت، نتایج این تحقیق نشان داد که محلول پاشی مtanول ۲۰ درصد حجمی، بیشترین اثر مثبت را بر رشد و افزایش عملکرد کلزا داشت (Zbieć *et al.*, 2003).

عملکرد دانه

بر اساس نتایج به دست آمده اثر تیمارهای محلول پاشی مтанول، رقم و همچنین برهمکنش آن ها بر عملکرد دانه کلزا در سطح پنج درصد معنی دار بود (جدول ۲). بیشترین عملکرد دانه در رقم های ۰۱ و در شرایط محلول پاشی مtanول با غلظت ۱۰ درصد مشاهده شد. در حالی که کمترین عملکرد دانه در رقم دلگان و در شرایط عدم محلول پاشی (شاهد) مشاهده شد (شکل ۷). اگرچه در هر دو رقم مورد مطالعه بیشترین میزان عملکرد دانه در تیمار محلول پاشی مtanول ۱۰ درصد و کمترین میزان عملکرد در تیمار شاهد دیده شد، با این حال در رقم های ۰۱ حداقل افزایش عملکرد در مقایسه با تیمار شاهد ۳۶ درصد بود در حالی که در رقم دلگان حداقل افزایش عملکرد در مقایسه با شاهد حدود ۲۴ درصد بود. میرآخوری و همکاران در نتیجه پژوهش خود بیان کردند عملکرد دانه لوبیا قرمز در تیمار ۲۰ درصد مtanول دارای بیشترین مقدار بوده ولی با افزایش مقدار مtanول از ۳۰



شکل ۷- اثر متقابل ارقام کلزا و سطوح مختلف محلول پاشی مtanول بر عملکرد دانه

Figure 7- Interaction of methanol application and canola cultivars on seed yield

ستون های دارای حروف مشترک اختلاف معنی داری در سطح احتمال پنج درصد ندارند.

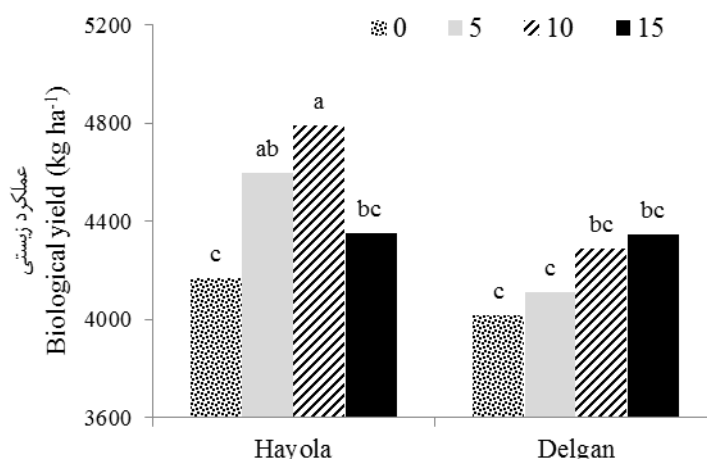
Column with same letter are not significantly different.

می‌شود. علاوه بر این مтанول در گیاهان محلول‌پاشی شده خاصیت خنک‌کنندگی داشته و گیاه را در مقابل افزایش درجه حرارت محافظت می‌کند. افزایش مقدار کلروفیل در برگ گیاه با اکسیداسیون مtanول در ارتباط است. وقتی بوته‌ها در شرایط کمبود آب و افزایش درجه حرارت قرار گیرند با بسته شدن روزنها و کاهش درون برگی رو به رو می‌شوند در این صورت مtanول به عنوان یک منبع کربنی می‌تواند باعث افزایش کلروفیل و در نهایت وزن خشک گیاه شود (Ramberg *et al.*, 2002). با این وجود نتایج برخی از پژوهش‌ها هنوز دلیل قطعی برای اثرات مثبت مtanول پیدا نکرده‌اند و گزارش کرده‌اند که محلول‌پاشی مtanول تأثیری بر میزان کلروفیل گیاه و یا میزان فتوسنتز ندارد (Li *et al.*, 1995). گزارش شده است که محلول‌پاشی مtanول در شرایط کمبود آب باعث شد تولید و زیست‌توده گیاه توتون به دلیل کاهش نیاز آبی گیاه بهبود یابد (Sabokrow Foomany, *et al.*, 2011). افزایش عملکرد زیستی کلزای دیم در شرایط کاربرد مtanول بیانگر این است که بخشی از اثرات منفی ناشی از کمبود آب در شرایط دیم توسط محلول‌پاشی مtanول جبران شده است. با این حال همانند سایر صفات مورد بررسی، بین عملکرد زیستی و غلظت مtanول محلول‌پاشی شده رابطه خطی وجود نداشت و با افزایش غلظت مtanول به تدریج اثرات مثبت کمتری مشاهده شد.

عملکرد زیستی

بر اساس نتایج به دست آمده اثر تیمارهای آزمایشی، رقم و همچنین برهمکنش آن‌ها بر عملکرد زیستی کلزا در سطح پنج درصد معنی‌دار بود. بیشترین عملکرد زیستی در رقم هایولا ۴۰۱ و در شرایط محلول‌پاشی مtanول با غلظت ۱۰ درصد مشاهده شد درحالی که کمترین عملکرد زیستی در رقم دلگان و در شرایط عدم محلول‌پاشی (شاهد) اندازه‌گیری شد (شکل ۸). در رقم هایولا بیشترین میزان عملکرد زیستی در شرایط کاربرد ۱۰ درصد مtanول مشاهده شد که حدود ۱۵ درصد بیشتر از تیمار شاهد بود در حالی که رقم دلگان واکنش کمتری به کاربرد مtanول نشان داد و حداکثر افزایش عملکرد زیستی در این رقم (در اثر کاربرد مtanول) حدود ۸ درصد بود. نادعلی و همکاران (Nadali *et al.*, 2016) نیز گزارش کردند که محلول‌پاشی با مtanول باعث افزایش وزن برگ و ریشه‌های تولیدی در چغندر قند نداشت (Beta vulgaris L.) شد با این حال بیشترین میزان وزن برگ و ریشه در تیمار محلول‌پاشی با غلظت هفت درصد مشاهده شد و در سطوح بالاتر به تدریج عملکرد برگ و ریشه چغندر قند کاهش یافت که با نتایج به دست آمده در آزمایش حاضر مشابه است.

طبق گزارش (Nonomura and Benson, 1992) مtanول باعث افزایش مقاومت گیاهان سه کربنی مختلف در مقابل تنفس خشکی



شکل ۸- اثر متقابل ارقام کلزا و سطوح مختلف محلول‌پاشی مtanول بر عملکرد زیستی
Figure 8- Interaction of methanol application and canola cultivars on biological yield

ستون‌های دارای حروف مترک اختلاف معنی‌داری در سطح احتمال پنج درصد ندارند.

Column with same letter are not significantly different.

رقم هایولا ۴۰۱ و در شرایط محلول‌پاشی مtanول با غلظت ۱۵ درصد مشاهده شد. درحالی که کمترین میزان شاخص برداشت ۱۹/۵ (۱۹/۵ درصد) در رقم دلگان و در شرایط عدم محلول‌پاشی (شاهد) مشاهده شد که با شاخص برداشت همین رقم در تیمار محلول‌پاشی ۵ و ۱۵ درصد و

شاخص برداشت

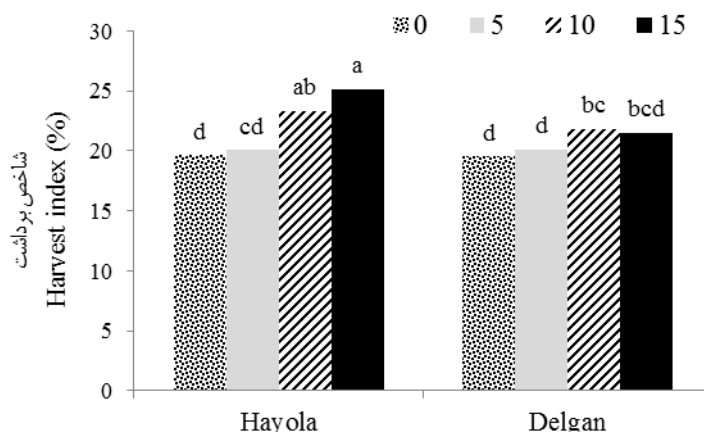
بر اساس نتایج به دست آمده اثر تیمارهای آزمایشی، رقم و همچنین برهمکنش آن‌ها بر شاخص برداشت کلزا، در سطح پنج درصد معنی‌دار بود. بیشترین میزان شاخص برداشت ۲۵/۱ (۲۵/۱ درصد) در

فاریاب در مناطق خشک می‌شود (Nonomura and Benson, 1992). با این وجود از آنجاکه شاخص برداشت معیاری از نسبت وزن دانه به کل گیاه است، افزایش شاخص برداشت لزوماً امری مثبت نیست بلکه در برخی موارد افزایش شاخص برداشت به دلیل کاهش عملکرد زیستی است. ارقامی که شاخص برداشت بالاتری دارند سهم بیشتری از فرآورده‌های فتوسنتزی را به دانه‌ها اختصاص داده و چنانچه شاخص برداشت بالاتر ناشی از افزایش عملکرد دانه باشد تغییرات مثبت آن حائز اهمیت بیشتری خواهد بود.

همچنین شاخص برداشت رقم هایولا ۴۰۱ در تیمار محلولپاشی ۵ درصد و شاهد در یک گروه آماری قرار گرفت (شکل ۹).

اصلانی و همکاران (Aslani et al., 2011) نیز با بررسی اثر مтанول بر روی گیاه ماش به اثرات مثبت کاربرد مтанول بر میزان شاخص برداشت اشاره کردند که با نتایج تحقیق حاضر مطابقت داشت. با این حال این پژوهشگران بیشترین شاخص برداشت را در شرایط محلولپاشی مтанول با غلظت ۳۰ درصد مشاهده کردند.

گزارش شده است که محلولپاشی مtanول در برخی از گیاهان سه کربنه موجب افزایش سرعت رشد و شاخص برداشت گیاهان زراعی



شکل ۹- اثر متقابل ارقام کلزا و سطوح مختلف محلولپاشی مtanول بر شاخص برداشت دانه
Figure 9- Interaction of methanol application and canola cultivars on seed harvest index
 ستون‌های دارای حروف مترک اختلاف معنی‌داری در سطح احتمال پنج درصد ندارند.
 Column with same letter are not significantly different.

مقایسه با رقم دلگان در شرایط اقلیمی منطقه موردمطالعه در کلیه صفات بررسی شده برتری داشت و با توجه به عملکرد بیشتر دانه اولویت کاشت با این رقم است. عملکرد هر دو رقم مورد مطالعه در اثر محلولپاشی ۱۰ درصد مtanول به صورت معنی‌داری افزایش یافت با این وجود اثرات مثبت کاربرد مtanول در رقم هایولا ۴۰۱ به میزان قابل توجهی بیشتر از رقم دلگان بود.

نتیجه‌گیری

هرچند هر سه سطح استفاده از مtanول باعث افزایش عملکرد و اجزای عملکرد در مقایسه با تیمار شاهد شد با این حال بیشترین اثرات مثبت در تیمار محلولپاشی با غلظت ۱۰ درصد مشاهده شد و در غلظت بالاتر به دلیل اثرات سمت احتمالی تا حدودی از اثرات مثبت محلولپاشی مtanول کاسته شد؛ بنابراین حداکثر غلظت قابل توصیه برای کاربرد مtanول ۱۰ درصد حجمی است. رقم هایولا ۴۰۱ در

References

- Abanda-Nkpwatt, D., Müsch, M., Tschiersch, J., Boettner, M., and Schwab, W. 2006. Molecular interaction between *Methylobacterium extorquens* and seedlings: growth promotion, methanol consumption, and localization of the methanol emission site. *Journal of Experimental Botany* 57 (15): 4025-4032.
- Aslani, A., Vishekaei, M. N. S., Farzi, M., Niyaki, S. A. N., and Paskiabi, M. J. 2011. Effects of foliar application of methanol on growth and yield of mungbean (*Vigna radiata* L.) in Rasht, Iran. *African Journal of Agricultural Research* 6 (15): 3603-3608.
- Emartpardaz, J., Hami, A., and Kazemnia, H. 2015. Effect of foliar application of methanol in water stress condition on yield components of *Phaseolus vulgaris* L. *Agricultural Science and Sustainable Production Science* 25: 125-137. (in Persian with English abstract).
- Galbally, I. E., and Kirstine, W. 2002. The production of methanol by flowering plants and the global cycle of

- methanol. *Journal of Atmospheric Chemistry* 43 (3): 195-229.
5. Hanson, A. D., and Roje, S. 2001. One-carbon metabolism in higher plants. *Annual Review of Plant Biology* 52 (1): 119-137.
 6. Hosseinzadeh, S. R., Salimi, A., and Ganjeali, A. 2011. Effects of foliar application of methanol on morphological characteristics of chickpea (*Cicer arietinum* L.) under drought stress. *Environmental Stresses in Crop Science* 4: 139-150. (in Persian with English abstract).
 7. Ivanova, E. G., Doronina, N. V., and Trotsenko, Y. A. 2001. Aerobic methylobacteria are capable of synthesizing auxins. *Microbiology* 70 (4): 392-397.
 8. Li, Y., Gupta, G., Joshi, J. M., and Siyumbano, A. K. 1995. Effect of methanol on soybean photosynthesis and chlorophyll. *Journal of Plant Nutrition* 18 (9): 1875-1880.
 9. Makhdum, I. M., Nawaz, A., Shabab, M., Ahmad, F., and Illahi, F. 2002. Physiological response of cotton to methanol foliar application. *Journal of Research (Science)* 13: 37-43.
 10. Mirakhori, M., Paknejad, F., Ardakani, M., Moradi, F., Nazeri, P., and Nasri, M. 2011. Effect of methanol spraying on yield and yield components of soybean (*Glycine max* L.). *Agroecology* 2 (2): 236-244. (in Persian with English abstract).
 11. Mirakhori, M., Paknejad, F., Vazan, S., Nazeri, P., Reihani, Y., and Mortezapoor, H. 2010. Effect of methanol foliar application on yield and yield components of red bean. 11th Iranian Crop Science Congress. Environmental Sciences Research Institute, Shahid Beheshti University, Tehran, Iran. (in Persian).
 12. Muchow, R. C., Sinclair, T. R. and Bennett, J. M. 1990. Temperature and solar radiation effects on potential maize yield across locations. *Agronomy Journal* 82 (2): 338-343.
 13. Nadali, I., Yarnia, M., Paknezhad, F., and Farahvash, F. 2016. Study of some qualitative and quantitative traits of sugar beet in response to foliar application of methanol and drought stress. *Environmental Stresses in Crop Sciences* 8 (2): 169-187. (in Persian with English abstract).
 14. Nonomura, A. M., and Benson, A. A. 1992. The path of carbon in photosynthesis: improved crop yields with methanol. *Proceedings of the National Academy of Sciences* 89 (20): 9794-9798.
 15. Ramberg, H., and Bradley, J. 2002. The role of methanol in promoting plant growth: an update. *Plant Biochemistry and Biotechnology* 1: 113-126.
 16. Ramírez, I., Dorta, F., Espinoza, V., Jiménez, E., Mercado, A., and Peña-Cortés, H. 2006. Effects of foliar and root applications of methanol on the growth of arabiopsis, tobacco, and tomato plants. *Journal of Plant Growth Regulation* 25 (1): 30-44.
 17. Rowe, R. N., Farr, D. J., and Richards, B. A. J. 1994. Effects of foliar and root applications of methanol or ethanol on the growth of tomato plants (*Lycopersicon esculentum* Mill). *New Zealand Journal of Crop and Horticultural Science* 22 (3): 335-337.
 18. Sabokrow Foomany, K., Safarzadeh, M. N., Daneshian, J., Ranjbar Choobeh, N., and Sabokrow Foomany, K. 2011. Studing the effect of time and values of methanol foliation on quality and quantity yield flue-cured tobacco of cocker 347 type in Ahmadgurab region of Rasht. *Journal of Plan Production* 18 (3): 17-30. (in Persian with English abstract).
 19. Taherabadi, S., Parsa, M., and Nezami, A. 2015. Effects of irrigation and foliar application of methanol on growth indices of chickpea (*Cicer arietinum* L.). *Environmental Stresses in Crop Sciences* 7 (2): 273-276. (in Persian with English abstract).
 20. Zbieć, I., Karczmarczyk, S., and Podsiadło, C. 2003. Response of some cultivated plants to methanol as compared to supplemental irrigation. *Electronic Journal of Polish Agricultural Universities* 6 (1): 1-7.



Effects of Foliar Application of Methanol on Yield and Yield Components of Two Cultivars of Canola (*Brassica napus L.*) under Rainfed Conditions

K. Ahmadi¹- M. Rostami^{2*}- S. R. Hosseinzadeh³

Received: 08-12-2017

Accepted: 26-06-2018

Introduction

Canola (*Brassica napus L.*) is an annual plant of the Brassicaceae or Cruciferae family and is regarded as an important oil seed crop in the world. Water deficiency is one of the most limiting factors for plant growth and production in dry regions. The positive effects of methanol application on growth and yield of C₃ plants under drought stress are well documented. Methanol can rapidly metabolize to water and CO₂ in plant tissues and can affect dry matter accumulation by decreasing photorespiration. The foliar application of methanol also can stimulate the methyltrophic bacteria, indirectly. Methyltrophic bacteria usually live on plant leaves and consume some of the methanol on the leaves and affect plant growth via the production of different plant growth regulators such as auxin and cytokine.

Materials and Methods

To evaluate the effects of foliar application of methanol on yield and morpho-physiological characteristics of rapeseed cultivars under rainfed conditions a split plot experiment was conducted based on randomized complete block design (RCBD) with four replications. Experimental treatments were two cultivars of canola (Hayola 401 and Delgan) and four levels of methanol foliar application (control, 5, 10 and 15% of volume), respectively. In the stage of stem elongation, foliar application of methanol repeated 2 times with 10 days interval. At maturity, the plant height and number of lateral branches were measured. At the end of growth season, the plants were harvested by hand-cutting at the soil surface and subsequently, the number of pod per plant, number of seed per pod, 1000 seed weight, seed yield and aboveground biological yield of canola were determined.

Results and Discussion

The results showed that the effects of experimental treatments on plant height and numbers of lateral branches were significant. There was no significant difference between cultivars for 1000 seed weight. For all of the studied traits Hayola 401 was better than Delgan cultivar. The highest amounts of 1000 seed weight, pod number per plant, seed number per pod, number of lateral branches and plant height were observed in treatment with 10% methanol. According to the results, the effect of experimental treatments and also the interaction of these treatments on the seed yield, biological yield and also harvest index were significant. The highest and lowest seed yield were observed in Hayola 401 cultivar treated with 10% methanol (1114 kg ha⁻¹) and Delgan cultivar in the control condition (785 kg ha⁻¹), respectively.

1- Former MSc. Student of Plant Physiology, Department of Biology, Faculty of Science, Malayer University, Iran

2- Assistant Professor, Department of Agronomy, Faculty of Agriculture, Malayer University, Iran

3- Lecturer, Department of Biology, Faculty of Sciences, Behbahan Khatam Alania University of Technology, Iran

(*- Corresponding Author Email: Majidrostami7@yahoo.com)

Conclusions

For all of the studied traits, the performance of Hayola 401 cultivar was better than Delgan cultivar. Although foliar application of methanol has positive effects on studied traits but the relationship between the dose of application and observed response was not linear and the highest amounts of seed yield, number of pod per plant, number of seed per pod, number of produced lateral branches and plant height were obtained in 10% (V/V) methanol. Therefore, application of methanol in concentrations higher than 10% is not recommendable.

Keywords: Biological yield, Crops, Drought stress, Harvest index



پاسخ مورفولوژیک، عملکرد دانه و اسانس سه بوم‌گونه‌ی رازیانه به زمان‌های مختلف کاشت

سمانه کیانی^{۱*} - سید عطاءالله سیادت^۲ - محمد رضا مرادی تلاوت^۳ - عادل پشتدار^۴

تاریخ دریافت: ۱۳۹۶/۰۹/۲۷

تاریخ پذیرش: ۱۳۹۷/۰۱/۲۸

چکیده

با هدف ارزیابی اثر تاریخ کاشت بر سه بوم‌گونه‌ی رازیانه (*Foeniculum vulgare* L.), آزمایشی به صورت اسپلیت‌پلات در قالب طرح بلوك‌های کامل تصادفی با سه تکرار در سال زراعی ۹۵-۹۶ در مزرعه پژوهشی دانشگاه علوم کشاورزی و منابع طبیعی خوزستان اجرا گردید. تاریخ کاشت در هفت سطح (۳۰ مهر، ۱۵ آبان، ۳۰ آذر، ۱۵ دی، ۳۰ آذر، ۱۵ دی) در کرت‌های اصلی و بوم‌گونه در سه سطح (بوشهر، همدان، اصفهان) در کرت‌های فرعی بررسی شدند. صفات مورد مطالعه شامل تعداد گره، قطر ساقه، طول میانگرده دوم، تعداد چتر در ساقه اصلی، تعداد چتر در شاخه‌های فرعی، عملکرد دانه، درصد اسانس و عملکرد اسانس و بیشترین طول میانگرده (۱۴ سانتی‌متر) و تعداد چتر شاخه فرعی (۶۶/۱۷) در بوم‌گونه‌ی بوشهر از تاریخ کاشت اول بدست آمد. تأخیر در تاریخ کاشت اثر کاهشی بر صفات مورفولوژیک داشت به‌طوری که بیشترین تعداد گره در ساقه اصلی (۱/۹۷) در ساقه اصلی (۶/۷) عدد، قطر ساقه اصلی (۴/۵۵) در ساقه اصلی (۴/۴۶) عدد) در تاریخ کاشت ۳۰ مهر مشاهده شد. بالاترین عملکرد دانه (۲۰۲۶/۵ کیلوگرم در هکتار) از تاریخ کاشت ۳۰ مهرماه و بوم‌گونه‌ی بوشهر (۱۷۷۴/۱۲ کیلوگرم در هکتار) حاصل شد. بیشترین درصد اسانس از تاریخ کاشت ۳۰ دی ماه (۴/۴۶ درصد) و بوم‌گونه‌ی اصفهان (۴/۳۷ درصد) بدست آمد. به نظر می‌رسد که بوم‌گونه‌ی بوشهر با کاشت در تاریخ ۳۰ مهرماه مطلوب‌ترین تیمار در تولید دانه جهت کاشت در منطقه مورد مطالعه بود.

واژه‌های کلیدی: تاریخ کاشت، تعداد چتر، درصد اسانس، عملکرد دانه، قطر ساقه

مقدمه

محیطی نظیر درجه حرارت و نور قرار داشته که می‌توانند توسط تاریخ‌های مختلف کاشت، متفاوت باشند. رشد و عملکرد گیاهان دارویی تحت تأثیر تاریخ کاشت، به عنوان یک عامل مدیریتی مهم، قرار می‌گیرد. عملکرد بیوماس و دانه به عنوان یک صفت مهم اقتصادی، دارای توارث کمی است و توسط ژن‌های متعددی کنترل می‌شود که می‌تواند تحت تأثیر محیط، ژنتیک و اثر متقابل آن‌ها قرار گیرد (Adugna and Labuschagne, 2003). شرایط محیط و تاریخ کاشت مناسب از مهم‌ترین عوامل مؤثر در تولید عملکرد مطلوب می‌باشند. تاریخ‌های کشت مختلف سبب انطباق دوران رشد رویشی و زایشی گیاه با دماها، طول روز و تشعشعات خورشیدی متفاوت می‌شود. بدین سان بر نمو، تولید زیست‌توده و در نهایت عملکرد گیاهان تأثیر می‌گذارد. تسریع در نمو گیاهان نیز غالباً سبب کاهش دوره رشد و تولید زیست‌توده شده و عملکرد گیاه را کاهش می‌دهد (Tomar, 1995). تأثیر عوامل محیطی بر مراحل فنولوژیکی گیاه باعث می‌شود که تاریخ کاشت از منطقه‌ای به منطقه دیگر و حتی در یک منطقه بین ژنتیک‌ها متفاوت باشد.

توده‌های بومی به جهت حفظ بقا و سازگاری خود با شرایط

ایران به دلیل موقعیت مناسب از نظر ذخایر فیلوجنتیکی و آب و هوایی قادر است به جایگاه مهمی در صنعت گیاهان دارویی دست یابد. رازیانه (*Foeniculum vulgare* L.) گیاهی است علفی، معطر و چندساله از تیره چتریان، گیاهی گرمسیری بوده و غالباً در مناطق گرم کشور کشت می‌شود (Omid Beigi, 2000). رشد، عملکرد و خصوصیات غذایی گیاهان دارویی زراعی تحت تأثیر فاکتورهای

- دانشجوی دکتری فیزیولوژی گیاهان زراعی، دانشگاه علوم کشاورزی و منابع طبیعی خوزستان
- استاد، زراعت، گروه مهندسی تولید و ژنتیک گیاهی، دانشگاه علوم کشاورزی و منابع طبیعی خوزستان
- دانشیار، فیزیولوژی گیاهان زراعی، گروه مهندسی تولید و ژنتیک گیاهی، دانشگاه علوم کشاورزی و منابع طبیعی خوزستان
- دکتری زراعت، گروه مهندسی تولید و ژنتیک گیاهی، دانشگاه علوم کشاورزی و منابع طبیعی خوزستان
- نویسنده مسئول: (Email: Kiani_sama@yahoo.com)

DOI: 10.22067/gsc.v16i3.69515

Matricaria کاشت ۲۰ اسفند بهترین تاریخ کاشت باونه (*chamomilla*) نسبت به سایر تاریخ‌های مورد بررسی در شرایط آب و هوایی گرگان بوده است (Fargang Mehr et al., 2014). چوپان و همکاران (2014) در ارزیابی تأثیر تاریخ کاشت گیاه دارویی کدوی پوست کاغذی (*Cucurbita pepo*) در شرایط مشهد دیافتند که نتایج حاصل، بهینه بودن تاریخ کاشت دوم (۲۲ اردیبهشت) را در بین تیمارهای تاریخ کاشت، در تمامی صفات کمی مورد بررسی نشان داد. در دشت خوزستان به دلیل عدم وجود تاریخ کاشت مناسب و توصیه شده گیاه رازیانه، تصمیم‌گیری در مورد زمان کاشت مطلوب بسیار مهم بوده و از عوامل مهم جهت کسب حداقل عملکرد در گیاه می‌باشد. بنابراین پژوهش حاضر با هدف ارزیابی سه بوم‌گونه‌ی رازیانه در تاریخ‌های مختلف کاشت و تعیین مناسب‌ترین زمان کاشت برای این گیاه در شرایط آب و هوایی اهواز انجام گردید.

مواد و روش‌ها

این پژوهش در سال زراعی ۹۵-۹۶ در مزرعه دانشگاه علوم کشاورزی و منابع طبیعی خوزستان، به صورت اسپیلیت پلات در قالب طرح پایه بلوک‌های کامل تصادفی با سه تکرار و ۲۱ تیمار انجام گردید. فاکتور اصلی شامل هفت تاریخ کاشت (۳۰ مهر، ۱۵ آبان، ۳۰ آبان، ۱۵ آذر، ۱۵ دی و ۳۰ دی) و فاکتور فرعی نیز شامل سه بوم‌گونه رازیانه (بوشهر، همدان و اصفهان) بود. خصوصیات خاک مورد آزمایش در جدول ۱ آورده شده است.

اقليمی منطقه بسیار حائز اهمیت هستند. خصوصیات رشدی و عملکرد بوم‌گونه‌ها از منطقه‌ای به منطقه‌ی دیگر تغییر می‌کند و این نشان‌دهنده‌ی اثر متقابل بوم‌گونه با مناطق و محیط است. اثر متقابل ژنتیک در محیط (به عبارت دیگر یکنواخت نبودن عملکرد نسبی ژنتیک در محیط) ایجاد می‌کند که انتخاب ارقام فقط براساس عملکرد یک محیط، معیار مناسبی نیاشد. بهتر است ژنتیک‌ها در دامنه‌ی وسیعی از تغییرات محیطی در مکان‌ها و سال‌های مختلف (تاریخ‌های مختلف کاشت) مورد ارزیابی قرار گیرند. بدین منظور که اطلاعات حاصل از تخمین میزان سازگاری و ثبات عملکرد ژنتیک‌ها، معیار مطمئن‌تری برای توسعه‌ی ارقام و کشت آن‌ها باشد و کارایی گریش و معرفی ارقام را افزایش دهد. در این زمینه، ارزیابی واکنش بوم‌گونه‌های کوشیا (*Kochia scoparia*) به تاریخ کاشت نشان داد که ارتفاع بوته، عملکرد شاخساره و عملکرد بیولوژیک با تأخیر کاشت از اسفند ماه کاهش یافتد و عملکرد بیولوژیک در بوم‌گونه‌ی سبزواری بیشتر از سایر بوم‌گونه‌ها بود (Kamandi et al., 2013). اثر تاریخ کاشت بر تعداد فولیکول در بوته، تعداد دانه در فولیکول، عملکرد زیستی و عملکرد دانه سیاهدانه (*Nigella sativa* L.) معنی‌دار بود و در تاریخ کاشت تأخیری بیشترین عملکرد دانه متعلق به بوم‌گونه‌ی بیرون‌جند بود (Javadi Hedayat Abadi et al., 2015). نتایج بررسی رسام و همکاران (2007) (*Rassam et al., 2007*) بر گیاه انیسون (*Pimpinella anisum* L.) نشان داد که تأخیر در کاشت، موجب کاهش تعداد دانه در چتر گردید. همچنین تاریخ کاشت بر عملکرد گل خشک و تازه، تعداد ساقه‌های اصلی گل دهنده، تعداد و وزن خشک برگ و ارتفاع بوته باونه آلمانی اثر معنی‌داری داشت. در این بین

جدول ۱- خصوصیات فیزیکی و شیمیایی خاک مزرعه پژوهشی در زمان شروع آزمایش (۱۳۹۵-۹۶)

Table 1- Physical and chemical characteristics of the soil field at the start of the experiment (2016- 2017)

بافت خاک soil texture	ماده آلی Organic matter (%)	هدایت الکتریکی EC(µmhos.cm ⁻¹)	اسیدیته pH	پتاسیم K (ppm)	فسفر (ppm) P	نیتروژن N (%)	عمق نمونه‌برداری Sampling depth (cm)
رسی-سیلتی clay-silt	0.76	3.6	7.4	214	7.2	0.07	0-30

منطقه به طور کامل انجام گردید. میارزه با علف‌های هرز به صورت وحین دستی و در چندین مرحله صورت گرفت. با رسیدگی دانه، برداشت (بسته به زمان‌های کاشت متفاوت، زمان برداشت هر کدام از تاریخ‌ها نیز متفاوت بود) و نمونه‌برداری جهت ارزیابی صفاتی نظری تعداد گره، قطر ساقه، طول میانگرۀ دوم، تعداد چتر در ساقه اصلی، تعداد چتر در شاخه‌های فرعی، عملکرد دانه، درصد انسانس دانه، عملکرد انسانس و عملکرد بیولوژیک انجام شد. جهت اندازه‌گیری صفات مورفولوژیک ۵ بوته به صورت تصادفی انتخاب و اندازه‌گیری های مذکور انجام شد. به منظور تعیین مقدار انسانس با

هر واحد آزمایش شامل ۶ خط کاشت به طول ۳ متر، فاصله بین دو خط کشت ۴۰ سانتی‌متر، فاصله بین کرت‌های اصلی یک متر و بین دو بلوك‌ها ۲ متر در نظر گرفته شد. تراکم گیاهی اعمال شده برای رازیانه ۱۳ بوته در متر مربع بود. تاریخ کاشت بسته به زمان هر تیمار، به صورت دستی و بذرور هر بوم‌گونه در عمق یک سانتی‌متری خاک کشت شدند. نیتروژن مورد نیاز از منبع اوره به میزان ۱۴۰ کیلوگرم در هکتار استفاده گردید. یک سوم از سطوح کود اوره در ابتدای کاشت و باقی مانده نیز در مرحله‌ی ساقه رفتن نیز اعمال گردید. آبیاری در طول دوره رشد بر اساس مشاهدات مزرعه و شرایط جوی

جدول ۲- تجزیه واریانس آثر تاریخ کاشت بر صفات مورفولوژی، عملکرد دانه و بیولوژیک، درصد و عملکرد اسانس سه بوم گونه‌ی رازیانه

Table 2- Analysis of variance of planting date on morphological traits, grain and biological yield, percentage and yield of essential oil of three fennel ecotypes

متغیر تغییرات	S.O.V	d.f	درجه آزادی	تعداد گره	تعداد گره	قطر ساقه	قطر ساقه	تعداد چتر در طول میانگرده	تعداد چتر در ساقه اصلی	تعداد چتر در ساقه فرعی	تعداد چتر در ساقه اصلی	عملکرد دانه	عملکرد دانه	عملکرد اسانس	عملکرد اسانس	Essential oil yield	Essential oil yield	Biological yield
بلوک																		
D تاریخ کاشت	Replication	2	0.246 ns	0.03 ns	1.03 ns	64.04 ns	0.05 ns	7528.3 ns	0.02 ns	31.15 ns	1029.7 ns							
اشتباه اصلی	Planting Date	6	5.66 **	1.02 **	56.78 **	1474.1 **	2.27 **	1108080.5 **	3.07 *	434.7 ns	2818001 **							
E _{آب} × E _{آب}	Main plot error	12	0.23	0.05	1.37	43.66	0.31	8150.4	0.67	200.9	77122							
E _{آب} × D	Ecotype	2	3.22 **	0.006 ns	5.24 *	346.8 **	1.74 *	387200.3 **	2.4 *	1541.95 **	1067510.4 **							
E _{آب} × E _{آب} × F _{فرعی}	E×D	12	0.48 ns	0.02 ns	2.49 *	108.5 *	0.09 ns	12318.9 ns	0.253 ns	109.8 ns	25292.9 *							
	Sub plot error	28	0.54	0.03	1.17	46.5	0.39	16887.6	0.24	113.11	88637.1							
	ضریب تغییرات (%)			13.1	12.4	10.7	17.5	15.7	7.9	12.72	17.02	5.2						
	S.E.C.V																	

* and ** significant at the level 5% and 1% respectively, ns not significant
** پذیرفته معنی دار در مطابق با درصد عدم معنی داری

استفاده از روش تقطیر با آب (طرح دستگاه کلونجر)، به میزان ۵۰ گرم ماده خشک با یک لیتر آب مقطر اسانس‌گیری انجام شد (Sefeidkon, 2002). عملکرد اسانس نیز از حاصل ضرب مقدار اسانس در عملکرد دانه بدست آمد. تجزیه و تحلیل آماری داده‌ها شامل تجزیه‌ی واریانس و مقایسه میانگین‌ها، با استفاده از نرم‌افزار سیستم SAS نسخه‌ی ۹/۲ صورت گرفت. مقایسه میانگین داده‌ها نیز با آزمون LSD در سطح احتمال پنج درصد انجام گردید.

نتایج و بحث

تعداد گره در ساقه: نتایج نشان داد که اثر تاریخ کاشت و بوم گونه ($P<0.01$) بر تعداد گره معنی دار بود ولی اثر متقابل این دو تفاوت معنی داری را نشان نداد (جدول ۲). بیشترین تعداد گره ۶/۷ گره (۳۰ دی) از تاریخ کاشت اول (۳۰ مهر)، بدست آمد که نسبت به تاریخ کاشت آخر یعنی ۳۰ دی (با ۴/۷ گرم)، ۲۹ درصد تعداد گره بیشتری داشت (جدول ۳). یافته‌ها نشان داد که با تأخیر در کاشت، از مهرماه به سمت دی ماه، به دلیل کاهش رشد رویشی، تعداد گره در ساقه‌ی اصلی کاهش می‌یابد. از جمله دلایل افزایش تعداد گره در ساقه‌ی اصلی برای تاریخ‌های کاشت زودتر، دوره‌ی رشد رویشی و شاخه‌دهی طولانی تر بود که موجب افزایش ارتفاع بوته و در نتیجه افزایش تعداد گره شد (Rabiei, 2011). در گزارشی دیگر سیاهمرگوبی و همکاران (Siahmargouei et al., 2011) دریافتند که تاریخ کاشت اثر معنی داری بر تعداد گره رازیانه داشت به طوری که تاریخ کاشت آبان ماه نسبت به مهر ماه برتری اصلی را داشت (جدول ۳). به نظر گره کمترین تعداد گره در ساقه‌ی اصلی تحت تأثیر ژنتیک بوده و می‌رسد که تعداد گره در ساقه‌ی اصلی تحت تأثیر ژنتیک بوده و شرایط محیطی نیز در بروز این خصوصیت ژنتیکی مؤثر است. در این میان، بوم گونه‌ی اصفهان دارای تعداد گره بیشتر از دو بوم گونه‌ی بوشهر و همدان بود. گلدانی (Goldani, 2010) در ارزیابی دو بوم گونه‌ی کنجد دریافت که ارتفاع بوته و تعداد گره در بوم گونه‌ی سه قلعه بیشتر از بوم گونه‌ی کلات بود. همچنین دو بوم گونه‌ی رازیانه خراسان و کرمان با یکدیگر از نظر تعداد گره اختلاف معنی داری نداشتند (Siahmargouei et al., 2011).

قطر ساقه: قطر ساقه تنها تحت تأثیر تاریخ کاشت تفاوت معنی داری ($P<0.01$) را نشان داد. در حالی که بین بوم گونه‌ها و اثر متقابل آن‌ها با تاریخ کاشت تفاوت معنی دار مشاهده نشد (جدول ۲). مقایسه میانگین‌ها نشان داد که بیشترین قطر ساقه از تاریخ کاشت ۳۰ مهر و کمترین آن نیز از تاریخ ۳۰ دی ماه حاصل شد (جدول ۳).

جدول ۳- مقایسه میانگین صفات مورفولوژی، عملکرد دانه، درصد و عملکرد اسانس بوم‌گونه‌های رازیانه

Table 3- Mean comparison of morphological characteristics, grain yield, percentage and Essential oil yield of fennel ecotypes

تیمار Planting Date	Treatment	تعداد گره Number of nodes	قطر ساقه Stem diameter (cm)	تعداد چتر در ساقه Number of umbrellas in main stem	عملکرد دانه Grain yield (kg.ha ⁻¹)	درصد اسانس Essential oil percentage	عملکرد اسانس Essential oil yield (kg.ha ⁻¹)
تاریخ کاشت Planting Date	۲۲ مهر October	6.7 a	1.97 a	4.55 a	2026.5 a	3.18 c	65.35 a
	۶ آبان November	6.5 a	1.68 b	4.5 ab	1954.45 a	3.32 c	65.28 a
	۲۱ آبان November	5.7 b	1.56 bc	4.21 abc	1793.6 b	3.62 bc	65.17 a
	۱۵ آذر Desember	5.61 bc	1.38 cd	3.94 bc	1670.39 c	3.81 abc	63.56 a
	۲۱ آذر Desember	5.16 cd	1.23 de	3.83 cd	1596.10 c	4.22 ab	67.41 a
	۵ دی January	4.88 d	1.08 e	3.33 d	1375.58 d	4.59 a	63.47 a
	۲۰ دی January	4.7 d	1.05 e	3.33 d	1011.96 e	4.64 a	46.98 b
بوم‌گونه Ecotype	بوشهر Bushehr	5.47 ab	1.41 a	4.17 a	1774.12 a	3.87 ab	67.15 a
	همدان Hamedan	5.35 b	1.44 a	3.63 b	1503.37 c	3.59 b	52.57 b
	اصفهان Esfahan	6.08 a	1.42 a	4.07 ab	1620.51 b	4.27 a	67.66 a

۲). به طور کلی تاریخ کاشت اول موجب تولید گیاهانی با تعداد گره و طول میانگره بیشتر شد. احتمالاً این افزایش به دلیل طولانی شدن دوره رشد گیاه است و با تأخیر در کاشت از میزان طول میانگره هر سه بوم‌گونه کاسته می‌شود. تحقیقات نشان داده است که کاشت زودتر موجب تولید گیاهانی با تعداد گره و طول میانگره بیشتر می‌شود (Behdani and AL- Ahmadi, 2008). بر اساس تحقیقات، اندازه میان‌گره‌ها و تعداد گرهی بوم‌گونه‌های رازیانه تحت تأثیر بوم‌گونه قرار دارد (Ahmadi Khandangholi *et al.*, 2014).

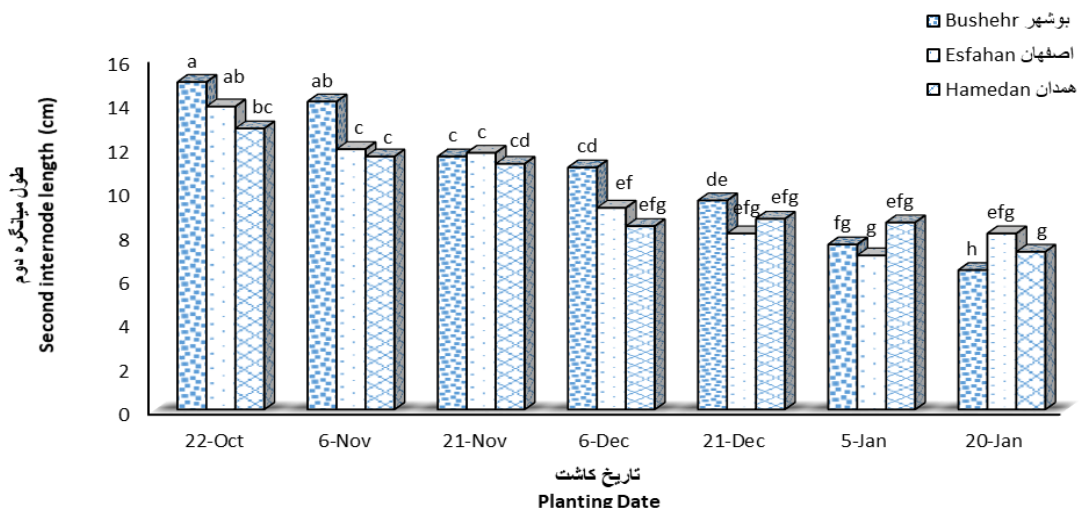
تعداد چتر در شاخه‌فرعی: تاریخ کاشت و بوم‌گونه (P<0.01) و همچنین اثر متقابل تاریخ کاشت در بوم‌گونه (P<0.05) اثر معنی‌داری بر تعداد چتر در شاخه‌های فرعی داشتند (جدول ۲). اثر تاریخ کاشت و بوم‌گونه نشان داد که بیشترین تعداد چتر در شاخه فرعی (۶۶ عدد) در بوم‌گونه‌ی بوشهر در تاریخ کاشت ۳۰ مهر حاصل شد. در حالی که کمترین آن (۱۸ عدد) از تیمار بوم‌گونه‌ی اصفهان در تاریخ کاشت ۳۰ دی ماه بدست آمد (شکل ۲). با تأخیر در کاشت تعداد چتر در شاخه فرعی کاهش یافت و بوم‌گونه‌ی بوشهر بیشترین کاهش را نشان داد. بنابراین می‌توان نتیجه گرفت که بوم‌گونه‌های مختلف در زمان‌های کاشت متفاوت به دلیل شرایط محیطی متفاوت

به نظر می‌رسد که مساعد بودن شرایط محیطی در تاریخ کاشت اول موجب بهبود رشد و نمو بهتر گیاه گردیده که این امر در نهایت منجر به افزایش قطر ساقه شد. برتری معنی‌دار قطر ساقه در کاشت زودتر نیز می‌تواند در اثر رشد رویشی طولانی تر و در نتیجه حجم بیشتر مواد فتوستنتزی مازاد بر نیاز گیاه باشد که در ساقه ذخیره شده‌اند و موجب افزایش قطر ساقه و رشد گیاه شده‌اند. محمدپور و همکاران (Mohammad Pour *et al.*, 2013) نیز در ارزیابی اثر تاریخ کاشت بر مرزه‌ی تابستانه دریافتند که با تأخیر در کاشت قطر ساقه کاهش یافته و بیشترین قطر در تاریخ کاشت اول (۲۲ فروردین) حاصل شد.

طول میانگره دوم: نتایج نشان داد که اثر تاریخ کاشت (P<0.05) و بوم‌گونه (P<0.01) و اثر متقابل تاریخ کاشت و بوم‌گونه (P<0.05) بر طول میانگره دوم معنی‌دار بود (جدول ۲). بررسی برهمنکش تاریخ کاشت در بوم‌گونه نشان داد که بیشترین طول میانگره دوم (۱۴/۸۹ سانتی‌متر) در تیمار بوم‌گونه‌ی بوشهر در تاریخ کاشت ۳۰ مهر حاصل شد در حالی که کمترین آن (۶/۳۳ سانتی‌متر) نیز از همان بوم‌گونه در تاریخ کاشت ۳۰ دی ماه بدست آمد (شکل

Ghanbari and Khajavi Nejad, 2014
بوم‌گونه‌های زیره سبز نیز تأیید شده است ().

در زمان تطابق مراحل فولوژی با محیط، پتانسیل تولید چتر متفاوتی دارند. در تحقیقی اثر متقابل بین بوم‌گونه و تاریخ کاشت بر

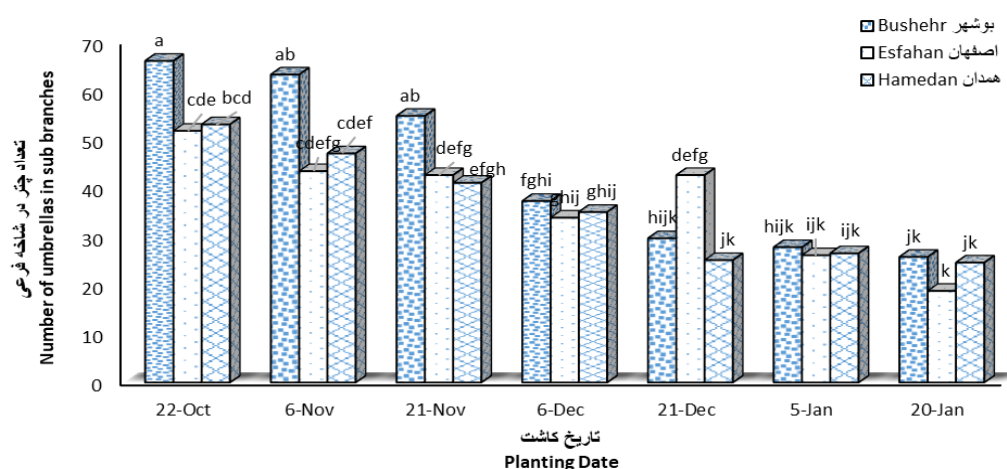


شکل ۱- اثر تاریخ کاشت و بوم‌گونه بر طول میانگره دوم

Figure 1- Effect of planting date and ecotype on the length of the second internode

ستون‌های دارای حروف مشترک اختلاف معنی‌داری در سطح احتمال پنج درصد ندارند.

Column with same letter are not significantly different.



شکل ۲- اثر تاریخ کاشت و بوم‌گونه بر تعداد چتر در شاخه فرعی

Figure 2- The effect of planting date and ecotype on the number of umbrellas in the sub branch

ستون‌های دارای حروف مشترک اختلاف معنی‌داری در سطح احتمال پنج درصد ندارند.

Column with same letter are not significantly different.

شرایط محیطی و تاریخ کاشت مناسب نیز وابسته است. احتمالاً در تاریخ کاشت ۳۰ مهر، به دلیل افزایش طول دوره رشد، رشد رویشی و زایشی به خوبی انجام شد و تعداد چتر در ساقه اصلی را افزایش داد. همچنین در میان بوم‌گونه‌ها نیز بوم‌گونه‌ی بوشهر با $\frac{4}{17}$ عدد بیشترین و بوم‌گونه‌ی همدان با $\frac{3}{63}$ عدد کمترین تعداد چتر در ساقه اصلی را داشت (جدول ۳). تعداد چتر در ساقه اصلی در

تعداد چتر در ساقه اصلی: نتایج نشان داد تاریخ کاشت (P<0.05) و بوم‌گونه (P<0.01) اثر معنی‌داری بر تعداد چتر در ساقه اصلی دارند. اما اثر متقابل تاریخ کاشت و بوم‌گونه معنی‌دار نبود (جدول ۲). میانگین تعداد چتر در ساقه اصلی در تاریخ ۳۰ مهر بیشترین ($\frac{4}{55}$ عدد) و در تاریخ ۳۰ دی ماه کمترین ($\frac{3}{33}$ عدد) تعداد را نشان داد (جدول ۳). بنابراین تعداد چتر علاوه بر ژنتیک به

بیشترین درصد انسانس (۴/۶۴ درصد) از تاریخ کاشت هفتم (۰ دی) حاصل شد که با تاریخ کاشت ششم (۱۵ دی) با ۴/۵۹ درصد، تفاوت معنی داری نداشت. همچنین کمترین درصد انسانس نیز از تاریخ کاشت اول (۳۰ مهر) به میزان ۳/۱۸ درصد حاصل شد (جدول ۳). به نظر می‌رسد که با کاشت دیرهنگام رازیانه به دلیل دوره‌ی رشد رویشی کوتاه و بالارفتمندی هوا و مصادف شدن فاز زایشی گیاه با گرما، میزان انسانس افزایش یافت. عادلی و همکاران (Adeli et al., 2013) در پژوهش خود بر روی بوم‌گونه‌های بابونه اظهار داشتند که همیستگی منفی و معنی داری میان درصد انسانس و وزن خشک سرشاخه وجود داشت. جبارپور و همکاران (Jabar Pour et al., 2014) دریافتند که اثر تاریخ کاشت بر درصد انسانس نعناع فلسفی معنی دارد و بیشترین درصد انسانس مربوط به گیاهان کاشته شده در تاریخ کاشت دوم، اواسط خرداد به میزان ۴/۴۷ درصد بود. از میان بوم‌گونه‌ها نیز بوم‌گونه‌ی اصفهان با ۴/۲۷ درصد انسانس بیشترین و بوم‌گونه‌ی همدان با ۳/۵۹ درصد کمترین درصد انسانس را داشت (جدول ۳). بالا بودن درصد انسانس در بوم‌گونه‌ی اصفهان نشان از بالاتر بودن منبع ذخیره انسانس در کاشت رشد گیاه کاهش یافته و بوم‌گونه‌ها است. در شرایط تأخیر در کاشت رشد گیاه کاهش یافته و احتمالاً گیاه کربن در دسترس را به جای افزایش رشد، صرف تولید متابولیت‌های ثانویه می‌کند. بنابراین تشکیل و تجمع انسانس در گیاهان تحت شرایط تنفس، تمایل به افزایش دارد (Banayan et al., 2008).

عملکرد انسانس: تنها اثر بوم‌گونه بر عملکرد انسانس معنی دار بود و اثر تاریخ کاشت و اثر متقابل تاریخ کاشت و بوم‌گونه تفاوت معنی داری را نشان نداد (جدول ۲). نتایج نشان داد که بیشترین عملکرد انسانس از بوم‌گونه‌ی اصفهان به میزان ۶۷/۶۶ کیلوگرم در هکتار به دست آمد که با بوم‌گونه‌ی بوشهر به میزان ۶۷/۱۵ کیلوگرم در هکتار تفاوت معنی داری دارد (جدول ۳). بوم‌گونه‌های رویش یافته در مناطق مختلف جغرافیایی، به جهت ژنتیک مختلف دارای درصد و عملکرد انسانس متفاوت نیز خواهد بود. در این پژوهش با وجود عملکرد کمتر بوم‌گونه‌ی اصفهان نسبت به بوم‌گونه‌ی بوشهر، درصد انسانس بالاتری داشته و عملکرد انسانس (که حاصل ضرب مقدار انسانس در عملکرد دانه است) نیز بیشتر از بوم‌گونه بوشهر بود. در واقع بالاتر بودن عملکرد انسانس بوم‌گونه اصفهان نسبت به دو بوم‌گونه دیگر را می‌توان به درصد انسانس بالای آن نسبت داد (جدول ۳). میزان انسانس به شدت تحت تأثیر ژنتیک قرار دارد.

عملکرد بیولوژیک: نتایج اثر معنی دار تاریخ کاشت، بوم‌گونه (P<0.01) و اثر متقابل تاریخ کاشت و بوم‌گونه (P<0.05) را تأیید کرد (جدول ۲). بررسی اثر متقابل تاریخ کاشت و بوم‌گونه نشان داد

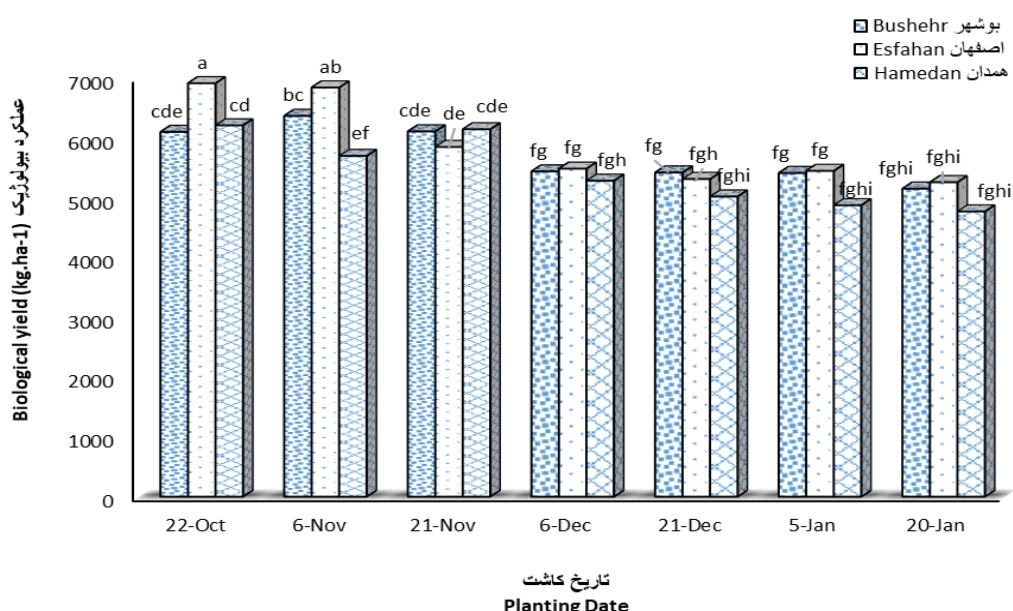
بوم‌گونه‌ی بوشهر بیشتر از سایر بوم‌گونه‌ها بود که نشان از پتانسیل ژنتیکی بوم‌گونه است. نوروزی شهری و همکاران (Norouzi Shahri et al., 2015) دریافتند که توده‌های رازیانه از نظر تعداد چترهای اصلی تفاوت معنی دار داشته به طوری که توده‌ی زنجان دارای بیشترین و اصفهان و همدان کمترین تعداد چتر در ساقه‌های اصلی را داشتند.

عملکرد دانه: تاریخ کاشت و بوم‌گونه تفاوت معنی داری (P<0.01) را بر عملکرد دانه نشان دادند و اثر متقابل این دو در این مورد معنی دار نبود (جدول ۲). مقایسه میانگین ها نشان داد که بیشترین عملکرد دانه در تاریخ کاشت اول (۳۰ مهر) به میزان ۲۰۲۶/۵ کیلوگرم در هکتار به دست آمد که با عملکرد حاصل از تاریخ کاشت دوم (۱۵ آبان با تولید ۱۹۵۴/۴۵ کیلوگرم در هکتار) تفاوت معنی داری نداشت. همچنین عملکرد دانه در تاریخ ۳۰ مهر نسبت به کمترین عملکرد (حاصل از تاریخ کاشت ۳۰ دی با تولید ۱۰۱۱/۹۶ کیلوگرم در هکتار) به میزان ۵۰ درصد عملکرد محصول را افزایش داده است (جدول ۳). بر اساس نتایج، برتری عملکرد در تاریخ کاشت اول مشاهده گشت و با تأخیر در کاشت از این برتری کاسته شد. در مجموع با تأخیر در کاشت به دلیل کاهش طول دوره رشد، رشد رویشی و کاهش در اجزای عملکرد گیاه، عملکرد دانه نیز کاهش Javadi Hedayat Abadi (et al., 2015) دریافتند که گیاهان کشت شده در تاریخ کاشت اسفندماه و فروردین ماه عملکرد بیشتری از گیاهان کشت شده در اردیبهشت ماه در شرایط مشهد داشتند. همچنین بیشترین عملکرد دانه را بوم‌گونه‌ی بوشهر با ۱۷۷۴/۱۲ کیلوگرم در هکتار به خود اختصاص داد در حالی که بوم‌گونه‌ی همدان با ۱۵ درصد کاهش نسبت به بوشهر کمترین عملکرد دانه را داشت (جدول ۳). به نظر می‌رسد که بوم‌گونه‌ی بوشهر به دلیل داشتن بیشترین تعداد چتر در بوته (که از مهمترین اجزای عملکرد با ضریب همبستگی مثبت و معنی دار $P=0.81$ است) قابلیت تولید بالاتری از سایر بوم‌گونه‌ها را دارد که در نتیجه از عملکرد بالاتری برخوردار شد. همچنین احتمالاً تکامل در طول سالیان متعددی در شرایط آب و هوایی گرم، سبب بهبود تحمل و تطابق بوم‌گونه‌ی بوشهر نسبت به گرما شده است. همین امر سبب برتری قابل توجه بوم‌گونه بوشهر نسبت به سایر بوم‌گونه‌ها در شرایط آب و هوایی در منطقه مورد مطالعه گردید. رضایی‌چیانه و همکاران (Rezaei chianeh et al., 2012) تفاوت عملکرد بوم‌گونه‌ی رازیانه از میر را با دو بوم‌گونه‌ی همدان و گازی آنچه تأیید کردند.

درصد انسانس: این صفت به طور معنی داری تحت تأثیر تاریخ کاشت و بوم‌گونه (P<0.01) قرار گرفت. در حالی که اثر متقابل آن ها معنی دار نبود (جدول ۲). نتایج نشان داد که با تأخیر در کاشت افزایش ۳۱ درصدی در درصد انسانس رازیانه حاصل می‌شود به گونه‌ای که

کاشت و اکوئیپهای مختلف نیز بر عملکرد بیولوژیک و عملکرد دانه معنی دار بود. به طوری که بوم‌گونه‌ی کرمان در تاریخ کاشت ۵ اسفند بیشترین عملکرد بیولوژیک و دانه را تولید کرد و بوم‌گونه‌ی یزد در تاریخ کاشت ۵ دی ماه کمترین مقدار را برای این دو صفت دارا بود (Ghanbari and Khajavi Nejad, 2014).

که بوم‌گونه‌ی اصفهان در تاریخ کاشت اول (۳۰ مهر ماه) با ۶۹۱۴/۵ کیلوگرم در هکتار بیشترین عملکرد بیولوژیک و بوم‌گونه‌ی همدان در تاریخ کاشت آخر (۳۰ دی ماه) با ۴۷۶۹/۴ کیلوگرم در هکتار کمترین عملکرد بیولوژیک را داشت. به عبارت دیگر تأخیر در کاشت به ۳۰ دی، ۳۱ درصد از عملکرد بیولوژیک را نسبت به کاشت ۳۰ مهر کاهش داد (شکل ۳). در پژوهشی اثر متقابل تاریخ‌های مختلف



شکل ۳- اثر تاریخ کاشت و بوم‌گونه بر عملکرد بیولوژیک

Figure 3- Effect of planting date and ecotypes on biological yield

ستون‌های دارای حروف مشترک اختلاف معنی‌داری در سطح احتمال پنج درصد ندارند.
Column with same letter are not significantly different.

جهت افزایش در اجزای آن شد. همچنین با تأخیر در کاشت از ۳۰ مهر به ۳۰ دی ماه، درصد اسانس به بیشترین مقدار رسید. احتمالاً این امر به دلیل کاهش طول دوره‌ی زایشی و مواجه شدن این دوره با افزایش گرمای انتهای فصل باشد. در بین بوم‌گونه‌ها نیز بوم‌گونه‌ی بوشهر به دلیل داشتن تطابق پذیری بیشتر به منطقه و همچنین بیشترین عملکرد دانه و تعداد چتر در تاریخ کاشت ۳۰ مهر ماه، به عنوان مناسب‌ترین بوم‌گونه و مطلوب برای کشت از نظر تولید دانه در منطقه‌ی مورد مطالعه پیشنهاد می‌گردد و چنانچه هدف تولید اسانس باشد بوم‌گونه اصفهان جهت کشت در منطقه مورد مطالعه پیشنهاد می‌گردد.

نتیجه‌گیری

یکی از اهداف تعیین تاریخ کاشت مناسب برای یک گیاه این است که گیاه ضمن بهره‌وری حداکثری از عوامل محیطی در طول فصل رشد، به تنش‌های زنده و غیرزنده مثل آفات، بیماری‌ها، سرما و گرما نیز برخورد نکند. به عبارت دیگر گیاه بتواند طول دوره رشد خود را در محیطی نسبتاً ایده‌آل سپری کند. با توجه به یافته‌های این پژوهش و در راستای تعیین سهم ژنتیکی نسبت به تاریخ کاشت، به کارگیری بوم‌گونه‌های مختلف در تاریخ‌های متفاوت کاشت نشان داد که تاریخ کاشت اول با مساعد کردن عوامل محیطی در بروز پتانسیل ژنتیکی بوم‌گونه‌ها (به دلیل طولانی بودن طول دوره رشد نسبت به سایر تاریخ‌های کاشت)، منجر به افزایش عملکرد به

References

- Adeli, N., Alizadeh, M. A., Mohammadi, A., and Jafari, A. A. 2013. Anthemis of populations Chamomile some in

- yield oil essential and traits physiological, Morphological of Evaluation hussknetii species. *Agronomy Journal (Pajouhesh and Sazandegi)* 104: 185-192.
2. Adugna, W., and Labuschagne, M. T. 2003. Parametric and nonparametric measures of phenotypic stability in linseed (*Linum usitatissimum L.*). *Euphytica*. 129: 211-218.
 3. Ahmadi Khandanagoli, Y., Akbari, Gh. AS., and Allah Dadi, A. 2014. Effect of drought stress on some growth indices of fennel aphid. Second National Conference on Applied Research in Agricultural Sciences. (In Persian).
 4. Bannayan, M., Nadjafi, F., Azizi, M., Tabrizi, L., and Rastgoo, M. 2008. Yield and seed quality of *plantago ovata Nigella sativa* under different irrigation treatments. *Industrial Crops and products* 27: 11-16.
 5. Behdani, M. A., and Jami AL-Ahahmadi, M. 2008. Evaluation of growth and yield of safflower cultivars in different planting dates. *Iranian Journal of Field Crops Research* 6 (2): 245-254. (in Persian with English abstract).
 6. Choupan, F., Banayan, M., Asadi, Gh., and Shabahang, J. 2014. Effect of Planting Date and Density on Yield and Yield Components of Pumpkin Skin Paper (*Cucurbita pepo L.*) in Mashhad. *Journal of Agroecology* 6 (2): 383-392. (In Persian).
 7. Farhang Mehr, S., Akbari, Sh., and Rezvan Bidakhti, Sh. 2014. Effect of planting date and plant density on flower yield and some morphological characteristics of matricaria (*Matricaria chamomilla L.*). *Journal of plant Ecophysiology* 6 (16): 79-87. (in Persian with English abstract).
 8. Ghanbari, J., and Khajavi Nejad, Gh. 2014. Evaluation of yield and agronomic traits of cumin ecotypes in different planting dates in Kerman region. *Journal of Agroecology* 6 (1): 142- 151. (In Persian).
 9. Goldani, M. 2010. Effect of irrigation regimes on morpho-physiological Sesame ecotypes (*Sesamum indicum L.*) under greenhouse conditions. *Journal of Agricultural Ecology* 2 (4): 658- 666. (In Persian).
 10. Jabar Pour, S., Zehtab Salmasi, S., Alyari, H., Javanshir, A., and Shakiba, M. R. 2014. Effect of date and planting density on yield and essential oil content of peppermint. *Agroecology* 5 (4): 416- 423. (In Persian).
 11. Javadi Hedayat Abad, F., Nezami, A., Kafi, M., and Shabahang, J. 2015. The reaction of black seeds (*Nigella sativa L.*) ecotypes to planting times in Mashhad conditions. *Iranian Journal of Field Crops Research* 12 (4): 632-640. (In Persian).
 12. Kamandi, A., Nezami, A., Kafi, M., and Javadian, S. A. 2013. Response of Ecotypes of Kochia (*Scoparia Kochia*) to Sowing Date under Mashhad Climate. *Iranian Journal of Field Crops Research* 11 (3): 437- 445. (In Persian).
 13. Kiyanbakht, M., Zeinali, E., Siahmarguee, A., Sheikh, F., and Mohammadi Pouri, G. 2014. Effect of sowing date on grain yield and yield components and green pod yield of three faba bean cultivars in Gorgan climatic conditions. *Electronic Journal of Crop Production* 8 (1): 99-119. (In Persian with English abstract).
 14. Mohammadpour, M., Ghasemnejad, A., Lebaschy, M. H., Abbaszadeh, B., and Azadbakht, M. 2013. Effects of sowing date and plant density on morphological characteristics and yield of Summer savory (*Satureja hortensis L.*). *Iranian Journal of Medicinal and Aromatic Plants* 29 (3): 621- 634. (In Persian with English abstract).
 15. Norouzi Shahri, F., Puriyosf, M., Tavakoli, A., Saba, J., and Yazdinejad, A. 2015. Evaluation of the function of some fennel ecotypes (*Foeniculum vulgare Mill.*) native to Iran under drought conditions. *Iranian Crop Science* 46 (1): 49-56. (In Persian).
 16. Omid Beigi, R. 2000. Approaches to the production and processing of medicinal plants (2). the Phoenix. Pp. 70-78.
 17. Rabeie, M. 2011. Determination of the best sowing date, amount of seed and planting space of faba bean Barkat variety as second cultivation in Guilan. *Rice Research Institute Publications*. 33p.
 18. Rassam, Gh., Naddaf, M., and Sefidcon, F. 2007 . Effect of planting date and plant density on yield and seed yield components of Anise (*Pimpinella anisum L.*). *Pajouhesh & Sazandeg* 75 pp: 127-133. (in Persian with English abstract).
 19. Rezaei Chiane, A., Zahtab Salmasi, S., Ghasemi Golazani, K., and Del Azar, A. S. 2012. Effect of irrigation treatments on yield and yield components of three fennel populations. *Journal of Agricultural Knowledge and Sustainable Production* 22 (4): 57-70. (In Persian).
 20. Sefeidkon, F. 2002. Quality and quantity evaluation the essential oil of fennel (*Foeniculum vulgare Mill.*) In different growth stages. *Iranian Journal of Medicinal and Aromatic Plants Research* 7: 85-104. (in Persian with English abstract).
 21. Siahmargou, A., Azizi, K., Nezami, A., and Jahani Kondori, M. 2011. Investigation of frost tolerance of fennel ecotypes grown under field under controlled conditions. *Journal of Horticultural Science* 25: 64-72.
 22. Tomar, S. S. 1995. Effect of soil hydrothermal regimes on the performance of safflower planted on different dates. *Journal of Agronomy and Crop Science* 165: 141-152.



Morphological Response, Grain Yield and Essential Oil of Three Fennel Ecotypes to Different Times of Planting

S. Kiani^{1*}- S. A. Siadat²- M. R. Moradi Telavat³- A. Poshtdar⁴

Received: 18-12-2017

Accepted: 17-04-2018

Introduction

Environment condition and appropriate planting date are the most important factors in producing optimal yield. Different planting dates lead to adaptation of plant vegetative growth period to different temperatures, daytime, and solar radiation. Therefore, it affects the development, production of biomass and ultimately plant yield. The effect of environmental factors on phenological stages of the plant makes the planting date differ from region to region and between genotypes in one region. The characteristics of the growth and performance of ecotypes vary from region to region that indicates interaction among ecotype, regions and environment. The interaction between genotype and environment indicates that selection of cultivars based on the performance of an environment is not suitable standard. It is better to evaluate genotypes in a wide range of environmental changes in different locations and times. For this purpose, the information obtained from the estimation of compatibility and stability of genotypes performance is a more reliable criterion for the development of cultivars and their cultivation and will increase the efficiency of selection and introduction of cultivars. In Khuzestan, due to the lack of suitable and recommended planting dates for fennel plants, decision making about optimal planting time is very important and it is one of the important factors for achieving maximum plant yield. Therefore, the present study aimed at evaluating three fennel ecotypes in different planting dates and determining the best planting time for this plant under Ahwaz climatic conditions.

Materials and Methods

This experiment was carried out as split plot based on randomized complete block design with three replications at research farm of Agriculture and Natural Resources Science University of Khuzestan in 2016-2017. Seven planting date (22-Oct, 6-Nov, 21-Nov, 6-Dec, 21-Dec, 5-Jan, 20-Jan) were assigned as main plots and three ecotypes (Bushehr, Hamedan, Esfahan) were assigned made up of sub plots. Number of nodes, stem diameter, second internode length, umbrella number per main stem, umbrella number per sub branch, seed yield, essential oil percentage, essential oil yield and biological yield were evaluated after harvesting. The data were analyzed by the SAS statistical package (Ver.9.2) and means were compared with LSD test at the 5% level of probability.

Results and Discussion

The results showed that different planting dates had significant effect on fennel ecotypes. The maximum internode length and umbrella number per branch were obtained from the first planting date in the Bushehr ecotype. The delayed sowing date had a decreasing effect on morphological traits, so that the highest number of nodes in the main stem (6.7), stem diameter (1.97 cm), umbrella number per main stem (4.55) were observed at sowing date October 22. By delaying planting to January, the amount of traits decreased. The highest grain yield ($2026.5 \text{ kg ha}^{-1}$) was obtained from the sowing date of October 22 and Bushehr ecotype ($1774.12 \text{ kg ha}^{-1}$). The highest percentage of essential oil was obtained from sowing date of January 20 (46.4%) and Isfahan ecotype (4.27%). The highest essential oil yield of Isfahan ecotype was 67.66 kg ha^{-1} , which had no significant difference with Bushehr ecotype (67.15 kg ha^{-1}) and were in a group.

1- Ph.D. student, Physiology of Crop Plants, Agriculture and Natural Resources Science University of Khuzestan

2- Professor, Agronomy, Department of Plant Production and Genetic, Agriculture and Natural Resources Science University of Khuzestan

3- Associate Professor, Physiology of Crop Plants, Department of Plant Production and Genetic, Agriculture and Natural Resources Science University of Khuzestan

4- Agronomy Ph.D., Department of Plant Production and Genetic, Agriculture and Natural Resources Science University of Khuzestan

(*- Corresponding Author Email: Kiani_sama@yahoo.com)

Conclusions

According to the results, the first planting date had the highest yield and components yield, due to the favorable environmental factors in the occurrence of the genetic potential of ecotypes. Also, with delaying planting date from October 22 to January 20, the percentage of essential oil reached the highest. This is probably due to the reduction of reproduction period and the occurrence of this period with increasing heat at the end of the season. Among ecotypes, Bushehr ecotype due to more adaptation to the region, as well as the highest grain yield and number of umbrellas is proposed as the most suitable ecotype for cultivation in the study area and if the objective is the production of essential oils, Isfahan ecotype is recommended for cultivation in the study area.

Keywords: Essential oil percentage, Grain yield, Planting date, Stem diameter, Umbrella number

تأثیر کودهای نانو کلات آهن و منگنز بر عملکرد و اجزای عملکرد ماش تحت شرایط تنش کمبود آب

بیزان ایزدی^{۱*} - سید علی محمد مدرس ثانوی^۲

تاریخ دریافت: ۱۳۹۶/۱۰/۲۱

تاریخ پذیرش: ۱۳۹۷/۰۳/۲۰

چکیده

به منظور بررسی اثر محلول پاشی نانو کود کلات آهن و منگنز در کاهش اثرات کمبود آب بر عملکرد دانه، عملکرد پروتئین و برخی خصوصیات کمی گیاه ماش رقم پرتو، آزمایشی به صورت کرت های خرد شده بر اساس طرح پایه بلوک های کامل تصادفی با سه تکرار در سال زراعی ۱۳۹۲-۹۳ در مزرعه تحقیقاتی دانشکده کشاورزی دانشگاه تربیت مدرس انجام شد. در این تحقیق تشکیل کم آبی به عنوان عامل اصلی در سه سطح شامل بدون قطع آبیاری (آبیاری مطلوب)، قطع آبیاری در مرحله زایشی (تشکیل پنجمین برگ سه برچه ای، گل دهی) تا وقتی که ۷۰٪ ظرفیت زراعی تخلیه گردد، قطع آبیاری در مرحله روبیشی (ارتفاع ۱۲-۱۶ سانتی متری، رشد اولیه) تا وقتی که ۷۰٪ ظرفیت زراعی تخلیه گردد و محلول پاشی به عنوان عامل فرعی در ۱۰ سطح شامل تیمار بدون محلول پاشی، محلول پاشی آب خالص (مقطمر)، محلول پاشی کودهای نانو کلات شامل: آهن یک در هزار، آهن سه در هزار، منگنز ۱/۵ در هزار، منگنز سه در هزار، آهن یک در هزار + منگنز ۱/۵ در هزار، آهن سه در هزار و منگنز ۱/۵ در هزار و آهن سه در هزار و منگنز سه در هزار در نظر گرفته شد. نتایج نشان داد که اثر کمبود آب و محلول پاشی نانو کلات آهن و منگنز بر اکثر صفات مورد بررسی در سطح احتمال یک درصد معنی دار بود. در میان سطوح تنش کم آبی، کمترین میزان عملکرد و اجزای عملکرد برای اکثر صفات مورد مطالعه، اعمال تنش در مرحله زایشی و بیش ترین مقدار آن در تیمار شاهد (آبیاری مطلوب) مشاهده شد. نتایج نشان داد که محلول پاشی سطوح مختلف نانو کلات آهن و منگنز در مراحل روبیشی و زایشی موجب افزایش میزان عملکرد و اجزای عملکرد خصوصاً در مرحله رشد روبیشی شد حال آن که تیمار شاهد محلول پاشی (بدون محلول پاشی) کمترین میزان عملکرد و اجزای عملکرد را داشت. همچنین، اثرات متقابل نانو کلات آهن و منگنز و سطوح مختلف تنش کمبود آب بر همهی صفات مورد مطالعه در سطح احتمال یک درصد معنی دار بود. قطع آبیاری در مرحله زایشی موجب کاهش و استفاده از نانو ذرات به ویژه تیمار نانو کلات ۱ در هزار آهن + ۳ در هزار منگنز موجب افزایش میزان عملکرد دانه (۱۷۶۵ کیلوگرم در هکتار) و عملکرد پروتئین ۵۱۹/۲ کیلوگرم در هکتار) گردید. بنابراین، به نظر می رسد عوارض جانبی ناشی از کمبود آب می تواند با محلول پاشی نانو کلات آهن و منگنز کاهش یابد.

واژه های کلیدی: تنش رطوبتی، حبوبات، عملکرد پروتئین، عملکرد دانه

مقدمه

Vigna را در دنیا به خود اختصاص داده اند. ماش با نام علمی Radiata L. Wilczek گیاهی از خانواده بقولات می باشد که نسبت به سایر حبوبات از لحاظ سطح زیر کشت و تولید در برخی کشورها و نیز در مقیاس جهانی از درجه ای اهمیت بالاتری برخوردار است. در ایران نیز کشت حبوباتی چون ماش به واسطه ای داشتن ۲۲ تا ۲۸ درصد پروتئین از منبع گیاهی اهمیت بیشتری نسبت به سایر حبوبات دارد (Khodabakhsh et al., 2011). سطح زیر کشت ماش در دنیا حدود ۵/۳ میلیون هکتار و تولید سالانه‌ی آن ۲/۳ میلیون تن است. در ایران نیز سطح زیر کشت این گیاه حدود ۲۶/۳۰۰ هکتار و تولید سالانه‌ی آن ۲۶/۶۰۰ تن می باشد (Firouzabadi and Farahani, 2011).

حبوبات سومین خانواده از گیاهان گل دار پس از خانواده کاسنی و ثعلبیان است (Smartt, 1990) که شامل بیش از ۷۳۰ جنس و ۱۹۰۰ گونه با توزیع گسترده در جهان می باشد (Graham and Carroll, 2003). از لحاظ اقتصادی، حبوبات پس از غلات در رده دوم تولید محصولات زراعی هستند و ۲۷٪ از تولید محصولات غذایی

۱- دانشجوی دکتری، گروه زراعت، دانشکده کشاورزی، دانشگاه شهید چمران اهواز

۲- استاد، گروه زراعت، دانشکده کشاورزی، دانشگاه تربیت مدرس تهران

(Email:izady.nike70@gmail.com) - نویسنده مسئول:

استفاده از فناوری نانو در کلیه عرصه‌ها از جمله کشاورزی در حال گسترش می‌باشد. فرآورده‌های نانو شامل مخلوطی از ذره‌های با ابعاد بین ۱ تا ۱۰۰ نانومتر هستند که می‌توانند خصوصیات فیزیکوکمیابی مواد اولیه خود را تغییر دهند (Monica and Cremonini, 2009).

گزارش‌های پراکنده‌ای در مورد اثر عناصر آهن و منگنز در افزایش عملکرد ماش وجود دارد و نتایج مطالعات موجود بیانگر واکنش متفاوت گونه‌های مختلف گیاهان به مواد غذایی تهیه شده به شکل نانو می‌باشد (Zhu et al., 2008). اما مطالعه‌ای در مورد اثر این عناصر هنگام بروز تنفس کم‌آبی و نقش آن‌ها روی عملکرد کمی و کیفی گیاه ماش صورت نگرفته است. با توجه به این که اثر محلول‌پاشی این عناصر در شرایط تنفس کم‌آبی روی ماش مطالعه نشده است، این تحقیق برای درک جنبه‌های مختلف اثر محلول‌پاشی نانو کلات آهن و منگنز بر کمیت و کیفیت ماش تحت تنفس کم‌آبی صورت گرفت.

مواد و روش‌ها

تحقیق حاضر در مزرعه تحقیقاتی دانشکده کشاورزی داشگاه تربیت‌مدرس تهران با موقعیت طول جغرافیایی ۵۱ درجه و ۴۳ دقیقه شمالی و عرض جغرافیایی ۳۵ درجه و ۸ دقیقه شرقی و ۱۲۱۵ متر ارتفاع از سطح دریا در سال زراعی ۱۳۹۲-۹۳ انجام شد. بهمنظور تعیین بافت خاک، میزان عناصر معدنی (نیتروژن، آهن و منگنز) درصد کربن آلی و pH خاک از عمق صفر تا ۳۰ و ۳۰ تا ۶۰ سانتی‌متری خاک به روش زیگزاگ نمونه‌برداری شد. نتایج آزمایش خاک نشان‌دهنده آن بود که خاک مزرعه بافتی شنی-لومی داشت و میزان ماده آلی، نقطه پژمردگی و درصد نیتروژن کل خاک به ترتیب برابر ۰/۲۳۲، ۰/۱۳۴ و ۰/۶۷۸ پی‌ام بود. همچنین غلظت عناصر آهن و منگنز برابر با ۴/۶۷ و ۶/۴ پی‌ام بود. همچنین، آمار و اطلاعات هواشناسی منطقه آزمایشی در جدول ۱ نشان داده شده است.

2013). قسمت اعظم ماش در کشورهای در حال توسعه یعنی مناطقی که کم و بیش با تنفس خشکی مواجه هستند تولید می‌شود. تولید قبل اطمینان در اکثر این مناطق وابسته به حداقل آبیاری است با این وجود منابع آبی محدود هستند (Rhode, 1999).

کشور ایران با متوسط بارش ۲۴۰ میلی‌متر در زمرة مناطق خشک و نیمه‌خشک جهان طبقه‌بندی می‌گردد (Cakmak, 2000). به دلیل ویژگی‌های خاص مناطق نیمه‌خشک از جمله میزان کم بارندگی، پراکنش نامنظم آن و دمای بالا سبب شده است تا آب به عنوان اولین عامل محدودکننده تولید ماش در این مناطق معرفی گردد. بنابراین، در مناطق کم‌باران مانند ایران، در برنامه‌ریزی آبیاری بایستی به بازدهی آب مصرف شده برای آبیاری به طور جدی توجه شود (El Hafid et al., 1998).

تعذیبی مناسب گیاهان در مقاومت آن‌ها به انواع تنفس‌های زنده و غیرزنده نقش بسیار مؤثری دارد. گیاهی که خوب تعذیب شده و به مقدار کافی عناصر کم‌صرف و پرمصرف را دریافت کرده باشد، مقاومت بهتری به خشکی خواهد داشت و در این راستا کمیت و کیفیت محصول نیز تحت تأثیر قرار خواهد گرفت (Taiz and Zeiger, 2002). عنصر آهن به عنوان عامل اکسایش و کاهش در بخشی از ساختمان ناقلانی که در ترافستی الکترون دخالت دارند نظیر سیتوکروم‌ها و پروتئین‌های غیر هم که در فتوسنتز، تنفس و ثبت نیتروژن نقش دارند، وجود دارد (Taiz and Zeiger, 2002).

نقش این عنصر در ثبت نیتروژن به خوبی مورد بررسی قرار گرفته است (Balakrishnan, 2000; Ruiz et al., 2000; Welch et al., 1999). منگنز در فعال‌سازی واکنش‌های متابولیکی مهم در گیاهان، تسريع در جوانه‌زنی و رسیدگی گیاه، افزایش قابلیت دسترسی به فسفر و کلسیم، شرکت در واکنش‌های اکسیداسیون و احیاء و سیستم‌های انتقال الکترون، جزء ساختمانی متالوپروتئین‌ها، کمک به متابولیسم آهن و آسمیلاسیون نیترات، افزایش مقاومت گیاهان به تنفس‌های زنده و غیرزنده و ثبت نیتروژن در بقولات نقش مهمی را برعهده دارد (Fageria and Baligar, 2001).

جدول ۱ - متوسط دمای ماهانه، میانگین سرعت باد ماهانه و میزان بارندگی در طی فصل رشد گیاه ماش در سال ۱۳۹۳

Table 1- The average of monthly temperature, monthly mean wind speed and precipitation during the growing season mung bean plant in 2013

ماه Month	فروردين March	اردیبهشت April	خرداد May	تیر June	مرداد July	شهریور August	مهر September
میانگین دمای ماهانه (°C)	14.2	15.9	21.5	27.7	31.7	30.8	29.6
Average monthly temperatures (m s ⁻¹)	2.7	2.3	2.9	2.5	3.0	2.3	3.2
Average monthly wind speed (mm بارندگی ماهانه)	6.0	6.4	7.5	0	0	0	0
Monthly rainfall							

آزمایش خاک و غنی بودن خاک مزروعه از نظر فسفر و پتاسیم (به ترتیب ۲۲ و ۳۱۴ پی بی ام)، نیازی به کودپاشی زمین در زمان تهیه بستر نبود. کود نیتروژن به میزان ۳۰ کیلوگرم در هکتار به فرم اوره (استارتر) هنگام کاشت، قبل از آبیاری داده شد. مبارزه با علفهای هرز نیز به صورت وجین دستی در طول دوره رشد انجام شد. در تیمار آبیاری مطلوب (عدم اعمال تنش کم‌آبی) آبیاری کرت‌ها به میزان لازم و با توجه به توصیه‌های موجود مبنی بر وجود حداقل دو مرتبه آبیاری در هفته برای ماش، دور آبیاری سه روز در نظر گرفته شد (Uddin and Parvin, 2013). تیمار تنش کم‌آبی در دو مرحله‌ی تنش، مرحله رشد رویشی، ابتدای ظهور برگ چهارم (استقرار کامل گیاه) تا هنگام ظهور اولین گل بر روی گیاه ادامه داشت و با ظهور گلدهی این تیمار هم‌زمان با تیمار شاهد آبیاری شد، همچنین تیمار اعمال تنش در مرحله رشد زایشی از ابتدای گلدهی تا رسیدگی ۹۵ درصد غلاف‌ها اعمال شد (Uddin and Parvin, 2013). میزان پتانسیل رطوبتی خاک با توجه به درصد رطوبت حجمی (اعداد به دست آمده از TDR) در زمان تنش که با دستگاه TDR اندازه‌گیری شده بود، محاسبه شد. برای کالیبره کردن دستگاه TDR بدین ترتیب عمل شد که قبل از کار گذاشتن لوله‌های TDR مزروعه آبیاری گردید. این رطوبت‌سنج‌ها در یک نقطه برای هر کرت، به فواصل عرضی ۳/۶ متر (با توجه به فاصله‌ی کرت‌ها از یکدیگر) در نظر گرفته شدند. در هر نقطه یک رطوبت‌سنج، در عمق ۲۴ تا ۳۰ سانتی‌متر، نصب شد. برای نصب رطوبت‌سنج‌ها ابتدا به وسیله‌ی آگر، حفره‌هایی با ابعاد متناسب با اندازه رطوبت‌سنج در زمین حفر و بعد از قرار دادن رطوبت‌سنج‌ها در عمق‌های مشخص، نسبت به پر کردن و متراکم کردن خاک حفره‌ها تا حصول تراکم زمین در حالت اولیه اقدام شد. در این مرحله، برای ارزیابی دقیق حسگرهای اقدام به نمونه‌برداری از خاک و تعیین رطوبت آن شد. این آزمایش در خاکی با یافته لومی‌شنی انجام گرفت. هم‌زمان با داده‌برداری از رطوبت خاک با استفاده از TDR اقدام به ثبت داده‌ها (هر ۲۴ ساعت یکبار به مدت ۱۵ روز) گردید. نمونه خاک از عمق معادل طول میله (۲۴ تا ۳۰ سانتی‌متر) هر یک از حسگرهای با استفاده از مته خاک صورت گرفت و مقدار رطوبت با روش توزین اندازه‌گیری شد. این کار با ۱۵ نوبت داده‌برداری ادامه یافت. چگالی ظاهری هر یک از نمونه‌های خاک، بعد از پایان این مرحله هر یک با سه تکرار از روش sand bottle و در همان عمق اندازه‌گیری شد تا برای تبدیل رطوبت وزنی به رطوبت حجمی مورد استفاده قرار گیرد. در آزمایشگاه میزان رطوبت وزنی، درصد رطوبت حجمی (حاصل ضرب درصد رطوبت وزنی در وزن مخصوص ظاهری خاک ۱/۴۱ گرم بر سانتی‌متر مکعب بر اساس آزمون خاک) اندازه‌گیری و درصد آب قابل استفاده (D) بر اساس معادله ۱ (Martin et al., 1991) تعیین و سپس با استفاده از معادله ۲ درصد تخلیه آب قابل استفاده محاسبه شد.

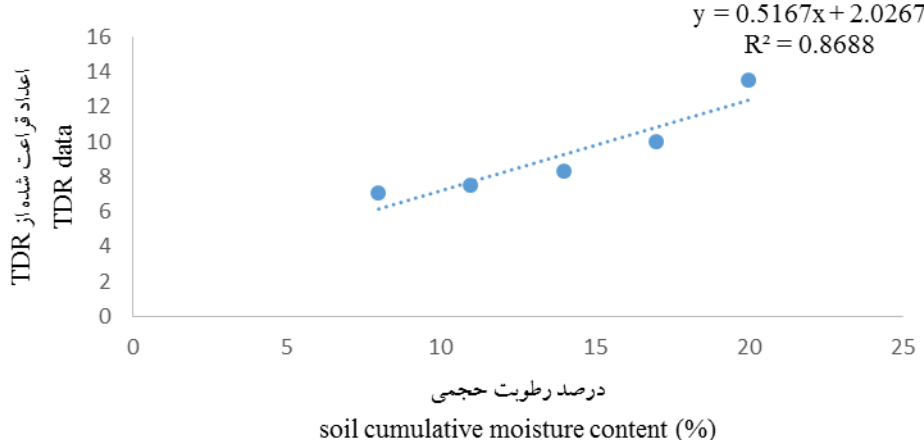
آزمایش به صورت کرت‌های خردشده در قالب طرح بلوک‌های کامل تصادفی با عامل تنش کم‌آبی در کرت‌های اصلی با سه سطح شامل بدون قطع آبیاری (آبیاری مطلوب)، قطع آبیاری در مرحله زایشی (تشکیل پنجمین برگ سه برجه‌ای، گل‌دهی) تا وقتی که٪ ۷۰ ظرفیت زراعی تخلیه گردد، قطع آبیاری در مرحله رویشی (ارتفاع ۱۲-۱۶ سانتی‌متری، رشد اولیه) تا وقتی که٪ ۷۰ ظرفیت زراعی تخلیه گردد (Uddin and Parvin, 2013) و عامل محلول‌پاشی در کرت‌های فرعی با ۱۰ سطح شامل تیمار بدون محلول‌پاشی، محلول‌پاشی آب خالص (مقطار)، محلول‌پاشی کودهای نانو کلات شامل: آهن ۱ در هزار، آهن سه در هزار، منگنز ۱/۵ در هزار، منگنز سه در هزار، آهن ۱ در هزار + منگنز ۱/۵ در هزار، آهن ۱ در هزار + منگنز ۱/۵ در هزار و آهن سه در هزار و منگنز سه در هزار و منگنز سه در هزار ایزات و همکاران (Ezzat et al., 2012)، در دو مرحله به فاصله‌ی دو هفته از هم به دلیل اجتناب از اثر سمیت احتمالی غلظت بالای آن‌ها (قبل و بعد از اعمال تنش در هر مرحله رشد رویشی و رشد زایشی) انجام شد. محلول‌پاشی کرت بدون تنش کم‌آبی هم‌زمان با کرت‌های دارای تنش رویشی انجام شد (Maleki Farahani et al., 2015) سمیت آهن و منگنز در گیاه مشاهده نشد. نانوکلات آهن و منگنز حلایل بسیار بالایی در آب دارند و بهراحتی از برگ‌ها جذب می‌شوند. کود نانو کلات آهن ۹ درصد و منگنز ۱۲ درصد نیز پس از بررسی و تأیید مقیاس آن توسط شرکت کارآفرینی و فناوری ایران (کارگزار ستاد و پژوهه توسعه فناوری نانو) از شرکت خضراء خردباری شد. بر اساس درصد آهن موجود در کودها، نتایج آنالیز خاک و نیاز گیاه ماش (Ezzat et al., 2012) تیمارهای محلول‌پاشی طراحی گشت. برای محلول‌پاشی از سمپاش بادی پشتی با فشار دائم به حجم ۱۲ لیتر استفاده شد. نوع نازل سمپاش از نوع مارپیچی با طرح پاشش مخروط توپر و میزان پاشش ۱/۰ لیتر در مترمربع (۱۰۰۰ لیتر در هکتار) بود. عملیات آماده‌سازی زمین به وسیله‌ی شخم، دیسک و ایجاد کرت انجام شد. ابتدا زمین مورد نظر توسط گاو‌آهن برگردان دار به عمق ۱۵ سانتی‌متر شخم زده شد و سپس به منظور خردکردن کلخه‌ها و نرم کردن زمین، عملیات دیسک‌زنی دوبار و به صورت عمود برهم انجام شد. بدوز مورد استفاده در این تحقیق ماش رقم پرتو بوده که از موسمی پاکان بذر اصفهان تهییه و در تاریخ ۲۳ اردیبهشت‌ماه سال ۱۳۹۲ در مزرعه تحقیقاتی دانشکده کشاورزی دانشگاه تربیت مدرس کشت شد. در هر تکرار سه کرت اصلی به فاصله‌ی دو متر از هم و ۳×۱۰=۳۰ کرت فرعی ایجاد شد. هر کرت شامل پنج ردیف کشت به فاصله ۶۰ سانتی‌متر بود. طول هر ردیف سه متر و بین هر دو کرت نیز یک ردیف نکاشت (به فاصله ۶۰ سانتی‌متر) در نظر گرفته شد. فاصله بوتدها روی ردیف‌های کشت، ۱۰ سانتی‌متر بود. با توجه به

خاک در نقطه پژمردگی دائم (پتانسیل رطوبتی معادل ۶/۷۸ درصد وزنی و ۹/۵۶ درصد حجمی قرائت شده توسط دستگاه TDR) می‌باشد. از مقایسه رطوبت‌های اندازه‌گیری شده بهوسیله حسگرها با روش نمونه‌برداری و توزین، اعتبارسنجی صورت گرفت (Vanclooster *et al.*, 1994). سپس بر اساس داده‌های حاصل از رطوبت حجمی خاک و اعداد قرائت شده TDR، منحنی رطوبت خاک رسم گردید.

$$D(\%) = \frac{1}{n} \sum_{i=1}^n \frac{FC_i - \theta_i}{FC_i - W_p} \times 100 \quad (1)$$

$$= 100 - D = \text{تخليه آب قابل استقاده (\%)} \quad (2)$$

که در آن n تعداد نمونه خاک گرفته شده از عمق مؤثر توسعه ریشه، FC_i رطوبت خاک در ظرفیت مزرعه (پتانسیل رطوبتی معادل ۱۶ درصد وزنی و ۲۲/۵۶ درصد حجمی قرائت شده توسط دستگاه TDR) در نمونه i ام، θ_i رطوبت خاک در نمونه i ام و W_p رطوبت



شکل ۱- منحنی رطوبت خاک به‌دست آمده از اعداد قرائت شده بهوسیله دستگاه TDR و درصد رطوبت حجمی نمونه‌برداری. محور عمودی چپ اعداد قرائت شده بهوسیله دستگاه TDR و محور افقی درصد رطوبت حجمی نمونه به‌دست آمده توسط آون نشان می‌دهد. رگرسیون خطی نقاط که با خطوط بریده آبی نشان داده شده است روی دو محور قابل استناد می‌باشد.

Figure 1- Soil moisture curve from TDR data and soil cumulative moisture content (%). Vertical axis: TDR data, Horizontal axis: Volumetric Soil water content (%) using oven. Blue colored regression line of the three axis is the reference of the graph

اندازه‌گیری شد (Torabian and Zahedi, 2013).

برای تعیین درصد پروتوئین دانه، ابتدا با روش اندوفنل آبی (Novozamsky *et al.*, 1974) میزان نیتروژن موجود در بذر بهوسیله دستگاه اسپکتروفوتومتر (مدل 6 GBC-Cintra) ساخت کشور Australia (اندازه‌گیری شد. سپس میزان پروتوئین با ضرب میزان نیتروژن در عدد ۶/۲۵ محاسبه گردید و عدد به‌دست آمده در عملکرد دانه در هکتار ضرب شده و عملکرد پروتوئین به‌دست آمد (Novozamsky *et al.*, 1974).

تجزیه‌ی آماری

تجزیه واریانس داده‌ها بهوسیله نرم‌افزار SAS 9.4 (Institute, 1985) و دستور ANOVA بهصورت آزمایش کرت‌های خردشده (اسپلیت‌پلات) در قالب طرح پایه بلوک‌های کامل تصادفی با سه تکرار انجام شد. میانگین‌ها با آزمون LSD در سطح احتمال ۵ درصد مقایسه شدند. همچنین رسم شکل‌ها با کمک نرم‌افزار Excel

همچنین در پایان دوره‌ی رشد از هر کرت تعداد پنج بوته (۰/۳ متر مربع) بهصورت تصادفی و با در نظر گرفتن اثر حاشیه و به هنگام رسیدگی فیزیولوژیک دانه برای محاسبه عملکرد و اجزای عملکرد برداشت گردید.

تجزیه‌های بیوشیمیابی

جهت اندازه‌گیری میزان آهن و منگنز دانه‌ها، ابتدا از نمونه‌ها آرد تهییه کرده، سپس مقدار یک گرم از آرد خشک شده در دمای ۷۵ درجه سانتی‌گراد به مدت ۴۸ ساعت خاکستر تهییه شد (دمای ۵۵۰ درجه سانتی‌گراد به مدت ۶ ساعت). نمونه خاکسترها در ۱۰ سی سی اسید کلریدریک ۲ نرمال حل شده و به مدت ۳۰ دقیقه روی هاتپلات در دمای ۷۵ درجه سانتی‌گراد قرار گرفتند. سپس نمونه‌ها را با آب مقطر به حجم ۱۰۰ سی سی رسانده و با کاغذ صافی، صاف شدند. از نمونه‌های صاف شده به مقدار لازم برداشته و میزان آهن و منگنز با استفاده از دستگاه جذب اتمی مدل (Perkin-Elmer, 3030)

جدول ۲- تجزیه واریانس (میانگین محولات) علاوه بر اجزای علاوه بر تحت تاثیر نهش کیمی و محلول پاشی نازو آهن و مکنزی

Table 2- Analysis variance (mean squares) of yield and yield components under water deficit stress and spraying iron and manganese

منبع تغییر		درجه ازایدی (d.f)	تعداد برگ در بوته Number of leaf (per Plant ⁻¹)	وزن خشک برگ در بوته Leaf dry weight (per Plant ⁻¹)	وزن خشک ساقه در بوته Stem dry weight (per Plant ⁻¹)	وزن خشک غلاف با دانه Dry weight of pods with seeds per pod	تعداد دانه در غلاف Number of seeds per pod	وزن دانه در غلاف Protein percent
Source of variation								
(Replication)	پلو	2	147.47	2.39	1.56	261.94	0.43	0.45
(Water deficit stress)	تنش کم‌آبی	2	42147.37**	42866.57**	50922.74**	239253.37**	13.90**	0.61
(Replication × Water deficit stress)	نکار (+) تنش کم‌آبی	4	466.74	880.17	130.44	4744.63	0.87	0.14
(Foliar application)	محلول پاشی	9	1430.39**	9793.88**	24284.31**	62127.15**	5.60**	40.03**
(Water deficit stress × Foliar application)	تنش کم‌آبی × محلول پاشی	18	15297.20**	8773.96**	16327.81**	41273.16**	3.10**	0.08**
(Error)	حکای (راوی)	54	1288.91	483.73	312.93	3349.30	0.51	0.34
(%Coefficient of variation)			19.75	20.72	16.60	21.24	6.50	2.17
منبع تغییر		درجه ازایدی (d.f)	تعداد دانه در متر مربع Number of seeds (m ⁻²)	وزن دانه 1000-Seed weight	عمرکار دانه Yield	عمرکار دانه Protein yield	عمران آهن دانه Fe	عمران آهن دانه Mn
Source of variation								
(Replication)	پلو	2	5373632.2	2.39	2413.33	330.46	3.5372	0.180
(Water deficit stress)	تنش کم‌آبی	2	184619000.7**	18.93	1679002.13**	123301.65**	989.89**	143.56**
(Replication × Water deficit stress)	نکار (+) تنش کم‌آبی	4	5284397.0	14.95	98930.86	870.29	14.42	1.007
(Foliar application)	محلول پاشی	9	37638683.6**	336.74**	242063.41**	32179.89**	280.809*	9.166**
(Water deficit stress × Foliar application)	تنش کم‌آبی × محلول پاشی	18	23928754.4**	140.36**	391925.39**	28733.40**	39.52**	0.5064
(Error)	حکای (راوی)	54	2725466.0	32.72	21908.40	1654.16	13.41	0.4042
(%Coefficient of variation)			27.49	17.14	15.20	15.22	5.13	4.57

* and **: significant at the 5 and 1% levels of probability, respectively
 و ***: به ترتیب وجوه اختلاف معنی دار در سطح احتمال ۱ و ۵ درصد می باشند.

جدول ۳- میانسیمه میانگین اثارات متقابل صفات اندازه‌گیری شده در آزمایش

Table 3- Mean comparison of Interaction effects of measured traits in experiment

تنش کم‌آبی (Water deficit stress)	محول پاشی (Foliar application)	وزن خشک برگ (g.m ⁻²)	وزن خشک ساقه (g.m ⁻²)	وزن خشک غلاف با بذر (g.m ⁻²)	تعداد بذر در غلاف دانه	تعداد دانه غلاف	وزن هزار دانه	عملکرد دانه	درصد بروشین	عملکرد دانه	میزان آهن دانه	
		Number of leaf per m ²	Leaf dry weight (g.m ⁻²)	Stem dry weight (g.m ⁻²)	Dry weight of pods with seeds (g.m ⁻²)	Number of seeds per pod	Number of seeds (m ²)	1000 Seed Weight (gr)	Yield (kg.ha ⁻¹)	Seed Protein (%)	Protein yield (kg.ha ⁻¹)	Fe (mg.kg ⁻¹)
	(Without foliar application) (Foliar application pure)	168.0 ^j 154.66 ^{e-k}	86.66 ^{d-i} 84.0 ^{b-k}	60.0 ^{b-o} 358.67 ^{ed}	270.67 ^{d-h} 9.0 ^{gh}	10.33 ^{ef} 6395 ^{f-k}	7264 ^h 55.46 ^a	27.86 ^{c-j} 1218.67 ^{e-fg}	1125.33 ^{c-fg} 24.03 ^d	23.75 ^{de} 291.96 ^{def}	267.30 ^{c-i} 76.48 ^{abc}	
	(1 in 1000 a nano-Fe chelate)	437.33 ^a	268.53 ^a	427.5 ^a	338.80 ^{def}	12.33 ^{ab}	10104 ^{cd}	28.30 ^{cl}	1092.0 ^{gh}	26.73 ^{bc}	291.93 ^{def}	80.61 ^a
	(3 in 1000 a nano-Fe chelate)	172.0 ^{e-j}	136.13 ^{b-c}	122.67 ^{e-fg}	439.6 ^{bc}	12.66 ^a	13999 ^{ab}	26.90 ^{f-l}	1657.33 ^{ab}	26.0 ^c	430.93 ^b	78.44 ^{ab}
	(1.5 in 1000 a nano-Mn chelate)	216.0 ^{def}	96.0 ^{def}	100.40 ^{ghi}	358.26 ^{cd}	11.66 ^{a-d}	11107 ^{cd}	24.06 ^{kl}	1224.0 ^{def}	27.30 ^b	334.30 ^{cd}	76.27 ^{cd}
	(3 in 1000 a nano-Mn chelate)	153.33 ^{e-k}	136.0 ^{bc}	66.66 ^{j-n}	208.0 ^{fg-m}	10.66 ^{def}	5955 ^{f-k}	35.43 ^{c-g}	1146.67 ^{efg}	28.71 ^a	329.26 ^{cde}	77.67 ^{abc}
	(1 in 1000 a nano-Fe + 1.5 in 1000 a nano-Mn chelate)	302.66 ^c	260.0 ^a	308.6 ^b	529.73 ^b	12.66 ^a	16545 ^a	24.20 ^{kl}	1346.67 ^{cde}	29.15 ^a	392.63 ^{bc}	78.13 ^{ab}
	(Optimum irrigation)	169.33 ^{e-j}	106.66 ^{cde}	90.66 ^{hij}	350.67 ^{cde}	11.33 ^{b-e}	9237 ^{de}	38.33 ^{cd}	1765.33 ^a	29.41 ^a	519.16 ^a	77.53 ^{abc}
	(3 in 1000 a nano-Fe + 1.5 in 1000 a nano-Mn chelate)	178.66 ^{d-i}	104.0 ^{cde}	84.93 ^{h-k}	354.8 ^{cdf}	11.0 ^{e-f}	8603 ^{d-g}	36.46 ^{cde}	1122.67 ^{e-fg}	29.40 ^a	330.20 ^{cde}	77.59 ^{abc}
	(3 in 1000 a nano-Fe + 3 in 1000 a nano-Mn chelate)	233.33 ^d	153.20 ^p	146.67 ^{de}	174.8 ^{i-m}	11.33 ^{b-e}	4023 ^{kl}	41.70 ^{bc}	672.0 ^{lmm}	23.15 ^e	154.66 ^{k-p}	71.84 ^{c-f}
	(Without foliar application) (Foliar application pure)	108.0 ^k	54.80 ^{h-k}	37.46 ^o	153.73 ^{lm}	11.66 ^{a-d}	3965 ^{kl}	38.43 ^{cd}	376.0 ^o	24.12 ^f	90.76 ^p	58.33 ^{ij}
	(1 in 1000 a nano-Fe chelate)	124.0 ^{ijk}	88.66 ^{d-h}	109.46 ^{fh}	279.60 ^{d-g}	11.66 ^{a-d}	8575 ^{df-g}	26.66 ^{gl}	513.33 ^{no}	26.26 ^d	134.73 ^{lop}	73.83 ^{b-e}
	(3 in 1000 a nano-Fe chelate)	220.0 ^{de}	92.66 ^{d-g}	96.0 ^{ghi}	156.53 ^{h-m}	11.33 ^{b-e}	6759 ^{ej}	25.70 ^{jl}	846.67 ^{jm}	26.01 ^d	220.23 ^{gl-k}	79.38 ^{ab}
Water deficit at Reproductive stage	(1.5 in 1000 a nano-Mn chelate)	157.33 ^{f-k}	84.20 ^{d-i}	78.53 ^{j-n}	274.0 ^{d-h}	8.0 ^h	9028 ^{def}	21.36 ^{kl}	772.0 ^{km}	27.53 ^e	212.23 ^{hi}	78.09 ^{ab}
	(3 in 1000 a nano-Mn chelate)	122.66 ^{ijk}	72.80 ^{e-k}	80.67 ^{h-l}	256.0 ^{e-i}	10.0 ^{fg}	6993 ^{ei}	33.16 ^{c-j}	953.33 ^{g-k}	28.56 ^b	272.26 ^{lh}	77.29 ^{abc}
	(1 in 1000 a nano-Fe + 1.5 in 1000 a nano-Mn chelate)	222.66 ^{de}	133.60 ^{bc}	136.0 ^{def}	484.80 ^b	8.66 ^h	12125 ^{bc}	42.06 ^{bc}	1474.67 ^{hc}	28.45 ^b	419.20 ^b	79.09 ^{ab}

(1 in 1000 a nano-Fe + 3 in 1000 a nano-Mn chelate)	373.33 ^b	269.60 ^a	229.33 ^c	782.53 ^a	10.0 ^{fg}	161.56 ^a	39.33 ^{bed}	1437.33 ^{bed}	29.50 ^a	424.16 ^b	70.38 ^{cdg}	
(3 in 1000 a nano-Fe + 1.5 in 1000 a nano-Mn chelate)	146.66 ^{e-k}	65.46 ^{f-k}	64.53 ^{j-o}	252.0 ^{f-k}	11.66 ^{i-d}	6557 ^{e-k}	39.26 ^{bed}	1086.67 ^{f-i}	29.51 ^a	320.66 ^{de}	78.21 ^{ab}	
(3 in 1000 a nano-Fe + 3 in 1000 a nano-Mn chelate)	198.66 ^{d-g}	133.46 ^{b-c}	154.26 ^d	254.13 ^{f-j}	11.33 ^{b-e}	6316 ^{g-k}	36.06 ^{c-f}	1610.67 ^{ab}	25.13 ^e	405.0 ^b	65.10 ^{gh}	
(Without foliar application)	157.33 ^{f-k}	72.93 ^{e-k}	55.33 ^{l-o}	166.67 ^{i-m}	11.0 ^{c-f}	6004 ^{g-k}	26.03 ^{b-l}	870.67 ^{h-i}	23.81 ^d	207.33 ^{h-i}	52.81 ^j	
(Foliar application pure water)	108.0 ^k	53.86 ^{b-k}	46.13 ^{n-o}	160.4 ^{j-n}	11.33 ^{b-e}	4203 ^{jkl}	37.96 ^{cd}	773.33 ^{k-lm}	24.63 ^{cd}	190.40 ^{j-n}	68.07 ^{efg}	
(1 in 1000 a nano-Fe chelate)	170.66 ^{e-j}	81.06 ^{e-j}	82.40 ^{b-l}	236.93 ^{g-l}	12.0 ^{abc}	6224 ^{g-k}	27.20 ^{c-l}	776.0 ^{k-lm}	25.76 ^c	201.16 ^{i-m}	66.85 ^{fg}	
(3 in 1000 a nano-Fe chelate)	173.33 ^{e-j}	76.0 ^{c-k}	62.26 ^{j-o}	184.67 ^{lm}	12.33 ^{ab}	4355 ^{i-j}	20.20 ^l	837.33 ^{j-m}	27.15 ^b	227.46 ^{ej}	55.31 ^{ij}	
(1.5 in 1000 a nano-Mn chelate)	184.0 ^{lh}	119.86 ^{bed}	145.46 ^{de}	173.47 ^{i-m}	11.33 ^{b-e}	4123 ^{jkl}	38.40 ^{cd}	1042.67 ^{f-j}	27.13 ^b	282.96 ^{lg}	69.36 ^{cg}	
(3 in 1000 a nano-Mn chelate)	117.33 ^{jk}	51.86 ^{ijk}	46.0 ^{no}	158.0 ^{km}	12.33 ^{ab}	4141 ^{jkl}	30.0 ^{d-k}	1154.67 ^{e-g}	28.79 ^a	332.53 ^{cd-e}	66.54 ^{ge}	
Water deficit at vegetative stage	(1 in 1000 a nano-Fe + 1.5 in 1000 a nano-Mn chelate)	165.33 ^{e-k}	78.93 ^{e-j}	83.86 ^{b-l}	192.53 ^{g-m}	11.0 ^{c-f}	4291 ^{jkl}	35.06 ^{c-h}	504.0 ^o	29.05 ^a	146.46 ^{lp}	66.89 ^{fg}
(1 in 1000 a nano-Fe + 3 in 1000 a nano-Mn chelate)	114.66 ^{jk}	57.86 ^{g-k}	45.73 ^{n-o}	158.0 ^{km}	11.0 ^{c-f}	3225 ^l	47.96 ^{ab}	628.0 ^{nm}	28.77 ^a	181.86 ⁱ⁻ⁿ	66.90 ^{fg}	
(3 in 1000 a nano-Fe + 1.5 in 1000 a nano-Mn chelate)	129.33 ^{h-k}	58.20 ^{g-k}	42.0 ^{no}	163.60 ^{i-m}	12.33 ^{ab}	5072 ^{b-l}	27.96 ^{c-l}	449.33 ^{m-o}	29.54 ^a	132.76 ^{lop}	69.24 ^{fg}	
(3 in 1000 a nano-Fe + 3 in 1000 a nano-Mn chelate)	116.0 ^{jk}	42.66 ^k	60.53 ^{b-o}	113.33 ^m	11.33 ^{b-e}	3947 ^{kl}	33.70 ^{c-i}	640.0 ^{mm}	25.33 ^c	161.73 ^{j-o}	65.07 ^{gh}	
LSD (0.05)	58.7	36.0	28.9	94.7	1.17	2702.5	9.36	242.3	0.96	66.57	5.64	

Means in each column and for each treatment, followed by similar letter(s) are not significantly different at 5% of probability level, using LSD Test.

نحوه صفت و گروه مقابله شده، تیمارهای که با حرف یکسان نشان داده شده‌اند، دراین اختلاف معنی‌دار نیستند.

نتایج و بحث

(۲۳/۱۵٪) در شرایط عدم اعمال تنش و محلول‌پاشی توأم سه در هزار نانو کلات آهن و سه در هزار نانو کلات منگنز و بیشترین مقدار پروتئین دانه (۲۹/۵۴٪) نیز در شرایط اعمال تنش کم‌آبی در مرحله رشد زایشی و محلول‌پاشی توأم یک در هزار نانو کلات آهن و سه در هزار نانو کلات منگنز مشاهده گردید. محلول‌پاشی توأم نانو کلات آهن و منگنز می‌تواند اثرات مخرب ناشی از تنش کم‌آبی را بر میزان پروتئین دانه تعديل کند. افزایش پروتئین دانه با کاربرد عناصر آهن، روی و منگنز توسط برخی محققین گزارش شده است (Patel *et al.*, 2002; Navaei and Malakouti, 2002).

با توجه به نتایج حاصل از جدول ۳، اعمال تنش در مراحل رشد رویشی و زایشی به ترتیب ۴۳/۲۰ و ۳۸/۴۲ درصد وزن خشک غلاف با دانه را نسبت به آبیاری مطلوب کاهش داد. بیشترین میزان این صفت مربوط به تیمار تلفیقی تنش در مرحله رشد زایشی و محلول‌پاشی توأم یک در ۱۰۰۰ نانو کلات آهن و سه در ۱۰۰۰ نانو کلات منگنز (۷۸۲/۵ گرم در مترمربع) و کمترین میزان آن مربوط به تیمار تلفیقی اعمال تنش در مرحله رشد رویشی و محلول‌پاشی سه در ۱۰۰۰ نانو کلات آهن و سه در ۱۰۰۰ نانو کلات منگنز (۱۱۱/۳ گرم در مترمربع) و ۱۳ تیمار دیگر بود. گزارش کیمیتی و همکاران (۲۰۰۲) تأیید‌کننده نتایج ذکر شده است (Chimenti *et al.*, 2002).

بیشترین تعداد دانه در غلاف از تیمارهای تلفیقی آبیاری مطلوب و محلول‌پاشی سه در ۱۰۰۰ نانو کلات آهن و آبیاری مطلوب و محلول‌پاشی توأم یک در ۱۰۰۰ نانو کلات آهن و یک و نیم در ۱۰۰۰ نانو کلات منگنز (۱۲/۶۶) و ۹ تیمار دیگر به دست آمد. کمترین مقدار این صفت نیز در تیمار تلفیقی اعمال تنش در مرحله رشد زایشی و محلول‌پاشی یک و نیم در ۱۰۰۰ نانو کلات منگنز (۸/۰) و سه تیمار دیگر مشاهده شد (جدول ۳). محلول‌پاشی نانو کلات آهن در شرایط اعمال تنش در مرحله رشد رویشی موجب افزایش تعداد دانه در غلاف شد که احتمالاً به دلیل تأثیر این عنصر در افزایش توان مقاومت سیستم آنتی‌اکسیدانی گیاه در برابر اثرات مخرب ناشی کمبود آب در مرحله رشد رویشی می‌باشد. محققان گزارش‌های مشابهی را اعلام کردند (Morrison and Stewart, 2002; Champolivier and Morrison, 1996).

با توجه به نتایج حاصل از این مطالعه بیشترین تعداد دانه در مترمربع از تیمار تلفیقی آبیاری مطلوب و محلول‌پاشی توأم یک در ۱۰۰۰ نانو کلات آهن و یک و نیم در ۱۰۰۰ نانو کلات منگنز (۱۶۵/۴۵) حاصل شد که با تیمار تنش در مرحله رشد زایشی و محلول‌پاشی توأم یک در ۱۰۰۰ نانو کلات آهن و سه در ۱۰۰۰ نانو کلات منگنز (۱۶۱/۵۶) و تیمار تنش در مرحله رشد رویشی و محلول‌پاشی سه در ۱۰۰۰ نانو کلات آهن (۱۳۹/۹۹) دارای اختلاف معنی‌داری نبود. کمترین مقدار این صفت مربوط به تیمار تنش در

نتایج حاصل از تجزیه واریانس نشان داد که اثر اصلی تنش کم‌آبی برای همه‌ی صفات مورد مطالعه به جز درصد پروتئین و وزن ۱۰۰۰ دانه، اثر محلول‌پاشی برای تمام صفات مورد بررسی و نیز اثر متقابل تنش کم‌آبی × محلول‌پاشی در مورد تمام صفات به جز صفت منگنز دانه در سطح احتمال یک درصد معنی‌دار بود (جدول ۲). نتایج حاصل از مقایسه میانگین اثر متقابل تنش کم‌آبی × محلول‌پاشی نشان داد که بیشترین تعداد برگ مربوط به تیمار آبیاری مطلوب و محلول‌پاشی یک در ۱۰۰۰ نانو کلات آهن با ۴۳۷/۳ برگ در مترمربع بود. ۱۵ تیمار (دارای حرف k) کمترین تعداد برگ در مترمربع را داشتند. وزن خشک برگ در تیمارهای آبیاری مطلوب و محلول‌پاشی یک در ۱۰۰۰ نانو کلات آهن (۴۳۷/۳) برگ در مترمربع، یک در ۱۰۰۰ نانو کلات آهن و یک و نیم در ۱۰۰۰ نانو کلات منگنز و قطع آبیاری در مرحله زایشی و محلول‌پاشی توأم یک در ۱۰۰۰ نانو کلات آهن و سه در ۱۰۰۰ نانو کلات منگنز بیش از تیمارهای دیگر بود. کمترین وزن خشک برگ مربوط به ۱۱ تیمار بود که هیچ کدام مربوط به آبیاری مطلوب نبود (جدول ۴).

به طور کلی، صرف نظر از سطوح مختلف تنش کم‌آبی، در اثر محلول‌پاشی نانو کلات آهن و منگنز مقادیر مربوط به تمام صفات مورد بررسی از جمله تعداد و وزن خشک برگ افزایش یافت (جدول ۳). نتایج دیگر محققان نیز حاکی از افزایش وزن خشک برگ و اندام هوایی در نتیجه‌ی استفاده از عناصر آهن و منگنز می‌باشد (Jabeen and Rafiq, 2011; Zayed *et al.*, 2011).

با توجه به نقش ساختاری عناصر آهن و منگنز در سنتز پروتئین‌ها، با مصرف این عناصر، مقاومت گیاهان تحت تنش‌های محیطی مورد انتظار است (Cakmak, 2000). نتایج مقایسه میانگین نشان داد که بالاترین مقدار وزن خشک ساقه مربوط به تیمار آبیاری مطلوب و محلول‌پاشی یک در ۱۰۰۰ نانو کلات آهن (۴۲۷/۵ گرم در مترمربع) و کمترین مقدار این صفت نیز مربوط به تیمار اعمال تنش در مرحله رشد زایشی و بدون محلول‌پاشی (۳۷/۴۶ گرم در مترمربع) و ۱۰ تیمار دیگر بود (جدول ۳). اعمال تنش کمبود آب در مرحله رشد زایشی (۳۷/۵۶ درصد و در مرحله رشد رویشی ۷/۷۸ درصد) نسبت به آبیاری مطلوب موجب کاهش وزن خشک ساقه گردید. محققان در بررسی‌های خود به این نتیجه رسیدند که مصرف یک و نیم کیلوگرم در هکتار کلات آهن به‌شکل نانو در مقایسه با شکل ساقه کلیوگرم در هکتار کلات آهن به‌شکل نانو در مقایسه با شکل ساقه و طول ریشه گیاه ریحان را افزایش داد (Parande and Mirza, 2011). نتایج حاصل از مقایسه میانگین‌های اثرات متقابل تنش کم‌آبی در محلول‌پاشی نشان داد که کمترین مقدار پروتئین دانه

شن دانه‌ها اجتناب نمود (Göksoy *et al.*, 2004).

تشن کم‌آبی در مرحله رشد زایشی در شرایط عدم محلول‌پاشی با کاهش عملکرد دانه، باعث کاهش عملکرد پروتئین شد. محققان گزارش کردند که عدم محلول‌پاشی محتوای پروتئین کل را در شرایط تنش رطوبتی کاهش می‌دهد (Fathi amirkhiz *et al.*, 2011). عنصر آهن برای ساخت پروتئین ضروری است؛ به طوری که تعداد RhizoZoom سلول‌های برگ با کمیود این عنصر کاهش می‌یابد (Rhode, 1999). ترکیب عناصر آهن و منگنز با افزایش سنتز پروتئین‌های محلول و افزایش فتوستنتز در تعییر و تبدیل کریون فتوستنتزی در شرایط تنش مؤثر است (Jafar dokht *et al.*, 1984; Savithri *et al.*, 1984; 2015). کمترین مقدار عملکرد پروتئین دانه (۹۰/۷۶ کیلوگرم در هکتار) در شرایط تنش در مرحله رشد زایشی و عدم اعمال محلول‌پاشی و بیشترین مقدار عملکرد پروتئین دانه (۵۱۹/۲ کیلوگرم در هکتار) نیز در شرایط عدم اعمال تنش کم‌آبی و محلول‌پاشی توأم یک در ۱۰۰۰ نانو کلات آهن و سه در ۱۰۰۰ نانو کلات منگنز مشاهده گردید (جدول ۳). تنش در مرحله رشد زایشی به علت کاهش طول دوره پر شدن دانه‌ها و نیز عدم جذب کافی عناصر کم‌صرف موجب کاهش عملکرد پروتئین در این تیمار شد که با نتایج محققان دیگر مبنی بر کاهش عملکرد پروتئین در شرایط تنش کم‌آبی و عدم کاربرد محلول‌پاشی مطابقت داشت (Jafar dokht *et al.*, 2015).

بیشترین مقدار آهن دانه در تیمار عدم اعمال تنش و محلول‌پاشی یک در هزار نانو کلات آهن (۸۰/۶۱ میلی‌گرم بر کیلوگرم) و کمترین مقدار آن در تیمار اعمال تنش در مرحله رشد زایشی و عدم اعمال محلول‌پاشی (۵۲/۸۱ میلی‌گرم بر کیلوگرم) مشاهده شد (جدول ۳). نتایج مطالعه‌ی حاضر با (Jabbari *et al.*, 2014) در مورد محلول‌پاشی آهن هم خوانی داشت. بر اساس نتایج حاصل از جدول ۴ تنش در دوره رشد زایشی (۲۶/۲۳٪) بیشتر از تنش در دوره رشد رویشی (۱۷/۱۹٪) باعث کاهش غلظت منگنز در دانه نسبت به شاهد آبیاری شد. نتایج حاصل از جدول ۴ نیز مشخص کرد که محلول‌پاشی توأم یک در هزار نانو کلات آهن و سه در هزار نانو کلات منگنز منجر به افزایش این عنصر به میزان (۲۲/۸۶٪) نسبت به تیمار بدون محلول‌پاشی شد. با توجه به کاهش جذب عناصر توسط دانه به نظر می‌رسد که علت این امر کاهش شدید عملکرد دانه با افزایش شدت تنش کم‌آبی است که موجب کوچک شدن مخزن فیزیولوژیک عناصر (دانه) و در نتیجه کاهش کل جذب عناصر در دانه گردیده است. همچنین براساس نظر پژوهشگران تنش خشکی در مرحله زایشی انتقال عناصر آهن و منگنز را به دانه محدود می‌کند (Heidari and Jahantighi, 2013).

مرحله رشد رویشی و محلول‌پاشی یک در ۱۰۰۰ نانو کلات آهن و سه در ۱۰۰۰ نانو کلات منگنز (۳۲۲۵) بود (جدول ۳). وقتی گیاه در معرض تنش خشکی قرار می‌گیرد، برای این‌که از اثرات تنش خشکی فرار کند اقدام به کوتاه کردن دوره رشد خود می‌کند بنابراین، بهدلیل کوتاه‌تر شدن طول دوره پر شدن دانه، وزن نهایی دانه‌ها و تعداد دانه کم می‌شود. ساویتری و همکاران (Savithri *et al.*, 1984) دریافتند که مصرف ۲۵ یا ۵۰ کیلوگرم سولفات منگنز، ۲۵ کیلوگرم در هکتار سولفات روی و ۱۰۰ کیلوگرم سولفات آهن در هکتار موجب افزایش تعداد دانه در بوته و عملکرد دانه سویا می‌گردد.

مقایسه میانگین‌های وزن ۱۰۰۰ دانه نشان می‌دهد که بیشترین وزن ۱۰۰۰ دانه با ۵۵/۴۶ گرم از ترکیب تیماری محلول‌پاشی آب خالص و آبیاری کامل و همچنین تنش در مرحله رشد رویشی و محلول‌پاشی یک در ۱۰۰۰ نانو کلات آهن و سه در ۱۰۰۰ نانو کلات منگنز بهدست آمد. کمترین وزن ۱۰۰۰ دانه با ۲۰/۲ گرم از اعمال تنش کمبود آب در مرحله رشد رویشی و محلول‌پاشی سه در ۱۰۰۰ نانو کلات آهن و ۱۱ تیمار دیگر حاصل شد (جدول ۳).

با اعمال تنش کمبود آب، در هر مرحله از رشد گیاه که باشد، عملکرد دانه همیشه تحت تأثیر قرار می‌گیرد (Bouchereau *et al.*, 1996) بنابراین، محلول‌پاشی یک راهکار مناسب برای کاهش اثرات ناشی از تنش خشکی محسوب می‌شود. نتایج حاصل از مقایسات میانگین اثر متقابل محلول‌پاشی × تنش کم‌آبی نشان داد که بیشترین مقدار عملکرد دانه در تیمار آبیاری مطلوب و محلول‌پاشی توأم یک در ۱۰۰۰ نانو کلات آهن و سه در ۱۰۰۰ نانو کلات منگنز (۱۷۶۵ کیلوگرم در هکتار) و کمترین مقدار آن مربوط به تیمار تنش در مرحله رشد زایشی و عدم اعمال محلول‌پاشی (با ۳۷۶ کیلوگرم در هکتار) و چهار تیمار دیگر بود (جدول ۳). بهنظر می‌رسد در این آزمایش، علت افزایش عملکرد دانه تأثیر عناصر آهن و منگنز بر کاهش ریزش گل و غلاف ناشی از تنش بوده است. بنابراین، با توجه به آثار ناشی از تنش کم‌آبی چنین احتمالی وجود دارد که انجام محلول‌پاشی نانو کلات آهن و منگنز، می‌تواند با تحریک رشد و تقسیم سلولی، دانه را به یک مخزن قوی مبدل ساخته و در نتیجه با پذیرفتن مواد فتوستنتزی بیشتر، مقادیر ماده خشک بیشتری در دانه ذخیره گردد. همچنین، کاهش عملکرد در شرایط تنش در مرحله رشد زایشی متأثر از کاهش تعداد دانه در غلاف بوده است. اغلب نتایج محققین نیز حاکی از تأثیر منفی و معنی‌دار تنش خشکی بر عملکرد و اجزای عملکرد گیاهان بهخصوص در دوره رشد زایشی گیاه می‌باشد و قاعده‌تاً برای دستیابی به حداکثر عملکرد می‌باشد از برخورد گیاه با تنش خشکی بهخصوص در سه مرحله ظهور غلاف‌ها، گلدهی و شیری

جدول ۴- مقایسه میانگین اثرات اصلی تنش کم‌آبی و محلول‌پاشی برای صفت منگنز دانه

Table 4- Mean comparison effects of water deficit and foliar application for seed manganese content

(Water deficit) (Tension K-Min)	Optimum irrigation	16.41 ^a
Water deficit at Reproductive stage		13.59 ^b
Water deficit at Vegetative stage		12.10 ^c
	LSD (0.05)	0.719
(Foliar application) (Molophil-pash)	(Without foliar application)	12.09 ^e
	(Foliar application pure water)	13.52 ^d
	(1 in 1000 a nano-Fe chelate)	14.83 ^{ab}
	(3 in 1000 a nano-Fe chelate)	13.96 ^{cd}
	(1.5 in 1000 a nano-Mn chelate)	14.23 ^{bc}
	(3 in 1000 a nano-Mn chelate)	14.8 ^{ab}
	(1 in 1000 a nano-Fe + 1.5 in 1000 a nano-Mn chelate)	14.8 ^{ab}
	(1 in 1000 a nano-Fe + 3 in 1000 a nano-Mn chelate)	14.86 ^a
	(3 in 1000 a nano-Fe + 1.5 in 1000 a nano-Mn chelate)	14.67 ^{ab}
	(3 in 1000 a nano-Fe + 3 in 1000 a nano-Mn chelate)	12.55 ^e
	LSD (0.05)	0.600

میانگین‌هایی که در دیف تنش کم‌آبی و محلول‌پاشی، حداقل دارای یک حرف مشترک هستند، بر اساس آزمون LSD، تفاوت معنی‌داری با یکدیگر ندارند.

Similar letters in each column and each level water deficit indicate no significant difference according to LSD 5% Test

عملکرد دانه و سایر صفات مورد ارزیابی در این آزمایش دارا بود. بنابراین به نظر می‌رسد که استفاده از کودهای نانو کلات آهن و منگنز در تغذیه گیاه ماش تحت شرایط مناطق خشک و کم آب نقش قابل ملاحظه‌ای در کاهش اثرات سوء تنش کمبود آب و بهبود عملکرد و اجزای عملکرد گیاه داشته باشد، البته استفاده از ترکیب یتیمار عناصر نانو کلات بستگی به شدت تنش کمبود آب خواهد داشت.

نتیجه‌گیری

نتایج حاصل از این پژوهش نشان داد که تنش کم‌آبی در هر دو مرحله رویشی و زایشی اثر معنی‌داری بر کاهش عملکرد دانه ماش دارد. اما اعمال تنش در مرحله زایشی بیشترین تأثیر را بر کاهش عملکرد دانه و سایر صفات مورد ارزیابی در این تحقیق داشت. همچنین مشاهده شد که مرحله زایشی حساس‌ترین مرحله گیاه به تنش کم‌آبی می‌باشد. در بین عناصر نانو کلات، عنصر آهن به صورت منفرد و همچنین در ترکیب با عنصر منگنز، بیشترین تأثیر را بر

References

- Balakrishnan, K. 2000. Peroxidase activity as an indicator of the iron deficiency in banana. Indian Journal of Plant Physiology 5 (4): 389-391.
- Bouchereau, A., Clossais-Besnard, N., Bensaoud, A., Leport, L., and Renard, A. M. 1996. Water stress effects on rapeseed quality. European Journal of Agronomy 5 (1-2): 19-30.
- Cakmak, I. 2000. Tansley Review No. 111 Possible roles of zinc in protecting plant cells from damage by reactive oxygen species. The New Phytologist 146 (2): 185-205.
- Chamadolivier, L., and Merrien, A. 1996. Effects of water stress applied at different growth stages to *Brassica napus* L. var. oleifera on yield, yield components and seed quality. European Journal of Agronomy 5 (3-4): 153-160.
- Chimenti, C. A., Pearson, J., and Hall, A. J. 2002. Osmotic adjustment and yield maintenance under drought in sunflower. Field Crops Research 75 (2-3): 235-246.
- El Hafid, R., Smith, D. H., Karrou, M., and Samir, K. 1998. Physiological responses of spring durum wheat cultivars to early-season drought in a Mediterranean environment. Annals of Botany 81 (2): 363-370.
- Ezzat, M., Abd El Lateef, M. M., Tawfik, M., Hozyin, B. A., Bakry, T. A., Elewa, A. A., Farrag, and Amany, A Bahr. 2012. Soil and foliar fertilization of mungbean (*Vigna radiata* (L.) wilczek) under Egyptian conditions. Elixir Agriculture 47: 8622-8628.
- Fageria, N. K., and Baligar, V. C. 2001. Lowland rice response to nitrogen fertilization. Communications in Soil Science and Plant Analysis 32 (9-10): 1405-1429.
- Fathi amirkhiz, K., Amini Dehaghi, M., Modarres Sanavi, S. A. M., and Heshmati, S. 2011. The Effects of Soil and Foliar Application of Fe on some Biochemical Characteristics of Safflower (*Carthamus tinctorius* L.) under Two Irrigation Regimes. Iranian Journal of Field Crop Science 42 (3): 509-518. (in Persian with English abstract).
- Firouzabadi, B., and Farahani, I. 2013. Effect of Planting Date on Seed Yield and Its Components of Mungbean

- (*Vigna radiata* L.) Genotypes in Varamin Region in Iran. *Seed and Plant Production* 29 (3): 387-401. (in Persian with English abstract).
11. Göksoy, A. T., Demir, A. O., Turan, Z. M., and Dağıstü, N. 2004. Responses of sunflower (*Helianthus annuus* L.) to full and limited irrigation at different growth stages. *Field Crops Research* 87 (2-3): 167-178.
 12. Graham, P. H., and Vance, C. P. 2003. Legumes: importance and constraints to greater use. *Plant physiology* 131 (3): 872-877.
 13. Heidari, M., and Jahantighi, H. 2013. Evaluate Effect of Water Stress and Different Amounts of Nitrogen Fertilizer on Seed Quality of Black Cumin (*Nigella sativa* L.). *Iranian Journal of Field Crops Research* 11 (4): 640-647. (in Persian with English abstract).
 14. Jabbari, H., Akbari, A., Khosh kholgh Sima, N., Alahdadi, I., Shirani rad, A., Tabatabaee, S., and Hamed, S. 2014. Comparison of antioxidant enzymes and proline roles in drought tolerance of rapeseed (*Brassica napus* L.). *Journal of Oil Plant Prudaction* 3 (1):15-31. (in Persian with English abstract).
 15. Jabeen, N., and Ahmad, R. 2011. Effect of foliar-applied boron and manganese on growth and biochemical activities in sunflower under saline conditions. *Pakistan Journal of Botany* 43 (2): 1271-1282.
 16. Jafar dokht, R., Mosavi Nik, S. M., Mehraban, A., and Basiri, M. 2015. Effect of water stress and foliar micronutrient application on physiological cahracteristics and nutrient uptake in mung bean. *Electronic Journal of Crop Production* 8 (1): 121-141. (in Persian with English abstract).
 17. Khodabakhsh, F., Amooaghaie, A., Mostajeran, A., and Emtiazi, G. 2011. Effect of hydro and osmopriming in two commercial chickpea cultivars on germination, growth parameters and nodules number in salt stress condition. *Iranian Journal of Plant Biology* 2 (6): 71-86. (in Persian with English abstract).
 18. Maleki Farahani, S., Khalesi, A., and Sharghi, Y. 2015. Effect of Nano Iron Chelate Fertilizer on Iron Absorption and Saffron (*Crocus sativus* L.) Quantitative and Qualitative Characteristics. *Asian Journal of Biological Sciences* 8: 72-82.
 19. Martin, D. L., Stegman, E. C., and Fereres, E. 1990. Irrigation scheduling principles. IN: Management of Farm Irrigation Systems. American Society of Agricultural Engineers, St. Joseph, MI. 1990. p 155-203, 19 fig, 9 tab, 81 ref.
 20. Martt, J. 1990. *Grain Legumes: Evolution and Genetic Resources*. Cambridge University Press.
 21. Monica, R. C., and Cremonini, R. 2009. Nanoparticles and Higher Plants. *Caryologia* 62 (2): 161-65.
 22. Morrison, M. J., and Stewart, D. W. 2002. Heat stress during flowering in summer Brassica. *Crop science* 42 (3): 797-803.
 23. Navaei, F., and Malakouti, M. J. 2002. Study of effect of balance nourishment of elements on quantitaive and quality of corn. *Iranian Journal of Soil and Waters Sciences* 16: 161-168. (in Persian with English abstract).
 24. Novozamsky, I., Van Eck, R., Van Schouwenburg, J. Ch., and Walinga, I. 1974. Total Nitrogen Determination in Plant Material by Means of the Indophenol-Blue Method. *Netherlands Journal of Agricultural Science*.
 25. Parande, H., and Mirza, M. 2011. Comparison of Nano Fe Chelate with Fe Chelate Effect on Growth Parameters and Antioxidant Enzymes Activity of *Ocimum Basilicum*. *New Cellular and Molecular Biotechnology Journal* 1 (4): 89-98.
 26. Patel, M. S., Sutar, D. M., and Kanizaria, M. V. 1993. Effect of foliar application of iron and sulfur in curing chlorosis in groundnut. *Journal of the Indian Society of Soil Science* 41: 103-105.
 27. Rhode, T. E. 1999. Integrating Urban and Agriculture Water Management in Southern Morocco. *Arid Lands News Letter* 45.
 28. Ruiz, J. A., Perez-Vendrell, A. M., and Esteve-Garcia, E. 2000. Effect of dietary iron and copper on performance and oxidative stability in broiler leg meat. *British Poultry Science* 41 (2): 163-167.
 29. Ruiz, J. M., Baghour, M., and Romero, L. 2000. Efficiency of the Different genotypes of tomato in relation to foliar content of Fe and the response of some Bioindicators. *Journal of Plant Nutrition* 23 (11-12): 1777-86.
 30. SAS Institute. 1985. *SAS user's guide: statistics*, SAS Institute (2).
 31. Savithri, P., Boshani, N. K., Manickam, T. S., and Kothandaraman, G. V. 1984. Response of soybean to micronutrient application. *Madras agricultural journal*.
 32. Taiz, L., and Zeiger, E. 2002. *Plant Physiology*, 3rd. edition. Sinauer Associates, Inc., Publishers. Sunderland, Massachusetts. USA.
 33. Torabian, S., and Zahedi, M. 2013. Effects of Foliar Application of Common and Nano-sized of Iron Sulphate on the Growth of Sunflower Cultivars under Salinity. *Iranian Journal of Field Crop Science* 44 (1): 109-118. (in Persian with English abstract).
 34. Uddin, S., and Parvin, S. 2013. Yield Performance of Mungbean (*Vigna radiata* L.) as Influenced by Irrigation. *International Journal of Agronomy and Plant Production* 4 (1): 3659-3667.
 35. Vanclooster, M., Gonzalez, C., Vanderborgh, J., Mallants, D., and Diels, J. 1994. An indirect calibration procedure for using TDR in solute transport studies. *Soil Science Society of American Journal* 3: 107-127.
 36. Welch, R. M., Allaway, W. H., House, W. A., and Kubota, J. 1991. Geographic Distribution of Trace Element

- Problems. Micronutrients in agriculture micronutrientsi 2: 31-57.
37. Zayed, B. A., Salem, A. K. M., and Sharkawy, H. M. El., 2011. Effect of different micronutrient treatments on rice (*Oriza Sativa L.*) growth and yield under saline soil conditions. World Journal of Agricultural Sciences 7 (2): 179-84.
38. Zhu, H., Han, J., Xiao, J. Q., and Jin, Y. 2008. Uptake, translocation, and accumulation of manufactured iron oxide nano particles by pumpkin plants. Journal of Environmental monitoring 10 (6): 713-17.



Effect of Nano Iron and Manganese Fertilizers on Mung Bean Growth and Yield in Water Deficit Stress Condition

Y. Izadi^{1*}- S. A. M. Modares Sanavey²

Received: 10-06-2018

Accepted: 11-01-2018

Introduction

Pulse crops have a huge role in Agriculture and daily life. The mung bean (*Vigna radiata* L. Wilczek) is one of the most important pulse crops in the world. It is a protein rich staple food and contains about 25 percent protein. Producing higher potential yield in comparison with other crops, is one of the greatest feature of the mung bean crop. Also, it improves the soil fertility by fixing the atmospheric nitrogen. Water deficit affects different growth and development stages of mung bean. In this regard, choosing the landraces and suitable cultivars and nutrition and irrigation management, play an important role in increasing of quantity and quality of pulses and reduce of negative effects of various environmental stresses on plants. The present research aimed to study the effect of water deficit stress on quantity and quality mung bean traits, Parto variety under applied and non-applied of foliar application of nano-iron and manganese chelates.

Materials and Methods

In order to study the effects of water deficit stress on reduction of quality traits of *Vigna Radiata* (Parto variety) under iron and manganese nano-chelate foliar application, an experiment was conducted as split-plot management in randomized complete block design with three replications during 2013-2014 in the research farm of agricultural college, Tarbiat Modares University. To determine the nature of soil, the amount of mineral elements (nitrogen, iron and manganese), the percent of organic carbon and soil acidity were sampled from zero depth to 30 centimeter and from 30 to 60 centimeters of soil in the zigzag pattern. Experimental treatments in main plots were three levels of irrigation regime (optimum irrigation, water deficit at reproductive stage and water deficit at vegetative stage) and in subplots were 10 levels of foliar application (without foliar application, foliar application pure water, one in a thousand a nano-Fe chelate, three in thousand a nano-Fe chelate, 1.5 in thousand a nano-Mn chelate, three in thousand a nano-Mn chelate, one in thousand a nano-Fe + 1.5 in thousand a nano-Mn chelate, one in thousand a nano-Fe + three in thousand a nano-Mn chelate, three in thousand a nano-Fe + 1.5 in thousand a nano-Mn chelate, three in thousand a nano-Fe + three in thousand a nano-Mn chelate) at withholding irrigation stage. SAS software has been used to analysis data, the analyses parameters were including variance and means comparison have been compared by using the LSD Test at probability level of 5%.

Results and Discussion

The results showed that water deficit stress and iron and manganese nano-chelate foliar application were significant for the most of plant traits at 1% probability level. Among of water deficit stress levels, the lowest yield and yield components for most traits, stress at reproductive stage and the highest amount in control (optimum irrigation). Also, the highest yield and yield component was achieved from different levels of iron and manganese nano-chelate spraying at the vegetative and reproductive stage, especially in the vegetative growth stage, while control spraying (no spray) led to decreasing yield and yield components in plant. Also, interaction between two main treatments were significant for the most of the traits at 1% probability level.

Conclusions

It can be concluded that water deficit stress at the reproductive stage had the most effect on reducing grain yield, protein yield and yield components, and using nanoparticles had the highest rates of grain yield, yield component and protein yield. The effects of water deficit can be reduced by spraying of nano-Fe and nano-Mn

1- Ph. D. Student, Faculty of Agriculture, Shahid Chamran University of Ahvaz, Ahvaz, Iran

2- Professor, Faculty of Agriculture, Tarbiat Modares University of Tehran, Tehran, Iran

(*- Corresponding Author Email: izady.nike70@gmail.com)

chelated. Also, it was observed that reproductive stage is the most vulnerable stage of the plant to the water deficit stress. Stress in this stage causes protein reduction by the plant and seed filling period. Regarding the effects resulted from water deficit stress, it is possible that spraying nano-chelated iron and manganese can make the seed a rich source by stimulating growth and cell division and as a result, more amount of dry material is preserved within the seed by adopting more photosynthetic materials. Among nano-chelated elements, iron and also mixed with manganese had the most effect on the seed yield and other studied traits in this test. Thus, it is suggested that these elements can be utilized as a factor for removing or decreasing stress and also increasing the production efficiency in the plants.

Keywords: Pulses, Protein yield, Seed yield, Water stress



مطالعه اثرات زیست‌محیطی محصولات عمده زراعی استان خراسان رضوی با استفاده از ارزیابی چرخه حیات

علیرضا کوچکی^{۱*}- جواد وفابخش^۲- سرور خرم دل^۳

تاریخ دریافت: ۱۳۹۶/۱۱/۰۸

تاریخ پذیرش: ۱۳۹۷/۰۲/۲۶

چکیده

تجزیه و تحلیل نظامهای کشاورزی به منظور بررسی اثرات زیست‌محیطی موجب ارتقاء کیفی مدیریت و توسعه پایدار کشاورزی می‌شود. این مطالعه با هدف بررسی اثرات زیست‌محیطی نظامهای عمده تولیدات زراعی در استان خراسان رضوی شامل گندم، ذرت، چمنرقد، کلزا، گوجه‌فرنگی، سبزی‌زمینی، خربزه، هندوانه و خیار با استفاده از ارزیابی چرخه حیات (LCA) انجام شد. بدین منظور، میانگین نهادهای مصرفی طی سال‌های ۹۵-۱۳۸۵ با استفاده از پرسشنامه و آمارنامه‌های وزارت جهاد کشاورزی جمع‌آوری و بر اساس روش ISO 14044 LCA در چهار گام شامل مشخص‌سازی اهداف و حوزه عمل، ممیزی چرخه حیات، ارزیابی تأثیر چرخه حیات و تلفیق، تیجه‌گیری و تفسیر نتایج انجام شد. در این مرحله، واحد کارکردی معادل یک تن محصول اقتصادی از هر گیاه در نظر گرفته شد. گروههای تأثیر گرامایش جهانی، اسیدی شدن و سرشاراسازی بود. در آخرين مرحله، شاخص بوم‌شناخت (EcoX) محاسبه شد. برای سنجش قابلیت روایی پرسشنامه، ضریب آلفای کرونباخ محاسبه گردید. نتایج نشان داد که ضریب آلفای کرونباخ $\alpha = 0.82$ نشان‌دهنده قابلیت اعتماد بالای پرسشنامه بوده است. بیشترین سهم انتشار گازهای گلخانه‌ای در گروه تأثیر گرامایش جهانی مربوط به دی‌اکسید کربن بود. بیشترین و کمترین پتانسیل گرامایش جهانی بهترتبه برای کلزا (13420.1) واحد معادل کیلوگرم CO_2 به‌ازای هر یک تن عملکرد اقتصادی) و چمنرقد (2725) واحد معادل کیلوگرم CO_2 به‌ازای هر یک تن عملکرد اقتصادی) به‌دست آمد. بیشترین پتانسیل سرشاراسازی نظامهای آبی مربوط به کلزا با 59.5 واحد معادل کیلوگرم PO_4 به‌ازای هر یک تن عملکرد اقتصادی بود و کمترین میزان برای چمنرقد 0.59 واحد معادل کیلوگرم PO_4 به‌ازای هر یک تن عملکرد اقتصادی حاصل شد. بیشترین مجموع شاخص بوم‌شناخت مربوط به کلزا با 0.67 EcoX به‌ازای هر یک تن عملکرد اقتصادی بود و کمترین میزان برای چمنرقد با 0.1 EcoX به‌ازای هر یک تن عملکرد اقتصادی حاصل شد. مجموع شاخص بوم‌شناخت در نظام تولید کلزا در مقایسه با نظامهای تولید گندم، ذرت، هندوانه، خیار، خربزه، گوجه‌فرنگی و سبزی‌زمینی بهترتبه برابر با 46.38 ، 49.59 ، 59.59 ، 77.80 و 94.94 درصد بالاتر به‌دست آمد بیشترین سهم در مقایسه گروه‌های تأثیر مربوط به سرشاراسازی آبی (با میانگین 55.65 درصد) بود. بر این اساس، به منظور کاهش اثرات زیست‌محیطی نظامهای تولید توصیه می‌شود از مدیریت پایدار حاصلخیزی خاک، جایگزینی نهادهای شیمیایی، افزایش کارایی مصرف نهاده‌ها، خاکورزی کاهش یافته، تناوب زراعی، کشت مخلوط با گیاهان ثبیت‌کننده نیتروژن و انتخاب گیاهان با هزینه‌های زیست‌محیطی کمتر در الگوی کاشت بهره‌گیری شود.

واژه‌های کلیدی: انتشار آلانینه، سرشاراسازی آبی، گرامایش جهانی، مدیریت نظام کشاورزی

مقدمه

رشد جمعیت همراه با توسعه فناوری و افزایش مصرف نهاده‌های شیمیایی در بوم‌نظامهای زراعی باعث افزایش بروز اثرات

۱- استاد، گروه اگروتکنولوژی، دانشکده کشاورزی، دانشگاه فردوسی مشهد

۲- استادیار، مرکز تحقیقات کشاورزی و منابع طبیعی خراسان رضوی

۳- دانشیار، گروه اگروتکنولوژی، دانشکده کشاورزی، دانشگاه فردوسی مشهد

(*)- نویسنده مسئول: Email: akooch@um.ac.ir

DOI: 10.22067/gsc.v16i3.70560

«(FU) که نشان‌دهنده معیار کمی از کارکرد بوم‌نظام می‌باشد (Charles *et al.*, 2006; Brentrup *et al.*, 2004a) (Brentrup *et al.*, 2004a; Charles *et al.*, 2006; Hayashi, 2013 همکاران (Brentrup *et al.*, 2004a) بیان داشتند که ارزیابی پایداری نظام‌های تولید امری ضروری بوده و بدین منظور می‌توان از شاخص‌های مختلف استفاده کرد، ولی در مجموع با توجه به کارکردها و دامنه استفاده از LCA، بهره‌گیری از این رویکرد را رهیافتی مناسب برای ارزیابی اثرات زیست‌محیطی در فعالیت‌های کشاورزی توصیه کردند. برتراب و همکاران (Brentrup *et al.*, 2001) معتقدند که با محاسبه LCA می‌توان مشکلات نظام تولیدی از قبیل میزان مصرف منابع و تغییر کاربری اراضی را مشخص نمود. برتراب و همکاران (Brentrup *et al.*, 2004b) با بررسی اثرات زیست‌محیطی مقادیر مختلف کود نیتروژن در تولید گندم زمستانه در آلمان با استفاده از LCA گزارش نمودند که مقدار این شاخص، در شرایط مصرف کمتر از ۱۵۰ کیلوگرم نیتروژن در هکتار در حدود ۰/۲۶ تا ۰/۰۴ بهزادی هر تن دانه بود و با افزایش مقدار مصرف نیتروژن، شاخص نهایی افزایش یافت. همچنین در سطوح پایین مصرف کود، تغییر کاربری اراضی و در سطوح بالای مصرف، سرشارسازی مهمترین گروه‌های تأثیر LCA بودند. مسترلینگ و همکاران (Meisterling *et al.*, 2009) با مقایسه تولید گندم در سیستم‌های ارگانیک و رایج در آمریکا از نظر پتانسیل گرمایش جهانی با محاسبه LCA نشان دادند که تولید یک کیلوگرم نان در سیستم ارگانیک نسبت به سیستم رایج، ۳۰ کیلوگرم معادل CO_2 کمتری تولید می‌کند. موتتی و همکاران (Monti *et al.*, 2009) با بررسی اثرات زیست‌محیطی تناوب رایج ذرت (Zea mays L.) - گندم (Triticum aestivum L.) با کشت مخلوط کنگر فرنگی (Cynara scolymus L.) و گونه‌های علف‌های چمنی چندساله با استفاده از LCA نشان دادند که به طور آشکارا با جایگزین کردن گیاهان چندساله در نظام‌های زراعی رایج می‌توان اثرات زیست‌محیطی ناشی از تولید CO_2 و آبشویی نیترات را تا بیش از ۵۰ درصد کاهش داد.

Nassiri Mahallati and Koocheki (Koocheki, 2017a) با ارزیابی اثرات زیست‌محیطی بوم‌نظام‌های تولید گندم در سه گروه کم‌نهاده، متوسط‌نهاده و پر‌نهاده در کشور با استفاده از LCA بیان داشتند که با افزایش میزان مصرف نهاده‌ها به‌ازای واحد کارکردی هکتار کلیه اثرات زیست‌محیطی به‌طور معنی‌داری افزایش یافت. شدت تخلیه منابع غیرقابل تجدید (سوخت‌های فسیلی و منابع P و K) در نظام‌های پر‌نهاده معادل GJ ۲۷/۱ ha⁻¹ و تقریباً ۱/۸ برابر نظام‌های کم‌نهاده بود. در بوم‌نظام‌های

NO_2 و N_2O)، نیتروژن مولکولی و آبشویی به فرم نیترات، آمونیوم به محیط منتشر می‌شود (Brentrup and Palliere, 2008; Lammel, 2000). بالا بودن محتوی رطوبتی خاک در بوم‌نظام‌های مختلف زراعی افزایش انتشار N_2O و آبشویی نیترات را نیز به همراه دارد (Brentrup and Palliere, 2008; Lammel, 2000) (Crutzen *et al.*, 2008)، زیرا N_2O در اثر دنیتریفیکاسیون تولید می‌شود و از مقدار ممکن است تا ۵/۳ درصد هم برسد (De Vries *et al.*, 2003). در همین راستا، کوچکی و همکاران (Koocheki *et al.*, 2014) طی مطالعه‌ای روی تعیین پیامدهای زیست‌محیطی بوم‌نظام‌های زراعی تحت مدیریت رایج و فشرده در استان خراسان نتیجه گرفتند که اگرچه تولید و عملکرد محصولات کشاورزی در قرن اخیر بهبود یافته که در نتیجه این امر موجب افزایش تولید مواد غذایی شده است، ولی این دستاوردها مشکلات اجتماعی و زیست‌محیطی نظیر شور شدن و اسیدی شدن، آبشویی نیترات و تولید گازهای گلخانه‌ای به همراه داشته است. بر این اساس، این محققان توصیه نمودند از راهکارهای مناسب برای ارزیابی تأثیر مدیریت نظام‌های زراعی برای کاهش اثرات زیست‌محیطی و دستیابی به توسعه پایدار بهره‌گیری شود (Koocheki *et al.*, 2014).

تجزیه و تحلیل مدیریت نظام‌های کشاورزی به منظور بررسی اثرات زیست‌محیطی موجب بهبود کیفی تصمیم‌گیری‌ها و برنامه‌ریزی‌ها در مدیریت و توسعه پایدار کشاورزی می‌شود (Rathke and Eckert, 2006). اکرت و همکاران (Eckert et al., 2006) (1999) بیان داشتند که بررسی عملکرد زیست‌محیطی نظام‌های تولید برای ارزیابی وضعیت پایداری امری ضروری می‌باشد. در همین راستا برخی از محققان بر این باورند که با توجه به دامنه کارکردهای رهیافت ارزیابی چرخه حیات (LCA)، این روش مناسب‌ترین رویکرد برای ارزیابی درجه پایداری مختلف کشاورزی می‌باشد (Brentrup *et al.*, 2001; Brentrup *et al.*, 2004a, b; Finkbeiner *et al.*, 2006; Roy *et al.*, 2005; Roy *et al.*, 2009).

LCA ابزاری برای شناسایی، کمی‌سازی و ارزیابی پتانسیل اثرات زیست‌محیطی فرآیند تولید محصولات کشاورزی از مرحله تولید تا مصرف است که بر اساس دو مؤلفه میزان مصرف منابع و انتشار انواع آلاینده‌ها به محیط‌زیست تعیین می‌شود (Brentrup and Palliere, 2008; Kopiński, 2012; Brentrup *et al.*, 2004a; Roy *et al.*, 2005; Roy *et al.*, 2009). در مطالعات LCA، «واحد کارکردی

درصدی پتانسیل سرشارسازی را به ترتیب برای محیط‌های خشکی و آبی به دنبال داشت.

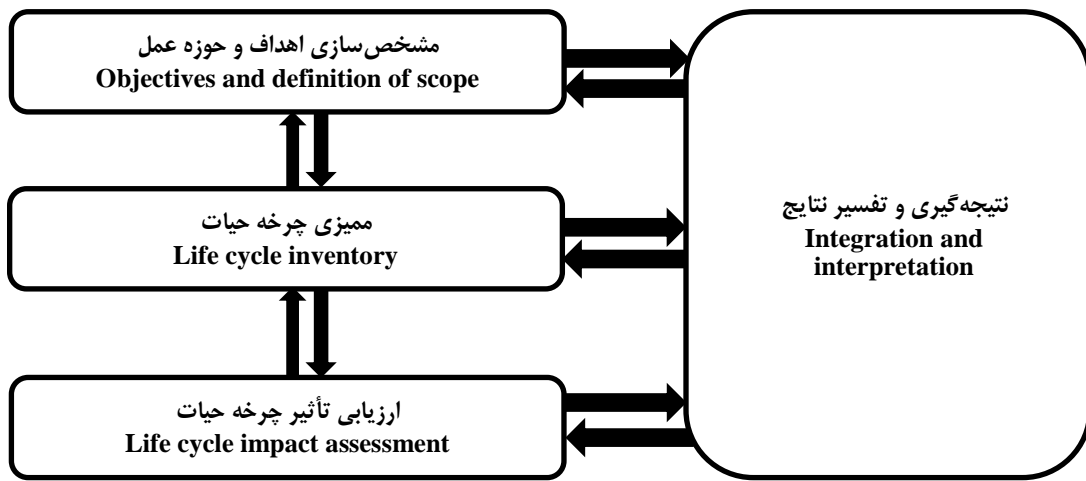
بدین ترتیب، با وجودی که آمار و اطلاعات نشان‌دهنده مصرف نهاده‌های شیمیایی و اجرای عملیات خاکورزی فشرده در نظامهای تولید محصولات زراعی در استان خراسان رضوی می‌باشد (Koocheki *et al.*, 2014)، اطلاعات دقیقی در مورد پی‌آمدۀای مصرف این نهاده‌ها در اختیار نیست. علاوه بر این، مشخص نیست که کدام بخش نهاده‌های ورودی بیشترین تأثیر منفی را بر آلودگی محیط‌زیست اعمال می‌کنند. هدف از این تحقیق، ارزیابی اثرات زیستمحیطی نظامهای عمدۀ تولیدات زراعی در استان خراسان رضوی با استفاده از LCA بود.

مواد و روش‌ها

به منظور جمع‌آوری اطلاعات، میانگین نهاده‌های مصرفی در محصولات عمدۀ استان خراسان رضوی شامل گندم (*Triticum aestivum L.*), ذرت (*Zea mays L.*), چغندرقند (*Beta vulgaris L.*), گوجه‌فرنگی (*Solanum lycopersicum L.*), کلزا (*Brassica napus L.*), خربزه (*Citrullus lanatus L.*), هندوانه (*Cucumis melo L.*) و خیار (*Cucumis sativus L.*) طی سال‌های ۱۳۸۵–۹۵ با استفاده از پرسشنامه (۱۷ مزرعه از هر محصول) و آمارنامه‌های وزارت جهاد کشاورزی و سایر آمارنامه‌ها تعیین و از روش ISO₁₄₀₄₄ (ISO, 2004a; Brentrup *et al.*, 2006) برای ارزیابی اثرات زیستمحیطی خود نحوه انجام این روش‌ها را شامل نشریه‌های ۱۴۰۴۱، ۱۴۰۴۰، ۱۴۰۴۲ و ۱۴۰۴۳ به ترتیب به صورت اصول و چارچوب LCA، هدف، حوزه و صورت برداری (ممیزی)، ارزیابی اثرات زیستمحیطی و تفسیر نتایج مشخص نموده است (ISO, 1997). بر اساس این روش، در چهار گام شامل مشخص‌سازی اهداف و حوزه عمل^۱، ممیزی چرخه حیات^۲، ارزیابی تأثیر چرخه حیات^۳ و تفیق، نتیجه‌گیری و تفسیر نتایج^۴ محاسبه شد (شکل ۱).

- 1- Objectives and definition of scope
- 2- Life cycle inventory
- 3- Life cycle impact assessment
- 4- Integration and interpretation

که مصرف نهاده‌ها زیاد است، افزایش عملکرد به بالاتر از ۴ تن در هектار باعث افزایش اثرات محیطی در هектار شد، ولی عملکرد اضافی ناشی از مصرف نهاده‌ها به اندازه‌ای نیست که این اثرات را به‌ازای هر تن دانه کاهش دهد. بنابراین با وضعیت فعلی کارایی استفاده از نهاده‌ها افزایش عملکرد از طریق فشرده‌سازی راه حل مطمئن نبوده و پی‌آمدۀای محیطی جدی به همراه خواهد داشت (Mahallati and Koocheki, 2017b) (Khorramdel *et al.*, 2014) با بررسی اثرات زیستمحیطی نظامهای تولید گندم آبی و دیم کشور بیان داشتند که با افزایش میزان مصرف نهاده‌ها اثرات زیستمحیطی آن افزایش یافت؛ به طوری که بیشترین سهم از شخص بوم‌شناخت در هر دو نظام مربوط به گروه تأثیر گرمایش جهانی بود. نتایج مطالعه سلطانی و همکاران (Soltani *et al.*, 2010) روی ارزیابی اثرات زیستمحیطی تولید گندم در گرگان و مقایسه با اروپا نشان داد که تولید گندم دارای اثرات زیستمحیطی قابل توجهی از نظر تخلیه انرژی‌های غیرتجددشونده، گرمایش جهانی، سرشارسازی، اکسیداسیون فتوشیمیایی، اسیدی شدن و تخلیه ازن می‌باشد و از این‌نظر فاصله معنی‌داری با کشورهای اروپایی (حدمطلب) دارد. فلاچپور و همکاران (Fallahpour *et al.*, 2012) با ارزیابی اثرات زیستمحیطی تولید غلات در شرایط مدیریت فاریاب و آبی در شمال شرق کشور با استفاده از LCA دریافتند که در مقادیر کم مصرف کود نیتروژن، اثرات زیستمحیطی به مراتب کمتر بود و با افزایش مصرف کود نیتروژن، این اثرات زیستمحیطی افزایش یافت. سلطانی و همکاران (Soltani *et al.*, 2015) با ارزیابی زیستمحیطی سیستم‌های مختلف چغندرقند (*Beta vulgaris L.*) به عنوان یک محصول استراتژیک در استان‌های خراسان رضوی، شمالی و جنوبی و مقایسه آن با الگوهای تولید مکانیزه، نیمه‌مکانیزه و سنتی، پتانسیل گروه‌های تأثیر شامل گرمایش جهانی، یوتوفیکاسیون، اکسیداسیون فتوشیمیایی، تخلیه ازن و اسیدی چغندرقند را به ترتیب ۴۸۸/۸ کیلوگرم معادل CO₂ به‌ازای هر تن محصول، ۰/۳ کیلوگرم معادل PO₄ به‌ازای هر تن محصول، ۰/۶۴ کیلوگرم معادل C₂H₄ به‌ازای هر تن محصول، ۰/۸۷ کیلوگرم معادل CFC-11 به‌ازای هر تن محصول و ۰/۲ کیلوگرم معادل SO₂ به‌ازای هر تن محصول گزارش کردند که در مقایسه با شرایط سوئیس به عنوان حد مطلوب در برخی گروه‌های تأثیر تا ۴۰ برابر بالاتر بود. همچنین آبیاری بیشترین سهم را در تشدید اثرات زیستمحیطی داشت که با توجه به شرایط اقلیمی منطقه وجود خشکسالی‌ها، نتیجه‌گیری شد که تأمین این انرژی به علت وابستگی به سوخت‌های فسیلی موجب تشدید بیشتر اثرات زیستمحیطی خواهد شد. اسماعیل‌پور و همکاران (Esmaelpour *et al.*, 2015) گزارش نمودند که افزایش مصرف کود نیتروژن از ۲۵۰ به بیش از ۴۰۰ کیلوگرم در هектار در نظامهای تولید سبب‌زمینی، افزایش ۶۵ و ۵۶



شکل ۱- چهارچوب روش ارزیابی چرخه حیات (ISO 14040, 1997)
Figure 1- Life cycle assessment framework (ISO 14040, 1997)

گرمایش جهانی: این گروه تأثیر از طریق برآورد تولید و انتشار گازهای گلخانه‌ای شامل CO_2 , CH_4 و N_2O محاسبه و بر اساس معادل کیلوگرم CO_2 یکسان‌سازی شد (جدول ۱) (ISO, 2006).
اسیدی شدن: ساختار مربوط به این گروه تأثیر که بر اساس معادل کیلوگرم SO_2 یکسان‌سازی می‌شود، بر اساس میزان ورود املاح و ترکیبات معدنی به خاک برآورد شد (جدول ۱) (Brentrup *et al.*, 2004a; Biswas *et al.*, 2008).
سرشارسازی: از آنجا که منبع تشیدی‌کننده سرشارسازی در نظامهای خشکی ورود NO_x و NH_3 و برای محیط‌های آبی ورود ترکیبات N و P می‌باشد (Brentrup *et al.*, 2004a; Biswas *et al.*, 2008)، لذا این گروه تأثیر در دو زیرگروه محیط‌های آبی و خشکی به‌طور جداگانه برآورد شد (جدول ۱).
تأثیر این سه گروه که بسته به ماهیت ممکن است منبع (R) یا عوامل انتشاریافته (E) باشند به‌ازای واحد کارکردی با استفاده از معادله (۱) تعیین شد.

$$I_i = \sum (R_j, E_j) \times CF_{ij} \quad (1)$$

پس از آن، نرمال‌سازی شاخص‌ها بر اساس دستورالعمل ISO و با استفاده از معادله (۲) انجام شد (Guinée, 1999; Guinée, 2001):

$$N_i = \frac{I_i}{I_{i,ref}} \quad (2)$$

الف- مشخص‌سازی اهداف و حوزه عمل: در این مرحله ابتدا نهاده‌ها و خروجی‌ها تعیین شدند. مهمترین عامل در تعیین اهداف مطالعه، مشخص نمودن مزدهای سیستم و واحد کارکردی می‌باشد (Brentrup *et al.*, 2004a; Kowalski *et al.*, 2007) کارکردی معادل یک تن محصول اقتصادی از هر محصول در نظر گرفته شد. بر این اساس، واحد کارکردی گندم، ذرت و کنزا یک تن دانه برای سیب‌زمینی یک تن ساقه زیرزمینی، در مورد چندرقند یک تن غده یا ریشه و برای گوجه‌فرنگی، خیار، خربزه و هندوانه معادل یک تن میوه در نظر گرفته شد.

ب- میزی چرخه حیات (LCI): این مرحله شامل جمع‌آوری، تجزیه و تحلیل و میزی نهاده‌ها و خروجی‌ها (شامل انتشار مواد به اتمسفر، آب، زمین، پسماندها و فرآوردهای جانی) برای هر نظام تولید است (Skowrońska and Filipiak, 2014). در این مرحله، کلیه نهاده‌های لازم و پسماندها و آلاینده‌های انتشاریافتہ تعیین و بر حسب واحد کارکردی محاسبه شد (Brentrup *et al.*, 2001). بر اساس دستورالعمل ISO این اثرات زیستمحیطی شامل انتشار انواع گازهای گلخانه‌ای، فلزات سنگین و آفتکش‌ها به اتمسفر، خاک و آب بود (Finkbeiner *et al.*, 2006).

ج- ارزیابی تأثیر چرخه حیات: هدف از این مرحله، تجزیه و تحلیل کمی نتایج مرحله میزی می‌باشد. به این منظور، برای هر یک از گروه‌های تأثیر، ضریب ویژه (CF) تعریف شد. گروه‌های تأثیر مورد مطالعه شامل گرمایش جهانی، اسیدی شدن و سرشارسازی در نظامهای خشکی و آبی بود (Brentrup *et al.*, 2006; Finkbeiner *et al.*, 2006).

د- تلفیق، نتیجه‌گیری و تفسیر نتایج^۱: در آخرین مرحله، شاخص بوم‌شناخت^۲ که معیار نهایی LCA می‌باشد، با استفاده از معادله (۴) محاسبه شد (Brentrup et al., 2004a)

$$EcoX = \sum Ni \times W_i \quad (4)$$

که در آن، Ecox: شاخص محیطی بوم‌شناخت به ازای واحد کارکردی، Ni: مقدار نرمال شده مربوط به هر گروه تأثیر و Wi: وزن مربوط به هر یک از مقادیر Ni می‌باشد.
برای سنجش قابلیت روایی^۳ پرسشنامه، ضریب آلفای کرونباخ^۴ محاسبه گردید (Cronbach, 1951).

پس از جمع‌آوری پرسشنامه‌ها، دسته‌بندی اطلاعات و محاسبات مربوطه با استفاده از نرم‌افزار Excel انجام گردید. شکل‌ها با استفاده از نرم‌افزار Microsoft Excel 2013 رسم شدند.

نتایج و بحث

میزان نهاده‌های مصرفی و عملکرد اقتصادی: میانگین میزان نهاده‌های مورد استفاده به ازای هر یک هکتار و عملکرد محصول اقتصادی در نظام‌های تولید محصولات عمدۀ در استان خراسان رضوی در جدول ۲ نشان داده شده است.

آلای کرونباخ: ضریب آلفای کرونباخ برابر با $\alpha=0.82$ محاسبه شد که نشان‌دهنده قابلیت اعتماد بالای پرسشنامه بوده است.

گرمایش جهانی: بیشترین و کمترین پتانسیل گرمایش جهانی در مقایسه محصولات عمدۀ استان خراسان رضوی به ترتیب برای کلزا (۱۳۴۲/۰۱) واحد معادل کیلوگرم CO₂ به ازای هر یک تن عملکرد اقتصادی و چندرقم (۲۷/۲۵) واحد معادل کیلوگرم CO₂ به ازای هر یک تن عملکرد اقتصادی) به دست آمد. پتانسیل گرمایش جهانی بوم‌نظام‌های تولید کلزا نسبت به گندم، ذرت، هندوانه، خیار، خربزه، گوجه فرنگی و سیب‌زمینی به ترتیب برابر با ۵۰، ۸۰، ۸۸، ۸۲، ۶۹، ۹۰، ۹۴ و ۹۵ درصد بالاتر محاسبه شد (شکل ۲). بیشترین سهم انتشار گازهای گلخانه‌ای در گروه تأثیر گرمایش جهانی در مقایسه گازهای مختلف، مربوط به دی اکسید کربن بود و کمترین سهم به متنان اختصاص داشت. دامنه انتشار انواع گازهای گلخانه‌ای شامل متنان، اکسید نیترو و دی اکسید کربن از مجموع پتانسیل این گروه تأثیر به ترتیب برابر با ۳/۲-۴/۳، ۳/۲-۴/۳، ۳۹/۱-۴۷/۳ و ۵۷/۱-۶۲/۱ درصد محاسبه شد (شکل ۲).

جدول ۱- فاکتور مشخص‌سازی گروه‌های تأثیر (Brentrup et al., 2004a)

Table 1- Characterization factors for impact categories

Climate change potential	
Material (kg)	Characterization factor
CO ₂	1
CH ₄	21
N ₂ O	310

Acidification potential	
Material (kg)	Characterization factor
SO ₂	1
NO _x	0.28
NH ₃	1.30

Pantanesisil اوتریفیکاسیون در بوم‌نظام‌های خشکی	
Material (kg)	Characterization factor
NO _x	1
NH ₃	5

Terrestrial eutrophication potential	
Material (kg)	Characterization factor
NO _x	1
NH ₃	5

Pantanesisil اوتریفیکاسیون در بوم‌نظام‌های آبی	
Material (kg)	Characterization factor
P	1
NO ₃	0.1
NO _x	0.13
NH ₄	0.33
PO ₄	0.0048
NH ₃	0.35
N	0.42
NO ₃ -N	0.42

که در این معادله، N_i : مقدار نرمال شده شاخص مربوط به گروه تأثیر i به ازای واحد کارکردی، I_i : مقدار محاسبه شده (غیر نرمال) شاخص مربوط به گروه تأثیر i (به ازای هر یک واحد کارکردی) و $I_{i,ref}$: مقدار شاخص مربوط به هر گروه تأثیر در شرایط مرجع می‌باشد. سپس، شاخص‌های نرمال شده با استفاده از معادله (۳) موزون شدند تا شدت تأثیر آنها بر حسب وزن (W) مربوط به هر گروه تأثیر لحاظ گردد (Brentrup et al., 2004a)

$$W_{ijk} = \frac{C_{ijk}}{T_{ijk}} \quad (3)$$

که در آن، W_{ijk} : وزن مربوط به شاخص i در منطقه ز در سال k مقدار فعلی شاخص i در منطقه ز در سال k و T_{ijk} : مقدار هدف برای شاخص i در منطقه ز در سال k می‌باشد.

1- Integration and interpretation

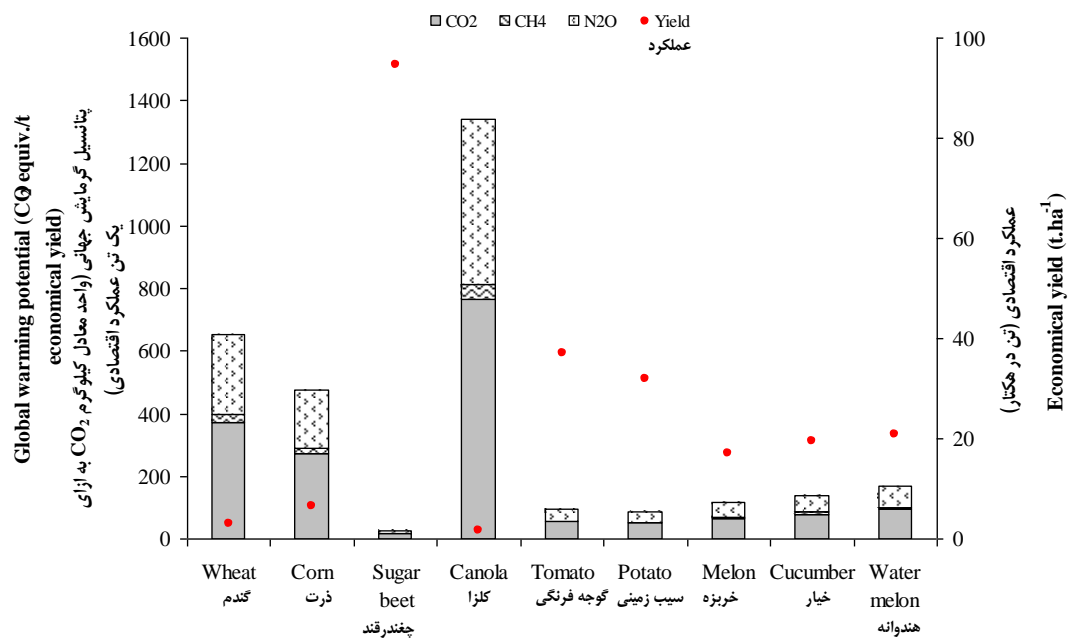
2- Eco-Index

3- Reliability

4- Cronbach's Alfa

جدول ۲- مقدار نهاده‌ها و سtanده‌های محصولات عمده در استان خراسان رضوی به‌ازای هر یک هکتار
Table 2- Input and output of important crops in Khorasan-e Razavi Province per one ha

(الف) نهاده‌ها A) Inputs	گندم Wheat	ذرت Corn	چغندر قند Sugar beet	کلزا Canola	گوجه فرنگی Tomato	سیب زمینی Potato	خربزه Melon	خیار Cucumber	هندوانه Water melon
سوخت (لیتر) Fuel (l)	128.5	185.70	498.60	144.60	155.90	568.20	96.40	78.60	68.20
کود دامی (تن) Cow manure (ton)	-	-	-	-	4.1	4.01	4.15	4.38	4.14
کودهای شیمیایی (کیلوگرم) Chemical fertilizers (kg)									
الف) نیتروژن A) Nitrogen	250	400	300	300	300	250	100	200	300
ب) پتاسیم B) Potassium	75	100	150	100	100	100	100	100	250
ج) فسفر C) Phosphorus	150	200	150	150	150	100	200	100	200
آب (متر مکعب) Water m ³)	5700	14500	14500	6000	12700	12500	12500	12226	12500
بذر (کیلوگرم) Seed (kg)	220	35	3.75	6.4	2.1	3575	3.5	3.6	4.5
(ب) ستانده									
B) Outputs									
عملکرد اقتصادی (تن) Economical yield (t)	2.91	6.39	94.47	1.69	37.12	31.79	16.95	19.49	20.77



شکل ۲- پتانسیل گرمایش جهانی به‌ازای هر یک واحد کارکردی محصولات عمده استان خراسان رضوی
Figure 2- Global warming potential of important crops as a functional unit in Khorasan-e Razavi Province

همکاران (Barton *et al.*, 2008) گزارش نمودند اگرچه انتشار گازهای گلخانه‌ای بین نظامهای مختلف گیاهی بسته به شرایط اقلیمی و خاکی متفاوت می‌باشد، ولی نوع مدیریت تأثیر به سزایی بر میزان انتشار این گازها و در نتیجه پتانسیل گرمایش ناچیز است. بر این اساس، مشخص است که اجرای مدیریت فشرده‌تر در نظامهای تولید محصولات مختلف در استان خراسان رضوی به‌ویژه مصرف کودهای شیمیایی و خاکورزی فشرده باعث تشدید پتانسیل گرمایش ناچیز شده است.

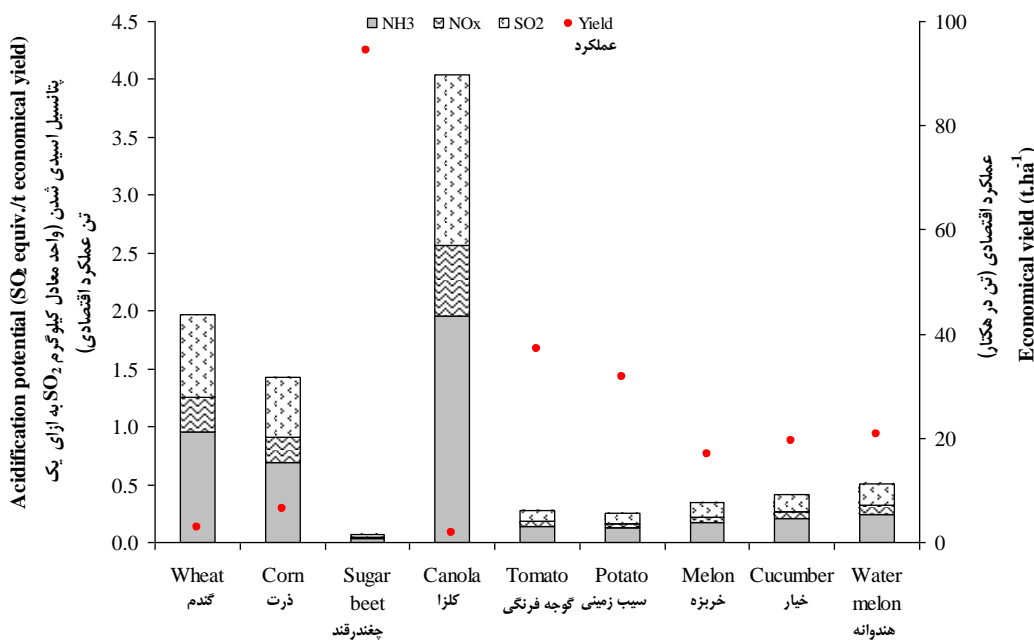
نتایج مطالعات موجود مؤید آن است که دلیل اصلی تشدید پتانسیل گرمایش جهانی در بوم‌نظمهای کشاورزی مربوط به احتراق سوخت‌های فسیلی می‌باشد (Mila i Canals *et al.*, 2006). بنابراین، با توجه به سهم بالای انتشار گازهای گلخانه‌ای توصیه می‌شود از تنوع بخشیدن به الگوهای کشت و ورود گیاهان چندساله مانند گیاهان علوفه‌ای، دارویی و در مواردی کشت مخلوط گیاهان یکسانه با گیاهان ثبیت‌کننده نیتروژن، نظامهای خاکورزی کاهش یافته و مصرف مقادیر مناسب کودهای آلی به عنوان جایگزینی برای کودهای شیمیایی با در نظر گرفتن نیاز گیاه و خصوصیات خاک به عنوان راهکارهایی پایدار برای تخفیف اثرات این گروه تأثیر در نظامهای تولید محصولات مختلف در استان خراسان رضوی بهره‌گیری شود. روش‌های نوین از جمله کم خاکورزی نه تنها از نظر مصرف انرژی و کاهش مصرف سوخت‌های فسیلی اقتصادی‌تر هستند، بلکه از فرسایش خاک نیز جلوگیری کرده و موجب حفظ بقایای گیاهی در سطح خاک شده که علاوه بر جلوگیری از تبخیر آب در بوم‌نظمهای خشک و نیمه‌خشک استان و خنک شدن سطح خاک در نهایت، باعث بهبود ترسیب کربن خواهد شد. البته اجرای این راهکارها بهبود تنوع کارکردی و در نتیجه پایداری نظامهای تولید محصولات مختلف را نیز موجب خواهد شد.

اسیدی شدن: بیشترین و کمترین اسیدی شدن به ترتیب مربوط به کلزا ۰/۰۷ و واحد معادل کیلوگرم SO_2 به‌ازای هر یک تن عملکرد اقتصادی و چندرقمnd (۴/۰۴) واحد معادل کیلوگرم SO_2 به‌ازای هر یک تن عملکرد اقتصادی (بود. پتانسیل اسیدی شدن نظامهای تولید کلزا در مقایسه با گندم، ذرت، هندوانه، خیار، خربزه، گوجه‌فرنگی و سبزیجنبی به ترتیب برابر با ۴۸، ۹۱، ۸۹، ۸۲، ۷۸، ۵۹ و ۹۲ درصد بالاتر بود (شکل ۳). بیشترین سهم انتشار آلاینده‌های مختلف در گروه تأثیر اسیدی شدن برای NH_3 به‌دست آمد. دامنه انتشار آلاینده‌ها شامل NO_x و NH_3 از مجموع پتانسیل این گروه تأثیر به ترتیب $15/2$ ، $10/0-1-15/2$ ، $21/6-36/6$ و $36/8-48/5$ درصد محاسبه شد (شکل ۳).

اگرچه پتانسیل گرمایش متان ۲۱ برابر دی اکسید کربن می‌باشد (IPCC, 2006)، ولی میزان انتشار آن در مقایسه با دو گاز دیگر ناچیز بود. در شرایط غیرغرقابی (غیرهوایی) کودهای دامی مهمترین منشاء انتشار متان در مزرعه می‌باشند (Van der Hoek and Van Schijndel, 2006) و کاربرد محدود این نوع کود در بوم‌نظمهای تولید محصولات عمده در استان خراسان رضوی (جدول ۱) باعث کاهش سهم این گاز از مجموع GWP شده است.

غلظت کنونی دی اکسید کربن در اتمسفر به عنوان یکی از اصلی‌ترین گازهای گلخانه‌ای برابر با $405/14$ پی‌پی ام می‌باشد (https://www.CO₂.earth). دلیل عدمه تولید و انتشار انواع گازهای گلخانه‌ای به‌ویژه CO_2 و N_2O در بوم‌نظمهای زراعی فشرده نظیر کلزا و غلات (شکل ۲) مربوط به مصرف سوخت‌های فسیلی، به‌کارگیری ماشین‌آلات برای عملیات مختلف زراعی و همچنین فرآیند تولید و مصرف کودهای شیمیایی است (Brentrup *et al.*, 2004a; Dyer and Desjardins, 2003; Moudry *et al.*, 2013) وست و مارلند (West and Marland, 2002) گزارش نمودند که شخم با گاو‌های برگ‌داندار باعث انتشار $26/75$ کیلوگرم کربن در هکتار به اتمسفر شده که برابر 98 کیلوگرم معادل CO_2 می‌باشد. لال (Lal, 2004) گزارش نمودند که انتشار ایافته به اتمسفر تحت تأثیر عملیات خاکورزی را $15/2$ کیلوگرم در هکتار $55/7$ کیلوگرم معادل CO_2 در هکتار (Bouwman, 1990) (دلیل عدمه انتشار گازهای گلخانه‌ای از بوم‌نظمهای زراعی را مصرف کودهای شیمیایی به‌ویژه کودهای نیتروژنی معرفی نمود.

علاوه بر افزایش غلظت CO_2 ، برخی بررسی‌ها نشان داده است که غلظت N_2O در اتمسفر از 275 پی‌پی بی (در دوره قبل از صنعتی شدن) به 319 پی‌پی بی (در سال 2005 میلادی) افزایش یافته (IPCC, 2007) که این امر موجب تخریب لایه ازن شده است. پتانسیل گرمایش این گاز گلخانه‌ای 30 برابر CO_2 است (Crutzen, 1981). کروتن و همکاران (Crutzen *et al.*, 2008) نشان دادند که با افزایش میزان مصرف کودهای نیتروژنی سهم N_2O افزایش می‌باید، در صورتی که با کاهش مصرف این کودها نقش CO_2 در پتانسیل گرمایش تشدید خواهد شد. خوشنویسان و همکاران (Khoshnevisan *et al.*, 2013) آلاینده انتشار ایافته از کودهای شیمیایی نیتروژنی که بیشترین تأثیر (با سهم 97 درصد) را در تشدید پتانسیل گرمایش جهانی دارد، N_2O است. میودری و همکاران (Moudry *et al.*, 2013) بیان داشتند که انتشار N_2O به دلیل بالاتر بودن مصرف کودهای نیتروژن در بوم‌نظمهای رایج به مرتب بالاتر از نظامهای ارگانیک بود. بارتون و



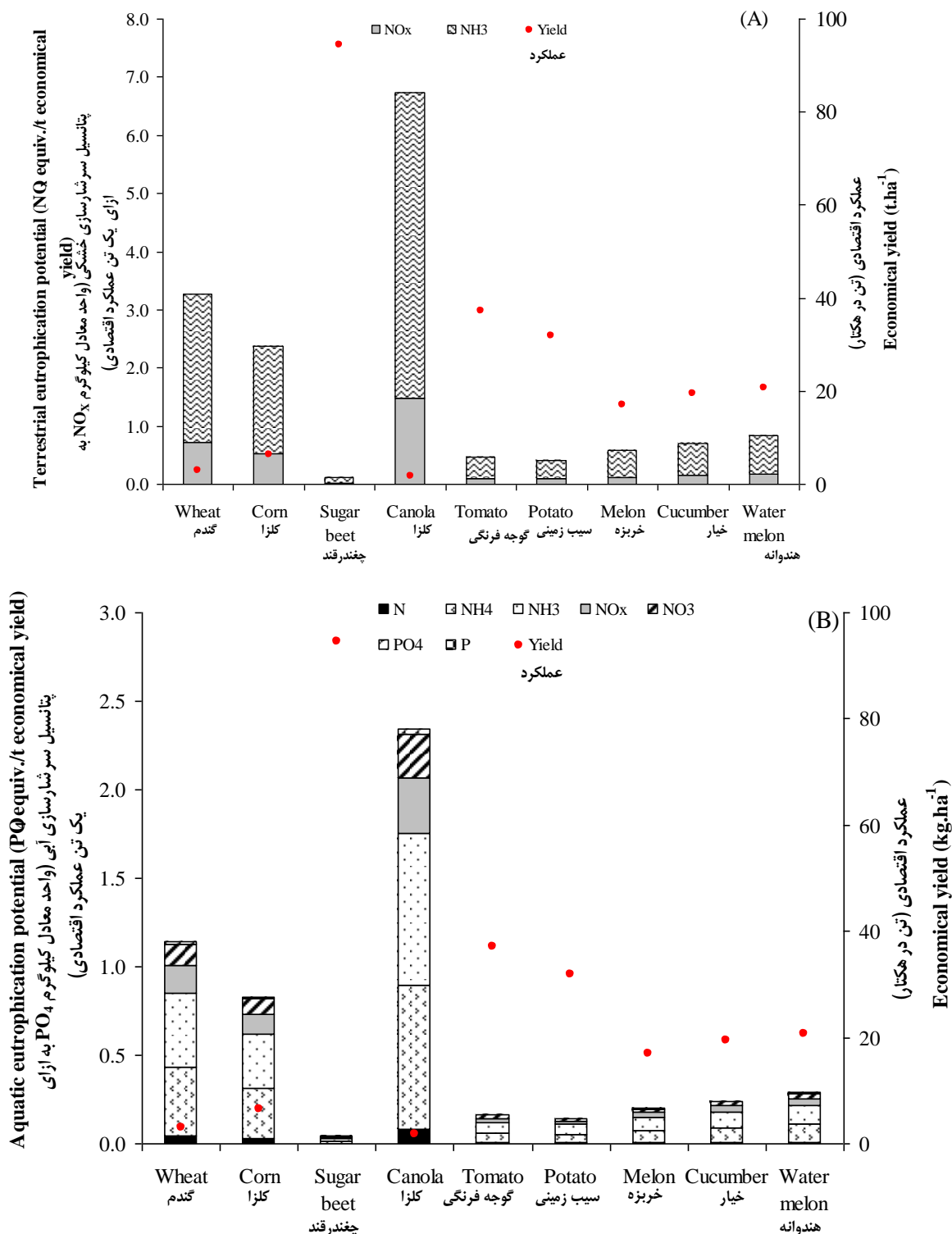
شکل ۳- پتانسیل اسیدی شدن بهازی هر یک واحد کارکرد محصولات عمده استان خراسان رضوی
Figure 3- Acidification potential of important crops as a functional unit in Khorasan-e Razavi Province

مناسب کاشت، تناوب زراعی مناسب، کاهش کاربرد کودهای شیمیایی نیتروژن و افزایش مصرف نهاده‌های آلی و جایگزین شدن آنها با کودهای شیمیایی در مزارع تولید محصولات مختلف در این استان به عنوان راهکارهایی بوساختی برای بهبود کارایی مصرف عناصر و تخفیف پتانسیل اسیدی شدن بهره‌گیری شود. نمک و همکاران (Nemecek *et al.*, 2011) نیز بهره‌گیری از مدیریت ارگانیک را به عنوان راهکاری برای تخفیف اثرات زیست‌محیطی معرفی نمودند. توصیه نظامهای مبتنی بر تناوب زراعی مناسب در مناطق خشک و نیمه‌خشک، علاوه بر ایجاد ثبات تولید، مشکلات ناشی از الگوهای کشت نادرست، افزایش مصرف آب و مصرف بی‌رویه کودهای نیتروژنه را نیز به حداقل می‌رساند.

سرشارسازی خشکی و آبی: بیشترین پتانسیل سرشماری نظامهای خشکی در مقایسه محصولات مختلف استان خراسان رضوی مربوط به کلزا ($6/74$) واحد معادل کیلوگرم NO_x بهازی هر یک تن عملکرد اقتصادی (الف) بود و کمترین میزان برای چندرقدن ($0/12$) واحد معادل کیلوگرم NO_x بهازی هر یک تن عملکرد اقتصادی (الف) حاصل شد. پتانسیل سرشماری خشکی نظامهای تولید کلزا در مقایسه با گندم، ذرت، هندوانه، خیار، خربزه، گوجه‌فرنگی و سبزی‌زمینی به ترتیب برابر با 32 ، 32 ، 39 ، 50 ، 59 ، 76 و 88 درصد بالاتر محاسبه گردید (شکل ۴-الف). بیشترین سهم آلینده‌های مختلف در گروه تأثیر سرشماری خشکی مربوط به NH_3 بود. دامنه انتشار آلینده‌ها شامل NO_x و NH_3 از مجموع پتانسیل این گروه

مهمترین مواد دارای پتانسیل اسیدی شدن دی‌اسید سولفور و اکسیدهای نیتروژن هستند که در بوم‌نظم‌های کشاورزی از مصرف سوخت‌های فسیلی و کودهای شیمیایی تولید می‌شوند (ECETOC, 1994; Engström *et al.*, 2009) که این انتشار به‌وسیله مجموعه فرآیندهای پیچیده انتقال اتمسفری و شیمیایی اسیدی شدن را تشید نموده که اثرات زیان‌باری بر اجزای بوم‌نظام، جمعیت‌های گیاهی و جانوری دارد (Bare *et al.*, 2003). اندازه‌گیری‌ها نشان داده است که هرچه سیستم تولید فشرده‌تر باشد، سهم NH_3 ناشی از تصعید کودها در اسیدی شدن تشید شده و از سهم NO_x و SO_2 کاسته می‌شود (Brentrup *et al.*, 2004). افزایش مصرف کودهای نیتروژن در نظامهای فشرده تولید محصولات مختلف در استان خراسان رضوی همچون کلزا و غلات (شامل گندم و ذرت) از طریق انتشار آلیندهای NH_3 و NO_x باعث تشید پتانسیل گروه تأثیر اسیدی شدن در مقایسه با سایر محصولات به‌ویژه چندرقدن گردید. برخی محققان دلیل این انتشار را به تبخیر نیتروژن به فرم‌های آمونیاک و اکسیدهای نیتروژن نسبت دادند (Fallahpour *et al.*, 2012). بنا بر عقیده ماهلر و همکاران (Mahler *et al.*, 1994) با توجه به هزینه‌های اقتصادی و زیست‌محیطی بوم‌نظم‌های زراعی رایج، به منظور توسعه پایدار لازم است تحقیقات گسترده‌تری جهت افزایش کارایی و بهره‌وری نیتروژن به‌ویژه در مناطق خشک و نیمه‌خشک همچون استان خراسان رضوی انجام شود. بدین ترتیب، به نظر می‌رسد که از اعمال مدیریت‌های کمنهاده با تأکید بر انتخاب الگوی

تأثیر بهترتب برابر با ۱۱/۰۱-۲۱/۸ و ۶۰/۸-۷۸/۲ درصد حاصل شد (شکل ۴-الف).



شکل ۴- پتانسیل سرشارسازی (الف) خشکی و (ب) آبی بهای هر یک واحد کارکرد محصولات عمده استان خراسان رضوی

Figure 4- (A) Terrestrial and (B) aquatic eutrophication potential of important crops as a functional unit in Khorasan-e Razavi Province

۵/۳ و ۶۳ کیلوگرم در هکتار رسید. مصرف بی‌رویه فسفر و به تبع آن جذب بالای این عنصر توسط گیاه اثرات سوئی بر جذب سایر عناصر نیز می‌گذارد. در همین راستا، بوان و لگت (Boan and Legget, 2001) نتیجه گرفتند که غلظت بالای فسفر باعث کاهش جذب روی و کاهش انتقال آن به اندام‌های هوایی و تجمع در ریشه، ساقه و گرههای سیب‌زمینی می‌شود. از طرف دیگر، از آنجا که ماده آلی قابلیت فراهمی فسفر را در خاک افزایش می‌دهد (Afif *et al.*, 1993; Delgado *et al.*, 2002) می‌توان به عنوان جایگزین مصرف کودهای فسفره شیمیایی در نظام‌های فشرده تولید محصولات در استان خراسان رضوی نظری کلزا و غلات، مصرف کودهای آلی را مدنظر قرار داد که این امر علاوه بر بهبود تدریجی قابلیت فراهمی این عنصر در خاک و جلوگیری از هدرروی آن، افزایش کارایی مصرف عناصر و کاهش بروز آلودگی‌های زیستمحیطی را به‌ویژه در گروه تأثیر سرشارسازی موجب می‌گردد. مواد آلی می‌توانند به صورت پوششی محافظه در اطراف ذرات کود، به عنوان پیوندهای فسفر در محلهای تبادل آئیونی و یا از طریق واکنش با فسفر، موجب تشکیل ترکیبات فسفات آلی شده و با آزادسازی تدریجی فسفر در محلول خاک قابلیت استفاده از این عنصر را برای گیاه افزایش دهند. والن و چانگ (Whalen and Chang, 2002) بیان داشتند که استفاده درازمدت از مواد آلی باعث نگهداری فسفر با پیوندهای کم‌انرژی تر شده و قابلیت فراهمی این عنصر را در نیم‌رخ خاک افزایش می‌دهد. ریوسو و دی‌لوسیا (Russo and De Lucia, 2008) اظهار داشتند که برای کاهش اثرات زیست‌محیطی کودهای شیمیایی در خاک، پیش از استفاده، بایستی میزان ماده آلی خاک تعیین گردد تا با توجه به خصوصیات فیزیکو‌شیمیایی خاک، میزان و نوع کود مصرفی انتخاب شود.

فسفر اصلی‌ترین عامل تشدید‌کننده گروه تأثیر سرشارسازی می‌باشد (Charles *et al.*, 2006). خوش‌ویسان و همکاران (Khoshnevisan *et al.*, 2013) بیان داشتند که مهم‌ترین عامل تشدید‌کننده پتانسیل گروه تأثیر سرشارسازی به فسفات با سهم ۶۸ درصد اختصاص دارد. فسفر محلول مورد نیاز برای اکثر محصولات کشاورزی ۰/۳۰-۰/۲۰ میلی‌گرم در کیلوگرم گزارش شده است (Riemersma *et al.*, 2006; Fageria, 2009). لذا با توجه به پتانسیل بالای خاک‌های کشور در تأمین نیاز گیاهان از نظر فسفر میلی‌گرم در لیتر) (Mirbagheri *et al.*, 2012) و آستانه سرشارسازی (Mirbagheri *et al.*, 2012) میلی‌گرم در لیتر) (Kronvang *et al.*, 2009)، مشخص است که احتمال آلودگی آبهای زیرزمینی در استان خراسان رضوی به فسفر و تشدید پتانسیل این گروه تأثیر به‌ویژه در نظام‌های فشرده تولید محصولات مختلف نظیر کلزا و غلات بسیار زیاد است.

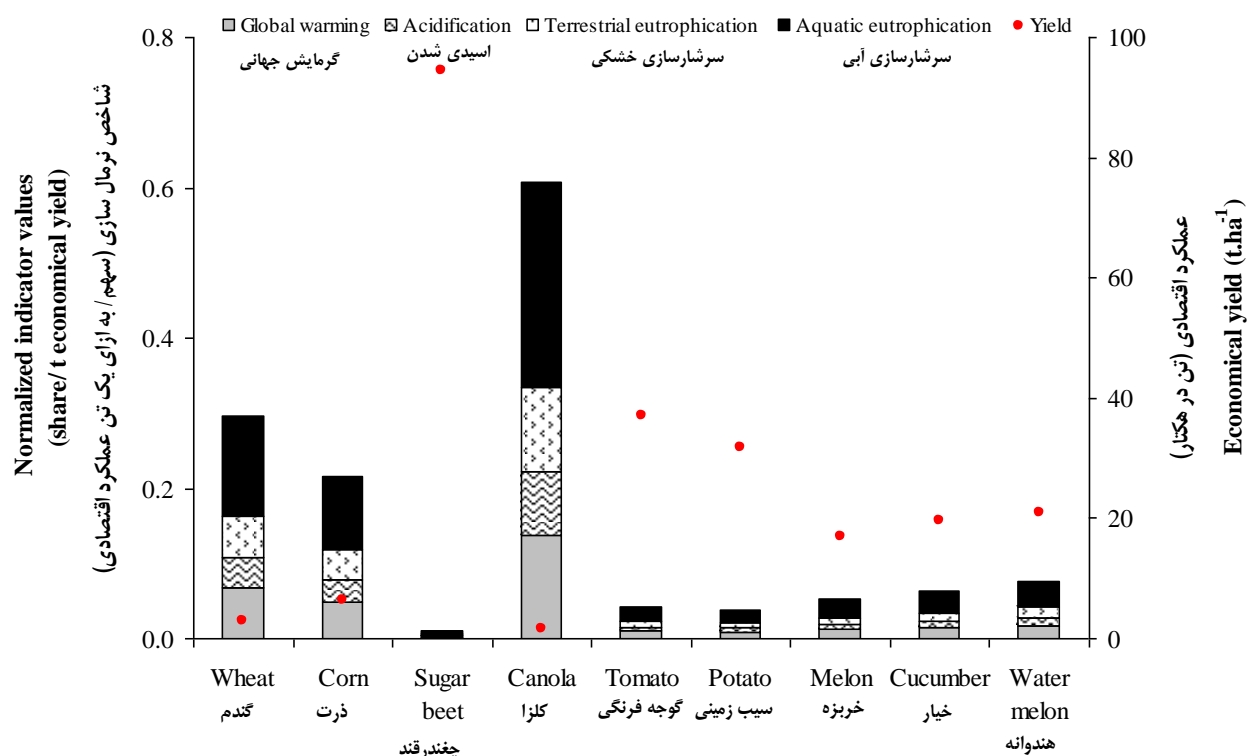
بیشترین پتانسیل سرشارسازی نظام‌های آبی مربوط به کلزا با ۰/۵۹ واحد معادل کیلوگرم PO_4^{3-} به‌ازای هر یک تن عملکرد اقتصادی بود و کمترین میزان برای چندرقدن با ۰/۰۱ واحد معادل کیلوگرم PO_4^{3-} به‌ازای هر یک تن عملکرد اقتصادی حاصل شد. پتانسیل سرشارسازی آبی نظام‌های تولید کلزا در مقایسه با گندم، ذرت، هندوانه، خیار، خربزه، گوجه‌فرنگی و سیب‌زمینی به ترتیب برابر با ۴۰، ۵۱، ۵۶، ۷۹، ۸۵، ۹۲ و ۹۱ درصد بالاتر بود (شکل ۴-ب). در مقایسه آلاینده‌های مختلف این گروه تأثیر شامل P , NO_x , NO_3^- , N , PO_4^{3-} , NH_3 , NH_4^+ بیشترین سهم مربوط به NH_4^+ بود. دامنه انتشار انواع آلاینده‌ها شامل P , N , PO_4^{3-} , NH_3 , NH_4^+ , NO_x و NO_3^- از NH_3 از مجموع پتانسیل این گروه تأثیر به ترتیب برابر با ۰/۰۳۳-۰/۰۰۸-۰/۰۳۳، ۰/۱۶-۰/۰۳/۷، ۰/۱۳/۵-۰/۳۴/۶ و ۰/۳۷/۶-۰/۳۱/۴-۰/۳۴/۶ درصد محاسبه شد (شکل ۴-ب).

در نظام‌های مختلف تولید در استان خراسان رضوی، انتشار آلاینده‌های مختلف به‌ویژه NH_3 , NH_4^+ , NO_x و NO_3^- به تلفات P به محیط باعث تشدید پتانسیل این گروه تأثیر در محیط‌های خشکی و آبی شده است. از آنجا که انتشار NO_x عمده‌است و باسته به نقل و انتقال و استفاده از ماشین‌آلات است (Brentrup *et al.*, 2004a)، لذا میزان انتشار این آلاینده برای محیط خشکی به مرتب بالاتر از آبی بود. سرشارسازی سبب تغییر در ترکیب گونه‌ای بوم‌نظم شده و میزان تولید بیomas را افزایش می‌دهد که موجب زنجیره‌ای از پیامدهای زیان‌بار شامل کاهش تنوع زیستی و تولید ترکیبات شیمیایی برای انسان، دام و سایر پستانداران می‌شود که این انتشار به‌وسیله مجموعه فرآیندهای پیچیده انتقال اتمسفری و شیمیایی اسیدی شدن را تشدید نموده که اثرات زیان‌باری بر اجزای بوم‌نظم، جمعیت‌های گیاهی و جانوری دارد (Bare *et al.*, 2003).

انتشار نیترات به عنوان یکی دیگر از آلاینده‌های گروه تأثیر سرشارسازی، به‌طور معنی‌داری به شرایط اقلیمی و خصوصیات خاک وابسته بوده و در شرایط ثابت محیطی تابع میزان مصرف نیتروژن است. برای مثال، در مطالعه‌ای بر روی گندم مشخص شد که با تغییر میزان مصرف نیتروژن از ۱۰۰ به ۲۲۰ کیلوگرم در هکتار پتانسیل سرشارسازی در واحد سطح بیش از ۵۰ درصد افزایش یافت (Charles *et al.*, 2006). با افزایش مصرف کودهای نیتروژنی سهم NO_3^- در پتانسیل سرشارسازی از سایر عوامل مؤثر بر این گروه تأثیر بیشتر می‌شود. برنتراپ و همکاران (Brentrup *et al.*, 2004b) با بررسی میزان انتشار NO_3^- در سطوح مختلف مصرف نیتروژن کودی نشان دادند که انتشار NO_3^- در مقادیر کم مصرف نیتروژن اندک بود، ولی با افزایش مصرف کود به‌طور نمایی افزایش یافت؛ به‌طوری که با کاربرد ۱۴۴ و ۴۸ کیلوگرم نیتروژن در هکتار به ترتیب به ۱/۷

شده به سرشارسازی آبی اختصاص داشت. رتبه‌های بعدی به ترتیب مربوط به گرمایش جهانی، سرشارسازی خشکی و اسیدی شدن بود (شکل ۵).

شاخص نرمال‌سازی: بیشترین و کمترین شاخص نرمال‌سازی به ترتیب برای کلزا و چندرقند با ۰/۰۱ و ۰/۶۱ به‌ازای هریک تن عملکرد اقتصادی محاسبه شد (شکل ۵). در مقایسه گروه‌های تأثیر مورد مطالعه، بیشترین سهم از مجموع شاخص نرمال



شکل ۵- شاخص نرمال شده به‌ازای هر یک واحد کارکرد محصولات عمده زراعی استان خراسان رضوی

Figure 5- Normalized indicator values of important crops as a functional unit in Khorasan-e Razavi Province

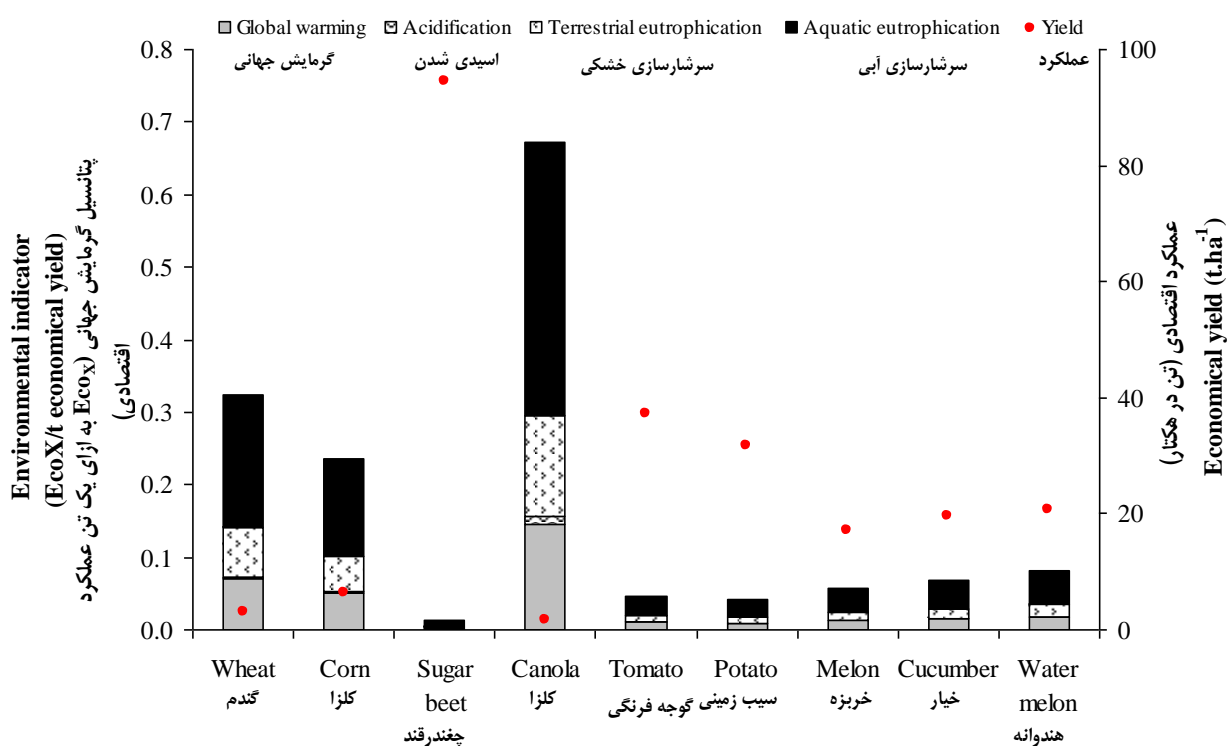
به منظور کاهش اثرات زیستمحیطی ناشی از مصرف کودهای شیمیایی، بایستی عملکرد افزایش یابد تا شدت انتشار آلاینده‌ها به سبب استفاده بیشتر از کودهای شیمیایی توجیه‌پذیر باشد. در این راستا، نتایج این مطالعه نیز نشان داد که صرف‌نظر از میزان مصرف نهاده‌ها در بomon نظامهای زراعی استان خراسان رضوی، عملکرد بالای غده چندرقند در مقایسه با عملکرد اقتصادی سایر محصولات مورد مطالعه همچون دانه کلزا و غلات کاهش اثرات زیستمحیطی و به تبع آن کاهش شاخص بومشناخت را به دنبال داشت. نتایج این مطالعه همچنین نشان داد که با افزایش مصرف نیتروژن از ۱۴۰ به ۲۲۰ کیلوگرم در هکتار مسمومیت آبی، کاربری زمین و سرشارسازی به‌ازای هر تن دانه گندم کاهش یافت، ولی پتانسیل گرمایش، مسمومیت انسان و مسمومیت خشکی به‌ازای هر یک تن دانه در سطوح بالای مصرف نیتروژن نیز بیشتر از سطوح پایین آن بود (Charles et al., 2006). بنابراین، عملکرد بیشتر در صورتی اثرات محیطی حاصل از

شاخص بومشناخت: بیشترین مجموع شاخص بومشناخت مربوط به کلزا با ۰/۶۱ EcoX به‌ازای هر یک تن عملکرد اقتصادی بود و کمترین میزان برای چندرقند با ۰/۰۱ EcoX به‌ازای هر یک تن عملکرد اقتصادی حاصل شد. مجموع شاخص بومشناخت در نظام تولید کلزا در مقایسه با نظامهای تولید گندم، ذرت، هندوانه، خیار، خربزه، گوجه‌فرنگی و سبز زمینی به ترتیب برابر با ۳۸، ۴۹، ۴۶، ۵۹، ۷۷، ۸۰ و ۹۶ درصد بالاتر به دست آمد (شکل ۶). بیشترین سهم در مقایسه گروه‌های تأثیر مورد مطالعه از مجموع شاخص بومشناخت مربوط به سرشارسازی آبی (با میانگین ۶۵ درصد) بود. سهم سایر گروه‌های تأثیر شامل گرمایش جهانی، سرشارسازی خشکی و اسیدی شدن به ترتیب ۲۰، ۲۲ و ۱ درصد تعیین گردید (شکل ۶).

کارلز و همکاران (Charles et al., 2006) با انجام مطالعات بهینه‌سازی میزان مصرف نهاده‌ها در نظامهای تولید محصولات کشاورزی با بهره‌گیری از ارزیابی چرخه حیات خاطر نشان ساختند که

آلودگی‌های زیست‌محیطی را به دنبال دارد. بنابراین، پیشنهاد می‌شود جهت تخفیف اثرات زیست‌محیطی نظام‌های تولید در استان خراسان رضوی، افزودن مناسب عناصر غذایی بر مبنای نیاز گیاه، شرایط اقلیمی و خصوصیات خاک مدنظر قرار گیرد (Brentrup *et al.*, 2004b). ایریارت و همکاران (Iriarte *et al.*, 2010) با بررسی اثرات زیست‌محیطی نظام‌های تولید آفت‌بگردان و کلزا تأکید کردند که بیشترین اثرات زیست‌محیطی برای گروه‌های تأثیر گرمایش جهانی و سرشارسازی حاصل شد.

صرف نهاده‌ها را کاهش می‌دهد که میزان افزایش عملکرد بیشتر از Tzilivakis *et al.*, 2005; Nemecek *et al.*, 2010. بدین ترتیب، باستی توجه گردد که بوم‌نظام‌های زراعی با عملکرد بالا الزاماً در تضاد با مشکلات زیست‌محیطی نیستند، ولی به کارگیری بیش از حد نهاده‌ها شامل سوخت و مصرف کودهای مختلف شیمیایی با تشدید انتشار آلاینده‌های مختلف در انواع گروه‌های تاثیر، افزایش تلفات نیتروژن و کاهش کارایی مصرف این عنصر به عنوان یکی از اصلی‌ترین عناصر متحرک و در نهایت، تشدید



شکل ۶- مجموع شاخص بوم‌شناخت به‌ازای بهازی هر یک واحد کارکردی محصولات عمده استان خراسان رضوی
Figure 6- Environmental indicator of important crops as a functional unit in Khorasan-e Razavi Province

تغییر در میزان مصرف نهاده‌ها می‌تواند سهم به سزایی در تشدید اثرات زیست‌محیطی محصولات مختلف در استان خراسان رضوی داشته باشد. بر این اساس، پیشنهاد می‌شود مدیریت پایدار نظام‌های زراعی در استان برای کاهش این اثرات زیست‌محیطی از طریق انتخاب الگوی کشت مناسب مدنظر قرار داده شود.

نتیجه‌گیری

نتایج این مطالعه روی مقایسه اثرات زیست‌محیطی نظام‌های عمده تولیدات زراعی در استان خراسان رضوی شامل گندم، ذرت، چغندر قند، کلزا، گوجه‌فرنگی، سیب‌زمینی، خربزه، هندوانه و خیار با

آنها دلیل این امر را به تولید و مصرف بیش از حد کودهای شیمیایی برای افزایش تولید این محصولات و همچنین مصرف سوخت‌های فسیلی تحت تأثیر عملیات فشرده خاکورزی نسبت دادند. هایashi (Hayashi, 2005) دریافت که فشردگی زراعی همبستگی قوی با درجه اثرات زیست‌محیطی دارد. برتراب و همکاران (Brentrup *et al.*, 2004b) با ارزیابی وضعیت نظام‌های تولید محصولات کشاورزی با استفاده از LCA خاطر نشان کردند که در مقادیر پایین مصرف کود، شاخص بوم‌شناخت کمتر بود و با افزایش مصرف کود، این شاخص تشدید گردید. البته باستی به این مهم توجه کرد که تغییر شرایط اقلیمی و بروز خشکسالی‌های اخیر از طریق

شیمیایی، تناوب زراعی و کشت مخلوط با گیاهان تشیت‌کننده نیتروژن و همچنین انتخاب گیاهان با اثرات زیستمحیطی کمتر در الگوی کاشت، در نظام‌های تولید درجهت به عنوان مدیریت پایدار خاک پهنه‌گیری شود که این راهکارها برای کاهش اثرات زیستمحیطی همراه با حفظ عملکرد بالا مفید خواهد بود.

سپاسگزاری

بودجه این تحقیق از محل اعتبار طرح پژوهه شماره ۲/۴۰۹۸۵ مورخ ۱۳۹۵/۰۳/۰۹ توسط معاونت محترم پژوهشی دانشگاه فردوسی مشهد تأمین شده که بدین‌وسیله سپاسگزاری می‌شود.

استفاده از LCA نشان داد که بیشترین اثرات زیستمحیطی به‌ازای یک واحد کارکردی محصول اقتصادی مربوط به کلزا بود و کمترین اثرات به چندرقند اختصاص داشت. در بین گروه‌های مختلف، بیشترین اثرات زیستمحیطی بر مبنای شاخص بوم‌شناخت به‌ازای هر یک تن محصول اقتصادی برای گروه تأثیر سرشمارسازی در محیط آبی حاصل شد. بر این اساس، از آنجا که افزایش شدت عملیات خاکورزی و مصرف حاصلخیز‌کننده‌های شیمیایی خاک، علاوه بر افزایش هزینه‌های تولید، بروز آلودگی‌های زیستمحیطی را به دنبال دارد، توصیه می‌شود مقادیر کود مصرفی با توجه به نیاز گیاه، تعیین خصوصیات خاک و همچنین توجه به سایر عوامل همچون اقلیم منطقه انتخاب و مدنظر قرار داده شود. علاوه بر این، توصیه می‌شود به منظور افزایش کارایی مصرف نهاده‌ها از جایگزین کردن نهاده‌های

References

1. Afif, E., Matar, A., and Torrent, J. 1993. Availability of phosphate applied to calcareous soils of West Asia and North Africa. *Soil Science Society of America Journal* 57: 756-760.
2. Available at: <https://www.CO2.earth/>
3. Bare, J. C., Norris, G. A., Pennington, D. W., and McKone. T. 2003. TRACI: The tool for the reduction and assessment of chemical and other environmental impacts. *Journal of Industrial Ecology* 6: 49-78.
4. Barton, L., Kiese, R., Gatter, D., Butterbach-bahl, K., Buck, R., Hinz, C., and Murphy, D. 2008. Nitrous oxide emissions from a cropped soil in a semi-arid climate. *Global Change Biology* 14: 177-192.
5. Biswas, W. K., Barton, L., and Carter, D. 2008. Global warming potential of wheat production in Western Australia: A life cycle assessment. *Water and Environment Journal* 22: 206-216.
6. Boan, L. C., and Legget, G. E. 2001. Phosphorus and zinc concentrations in Russet Burbank potato tissue in relation to development of zinc deficiency symptoms. *Soil Science Society of America Journal* 28: 229-232.
7. Bouwman, A. F. 1990. Exchange of greenhouse gases between terrestrial ecosystems and the atmosphere. In: A.F. Bouwman (Ed.), Soils and the greenhouse effect (pp. 61–127). Chichester: Wiley.
8. Brentrup, F., and Palliere, C. 2008. GHG emissions and energy efficiency in European nitrogen fertiliser production and use. Proc. International Fertiliser Society, December 11, York, UK.
9. Brentrup, F., Küsters, J., Kuhlmann, H., and Lammel, J. 2001. Application of the life cycle assessment methodology to agricultural production: an example of sugar beet production with different forms of nitrogen fertilizers. *European Journal of Agronomy* 14: 221-233.
10. Brentrup, F., Küsters, J., Kuhlmann, H., and Lammel, J. 2004a. Environmental impact assessment of agricultural production systems using the life cycle assessment methodology: I. Theoretical concept of a LCA method tailored to crop production. *European Journal of Agronomy* 20 (3): 247-264.
11. Brentrup, F., Küsters, J., Lammel, J., Barraclough, P., and Kuhlmann, H. 2004b. Environmental impact assessment of agricultural production systems using the life cycle assessment (LCA) methodology: II. The application to N fertilizer use in winter wheat production systems. *European Journal of Agronomy* 20 (3): 265-279.
12. Charles, R., Jolliet, O., Gaillard, G., and Pellet, D. 2006. Environmental analysis of intensity level in wheat crop production using life cycle assessment. *Agriculture, Ecosystems and Environment* 113: 216-225.
13. Cronbach, L. J. 1951. Coefficient alpha and the internal structure of tests. *Psychometrika* 16 (3): 297-334.
14. Crutzen, P. J. 1981. Atmospheric chemical processes of the oxides of nitrogen, including nitrous oxide. In: C.C. Delwiche (Ed.), Denitrification, nitrification, and atmospheric nitrous oxide (pp. 17–44). New York: Wiley.
15. Crutzen, P. J., Mosier, A. R., Smith, K. A., and Winiwarter, W. 2008. N₂O release from agro-biofuel production negates global warming reduction by replacing fossil fuels. *Atmospheric Chemistry and Physics* 8 (2): 389-95.
16. De Vries, W., Kros, J., Oenema, O., and de Klein, J. 2003. Uncertainties in the fate of nitrogen II: a quantitative assessment of the uncertainties in major nitrogen fluxes in the Netherlands. *Nutrient Cycling in Agroecosystems* 66: 71-102.
17. Delgado, A., Madrid, A., Kassem, S., Andreu, L., and Campillo, M. C. 2002. Phosphorus fertilizer recovery from calcareous soils amended with humic and fulvic acids. *Plant and Soil* 245: 277-286.
18. Dyer, J. A., and Desjardins, R. L. 2003. The impact of farm machinery management on greenhouse gas emissions from Canadian agriculture. *Journal of Sustainable Agriculture* 20: 59-74.
19. ECETOC. 1994. European Chemical Industry Ecology and Toxicology Centre (ECETOC), 1994. Ammonia

- Emissions to Air in Western Europe. Technical Report No. 62. ECETOC, Brussels.
20. Eckert, H., Breitschuh, G., and Sauerbeck, D. 1999. Kriterien einer umweltverträglichen Landbewirtschaftung (KUL)-ein Verfahren zur ökologischen Bewertung von Landwirtschaftsbetrieben (Criteria of Environmentally friendly land use (KUL)-a method for the environmental evaluation of farms). *Agriculture Biotechnology Research* 52: 57-76. (in Persian with English abstract).
 21. Engström, R., Wadeskog, A., and Finnveden, G. 2009. Environmental assessment of Swedish agriculture. *Ecological Economics* 60: 550-563.
 22. Esmaelpour, B., Khorramdel, S., and Amin Ghafori, A. 2015. Study of environmental impacts for potato Agroecosystems of Iran based on nitrogen fertilizer by using Life Cycle Assessment (LCA) methodology. *Electronic Journal of Crop Production* 8 (3): 199-224. (in Persian with English abstract).
 23. Fageria, N. K. 2009. The use of nutrients in plants. Taylor and Francis Group, CRC Press, 430 p.
 24. Fallahpour, F., Aminghafouri, A., Ghalegolab Behbahani, A., and Bannayan, M. 2012. The environmental impact assessment of wheat and barley production by using life cycle assessment (LCA) methodology. *Environment, Development and Sustainability* 14: 979-992.
 25. Finkbeiner, M., Inaba, A., Tan, R. B. H., Christiansen, K., and Klüppel, H. J. 2006. The new international standards for life cycle assessment: ISO 14040 and ISO 14044. *International Journal of Life Cycle Assessment* 11 (2): 80-85.
 26. Guinée, J. 1996. Data for the Normalization Step within Life Cycle Assessment of Products. CML Paper no. 14 (revised version). CML (Centre of Environmental Science), Leiden University.
 27. Guinée, J. B. 2001. Life cycle assessment: an operational guide to the ISO standards. Centre of Environmental Science, Leiden University, Leiden.
 28. Hayashi, K. 2005. Practical implications of functional units in life cycle assessment for horticulture: Intensiveness and environmental impacts (1: 368-371). LCM: Innovation by Life Cycle Management: Barcelona, Spain.
 29. Hayashi, K. 2013. Practical recommendations for supporting agricultural decisions through life cycle assessment based on two alternative views of crop production: the example of organic conversion. *The International Journal of Life Cycle Assessment* 18: 331-339.
 30. IPCC. 2006. IPCC Guidelines for National Greenhouse Gas Inventories. Intergovernmental panel on climate change. Greenhouse Gas Inventory Reference Manual Vol. 4.
 31. IPCC. 2007. Climate Change 2007: Synthesis Report. Contribution of Working Groups I, II and III to the Fourth Assessment Report of the Intergovernmental Panel on Climate Change, 104 pp., IPCC, Geneva.
 32. Iriarte, A., Rieradevall, J., and Gabarrell, X. 2010. Life cycle assessment of sunflower and rapeseed as energy crops under Chilean conditions. *Journal of Cleaner Production* 18: 336-345.
 33. ISO (International Standard Organization). 2006. ISO 14040: 2006(E) Environmental Management – Life Cycle Assessment– Principles and Framework.
 34. ISO. 1997. ISO 14040-Environmental management-Life cycle assessment-principles and framework, p. 14.
 35. Khorramdel, S., Rezvani Moghaddam, P., and Amin Ghafori, A. 2014. Evaluation of environmental impacts for wheat Agroecosystems of Iran by using Life Cycle Assessment methodology. *Cereal Research* 4 (1): 27-44. (in Persian with English abstract).
 36. Khorramdel, S., Shabahng, S., and Amin Ghafori, A. 2016. Study of environmental impacts for sugar beet agroecosystems in Khorasan Province by using Life Cycle Assessment (LCA). Final Report, Faculty of Agriculture, Ferdowsi University of Mashhad, Iran. (in Persian with English abstract).
 37. Khoshnevisan, B., Rafiei, S., Omid, M., Keyhani, A., and Movahedi, M. 2013. Assessing of energy indices and environmental impacts of potato production (Case study: Fereydoonshahr region, Isfahan province). *Iranian Journal of Biosystems Engineering* 44 (1): 57-66. (in Persian with English abstract).
 38. Koocheki, A., Khorramdel, S., and Jafari, L. 2014. Evaluation of environmental consequences for agroecosystems under conventional management in Khorasan Province. *Journal of Agroecology* (In Press). (in Persian with English abstract).
 39. Kopiński, J. 2012. Realization of environmental and economic objectives by the farms of various specialization directions (in Polish). *Problems in Agricultural Engineering* 2: 37-45.
 40. Kowalski, Z., Kulczycka, J., and Góralczyk, M. 2007. Environmental life cycle assessment of the manufacturing processes (LCA) (in Polish). PWN Press, Warsaw, Poland.
 41. Kronvang, B., Rubak, G. H., and Heckrath, G. 2009. International phosphorus workshop: Diffuse phosphorus loss to surface water bodies- risk assessment, mitigation options, and ecological effects in river basins. *Journal of Environmental Quality* 38: 1924-1929.
 42. Lal, R. 2004. Carbon emission from and farm operations. *Environment International* 30: 981-990.
 43. Lammel, J. 2000. Environmental aspects of fertilizer production and use- consequences for fertilizer types and use. IFA Production and International Trade Conf., October 17-19, Shanghai, China.
 44. Mahler, R. L., Koehler, F. E., and Lutcher, L. K. 1994. Nitrogen source, timing of application and placement: Effects on winter wheat production. *Agronomy Journal* 86: 637-642.

45. Meisterling, K., Samaras, C., and Schweizer, V. 2009. Decisions to reduce greenhouse gases from agriculture and product transport: LCA case study of organic and conventional wheat. *Journal of Cleaner Production* 17: 222-230.
46. Mila i Canals, L., Burnip, G. M., and Cowell, S. J. 2006. Evaluation of the environmental impacts of apple production using Life Cycle Assessment (LCA): Case study in New Zealand. *Agriculture, Ecosystems and Environment* 114: 226-238.
47. Mirbagheri, E., Abbaspour, A., Rohani, A., and Ghorbani, H. 2012. Evaluation of phosphorus status in some potato fields of Mojeh region in Semnan Province. *Iranian Journal of Soil Research* 26 (3): 235-243. (in Persian with English abstract).
48. Monti A., Fazio S., and Venturi G. 2009. Cradle-to-farm gate life cycle assessment in perennial energy crops. *European Journal of Agronomy* 31: 77-84.
49. Moudrý, J., Jelínková, Z., Plch, R., Moudrý, J., Konvalina, P., and Hyšpler, R. 2013. The emissions of greenhouse gases produced during growing and processing of wheat products in the Czech Republic. *Journal of Food, Agriculture and Environment* 11 (1): 1133-1136.
50. Nassiri Mahallati, M., and Koocheki, A. 2017a. Life cycle assessment (LCA) for wheat production systems of Iran: 1- comparison of inputs level. *Journal of Agroecology* (In Press). (in Persian with English abstract).
51. Nassiri Mahallati, M., and Koocheki, A. 2017b. Life cycle assessment (LCA) for wheat production systems of Iran: 2- spatial comparison over the country. *Journal of Agroecology* (In Press). (in Persian with English abstract).
52. Nemecek, T., Dubois, D., Huguenin-Elie, O., and Gaillard, G. 2011. Life cycle assessment of Swiss farming systems: I. Integrated and organic farming. *Agricultural Systems* 104: 217-232.
53. Rathke, G. W., and Diepenbrock, W. 2006. Energy balance of winter oil seed rape cropping as related to nitrogen supply and preceding crop. *European Journal of Agronomy* 24: 35-44.
54. Riimersma, S., Little, J., Ontkean, G., and Moskal-Hébert, T. 2006. Phosphorus Sources and Sinks in Watersheds: A Review. Alberta Soil Phosphorus Limits Project.
55. Roy, P., Shimizu, N., and Kimura, T. 2005. Life cycle inventory analysis of rice produced by local processes. *Journal of the Japanese Society of Agricultural Machinery* 67 (1): 61-67.
56. Russo, G., and De Lucia, B. 2008. Environmental evaluation by means of LCA regarding the ornamental nursery production in rose and sowbread greenhouse cultivation. *Acta Horticulturae* 801: 1597-1604.
57. Skowrońska, M., and Filipek, T. 2014. Life cycle assessment of fertilizers: a review. *International Agrophysics* 28: 101-110.
58. Soltani, A., Bazrgar, A. B., Koocheki, A., Zeinali, E., Ghaemi, A. R., and Hajarpoor, A. 2015. Life Cycle Assessment (LCA) of sugar beet production in various production systems in Khorasan. *Electronic Journal of Plant Production* 8 (1): 43-62. (in Persian with English abstract).
59. Soltani, A., Rajabi, M. H., Zeinali, E., and Soltani, E. 2010. Evaluation of environmental impact of crop production using LCA: wheat in Gorgan. *Electronic Journal of Plant Production* 3: 201-218. (in Persian with English abstract).
60. Van der Hoek, K. W., and Van Schijndel, M. W. 2006. Methane and nitrous oxide emissions from animal manure management 1990-2003. Background document on the calculation method for the Dutch National Inventory Report. RIVM and MNP (Netherlands Environmental Assessment Agency), Belhaven, The Netherlands, pp. 1-50.
61. Whalen, J. K., and Chang, C. 2002. Phosphorus sorption capacities of calcareous soils receiving cattle manure applications for 25 years. *Communications in Soil Science and Plant Analysis* 33: 1011-1026.



Evaluation of environmental impacts of important field crops by Life Cycle Assessment (LCA) in Khorasan-e Razavi Province

A. Koocheki^{1*}- J. Vafabakhsh²- S. Khorramdel³

Received: 28-01-2018

Accepted: 16-05-2018

Introduction

Agriculture is responsible for food production and consequently food security in one hand but on the other hand is the cause of many environmental externalities. Synthetic chemicals and other environmental pollutants have increased these externalities in the form of soil acidification and salinization, emission of greenhouse gases, nitrogen leaching to ground water, and eutrophication.

Many attempts have been made to evaluate the impacts of such phenomenon on the surrounding environment of which 'Life Cycle Assessment (LCA)' ('cradle-to-grave') is the most comprehensive one.

Due to increasing use of chemical inputs in agriculture in Khorasan-e Razavi province and its consequent environmental effects, LCA seems to be an appropriate tool to quantify such impacts. The objective of this study was to assess the environmental impacts of important field crops production in Khorasan-e Razavi Province by LCA.

Materials and Methods

This study was conducted to assess the environmental impact of production of important crops such as wheat, corn, sugar beet, canola, tomato, potato, melon, water melon and cucumber in Khorasan-e Razavi Province. In order to evaluate the relevant environmental effects, LCA methodology in compliance with ISO14044 was used and two factors concerned to resource consumption and contaminants emissions were computed. In this regard, four phases, which are goal and scope definition, inventory analysis, impact assessment, and interpretation, were designed to assess life cycle index. To make the various inputs and outputs comparable, it was necessary to relate these data to a common functional unit, which represent the main function of the system. Therefore, all resource consumption and emissions was related to one ton of economical yield. Three main categories as impacts on environment including global warming, acidification, and eutrophication (terrestrial and aquatic) were defined. To compare the indicators, they were normalized. For the normalization, the indicator results per functional unit were related to the respective indicator results for defined reference area. Finally, an index called environmental index (EcoX) was calculated. Cronbach's alpha was used for assessing the reliability of questionnaire.

Results and Discussion

The results showed that the largest share of greenhouse gas emissions in global warming category was related to CO₂. The highest and the lowest global warming potential per functional unit were found for canola (1342.01 kg CO₂ equivalents/ one ton of economical yield) and sugar beet (27.25 kg CO₂ equivalents/ one ton of economical yield), respectively. The maximum and minimum aquatic eutrophication potential per functional unit were calculated for canola (0.59 kg PO₄ equivalents/ one ton of economical yield) and sugar beet (0.01 kg PO₄ equivalents/ one ton of economical yield) with, respectively. The highest and lowest EcoX were computed for canola with 0.67 EcoX/ one ton of economical yield) and sugar beet (0.01 EcoX/ one ton of economical yield), respectively.

Conclusions

The results revealed that, agricultural production systems with high levels of economical yield do not always contradict with environmental safety. In other word, high yield in agriculture and environmental stewardship is

1- Professor, Department of Agrotechnology, Faculty of Agriculture, Ferdowsi University of Mashhad, Iran

2- Assistant Professor, Agricultural and Natural Resource Research and Education Center of Khorasan-Razavi, Mashhad, Iran

3- Associate Professor, Department of Agrotechnology, Faculty of Agriculture, Ferdowsi University of Mashhad, Iran

(*- Corresponding Author Email: akooch@um.ac.ir)

not divergent. Therefore, one of the appropriate approaches to decline the environmental impact of agricultural production is to achieve higher yield per unit of area by increasing resource use efficiency. In order to reduce environmental effect and obtain an environmental friendly for production systems in Khorasan-e Razavi province, different ecological approaches could be proposed such as nitrogen application on the basis of crops demands to provide utmost uptake and consequently decline nutrients leaching, decrease acidification and eutrophication impacts, and decrease global warming potential.

Keywords: Aquatic Eutrophication, Agroecosystem management, Global warming, Pollutant emission



اثر کاربرد خارجی گلایسین بتائین بر صفات فیزیولوژیکی، فنولوژیکی و عملکرد گوجه‌فرنگی (*Solanum lycopersicum*) در شرایط بدون تنفس

مریم تاتاری^{۱*} - رضا عباسی علی کمر^۲

تاریخ دریافت: ۱۳۹۶/۱۲/۰۳

تاریخ پذیرش: ۱۳۹۷/۰۱/۲۶

چکیده

به منظور بررسی اثرات کاربرد گلایسین بتائین بر گوجه‌فرنگی در سال ۱۳۹۴ در مزرعه‌ای واقع در مشهد، آزمایشی دو عاملی (عامل اول مقدار محلول پاشی در سه سطح (صفر، سه و شش کیلوگرم در هکتار) و عامل دوم زمان محلول پاشی (زمان کشت، شروع گلدنه و شروع میوه‌دهی)) به صورت فاکتوریل در قالب طرح بلوک‌های کامل تصادفی با چهار تکرار اجرا شد. در این آزمایش محتوای نسبی آب برگ، سطح برگ، نشت الکتروولیت، عدد SPAD، طول دوره رشد رویشی و زایشی، عملکرد و اجزای عملکرد گیاه گوجه‌فرنگی مورد بررسی قرار گرفت. نتایج به دست آمده از نشت الکتروولیت‌ها و محتوای آب نسبی در گله‌ی تیمارها نشان داد که گیاهان به لحاظ رطوبتی در تنفس قرار نداشتند. کاربرد گلایسین بتائین در زمان کاشت، سبب افزایش دوره رشد رویشی و کاهش دوره رشد زایشی گیاه شد. کاربرد سه کیلوگرم در هکتار گلایسین بتائین در زمان کاشت، سبب افزایش سطح برگ، وزن خشک و عدد SPAD شد. بیشترین تعداد کل میوه (۴۲/۵ عدد) در تیمار کاربرد سه کیلوگرم در هکتار گلایسین بتائین (۷۴ تن در هکتار) مشاهده شد. سه و شش میوه (۱۱۳/۱ گرم) در تیمار شاهد به دست آمد. بیشترین میزان عملکرد در تیمار عدم مصرف گلایسین بتائین (۷۴ تن در هکتار) مشاهده شد. سه و شش کیلوگرم در هکتار گلایسین بتائین، عملکرد را به ترتیب ۱۵ و ۳۰ درصد کاهش داد، اما با توجه به افزایش طوره رشد دوره رشد رویشی و افزایش تعداد میوه‌های سبز در تیمار سه کیلوگرم در هکتار، احتمالاً مصرف گلایسین بتائین در دوزهای پایین در زمانی تأثیر مثبت خواهد داشت که طول دوره رشدی محدود کننده نباشد. همچنین به نظر می‌رسد کاربرد دوزهای بالای گلایسین بتائین در شرایطی که تنفس جدی گیاه را تهدید نمی‌کند، سبب بروز اثرات سمی و کاهش عملکرد محصول گوجه‌فرنگی گردید.

واژه‌های کلیدی: اسیدآمینه، اثرات سمی، نشت الکتروولیت، محتوای نسبی آب

سلول، به آنها کمک می‌کند تا فعالیت‌های حیاتی خود را ادامه دهند (Park *et al.*, 2006). گلایسین بتائین به عنوان یک اسموولیت سازگار کننده نقش مهمی در تنظیم اسمزی درون سلولی، پایدار کردن ساختار پروتئین‌ها و غشای سلولی، حذف کردن گونه‌های اکسیژن رادیکال (ROS^۳) تنظیم pH^۴ سلولی و واکنش‌های اکسیداسیون و احیاء، ایفا می‌کند (de la Torre-Gonzales *et al.*, 2017; Murata *et al.*, 1992). گونه‌های اکسیژن رادیکال، در طی تولید متابولیت‌های مختلف در گیاهان، حتی در شرایط غیر تنفس، تولید می‌شوند و به عنوان یک ماده مضر برای گیاه، توسط انواع مختلفی از آنتی اکسیدانت‌ها پاک‌سازی می‌شوند. گرچه استعمال خارجی گلایسین بتائین در گوجه‌فرنگی مستقیماً در جذب اکسیژن رادیکال نقشی ندارد اما از طریق فعل کردن آنزیم‌های پاک‌کننده اکسیژن

مقدمه

گلایسین بتائین^۵ جزء ترکیباتی با عنوان کلی "محلول‌های سازگار"^۶ طبقه‌بندی می‌شوند که شامل متایولیت‌های آلی کوچکی هستند که قابلیت حل شوندگی بالایی در آب دارند و در افزایش مقاومت گیاهان به تنفس‌های محیطی نقش مؤثری را ایفا می‌کند (Chen and Murata, 2008)

۱- دکترای فیزیولوژی گیاهان زراعی، استادیار دانشگاه آزاد اسلامی واحد شیراز، ایران

۲- دکترای اگروکولوژی و مدرس دانشگاه آزاد اسلامی، واحد شیراز، ایران

(Email: maryamtatari@yahoo.com) ۳- نویسنده مسئول:

DOI: 10.22067/gsc.v16i3.71161

4- Compatible solute

ممکن برسد. اما در شرایط واقعی، اثرگذاری این تنش‌ها، هرچند به مقدار اندک، اجتناب‌ناپذیر است. شوری آب آبیاری، کاهش پتانسیل اسمزی خاک (در فواصل بین دو آبیاری)، تنش گرمایی میانه روز و اثرات تنش‌زای سمپاشی و کودپاشی از نمونه‌های تأثیرات منفی تنش‌های محیطی می‌باشند که گاهی با شیوه‌های مدیریتی تشیدی نیز می‌شوند. برخی مطالعات سعی داشته‌اند تا اثرات گلاسین‌باتائین را در شرایط عدم تنش مورد مطالعه قرار دهند.

برخی مطالعات بر روی گیاه اربیدوپسیس (*Arabidopsis thaliana*) نشان دادند که در شرایط بدون تنش، مراحل جوانه‌زنی و رشد گیاهچه تحت تأثیر حضور یا عدم حضور گلاسین‌باتائین قرار نمی‌گیرد. اما گونه‌هایی که با دست‌کاری زنتیکی قابلیت تولید گلاسین‌باتائین را پیدا کرده بودند در شرایط بدون تنش ۲۲ درصد گل بیشتر و ۲۸ درشد دانه بیشتر تولید کرده بودند (Hsieh et al., 2002).

در مقایسه ارقام وحشی گوجه‌فرنگی با ارقام دست‌کاری شده زنتیکی^۱ (که قابلیت تولید گلاسین‌باتائین به آنها القا شده بود)، در شرایط بدون تنش، اختلاف معنی‌داری در دوره پیش از گلدهی مشاهده نشد (Park et al., 2007)، اما در گیاهان حاوی گلاسین‌باتائین اندازه غنچه‌ها، گل‌ها و سایر اجزای گل آذین به طور معنی‌داری بزرگ‌تر بود. تعداد میوه‌های رسیده در ارقام دارای گلاسین‌باتائین به طور معنی‌داری بزرگ‌تر بود و وزن میوه‌های رسیده در بدون تنش به طور معنی‌داری بزرگ‌تر بود و وزن میوه‌های رسیده در این گیاهان به طور میانگین ۵۴٪ سنگین‌تر از ارقام وحشی بدون گلاسین‌باتائین بود (Park et al., 2007).

این آزمایش با هدف امکان استفاده از گلاسین‌باتائین به صورت کاربرد خارجی در گیاه گوجه‌فرنگی صورت گرفت و هدف این بود که میزان تأثیر آن بر کاهش اثرات تنش‌های جزئی محیطی بررسی گردد و تغییرات عملکرد و اجزای عملکرد در شرایط مزرعه‌ای عادی ارزیابی شود.

مواد و روش‌ها

آزمایش در مزرعه شرکت فاروج خرم توسر واقع در ۱۰ کیلومتری جاده فریمان-مشهد طی سال زراعی ۱۳۹۴ با مختصات ۳۶ درجه و ۱۶ دقیقه شمالی و طول جغرافیایی ۵۹ درجه و ۳۶ درجه شرقی و ارتفاع ۹۸۵ متر به صورت دو عاملی در قالب طرح پایه بلوک‌های کامل تصادفی با چهار تکرار انجام گرفت. عوامل آزمایش، شامل عامل اول مقادیر مختلف اسید‌آمینه گلاسین‌باتائین در سه سطح صفر،

فعال، به طور چشم‌گیری در کاهش خسارت تنش سرما مؤثر بوده است (Park et al., 2006). لذا در شرایط تنش، وجود گلاسین‌باتائین در گیاه به طور معنی‌داری مقاومت گوجه‌فرنگی به تنش سرما را افزایش داده و گیاهچه، گیاه، گل و میوه را از خطر سرمادگی محافظت می‌کند (Park et al., 2004).

در بسیاری از گیاهان، غلظت طبیعی گلاسین‌باتائین پایین تر از حدی است که بتواند بر تأثیرات شدید پسایدگی ناشی از تنش‌های مختلف محیطی (شامل شوری، خشکی، گرما و اشعه ماورای بنفس) فائق آید (Subbarao et al., 2001; Yancey, 1994). برای افزایش غلظت این ماده در گیاه دو روش وجود دارد: دستکاری ژنتیکی که آنزیم‌های تولید کننده گلاسین‌باتائین را فعال می‌کند و کاربرد خارجی گلاسین‌باتائین از طریق اسپری برگی که پس از ورود به سیتوسول گیاه، طی یک روز در گیاه پخش شده و در اندام‌های دارای مریستم (مانند مریستم انتهایی و گل آذین) تجمع می‌یابد (Chen and Murata, 2008).

کاربرد خارجی گلاسین‌باتائین به گیاهانی که این ماده را در غلظت‌های کم تولید می‌کنند یا به طور کلی فاقد توانایی تولید این ترکیب می‌باشند (مثل گونه‌های خانواده Solanaceae)، در کاهش Makela et al., (1998; Yang and Lu, 2005) از آنجا که گلاسین‌باتائین که به طور طبیعی تولید شده، در گیاه تجزیه نشده و از بین نمی‌رود (Foolad, 2000)، به سادگی می‌توان آن را به عنوان یک فرآورده فرعی ارزان قیمت از گیاهانی که این ماده را در غلظت‌های بالا تولید می‌کنند، مثل چغندرقند (*Beta vulgaris*) جداسازی نمود (Ortiz-Lopez et al., 2000). این مسئله سبب می‌شود که کاربرد خارجی گلاسین‌باتائینیک روش اقتصادی برای خنثی‌سازی اثرات مخرب تنش‌های محیطی بر عملکرد گیاه در نظر گرفته شود. مطالعات نشان داده‌اند که در گیاهانی مثل تباکو (*Nicotiana tabacum*), گندم (*Hordeum vulgare*), جو (*Triticum aestivum*), سورگوم (*Glycine max*) و سویا (*Sorghum bicolor*) که تحت شرایط خشکی رشد کرده بودند، مصرف خارجی گلاسین‌باتائین تأثیر معنی‌داری بر کاهش تنش‌های محیطی و افزایش عملکرد داشته است (Ashraf and Foolad, 2007; Lutts, 2000). همچنین مطالعاتی در مورد نقش و امکان استفاده از گلاسین‌باتائین در تخفیف اثرات تنش‌های سرما (*Somersalo et al., 1996*) و یا گرما (Makela et al., 1998) نیز انجام گرفته است. اما در مورد نقش آن در شرایط عدم تنش تاکنون کمتر کاری صورت گرفته است.

در تولید محصولات زراعی سعی می‌شود تنش‌های محیطی در طی فصل رشد با اعمال مدیریت‌هایی نظیر آبیاری، تغییر تراکم و تاریخ کشت، تنذیه مناسب و اصلاح گیاهان مقاوم، به کمترین حد

میوه‌ها از مرحله صفر تا سه به عنوان میوه نارس در نظر گرفته شد (Klee, 1993).

برای اندازه‌گیری میزان محتوای نسبی آب برگ^۱ (RWC) ابتدا ۱۰ عدد دیسک به قطر ۵/۰ سانتی‌متر از پهنه کبرگ بالغ و جوان (سومین برگ جوان از ساقه اصلی) به وسیله پانچ گرفته شد و سپس وزن شدن (وزن تر: FW). سپس نمونه‌ها داخل شیشه‌های حاوی ۱۰ میلی‌لیتر آب مقطع به مدت چهار ساعت در دمای ۴-۶ درجه سلسیوس در تاریکی قرار داده شدند تا سلول‌های برگ به حالت تورژسانس کامل در آیند. بعد آن‌ها را بر روی کاغذ صافی قرار داده تا رطوبت اضافی آن‌ها گرفته شود. سپس آن‌ها را وزن کرده (وزن آماس: TW) و پس از آن نمونه‌ها در آون با دمای ۷۰ درجه سلسیوس خشک شدن و وزن خشک دیسک‌ها (وزن خشک: DW) اندازه‌گیری شد. محتوی نسبی آب برگ با استفاده از معادله ۱ محاسبه شد.

$$RWC = [(FW - DW) / (TW - DW)] \times 100 \quad (1)$$

جهت تعیین پایداری خشا سلول‌های برگی از شاخص نشت الکتروولیت استفاده گردید. در این روش ابتدا قطعات برگی با اندازه دو سانتی‌متر تهیه شد. این قطعات پس از شستشو همراه با ۱۰ میلی‌لیتر آب مقطع در لوله‌های آزمایش قرار گرفتند. سپس لوله‌های آزمایش به مدت ۱۷ تا ۱۸ ساعت به وسیله شیکر (۱۶۰ دور در دقیقه) تکان داده شدند. در این مرحله مقدار هدایت الکتریکی نمونه‌های آزمایش (E1) به وسیله دستگاه هدایتسنج اندازه‌گیری شد. سپس لوله‌های آزمایش جهت کشته شدن سلول‌های برگی به اتوکلاو با دمای ۲۱ درجه سانتی‌گراد، با فشار ۱/۲ بار به مدت ۱۵ دقیقه انتقال داده شدند. بدین طریق اندازه‌گیری هدایت الکتریکی در این مرحله نیز پس از سرد شدن محتویات داخل لوله‌های آزمایش انجام پذیرفت (E2). درنهایت مقدایر نشت الکتروولیت‌ها در زمان برداشت با استفاده از معادله ۲ محاسبه گردید.

$$EL = (E1/E2) \times 100 \quad (2)$$

برای اندازه‌گیری عدد SPAD سه برگ همسان (جوان‌ترین برگ کاملاً توسعه‌یافته) روی سه بوته انتخاب و محتوای نسی کلروفیل آنها توسط دستگاه Mintola Japan, 502-SPAD قرائت شد. اندازه‌گیری شاخص سطح برگ با استفاده از دستگاه اندازه‌گیری سطح برگ در زمان برداشت انجام شد. وزن خشک کل بوته نیز در پایان آزمایش اندازه‌گیری شد. در این آزمایش صفاتی شامل عملکرد و اجزای عملکرد شامل

سه و شش کیلوگرم در هکtar (Makela *et al.*, 1995) و عامل دوم زمان محلول‌پاشی در سه سطح اعمال گلایسین بتائین در زمان کشت نشا، شروع گلددهی (۱۰ درصد گلددهی) و شروع میوه‌دهی (۱۰ درصد میوه‌دهی) بود. صفر، سه و شش کیلوگرم در هکtar گلایسین بتائین با ۲۰۰ لیتر در هکtar در آب محلول شده و محلول‌پاشی به وسیله سمپاش پشتی در هر کرت در ساعت غروب آفتاب و خنکی هوای در شرایط بدون باد انجام گرفت.

نشاهای بذر گوجه‌فرنگی، رقم استاندارد خرم در سینی‌های کشت نشاء ۲۴ تایی که با مخلوطی از بیت ماس و کوکوییت و پرلیت پر شده بودند، در شرایط گلخانه کشت شدند. دمای متوسط گلخانه در روز و شب به ترتیب ۲۵ و ۱۷ درجه سانتی‌گراد بود. نشاها در مرحله چهار تا شش برگ حقیقی و بعد از ۳۱ (۲۱ خرداد) نگهداری در گلخانه زمین اصلی منتقل شدند.

عملیات خاک‌ورزی شامل شخم نیمه‌عمیق بهاره و دیسک بود. پیش از نشاکاری بر اساس آزمون خاک از کودهای نیتروژن، فسفر و پتاسیم به مقدار ۱۲۰، ۱۵۰ و ۶۰ کیلوگرم در هکtar به صورت استفاده گردید. بافت خاک نیمه‌سنگین (لوم سیلتی رسی)، بدون محدودیت شوری و pH خاک ۷/۸ بود.

جهت جلوگیری از هدرافت آب و کنترل علف‌های هرز، مالج از نوع پلاستیک مشکی و به عرض ۸۰ سانتی‌متر بر روی ردیف‌ها کشیده شد. آبیاری به صورت قطره‌ای و با استفاده از T-tape انجام گرفت. کشت به صورت دستی با احتساب تراکم ۳۰ هزار بوته در هکtar، با فاصله ۴۵ سانتی‌متر در دو سوی نوار آبیاری صورت گرفت. کرت‌های آزمایش شامل سه ردیف با طول شش متر و فاصله بین ردیف‌ها دو متر بوده و بین تکرارها نیز فاصله دو متری قرار داشت. هر کرت به دو قسمت تقسیم شد و از قسمت اول برای یادداشت‌برداری‌های طول فصل رشد و از قسمت دوم جهت تعیین عملکرد استفاده گردید. از دو انتهای کرت نیم متر به عنوان اثر حاشیه‌ای حذف شدند. در طی فصل رشد برای کلیه تیمارها، تغذیه با کودهای میکرو و ماکرو و نیز مبارزه با آفات و بیماری‌ها به صورت مشابه انجام گرفت.

تاریخ انتقال نشا به زمین اصلی ۲۱ خرداد ماه بود. برای تعیین زمان برداشت با استفاده از پیش‌بینی‌های هواشناسی، پیش از بروز اولین یخبندان زمستانه، برداشت‌ها ۱۰ مهرماه انجام گرفت. از هر کرت پنج بوته به صورت تصادفی برای تعیین مراحل فنولوژیکی گیاه انتخاب شد و تاریخ گلددهی (ظهور همزمان حداقل پنج گل بر روی بوته) و رسیدگی اولین میوه‌ها (مشاهده حداقل سه میوه در حال رسنگ‌گیری) نیز یادداشت‌برداری شد. در زمان برداشت تمام میوه‌های درصد رسنگ‌گیری، مقدار رسیدگی میوه گوجه‌فرنگی از مرحله صفر (میوه نبالغ و نارس) تا شش (میوه کاملاً رسیده) متغیر است. کلیه

نشان دار شده^۱ بر روی نشای گوجه‌فرنگی، مشخص شد که این گیاه قادر است این اسید آمینه را از خاک و برگ جذب کرده و به عنوان منبع نیتروژن مورد استفاده قرار دهد (Ge *et al.*, 2009) به این ترتیب می‌توان عنوان نمود که گلایسین بتائین بر رشد رویشی گیاه اثر مثبت و بر رشد زایشی تأثیر منفی داشته است. با توجه به نقش کاملاً تأثیرشده نیتروژن در تقویت رشد رویشی و به تعویق انداختن رشد زایشی، ممکن است بتوان نتایج حاصل از این پژوهش را نیز به اثرات نیتروژن بر فنولوژی گیاه و تحريك رشد رویشی نسبت داد (Ortiz- Lopez *et al.*, 2000; Dakora and Phillips, 2002) علاوه بر این مشخص شده است که اثرات محلول‌پاشی برگی گلایسین بتائین می‌تواند در گیاهان به مدت طولانی باقی مانده و در گیاه تجزیه نمی‌شود و از این نظر نیز اثراتی مشابه با نیتروژن در گیاه دارد (Makela *et al.*, 1996).

تیمار مقدار مصرف گلایسین بتائین بر طول دوره رشد رویشی گیاه اثر قابل ملاحظه‌ای نداشته است، اما دوره رشد زایشی گیاه را طولانی‌تر کرده است به‌طوری که مصرف ۳ و ۶ کیلوگرم در هکتار گلایسین بتائین ۱۰ روز دوره گلدهی تا رسیدگی را طولانی‌تر کرده است (جدول ۳). نکته‌ای که در طی آزمایش مشاهده گردید این بود که مصرف گلایسین بتائین در زمان گلدهی خصوصاً در مقدار شش کیلوگرم در هکتار سبب عدم تلقیح گل‌های اولیه و ریزش گل‌ها گردید، که متأسفانه برای این مورد آماری یادداشت‌برداری نگردید. بنابراین احتمالاً افزایش دوره رشد زایشی به دلیل سقط گل‌های اولیه بوده است. به این ترتیب که سقط گل‌های اولیه، ثبت دوره گلدهی ظهور حداقل پنج گل همزمان بر روی گیاه) را به تعویق انداخت. به نظر می‌رسد که گلایسین بتائین خصوصاً در دوزهای بالاتر اثرات سمی بر روی گلدهی گیاه دارد (Ashraf and Foolad, 2007; Murata *et al.*, 1992).

نتایج اثرات ساده زمان و مقدار مصرف گلایسین بتائین بر روی فنولوژی گیاه، توسط اثرات متقابل نیز تأیید می‌شود. طولانی‌ترین دوره رشد رویشی در تیمار مصرف ۶ کیلوگرم در هکتار گلایسین بتائین در زمان گلدهی (۴۲ روز) مشاهده شد.

اثر بر خصوصیات فیزیولوژیک

بیشترین مقدار سطح برگ در بوته (۱۴۶۴/۴) سانتی‌مترمربع) و از کاربرد گلایسین بتائین در زمان کاشت به دست آمد (جدول ۲). افزایش طول دوره رویشی، که در نتیجه کاربرد گلایسین بتائین در زمان

عملکرد میوه در کرت، تعداد میوه در بوته و وزن میوه‌ها اندازه‌گیری شد. برای آنالیز واریانس از نرم‌افزار MSTAT-C و آزمون دانکن در سطح ۵٪ برای رسم شکل‌ها از نرم‌افزار Excel استفاده شد.

نتایج و بحث

اثرات زمان مصرف گلایسین بتائین بر عدد SPAD، نشت الکتروولیت‌ها و محتوای آب نسبی برگ غیرمعنی دار بود. همچنین مقدار مصرف گلایسین بتائین بر نشت الکتروولیت‌ها و محتوای آب نسبی اثر معنی‌داری نداشت. اثرات متقابل زمان و مقدار مصرف گلایسین بتائین بر نشت الکتروولیت‌ها و محتوای آب نسبی برگ غیرمعنی دار بود (جدول ۱). برخی مطالعات حاکی از آن است محتوای آب نسبی برگ، نشت الکتروولیت و عدد SPAD می‌توانند شاخص‌های فیزیولوژیکی قابل اطمینانی برای مطالعه گیاهان تحت تنش باشند (Moosavifar *et al.*, 2012). معمولاً در شرایط بروز تنش مقدار این سه پارامتر تغییر می‌کند، از آنجا که محتوای آب نسبی برگ و نشت الکتروولیت‌ها تحت تأثیر هیچ‌یک از اثرات ساده و متقابل قرار نگرفت، احتمالاً می‌توان نتیجه گرفت که شرایط آبیاری این آزمایش در فراهم نمودن شرایط عاری از تنش آبی موفق عمل کرده است (Teixeira *et al.*, 2017). بالا بودن محتوای نسبی آب برگ (بیش از ۸۵٪) در کلیه تیمارها و مقدار ناچیز نشت الکتروولیت‌ها مؤید این مطلب بود و هیچ‌یک از اثرات ساده و متقابل، معنی‌دار نبودند. برخی مطالعات بر روی گیاهان تحت تنش، نشان‌دهنده تأثیر گلایسین بتائین بر روی بهبود فتوستتر و محتوای آب نسبی و کاهش نشت الکتروولیت‌ها از برگ می‌باشند (Subbarao *et al.*, 2001). در بررسی انجام گرفته در شرایط تنش خشکی بر روی گیاه ذرت، گلایسین بتائین خارجی رشد را بهبود بخشیده، محتوای آب برگ، فتوستتر خالص و عملکرد کواتنومی فتوستتر را در گیاهان تحت تنش شوری افزایش داده و موجب کاهش نشت الکتروولیت‌ها شد، با این وجود، کاربرد گلایسین بتائین حداکثر کارایی فتوشیمایی فتوسیستم دو (Yang and Lu, 2005) را تحت تأثیر قرار نداد (Fv/Fm).

اثر بر مراحل فنولوژیک

کاربرد گلایسین بتائین در زمان کاشت (انتقال نشا)، سبب افزایش دوره رشد رویشی گیاه گوجه‌فرنگی شده و گلدهی در این تیمار حدود شش روز نسبت به تیمار کاربرد آن در زمان گلدهی یا میوه‌دهی به تعویق افتاد. علاوه بر این کاربرد گلایسین بتائین در زمان میوه‌دهی نسبت به زمان کاشت، موجب کاهش دوره رشد زایشی گیاه به مدت شش روز شد (جدول ۲). در آزمایشی با استفاده از گلایسین دو بار

را از بین برده است (جدول ۲). شاید بتوان نتیجه گرفت اگر زمان کافی برای رسیدگی میوه در منطقه موجود باشد، ممکن است کاربرد گلایسین بتائین در زمان کاشت بتواند موجب افزایش عملکرد از طریق تأثیر بر تعداد میوه شود.

مقدار مصرف گلایسین بتائین هم وزن و هم تعداد میوه را به طور معنی‌داری تحت تأثیر قرار داد (جدول ۱). بیشترین تعداد میوه رسیده در تیمار بدون مصرف گلایسین بتائین به دست آمد. ولی از نظر تعداد کل میوه اختلافی بین تیمار عدم مصرف و ۳ کیلوگرم در هکتار گلایسین بتائین وجود نداشت. تعداد میوه رسیده، میوه نارس و کل تعداد میوه در تیمار ۶ کیلوگرم در هکتار گلایسین بتائین نسبت به دو تیمار دیگر در کمترین مقدار بود. در تیمار عدم مصرف ۲۲ درصد، در تیمار ۳ کیلوگرم در هکتار گلایسین بتائین ۴۴ درصد و در تیمار ۶ کیلوگرم در هکتار ۴۴ درصد میوه‌ها در زمان برداشت نارس بودند (جدول ۳). همان‌طور که پیش از این نیز در بحث فنولوژی مشخص گردید، به نظر می‌رسد که گلایسین بتائین دوره رشد رویشی گیاه را تحريك کرده است، این امر می‌تواند به دلیل تأثیر گلایسین بتائین بر تخفیف تنش‌های محیطی احتمالی، که به‌طور طبیعی در طی فصل رشد رخ می‌دهند (Ashraf and Foolad, 2007; Sulpice *et al.*, 2007).

Zhou *et al.* (2002) و یا به دلیل افزایش مقدار نیتروژن در گیاه باشد (Mohammadzamani *et al.*, 2012; Mohammadzamani *et al.*, 2017; Mohammadzamani *et al.*, 2012) اما از سوی دیگر کاهش معنی‌دار تعداد میوه (narss و رسیده) با افزایش مقدار مصرف گلایسین بتائین از سه کیلوگرم به شش کیلوگرم، می‌تواند مؤید این مطلب باشد که احتمالاً دوز بالای مصرف این ماده می‌تواند اثرات سیمی ایجاد کرده و موجب گل‌ریزی شود (جدول ۳). نتایج به‌دست آمده از برخی تحقیقات نشان می‌دهد که گلایسین بتائین در دوزهای بالا ممکن است بدون تأثیر بوده و یا حتی سمی باشد (Uosukainen et al., 1999) به عنوان مثال، کاربرد گلایسین بتائین به صورت محلول‌پاشی بر گیاه شlagum (*Brassica rapa*)، کلزا (*Brasica napus*) و برخی از غلات بهاره رشد آنها را در تنش خشکی بهبود نیخواهد (Makela *et al.*, 1996). در بررسی کاربرد گلایسین بتائین در شرایط عاری از تنش در گیاه پنهه در زمان گل‌دهی و در غلظت‌های بالا (شش کیلوگرم در هکتار) گل‌ریزی مشاهده شد (Makhdom and Shababuddin, 2006).

نیز کاربرد برگی گلایسین بتائین اجزای عملکرد و فرآیندهای فیزیولوژیک و همچنین مقدار داخلی گلایسین بتائین را در گیاهان پنهه تغییر نداد (Meek *et al.*, 2003). این اثرات متضاد ممکن است به دلیل شرایط آزمایش و یا اختلاف بین گونه‌ها و ژنتیک‌های مورد آزمایش در واکنش به کاربرد خارجی گلایسین بتائین ایجاد شده باشد (Ashraf and Foolad, 2007).

کاشت ایجاد شد، می‌تواند سبب تولید سطح برگ بیشتر و دوام سطح برگ طولانی‌تر باشد. برخی تحقیقات حاکی از آن است که گیاهان با کاربرد آمینواسید قادر خواهند بود تا عناصر غذایی بیشتری از محیط ریشه جذب کنند که توسعه سطح برگ را به دنبال دارد (Dakora and Phillips, 2002) and Phillips, 2002). همچنین آمینواسید باعث تسهیل انتقال عناصر غذایی در سیستم آوندی از طریق بهبود نفوذپذیری غشاء سلولی می‌شود (Cerdan, 2008). با توجه به این تغییرات در گیاه و بهبود کارایی جذب نیتروژن از خاک و درنتیجه کاهش هدرروی نیتروژن (Liu *et al.*, 2007; Murata *et al.*, 1992) به نظر می‌رسد با افزایش کارایی این عنصر در فرآیند فتوسنتز و تولید سطح سبز، زمینه لازم برای توسعه ریشه و درنتیجه افزایش رشد سطح برگ و افزایش طول دوره رشد رویشی گیاه مهیا می‌باشد و گیاه در این دوره می‌تواند اقدام به تجمع ماده خشک کند. نتایج حاصل از این تحقیق نیز نشان داد بیشترین وزن خشک بوته (۱۲۱۱ گرم در متر مربع) در همین تیمار زمان کاشت بوده است (جدول ۲). در تحقیقی بر روی ذرت مشخص شد که گلایسین بتائین قادر به افزایش فتوسنتز و سطح سبز گیاه در شرایط شور و غیر شور می‌باشد (Yang and Lu, 2005).

در بررسی عامل مقدار مصرف گلایسین بتائین، بیشترین سطح برگ (۱۳۷۰ سانتی‌متر مربع)، عدد SPAD (۴۵/۳) و وزن خشک بوته (۱۲۰۰ گرم در متر مربع) در تیمار سه کیلوگرم در هکتار گلایسین بتائین مشاهده شد (جدول ۳). اثر مثبت گلایسین بر افزایش مقدار کلروفیل در آزمایشات زیادی ثبت شده است. در بررسی اثر گلایسین بتائین بر روی ذرت (Miri and Zamani Moghadam, 2015) اثر پرولین و گلایسین بتائین بر روی انگور (Mohammadzamani *et al.*, 2012) و گلوتاتیون و گلایسین بر گوجه‌فرنگی (Zhou *et al.*, 2017) مشخص شد که این اسید آمینه قادر به افزایش سطح برگ، میزان کلروفیل و شاخص‌های آنتی‌اکسیدانی در گیاه می‌باشد. بالا رفتن سطح برگ و میزان کلروفیل و به تبع آن میزان فتوسنتز و نیز افزایش دوره رشد رویشی گیاه احتمالاً سبب افزایش وزن خشک گیاه شد.

اثر بر عملکرد و اجزای عملکرد

اثر زمان مصرف گلایسین بتائین بر عملکرد و وزن میوه‌ها غیرمعنی‌دار بود (جدول ۱). بررسی اثر ساده زمان مصرف بر تعداد میوه رسیده و تعداد کل میوه‌ها، نشان داد که هر چند کاربرد اسید آمینه در زمان کاشت، تعداد کل میوه را افزایش داده است، ولی نسبت میوه‌های نارس به کل میوه افزایش یافت، به طوری که در تیمار مصرف گلایسین بتائین در زمان کاشت و میوه‌دهی ۲۷٪ میوه‌ها نارس باقی ماندند و این امر احتمالاً تا حدودی اثر مثبت افزایش تعداد میوه

جدول ۱- تجربه واریانس (میانگین مربعات) خصوصیات فیزیولوژیکی و فلورولوژیکی گوجه‌فرنگی

متابع تغییر S.O.V	درجه ازدای d.f	وزن خشک Dry Weight	سطح برگ Leaf Area	نیست اسپید SPAD No	محتوای الکترولیت‌ها Electrolyte leakage	تعداد روزها تا گردش Days to flowering	تعداد روز از گذشته تا گلدهی Days from flowering to fruit set	تعداد گلدهی تا گلدهی Green Fruit numbers	تعداد گلدهی سیبز Yield	وزن میوه Yield	تعداد میوه رسیده Ripe Fruit numbers	تعداد کل میوه Total Fruit numbers
نکار	3	34.6	8.9	1.5	2.1	10.5	4.2	76.9	13.1	61.1	10.0	4.6
رمان مصرف												
زمان تزریق (A)	2	1802.9**	20.5**	10.01 ^{ns}	17.8 ^{ns}	100.5 ^{ns}	43.7 *	1001.1 *	91.7 *	15.1 ^{ns}	11.5 ^{ns}	31.4**
مقدار مصرف (B)	2	900.6*	34.7*	98.3*	12.3 ^{ns}	203.16 ^{ns}	6.5 ^{ns}	914.6*	197.6*	613.6*	176*	101.3*
ایرات متفاوت A×B	4	187.8*	32.0**	28.9*	11.08 ^{ns}	74.5 ^{ns}	9.0 *	121.5*	122.0*	188.5*	19.5*	10.2*
نکار	24	12.2	4.3	6.4	8.1	61.9	3.5	20.1	21.1	44.3	7	4.5
خطای تبیین CV (%)	-	17.5	18.8	20.3	19.9	17.0	18.9	23.1	18	24.5	15.9	28.4
												23.5

*، ** & ns means significant difference at 5 and non-significant, respectively
 ١، ٥ درصد احتمال غیر معنی دارند سطح ٩٥٪ پذیرفته معتبر دارند
 ٢، ١ درصد احتمال غیر معنی دارند سطح ٩٩٪ پذیرفته معتبر دارند

جدول ۲- اثرات ساده زمان مصرف گلایسین بتائین بر صفات فیزیولوژیکی، فنولوژیکی و عملکرد اجزای عملکرد گوجه‌فرنگی

Table 2- Simple effects of time of GB application on some physiological, phenological traits and yield components of tomato

زمان مصرف	سطح برگ در برونه	طول مدت کاشت تا گله‌ی تا رسیدگی	زدن خشک کل (گرم)	طول مدت از گله‌ی تا رسیدگی	تعداد میوه نارس	تعداد میوه نارس
Time of application	(سانتی متر مربع)	(jj)	(جذ)	(عدد در برونه)	(عدد در برونه)	(عدد در برونه)
	Leaf area (cm ²)	Days from sowing to flowering (day)	Days from flowering to fruit ripening (day)	Dry weight (g.m ⁻²)	Ripe Fruit number (No plant ⁻¹)	Total Fruit (No plant ⁻¹)
کاشت	1464.3 ^a	31.8 ^a	30.4 ^a	1211.5 ^a	23.1 ^a	13.7 ^a
Sowing						36.9 ^a
گله‌ی	1216.0 ^b	25.1 ^b	25.6 ^b	1083.0 ^b	19.6 ^b	12.7 ^a
Flowering						32.3 ^b
میوه‌دهی	1225.3 ^b	25.0 ^b	25.2 ^b	1151.8 ^a	21.2 ^{ab}	10.3 ^b
Fruit set						31.5 ^b

حروف مشترک در هر سوتون به معنی عدم وجود اختلاف معنی دار در مقطع ۵ درصد می باشد.
Common letters in each column means no meaningful difference at p≤0.05

جدول ۳- اثرات ساده مقدار مصرف گلایسین بتائین بر برخی خصوصیات فیزیولوژیکی و فنولوژیکی گوجه‌فرنگی

Table 3- Simple effects of Rate of GB application on some physiological, phenological of tomato

عملکرد	عکس	وزن میوه (گرم)	تعداد میوه نارس	تعداد میوه رسیده	تعداد میوه نارس	تعداد میوه رسیده	تعداد میوه		
Rate of Application	Leaf Area (cm ²)	SPAD number (No)	Dry weight (gm ⁻²)	Days from flowering to fruit ripening(day)	Yield (tonha ⁻¹)	Ripe Fruit Weight (g)	Green fruit number (No plant ⁻¹)	Total Fruit (No plant ⁻¹)	تعداد کل
صفر کیلوگرم در هکتار	1298.7 ^b	40.3 ^c	1161.6 ^a	19.6 ^c	74.7 ^a	113.1 ^a	28.2 ^a	8.4 ^c	36.6 ^a
0 kg.ha ⁻¹									
سه کیلوگرم در هکتار	1370.7 ^a	45.3 ^a	1206.7 ^a	24.3 ^b	63.5 ^b	95.5 ^a	20.3 ^b	16.2 ^a	36.5 ^a
3 kg.ha ⁻¹									
شش کیلوگرم در هکتار	1236.3 ^b	42.3 ^b	1077.8 ^b	29.6 ^a	52.3 ^c	88.5 ^b	15.4 ^c	12.2 ^b	27.6 ^b
6 kg.ha ⁻¹									

حروف مشترک در هر سوتون به معنی عدم وجود اختلاف معنی دار در مقطع ۵ درصد می باشد.
Common letters in each column means no meaningful difference at p≤0.05

غیر تجمع‌دهنده گلایسین‌باتائین در خانواده چلپیائیان، کلزا و اریدوپسیس، گزارش شد که گلایسین‌باتائین خارجی از طریق اثرات رقابتی گلایسین بر مرحله میتوکندریایی مسیر گلیکولات سبب افزایش تنفس نوری می‌شود (Sulpice *et al.*, 2002). از آنجا که گیاهان خانواده سیب‌زمینی نیز قادر به ساخت و تجمع گلایسین‌باتائین نیستند، ممکن است چنین اثرات سمی در آنها نیز دیده شود.

در بررسی مقایسه میانگین‌های اثرات متقابل زمان و مقدار مصرف گلایسین‌باتائین بر عملکرد و اجزای عملکرد گوجه‌فرنگی (جدول ۴) مشخص می‌شود که بیشترین وزن میوه در تیمارهای عدم مصرف اسید آمینه به دست آمد و کاربرد سه و شش کیلوگرم گلایسین‌باتائین در کلیه مراحل تأثیر منفی بر اندازه میوه‌ها داشت. علاوه بر این کاربرد شش کیلوگرم گلایسین‌باتائین موجب تعداد میوه رسیده کمتری نیز شد. بیشترین تعداد میوه نارس در تیمار سه کیلوگرم در هکتار گلایسین‌باتائین در زمان گلدهی دیده شد که اختلاف آماری با مصرف مشابه در زمان گلدهی نداشت. به نظر می‌رسد تیمارهای مصرف شش کیلوگرم در هکتار گلایسین‌باتائین سبب کاهش میوه‌دهی و تیمارهای سه کیلوگرم در هکتار گلایسین‌باتائین موجب کاهش تعداد میوه رسیده شده‌اند. همان‌طور که پیش از این نیز اشاره شد، در برخی تحقیقات اثرات منفی گلایسین‌باتائین نیز گزارش شده است. هرچند در اغلب موارد این اثرات منفی یا اثرات غیر معنی‌دار، در شرایط بدون تنفس بوده و در شرایط تنفس اثرات مثبتی از کاربرد گلایسین‌باتائین مشاهده شده است. در پنهان، کاربرد ۱ تا ۵ کیلوگرم در هکتار گلایسین‌باتائین، چه به عنوان پیش‌تیماردهنده بذر و چه به صورت برگی، در شرایط تنفس خشکی، در بهبود آسیبهای ناشی از تنفس مفید بوده و عملکرد گیاه را افزایش داد. محلول‌پاشی غلظت‌های مشابه گلایسین‌باتائین (۲ تا ۴ کیلوگرم در هکتار) رشد گیاه و یا عملکرد دانه را در شرایط مزرعه بدون تنفس تأثیری نداشت (Meek *et al.*, 2003). در بررسی دیگری بر روی پنهان گزارش شد که کاربرد سه کیلوگرم در هکتار گلایسین‌باتائین پیش از گلدهی، بیشترین تأثیر را بر روی عملکرد داشت ولی غلظت‌های شش کیلوگرم در هکتار سبب کاهش عملکرد نسبت به مقادیر کمتر داشت (Makhdum and Shababuddin, 2006). در تحقیق بر روی سورگوم تیجه گرفته شد که در تیمارهای عدم تنفس، کاربرد گلایسین‌باتائین اثر معنی‌داری بر روی عملکرد و اجزای عملکرد نداشت، ولی در شرایط تنفس خشکی و دیر آبیاری توانست عملکرد گیاه را بهبود بخشد (Kadkhodaiee *et al.*, 2016). در بررسی بر روی کرچک اعلام شد گلایسین‌باتائین تنها در شرایط تنفس خشکی قادر به افزایش عملکرد بود (Hadi and Kalantar, 2015).

کاربرد گلایسین‌باتائین وزن میوه را کاهش داد و از این نظر اختلافی بین سه و شش کیلوگرم در هکتار گلایسین‌باتائین مشاهده نشد. علاوه بر این، افزایش مقدار کاربرد گلایسین‌باتائین بر عملکرد میوه اثر منفی داشت. به طوری که بیشترین میزان عملکرد در تیمار عدم مصرف گلایسین‌باتائین ۷۴ تن در هکتار مشاهده شد. سه و شش کیلوگرم در هکتار گلایسین‌باتائین، عملکرد را به ترتیب ۱۵ و ۳۰ درصد کاهش داد (جدول ۴). لازم به ذکر است که زمان برداشت بر اساس پیش‌بینی سازمان هواشناسی و پیش از وقوع اولین یخنیان پاییزه و برای کلیه تیمارها به صورت همزمان صورت گرفت. با توجه به این که در رقم مورد مطالعه، اتصال میوه به دمگل از استحکام مناسبی برخوردار است بنابراین ریزش میوه رسیده مشاهده نشد. هرچند بسیاری از مطالعات بیانگر اثرات مثبت کاربرد خارجی گلایسین بر روی گیاهان در شرایط تنفس می‌باشند، گزارش‌های محدودی نیز وجود دارند که نشان‌دهنده فقدان اثرات مثبت و گاه اثرات منفی کاربرد خارجی گلایسین‌باتائین بر گیاهان دارند (Ashraf and Foolad, 2007). بررسی اثر کاربرد خارجی گلایسین‌باتائین بر روی ریشه‌دهی ریز قلمه‌های حاصل از کشت بافت سبب انجام گرفت، نشان داد که در شرایط غیر تنفس کاربرد ۰/۱ یا ۰/۳ مول گلایسین‌باتائین بر روی گیاهچه‌های جدید رشد اندام هوایی را ۳۰ تا ۷۰٪ نسبت به شاهد افزایش می‌دهد، ولی غلظت‌های بالاتر (۰/۵ مول) گلایسین‌باتائین برای گیاه مخرب بود (Uosukainen *et al.*, 2000). در برنج (*Oryza sativa*), کاربرد یک میلی‌مول گلایسین‌باتائین از طریق محلول غذایی، در بهبود رشد در شرایط تنفس شوری اثر داشت ولی بر روی گیاهان شاهد بدون تنفس هیچ اثر مثبتی گزارش نشد (Lutts, 2000). مطالعه اثرات گلایسین‌باتائین بر روی گوجه‌فرنگی در شرایط تنفس و غیرتنفس، نشان داد که حتی در شرایط بدون تنفس و با گیاهانی که به طور ژنتیکی تحیریک به تولید گلایسین‌باتائین شده بودند، وزن میوه به طور معنی‌داری در حضور گلایسین‌باتائین افزایش داشت (Parket *et al.*, 2007)، که با نتایج این تحقیق متفاوت بوده است که ممکن است به دلیل اختلاف در دوز مصرف این ماده باشد. به نظر می‌رسد گیاهانی که قابلیت تولید گلایسین‌باتائین را از طریق دست‌کاری ژنتیکی بدست می‌آورند، این ماده را در کلروپلاست تجمع می‌دهند و در زمانی که کاربرد گلایسین‌باتائین به صورت خارجی بوده است در سیتوسول ذخیره می‌شوند (Chen and Murata, 2008). مطالعات مؤید این نکته است که گلایسین‌باتائین ذخیره شده در کلروپلاست بسیار مؤثرتر از مواردی است که در سیتوسول تجمع می‌باید (Park *et al.*, 2007).

در مورد علت بروز اثرات سمی در نتیجه مصرف گلایسین‌باتائین، یافته‌های دقیقی وجود ندارد، ولی بر اساس تحقیق بر روی گونه‌های

جدول ۴- اثرات متقابل زمان و مقدار مصرف گلایسین بتائین بر خصوصیات فیزیولوژیکی و فنولوژیکی گوجه‌فرنگی

Table 4- Interaction effects of time and rate of GB application on some physiological and phenological traits of tomato

زمان مصرف Time of application	مقدار مصرف Rate of application	سطح برگ (سانتی متر مربع) Leaf area (cm^2)	عدد اسپد (عدد) SPAD (No)	طول مدت گذشت تا گذشتی (روز) Days from sowing to flowering (day)	طول مدت گذشت تا در سبک (روز) Days from fruit set to flowering (day)	عملکرد (تن در هکتار) Yield (ton.ha ⁻¹)	وزن میوه (کرم) Fruit size (g)	تعداد میوه در سبک (عدد) Fruit number (No plant ⁻¹)	تعداد میوه در بونه (عدد) Green fruit number (No plant ⁻¹)	تعداد میوه نارس (عدد) Total fruit (No plant ⁻¹)	وزن خشک (کرم در متر مربع) Dry Weight (g.m ⁻²)	
Sowing کاشت	0 kg.ha ⁻¹	1340 ^b	41 ^b	27.4 ^b	18.7 ^c	76.1 ^a	118.31 ^a	30.0 ^a	6.9 ^d	36.9 ^b	1268.3 ^a	
	3 kg.ha ⁻¹	1653 ^a	45 ^a	34.1 ^a	25.2 ^b	68.9 ^b	102.50 ^a	23.5 ^{ab}	19.0 ^a	42.5 ^a	1252.7 ^a	
	6kg.ha ⁻¹	1400 ^b	43 ^{ab}	33.8 ^a	28.1 ^b	50.1 ^d	94.60 ^{ab}	15.8 ^{bc}	15.3 ^{ab}	31.1 ^c	1113.3 ^b	
	9kg.ha ⁻¹	1269 ^{bc}	41 ^b	26.1 ^b	20 ^c	73.2 ^a	111.00 ^a	27.0 ^a	7.1 ^d	34.1 ^{bc}	1143.7 ^b	
Flowering گلدهی	0 kg.ha ⁻¹	1270 ^{bc}	45 ^a	25.1 ^b	28.6 ^b	60.1 ^c	90.42 ^b	18.1 ^b	18.6 ^a	36.7 ^b	1133.6 ^b	
	3 kg.ha ⁻¹	6kg.ha ⁻¹	1109 ^c	42 ^{ab}	24.1 ^b	42 ^a	50.5 ^d	80.7 ^b	13.5 ^c	12.3 ^{bc}	25.8 ^d	
	6kg.ha ⁻¹	0 kg.ha ⁻¹	1287 ^{bc}	39 ^b	25.1 ^b	20.2 ^c	74.9 ^a	110.09 ^a	27.4 ^a	11.1 ^c	38.5 ^b	1208.6 ^a
	9kg.ha ⁻¹	1189 ^c	46 ^a	26.9 ^b	19 ^c	61.5 ^c	93.60 ^b	19.1 ^b	11.0 ^c	30.1 ^{cd}	1098.2 ^{bc}	
Fruit set مواد مدهی	0 kg.ha ⁻¹	1200 ^{bc}	42 ^{ab}	23.1 ^b	18.7 ^c	56.3 ^{cd}	90.10 ^b	16.9 ^{bc}	8.9 ^{cd}	25.8 ^d	1148.9 ^b	
	6kg.ha ⁻¹	شش کلوگرم در هکتار										

جروف مشترک در هر ستون به معنی عدم وجود اختلاف معنی دار سطح ۵ درصد می‌باشد.
Common letters in each column means no meaningful difference at p≤0.05

تأکید دارند، اما نتایج بدست آمده از تحقیق حاضر نشان‌دهنده اثرات منفی این ماده، خصوصاً در غلظت‌های بالا، بر روی عملکرد گوچه‌فرنگی در شرایط بدون تنفس بود. این اثرات منفی بیشتر از طریق کاهش تعداد میوه رسیده و افزایش طول مدت رسیدگی میوه بر روی عملکرد اثرگزار بودند. به نظر می‌رسد در صورتی که فصل رشد طولانی‌تری در اختیار باشد، ممکن است کاربرد سه کیلوگرم در هکتار گلایسین‌بنتائین سبب افزایش عملکرد شود.

سپاسگزاری

نگارندگان از دانشگاه آزاد اسلامی واحد شیروان که هزینه‌های اجرای طرح پژوهشی را تقبل نموده‌اند، کمال تشکر را دارند.

اثرات منفی گلایسین‌بنتائین بر عملکرد میوه از طریق تأثیر منفی کاربرد آن هم بر روی وزن و هم تعداد میوه رخ داد. اما با بررسی نتایج به نظر می‌رسد که تأخیر بر روی رسیدگی میوه و کاهش تعداد میوه‌های رسیده، عامل اصلی این کاهش عملکرد بوده است. بیشترین تعداد کل میوه در تیمار کاربرد سه کیلوگرم در هکتار گلایسین‌بنتائین در زمان کاشت دیده می‌شود (۴۲/۵ عدد) که از این مقدار میوه ۵۵٪ آن رسیده و باقی آن در زمان برداشت سبز بودند. با احتساب تراکم کشت شده (۳۰ هزار بوته در مترمربع) و وزن متوسط میوه‌ها در این تیمار (۱۰۲/۵ گرم)، در صورتی که درصد میوه‌های رسیده به ۸۰ درصد می‌رسید، عملکردی در حدود ۱۰۴ تن در هکتار قابل حصول بود که از بیشترین عملکرد برداشت شده در این آزمایش؛ عدم مصرف گلایسین‌بنتائین (۷۶/۱ تن در هکتار)؛ ۲۵٪ بیشتر است. کمترین تعداد کل میوه نیز در تیمار مصرف شش کیلوگرم در هکتار گلایسین‌بنتائین در زمان میوه‌دهی ۲۵/۸ ثبت گردید (جدول ۴).

نتیجه‌گیری

این آزمایش به منظور بررسی اثرات کاربرد خارجی گلایسین‌بنتائین بر عملکرد گوچه‌فرنگی در شرایط بدون تنفس انجام شد. با وجود آن که بسیاری از تحقیقات بر وجود اثرات مثبت کاربرد خارجی گلایسین‌بنتائین بر عملکرد گیاهان تحت تنشی‌های خشکی و شوری

References

1. Ashraf, M., and Foolad, M. 2007. Roles of glycine betaine and proline in improving plant abiotic stress resistance. Environmental and Experimental Botany 59: 206-216.
2. Cerdán, M., Sánchez-Sánchez, A., Oliver, M., Juárez, M., and Sánchez-Andreu, J., 2008. Effect of foliar and root applications of amino acids on iron uptake by tomato plants. In "IV Balkan Symposium on Vegetables and Potatoes" 830: 481-488.
3. Chen, T. H., and Murata, N. 2008. Glycinebetaine: an effective protectant against abiotic stress in plants. Trends in plant science 13 (9): 499-505.
4. Dakora, F. D., and Phillips, D. A. 2002. Root exudates as mediators of mineral acquisition in low-nutrient environments. Plant and Soil 245 (1): 35-47 .
5. de la Torre-González, A., Albacete, A., Sánchez, E., Blasco, B., and Ruiz, J. M. 2017. Comparative study of the toxic effect of salinity in different genotypes of tomato plants: Carboxylates metabolism. Scientia Horticulturae 217 (3): 173-178.
6. Foolad, M. R. 2000. Genetic bases of salt tolerance and cold tolerance in tomato. Currents in Top of Plant Biology. 2 (1): 35-49.
7. Hsieh, T. H., Lee, J. T., Yang, P. T., Chiu, L. H., Charng, Y. Y., Wang, Y. C., and Chan, M. T. 2002. Heterology expression of the *Arabidopsis* C-repeat/dehydration response element binding Factor 1 gene confers elevated tolerance to chilling and oxidative stresses in transgenic tomato. Plant physiology 129 (3): 1086-1094.
8. Ge, T., Song, S., Roberts, P., Jones, D., Huang, D., and Iwasaki, K. 2009. Amino acids as a nitrogen source for tomato seedlings: The use of dual-labeled (13C, 15N) glycine to test for direct uptake by tomato seedlings. Environmental and Experimental Botany 66 (3): 357-361.
9. Hadi, H., and Kalantar, A. 2015. Effect of mycorrhizal symbiosis, application of super absorbant gel, glycine-betain and sugar beet extract on physiological traits and seed yield of castor bean (*Ricinus communis* L.) in drought stress conditions. Iranian Journal of Crop Sciences 17 (3): 236-250. (in Persian with English abstract).

10. Kadkhodaei, H., Sodaeizadeh, H., Mosleh Arany, A., and Hakim Zadeh, M. A. 2016. The role of glycine betaine in increasing drought resistance of Sorghum halophytes under field condition. Environmental Stresses in Crop Sciences 9 (2): 139-147. (in Persian with English abstract).
11. Klee, H. J. 1993. Ripening physiology of fruit from transgenic tomato (*Lycopersicon esculentum*) plants with reduced ethylene synthesis. Plant Physiology 102 (3): 911-916.
12. Liu, X. Q., Ko, K. Y., Kim, S. H., and Lee, K. S. 2007. Effect of amino acid fertilization on nitrate assimilation of leafy radish and soil chemical properties in high nitrate soil. Communications in soil science and plant analysis 39 (1): 269-281.
13. Lutts, S. 2000. Exogenous glycinebetaine reduces sodium accumulation in salt-stressed rice plants. International Rice Research Notes. 25 (2): 340-349.
14. Mäkelä, P., Munns, R., Colmer, T., Condon, A., and Peltonen-Sainio, P. 1998. Effect of foliar applications of glycinebetaine on stomatal conductance, abscisic acid and solute concentrations in leaves of salt- or drought-stressed tomato. Functional Plant Biology 25 (6): 655-663.
15. Mäkelä, P., Peltonen-Sainio, P., Jokinen, K., Pehu, E., Setälä, H., Hinkkanen, R., and Somersalo, S. 1996. Uptake and translocation of foliar-applied glycinebetaine in crop plants. Plant science 121 (2): 221-230.
16. Makhdum, I., and Shababuddin, M. 2006. Effect of different doses of glycine betaine and time of spray application on yield of cotton (*Gossypium Hirsutum* L.). Journal of Research (Science) 17(4): 241-245.
17. Meek, C., Oosterhuis, D., and Gorham, J. 2003. Does Foliar-applied Glycine Betaine Affect Endogenous Betaine Levels and Yield In Cotton? Crop Management 2 (1): 18-28.
18. Miri, H. R., and Zamani Moghadam, A. 2015. The effect of external usage of glycine betaine on corn (*Zea mays* L.) in drought condition. Iranian Journal of Field Crop Research 12 (4): 704- 717. (in Persian).
19. Mohammadzamani, M., Rabiei, V., and Nejatian, M. 2012 .Effect of proline and glycine betaine application on some physiological characteristics in Grapevine under drought stress. Iranian Journal of Horticultural Science. 43 (4): 393- 401. (in Persian).
20. Moosavifar, B., Behdani, M., Jami Alahmadi, M. J., and Bojd, M. H. 2012. Changes of Chlorophyll Index (SPAD), Relative Water Content, Electrolyte Leakage and Seed Yield in Spring Safflower Genotypes under Irrigation Termination. Iranian Journal of Field Crops Research 9 (3): 525-534. (in Persian).
21. Murata, N., Mohanty, P., Hayashi, H., and Papageorgiou, G. 1992. Glycinebetaine stabilizes the association of extrinsic proteins with the photosynthetic oxygen-evolving complex. FEBS letters 296 (2): 187-189.
22. Ortiz-Lopez, A., Chang, H. C., and Bush, D. 2000. Amino acid transporters in plants. Biochimica et Biophysica Acta (BBA)-Biomembranes 1465 (1): 275-280.
23. Park, E. J., Jeknić, Z., Chen, T. H., and Murata, N. 2007. The codA transgene for glycinebetaine synthesis increases the size of flowers and fruits in tomato. Plant biotechnology journal 5 (3): 422-430.
24. Park, E. J., Jeknic, Z., Pino, M. T., Murata, N., and Chen, T. H. 2007. Glycinebetaine accumulation is more effective in chloroplasts than in the cytosol for protecting transgenic tomato plants against abiotic stress. Plant, cell & environment 30 (8): 994-1005.
25. Park, E. J., Jeknic, Z., and Chen, T. H. 2006. Exogenous application of glycinebetaine increases chilling tolerance in tomato plants. Plant and cell physiology 47 (6): 706-714.
26. Park, E. J., Jeknić, Z., Sakamoto, A., DeNoma, J., Yuwansiri, R., Murata, N., and Chen, T. H. H. 2004. Genetic engineering of glycinebetaine synthesis in tomato protects seeds, plants, and flowers from chilling damage. The Plant Journal 40 (4): 474-487.
27. Somersalo, S., Kyei-Boahen, S., and Pehu, E. 1996. Exogenous glycine betaine application as a possibility to increase low temperature tolerance of crop plants. Nordisk Jordbruksforskning 78 (2): 102-120.
28. Subbarao, G., Levine, L. H., Stutte, G. W., and Wheeler, R. M. 2001. Glycinebetaine accumulation: its role in stress resistance in crops plants. Handbook of plant and crop physiology. Marcel Dekker, New York, 881-907.
29. Sulpice, R., Gibon, Y., Cornic, G., and Larher, F. R. 2002. Interaction between exogenous glycine betaine and the photorespiratory pathway in canola leaf discs. Physiologia Plantarum 116 (4): 460-467.
30. Teixeira, W. F., Fagan, E. B., Soares, L. H., Umburanas, R. C., Reichardt, K., and Neto, D. D. 2017. Foliar and seed application of amino acids affects the antioxidant metabolism of the soybean crop. Frontiers in plant science 8: 1-14.
31. Uosukainen, M., Rantala, S., Manninen, A., and Vestberg, M. 1999. Improvement of microplant establishment through in vitro and ex vitro exogenous chemical applications. In "International Symposium on Methods and Markers for Quality Assurance in Micropagation 530", pp. 325-332.
32. Yancey, P. H. 1994. Compatible and counteracting solutes. Cellular and molecular physiology of cell volume regulation. 81-109 .
33. Yang, X., and Lu, C. 2005. Photosynthesis is improved by exogenous glycinebetaine in salt-stressed maize plants. Physiologia Plantarum 124 (3): 343-352.

34. Zhou, Y., Wen, Z., Zhang, J., Chen, X., Cui, J., Xu, W., and Liu, H. Y. 2017. Exogenous glutathione alleviates salt-induced oxidative stress in tomato seedlings by regulating glutathione metabolism, redox status, and the antioxidant system. *Scientia Horticulture* 220 (1): 90-101.



Effect of Exogenous Glycine Betaine Application on Physiological and Phenological Traits and Yield of Tomato (*Solanum lycopersicum*) in Non-stress Condition

M. Tatari^{1*} - R. Abbasi Alikamar²

Received: 22-02-2018

Accepted: 15-04-2018

Introduction

Glycine Betaine has potential impacts on enhancing the tolerance of plants against various environmental abiotic stresses. There are two methods of increasing Glycine Betaine level in plants in which Glycine Betaine does not accumulate naturally, the exogenous application of Glycine Betaine and the introduction of GB-biosynthetic pathway into plants, via transgenes. When Glycine Betaine is applied to the leaves of tomato plants, most of the Glycine Betaine that is taken up by the leaves is localized in the cytosol which is significantly reduced adverse effects of abiotic stresses (Park *et al.*, 2006). Even in non-stress conditions, there are several environmental factors (water scarcity between irrigation times, soil salinity, mid-day heat, etc.) that can affect the plant yield. This study tried to find the effectiveness of exogenous application of Glycine Betaine on tomato plant in non-stress condition.

Materials and Methods

The experimental was conducted in 2015 as the randomized complete block design based on factorial with four replications. Treatments included three levels of Glycine Betaine application level (0, 3, 6 kg.ha⁻¹) and three times of application including planting, floral initiation and fruit set. 0, 3 and 6 kg.ha⁻¹ Glycine Betaine applied with 200 lit.ha⁻¹ water and applied with back sprayer. The experimental field was located 10 km southeast of Mashhad. Irrigation with 6-day interval was done to represent non-stress condition. Electrolyte leakage, SPAD number and Relative Water Content (RWC) were measured. Dry matter, leaf area, days from planting to flowering, days from flowering to fruit set, total fruit numbers, ripe fruit numbers, green fruit numbers, average fruit size, and total yield were determined during the study. Harvest time was determined by meteorological forecast and before the first freezing stress in fall. The data were analyzed by SAS software and the means were compared by Duncan.

Results and Discussion

Results showed that the times of application had significant effects on some measured parameters. Glycine Betaine application at planting stage led to increasing vegetative stage and delayed flowering time for 6 days. The highest leaf area (1464.4 cm²) was also obtained from the same application. Different times of Glycine Betaine application had no significant effects on total yield. However, using at planting time resulted in higher green/total fruit ratio. Evaluation the rate of Glycine Betaine application showed that the highest leaf area (1370 cm²) and the highest dry matter (1206 g.ha⁻¹) were obtained from 3 kg.ha⁻¹ application rate. Treatments without GB application resulted in the highest yield (74.7 ton. ha⁻¹), but increasing the rate from 0 to 3 kg.ha⁻¹, led to 94% increasing in green fruit numbers (8.4 to 16.2 respectively).

Conclusions

Exogenous application of Glycine Betaine showed different effects on tomato plants due to time and rate of application. The highest yield was obtained from control treatment (no application) (74 ton ha⁻¹) and 3 and 6 kg.ha⁻¹ applications, decreased yield 15 and 30 percent, respectively. However, the vegetative stage was lengthened and the numbers of green fruits was increased by 3 kg.ha⁻¹ rate. It seems that if the growing season

1- Ph.D. in crop physiology, Assistant Professor, Islamic Azad University, Shirvan branch, Iran

2- Ph.D. of Agroecology, Lecturer, Islamic Azad University, Shirvan Branch, Iran

(*- Corresponding Author Email: maryamtatari@yahoo.com)

was extended, and enough time was provided to fruit ripening, total yield could be increased by low concentration of Glycine Betaine application up to 25% compared to control. But high rate of Glycine Betaine may cause toxic effects on tomato and reduce the yield.

Keywords: Amino acid, Electrolyte leakage, Relative Water Content, Toxic effects

Contents

Evaluation of the RUE and Growth Indices of Pinto Bean (<i>Phaseolus vulgaris</i> L.) Genotypes Deficit Irrigation Condition	539
H. Karimzadeh Soureshjani- A. Nezami- M. Kafi- M. R. Tadayon	
Study of Soil Characteristics, Yield and Yield Components of Barley (<i>Hordeum vulgare</i> L.) under Different Tillage Methods and the Rate of Crop Residues	555
H. R. Komeili- M. Ghodsi- P. Rezvani Moghaddam- M. Nassiri Mahallati- M. R. Jalal Kamali	
Forage Yield Comparison of Three Amaranth (<i>Amaranthus hypochonriacus</i> L.) Varieties at Different Harvesting Stages	566
A. Rahnama- A. R. Safaeie- M. Rezaei	
Effect of Drought Stress and Application of Zinc Oxide on Hormonal Changes and Growth Status of Wheat Bread	582
A. Abbasi- F. Shekari- R. Lotfi	
Study the Responses of Some Leaf Physiologic Characteristics to Different Water and Nitrogen Levels in Grainy Maize (<i>Zea mays</i> L.)	596
R. Ghobadi- M. Ghobadi- S. Jalali Honarmand- B. Farhadi- F. Mondani	
Effect of Different Tillage Practices and Canola Cover Crop on Yield, Yield Components of Sunflower and Soil Quality Indicators in Dastjerd region (Hamedan)	613
Sh. Felegari- J. Hamzei- M. Nael	
Investigation of Agronomic and Morphologic Responses of Different Cotton Types in Ultra Narrow Row System	627
H. R. Mehrabadi	
Effects of Foliar Application of Methanol on Yield and Yield Components of Two Cultivars of Canola (<i>Brassica napus</i> L.) under Rainfed Conditions	639
K. Ahmadi- M. Rostami- S. R. Hosseinzadeh	
Morphological Response, Grain Yield and Essential Oil of Three Fennel Ecotypes to Different Times of Planting	649
S. Kiani- S. A. Siadat- M. R. Moradi Telavat- A. Poshtdar	
Effect of Nano Iron and Manganese Fertilizers on Mung Bean Growth and Yield in Water Deficit Stress Condition	663
Y. Izadi *- S. A. M. Modares Sanavey	
Study of Environmental Impacts for Important Crops in Khorasan-e Razavi Province by Using Life Cycle Assessment (LCA)	680
A. Koocheki- J. Vafabakhsh- S. Khorramdel	
Effect of Exogenous Glycine Betaine Application on Physiological and Phenological Traits and Yield of Tomato (<i>Solanum lycopersicum</i>) in Non-stress Condition	695
M. Tatari- R. Abbasi Alikamar	

Iranian Journal of Field Crops Research

Ferdowsi University of Mashhad
Center of Excellence for Special Crops (CESC)

Vol. 16

No. 3

2018

Publisher	Ferdowsi University of Mashhad	
Managing	P. Rezvani Moghaddam (Agroecology) Prof., Ferdowsi University of Mashhad	
Editor- in-chief	H.R. Khazaei (Crop Physiology)	Prof., Ferdowsi University of Mashhad

Editorial Board

Emam, Y.	Crop Physiology	Prof., Shiraz University
Bagheri, A.	Genetic and Plant Breeding	Prof., Ferdowsi University of Mashhad
Behdani, M.A.	Crop Ecology	Prof., University of Birjand
Banayan Awal, M.	Agro-Environment Modeling	Prof., Ferdowsi University of Mashhad
Jami Alahmadi, M.	Crop Physiology	Assoc. Prof., University of Birjand
Rahimian-Mashhadi, H.	Crop Physiology	Prof., Tehran University
Zamani, Gh.R.	Crop Physiology	Assoc. Prof., University of Birjand
Zare- Feizabadi, A.	Crop Ecology	Prof., Agriculture and Natural Resources Research Center of Khorasan Razavi Province
Shahriari-Ahmadi, F.	Genetic and Plant Breeding	Prof., Ferdowsi University of Mashhad
Kafi, M.	Crop Physiology	Prof., Ferdowsi University of Mashhad
Nezami, A.	Crop Physiology	Prof., Ferdowsi University of Mashhad
Mazaheri, D.	Crop Ecology	Prof., Tehran University
Khazaei, H.R.	Crop Physiology	Prof., Ferdowsi University of Mashhad

Address: Iranian Journal of Field Crops Research Ferdowsi University of Mashhad Faculty of Agriculture
Mashhad, Iran

P. O. Box: 91775-1163

Email: cesc@ferdowsi.um.ac.ir

Web Site: <https://jcesc.um.ac.ir>



Ferdowsi University
of Mashhad

Vol.16 No.3

2018

Iranian Journal of

Field Crops Research

ISSN:2008-1472

Contents

Evaluation of the RUE and Growth Indices of Pinto Bean (<i>Phaseolus vulgaris L.</i>) Genotypes Deficit Irrigation Condition	539
H. Karimzadeh Soureshjani- A. Nezami- M. Kafi- M. R. Tadayon	
Study of Soil Characteristics, Yield and Yield Components of Barley (<i>Hordeum vulgare L.</i>) under Different Tillage Methods and the Rate of Crop Residues.....	555
H. R. Komeli- M. Ghodsi- P. Rezvani Moghaddam- M. Nassiri Mahallati- M. R. Jalal Kamali	
Forage Yield Comparison of Three Amaranth (<i>Amaranthus hypochondriacus L.</i>) Varieties at Different Harvesting Stages	566
A. Rahnama- A. R. Safaeie- M. Rezaei	
Effect of Drought Stress and Application of Zinc Oxide on Hormonal Changes and Growth Status of Wheat Bread.....	582
A. Abbasi- F. Shekari- R. Lotfi	
Study the Responses of Some Leaf Physiologic Characteristics to Different Water and Nitrogen Levels in Grainy Maize (<i>Zea mays L.</i>).....	596
R. Ghobadi- M. Ghobadi- S. Jalali Honarmand- B. Farhadi- F. Mondani	
Effect of Different Tillage Practices and Canola Cover Crop on Yield, Yield Components of Sunflower and Soil Quality Indicators in Dastjerd region (Hamedan)	613
Sh. Felegari- J. Hamzei- M. Naei	
Investigation of Agronomic and Morphologic Responses of Different Cotton Types in Ultra Narrow Row System	627
H. R. Mehrabadi	
Effects of Foliar Application of Methanol on Yield and Yield Components of Two Cultivars of Canola (<i>Brassica napus L.</i>) under Rainfed Conditions	639
K. Ahmadi- M. Rostami- S. R. Hesseinzadeh	
Morphological Response, Grain Yield and Essential Oil of Three Fennel Ecotypes to Different Times of Planting	649
S. Kiani- S. A. Siadat- M. R. Moradi Telavat- A. Poshtdar	
Effect of Nano Iron and Manganese Fertilizers on Mung Bean Growth and Yield in Water Deficit Stress Condition	663
Y. Izadi *- S. A. M. Modares Sanavey	
Study of Environmental Impacts for Important Crops in Khorasan-e Razavi Province by Using Life Cycle Assessment (LCA)	680
A. Koocheki- J. Valahaklsh- S. Khorramdel	
Effect of Exogenous Glycine Betaine Application on Physiological and Phenological Traits and Yield of Tomato (<i>Solanum lycopersicum</i>) in Non-stress Condition.....	695
M. Tatari- R. Abbas Alikamar	